

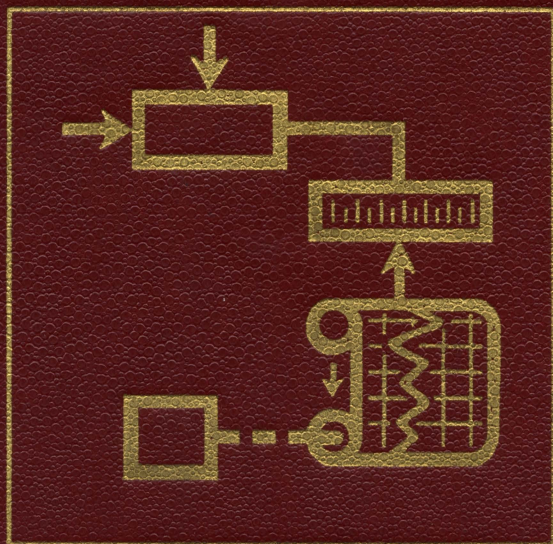
К.Л. Куликовский  
В.Я. Купер

# МЕТОДЫ И СРЕДСТВА ИЗМЕРЕНИЙ

---

Для студентов вузов

---



К. Л. Куликовский

В. Я. Купер

# МЕТОДЫ И СРЕДСТВА ИЗМЕРЕНИЙ

*Допущено Министерством высшего и среднего специального образования СССР в качестве учебного пособия для студентов вузов, обучающихся по специальности «Автоматизация и механизация процессов обработки и выдачи информации»*



МОСКВА ЭНЕРГОАТОМИЗДАТ 1986

ББК 31.221

К 90

УДК 681.518.3(075.8)

Рецензенты: Кафедра информационно-измерительной  
техники МЭИ;  
доктор техн. наук, проф. Э. К. Шахов

**Куликовский К. Л., Купер В. Я.**

**К 90** Методы и средства измерений: Учеб. пособие  
для вузов. — М.: Энергоатомиздат, 1986. — 448 с.:  
ил.

Изложены основы информационно-измерительной техники. Приведены основные понятия и определения, связанные с процессом измерения, сведения о способах кодирования и передачи измерительной информации. Рассмотрены вопросы построения и применения аналоговых и цифровых измерительных приборов, информационно-измерительных систем и измерительно-вычислительных комплексов, а также основы построения Государственной системы промышленных приборов и средств автоматизации и другие вопросы.

Для студентов вузов специальности «Информационная техника».

**К** 2302010000-378 — 131-86  
051(01)-86

**ББК 31.221**

© Энергоатомиздат, 1986

## ПРЕДИСЛОВИЕ

Современный этап развития человечества характеризуется огромными потоками информации, циркулирующей во всех сферах его деятельности. Если в середине XIX века увеличение объема информации за 50 лет происходило вдвое, то в начале XX века его удвоение происходило уже за 20 лет, а в начале 80-х годов этот срок уменьшился до 3—4 лет. Поэтому XX век назван веком информации.

Важную роль среди различных видов информации играет измерительная информация, которая несет количественную оценку состояния технологических процессов, характеристик изделий, результатов научных исследований, параметров окружающей среды, физиологического состояния человеческого организма и т. д.

В связи с интенсивным развитием науки, техники и технологии значение и объем измерительной информации непрерывно увеличиваются. В 20-х годах нашего столетия объем измерительной информации не превышал 5 % ее общего объема, а на сегодняшний день он достигает 43 %, существенно превышая уровень статистической и экономической информации.

Ни один технологический процесс, ни один объект управления и испытания, ни одна отрасль народного хозяйства не в состоянии функционировать без наличия соответствующих измерительных систем. Разве может быть осуществлен полет космического корабля к планетам солнечной системы или работа орбитальной научной станции без сложных систем дистанционного сбора измерительной информации о сотнях, тысячах и даже десятках тысяч параметров, определяющих положение и траекторию движения корабля в пространстве, характеризующих состояние функциональных блоков, а также состояние космонавтов? Или могут ли функционировать современные мощные энергетические комплексы — атомные электростанции — без контроля, который ведут сотни приборов и систем, непрерывно обрабатывающих поступающую информацию и определяющих режим работы станций?



Возможность получения и обработки измерительной информации в темпе технологического процесса, эксперимента или испытаний, а также ее достоверность являются важными факторами, определяющими уровень развития народного хозяйства.

Большие объемы информации требуют немедленной систематизации и анализа для принятия соответствующих решений. Возникла острая необходимость создания машин и систем, позволяющих осуществлять автоматический сбор, преобразование, минимизацию потока, передачу, обработку информации, а также разработки устройств анализа и поиска требуемой информации. Была необходима индустриализация информационного процесса.

В середине 60-х годов начал формироваться новый класс технических средств — средства информационной техники, причем информационная техника объединяла в своем составе не только разрабатываемые новые специализированные устройства, но и традиционные средства сбора и обработки различных видов информации.

В настоящее время в состав технических средств информационной техники входят [11]: информационно-поисковые системы, информационно-логические комплексы, информационно-вычислительные системы, информационно-контролирующие системы, информационно-диагностические комплексы, информационно-измерительные системы и измерительные приборы.

Информационно-поисковые системы осуществляют в информационном банке поиск требуемой абонентом информации и выдачу ее в удобном для восприятия виде.

Информационно-логические комплексы на основании полученной извне информации синтезируют алгоритм своего поведения, являющийся наилучшим в данной обстановке с точки зрения критериев, заложенных в его память. Такие системы получили название «искусственного интеллекта».

Информационно-вычислительные системы предназначены для обработки различных видов информации по заданным алгоритмам и программам.

Информационно-контролирующие системы осуществляют непрерывное сравнение данных, полученных в процессе измерения и определяющих состояние объекта, с установленными нормами, что позволяет оценить соответствие текущего состояния объекта заданному. Разновидностью информационно-контролирующих систем являются системы опознавания образа.

Информационно-диагностические комплексы осуществляя измерение параметров, определяющих состояние объекта, сравнивают совокупности полученных знаний с заложенными в память и определяют состояние диагностируемого объекта.

Информационно-измерительные системы обладают нормированными, т. е. заданными для определенных условий эксплуатации, характеристиками и предназначены для получения измерительной информации непосредственно от объекта исследования или управления, ее преобразования, передачи, обработки, хранения и выдачи в виде, удобном для восприятия оператором или для передачи на более высокий уровень иерархии.

Измерительные приборы обладают ограниченными функциональными возможностями. Они, как правило, выполняются одноканальными и в редких случаях предусматривают простейшую обработку информации. Подробное описание приборов и их отличие от измерительных систем приведены в гл. 4—6.

Очень часто в периодической литературе можно встретить два названия измерительных систем: измерительные информационные и информационно-измерительные. Хотя оба названия правильно отражают сущность измерительной системы, второе является более точным. Первая половина названия «информационно-измерительная» относит систему к классу технических средств информационной техники, а вторая половина определяет ее назначение.

Анализ структур средств информационной техники показал, что информационно-измерительная система является основой построения подавляющего большинства указанных средств (за исключением информационно-поисковых систем) и определяет их технические и эксплуатационные характеристики. Поэтому специалисты в области разработки средств информационной техники должны знать основы метрологии, методы измерения, способы построения измерительных приборов и систем и ряд других важных разделов измерительной техники.

В настоящее время существует несколько общеобразовательных учебников по электрическим измерениям, предназначенных для обучения студентов электротехнических специальностей. Однако в них отсутствует изложение таких важных для специальности «Информационная техника» вопросов, как построение информационно-измерительных систем и измерительно-вычислительных комплексов, описание

интерфейсов, применяемых в приборостроении, организация и планирование эксперимента, а также системотехнические принципы построения средств измерений.

Все это потребовало создания учебного пособия по методам и средствам электрических измерений, предназначенного для обучения студентов по специальности «Информационная техника», в котором были бы изложены перечисленные выше вопросы.

При написании учебного пособия авторы по мере возможности постарались учесть особенности специальности и излагали материал в соответствии с назначением и областью применения средств информационной техники.

Авторы приносят благодарность сотрудникам кафедры «Информационно-измерительная техника» Куйбышевского политехнического института за представленные материалы и помощь, оказанную при оформлении рукописи.

Авторы выражают глубокую благодарность коллективу кафедры «Информационно-измерительная техника» Московского энергетического института, возглавляемому доктором техн. наук, проф. В. Н. Малиновским, а также доктору техн. наук, проф. Э. К. Шахову за большой труд по рецензированию рукописи и ценные замечания.

*Авторы*

## **Глава первая**

# **ОСНОВНЫЕ ПОНЯТИЯ И ОПРЕДЕЛЕНИЯ В ИНФОРМАЦИОННО-ИЗМЕРИТЕЛЬНОЙ ТЕХНИКЕ**

### **1.1. ИЗМЕРЕНИЯ И ФИЗИЧЕСКИЕ ВЕЛИЧИНЫ**

Развитие науки, управление технологическими процессами немыслимы без получения количественной информации о тех или иных свойствах физических объектов. Еще Галилео Галилей писал, что «надо измерять все измеримое и делать измеримым то, что пока еще не поддается измерению», а русский ученый Б. С. Якоби утверждал, что «искусство измерения является могущественным оружием, созданным человеческим разумом для проникновения в законы природы».

Что же такое «измерение»? Существует несколько отличающихся определений понятия измерения, однако в большинстве своем они говорят о том, что измерение — это процесс получения информации.

Таково, например, определение измерения, данное К. Б. Карандеевым, М. П. Цапенко и В. И. Рабиновичем: «Измерение есть процесс получения информации, заключающийся в сравнении опытным путем измеряемых и известных величин или сигналов, выполнения необходимых логических операций и представления информации в числовой форме».

Таким образом, измерение представляет собой информационный процесс, результатом которого является получение измерительной информации, т. е. количественной информации об измеряемых величинах. Измерительная информация обязательно представляется в числовой форме и в дальнейшем используется либо человеком-оператором, либо автоматизированной системой, осуществляющей обработку, хранение и передачу этой информации.

Объектом измерения является та или иная физическая величина. ГОСТ 16263—70 определяет физическую величину как свойство, общее в качественном отношении многим физическим объектам (физическим системам, их состояниям и происходящим в них процессам), но в количественном отношении индивидуальное для каждого объекта. Так, фи-

зическими величинами являются масса, расстояние, давление, сила, электрическое сопротивление и т. п. Необходимо отметить, что термин «физическая величина» следует рассматривать как синоним термина «физическое свойство» и его нельзя использовать для выражения только количественной стороны рассматриваемого свойства. Например, нельзя писать «величина массы», «величина давления», «величина силы» и т. д., так как эти свойства (масса, давление, сила) сами являются величинами. В этих случаях следует применять термины «размер» или «значение» величины.

Очевидно, что не все физические свойства реальных объектов являются физическими величинами. К таким физическим свойствам относятся, например, форма тела или фигуры, запах, цвет. Указанные физические свойства не относятся к физическим величинам и не могут быть измерены. Поэтому физические величины иногда определяют как физические свойства, поддающиеся измерению.

Из определения измерения следует, что для получения измерительной информации необходимо сравнить измеряемую величину с физически однородной ей величиной известного размера. Для числового представления результата сравнения используется единица измерения.

Единица измерения — это физическая величина, которой по определению присвоено числовое значение, равное единице.

При выбранной единице измерения результат сравнения можно записать в виде формулы

$$Q/[q] = a, \quad (1.1)$$

где  $Q$  — измеряемая величина;  $[q]$  — единица измерения;  $a$  — числовое значение измеряемой величины в принятых единицах измерения.

Эта формула, записанная в виде

$$Q = a [q], \quad (1.2)$$

называется основным уравнением измерения.

Правая часть (1.2) представляет собой физическую величину известного размера, которая практически реализуется (воспроизводится) с помощью технического устройства, называемого мерой. Очевидно, что мера должна быть регулируемой (многозначной).



Оценка физической величины в виде некоторого числа принятых для нее единиц называется значением физической величины.

При выбранной единице измерения физическая величина как объективно существующее свойство объекта может быть охарактеризована истинным ее значением.

Истинное значение физической величины — значение физической величины, которое идеальным образом отражало бы в качественном и количественном отношениях соответствующее свойство объекта. Определить экспериментально истинное значение физической величины невозможно, оно остается неизвестным экспериментатору. В связи с этим при необходимости (например, при проверке средств измерений) вместо истинного значения физической величины используют ее действительное значение.

Действительное значение физической величины — значение физической величины, найденное экспериментальным путем и настолько приближающееся к истинному значению, что для данной цели может быть использовано вместо него. Действительное значение физической величины определяют по образцовым мерам и приборам, погрешностями которых по сравнению с погрешностями поверяемых средств измерений можно пренебречь.

Приведенные выше определения физической величины и ее значения позволяют определить измерение как нахождение значения физической величины опытным путем с помощью специальных технических средств (ГОСТ 16263—70. Метрология. Термины и определения).

Следует отметить, что не все физические величины могут быть воспроизведены с заданными размерами и непосредственно сравнимы с себе подобными. К таким величинам относятся, например, температура, твердость материалов. В этом случае находит применение метод натуральных (реперных) шкал, заключающийся в следующем [6].

Предметы или явления, обладающие некоторым однородным свойством, располагают в натуральный последовательный ряд так, что у каждого предмета в этом ряду данного свойства будет больше, чем у предыдущего, и меньше, чем у последующего. Далее выбирают несколько членов ряда и принимают их за образцы. Выбранные образцы формируют шкалу (лестницу) реперных точек для сопоставления предметов или явлений по данному свойству. Примерами реперных шкал являются минералогическая шкала твердости, шкала силы ветра в «баллах Бофорта».

Существенный недостаток таких шкал состоит в произвольном размере интервалов между реперными точками и невозможности уточнения размера физической величины внутри интервала.

В связи с этим в измерительной технике отдается предпочтение функциональным шкалам, при построении которых используется функциональная зависимость какой-либо физической величины, удобной для непосредственного измерения, от измеряемой физической величины. Чаще всего эта зависимость имеет линейный характер. В качестве примера можно привести температурные шкалы, например, Цельсия, Фаренгейта, Реомюра. При построении температурной шкалы используются реперные точки, которым приписаны определенные значения температур, например, точка таяния льда ( $0,000^{\circ}\text{C}$ ), точка кипения воды ( $100,000^{\circ}\text{C}$ ) и т. д. В интервалах между температурами реперных точек осуществляется интерполяция с помощью тех или иных точных преобразователей температуры: ртутных термометров, термопар, платиновых термометров сопротивления. При этом измеряемая температура преобразуется в перемещение конца ртутного столбика, электродвижущую силу термопары или сопротивление платинового резистора.

Как отмечалось выше, для каждой физической величины должна быть установлена единица измерения. При этом необходимо учитывать, что физические величины связаны между собой зависимостями. Их совокупность можно рассматривать как систему физических величин. Различают основные и производные физические величины. Основная физическая величина условно принимается независимой от других величин этой системы. Производная физическая величина определяется через основные величины этой системы. Выражение, отражающее связь физической величины с основными величинами системы, в котором коэффициент пропорциональности принят равным единице, называется размерностью физической величины [20].

В соответствии с описанным разделением физических величин их единицы также делятся на основные и производные.

Производная единица называется когерентной, если она связана с другими единицами уравнением, в котором числовой коэффициент равен единице.

Так, например, предположим, что произвольно выбраны единицы длины  $[l]$  и времени  $[t]$ . Чтобы узнать скорость

$V$ , можно измерить расстояние  $L$  и время  $T$ , в течение которого тело пройдет это расстояние. Получим два уравнения измерения:

$$L = a[l]; \quad T = b[t].$$

С учетом того, что  $V = L/T$ , получим:

$$V = \frac{a[l]}{b[t]}. \quad (1.3)$$

Если для скорости принять единицу  $[v]$ , то  $V = c[v]$ . Подставив это выражение для  $V$  в (1.3), получим:

$$c[v] = a[l/b[t]].$$

С учетом того, что необходимо обеспечить

$$c = a/b,$$

определим когерентную единицу скорости:

$$[v] = [l]/[t]. \quad (1.4)$$

Совокупность основных и производных единиц, относящаяся к некоторой системе величин и образованная в соответствии с принятыми принципами, называется системой единиц физических величин.

С 1961 г. общепринятой является Международная система единиц (СИ) (SI — The International System of Units).

Единицы физических величин, допущенных к применению в СССР, установлены в ГОСТ 8.417—81 «Единицы физических величин».

Основными единицами СИ являются: метр (м) — единица длины, килограмм (кг) — единица массы, секунда (с) — единица времени, ампер (А) — единица силы тока, кельвин (К) — единица термодинамической температуры, кандела (кд) — единица силы света, моль (моль) — единица количества вещества. Дополнительные единицы: радиан (рад) — единица плоского угла, стерадиан (ср) — единица телесного угла.

Производные единицы СИ образуются из основных и дополнительных единиц при помощи определяющих уравнений в соответствии с принципами построения систем единиц.

Международная система единиц (СИ) является универсальной, так как охватывает все области измерений, и когерентной, так как использует когерентные производные единицы. Кроме того, как основные единицы, так и большинство производных единиц системы СИ по своему размеру удобны для практического их применения. Эту же цель

преследует использование кратных и дольных единиц, которые в большинстве случаев образуются путем умножения единицы на  $10^n$ , где  $n$  принимает целые положительные (для кратных единиц) или отрицательные (для дольных единиц) значения.

## **1.2. СРЕДСТВА ИЗМЕРЕНИЙ И ИХ ОСНОВНЫЕ ХАРАКТЕРИСТИКИ**

Все средства измерений определяются как технические средства, используемые при измерениях и имеющие нормированные метрологические характеристики (ГОСТ 16263—70). Под метрологическими характеристиками будем понимать такие свойства средств измерений, которые позволяют судить об их пригодности для измерений определенной физической величины в заданном диапазоне ее значений и с заданной точностью. Таким образом, принципиальное отличие средств измерений от других технических средств, используемых при измерениях, состоит в том, что погрешность, с которой они выполняют свои функции, лимитирована. Так, например, измерительный трансформатор напряжения отличается от обычного силового трансформатора тем, что для него указаны предельно допускаемые отличия коэффициента трансформации и фазового сдвига выходного напряжения от установленных для них значений.

По характеру участия в процессе измерения все средства можно разделить на четыре основные группы: меры, измерительные преобразователи, измерительные приборы, измерительные системы (информационно-измерительные системы).

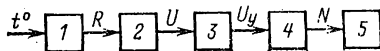
*Мера* — это средство измерений, предназначенное для воспроизведения физической величины данного размера. Меры делятся на однозначные, многозначные и наборы мер. Однозначные меры воспроизводят либо единицы измерения, либо их кратные или дольные значения: гири, концевые меры длины (плитки), катушки электрического сопротивления, конденсаторы постоянной емкости и т. п.

Из однозначных мер образуются наборы и магазины, различные комбинации которых позволяют получить необходимые кратные или дольные значения единиц измерения в заданных пределах. Если каждая мера из совокупности используется отдельно и независимо от других, то такие меры образуют набор мер, например набор гирь, набор плоскопараллельных концевых мер длины и т. д. Если все меры

из данной совокупности соединены конструктивно в одно целое так, что каждая в отдельности использоваться не может, то они образуют магазины мер, например магазины электрических сопротивлений, индуктивностей, емкостей и т. п.

Многозначные меры или меры с переменным значением воспроизводят любые кратные или дольные значения единицы измерения в определенном диапазоне. Это, например, измерительный конденсатор переменной емкости, вариометр индуктивности, проволоочный реохорд и т. п.

Рис. 1.1. Структурная схема цифрового термометра



*Измерительный преобразователь* (ИП) — это средство измерений, предназначенное для выработки сигнала измерительной информации в форме, удобной для передачи, дальнейшего преобразования, обработки и (или) хранения, но не поддающейся непосредственному восприятию наблюдателем. Таким образом, измерительный преобразователь не позволяет непосредственно получить результат измерений, а осуществляет преобразование одной физической величины (входной) в другую (выходную).

Измерительные преобразователи являются основой для построения более сложных средств измерений: измерительных приборов, информационно-измерительных систем.

Сложные средства измерений обычно включают в себя целый ряд взаимосвязанных измерительных преобразователей, обеспечивающих получение численных результатов измерений.

Так, например, на рис. 1.1 показана структурная схема цифрового термометра, который включает в себя преобразователь 1 измеряемой температуры  $t^\circ$  в активное сопротивление  $R$ , преобразователь 2 сопротивления  $R$  в напряжение  $U$ , усилитель 3 напряжения  $U$  и преобразователь 4 усиленного напряжения  $U_y$  в цифровой код  $N$ , который выводится на цифровое отсчетное устройство 5.

Данный измерительный прибор включает в себя четыре последовательно соединенных измерительных преобразователя и отсчетное устройство. Измерительные преобразователи 1—4 образуют измерительную цепь. В зависимости от положения преобразователя в измерительной цепи различа-



ют первичные и промежуточные измерительные преобразователи. К первичному измерительному преобразователю (ПП) подводится измеряемая величина. Он непосредственно взаимодействует с объектом измерения. При измерениях неэлектрических величин первичный измерительный преобразователь иногда называют датчиком, хотя под датчиком в общем случае следует понимать конструктивную совокупность ряда измерительных преобразователей, размещаемых непосредственно у объекта исследования.

Измерительные преобразователи отличаются большим разнообразием. Это могут быть преобразователи неэлектрической величины в электрическую (например, преобразователь 1 на рис. 1.1), электрической величины в другую электрическую (преобразователь 2 на рис. 1.1), электрической величины в однородную электрическую (преобразователь 3 на рис. 1.1), непрерывной (аналоговой) величины в дискретную, кодированную (преобразователь 4 на рис. 1.1), а также кодированной величины в аналоговую.

*Измерительный прибор* — это средство измерений, предназначенное для выработки сигнала измерительной информации в форме, доступной для непосредственного восприятия наблюдателем. Таким образом, в отличие от измерительного преобразователя измерительный прибор всегда имеет устройство, позволяющее человеку воспринимать информацию о числовом значении измеряемой величины. В качестве такого устройства могут использоваться шкала с указателем, цифровое табло, цифropечатающая машинка, устройство записи на диаграмме и т. п.

Все измерительные приборы могут быть разделены на аналоговые и цифровые. В аналоговом измерительном приборе показания являются непрерывной функцией изменений измеряемой величины. Цифровой измерительный прибор автоматически вырабатывает дискретные сигналы измерительной информации, а его показания представлены в цифровой форме.

В зависимости от выполняемых функций различают: показывающие измерительные приборы, допускающие только отсчитывание показаний; регистрирующие измерительные приборы, в которых предусмотрена регистрация показаний; самопишущие измерительные приборы, в которых регистрация показаний осуществляется путем записи в форме диаграмм. Измерительный прибор может содержать узлы или элементы для выполнения регулирования, сигнализации и т. п. В этом случае его называют регулирующим измери-

тельным прибором, сигнализирующим измерительным прибором.

Качественно новый вид средств измерений представляют собой *информационно-измерительные системы* (ИИС). Информационно-измерительные системы — это совокупность технических средств в блочно-модульном исполнении, объединенных общим алгоритмом функционирования, обладающая нормированными метрологическими характеристиками и предназначенная для получения измерительной информации непосредственно от объекта, ее преобразования, передачи, хранения, обработки и выдачи в виде, удобном для восприятия оператором или ввода в систему автоматического управления.

Таким образом, ИИС представляют собой наиболее современные, сложные средства измерений, позволяющие на высоком уровне решать задачи автоматизации технологических процессов и научных экспериментов.

Очевидно, что различные типы средств измерений и их конкретные экземпляры отличаются друг от друга по свойствам. В связи с этим возможности и качество средств измерений определяются совокупностью ряда характеристик. Рассмотрим наиболее важные и употребительные характеристики средств измерений.

Важнейшей характеристикой средств измерений является их *точность*, под которой понимается степень приближения результатов измерения, полученных с помощью данных средств измерений, к истинному значению измеряемой величины. Общепринятого количественного способа определения точности пока нет, поэтому для количественной оценки точности пользуются понятием погрешности. Под *погрешностью* понимается отклонение показаний приборов (или номинальных значений мер) от истинных значений измеряемой величины (истинных значений мер). Более подробно погрешности средств измерений и их нормирование будут рассмотрены в § 2.2.

Зависимость между значениями величины на выходе и входе средства измерений, представленная в виде таблицы, графика или формулы, называется градуировочной характеристикой средства измерений. Градуировочная характеристика является индивидуальной, т. е. описывает свойства конкретного экземпляра средств измерений. При серийном выпуске однотипных средств измерений зависимость между значениями величины на выходе и входе средства измерений часто устанавливается с помощью номинальной

функции преобразования. В отличие от градуировочной характеристики номинальная функция преобразования является типовой, а ее использование сопровождается погрешностями, вызванными отличием типовой номинальной функции преобразования от индивидуальной градуировочной характеристики.

Важной характеристикой средств измерений является чувствительность, равная отношению изменения величины на выходе к вызывающему его изменению входной (измеряемой) величины. Различают абсолютную  $S$  и относительную  $S_0$  чувствительности, которые определяются формулами

$$S = \Delta y / \Delta x, \quad S_0 = \Delta y / (\Delta x / x), \quad (1.5)$$

где  $\Delta y$  — изменение величины на выходе;  $x$  — измеряемая величина;  $\Delta x$  — изменение измеряемой величины.

Для средств измерений с линейной градуировочной характеристикой абсолютная чувствительность не зависит от значения измеряемой величины.

От чувствительности следует отличать *порог чувствительности*, представляющий собой такое воздействие на входе измерительного прибора, которое вызывает на выходе минимальный уверенно обнаруживаемый эффект. Другими словами, порог чувствительности — это изменение значения измеряемой величины, способное вызвать наименьшее обнаруживаемое изменение выходной величины.

В современной измерительной практике очень часто приходится измерять быстро изменяющиеся величины. При этом необходимо учитывать не только статические, но и динамические свойства средств измерений. Динамические характеристики средств измерений можно разделить на полные и частные. Полные динамические характеристики позволяют при любом заданном изменении во времени величины на входе рассчитать изменение во времени выходной величины, а следовательно, оценить погрешности, вызванные инерционностью средства измерений. Так, полной динамической характеристикой любого средства измерений является дифференциальное уравнение, связывающее входную и выходную величины. Для линейных средств измерений (описываемых линейными дифференциальными уравнениями с постоянными коэффициентами) полными динамическими характеристиками являются также передаточная функция, комплексная частотная (амплитудно-фазовая) характеристика, переходная характеристика, импульсная характеристика.

Полные динамические характеристики исчерпывающе характеризуют динамические свойства средств измерений, однако они сложны и не обладают достаточной наглядностью.

Частная динамическая характеристика представляет собой какой-либо параметр полной динамической характеристики или ее функционал. В качестве такой характеристики используются: полоса частот измеряемых величин, в пределах которой динамическая погрешность не превышает заданной; время установления выходной величины. Например, для стрелочных электроизмерительных приборов в качестве такой характеристики используется время успокоения прибора — промежуток времени, прошедший с момента скачкообразного изменения измеряемой величины до момента, когда стрелка прибора не удаляется от положения равновесия более чем на 1 % длины шкалы. Для цифровых измерительных приборов в качестве частной динамической характеристики используется наименьшее время, необходимое для выполнения одного измерения. Очевидно, что частные динамические характеристики проще и обладают большей наглядностью, но не позволяют определить динамическую погрешность для конкретного закона изменения во времени измеряемой величины.

Важной характеристикой средств измерений является их надежность. Следует учитывать, что ненадежными считаются не только те средства измерений, которые теряют способность нормально функционировать из-за механических или электрических повреждений, но также и те, у которых характеристики выходят за допустимые пределы. Поэтому надежность средств измерений можно определить как свойство сохранять нормируемые метрологические характеристики в определенных условиях эксплуатации.

Надежность оценивают различными количественными характеристиками: вероятностью безотказной работы, частотой отказов, средним временем безотказной работы, средним временем между соседними отказами и др. При этом под отказом понимается событие, после появления которого характеристики средств измерений выходят за допустимые пределы.

При оценке качества и эффективности средств измерений, кроме перечисленных выше, применяется и ряд других характеристик: диапазон измерения — диапазон значений измеряемой величины, которые могут быть измерены данным прибором; нижний и верхний пределы измерений — на-

именное и наибольшее значения измеряемой величины, которые могут быть измерены данным прибором (так как во многих приборах нижним пределом измерения считается нуль, то вместо диапазона измерения указывают верхний предел измерения, называя его сокращенно «предел измерения»); собственное потребление энергии, стабильность характеристик; защищенность от внешних влияний, габариты, масса, стоимость и др.

Так как все измерительные устройства предназначены для получения измерительной информации, то необходимо особо остановиться на их информационных характеристиках.

Измеряемая величина  $x$  априори (до выполнения измерения) обладает неопределенностью, которая характеризуется значением энтропии

$$H(x) = - \int_{-\infty}^{\infty} f(x) \log f(x) dx, \quad (1.6)$$

где  $f(x)$  — плотность распределения.

С точки зрения теории информации количество информации  $I$ , получаемое в результате измерения, равно убыли неопределенности, т. е. разности энтропий до и после измерения:

$$I = H(x) - H(x/x_n). \quad (1.7)$$

Здесь  $H(x)$  — безусловная (априорная) энтропия;  $H(x/x_n)$  — условная энтропия, т. е. энтропия величины  $x$  при условии, что получен результат измерений  $x_n$ . Очевидно, что условная энтропия определяется законом распределения погрешности  $\Delta$  измерительного устройства и равна

$$H(x/x_n) = - \int_{-\infty}^{+\infty} f(\Delta) \log f(\Delta) d\Delta. \quad (1.8)$$

Если погрешность распределена равномерно на интервале  $[-\Delta_m, +\Delta_m]$ , то условная энтропия

$$H(x/x_n) = - \int_{-\Delta_m}^{+\Delta_m} \frac{1}{2\Delta_m} \log \frac{1}{2\Delta_m} d\Delta = \log 2\Delta_m. \quad (1.9)$$

При нормальном распределении погрешности с дисперсией  $\sigma^2$  условная энтропия

$$H(x/x_n) = \log (\sqrt{2\pi e} \sigma), \quad (1.10)$$



где  $e$  — основание натуральных логарифмов;  $\sigma$  — среднее квадратическое отклонение погрешности. Сравнение (1.9) и (1.10) показывает, что средства измерений, имеющие существенно различные законы распределения погрешностей, могут давать одинаковое количество информации при измерении. В данном случае это будет обеспечиваться при выполнении условия  $2\Delta_m = \sqrt{2\pi}e\sigma$ . В связи с этим в качестве характеристики дезинформационного действия погрешности с произвольным законом распределения используется энтропийное значение погрешности.

Энтропийным значением погрешности считается наибольшее значение погрешности с равномерным законом распределения, которая вносит такое же дезинформационное действие, как и погрешность с данным законом распределения вероятностей.

Так, например, если погрешность распределена нормально, то энтропийное значение погрешности

$$\Delta_9 = \sqrt{2\pi e} \sigma / 2 = \sqrt{\frac{\pi e}{2}} \sigma \approx 2,07\sigma. \quad (1.11)$$

Аналогично определяется энтропийное значение погрешности для любого конкретного закона распределения.

Зависимость между энтропийным и средним квадратическим значениями погрешности может быть представлена в виде

$$\Delta_9 = k\sigma, \quad (1.12)$$

где  $k$  — энтропийный коэффициент.

Энтропийный коэффициент зависит от вида закона распределения вероятностей погрешностей. Для нормального распределения энтропийный коэффициент

$$k_n = \sqrt{\pi e / 2} \approx 2,07,$$

а для равномерного распределения

$$k_p = \Delta_9 / \sigma = \sqrt{3} \approx 1,73.$$

Полученные выше значения энтропийного коэффициента характеризуют область его значений, соответствующую большинству реальных одномодальных законов распределения вероятностей погрешности.

Анализ значений энтропийного коэффициента позволяет сделать вывод, что при одинаковом среднем квадратическом значении погрешность, распределенная по нормально-

му закону, вносит большее дезинформационное действие, чем погрешность, распределенная по равномерному закону. Дезинформационное действие погрешности с любым законом распределения меньше дезинформационного действия погрешности, распределенной по нормальному закону, при их одинаковых средних квадратических значениях.

В качестве примера рассмотрим два прибора, предназначенные для измерения одной и той же физической величины, но имеющие различные законы распределения погрешности. Пусть погрешность первого прибора распределена равномерно на интервале  $[-10^{-3}, +10^{-3}]$ , а погрешность второго прибора — нормально с нулевым математическим ожиданием и средним квадратическим отклонением  $0,5 \cdot 10^{-3}$ . Сравним эти приборы по точности. В принципе в качестве критерия сравнения можно предложить различные значения: наибольшую погрешность, среднее квадратическое отклонение погрешности, энтропийную погрешность.

Для первого прибора наибольшее значение погрешности равно  $10^{-3}$ . Погрешность второго прибора не ограничена, ее наибольшее значение не существует. В практике в качестве такого значения часто принимают значение, равное  $3\sigma$ . В данном примере  $3\sigma = 1,5 \cdot 10^{-3}$ . По этому критерию следует отдать предпочтение первому прибору, однако нельзя считать обоснованным принятое значение наибольшей погрешности второго прибора.

Среднее квадратическое отклонение погрешности первого прибора равно  $10^{-3}/\sqrt{3} = 0,58 \cdot 10^{-3}$ , следовательно, по этому критерию предпочтительнее второй прибор.

С точки зрения информационного подхода к измерениям наиболее обоснованным является сравнение приборов по количеству информации, получаемой при измерении, а следовательно, по энтропийному значению погрешности. Для первого прибора энтропийное значение погрешности равно  $10^{-3}$ , а для второго  $k_n \sigma = 2,07 \cdot 0,5 \cdot 10^{-3} = 1,035 \cdot 10^{-3}$ . Отсюда можно сделать вывод, что по информационному критерию эти приборы практически эквивалентны.

Информационный подход дает возможность с единых позиций анализировать любые средства измерений (измерительные преобразователи, измерительные приборы, ИИС) как в статическом, так и в динамическом режиме работы, выявить взаимосвязи различных технических характеристик средств измерений, оптимизировать эти характеристики и оценить предельные возможности тех или иных средств измерений [10].

### 1.3. МЕРЫ ФИЗИЧЕСКИХ ВЕЛИЧИН

Как отмечалось ранее, измерение заключается в сравнении измеряемой величины с величиной известного размера, которая практически воспроизводится мерой. Отсюда ясно, что точность измерений принципиально ограничена точностью существующих мер физических величин.

Средства измерений (или их комплекс), обеспечивающие воспроизведение и хранение единицы измерения, выполненные по особой спецификации и официально утвержденные, называются эталонами. Государственный эталон — это эталон, утвержденный в качестве исходного для страны. Таким образом, эталоны — это меры наивысшей точности.

Многообразие физических величин определяет и многообразие образцовых мер и эталонов. В связи с этим рассмотрим только некоторые меры основных физических величин и меры величин, широко используемых в электронизмерительной технике.

**Меры длины.** Эталон единицы длины основан на следующем определении метра: «метр — длина, равная 1650763,73 длин волн в вакууме излучения, соответствующего оранжевой линии спектра криптона-86». Это определение (в более подробном изложении) узаконено в СССР ГОСТ 8.417—81. Среднее квадратическое отклонение при воспроизведении метра не превышает  $10^{-8}$  м.

Широкое применение в производственных условиях находят штриховые меры длины: рулетки, складные деревянные и металлические метры, нивелирные рейки. Особым видом штриховых мер, широко используемых в практике, являются штангенциркули. Наилучшие штангенциркули позволяют производить измерения с погрешностью, не превышающей 0,04—0,07 мм (в зависимости от размера детали).

Более точными мерами длины, применяемыми на приборостроительных и машиностроительных предприятиях, являются концевые меры длины. Длина в них определяется не расстоянием между штрихами, а расстоянием между двумя параллельными плоскостями. По точности изготовления концевые меры делят на пять классов: 0, 1, 2, 3, 4. Для представления о точности изготовления концевых мер можно указать, например, что мера класса 0 с номинальным размером 8 мм может иметь погрешность не более 0,1 мкм. Такая же мера класса 4 может иметь погрешность не более 2 мкм.

**Меры массы.** Единица массы — килограмм — вещественно воспроизводится прототипом килограмма. На основе международного соглашения всех государств — участников метрической конвенции Россия получила две копии: № 12 и 26, из них килограмм № 12 объявлен Государственным эталоном СССР. Среднее квадратическое отклонение воспроизведения килограмма равно  $7 \cdot 10^{-9}$  кг. В качестве рабочих ис-

пользуются эталоны, изготовленные из стали, бронзы или латуни с хромированием или золочением их поверхности, которые представляют собой наборы гирь с номинальными значениями от 1 мг до 20 кг. Используются также образцовые гири, которые по точности делятся на три разряда.

**Меры времени.** Единица времени — секунда — воспроизводится с помощью цезиевого атомно-лучевого эталона, основанного на том, что при переходе атома из состояния с энергией  $E_1$  в состояние с энергией  $E_2$  ( $E_2 < E_1$ ) излучается квант энергии в виде электромагнитной волны, частота которой равна  $f = (E_1 - E_2)/h$ , где  $h$  — постоянная Планка. В связи с этим секунда определена как интервал времени, равный 9 192 631 770 периодам излучения квантового перехода атома цезия-133. Среднее квадратическое значение погрешности воспроизведения секунды менее  $10^{-13}$  с.

В средствах измерений в качестве образцовой меры частоты и времени используются генераторы с кварцевым стабилизатором частоты, которые при условии термостатирования кварцевого стабилизатора характеризуются нестабильностью частоты  $10^{-7}$  и меньше.

**Меры электрического напряжения.** В качестве меры ЭДС или электрического напряжения постоянного тока используют так называемые нормальные элементы.

Нормальный элемент представляет собой гальванический элемент с ЭДС около 1,0186 В, остающейся почти неизменной десятки лет.

Для сохранности элемента через него не следует пропускать ток более 1 мкА, а в момент измерения ток, протекающий через элемент, не должен превышать тысячных долей микроампера. Элемент следует оберегать от толчков, сотрясений, действия низких (ниже  $+10^\circ\text{C}$ ) и высоких (выше  $+35^\circ\text{C}$ ) температур.

Электродвижущая сила нормального элемента зависит от температуры. Эта зависимость выражается формулой

$$E_t = E_{20} - 0,00004(t - 20) - 0,000001(t - 20)^2, \quad (1.13)$$

где  $E_t$  и  $E_{20}$  — ЭДС при температурах  $t$  и  $20^\circ\text{C}$  соответственно.

При точных измерениях температурное изменение ЭДС элемента необходимо учитывать.

Внутреннее сопротивление нормальных элементов имеет значение от 500 до 1500 Ом.

Согласно ГОСТ 1954—64 насыщенные нормальные элементы по точности делятся на три класса: 0,001, 0,002 и 0,005. Числа, обозначающие класс точности, указывают допустимое изменение ЭДС элемента за год, выраженное в процентах.

Кроме насыщенных, изготавливаются ненасыщенные нормальные элементы, которые имеют меньшую точность (класс 0,02) и применяются

для технических измерений, например, в переносных и автоматических потенциометрах.

**Меры электрического сопротивления.** Наиболее точными мерами электрического сопротивления являются измерительные катушки сопротивления. По ГОСТ 6864—69 катушки изготавливаются трех типов: КСИ — катушки сопротивления измерительные негерметизированные для работы в цепях постоянного тока; КСИГ — то же, но герметизированные; КСИБ — катушки сопротивления измерительные безреактивные для работы в цепях постоянного и переменного токов.

Измерительные катушки сопротивления делятся по точности на пять классов: 0,002; 0,005; 0,01; 0,02; 0,05. Число, обозначающее класс, указывает наибольшее допустимое отклонение сопротивления катушки от номинального значения при температуре 20 °С, выраженное в процентах. Температурный коэффициент сопротивления измерительных катушек не превышает 0,002 %/°С, а термо-ЭДС в контакте с медью составляет примерно 1,5 мкВ/°С. При особо точных измерениях вводят поправки на температуру катушки в соответствии с формулой

$$R_t = R_{20} [1 + \alpha (t - 20) + \beta (t - 20)^2], \quad (1.14)$$

где  $R_t$  и  $R_{20}$  — сопротивления катушки при температуре  $t$  и 20 °С соответственно;  $\alpha$  и  $\beta$  — температурные коэффициенты, определяемые при государственной поверке образцовых катушек.

При работе измерительных катушек на переменном токе необходимо учитывать наличие реактивного сопротивления катушки. Наличие реактивного сопротивления позволяет использовать проволочные измерительные катушки на частотах до десятков килогерц. На более высоких частотах применяют непроволочные (угольные, пленочные) сопротивления, которые имеют значительно меньшую постоянную времени, но больший температурный коэффициент [6].

Измерительные катушки сопротивления необходимы только при точных лабораторных работах. Для менее точных измерений в качестве мер применяют магазины сопротивлений, представляющие собой набор катушек сопротивления, менее точных и более просто выполненных, чем описанные.

**Меры емкости и индуктивности.** Меры емкости в отличие от конденсаторов, применяемых для иных целей, получили название измерительных конденсаторов. В качестве диэлектрика измерительных конденсаторов применяют воздух, слюду и стирофлекс. Конденсаторы называют соответственно воздушными, слюдяными и стирофлексовыми.

При работе конденсатора на переменном токе имеются потери в диэлектрике, вследствие чего сдвиг фаз  $\varphi$  между током и напряжением отличается от 90°. С этой точки зрения качество измерительных конденсаторов принято характеризовать значением угла потерь, равного  $\delta = 90^\circ - \varphi$ . На частотах выше 1 МГц необходимо также учитывать



небольшую индуктивность  $L$  конденсатора, причем на частоте  $\omega_0 = 1/\sqrt{LC}$  (собственной частоте конденсатора) будет резонанс, сопротивление конденсатора станет минимальным, а сдвиг фаз  $\varphi=0$ .

Воздушные измерительные конденсаторы изготавливаются как постоянной, так и переменной емкости. Воздушные измерительные конденсаторы постоянной емкости являются наиболее точными мерами электрической емкости. Погрешность их номинального значения не превышает 0,1 %, температурный коэффициент емкости — 0,005 %/°C, а угол потерь на частоте 1 кГц не превышает  $10^{-4}$  радиана и почти не меняется до 1 МГц. Недостатками воздушных измерительных конденсаторов являются их большие габаритные размеры и малые значения емкости (до  $10^4$  пФ).

Слюдяные и стирофлексовые конденсаторы в качестве измерительных изготавливают с номинальной емкостью до 1 мкФ. По сравнению с воздушными они имеют больший угол потерь ( $10^{-4}$ — $10^{-3}$  рад). Слюдяные и стирофлексовые конденсаторы серийного производства предназначены для работы на частотах до 10 кГц. При этом их погрешность не превышает гарантированных значений.

В качестве мер индуктивности используются измерительные катушки индуктивности. Однако необходимо учитывать, что катушка индуктивности всегда обладает активным сопротивлением  $R$  и емкостью  $C$  между зажимами. Поэтому важной характеристикой катушки является собственная частота (частота резонанса)

$$\omega_0 = \sqrt{(L - R^2 C)/L^2 C}.$$

Собственные частоты катушек индуктивности много ниже собственных частот измерительных конденсаторов. У катушек на 10 мГн собственная частота равна примерно 300 кГц, а у катушек на 1 Гн собственная частота уменьшается до 20 кГц.

При использовании катушек на частотах выше 1 МГц заметную роль начинает играть поверхностный эффект.

В качестве мер индуктивности применяют измерительные катушки индуктивности, катушки взаимной индуктивности, вариометры и магазины индуктивностей.

Катушки взаимной индуктивности подобны катушкам индуктивности, но имеют две электрически изолированные обмотки с взаимной индуктивностью от 0,001 до 0,1 Гн. Измерительные вариометры имеют меньшую точность, но позволяют получать плавно изменяемые в широких пределах значения индуктивности или взаимной индуктивности. Вариометр состоит из двух катушек, взаимное положение которых можно изменять, а следовательно, изменять их взаимную индуктивность. Последовательное или параллельное включение катушек вариометра позволяет получить плавно изменяемую индуктивность.

Магазины индуктивностей подобно магазинам сопротивлений состоят из набора катушек индуктивности, образующих одну или несколько декад.

#### **1.4. ГОСУДАРСТВЕННАЯ СИСТЕМА ОБЕСПЕЧЕНИЯ ЕДИНСТВА ИЗМЕРЕНИЙ**

Под единством измерений понимают такое состояние измерений, при котором их результаты выражены в узаконенных единицах и погрешности измерений известны с заданной вероятностью. Единство измерений позволяет обеспечить сопоставимость результатов измерений, выполненных в разных местах, в разное время, при помощи различных средств измерений. Это особенно важно в настоящее время, когда специализация и кооперация производства осуществляется не только в рамках одной страны, но и в международном масштабе. Без обеспечения единства измерений невозможно успешное развитие науки на основе обмена идеями и результатами.

Единство измерений обеспечивается единообразием средств измерений и правильной методикой выполнения измерений. Единообразие средств измерений — это такое их состояние, когда все они проградуированы в узаконенных единицах, а их метрологические свойства соответствуют нормам.

Единство измерений не может быть обеспечено без специальных мер, осуществляемых в масштабах всего государства. Поэтому в СССР создана метрологическая служба, т. е. сеть государственных и ведомственных органов, деятельность которых направлена на обеспечение единства измерений. Метрологическая служба СССР представляет собой разветвленную сеть органов, возглавляемую Государственным комитетом СССР по стандартам (Госстандартом СССР).

Все используемые средства измерений периодически, в установленные сроки проходят поверку. Поверкой средств измерений называется определение метрологическим органом погрешностей средства измерений и установление его пригодности к применению. Поверка средств измерений является одним из звеньев в многоступенчатой цепи передачи размера единицы от эталона к рабочему средству измерений. Именно эта связь с эталоном позволяет обеспечить единообразие средств измерений и единство измерений.

Поверку средства измерений в большинстве случаев

осуществляют путем сличения его показаний с показаниями более точного средства измерений. Возможен и другой метод поверки — поэлементный, при котором погрешности средств измерений определяют по погрешностям отдельных его элементов. Во всех случаях меры, измерительные приборы и измерительные преобразователи, служащие для поверки других средств измерений, называются образцовыми средствами измерений.

По метрологическому назначению все средства измерений делятся на эталоны, образцовые и рабочие средства измерений. Как отмечалось выше, эталоны служат для воспроизведения и хранения единицы измерения. По метрологическому назначению эталоны делятся на первичные, вторичные и специальные. Первичный эталон служит для воспроизведения единицы с наивысшей в стране точностью. Значения вторичных эталонов устанавливаются по первичным. Вторичные эталоны создаются для организации поверочных работ и обеспечения сохранности первичного эталона. Специальный эталон служит для воспроизведения единицы в особых условиях, при которых первичный эталон не может быть использован. Первичные и специальные эталоны утверждаются в качестве государственных эталонов и являются исходными для страны.

Вторичные эталоны подразделяются на эталоны-свидетели, эталоны-копии, эталоны сравнения и рабочие эталоны. Первые три типа эталонов предназначены для взаимного сличения, т. е. для осуществления внутриэталонных работ. Эталон-свидетель предназначен для проверки сохранности государственного эталона и для замены его при неисправности или утрате.

Эталон-копия служит для передачи размера единицы рабочим эталонам. Эталон сравнения применяется для сличения эталонов, которые не могут быть непосредственно сличаемы друг с другом, в частности для международных сличений национальных эталонов различных стран.

Рабочий эталон применяется для передачи размера единицы образцовым средствам измерений высшей точности, а иногда и наиболее точным рабочим средствам измерений.

Образцовые средства измерений предназначены для передачи размера единиц от эталонов к рабочим средствам измерений. В зависимости от уровня точности образцовые средства измерений делятся на разряды.

Рабочие средства применяются для измерений, не связанных с передачей размера единиц. Каждое средство изме-

рений должно применяться только по своему прямому назначению. Не разрешается применять рабочие средства измерений для проведения поверочных работ; точно так же запрещается использование образцовых средств для измерений, не связанных с поверкой.

Все первичные и государственные эталоны хранятся в научно-исследовательских институтах Госстандарта СССР. В определенные сроки по первичным и государственным эталонам поверяются рабочие эталоны, по которым поверяют образцовые меры и приборы ограниченной точности, принадлежащие государственным контрольным лабораториям по измерительной технике и измерительным лабораториям крупных промышленных предприятий и научно-исследовательских учреждений. По образцовым средствам измерений поверяют рабочие средства измерений.

Так как передача единицы измерения от эталонов к рабочим средствам измерений имеет государственное значение, то принципы и правила такой передачи строго регламентируются специальными метрологическими документами, которые называются поверочными схемами.

Важным вопросом при проведении проверки средств измерений является выбор соотношения погрешностей измерений. Обычно считают, что погрешности поверяемого средства измерений определены достаточно точно и достоверно, если погрешность образцового средства измерений (прибора, меры) в 10 раз меньше погрешности поверяемого. Однако часто исходят не из соотношения 1 : 10, а устанавливают для различных типов и классов средств измерений соответствующими нормами соотношения 1 : 5; 1 : 4; 1 : 3. Минимально допустимым отношением погрешностей следует считать 1 : 3. Если образцовый прибор выбирается по классу точности, то необходимо согласование пределов измерений образцового и поверяемого приборов. Предел измерения образцового прибора должен быть равен пределу измерения поверяемого или незначительно превышать его.

Постоянное повышение требований к точности измерений в промышленности и в научных исследованиях делает необходимым, с одной стороны, совершенствование рабочих средств измерений и методов измерений, а с другой стороны — опережающее повышение точности эталонов и совершенствование способов передачи размеров единиц от эталонов к рабочим средствам измерений.

Измерениями, методами и средствами обеспечения их единства и способами достижения требуемой точности зани-

мается наука, называемая метрологией. К основным проблемам метрологии относятся: общая теория измерений; единицы физических величин и их системы; методы и средства измерений; методы определения точности измерений; основы обеспечения единства измерений и единообразия средств измерений; эталоны и образцовые средства измерений; методы передачи размеров единиц от эталонов или образцовых средств измерений рабочим средствам измерений. Таким образом, метрология выполняет как административные (законодательные) функции, так и научно-исследовательские функции в перечисленных выше областях.

### 1.5. КЛАССИФИКАЦИЯ ИЗМЕРЕНИЙ

Большое разнообразие измеряемых величин, условий проведения измерений, способов получения результата приводит к чрезвычайно большому разнообразию измерений. В то же время многие конкретные измерения, несмотря на их внешнее различие, имеют много общего и часто выполняются по одинаковой схеме. Отсюда вытекает необходимость и возможность их систематизации, выявления общих закономерностей, что позволяет значительно облегчить изучение всего многообразия измерений.

В первую очередь следует отметить, что далеко не всегда интересующие нас физические величины измеряются непосредственно. Численные значения этих величин определяют путем обработки результатов измерений других величин. Таким образом, следует различать цель измерения — физическую величину, нахождение значений которой и составляет задачу измерения, и объект измерения — физическую величину, поддающуюся непосредственному измерению. Очевидно, что цель и объект измерения должны быть взаимосвязаны, иначе по результатам измерений объекта невозможно будет определить цель.

В зависимости от вида функциональной связи между искомой и непосредственно измеряемой величинами и от способа получения числового значения измеряемой величины все измерения в соответствии с ГОСТ 16263—70 разделяются на: прямые, косвенные, совокупные и совместные.

*Прямым* называется измерение, при котором искомое значение величины находят непосредственно из опытных данных. Примерами прямых измерений являются измерение сопротивления омметром, измерение мощности ваттметром, измерение давления манометром и т. д.

*Косвенным* называется измерение, при котором искомое значение величины находят на основании известной зависимости между этой величиной и величинами, подвергаемыми прямым измерениям. При этом числовое значение искомой величины определяется по формуле

$$z = F(a_1, a_2, \dots, a_m), \quad (1.15)$$

где  $z$  — значение искомой величины,  $a_1, a_2, \dots, a_m$  — значения непосредственно измеряемых величин.

Примеры косвенных измерений: определение значения активного сопротивления  $R$  резистора на основе прямых измерений силы тока  $I$  через резистор и падения напряжения  $U$  на нем по формуле  $R=U/I$ ; определение плотности  $\rho$  тела цилиндрической формы на основе прямых измерений его массы  $m$ , диаметра  $d$  и высоты  $h$  цилиндра по формуле  $\rho=4m/\pi d^2 h$  и т. п.

Отметим, что измерения, в которых искомая величина определяется на основе прямых измерений основных физических величин системы и при использовании физических констант, называются абсолютными.

Косвенные измерения сложнее прямых, однако они широко применяются в практике либо потому, что прямые измерения практически невыполнимы, либо потому, что косвенное измерение позволяет получить более точный результат по сравнению с прямым измерением.

К *совокупным* относятся производимые одновременно измерения нескольких одноименных величин, при которых искомые значения величин находят решением системы уравнений, получаемых при прямых измерениях различных сочетаний этих величин. К совокупным относятся, например, измерения, при которых массы отдельных гирь набора находят по известной массе одной из них и по результатам прямых сравнений масс различных сочетаний гирь.

*Совместные* измерения — это производимые одновременно измерения двух или нескольких неоднородных величин для нахождения зависимости между ними.

Числовые значения искомых величин при совокупных и совместных измерениях определяются из системы уравнений, связывающих значения искомых величин со значениями величин, измеренных прямым (или косвенным) способом.

Чтобы определить числовые значения искомых величин, необходимо получить по крайней мере столько уравнений, сколько имеется этих величин, хотя в общем случае число

прямых измерений может быть и больше минимально необходимого.

В качестве примера рассмотрим задачу экспериментального определения зависимости сопротивления резистора от температуры. Предположим, что эта зависимость имеет вид

$$R_t = R_0(1 + \alpha t + \beta t^2), \quad (1.16)$$

где  $R_0$  и  $R_t$  — значения сопротивлений резистора при нулевой температуре и температуре  $t$  соответственно;  $\alpha$  и  $\beta$  — постоянные температурные коэффициенты. Требуется определить значения величин  $R_0$ ,  $\alpha$  и  $\beta$ . Очевидно, ни прямыми, ни косвенными измерениями здесь задачу не решить. Поступим следующим образом. При различных (известных) значениях температуры (она может быть измерена прямо или косвенно)  $t_1$ ,  $t_2$  и  $t_3$  измеряем (прямо или косвенно) значения  $R_{t_1}$ ,  $R_{t_2}$  и  $R_{t_3}$  и записываем систему уравнений

$$\left. \begin{aligned} R_{t_1} &= R_0(1 + \alpha t_1 + \beta t_1^2); \\ R_{t_2} &= R_0(1 + \alpha t_2 + \beta t_2^2); \\ R_{t_3} &= R_0(1 + \alpha t_3 + \beta t_3^2). \end{aligned} \right\} \quad (1.17)$$

Решая эту систему относительно  $R_0$ ,  $\alpha$  и  $\beta$ , получаем значения искомых величин. Это пример совместных измерений.

Любые измерения представляют собой физический эксперимент, выполнение которого основано на использовании тех или иных физических явлений. Совокупность физических явлений, на которых основаны измерения, называется принципом измерения.

Совокупность приемов использования принципов и средств измерений составляет метод измерения. Различные методы измерений отличаются прежде всего организацией сравнения измеряемой величины с единицей измерения. С этой точки зрения все методы измерений в соответствии с ГОСТ 16263—70 подразделяются на две группы: методы непосредственной оценки и методы сравнения. Методы сравнения в свою очередь включают в себя метод противопоставления, дифференциальный метод, нулевой метод, метод замещения и метод совпадений.

При методе непосредственной оценки значение измеряемой величины определяют непосредственно по отсчетному устройству измерительного прибора прямого действия (измерительный прибор, в котором предусмотрено одно или несколько преобразований сигнала измерительной информа-

ции в одном направлении, т. е. без обратной связи). На этом методе основаны все показывающие (стрелочные) приборы (вольтметры, амперметры, ваттметры, счетчики электрической энергии, термометры, тахометры и т. п.). Следует отметить, что при использовании данного метода измерений мера как вещественное воспроизведение единицы измерения, как правило, непосредственно в процессе измерения не участвует. Сравнение измеряемой величины с единицей измерения осуществляется косвенно путем предварительной градуировки измерительного прибора с помощью образцовых мер или образцовых измерительных приборов.

Точность измерений по методу непосредственной оценки в большинстве случаев невелика и ограничивается точностью применяемых измерительных приборов.

Метод сравнения с мерой — это такой метод измерений, в котором измеряемую величину сравнивают с величиной, воспроизводимой мерой. Примеры этого метода: измерение массы на рычажных весах с уравниванием гирь; измерение напряжения постоянного тока на компенсаторе сравнением с ЭДС нормального элемента.

Метод сравнения с мерой, в котором измеряемая величина и величина, воспроизводимая мерой, одновременно воздействуют на прибор сравнения, с помощью которого устанавливается соотношение между этими величинами, называется методом противовоставления. Это, например, измерение массы на рычажных весах с помещением ее и уравнивающих гирь на две чашки весов при известном соотношении плеч рычага весов. В этом случае при качественном выполнении устройства сравнения (малое трение в опорах, стабильность соотношения плеч рычага и т. п.) может быть достигнута высокая точность измерений (пример — аналитические весы).

Дифференциальный метод — это метод сравнения с мерой, в котором на измерительный прибор воздействует разность измеряемой величины и известной величины, воспроизводимой мерой. Этот метод позволяет получать результаты измерений с высокой точностью даже в случае применения относительно неточных измерительных приборов, если с большой точностью воспроизводится известная величина.

Рассмотрим следующий пример. Необходимо измерить постоянное напряжение, истинное значение которого равно  $U_x = 0,99$  В. В распоряжении экспериментатора имеется набор вольтметров (или один многопредельный) с пределами



измерения 0,01; 0,1; 1 В. Пусть погрешность каждого вольтметра при измерении величины, значение которой равно пределу измерения, составляет 1 %. Предположим, что имеется также образцовая мера напряжения  $U_0 = 1$  В, погрешность которой пренебрежимо мала. Очевидно, что, производя измерения методом непосредственной оценки, экспериментатор использует вольтметр с пределом измерения 1 В и получает результат измерений с погрешностью 1 %. При дифференциальном методе измерения экспериментатор включает источники измеряемого постоянного напряжения  $U_x$  и образцового напряжения  $U_0$  последовательно и встречно и измеряет их разность  $U_0 - U_x = 0,01$  В вольтметром с пределом измерения 0,01 В. В этом случае разность  $U_0 - U_x$  будет измерена с погрешностью 1 %, а следовательно, значение напряжения будет определено с погрешностью 0,01 %.

Указанный метод широко используется, в частности, при проверке средств измерений (например, измерительных трансформаторов тока и напряжения). На нем основана работа очень распространенных в электроизмерительной технике мостов постоянного и переменного токов.

Эффект повышения точности результатов измерений, достигаемый при дифференциальном методе, оказывается тем значительнее, чем ближе значение меры к истинному значению измеряемой величины. В том случае, когда результирующий эффект воздействия величин на прибор сравнения доводят до нуля, дифференциальный метод измерений превращается в нулевой. Очевидно, что в нулевом методе измерений используемая мера должна быть изменяемой (регулируемой), а прибор сравнения выполняет функции индикатора равенства нулю результирующего воздействия измеряемой величины и меры.

Нулевой метод позволяет получить высокие точности измерений и широко используется, например, при измерениях электрического сопротивления мостом с полным его уравновешиванием или постоянного напряжения компенсатором постоянного тока.

Методом замещения называется метод сравнения с мерой, в котором измеряемую величину замещают известной величиной, воспроизводимой мерой. Это, например, взвешивание с поочередным помещением массы и гирь на одну и ту же чашку весов. Метод замещения можно рассматривать как разновидность дифференциального или нулевого метода, отличающуюся тем, что сравнение измеряемой величины с мерой производится одновременно.

Метод совпадений — это метод сравнения с мерой, в котором разность между измеряемой величиной и величиной, воспроизводимой мерой, измеряют, используя совпадения отметок шкал или периодических сигналов. Примерами этого метода являются измерения длины с помощью штангенциркуля с нониусом, измерение частоты вращения стробоскопом.

Описанные выше различия в методах сравнения измеряемой величины с мерой находят свое отражение и в принципах построения измерительных приборов.

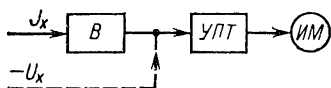


Рис. 1.2. Структурная схема электронного вольтметра

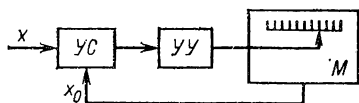


Рис. 1.3. Структурная схема автоматического прибора сравнения

С этой точки зрения различают измерительные приборы прямого действия и приборы сравнения. В измерительном приборе прямого действия предусмотрено одно или несколько преобразований сигнала измерительной информации в одном направлении, т. е. без применения обратной связи. Так, например, на рис. 1.2 приведена структура электронного вольтметра переменного и постоянного тока, которая содержит выпрямитель  $B$ , усилитель постоянного тока УПТ и измерительный механизм ИМ. В этом приборе преобразование сигнала измерительной информации идет только в одном направлении.

Характерной особенностью приборов прямого действия является потребление энергии от объекта измерения. Однако это не исключает возможности применения приборов прямого действия для измерения, например, электрического сопротивления или емкости, но для этого необходимо использовать вспомогательный источник энергии.

Измерительный прибор сравнения предназначен для непосредственного сравнения измеряемой величины с величиной, значение которой известно.

На рис. 1.3 приведена структурная схема автоматического прибора сравнения, содержащая устройство сравнения УС, устройство управления УУ и изменяемую (регулируемую) меру  $M$  с отсчетным устройством.

Измеряемая величина  $x$  и однородная с ней величина  $x_0$  подаются на входы устройства сравнения УС. Величина  $x_0$  получается от регулируемой меры  $M$ . В зависимости от результата сравнения  $x$  с  $x_0$  устройство управления УУ воздействует на меру  $M$  таким образом, чтобы величина  $|x - x_0|$  уменьшалась. Процесс уравнивания заканчивается, когда  $x_0 = x$ . При этом значение измеряемой величины отсчитывается по шкале регулируемой меры. Если в устройстве сравнения происходит вычитание величин  $x$  и  $x_0$ , то в данном приборе реализуется сравнение измеряемой величины с мерой нулевым методом.

Очевидно, что любой измерительный прибор сравнения должен иметь цепь обратной связи и замкнутую структуру. Обратная связь может применяться и в приборах прямого действия, однако в них она всегда охватывает не весь процесс преобразования, а только его часть. Например, в структурной схеме на рис. 1.2 усилитель постоянного тока может быть охвачен обратной связью. В измерительных приборах сравнения в цепи обратной связи всегда формируется физическая величина, однородная с измеряемой, которая подается на вход прибора.

Следует отметить, что сравнение измеряемой величины с мерой в приборах сравнения может осуществляться либо одновременно (нулевой метод), либо разновременно (метод замещения).

Таким образом, приведенная классификация видов и методов измерений позволяет не только систематизировать разнообразные измерения всевозможных физических величин и тем самым облегчить подход к решению конкретной измерительной задачи, но и с общих позиций подойти к рассмотрению структур и принципов действия различных измерительных приборов.

## **Глава вторая**

### **ПОГРЕШНОСТИ И ОБРАБОТКА РЕЗУЛЬТАТОВ ИЗМЕРЕНИЙ**

#### **2.1. КЛАССИФИКАЦИЯ ПОГРЕШНОСТЕЙ ИЗМЕРЕНИЙ**

Выполнив процесс измерения, получают результат измерения, который не может быть абсолютно точно равен истинному значению физической величины. Причиной появле-

ния погрешностей является, с одной стороны, несовершенство используемых средств измерений и неточность передачи рабочим средствам измерений размеров единиц соответствующих физических величин. Несовершенство средств измерений проявляется как в случайных, незакономерных изменениях результата измерений при повторении эксперимента в одинаковых условиях, так и в изменениях результата измерения вследствие различия условий проведения эксперимента, например изменений температуры окружающей среды, влажности воздуха, внешних электрических или магнитных полей, напряжения сетевого питания, наличия вибраций и т. п.

С другой стороны, погрешность измерения может быть обусловлена несовершенством применяемого метода измерения. Так, например, при измерении характеристик полей (например, температурного поля) внесение в поле датчика (в данном примере термометра), обладающего определенными характеристиками (геометрическими размерами, массой, теплопроводностью и т. п.), приводит к изменению картины поля вблизи датчика, а следовательно, интересующая нас физическая величина данным методом принципиально не может быть измерена абсолютно точно.

В процессе измерения в большинстве случаев участвует человек, физиологическая ограниченность возможностей которого также может явиться причиной погрешности измерений.

Таким образом, при любом измерении имеется погрешность, представляющая собой отклонение результата измерения от истинного значения измеряемой величины.

Если погрешность выражена в единицах измеряемой величины, то она называется абсолютной погрешностью измерения и определяется формулой

$$\Delta = \overset{\wedge}{a} - a, \quad (2.1)$$

где  $\Delta$  — абсолютная погрешность;  $\overset{\wedge}{a}$  — значение, полученное при измерении;  $a$  — истинное значение измеряемой величины.

На практике очень часто оперируют относительной погрешностью измерения, равной отношению абсолютной погрешности к истинному значению измеряемой величины:

$$\delta = \Delta/a = (\overset{\wedge}{a} - a)/a. \quad (2.2)$$

Относительная погрешность измерения обычно выражается в процентах.

Так же как и истинное значение измеряемой величины, погрешность измерения не может быть определена абсолютно точно, поэтому используют приближенные ее оценки.

Погрешности измерений могут быть вызваны различными причинами и по-разному проявляться в эксперименте. В связи с этим существенно отличаются и пути уменьшения тех или иных составляющих погрешности. Все это делает целесообразным классификацию погрешностей по тому или иному признаку.

В зависимости от причин возникновения погрешности подразделяются на инструментальные, методические и субъективные (личные).

*Инструментальная погрешность* измерения — погрешность из-за несовершенства средств измерений. Эта погрешность в свою очередь обычно подразделяется на основную погрешность средства измерений и дополнительную.

*Основная погрешность* средства измерений — это погрешность в условиях, принятых за нормальные, т. е. при нормальных значениях всех величин, влияющих на результат измерения (температуры, влажности, напряжения питания и т. п.). Дополнительная погрешность возникает при отличии значений влияющих величин от нормальных. Обычно различают отдельные составляющие дополнительной погрешности, например температурную погрешность, погрешность из-за изменения напряжения питания и т. п.

*Методическая погрешность* — погрешность измерения, происходящая от несовершенства метода измерений. Эта погрешность может возникать из-за принципиальных недостатков используемого метода, из-за неполноты знаний о происходящих при измерении процессах, из-за неточности применяемых расчетных формул. Если предел допускаемой инструментальной погрешности средств измерений нормируется соответствующими документами, то методическая погрешность может и должна быть оценена только самим экспериментатором с учетом конкретных условий эксперимента, что во многих случаях представляет собой достаточно сложную задачу.

*Субъективная, или личная, погрешность* обусловлена индивидуальными особенностями лица, выполняющего измерения. Примерами таких погрешностей являются погрешности из-за неправильного отсчитывания десятых долей деления шкалы прибора, асимметричной установки штриха

оптического индикатора между двумя рисками, запаздывания реакции человека на сигнал (например, при нажатии головки секундомера в процессе поверки электрического счетчика). Автоматизация средств измерений и совершенствование конструкций отсчетных устройств и органов регулировки и управления привели к тому, что субъективные погрешности обычно незначительны, например, в цифровых приборах они практически отсутствуют.

Другая классификация погрешностей строится по такому признаку, как характер изменения погрешности при повторных измерениях. По этому признаку погрешности измерений делятся на систематические и случайные. *Систематическая погрешность* измерения — составляющая погрешности измерения, остающаяся постоянной или закономерно изменяющаяся при повторных измерениях одной и той же величины. В соответствии с этим определением систематические погрешности разделяются на постоянные и переменные. Переменные в свою очередь могут быть прогрессирующими, периодическими и изменяющимися по сложному закону.

*Постоянными систематическими погрешностями* называются такие, которые остаются неизменными в течение всей серии данных измерений, например погрешность из-за неточной подгонки образцовой меры, погрешность из-за неточной установки указателя прибора на нуль и т. п.

*Переменные систематические погрешности* изменяются в процессе измерений. Если при измерениях погрешность монотонно убывает или возрастает, то она называется *прогрессирующей*. Так, например, монотонно меняется погрешность из-за разряда батареи или аккумулятора, если результат измерений зависит от напряжения питания. *Периодическая систематическая погрешность* — погрешность, значение которой является периодической функцией времени. Ее примером может являться погрешность, вызванная суточными изменениями напряжения питания электрической сети. Систематическая погрешность может изменяться и по некоторому сложному закону. Таковы, например, погрешности, вызванные неточностью нанесения шкалы прибора, погрешность электрического счетчика при различном значении нагрузки, погрешность, вызванная изменениями температуры окружающей среды, и др.

Очевидно, что закономерный характер систематической погрешности открывает возможности ее уменьшения. При этом следует иметь в виду, что сложную задачу может представлять собой уже обнаружение систематических погреш-

ностей. Экспериментатор не всегда даже подозревает о существовании той или иной систематической погрешности.

Для исключения (компенсации) постоянной систематической погрешности наибольшее распространение в практике получили следующие методы: введения поправок, замещения и компенсации погрешности по знаку.

Введение поправок — наиболее широко используемый метод.

Ввести поправку — это значит прибавить ее к результату измерения. Очевидно, что для компенсации систематической погрешности поправка должна быть по абсолютному значению ей равна, а по знаку — противоположна.

Метод замещения представляет собой разновидность метода сравнения, когда сравнение осуществляется путем замены измеряемой величины известной величиной (образцовой) и так, что при этом в состоянии и действии всех используемых средств измерений не происходит никаких измерений. В этом случае значение измеряемой величины равно известному значению меры, а средства измерения используются фактически для их сравнения.

Метод компенсации погрешности по знаку предусматривает измерение с двумя наблюдениями, выполняемыми так, чтобы постоянная систематическая погрешность в результат каждого из них входила с разными знаками. Результат измерения находится как среднее результатов этих двух наблюдений. Так, например, если постоянное внешнее магнитное поле вызывает погрешность измерения, то проводят два наблюдения, изменяя положение измерительного прибора относительно внешнего поля на  $180^\circ$ .

Необходимо учитывать, что практически ни один из описанных методов не позволяет полностью исключить постоянную систематическую погрешность, а позволяет существенно ее уменьшить.

Уменьшение переменных систематических погрешностей, особенно меняющихся по сложному закону, во многих случаях практики сопряжено со значительными трудностями. Основные пути решения этой задачи будут кратко рассмотрены в конце данной главы.

*Случайная погрешность* измерения — составляющая погрешности измерения, изменяющаяся случайным образом при повторных измерениях одной и той же величины. Случайная погрешность не может быть исключена из результата измерения, но может быть уменьшена путем статистической обработки совокупности наблюдений.

Таким образом, погрешность результата измерения представляет собой сумму систематической и случайной составляющих. Поэтому погрешность результата измерений в общем случае следует рассматривать как случайную величину, математическое ожидание которой есть систематическая погрешность. Тогда центрированная случайная величина будет равна случайной погрешности.

Кроме систематических и случайных погрешностей, встречается также грубая погрешность измерения, которая существенно превышает ожидаемую при данных условиях погрешность.

Иногда грубую погрешность называют промахом. Источником грубой погрешности может быть неправильный отсчет показаний средств измерений или непредвиденное кратковременное воздействие какого-либо фактора, например резкое кратковременное изменение напряжения питающей сети. Грубые погрешности выявляются при статической обработке ряда наблюдений, и соответствующие результаты наблюдений должны быть исключены.

## **2.2. ПОГРЕШНОСТИ СРЕДСТВ ИЗМЕРЕНИЙ И ИХ НОРМИРОВАНИЕ**

Различные виды средств измерений выполняют разные функции, причем каждому из них приписываются некоторые номинальные характеристики. Действительные характеристики средств измерений не совпадают с номинальными, что и определяет их погрешности.

Погрешности средств измерений представляют в форме абсолютных, относительных или приведенных погрешностей.

Абсолютная погрешность меры равна разности между номинальным значением меры и истинным значением воспроизводимой ею величины.

Абсолютная погрешность измерительного прибора равна разности между показанием прибора и истинным значением измеряемой величины. Аналогично определяется погрешность ИИС при измерении той или иной физической величины.

Погрешность измерительного преобразователя находится либо по его входу, либо по выходу. Абсолютная погрешность измерительного преобразователя по выходу равна разности между истинным значением величины на выходе преобразователя, отображающей измеряемую величину, и значением величины на выходе, определяемым по истинному значению величины на входе с помощью номинальной функции



преобразования, приписанной преобразователю. Указанную погрешность можно представить в виде

$$\Delta_{\text{вых}} = y - f_{\text{ном}}(x), \quad (2.3)$$

где  $\Delta_{\text{вых}}$  — абсолютная погрешность ИП по выходу;  $x$  — истинное значение величины на входе ИП;  $f_{\text{ном}}(x)$  — номинальная функция преобразования ИП;  $y$  — истинное значение величины на выходе ИП.

Абсолютная погрешность измерительного преобразователя по входу определяется формулой

$$\Delta_{\text{вх}} = f_{\text{ном}}^{-1}(y) - x, \quad (2.4)$$

где  $f_{\text{ном}}^{-1}(y)$  — функция, обратная номинальной функции преобразования ИП.

Чтобы можно было сравнить по точности измерительные приборы с разными пределами измерений, введено понятие приведенной погрешности измерительного прибора, под которой понимают отношение абсолютной погрешности прибора к нормирующему значению:

$$\gamma = \Delta/x_{\text{нм}}. \quad (2.5)$$

Приведенную погрешность обычно выражают в процентах.

Нормирующее значение  $x_{\text{нм}}$  принимается равным:

большему из пределов измерений, если нулевая отметка расположена на краю или вне диапазона измерения;

сумме модулей пределов измерения, если нулевая отметка расположена внутри диапазона измерения;

длине шкалы или ее части, соответствующей диапазону измерения, если шкала существенно неравномерна (например, у омметра);

номинальному значению измеряемой величины, если таковое установлено (например, у частотомера с диапазоном измерения 45—55 Гц номинальное значение 50 Гц);

модулю разности пределов измерений, если принята шкала с условным нулем (например, для температуры).

Как отмечалось в § 2.1, погрешность средств измерений подразделяют на основную (при нормальных условиях использования) и дополнительные (при отклонении условий от нормальных).

Так же, как и погрешности измерений, погрешности средств измерений делятся на систематические и случайные.

При анализе погрешностей средств измерений и выборе способов их уменьшения весьма важным является разделение погрешностей по их зависимости от значения измеряемой (преобразуемой) величины. По этому признаку погрешности делятся на аддитивные и мультипликативные.

*Аддитивная погрешность* (абсолютная) не зависит от значения измеряемой величины, а *мультипликативная* — ему пропорциональна. Соответственно относительная аддитивная погрешность обратно пропорциональна значению измеряемой величины, а относительная мультипликативная — от него не зависит. Аддитивную погрешность иногда называют погрешностью нуля, а мультипликативную — погрешностью чувствительности. Реально погрешность средства измерений включает в себя обе указанные составляющие.

Кроме того, номинальная функция преобразования средства измерений — это в большинстве случаев более простая функция (обычно линейная), чем градуировочная характеристика. Их различие вызывает погрешность (погрешность нелинейности), которая в общем случае является некоторой произвольной функцией значения измеряемой величины.

Средства измерений могут использоваться в статическом или динамическом режиме работы. В статическом режиме измеряемая величина не изменяется во времени, а отсчет выполняется тогда, когда практически окончены переходные процессы, вызванные подключением измеряемой величины ко входу средства измерений. В динамическом режиме измеряемая величина изменяется во времени. В соответствии с этим различают статическую погрешность средства измерений и погрешность средства измерений в динамическом режиме.

Очевидно, что погрешность средства измерений в динамическом режиме включает в себя статическую погрешность и погрешность, обусловленную инерционностью средства измерений. Последняя погрешность носит название динамической погрешности средства измерений и определяется как разность между погрешностью средства измерений в динамическом режиме и его статической погрешностью, соответствующей значению величины в данный момент времени.

При использовании средств измерений на практике их метрологические характеристики должны быть известны. Основные параметры, такие как предел измерения, параметры номинальной функции преобразования, цена деления шкалы и т. п., указываются в технической документации на

средства измерений, а наиболее важные из них наносятся на сами средства измерений. В то же время отклонения параметров средств измерений от их номинальных значений, вызывающие погрешность измерений, не могут быть указаны однозначно, поэтому для них должны быть установлены предельно допускаемые значения. Нормирование метрологических характеристик средств измерений и заключается в установлении границ для отклонений реальных значений параметров средств измерений от их номинальных значений. Указанное нормирование является гарантией взаимозаменяемости средств измерений.

К числу важнейших метрологических характеристик средств измерений относится погрешность. Нормирование погрешностей средств измерений необходимо для оценивания погрешности измерений и заключается в установлении предела допускаемой погрешности, под которым понимается наибольшая (без учета знака) погрешность средства измерений, при которой оно может быть признано годным и допущено к применению.

В основе подхода к нормированию погрешностей средств измерений лежат следующие положения [19]:

1) в качестве норм указывают пределы допускаемых погрешностей, включающие в себя и систематические, и случайные составляющие;

2) порознь нормируют все свойства средств измерений, влияющие на их точность: отдельно нормируют основную погрешность, по отдельности — все дополнительные погрешности и другие свойства, влияющие на точность измерений, выполняемых с помощью данных средств измерений.

Таким образом, при нормировании погрешностей средств измерений определяют пределы допускаемых основной и всех дополнительных погрешностей, а также нормальные условия и допускаемые отклонения от нормальных значений для всех влияющих величин.

В целях ограничения номенклатуры выпускаемых средств измерений и упорядочения требований к ним стандарт устанавливает ряды пределов допускаемых погрешностей. Этой же цели служит установление классов точности средств измерений.

Класс точности — это обобщенная характеристика средства измерений, определяемая пределами допускаемых основной и дополнительных погрешностей, а также другими свойствами средств измерений, влияющими на точность.

Способы нормирования метрологических характеристик, общие для всех видов средств измерений, содержатся в ГОСТ 8.401—80.

Пределы допускаемых основной и дополнительных погрешностей выражают в форме приведенных, относительных или абсолютных погрешностей в зависимости от характера изменения границ абсолютных погрешностей в пределах диапазона измерений, а также условий применения и назначения средств измерений.

Пределы допускаемых погрешностей выражают в форме:

приведенных погрешностей, если указанные границы можно считать практически неизменными. Например, пределы допускаемых погрешностей показывающих амперметров выражают в форме приведенных погрешностей, так как границы их погрешностей практически неизменны в пределах диапазона измерений;

относительных погрешностей, если указанные границы нельзя полагать постоянными;

абсолютных погрешностей, если погрешность результатов измерений в данной области измерений принято выражать в единицах измеряемой величины или в делениях шкалы. Например, пределы допускаемых погрешностей массы (длины) выражают в форме абсолютных погрешностей.

В зависимости от характера изменения границ погрешности в пределах диапазона измерений пределы допускаемой абсолютной основной погрешности устанавливают по формуле

$$\Delta_d = \pm a \quad (2.6)$$

или

$$\Delta_d = \pm (a + bx), \quad (2.7)$$

где  $x$  — значение измеряемой величины на входе (выходе) средств измерений или число делений, отсчитанных по шкале;  $a$  и  $b$  — положительные числа, не зависящие от  $x$ .

Пределы допускаемой приведенной основной погрешности, %, устанавливают по формуле

$$\gamma_d = \Delta_d \cdot 100/x_{\text{нм}} = \pm p, \quad (2.8)$$

где  $\Delta_d$  — пределы допускаемой абсолютной погрешности, устанавливаемые в соответствии с (2.6);  $x_{\text{нм}}$  — нормирующее значение;  $p$  — отвлеченное положительное число.

Пределы допускаемой относительной основной погрешности  $\delta$ , %, устанавливают по формуле

$$\delta_d = \Delta_d \cdot 100/x = \pm q, \quad (2.9)$$

если  $\Delta_d$  установлено в соответствии с (2.6), или по формуле

$$\delta_d = \frac{\Delta_d}{x} 100 \% = \pm \left[ c + d \left( \frac{x_k}{x} - 1 \right) \right], \quad (2.10)$$

если  $\Delta_d$  — установлено в соответствии с (2.7). Здесь  $x_k$  — больший (по модулю) из пределов измерений, а  $c$  и  $d$  — положительные числа.

Из (2.10) следует, что при  $x = x_k$  предел допускаемой относительной погрешности имеет минимальное значение, равное  $\pm c$ .

Положительные числа  $p$ ,  $q$ ,  $c$ ,  $d$  в (2.8) — (2.10) выбираются из следующего ряда:  $1 \cdot 10^n$ ;  $1,5 \cdot 10^n$ ;  $2 \cdot 10^n$ ;  $2,5 \cdot 10^n$ ;  $4 \cdot 10^n$ ;  $5 \cdot 10^n$ ;  $6 \cdot 10^n$  ( $n = 1, 0, -1, -2$  и т. д.).

В обоснованных случаях пределы допускаемой основной погрешности устанавливают по более сложным формулам или в виде графика либо таблицы.

В зависимости от способа нормирования основной погрешности используются различные обозначения классов точности.

Если нормируется приведенная или относительная погрешность в соответствии с (2.9), то класс точности обозначается одним числом, равным пределу допускаемой погрешности, выраженному в процентах, т. е.  $p$  или  $q$ .

Для средств измерений, пределы допускаемой основной погрешности которых выражены в форме относительных погрешностей в соответствии с (2.10), классы точности обозначают числами  $c$  и  $d$ , разделяя их косой чертой.

В случае нормирования абсолютной погрешности классы точности обозначают прописными буквами латинского алфавита или римскими цифрами. При этом классам точности, которым соответствуют меньшие пределы допускаемых погрешностей, соответствуют буквы, находящиеся ближе к началу алфавита, или цифры, означающие меньшие числа.

Примеры обозначения классов точности средств измерений приведены в табл. 2.1.

Пределы всех дополнительных погрешностей и другие свойства средств измерений, влияющие на точность результатов измерений, также связаны с их классом точности.

Таблица 2.1

Форма выражения погрешности	Номер формулы, по которой определяются пределы допускаемой основной погрешности	Пределы допускаемой основной погрешности	Обозначение класса точности	
			в документации	на средствах измерения
Приведенная $\gamma_d$	(2.8): если нормирующее значение выражено в единицах величины на входе (выходе) средств измерений;	$\pm 1,5$	Класс точности 1,5	1,5
	если нормирующее значение принято равным длине шкалы или ее части	$\pm 0,5$	Класс точности 0,5	0,5 ✓
Относительная $\delta_d$	(2.9)	$\pm 0,5$	Класс точности 0,5	<b>0,5</b>
	(2.10)	$\pm [0,02 + 0,01 \times \frac{ x_k }{ x  - 1}]$	Класс точности 0,02/0,01	0,02/0,01
Абсолютная $\Delta_d$	(2.6) или (2.7)		Класс точности М	М

Эта связь устанавливается частными стандартами на отдельные виды средств измерений. При использовании средств измерений следует учитывать, что фактически предел допускаемой дополнительной погрешности определяется не только нормой на соответствующую погрешность средства измерений, но и значением влияющей величины при измерении.

Наиболее общие вопросы нормирования метрологических характеристик средств измерений рассмотрены в ГОСТ 8.009—84 «ГСИ. Нормируемые метрологические характеристики средств измерений». В стандарте дано определение метрологических характеристик средств измерений, приведены комплексы характеристик, рекомендуемые для нормирования, и сформулированы общие положения по нормированию и определению метрологических характеристик. Указанный стандарт предусматривает возможность

нормирования или погрешности средств измерений или ее составляющих: систематической и случайной.

Общие требования к нормируемым метрологическим характеристикам средств измерений электрических и магнитных величин приведены в ГОСТ 22261—82.

Необходимо нормировать не только статические, но и динамические характеристики средств измерений в том случае, когда они оказывают влияние на точность измерений. При этом задачи нормирования и общий подход к их решению остаются теми же, что и при нормировании погрешностей средств измерений. Однако установление по аналогии со статическими погрешностями пределов допускаемых динамических погрешностей возможно только в том случае, когда входной сигнал всегда имеет одну и ту же форму. Если форма входного сигнала может существенно изменяться, то необходимо нормировать не динамическую погрешность, зависящую от формы входного сигнала, а те или иные динамические характеристики средства измерений: коэффициенты дифференциального уравнения, параметры передаточной функции, частотные характеристики, импульсную или переходную характеристики. Эта задача решается относительно просто, если средство измерений описывается линейным дифференциальным уравнением первого или второго порядка. Для дифференциального уравнения первого порядка достаточно нормировать один параметр — постоянную времени, а для дифференциального уравнения второго порядка два параметра — собственную частоту и степень ускорения.

В том случае, когда средство измерения описывается дифференциальным уравнением более высоких порядков, нормирование динамических характеристик представляет собой достаточно сложную задачу. При этом обычно ограничиваются нормированием только отдельных показателей, характеризующих динамические свойства средства измерений, например полосы пропускаемых частот сигнала или времени установления выходной величины. Очевидно, что при таком подходе уже невозможно оценить динамическую погрешность средства измерений при конкретной форме входного сигнала.

Основные положения по нормированию и определению динамических характеристик линейных аналоговых средств измерений регламентируются ГОСТ 8.256—77.

Нормирование динамических характеристик средств измерений, описываемых нелинейными дифференциальными

уравнениями, представляет собой значительно более сложную задачу, которая в каждом конкретном случае решается с учетом характера нелинейности и формы входного сигнала.

### 2.3. ПОСТАНОВКА ЗАДАЧИ ОБРАБОТКИ РЕЗУЛЬТАТОВ ИЗМЕРЕНИЙ

Измерения являются средством получения информации о тех или иных свойствах реальных физических объектов, о закономерностях протекающих процессов и т. п. Разнообразие задач, решаемых с помощью измерений, определяет разнообразие видов обработки результатов измерений. Так как все измерения сопровождаются случайными погрешностями, то обработка результатов измерений всегда включает в себя операции над случайными величинами или случайными процессами, выполняемые на основе методов теории вероятностей и математической статистики.

Рассмотрим простейшие примеры, приводящие к необходимости обработки результатов измерений.

**Пример 1.** Предположим, что производятся прямые измерения некоторой физической величины, истинное значение которой равно  $a$ . Если выполнено единственное измерение, результат которого равен  $x$ , то задача обработки не возникает. Экспериментатор может только оценить предельно допускаемую погрешность на основе норм на метрологические характеристики используемых средств измерений. Предположим теперь, что в тех же условиях выполнены  $n$  аналогичных измерений, результаты которых равны  $x_1, x_2, \dots, x_n$ .

Разность  $\Delta_i = x_i - a$  представляет собой погрешность  $i$ -го измерения и является случайной величиной. Очевидно, что первая задача экспериментатора состоит в нахождении

оценки  $\hat{a}$  измеряемой величины  $a$ . Эта оценка может быть получена только путем выполнения математических операций над результатами  $x_1, x_2, \dots, x_n$  и, следовательно, является случайной величиной, которая должна в некотором смысле наилучшим образом приближаться к значению измеряемой величины. Таким образом, прежде чем получить формулу для вычисления оценки  $\hat{a}$ , необходимо сформулировать критерий, характеризующий качество той или иной оценки.

Дополнительная измерительная информация, полученная путем проведения  $n$  измерений, дает возможность бо-



лее точно оценить значение измеряемой величины, оценить параметры закона распределения случайной погрешности, проверить некоторые предположения (гипотезы) относительно этих величин.

**Пример 2.** Производятся совместные измерения температуры  $t$  терморезистора и его сопротивления  $R_t$  при этой температуре с целью установить зависимость  $R_t = R(t)$ . Предположим, что априори известен линейный характер этой зависимости, т. е.

$$R_t = R_{t_0} [1 + \alpha (t - t_0)], \quad (2.11)$$

где  $R_{t_0}$  — сопротивление терморезистора при температуре  $t_0$ ;  $\alpha$  — температурный коэффициент сопротивления.

Для решения поставленной задачи необходимо проведение минимум двух опытов при температурах  $t_1$  и  $t_2$ , результаты которых можно представить в виде следующей системы уравнений:

$$\left. \begin{aligned} R_{t_1} &= R_{t_0} [1 + \alpha (t_1 - t_0)]; \\ R_{t_2} &= R_{t_0} [1 + \alpha (t_2 - t_0)]. \end{aligned} \right\} \quad (2.12)$$

В результате решения системы (2.12) находим оценки параметров  $R_{t_0}$  и  $\alpha$ . Очевидно, что, кроме решения указанной системы уравнений, никакие другие задачи, связанные с обработкой результатов измерений, в данном случае не возникают. Положение существенно меняется, если, кроме двух описанных выше измерений, выполняются еще дополнительные измерения при других значениях температуры. Пусть проведено  $n$  опытов при разных температурах, результаты которых запишем в виде системы  $n$  уравнений:

$$\left. \begin{aligned} R_{t_1} &= R_{t_0} [1 + \alpha (t_1 - t_0)]; \\ R_{t_2} &= R_{t_0} [1 + \alpha (t_2 - t_0)]; \\ R_{t_3} &= R_{t_0} [1 + \alpha (t_3 - t_0)]; \\ &\dots \dots \dots \\ R_{t_n} &= R_{t_0} [1 + \alpha (t_n - t_0)]. \end{aligned} \right\} \quad (2.13)$$

Так как результаты измерений являются случайными величинами, то система уравнений (2.13) является несовместной, т. е. нет таких значений параметров  $R_{t_0}$  и  $\alpha$ , которые удовлетворяли бы всем уравнениям системы. Поэтому и в данном случае экспериментатор должен найти та-

кие оценки  $\hat{R}_{t_0}$  и  $\hat{\alpha}$  искомых параметров, которые в некотором смысле наилучшим образом приближали бы полученную линейную функцию ко всей совокупности экспериментальных данных.

Как и в предыдущем примере, получение путем проведения дополнительных опытов измерительной информации позволяет повысить точность оценок искомых параметров линейной зависимости, оценить уровень погрешности измерений и погрешностей полученных оценок параметров, проверить те или иные гипотезы и т. п.

Перечисленные выше задачи не исчерпывают всего многообразия задач, связанных с обработкой результатов измерений, но являются наиболее распространенными и поэтому будут рассмотрены в следующих параграфах.

Чтобы оценка  $\hat{a}$  некоторой измеряемой величины (параметра)  $a$  была в каком-то смысле «доброкачественной», она должна удовлетворять некоторым логически обоснованным требованиям: оценка должна быть состоятельной, несмещенной и эффективной.

Оценка называется состоятельной, если при увеличении числа опытов  $n$  оценка  $\hat{a}$  приближается к истинному значению  $a$ .

Оценка называется несмещенной, если ее математическое ожидание  $M[\hat{a}]$  равно истинному значению  $a$ , т. е.  $M[\hat{a}] = a$ . Очевидно, что если оценка несмещенная, то она не содержит систематической погрешности.

Оценка называется эффективной, если по сравнению с другими она обладает наименьшей дисперсией, т. е.  $D[\hat{a}] = \min$ .

На практике не всегда получают оценки, удовлетворяющие всем перечисленным требованиям. Для упрощения вычислений иногда допускают некоторую смещенность оценки или используют, строго говоря, неэффективную оценку, однако во всех подобных случаях необходимо оценить степень ухудшения получаемой оценки по сравнению с наилучшей.

Получение «доброкачественных» оценок требует определения критерия их сравнения. Если такой критерий установлен, то наилучшей оценкой будет та, которая обеспечит экстремум этого критерия.

Наибольшее распространение в практике получили следующие методы нахождения «доброкачественных» оценок: наименьших квадратов и максимального правдоподобия.

В методе наименьших квадратов в качестве критерия сравнения оценок используется сумма квадратов отклонений результатов измерений от полученной оценки измеряемой величины (или функции). Так, в примере 1 наилучшая оценка  $\hat{a}$  должна удовлетворять условию

$$\sum_{i=1}^n (x_i - \hat{a})^2 = \min, \quad (2.14)$$

а в примере 2 условие оптимальности оценок  $\hat{R}_{t_0}$  и  $\hat{\alpha}$  примет вид

$$\sum_{i=1}^n \left\{ R_{t_i} - \hat{R}_{t_0} [1 + \hat{\alpha} (t_i - t_0)] \right\}^2 = \min. \quad (2.15)$$

В методе максимального правдоподобия в качестве критерия оптимальности оценок используется функция правдоподобия, представляющая собой плотность вероятности всей совокупности экспериментальных данных. Искомые оценки находятся из условия максимума функции правдоподобия, что фактически соответствует максимуму вероятности получения именно тех результатов измерений, которые были получены в опытах. Вычисление функции правдоподобия требует знания вида закона распределения погрешности измерений. В этом и состоит принципиальное отличие критерия максимального правдоподобия от критерия наименьших квадратов. Как будет показано в дальнейшем, оценки, получаемые этими методами, совпадают в том случае, когда погрешность имеет нормальный закон распределения. В следующих параграфах при рассмотрении конкретных задач, связанных с обработкой результатов измерений, будем использовать метод максимального правдоподобия.

Наряду с получением оценки искомой величины в виде одного числа (так называемое точечное оценивание) широкое распространение получило оценивание с помощью доверительных интервалов.

Доверительным интервалом называется интервал значений оцениваемой величины, который с заданной вероятностью (доверительной вероятностью) накрывает истин-

ное значение этой величины. Доверительный интервал является случайным интервалом: случайно его положение, определяемое точечной оценкой величины, случайна и длина интервала, вычисляемая, как правило, по опытным данным. Расчет доверительного интервала при заданной доверительной вероятности требует знания вида закона распределения погрешности измерений.

Прежде чем перейти к рассмотрению конкретных задач и методов обработки результатов измерений, необходимо обратить внимание на то, что окончательные результаты обработки измерительной информации, представляемые в виде чисел, должны быть округлены в соответствии с установленными правилами. В основе правил округления лежит утверждение, что числовое значение результата измерения должно быть представлено так, чтобы оно оканчивалось десятичным знаком того же разряда, что и значение его погрешности. Большее число разрядов нецелесообразно, так как неопределенность результата, определяемая погрешностью, при этом не уменьшится. При уменьшении числа разрядов неопределенность результата увеличится.

Сформулируем правила округления результатов:

1) погрешность в окончательном виде дается с одной или двумя значащими цифрами. Две значащие цифры в оценке погрешности приводятся только при особо точных измерениях, а также в том случае, когда цифра старшего разряда числа, выражающего погрешность, равна трем или меньше трех;

2) округлять результат измерения следует так, чтобы он оканчивался цифрой того же разряда, что и значение его погрешности. Если десятичная дробь в числовом значении результата измерения оканчивается нулями, то нули отбрасываются только до того разряда, который соответствует разряду числового значения погрешности;

3) если цифра старшего из отбрасываемых разрядов больше или равна 5, но за ней следуют отличные от нуля цифры, то последнюю оставляемую цифру увеличивают на единицу;

4) если цифра старшего из отбрасываемых разрядов меньше 5, то остающиеся цифры числа не изменяют. Лишь цифры в целых числах заменяют нулями, а в десятичных дробях отбрасывают;

5) если отбрасываемая цифра равна 5, а следующие за ней цифры неизвестны или нули, то последнюю сохраня-

ему цифру числа не изменяют, если она четная, и увеличивают на единицу, если она нечетная.

Изложенные правила применяют только при округлении окончательных результатов. Чтобы в процессе их вычислений не происходила ощутимая потеря точности, все вычисления выполняют с большим числом разрядов.

## 2.4. ОБРАБОТКА РЕЗУЛЬТАТОВ ПРЯМЫХ ИЗМЕРЕНИЙ

Предположим, что истинное значение измеряемой величины равно  $a$  и выполнено  $n$  аналогичных измерений, результаты которых равны  $x_1, x_2, \dots, x_n$ . Каждый из результатов  $x_i$ , подлежащих совместной обработке для получения результата измерения, называют результатом наблюдения.

Результатом измерения является оценка  $\bar{a}$  значения измеряемой величины, вычисленная на основании всей совокупности результатов наблюдений  $x_1, x_2, \dots, x_n$ . Разность  $\Delta_i = x_i - a$  есть погрешность  $i$ -го наблюдения. Относительно этой погрешности сделаем следующие допущения:

- 1) погрешность  $\Delta_i$  является случайной величиной с нормальным законом распределения;
- 2) математическое ожидание погрешности  $M[\Delta_i] = 0$ , т. е. отсутствует систематическая погрешность;
- 3) погрешность  $\Delta_i$  имеет дисперсию  $\sigma^2$ , одинаковую для всех измерений, т. е. измерения равноточные;
- 4) погрешности отдельных наблюдений независимы.

Допущение о нормальности закона распределения погрешности основано на том, что случайная погрешность обычно вызывается целым рядом различных причин, а следовательно, какие бы законы распределения ни имели отдельные ее составляющие, при одинаковом порядке их малости закон распределения результирующей погрешности будет близок к нормальному.

Тогда плотность распределения любого результата  $x_i$  запишется в виде

$$f(x_i, a) = e^{-(x_i - a)^2 / 2\sigma^2} / \sqrt{2\pi} \sigma. \quad (2.16)$$

Так как результаты отдельных наблюдений независимы, то плотность распределения системы случайных величин  $x_1, x_2, \dots, x_n$

$$f(x_1, x_2, \dots, x_n, a) = \prod_{i=1}^n f(x_i, a). \quad (2.17)$$

Плотность распределения (2.17) системы случайных величин и представляет собой функцию правдоподобия, которую обозначим

$$L(x_1, x_2, \dots, x_n, a) = \prod_{i=1}^n f(x_i, a) = \\ = (2\pi)^{-\frac{n}{2}} \sigma^{-n} \exp \left[ -\frac{1}{2\sigma^2} \sum_{i=1}^n (x_i - a)^2 \right]. \quad (2.18)$$

Используя метод максимального правдоподобия, найдем оценку  $\hat{a}$  таким образом, чтобы при  $a = \hat{a}$  достигалось

$$L(x_1, x_2, \dots, x_n, \hat{a}) = \max. \quad (2.19)$$

Из (2.18) следует, что для выполнения (2.19) необходимо, чтобы

$$\sum_{i=1}^n (x_i - \hat{a})^2 = \min. \quad (2.20)$$

Условие (2.20) является формулировкой критерия наименьших квадратов [см. (2.14)]. Отсюда следует, что при нормальном законе распределения случайной величины оценки по методам максимального правдоподобия и наименьших квадратов совпадают. Обозначим  $\sum_{i=1}^n (x_i - \hat{a})^2 = Q$ ,

тогда оценку  $\hat{a}$  найдем из условия

$$\partial Q / \partial \hat{a} = -2 \sum_{i=1}^n (x_i - \hat{a}) = 0. \quad (2.21)$$

Отсюда получим

$$\hat{a} = \frac{1}{n} \sum_{i=1}^n x_i = \bar{x}, \quad (2.22)$$

т.е. наилучшей оценкой является среднее значение  $\bar{x}$  результатов наблюдений.

Из (2.22) следует, что оценка  $\bar{x}$  является случайной величиной с нормальным законом распределения, причем

$$M[\bar{x}] = a, \sigma^2[\bar{x}] = \sigma^2/n. \quad (2.23)$$

Таким образом, оценка  $\bar{x}$  имеет более высокую точность, так как ее дисперсия в  $n$  раз меньше дисперсии отдельных измерений. Неопределенность результатов измерений характеризуется значением среднего квадратического отклонения погрешности, поэтому из (2.23) следует, что при усреднении результатов  $n$  наблюдений случайную погрешность уменьшают в  $\sqrt{n}$  раз.

Следует отметить, что эффект уменьшения случайной погрешности при усреднении результатов  $n$  наблюдений снижается при наличии корреляции между этими результатами. Дисперсия оценки  $\bar{x}$  для коррелированных результатов наблюдений

$$\sigma^2[\bar{x}] = \frac{\sigma^2}{n} \left( 1 + \frac{2}{n} \sum_{i < j}^n \rho_{ij} \right),$$

где  $\rho_{ij}$  — коэффициент корреляции между результатами  $i$ -го и  $j$ -го наблюдений.

Полученная оценка  $\hat{a} = \bar{x}$  является состоятельной, несмещенной и эффективной.

Для оценки неопределенности величины  $\hat{a}$  необходимо, используя те же экспериментальные данные, оценить значение дисперсии (или среднего квадратического отклонения) погрешности измерений. Для этого воспользуемся функцией правдоподобия (2.19), представив ее в виде

$$\begin{aligned} L(x_1, x_2, \dots, x_n, a, \sigma^2) &= \\ &= (2\pi)^{-\frac{n}{2}} (\sigma^2)^{-\frac{n}{2}} \exp \left[ -\frac{1}{2\sigma^2} \sum_{i=1}^n (x_i - a)^2 \right]. \end{aligned} \quad (2.24)$$

На основе метода максимального правдоподобия найдем оценку  $\sigma^2$  из условия

$$L(x_1, x_2, \dots, x_n, a, \sigma^2) = \max. \quad (2.25)$$

Для упрощения вычислений прологарифмируем (2.24):

$$\begin{aligned} \ln L(x_1, x_2, \dots, x_n, a, \sigma^2) &= -\frac{n}{2} \ln(2\pi) - \\ &- \frac{n}{2} \ln \sigma^2 - \frac{1}{2\sigma^2} \sum_{i=1}^n (x_i - a)^2. \end{aligned} \quad (2.26)$$

Так как логарифм является монотонной функцией, то значения  $\sigma^2$ , при которых функции (2.24) и (2.26) достигают экстремума, совпадают. Поэтому оценку дисперсии найдем из условия

$$\partial \ln L(x_1, x_2, \dots, x_n, a, \sigma^2) / \partial \sigma^2 = 0. \quad (2.27)$$

Продифференцировав (2.26) по  $\sigma^2$ , получим

$$-\frac{n}{2} \frac{1}{\sigma^2} + \frac{1}{2\sigma^4} \sum_{i=1}^n (x_i - a)^2 = 0. \quad (2.28)$$

Отсюда найдем оценку, которую обозначим  $\sigma_*^2$ :

$$\sigma_*^2 = \frac{1}{n} \sum_{i=1}^n (x_i - a)^2. \quad (2.29)$$

Так как истинное значение  $a$  неизвестно, то воспользуемся его оценкой  $\bar{x}$ , а соответствующую оценку дисперсии обозначим  $S^2$ :

$$S^2 = \frac{1}{n} \sum_{i=1}^n (x_i - \bar{x})^2. \quad (2.30)$$

Рассмотрим вопрос о смещенности полученной оценки  $S^2$ .

Предварительно преобразуем (2.30):

$$S^2 = \frac{1}{n} \sum_{i=1}^n x_i^2 - 2\bar{x} \frac{1}{n} \sum_{i=1}^n x_i + (\bar{x})^2 = \frac{1}{n} \sum_{i=1}^n x_i^2 - (\bar{x})^2. \quad (2.31)$$

Математическое ожидание оценки  $S^2$

$$\begin{aligned} M[S^2] &= M\left[\frac{1}{n} \sum_{i=1}^n x_i^2\right] - M[(\bar{x})^2] = \frac{1}{n} \sum_{i=1}^n M[x_i^2] - \\ &\quad - M[(\bar{x})^2] = \frac{1}{n} \sum_{i=1}^n (\sigma^2 + a^2) - \\ &\quad - \left(\frac{\sigma}{n} + a^2\right) = \sigma^2 \left(1 - \frac{1}{n}\right) = \sigma^2 \frac{n-1}{n}. \end{aligned} \quad (2.32)$$



Таким образом, оценка  $S^2$  является смещенной оценкой дисперсии  $\sigma^2$ , однако

$$\lim_{n \rightarrow \infty} M[S^2] = \sigma^2.$$

Такая оценка называется асимптотически несмещенной.

Из (2.32) следует, что для ликвидации смещенности оценки достаточно ввести поправочный множитель  $n/(n-1)$ . Полученную несмещенную оценку обозначим  $\hat{\sigma}^2$ :

$$\hat{\sigma}^2 = \frac{n}{n-1} S^2 = \frac{1}{n-1} \sum_{i=1}^n (x_i - \bar{x})^2. \quad (2.33)$$

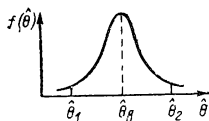


Рис. 2.1. Плотность распределения оценки  $\hat{\theta}$

Используя (2.31), можно записать другую формулу для расчета оценки  $\hat{\sigma}^2$ , равносильную (2.33), но более удобную для вычислений:

$$\hat{\sigma}^2 = \frac{n}{n-1} \left[ \frac{1}{n} \sum_{i=1}^n x_i^2 - (\bar{x})^2 \right]. \quad (2.34)$$

Полученные выше оценки значений измеряемой величины и дисперсии погрешности являются точечными оценками. Рассмотрим оценивание этих величин с помощью доверительных интервалов. Для этого сначала сформируем общий подход к интервальному оцениванию параметров.

Предположим, что необходимо получить доверительный интервал для некоторого параметра  $\theta$ , для которого вычислена точечная оценка  $\hat{\theta}_в$  и известна плотность распределения этой оценки  $f(\hat{\theta})$  (рис. 2.1).

Пусть задана доверительная вероятность  $P$ . Построить доверительный интервал — это значит найти его границы  $\hat{\theta}_1$  и  $\hat{\theta}_2$ , причем такие, что

$$\int_{\hat{\theta}_1}^{\hat{\theta}_2} f(\hat{\theta}) d\hat{\theta} = P. \quad (2.35)$$

Чтобы указанная задача имела единственное решение, сделаем следующие логически обоснованные допущения:

1) математическое ожидание  $\hat{\theta}$  равно вычисленной точечной оценке  $\hat{\theta}_B$ ;

2) вероятность того, что истинное значение  $\theta$  оцениваемого параметра лежит выше верхней границы  $\hat{\theta}_2$  или ниже нижней границы  $\hat{\theta}_1$  доверительного интервала, одинаковы и равны  $(1-P)/2$ .

Очевидно, что последнее условие приводит к тому, что при симметричном относительно математического ожидания законе распределения границы  $\hat{\theta}_1$  и  $\hat{\theta}_2$  также симметричны относительно  $\hat{\theta}_B$ .

Определим доверительный интервал для истинного значения  $a$  измеряемой величины. Границы этого интервала зависят не только от оценки  $\hat{a} = \bar{x}$  измеряемой величины, но и от оценки  $\hat{\sigma}$  среднего квадратического отклонения погрешности. Поэтому для построения доверительного интервала необходимо воспользоваться распределением случайной величины [8]

$$t_{n-1} = \frac{\bar{x} - a}{\frac{\hat{\sigma}}{S}} \sqrt{n-1} = \frac{\bar{x} - a}{\hat{\sigma}} \sqrt{n}. \quad (2.36)$$

При нормальном распределении погрешности величина  $t_{n-1}$  распределена по закону Стьюдента с  $n-1$  степенями свободы ( $t$ -распределение). Распределение Стьюдента зависит от числа опытов  $n$  и при  $n \rightarrow \infty$  асимптотически приближается к нормальному. В приложении (см. табл. П.1) приведены значения  $t_\alpha$  для величины  $t$ , имеющей распределение Стьюдента с  $k=n-1$  степенями свободы, определяемые из условия

$$\int_{t_\alpha}^{\infty} f_{n-1}(t) dt = \alpha, \quad (2.37)$$

где  $f_{n-1}(t)$  — плотность  $t$ -распределения. Полагая  $\alpha = (1-P)/2$  ( $P$  — доверительная вероятность) и зная  $k = n-1$ , по таблице находим границу  $t_\alpha$ .

Подставив в (2.36) граничные значения  $\pm t_\alpha$ , получим

границы доверительного интервала для измеряемой величины:

$$\bar{x} - t_{\alpha} S / \sqrt{n-1} < a < \bar{x} + t_{\alpha} S / \sqrt{n-1} \quad (2.38)$$

или

$$\bar{x} - t_{\alpha} \hat{\sigma} / \sqrt{n} < a < \bar{x} + t_{\alpha} \hat{\sigma} / \sqrt{n}. \quad (2.39)$$

Построим доверительный интервал для дисперсии  $\sigma^2$  случайной погрешности. Доказано, что при нормальном законе распределения случайной погрешности величина

$$u = nS^2/\sigma^2 = (n-1) \hat{\sigma}^2/\sigma^2 \quad (2.40)$$

распределена по закону  $\chi_{n-1}^2$  с  $n-1$  степенями свободы. В приложении (см. табл. П.2) приведены значения  $\chi_{\alpha}^2$  для величины  $u$ , имеющей  $\chi^2$ -распределение с  $k=n-1$  степенями свободы, определяемые из условия

$$\int_{\chi_{\alpha}^2}^{\infty} f_{n-1}(u) du = \alpha, \quad (2.41)$$

где  $f_{n-1}(u)$  — плотность  $\chi^2$ -распределения. Так как это распределение несимметрично, то по таблице необходимо найти значения верхней  $\chi_{\alpha_1}^2$  и нижней  $\chi_{\alpha_2}^2$  границ интервала, соответствующие вероятностям  $\alpha_1 = (1-P)/2$  и  $\alpha_2 = 1 - (1-P)/2$ , где  $P$  — доверительная вероятность.

Подставив в (2.40) вместо  $u$  найденные граничные значения  $\chi_{\alpha_1}^2$  и  $\chi_{\alpha_2}^2$ , получим границы доверительного интервала для дисперсии:

$$nS^2/\chi_{\alpha_1}^2 < \sigma^2 < nS^2/\chi_{\alpha_2}^2 \quad (2.42)$$

или

$$(n-1) \hat{\sigma}^2/\chi_{\alpha_1}^2 < \sigma^2 < (n-1) \hat{\sigma}^2/\chi_{\alpha_2}^2. \quad (2.43)$$

Рассмотрим пример обработки результатов прямых измерений.

**Пример.** Имеются результаты 13 измерений емкости конденсатора с номинальным значением 1000 пФ.

Предположим, что систематическая погрешность измерений пренебрежимо мала, а случайная распределена нормально.

$i$	1	2	3	4	5	6	7
$x_i$	1001,3	1001,0	1001,2	1001,1	1001,4	1001,1	1001,5

$i$	8	9	10	11	12	13	
$x_i$	1001,2	1001,3	1001,1	1000,8	1001,2	1001,0	

Точечная оценка значения емкости конденсатора

$$\bar{x} = \frac{1}{13} \sum_{i=1}^{13} x_i = 1001,169 \text{ пФ.}$$

Точечная несмещенная оценка дисперсии

$$\hat{\sigma}^2 = \frac{1}{13} \sum_{i=1}^{13} (x_i - \bar{x})^2 = 0,0340 \text{ пФ}^2.$$

Точечная оценка среднего квадратического отклонения

$$\hat{\sigma} = 0,184 \text{ пФ.}$$

Определим интервальные оценки для истинного значения емкости  $a$  и дисперсии  $\sigma^2$  при доверительной вероятности  $P=0,95$ .

По табл. П.1  $t$ -распределения для вероятности  $\alpha=(1-P)/2=0,005$  и числа степеней свободы  $k=n-1=12$  находим  $t_\alpha=2,179$ .

Доверительный интервал для  $a$  равен:

$$1001,169 - 2,179 \cdot 0,184 / \sqrt{13} < a < 1001,169 + 2,179 \cdot 0,184 / \sqrt{13}$$

или

$$1001,058 \text{ пФ} < a < 1001,280 \text{ пФ.}$$

Построим доверительный интервал для  $\sigma^2$ . Для этого по табл. П.2  $\chi^2$ -распределения для вероятностей

$$\alpha_1 = (1 - 0,95)/2 = 0,025 \text{ и } \alpha_2 = 1 - (1 - 0,95)/2 = 0,975$$

и числа степеней свободы  $k=n-1=12$  находим

$$\chi_{\alpha_1}^2 = 23,337; \quad \chi_{\alpha_2}^2 = 4,404.$$

Доверительный интервал для  $\sigma^2$  равен

$$12 \cdot 0,0340 / 23,337 < \sigma^2 < 12 \cdot 0,0340 / 4,404$$

или

$$0,0175 < \sigma^2 < 0,0926.$$

Соответственно доверительный интервал для  $\sigma$  равен

$$0,132 < \sigma < 0,304 \text{ пФ}.$$

Округлив вычисленные значения, получим: оценка  $\hat{a}$  емкости конденсатора равна 1001,2 пФ; с доверительной вероятностью  $P=0,95$  истинное значение емкости конденсатора лежит в пределах

$$1001,1 < a < 1001,3 \text{ пФ},$$

или в более компактной записи

$$a = (1001,2 \pm 0,1) \text{ пФ}.$$

Случайная погрешность измерений характеризуется оценкой среднего квадратического отклонения  $\hat{\sigma}=0,2$  пФ, а его истинное значение с вероятностью  $P=0,95$  лежит в пределах от 0,1 пФ до 0,3 пФ.

Полученные выше оценки значений измеряемой величины и дисперсии случайной погрешности оптимальны при нормальном распределении погрешности. Эти же формулы используют и в тех случаях, когда закон распределения погрешности близок к нормальному. В то же время в практике встречаются ситуации, когда закон распределения погрешности существенно отличается от нормального. Если этот закон известен, то, применив описанную методику, можно получить необходимые оценки, оптимальные по критерию максимального правдоподобия.

Однако чаще всего, если распределение существенно отличается от нормального, закон распределения с достаточной точностью установить не удастся. В этом случае точечные оценки обычно вычисляют по формулам (2.22), (2.30) с учетом того, что их эффективность несколько хуже эффективности оптимальных оценок.

Для грубой оценки снизу доверительной вероятности  $P$  при заданном симметричном доверительном интервале можно воспользоваться неравенством Чебышева

$$P \{ |\bar{x} - a| \geq f\sigma/\sqrt{n} \} \leq 1/f^2. \quad (2.44)$$

Тогда для истинного значения измеряемой величины можно построить доверительный интервал в виде

$$\bar{x} - \hat{f}\sigma/\sqrt{n} \leq a \leq \bar{x} + \hat{f}\sigma/\sqrt{n}, \quad (2.45)$$

где

$$f = 1/\sqrt{1 - P^2}.$$

При этом следует учитывать, что по (2.45) определяется верхняя граница для размера доверительного интервала.

## 2.5. ОБРАБОТКА РЕЗУЛЬТАТОВ КОСВЕННЫХ ИЗМЕРЕНИЙ

В результате косвенных измерений определяется значение физической величины, функционально связанной с другими физическими величинами, значения которых равны  $a_1, a_2, \dots, a_m$ :

$$z = F(a_1, a_2, \dots, a_m). \quad (2.46)$$

Пусть каждая из величин  $a_j$  ( $j=1, 2, \dots, m$ ) измерена с погрешностью  $\Delta_j$ . Необходимо оценить значение погрешности  $\Delta z$  результата косвенного измерения.

Рассматривая  $z$  как функцию  $m$  переменных  $a_j$ , запишем ее полный дифференциал:

$$dz = \frac{\partial F}{\partial a_1} da_1 + \frac{\partial F}{\partial a_2} da_2 + \dots + \frac{\partial F}{\partial a_m} da_m, \quad (2.47)$$

или

$$dz = \sum_{j=1}^m \frac{\partial F}{\partial a_j} da_j. \quad (2.48)$$

Положив, что погрешности измерений достаточно малы, заменим в (2.48) дифференциалы соответствующими приращениями:

$$\Delta z = \sum_{j=1}^m \frac{\partial F}{\partial a_j} \Delta_j. \quad (2.49)$$

Каждое слагаемое (в 2.49) вида  $(\partial F/\partial a_j)\Delta_j$  представляет собой частную погрешность результата косвенного измерения, вызванную погрешностью  $\Delta_j$  определения величины

$a_j$ . Частные производные  $\partial F/\partial a_j$  носят название коэффициентов влияния соответствующих погрешностей.

Формула (2.49) является приближенной, так как учитывает только линейную часть приращения функции, однако в большинстве практических случаев она обеспечивает удовлетворительную точность оценки погрешностей результатов косвенных измерений.

Если известны систематические погрешности  $\Delta_j$  результатов прямых измерений величин  $a_j$ , то по (2.49) вычисляется систематическая погрешность  $\Delta z$  результатов косвенных измерений. При этом если частные погрешности  $(\partial F/\partial a_j)\Delta_j$  имеют разные знаки, то происходит частичная компенсация систематических погрешностей.

Эта же формула может быть использована для вычисления предельной погрешности. Пусть заданы предельные значения погрешностей прямых измерений в виде  $\pm\Delta_{jmax}$  и требуется оценить предельную погрешность  $\pm\Delta z_{max}$  результата косвенного измерения. Тогда из (2.49) следует, что

$$\pm z_{max} = \pm \sum_{j=1}^m \left| \frac{\partial F}{\partial a_j} \right| \Delta_{jmax}. \quad (2.50)$$

Рассмотрим оценивание случайной погрешности результатов косвенных измерений. Пусть величины  $a_j$  измерены со случайными погрешностями  $\Delta_j$ , имеющими нулевые математические ожидания  $M[\Delta_j] = 0$  и дисперсии  $\sigma_j^2$ . Используя (2.49), запишем выражения для математического ожидания  $M[\Delta z]$  и дисперсии  $\sigma^2[\Delta z]$  погрешности  $\Delta z$ :

$$M[\Delta z] = \sum_{j=1}^m \frac{\partial F}{\partial a_j} M[\Delta_j] = 0; \quad (2.51)$$

$$\sigma^2[\Delta z] = \sum_{j=1}^m \left( \frac{\partial F}{\partial a_j} \right)^2 \sigma_j^2 + 2 \sum_{k < l} \rho_{kl} \left| \frac{\partial F}{\partial a_k} \frac{\partial F}{\partial a_l} \right| \sigma_k \sigma_l, \quad (2.52)$$

где  $\rho_{kl}$  — коэффициент корреляции погрешностей  $\Delta_k$  и  $\Delta_l$ .

Если погрешности  $\Delta_j$  некоррелированы, то

$$\sigma^2[\Delta z] = \sum_{j=1}^m \left( \frac{\partial F}{\partial a_j} \right)^2 \sigma_j^2. \quad (2.53)$$

Таким образом, для оценки результата  $\hat{z}$  косвенного измерения естественно применить формулу

$$\hat{z} = F(\hat{a}_1, \hat{a}_2, \dots, \hat{a}_m), \quad (2.54)$$

а для оценки систематических и случайных погрешностей соответственно (2.49) и (2.53).

Заметим, что в общем случае при нелинейной функции (2.46) коэффициенты влияния  $\partial F / \partial a_j$ , присутствующие в этих формулах, в свою очередь являются функциями значений величин  $a_j$ . Коэффициенты влияния обычно оцениваются путем подстановки в выражения частных производных оценок  $\hat{a}_j$ . Следовательно, вместо самих коэффициентов влияния получают лишь их оценки. Кроме того, иногда коэффициенты влияния определяют экспериментально. В том и другом случае они устанавливаются с некоторой погрешностью, что является еще одним источником погрешности при обработке результатов косвенных измерений. Однако в некоторых частных, но распространенных на практике случаях указанная погрешность определения коэффициентов влияния отсутствует. Рассмотрим различные ситуации.

1. Функция  $z = F(a_1, a_2, \dots, a_m)$  линейна. Пусть

$$z = \sum_{j=1}^m c_j a_j, \quad (2.55)$$

где  $c_j$  — известные коэффициенты. Тогда коэффициенты влияния

$$\partial F / \partial a_j = c_j, \quad (2.56)$$

а формулы (2.49) и (2.53) приобретают следующий вид:

$$\Delta z = \sum_{j=1}^m c_j \Delta_j; \quad (2.57)$$

$$\sigma^2[\Delta z] = \sum_{j=1}^m c_j^2 \sigma_j^2. \quad (2.58)$$

2. Функция  $z = F(a_1, a_2, \dots, a_m)$  логарифмируема. Пусть

$$z = a_1^{d_1} a_2^{d_2} \dots a_m^{d_m} = \prod_{j=1}^m a_j^{d_j}, \quad (2.59)$$

где  $d_j$  — известные числа, которые могут быть положительными или отрицательными, целыми или дробными.



Прологарифмируем, а затем продифференцируем (2.59):

$$\ln z = d_1 \ln a_1 + d_2 \ln a_2 + \dots + d_m \ln a_m = \sum_{j=1}^m d_j \ln a_j; \quad (2.60)$$

$$\frac{dz}{z} = d_1 \frac{da_1}{a_1} + d_2 \frac{da_2}{a_2} + \dots + d_m \frac{da_m}{a_m} = \sum_{j=1}^m d_j \frac{da_j}{a_j}. \quad (2.61)$$

Положив, что погрешности измерений малы, заменим в (2.61) дифференциалы соответствующими приращениями:

$$\delta_z = d_1 \delta_1 + d_2 \delta_2 + \dots + d_m \delta_m = \sum_{j=1}^m d_j \delta_j, \quad (2.62)$$

где  $\delta_z = \Delta z / z$ ;  $\delta_j = \Delta_j / a_j$  — относительные погрешности.

Дисперсия случайной относительной погрешности

$$\sigma^2[\delta_z] = \sum_{j=1}^m d_j^2 \sigma^2[\delta_j], \quad (2.63)$$

где  $\sigma^2[\delta_j]$  — дисперсии случайных относительных погрешностей прямых измерений значений величин  $a_j$ .

Как видно из полученных формул, в данном случае расчет погрешностей упрощается при переходе к оценкам относительных погрешностей измерений.

**Пример.** Мощность, поглощаемую в активном сопротивлении, определяют косвенно путем измерения сопротивления резистора и падения напряжения на нем с последующим вычислением по формуле  $P = U^2 / R$ . Предположим, что получены следующие результаты:  $\hat{U} = 10$  В,  $\hat{\sigma}[\delta_u] = 0,5\%$ ,  $\hat{R} = 100$  Ом,  $\hat{\sigma}[\delta_R] = 1\%$ . Тогда  $\hat{P} = \hat{U}^2 / \hat{R} = 10^2 / 100 = 1$  Вт, а  $\hat{\sigma}[\delta_P] = \sqrt{2^2 \cdot 0,5^2 + (-1)^2 \cdot 1^2} \% = 1,4\%$ .

## 2.6. ОБРАБОТКА РЕЗУЛЬТАТОВ СОВМЕСТНЫХ ИЗМЕРЕНИЙ

При совместных измерениях искомые значения величин находят решением системы уравнений, связывающей эти величины с непосредственно измеряемыми.

Предположим сначала, что искомые значения величин определяются в результате решения системы линейных уравнений:

[illegible]

где  $a_j$  ( $j=1, 2, \dots, m$ ) — искомые значения величин;  
 $y_i$  ( $i=1, 2, \dots, n$ ) — измеряемые значения величин;  
 $x_{ij}$  — известные значения величин.

Запишем систему уравнений (2.64) в виде

$$y_i = \sum_{j=1}^m a_j x_{ij} \quad (i = 1, 2, \dots, n). \quad (2.65)$$

Предположим, что уравнения (2.65) являются точными, но значения  $y_i$  получены с погрешностями. Пусть результаты измерений величин  $y_i$  равны  $l_i$ :

$$l_i = y_i + \Delta_i, \quad (2.66)$$

где  $\Delta_i$  — погрешность измерения величины  $y_i$ .

Тогда

$$l_i = \sum_{j=1}^m a_j x_{ij} + \Delta_i. \quad (2.67)$$

Очевидно, что при решении системы уравнений (2.65) вместо  $y_i$  будут использоваться измеренные значения  $l_i$ . В этом случае, если число измерений  $n$  больше числа неизвестных  $m$  ( $n > m$ ), система уравнений (2.65) не имеет решения, т. е. нет такого набора значений  $a_1, a_2, \dots, a_m$ , которые удовлетворяли бы всем  $n$  уравнениям системы. Поэтому уравнения (2.65) называются условными уравнениями.

Относительно погрешности  $\Delta_i$  сделаем следующие допущения:

1) погрешность  $\Delta_i$  является нормально распределенной случайной величиной с нулевым математическим ожиданием  $M[\Delta_i]=0$  и дисперсией  $\sigma^2$ , одинаковой во всех измерениях:

2) погрешности отдельных измерений независимы. Из (2.67) следует, что величина  $l_i$  будет иметь нормальное распределение с параметрами

$$M[l_i] = \sum_{j=1}^m a_j x_{ij}, \quad \sigma^2(l_i) = \sigma^2. \quad (2.68)$$

Запишем плотность распределения величины  $l_i$ :

$$f_i(l_i) = \frac{1}{\sqrt{2\pi}\sigma} \exp \left[ -\frac{1}{2\sigma^2} \left( l_i - \sum_{j=1}^m a_j x_{ij} \right)^2 \right]. \quad (2.69)$$

Тогда функция правдоподобия

$$\begin{aligned} L(l_1, l_2, \dots, l_n) &= \prod_{i=1}^n f_i(l_i) = \\ &= (2\pi)^{-n/2} \sigma^{-n} \exp \left[ -\frac{1}{2\sigma^2} \sum_{i=1}^n \left( l_i - \sum_{j=1}^m a_j x_{ij} \right)^2 \right]. \end{aligned} \quad (2.70)$$

Найдем оценки  $\hat{a}_1, \hat{a}_2, \dots, \hat{a}_m$  из условия максимума функции правдоподобия. Прологарифмируем (2.70):

$$\begin{aligned} \ln L(l_1, l_2, \dots, l_n) &= -\frac{n}{2} \ln(2\pi) - n \ln \sigma - \\ &- \frac{1}{2\sigma^2} \sum_{i=1}^n \left( l_i - \sum_{j=1}^m a_j x_{ij} \right)^2. \end{aligned} \quad (2.71)$$

Условием максимума функции (2.71) является

$$\sum_{i=1}^n \left( l_i - \sum_{j=1}^m a_j x_{ij} \right)^2 = \min, \quad (2.72)$$

или

$$\sum_{i=1}^n \Delta_i^2 = \min. \quad (2.73)$$

Таким образом, условие (2.72) является требованием метода наименьших квадратов, а следовательно, в данном случае при нормальном распределении случайной погрешности оценки метода максимального правдоподобия и метода наименьших квадратов совпадают.

Для нахождения значений оценок  $\hat{a}_j$ , удовлетворяющих (2.72), необходимо добиться равенства нулю всех частных производных от этой функции по  $a_j$ . Отсюда получим:

$$\sum_{i=1}^n \left( l_i - \sum_{j=1}^m a_j x_{ij} \right) x_{ij} = 0 \quad (j = 1, 2, \dots, m). \quad (2.74)$$

Система уравнений (2.74) также является линейной относительно величин  $a_j$  и называется системой нормальных уравнений. Число нормальных уравнений системы (2.74) всегда равно числу неизвестных величин, оценки которых находятся в результате решения этой системы.

[illegible]

В (2.75)  $x_j$  и  $l$  рассматриваются как  $n$ -мерные векторы с компонентами  $x_{1j}, x_{2j}, \dots, x_{nj}$  и  $l_1, l_2, \dots, l_n$  соответственно.

$$\begin{aligned} [x_r x_s] &= x_{1r} x_{1s} + x_{2r} x_{2s} + \dots + x_{nr} x_{ns}; \\ [x_j l] &= x_{1j} l_1 + x_{2j} l_2 + \dots + x_{nj} l_n. \end{aligned} \quad (2.76)$$

Тогда искомые оценки величин  $a_j$  могут быть вычислены из (2.75) методом определителей

$$\hat{a}_i = D_i/D, \quad (2.77)$$

где

$$D = \begin{bmatrix} [x_1 x_1] & \dots [x_1 x_j] & \dots [x_1 x_m] \\ \vdots & \vdots & \vdots \\ [x_m x_1] & \dots [x_m x_j] & \dots [x_m x_m] \end{bmatrix},$$

$$D_j = \begin{bmatrix} [x_1 x_1] & \dots [x_1 l] & \dots [x_1 x_m] \\ \vdots & \vdots & \vdots \\ [x_m x_1] & \dots [x_m l] & \dots [x_m x_m] \end{bmatrix}.$$

Определитель  $D_j$  получен заменой в определителе  $D$   $j$ -го столбца столбцом свободных членов системы нормальных уравнений.

Используя те же экспериментальные данные, найдем оценку дисперсии случайной погрешности. Для этого воспользуемся формулой логарифма функции правдоподобия:

$$\ln L(l_1, l_2, \dots, l_n) = -\frac{n}{2} \ln(2\pi) - \frac{n}{2} \ln \sigma^2 - \\ - \frac{1}{2\sigma^2} \sum_{i=1}^n \left( l_i - \sum_{j=1}^m a_j x_{ij} \right)^2. \quad (2.78)$$

Найдем оценку дисперсии  $\sigma^2$ , обеспечивающую максимум (2.78):

$$\frac{\partial \ln L}{\partial \sigma^2} = -\frac{n}{2\sigma^2} + \frac{1}{2\sigma^4} \sum_{i=1}^n \left( l_i - \sum_{j=1}^m a_j x_{ij} \right)^2 = 0. \quad (2.79)$$

Подставив вместо  $a_j$  оценки  $\hat{a}_j$ , получим:

$$S^2 = \frac{1}{n} \sum_{i=1}^n \left( l_i - \sum_{j=1}^m \hat{a}_j x_{ij} \right)^2. \quad (2.80)$$

Можно доказать, что оценка  $S^2$  является смещенной, а для устранения этой смещенности необходимо перейти к оценке

$$\hat{\sigma}^2 = \frac{n}{n-m} S^2 = \frac{1}{n-m} \sum_{i=1}^n \left( l_i - \sum_{j=1}^m \hat{a}_j x_{ij} \right)^2. \quad (2.81)$$

Представляют интерес также оценки погрешностей найденных значений величин  $\hat{a}_j$ . Оценки дисперсий значений  $\hat{a}_j$  можно вычислить, пользуясь формулой

$$\hat{\sigma}_{\hat{a}_j}^2 = D_j \hat{\sigma}^2 / D, \quad (2.82)$$

где  $D$  — главный определитель системы нормальных уравнений;  $D_{jj}$  — алгебраическое дополнение определителя  $D$ , получаемое путем удаления из определителя  $j$ -й строки и  $j$ -го столбца;  $\hat{\sigma}^2$  — оценка дисперсии погрешности прямых измерений.

Более сложным является случай, когда условные уравнения нелинейны. Для решения такой задачи осуществляют искусственную линейризацию условных уравнений. При этом предполагается, что несовместность условных уравнений невелика, т. е. малы погрешности измерений.

Предположим, что задана система нелинейных условных уравнений

$$l_i = f_i(a_1, a_2, \dots, a_m) + \Delta_i \quad (i = 1, 2, \dots, n), \quad (2.83)$$

причем  $n > m$ .

Возьмем из этой системы столько уравнений, сколько неизвестных, т. е.  $m$  уравнений. Решив эту избыточную систему  $m$  уравнений, найдем начальные оценки неизвестных  $\hat{a}_{1_0}, \hat{a}_{2_0}, \hat{a}_{m_0}$ . Уточним полученные оценки, используя все  $n$  уравнений системы. Для этого найдем первые поправки к начальным оценкам.

Пусть

$$\hat{a}_{1_1} = \hat{a}_{1_0} + \Delta a_{1_1}, \quad \hat{a}_{2_1} = \hat{a}_{2_0} + \Delta a_{2_1}, \dots, \hat{a}_{m_1} = \hat{a}_{m_0} + \Delta a_{m_1}, \quad (2.84)$$

где  $\hat{a}_{j_1}$  — первое приближение оценки  $\hat{a}_j$ ;  $\Delta a_{j_1}$  — первая поправка.

Подставим (2.84) в (2.83):

$$l_i = f_i(\hat{a}_{1_0} + \Delta a_{1_1}, \hat{a}_{2_0} + \Delta a_{2_1}, \dots, \hat{a}_{m_0} + \Delta a_{m_1}) + \Delta_i \quad (i = 1, 2, \dots, n). \quad (2.85)$$

Положив, что погрешности  $\Delta_i$  малы, разложим функции  $f_i$  в ряд Тейлора в точке  $\hat{a}_{1_0}, \hat{a}_{2_0}, \hat{a}_{m_0}$  и ограничимся линейными членами:

$$l_i = f_i(\hat{a}_{1_0}, \hat{a}_{2_0}, \dots, \hat{a}_{m_0}) + \left( \frac{\partial f_i}{\partial a_1} \right)_{a_1=\hat{a}_{1_0}} \Delta a_{1_1} + \\ + \left( \frac{\partial f_i}{\partial a_2} \right)_{a_2=\hat{a}_{2_0}} \Delta a_{2_1} + \dots + \left( \frac{\partial f_i}{\partial a_m} \right)_{a_m=\hat{a}_{m_0}} \Delta a_{m_1} + \Delta_i \quad (i = 1, 2, \dots, n). \quad (2.86)$$

В результате получаем систему линейных условных уравнений относительно поправок  $\Delta a_{1_1}, \Delta a_{2_1}, \dots, \Delta a_{m_1}$ . Используя вышеописанную методику перехода к нормальным уравнениям, найдем оценки указанных первых поправок, а затем в соответствии с (2.84) первые приближения оценок  $\hat{a}_{1_1}, \hat{a}_{2_1}, \dots, \hat{a}_{m_1}$ . Используя разложение функции  $f_i$  в ряд Тейлора в новой точке  $\hat{a}_{1_1}, \hat{a}_{2_1}, \dots, \hat{a}_{m_1}$ , можно, повторив описанную процедуру, найти второе приближение оцениваемых значений величин и т. д. Таким образом, в данном случае

В качестве примера рассмотрим часто встречающуюся на практике задачу экспериментального определения параметров зависимости одной величины от другой.

$$y = a_1 + a_2x + a_3x^2 + \dots + a_mx^{m-1}, \quad (2.87)$$
$$\left. \begin{aligned} l_1 &= \sum_{j=1}^m a_j x_1^{j-1} + \Delta_1; \\ l_2 &= \sum_{j=1}^m a_j x_2^{j-1} + \Delta_2; \\ &\dots\dots\dots \\ l_n &= \sum_{j=1}^m a_j x_n^{j-1} + \Delta_n, \end{aligned} \right\} \quad (2.88)$$

Таким образом, имеем систему уравнений, линейных относительно  $a_j$ . Перейдя к системе нормальных уравнений (2.75), получим:

$$\sum_{i=1}^n \left( l_i - \sum_{j=1}^m a_j x_i^{j-1} \right) x_i^{j-1} = 0 \quad (j = 1, 2, \dots, m). \quad (2.89)$$

Решая систему линейных уравнений (2.89), находим оценки  $\hat{a}_i$ .

$$y = a_1 + a_2 x. \quad (2.90)$$
$$\left. \begin{aligned} \sum_{i=1}^n [l_i - (a_1 + a_2 x_i)] &= 0; \\ \sum_{i=1}^n [l_i - (a_1 + a_2 x_i)] x_i &= 0. \end{aligned} \right\} \quad (2.91)$$

Преобразовав (2.91), получим:

$$\left. \begin{aligned} a_1 + a_2 \bar{x} &= \bar{l}; \\ a_1 \bar{x} + a_2 \bar{x}^2 &= \bar{l}_x, \end{aligned} \right\} \quad (2.92)$$

$$\text{где } \bar{x} = \frac{1}{n} \sum_{i=1}^n x_i, \quad \bar{x}^2 = \frac{1}{n} \sum_{i=1}^n x_i^2;$$

$$\bar{l} = \frac{1}{n} \sum_{i=1}^n l_i, \quad \bar{l}_x = \frac{1}{n} \sum_{i=1}^n l_i x_i.$$

В результате решения (2.92) находим оценки

$$\hat{a}_2 = (\bar{l}_x - \bar{x} \bar{l}) / [\bar{x}^2 - (\bar{x})^2]; \quad \hat{a}_1 = \bar{l} - \hat{a}_2 \bar{x}. \quad (2.93)$$

Аналогично решается задача определения параметров полиномиальных зависимостей более высоких порядков.

## 2.7. ОБРАБОТКА РЕЗУЛЬТАТОВ НЕРАВНОТОЧНЫХ ИЗМЕРЕНИЙ

В практике измерений встречаются ситуации, когда оценки измеряемых величин должны быть получены путем обработки результатов измерений, выполненных в различных условиях: различными экспериментаторами, разными методами, с использованием различных средств измерений. При этом часто нет оснований для того, чтобы отдать исключительное предпочтение какой-либо одной группе результатов, а остальные отбросить как не заслуживающие доверия. В то же время степень доверия тем или иным результатам может быть различна, например, из-за различия в точностях примененных средств измерений. Таким образом, каждому используемому результату или группе результатов измерений необходимо приписать некоторый вес, характеризующий степень доверия этим результатам.

Веса могут устанавливаться субъективно, на основе мнения экспериментатора или группы специалистов-экспертов, или объективно, на основе имеющихся данных о степени неопределенности тех или иных результатов. В последнем случае веса обычно устанавливают обратно пропорциональными дисперсиям соответствующих погрешностей результатов измерений:

$$\rho_i = c / \sigma_i^2, \quad (2.94)$$

где  $\rho_i$  — вес, соответствующий  $i$ -му результату или  $i$ -й группе результатов;  $\sigma_i^2$  — дисперсия соответствующих результатов измерений;  $c$  — const.



Величина  $c$  может быть установлена произвольно. Для удобства вычислений ее выбирают так, чтобы все  $\rho_i$  были целыми числами, либо так, чтобы  $\sum_i \rho_i = 1$ . Так как веса  $\rho_i$  — безразмерные числа, то константа  $c$  имеет размерность дисперсии, поэтому далее будем обозначать ее  $\sigma^2$ . Тогда при установленных весах  $\rho_i$  дисперсия  $i$ -го результата запишется в виде

$$\sigma_i^2 = \sigma^2 / \rho_i. \quad (2.95)$$

Рассмотрим задачу обработки результатов прямых неравноточных измерений. Пусть даны результаты неравноточных измерений  $x_1, x_2, \dots, x_n$ , которые независимы и имеют нормальное распределение с математическим ожиданием  $a$  и дисперсиями  $\sigma^2/\rho_i$ , причем веса  $\rho_i$  известны. Найдем оценки измеряемой величины  $a$  и дисперсии  $\sigma^2$ .

Плотность распределения любого результата  $x_i$

$$f(x_i, a, \sigma^2) = \frac{\sqrt{\rho_i}}{\sqrt{2\pi} \sigma} \exp \left[ -\frac{\rho_i}{2\sigma^2} (x_i - a)^2 \right]. \quad (2.96)$$

Соответствующая функция правдоподобия для всей совокупности результатов  $x_i$  имеет вид:

$$L(x_1, x_2, \dots, x_n, a, \sigma^2) = \left( \prod_{i=1}^n \rho_i \right)^{1/2} (2\pi)^{-\frac{n}{2}} \times \\ \times \sigma^{-n} e^{-\frac{1}{2\sigma^2} \sum_{i=1}^n \rho_i (x_i - a)^2}. \quad (2.97)$$

Максимум функции правдоподобия достигается при выполнении условия

$$\sum_{i=1}^n \rho_i (x_i - a)^2 = \min. \quad (2.98)$$

Выражение (2.98) является условием метода наименьших квадратов при неравноточных измерениях. Из (2.98) следует

$$\sum_{i=1}^n \rho_i (x_i - a) = 0,$$

откуда

$$\hat{a} = \left( \sum_{i=1}^n \rho_i x_i \right) / \left( \sum_{i=1}^n \rho_i \right) = \tilde{x}. \quad (2.99)$$

Оценка  $\hat{a} = \tilde{x}$  называется средней взвешенной оценкой.

Вычислим математическое ожидание и дисперсию оценки  $\tilde{x}$ :

$$M[\tilde{x}] = \frac{1}{\sum_{i=1}^n \rho_i} \sum_{i=1}^n \rho_i M[x_i] = \frac{1}{\sum_{i=1}^n \rho_i} \sum_{i=1}^n \rho_i a = a; \quad (2.100)$$

$$\sigma^2[\tilde{x}] = \frac{1}{\left(\sum_{i=1}^n \rho_i\right)^2} \sum_{i=1}^n \rho_i^2 \sigma^2[x_i] = \frac{1}{\left(\sum_{i=1}^n \rho_i\right)^2} \sum_{i=1}^n \rho_i^2 \frac{\sigma^2}{\rho_i} = \frac{\sigma^2}{\sum_{i=1}^n \rho_i}. \quad (2.101)$$

Таким образом, оценка  $\tilde{x}$  является несмещенной, а ее вес равен сумме весов усредняемых результатов.

Для вычисления оценки дисперсии  $\sigma^2$  прологарифмируем функцию правдоподобия (2.97):

$$\begin{aligned} \ln L(x_1, x_2, \dots, x_n, a, \sigma^2) &= \frac{1}{2} \ln \left( \prod_{i=1}^n \rho_i \right) - \frac{n}{2} \ln(2\pi) - \\ &- \frac{n}{2} \ln \sigma^2 - \frac{1}{2\sigma^2} \sum_{i=1}^n \rho_i (x_i - a)^2. \end{aligned} \quad (2.102)$$

Найдем оценку дисперсии  $\sigma^2$  из условия максимума функции (2.102):

$$\frac{\partial \ln L}{\partial \sigma^2} = -\frac{n}{2\sigma^2} + \frac{1}{2\sigma^3} \sum_{i=1}^n \rho_i (x_i - a)^2 = 0, \quad (2.103)$$

откуда

$$\sigma^2 = \frac{1}{n} \sum_{i=1}^n \rho_i (x_i - a)^2. \quad (2.104)$$

Используя вместо  $a$  оценку  $\tilde{x}$ , получаем

$$\tilde{S}^2 = \frac{1}{n} \sum_{i=1}^n \rho_i (x_i - \tilde{x})^2. \quad (2.105)$$

Оценка  $\tilde{S}^2$  является смещенной, а для ликвидации этой смещенности необходимо ввести поправочный множитель

$$\tilde{\sigma}^2 = \frac{n}{n-1} \tilde{S}^2 = \frac{1}{n-1} \sum_{i=1}^n \rho_i (x_i - \tilde{x})^2. \quad (2.106)$$

При получении интервальных оценок для значений величин  $a$  и  $\sigma^2$  можно принять, что величина  $x$  распределена нормально с математическим ожиданием  $a$  и дисперсией  $\sigma^2 / \sum_{i=1}^n \rho_i$ . Отсюда следует, что дробь

$$t_{n-1} = (\tilde{x} - a) \sqrt{\sum_{i=1}^n \rho_i} / \tilde{\sigma}$$

будет распределена по закону Стьюдента с  $n-1$  степенями свободы. Аналогично дробь

$$u = (n-1)\tilde{\sigma}^2/\sigma^2$$

распределена по закону  $\chi^2_{n-1}$  с  $n-1$  степенями свободы. В остальном правила построения соответствующих доверительных интервалов аналогичны описанным в § 2.4.

## 2.8. ПРОВЕРКА ГИПОТЕЗ

К числу задач, решаемых при обработке результатов измерений, относится и проверка гипотез. Кроме того, проверка гипотез является в ряде случаев целью выполнения измерений. Задача проверки гипотез состоит в том, чтобы установить, противоречит выдвинутая гипотеза экспериментальным данным или нет. Так как результаты измерений сопровождаются погрешностями, то обычно они не могут с абсолютной достоверностью ни подтвердить, ни отвергнуть никакую гипотезу, т. е. всегда существует не равная нулю вероятность того, что принятое решение ошибочно.

Алгоритм, в соответствии с которым экспериментальным данным ставится в соответствие решение принять или отвергнуть гипотезу, называется решающим правилом, или правилом решения.

Предположим, что относительно некоторого параметра  $\theta$  распределения случайной величины  $x$  выдвинута гипотеза, заключающаяся в том, что его значение равно  $\theta = \theta_0$ . В результате измерений получена оценка  $\hat{\theta}$  этого параметра, на основе которой экспериментатор должен либо принять, либо отвергнуть выдвинутую гипотезу. Для этого необходимо ответить на вопрос: как сильно оценка  $\hat{\theta}$  должна отличаться от  $\theta_0$ , чтобы принять или отвергнуть выдвинутую гипотезу?

При этом следует учитывать, что отличие оценки  $\hat{\theta}$  от значения  $\theta_0$  может быть вызвано, во-первых, случайным характером оценки и, во-вторых, неравенством истинного значения  $\theta$  значению  $\theta_0$ . Таким обра-

зом, если отличие  $\hat{\theta}$  от  $\theta_0$  может быть объяснено чисто случайными причинами, то выдвинутая гипотеза принимается, в противном случае она отклоняется.

Пусть известна плотность распределения  $f(\hat{\theta})$  оценки  $\hat{\theta}$ . Изобразим ее графически (рис. 2.2), предполагая, что выдвинутая гипотеза  $\theta = \theta_0$  верна, т. е.  $M[\hat{\theta}] = \theta_0$ . Установим две границы  $\theta_1$  и  $\theta_2$  и сформулируем следующее решающее правило: если  $\theta_1 \leq \hat{\theta} \leq \theta_2$ , то гипотеза принимается; если  $\hat{\theta} < \theta_1$  или  $\hat{\theta} > \theta_2$ , то гипотеза отклоняется. При этом может быть принято ошибочное решение, причем вероятность ошибки равна

$$\alpha = B_1 + B_3 = \int_{-\infty}^{\theta_1} f(\hat{\theta}) d\theta + \int_{\theta_2}^{\infty} f(\hat{\theta}) d\theta. \quad (2.107)$$

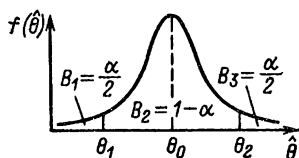


Рис. 2.2. Плотность распределения оценки  $\hat{\theta}$

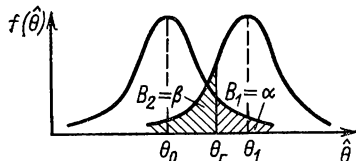


Рис. 2.3. Плотность распределения оценки  $\hat{\theta}$

Вероятность ошибки  $\alpha$  называется уровнем значимости и при расчетах принимается обычно равной 0,05 или 0,01.

Будем считать, что  $B_1 = B_3 = \alpha/2$ . Тогда для установления границ  $\theta_1$  и  $\theta_2$  достаточно задаваться только значением уровня значимости  $\alpha$  и воспользоваться таблицами известного распределения  $f(\hat{\theta})$ .

Рассмотрим другой пример задачи проверки гипотез. Пусть некоторый параметр  $\theta$  распределения случайной величины может принимать только одно из двух значений:  $\theta_0$  или  $\theta_1$ . На основании экспериментальной полученной оценки  $\hat{\theta}$  необходимо решить, какое значение  $\theta$  имело место в эксперименте. В данном случае необходимо проверить гипотезу  $\theta = \theta_0$  (так называемую нулевую гипотезу) против альтернативной гипотезы  $\theta = \theta_1$ . На рис. 2.3 изображена плотность распределения как при условии справедливости нулевой гипотезы  $M[\hat{\theta}] = \theta_0$ , так и при условии справедливости альтернативной гипотезы  $M[\hat{\theta}] = \theta_1$ .

Установим границу  $\theta_r$  и сформулируем решающее правило: если

$\hat{\theta} \leq \theta_r$ , то принимается нулевая гипотеза  $\theta = \theta_0$ ; если  $\hat{\theta} > \theta_r$ , то принимается альтернативная гипотеза  $\theta = \theta_1$ .

Обозначим следующие вероятности:

$$\alpha = B_1 = \int_{\theta_r}^{\infty} f(\hat{\theta}, \theta_0) d\theta; \quad \beta = B_2 = \int_{-\infty}^{\theta_r} f(\hat{\theta}, \theta_1) d\theta.$$

При принятии решения в соответствии с указанным решающим правилом возможны четыре ситуации:

1) нулевая гипотеза верна, но отклоняется. При этом имеет место ошибка 1-го рода, вероятность которой равна  $\alpha$  — уровню значимости;

2) альтернативная гипотеза верна, но отклоняется. При этом имеет место ошибка 2-го рода, вероятность которой равна  $\beta$ ;

3) нулевая гипотеза верна и принимается. Вероятность такого исхода равна  $1 - \alpha$ ;

4) альтернативная гипотеза верна и принимается. Вероятность этого равна  $1 - \beta$  и называется мощностью решающего правила.

Необходимо отметить, что решающее правило должно включать в себя критерий, по которому устанавливается граничное значение. В качестве такого критерия может, в частности, использоваться критерий максимального правдоподобия.

Рассмотрим конкретные примеры решения простейших задач по проверке гипотез.

**Пример 1.** Случайная величина  $x$  распределена нормально. Необходимо проверить гипотезу относительно значения ее математического ожидания. Выдвинутая гипотеза состоит в том, что  $m_x = 6,8$ . Выполнено  $n = 10$  измерений, обработка результатов которых дала следующие оценки:  $\bar{x} = 6,5$ ;  $S = 0,5$ .

Как известно, величина  $t = (\bar{x} - m_x) \sqrt{n-1}/S$  распределена по закону Стьюдента с  $n-1$  степенями свободы. Поэтому условием принятия гипотезы будет выполнение неравенства

$$|\bar{x} - m_x| \leq tS / \sqrt{n-1}.$$

В случае невыполнения этого неравенства гипотеза отклоняется. Задаемся условием значимости  $\alpha = 0,05$ . Для вероятности  $\alpha/2 = 0,025$  и числа степеней свободы  $k = n-1 = 9$  по табл. П.1 находим  $t = 2,262$ .

Вычисляем  $|x - m_x| = 0,3$ ,  $tS / \sqrt{n-1} = 0,377$ .

Так как указанное неравенство выполняется, то можно считать, что гипотеза не противоречит экспериментальным данным.

**Пример 2.** При условиях, заданных в предыдущем примере, необходимо проверить гипотезу, состоящую в том, что  $\sigma = \sigma_0 = 0,9$ .

Как известно, величина  $u = nS^2/\sigma^2$  распределена по закону  $\chi^2$  с  $n-1$  степенями свободы. Поэтому условием принятия нулевой гипотезы будет выполнение неравенства

$$nS^2/\chi_{\alpha/2}^2 < \sigma_0^2 < nS^2/\chi_{1-\alpha/2}^2,$$

где  $\chi_{\alpha/2}^2$  и  $\chi_{1-\alpha/2}^2$  — значения величины  $\chi^2$  (см. табл. П.2), соответствующие вероятностям  $\alpha/2$  и  $1-\alpha/2$  и числу степеней свободы  $k=n-1$ . Задаемся уровнем значимости  $\alpha=0,05$ . Тогда при  $k=n-1=9$  по табл.

П.2 находим  $\chi_{\alpha/2}^2=19,023$  и  $\chi_{1-\alpha/2}^2=2,700$ . Таким образом, условием принятия нулевой гипотезы будет в данном случае

$$0,131 < \sigma_0^2 < 0,926.$$

Так как это условие выполняется, то можно считать, что гипотеза  $\sigma_0=0,9$  не противоречит экспериментальным данным.

При обработке результатов измерений очень часто возникает необходимость обнаружить грубые погрешности и исключить из экспериментальных данных соответствующие результаты. Указанная задача также требует проверки гипотез и решается статистическими методами.

Будем считать, что результаты измерений  $x_i$  имеют нормальное распределение. Чтобы проверить возможность отбросить сомнительный результат  $x_c$  ( $x_c$  — наибольший или наименьший из результатов), вычислим величину

$$v = |x_c - \bar{x}|/\hat{\sigma}, \quad (2.108)$$

где  $\bar{x}$  и  $\hat{\sigma}$  вычисляются с учетом всех  $n$  результатов измерений.

Если все  $x_i$  распределены нормально, то распределение величины  $v$  не будет зависеть от параметров закона распределения  $x_i$ , но будет зависеть от числа измерений  $n$ . Имеются таблицы (см. табл. П.3) распределения максимальных по модулю отклонений результатов измерений от их среднего значения

$$v_r = \max |x_i - \bar{x}|/\hat{\sigma}. \quad (2.109)$$

Таким образом, проверяется гипотеза о том, что результат  $x_c$  не содержит грубой погрешности. Условием принятия этой гипотезы является  $v \leq v_r$ .

Задаваясь уровнем значимости  $\alpha$  и учитывая число измерений  $n$ , по табл. П.3 находим значение  $v_r$ . Сравниваем вычисленное по (2.108) значение  $v$  с  $v_r$ . Если  $v < v_r$ , то гипотеза не противоречит экспериментальным данным. В противном случае гипотеза отклоняется, а соответствующий результат  $x_c$  исключается из массива экспериментальных данных. После этого снова вычисляются оценки  $\bar{x}$  и  $\hat{\sigma}$ , а описанная

выше процедура может быть повторена для следующего подозреваемого результата.

**Пример 3.** При условиях, заданных в примере 1, необходимо проверить гипотезу, состоящую в том, что наибольший результат измерений  $x_c = 7,8$  не содержит грубой погрешности.

Вычислим

$$v = |x_c - \bar{x}|/\hat{\sigma} = |7,8 - 6,5|/0,5 = 2,6.$$

Принимаем уровень значимости  $\alpha = 0,05$ . Для  $n = 10$  по табл. П.3 находим  $v_r = 2,414$ . Так как  $v > v_r$ , то гипотеза отклоняется, т. е. следует считать, что результат  $x_c = 7,8$  содержит грубую погрешность, а следовательно, должен быть исключен из экспериментальных данных.

## 2.9. МЕТОДЫ УМЕНЬШЕНИЯ ПОГРЕШНОСТЕЙ ИЗМЕРЕНИЙ

Общим методом, пригодным в принципе для уменьшения погрешностей, является конструктивно-технологический метод, основанный на выявлении причин и источников наиболее существенных погрешностей и всемерном снижении их влияния. В конструктивно-технологическом методе используются такие приемы, как термостатирование, применение малошумящих электронных компонентов, использование прецизионных элементов и узлов, материалов со стабильными характеристиками, рационального конструирования и совершенной технологии изготовления средств измерений. Однако возможности указанного метода весьма ограничены и, что также очень важно, его применение с целью достижения высоких точностей измерений приводит к резкому возрастанию стоимости средств измерений. В связи с этим широкое распространение получили методы повышения точности, основанные на введении структурной и (или) временной избыточности, т. е. на введении дополнительных средств измерений (измерительных преобразователей, измерительных устройств) и (или) выполнении дополнительных измерений, результаты которых обрабатываются по специальному алгоритму, позволяющему повысить точность.

Поведение систематических и случайных погрешностей во времени (при повторных измерениях) существенно различно, в связи с чем существенно отличаются и методы их уменьшения.

При постоянстве значения измеряемой величины наиболее эффективным методом уменьшения случайной погрешности является усреднение результатов наблюдений. Как было показано в § 2.4, среднее квадратическое отклонение

погрешности результата измерения, т. е. среднего значения результатов  $n$  наблюдений, уменьшается до  $\sqrt{n}$  раз.

Гораздо труднее уменьшить случайную погрешность в том случае, когда значение измеряемой величины изменяется во времени. В этом случае используется более сложная процедура фильтрации, целью которой является получение оптимальной оценки измеряемой величины, причем оценка также рассматривается как процесс, протекающий во времени. Погрешность оценки (разность между оценкой и измеряемым процессом) представляет собой функцию времени, а в качестве критерия оптимальности оценки используют некоторый функционал от погрешности оценки на временном интервале наблюдения, например средний квадрат погрешности.

В зависимости от вида используемых преобразований различают линейную и нелинейную фильтрацию, причем практическая реализация необходимых преобразований может осуществляться как аппаратным, так и программным способом.

Необходимо отметить, что для реализации оптимальной процедуры фильтрации необходима априорная информация о характеристиках изучаемого сигнала и помехи (случайной погрешности). Для более подробного изучения фильтрации следует обратиться к специальной литературе.

Рассмотрим основные методы уменьшения систематических погрешностей. Как известно, систематические погрешности делятся на постоянные и переменные. В § 2.1 были указаны наиболее распространенные методы исключения (компенсации) постоянных систематических погрешностей: введения поправок, замещения, компенсации погрешностей по знаку. Однако на практике, особенно при использовании информационно-измерительных систем для измерения неэлектрических величин в производственных условиях, доминирующую роль играют переменные систематические погрешности, вызванные изменениями температуры, влажности, давления окружающей среды, изменениями питающих напряжений, влиянием внешних электрических и магнитных полей и т. п. Следует отметить, что переменные систематические погрешности зависят от изменяющихся внешних воздействий, значения которых обычно не известны и поэтому проявляют себя как случайные функции времени. В этом смысле от случайных погрешностей они отличаются тем, что представляют собой нестационарные случайные функции, изменяющиеся во времени относительно медленно. Уменьше-



ние подобных переменных систематических погрешностей представляет собой актуальную и достаточно сложную задачу.

Указанные выше методы исключения систематических погрешностей находят применение главным образом в лабораторной практике — их применение в автоматических измерительных устройствах и ИИС в производственных условиях и при изменениях систематических погрешностей в большинстве случаев невозможно. В связи с этим получили

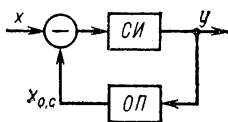


Рис. 2.4. Структурная схема СИ с отрицательной обратной связью

развитие методы уменьшения переменных систематических погрешностей, основанные на использовании структурной и (или) временной избыточности.

**Методы отрицательной обратной связи.** На рис. 2.4 приведена структурная схема, иллюстрирующая данный метод, где СИ — основное средство измерений; ОП — обратный преобразователь. Обратный преобразователь преобразует выходную величину  $y$  в величину  $x_{o.c.}$ , физически однородную с измеряемой величиной  $x$ . При отрицательной обратной связи на входе СИ образуется разность  $x - x_{o.c.}$ . Предположим, что СИ и ОП имеют линейные функции преобразования

$$y = kx; \quad x_{o.c.} = \beta y, \quad (2.110)$$

где  $k$  и  $\beta$  — коэффициенты преобразования (чувствительности) СИ и ОП соответственно.

Тогда при включении отрицательной обратной связи получим функцию преобразования

$$y = k_{o.c.}x, \quad (2.111)$$

где  $k_{o.c.} = k/(1 + \beta k)$  — коэффициент преобразования с обратной связью.

Очевидно, что введение отрицательной обратной связи привело к уменьшению коэффициента преобразования (чувствительности) в  $1 + \beta k$  раз. При использовании глубокой обратной связи ( $\beta k \gg 1$ ) получим  $k_{o.c.} \approx 1/\beta$ , т. е. коэффициент передачи  $k_{o.c.}$  определяется только коэффициентом передачи ОП.

Оценим погрешность, вызванную нестабильностью параметров  $k$  и  $\beta$ . Из (2.111) получим:

$$\Delta y = \frac{\partial y}{\partial k} \Delta k + \frac{\partial y}{\partial \beta} \Delta \beta = \frac{x}{(1 + \beta k)^2} \Delta k - \frac{k^2 x}{(1 + \beta k)^2} \Delta \beta \quad (2.112)$$

или, переходя к относительным погрешностям:

$$\delta_y = 1 \cdot \delta_k / (1 + \beta k) - \beta k \delta_\beta / (1 + \beta k), \quad (2.113)$$

где

$$\delta_y = \Delta y / y; \quad \delta_k = \Delta k / k; \quad \delta_\beta = \Delta \beta / \beta.$$

Погрешности  $\delta_k$  и  $\delta_\beta$  представляют собой относительные мультипликативные погрешности СИ и ОП соответственно. Из (2.113) следует, что введение отрицательной обратной связи уменьшает исходную мультипликативную погрешность в  $1 + \beta k$  раз, однако при этом добавляется погрешность, создаваемая ОП. При  $\beta k \gg 1$  получим  $\delta_y \approx \delta_\beta$ , т.е. мультипликативная погрешность определяется практически погрешностью ОП. Следовательно, данный метод целесообразно применять в том случае, когда ОП существенно точнее СИ.

Нетрудно заметить, что обратная связь уменьшает абсолютную аддитивную погрешность на выходе СИ в  $1 + \beta k$  раз, однако во столько же раз уменьшается и значение выходной величины  $y$ , а следовательно, относительная аддитивная погрешность не изменяется.

Применение отрицательной обратной связи позволяет уменьшить не только мультипликативную погрешность, но и погрешность нелинейности. Необходимо отметить, что увеличение глубины обратной связи приводит к изменению динамических свойств замкнутой системы: ухудшается качество переходных процессов, снижается запас устойчивости.

Данный метод находит широкое применение при измерениях электрических величин (напряжений, токов), где создание точных обратных преобразователей не вызывает трудностей.

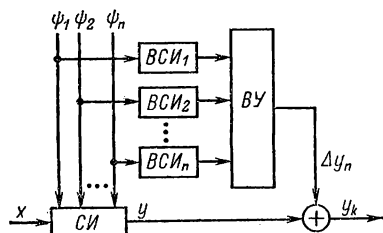


Рис. 2.5. Структурная схема СИ с коррекцией погрешности методом вспомогательных измерений

**Методы вспомогательных измерений.** Идея метода иллюстрируется на рис. 2.5, где  $СИ$  — основное средство измерений;  $ВСИ_1, ВСИ_2, \dots, ВСИ_n$  — вспомогательные средства измерений;  $ВУ$  — вычислительное устройство.

Предположим, что погрешность  $СИ$  вызывается воздействием внешних факторов  $\psi_1, \psi_2, \dots, \psi_n$ , причем зависимость этой погрешности от значений внешних факторов известна:

$$\Delta y = F(\psi_1, \psi_2, \dots, \psi_n). \quad (2.114)$$

В данном случае осуществляется коррекция погрешности  $СИ$  путем использования значений каждого из факторов  $\psi_i$ , полученных с помощью  $ВСИ_1, ВСИ_2, \dots, ВСИ_n$ . По этим значениям вычислительное устройство вычисляет значение поправки  $\Delta y_n$ , необходимой для коррекции погрешности, по (2.114).

Вместо введения поправки выходная величина  $ВУ$  может быть использована для управления параметрами  $СИ$  (самонастройка).

Метод вспомогательных измерений применим для снижения влияния тех дестабилизирующих факторов, которые могут быть легко учтены. Кроме того, для осуществления коррекции погрешности необходимо знать зависимость погрешности  $СИ$  от этих факторов. Недостатком метода вспомогательных измерений является также то, что для снижения влияния каждого фактора требуется отдельное вспомогательное средство измерений. Указанные недостатки существенно сужают область практического использования данного метода.

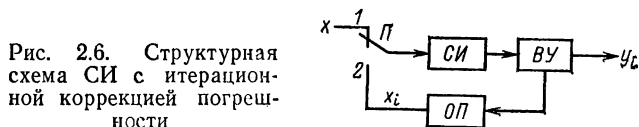
Фактически метод вспомогательных измерений представляет собой один из вариантов реализации принципа многоканальности, позволяющего обеспечить инвариантность выходной величины системы к тем или иным возмущающим воздействиям.

**Итерационные методы.** Особенностью итерационных методов является то, что в процессе коррекции погрешности результат уточняется несколько раз, причем каждый последующий результат получается из предыдущего. Таким образом, результат измерений получается путем последовательных приближений. В зависимости от используемых в процессе коррекции операций (сложение-вычитание или умножение-деление) различают аддитивные и мультипликативные итерационные алгоритмы коррекции. Итерационный алгоритм повышения точности может быть реализован либо путем поочередного выполнения необходимых опера-

ций (временное разделение), либо путем почти одновременного выполнения операций с помощью дополнительных функциональных блоков, объединенных в соответствующую структуру (пространственное разделение операций).

В качестве примера рассмотрим итерационный алгоритм аддитивной коррекции с временным разделением операций, который иллюстрируется на рис. 2.6.

Кроме основного средства измерений *СИ*, имеется точный обратный преобразователь *ОП* и вычислительное устройство *ВУ*. Процесс коррекции погрешностей осуществляется следующим образом. Сначала на вход *СИ* подается



измеряемая величина  $x$  (переключатель  $\Pi$  находится в положении 1), а соответствующее значение выходной величины  $y_0$  запоминается в *ВУ*. Затем величина  $y_0$  подается на вход *ОП*, а выход *ОП* подключается ко входу *СИ* (переключатель  $\Pi$  находится в положении 2). При этом выходная величина *СИ* принимает значение  $y_0$ , а *ВУ* вычисляет первую поправку  $\Delta y_1 = y_0 - y_0$ . Затем вычисляется первый скорректированный результат  $y_1 = y_0 + \Delta y_1$ . На этом заканчивается первый цикл итерационной коррекции.

Далее  $y_1$  подают на вход точного обратного преобразователя, измеряют величину  $x_1$  на его выходе, получая результат  $y_1$ , вычисляют вторую поправку  $\Delta y_2 = y_1 - y_1$  и второй скорректированный результат  $y_2 = y_0 + \Delta y_2$ . При необходимости описанный циклический процесс коррекции повторяют до достижения необходимой точности.

Предположим, что *СИ* имеет функцию преобразования

$$y = k(1 + \delta)x + \Delta, \quad (2.115)$$

где  $k$  — номинальный коэффициент преобразования;  $\delta$  — относительная мультипликативная погрешность;  $\Delta$  — абсолютная аддитивная погрешность.

Точный обратный преобразователь должен иметь функцию преобразования

$$x_i = y_i/k.$$

Тогда результат измерений после выполнения  $n$  циклов коррекции запишется в виде

$$y_n = k[1 + (-1)^n \delta^{n+1}]x + (-1)^n \delta^n \Delta. \quad (2.116)$$

Очевидно, что если  $|\delta| < 1$ , то с увеличением числа  $n$  итерационных циклов происходит уменьшение по абсолютному значению и аддитивной, и мультипликативной погрешностей, причем погрешности уменьшаются тем быстрее, чем меньше  $\delta$ . Поэтому данный алгоритм коррекции более эффективен для СИ, у которых преобладает аддитивная погрешность.

Мультипликативные алгоритмы итерационной коррекции отличаются тем, что вместо вычисления аддитивной поправки в каждом цикле вычисляют поправочный множитель. При этом оказывается, что мультипликативные алгоритмы более эффективны для СИ, у которых преобладает мультипликативная погрешность.

В том случае, когда СИ имеет значительные аддитивную и мультипликативную погрешности, может оказаться целесообразным применение комбинированного аддитивно-мультипликативного итерационного метода коррекции погрешностей.

Достоинством итерационных методов является то, что с их помощью корректируется общая погрешность СИ независимо от причин, ее вызывающих.

Очевидный недостаток этих методов состоит в необходимости применения достаточно точного обратного преобразователя, что ограничивает область их практического использования главным образом измерениями электрических величин. Итерационные алгоритмы с пространственным разделением операций применяются при создании точных измерительных усилителей.

**Методы образцовых мер** основаны на определении в процессе цикла измерений реальных значений параметров функций преобразования СИ путем отключения от входа СИ измеряемой величины и подключения образцовых мер.

В общем случае функция преобразования СИ с достаточной точностью описывается полиномом порядка  $n-1$ :

$$y = \sum_{i=1}^n d_i x^{i-1}, \quad (2.117)$$

причем все погрешности СИ определяются изменениями параметров  $d_i$ .

Процесс измерения состоит из  $n+1$  тактов. В первом такте измеряют величину  $x$ . Затем измеряемую величину отключают и в последующих тактах ко входу СИ поочередно подключают меры  $M_1, M_2, \dots, M_n$ , результаты  $y_1, y_2, \dots, y_n$  измерения значений которых совместно с результатом  $y_0$  первого тактового измерения образуют систему уравнений

$$\left. \begin{aligned} y_0 &= \sum_{i=1}^n d_i x^{i-1}; \\ y_1 &= \sum_{i=1}^n d_i M_1^{i-1}; \\ &\dots \dots \dots \\ y_n &= \sum_{i=1}^n d_i M_n^{i-1}. \end{aligned} \right\} \quad (2.118)$$

Последние  $n$  уравнений системы позволяют вычислить все параметры  $d_1, d_2, \dots, d_n$  функции преобразования СИ. Подставляя найденные их значения в первое уравнение, находим из него значения измеряемой величины.

В случае линейности функции преобразования СИ получим систему трех уравнений с тремя неизвестными  $d_1, d_2, x$ , решение которой относительно  $x$  имеет вид

$$x = M_1 + (M_2 - M_1)(y_0 - y_1)/(y_2 - y_1). \quad (2.119)$$

Если нулевое значение  $x$  входит в диапазон измерений, то одна из образцовых мер может иметь нулевое значение ( $M_1=0$ ). При линейной функции преобразования СИ результаты измерения  $M_1=0$  и  $M_2$  могут быть использованы для автоматического изменения параметров функции преобразования (самонастройка).

При нелинейной функции преобразования СИ может быть использовано кусочное ее описание. Например, при кусочно-линейном представлении функции преобразования СИ связь между выходной и входной величинами выражается зависимостью

$$y = d_{1j} + d_{2j}x, \quad j = 1, 2, \dots, m,$$

где  $m$  — число линейных участков, которыми может быть с требуемой точностью аппроксимирована функция преобразования СИ. В этом случае цикл измерений состоит также из трех тактов, а значение измеряемой величины вычисляется по формуле

$$x = M_i + (M_{i+1} - M_i)(y_0 - y_1)/(y_2 - y_1). \quad (2.120)$$

Образцовые меры  $M_i$  и  $M_{i+1}$  выбираются из набора мер не произвольно, а в зависимости от результата первого тактового измерения, что иллюстрируется на рис. 2.7. Очевидно, что при этом требуется  $m+1$  образцовых мер.

Методы образцовых мер позволяют уменьшить все составляющие систематической погрешности *СИ* (аддитивную, мультипликативную, погрешность нелинейности) независимо от причин их возникновения.

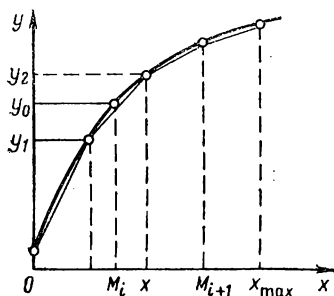


Рис. 2.7. Функция преобразования СИ

Недостатком метода образцовых мер является необходимость периодического отключения измеряемой величины от входа *СИ* и подключения образцовых мер, а также большое число образцовых мер при существенной нелинейности функции преобразования *СИ*.

Реальной областью использования этих методов является

область измерений электрических величин, так как при измерениях неэлектрических величин возникает трудность создания набора образцовых мер, однородных с измеряемой величиной; кроме того, не всегда возможно отключение измеряемой неэлектрической величины от входа средств измерений.

**Тестовые методы.** Сущность тестовых методов повышения точности состоит в том, что в процессе цикла измерений получают информацию не только о значении измеряемой величины, но и о параметрах функции преобразования *СИ* в момент измерения. В отличие от методов образцовых мер в тестовых методах при дополнительных измерениях используются тесты, формируемые с участием измеряемой величины. Это позволяет, во-первых, не отключать измеряемую величину от входа *СИ* и, во-вторых, использовать малое число образцовых величин даже при существенной нелинейности функции преобразования *СИ*.

В общем случае функция преобразования *СИ* описывается полиномом порядка  $n-1$  (2.117), содержащим  $n$  параметров  $d_i$ . Цикл измерений состоит из  $n+1$  тактов: в первом

такте измеряется величина  $x$ , а в  $n$  других тактах — тесты  $A_1(x)$ ,  $A_2(x)$ , ...,  $A_n(x)$ , каждый из которых является некоторой функцией измеряемой величины  $x$ .

Результаты измерений образуют систему уравнений:

$$\left. \begin{aligned} y_0 &= \sum_{i=1}^n d_i x^{i-1}; \\ y_1 &= \sum_{i=1}^n d_i [A_1(x)]^{i-1}; \\ &\dots \dots \dots \\ y_n &= \sum_{i=1}^n d_i [A_n(x)]^{i-1}. \end{aligned} \right\} \quad (2.121)$$

Решив систему уравнений (2.121), получим значения параметров  $d_1, d_2, \dots, d_n$  и искомое значение  $x$ .

Сложность решения системы уравнений (2.121) существенно зависит от порядка полинома и вида используемых тестов  $A_j(x)$ . Используемые в практике тесты можно разделить на три группы: аддитивные, мультипликативные и функциональные.

Аддитивные тесты формируются в виде суммы

$$A_j(x) = x + \theta_j, \quad (2.122)$$

где  $\theta_j$  — образцовая величина, физически однородная с измеряемой.

Мультипликативные тесты формируются в виде произведения

$$A_j(x) = k_j x, \quad (2.123)$$

где  $k_j$  — известный коэффициент преобразования.

Очевидно, что аддитивные и мультипликативные тесты представляют собой частные случаи функциональных тестов, в которых  $A_i(x)$  представляет собой произвольную известную функцию. Функциональные тесты используются сравнительно редко и главным образом при измерениях электрических величин.

Наиболее широкое применение нашли аддитивные и мультипликативные тесты, которые легко реализуются как для электрических, так и для неэлектрических величин.

С практической точки зрения важным является вопрос о возможности использования только аддитивных или только мультипликативных тестов. Доказано, что, используя



только мультипликативные тесты, нельзя определить все параметры  $d_i$  функции преобразования, так как при этом система уравнений (2.121) имеет бесконечно много решений. Только аддитивные тесты позволяют решить поставленную задачу лишь в том частном случае, когда хотя бы один из параметров  $d_i$  функции преобразования СИ равен нулю, например для функции преобразования вида

$$x = d_1 + d_2 x^2.$$

В общем случае (все  $d_i \neq 0$ ) необходимо применять как аддитивные, так и мультипликативные тесты, причем значение  $x$  будет вычисляться наиболее просто в том случае, когда используется один тест одного вида, а остальные  $n-1$  тестов — другого.

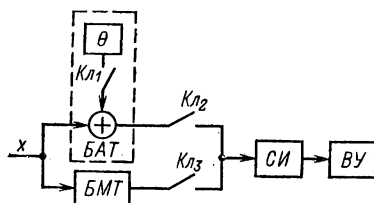


Рис. 2.8. Структурная схема СИ с коррекцией погрешности тестовым методом

В качестве примера рассмотрим использование кусочно-линейной аппроксимации функции преобразования СИ. В этом случае необходимо формирование двух тестов: аддитивного и мультипликативного. Соответствующая структурная схема приведена на рис. 2.8.

Кроме средства измерений СИ и вычислительного устройства ВУ, структурная схема включает в себя блок формирования аддитивного теста БАТ, блок формирования мультипликативного теста БМТ и коммутирующие ключи К11, К12, К13.

Процесс измерения состоит из трех тактов. В первом ключи К11 и К13 разомкнуты, а ключ К12 замкнут и на вход СИ подается непосредственно измеряемая величина  $x$ . Во втором такте замыкается К11 и на вход СИ подается аддитивный тест  $x + \theta$ . В третьем такте ключ К12 размыкается, а К13 замыкается, при этом на вход СИ подается мультипликативный тест  $kx$ .

Результаты тактовых измерений запишем в виде системы

$$\left. \begin{aligned} y_0 &= d_{1j} + d_{2j} x; \\ y_1 &= d_{1j} + d_{2j} (x + \theta); \\ y_2 &= d_{1j} + d_{2j} kx. \end{aligned} \right\} \quad (2.124)$$

Решив систему (2.124) относительно  $x$ , получим

$$x = \theta (y_2 - y_0) / (k - 1) (y_1 - y_0). \quad (2.125)$$

Вычислительное устройство запоминает значения  $y_0$ ,  $y_1$ ,  $y_2$  и вычисляет значение  $x$  по (2.125). Так как вычисленное значение  $x$  не зависит от параметров  $d_{1j}$ ,  $d_{2j}$  функции преобразования СИ на  $j$ -м участке аппроксимации, то можно сделать вывод о том, что исключаются аддитивная и мультипликативная погрешности и существенно уменьшается погрешность нелинейности СИ.

Получение результатов тактовых измерений в соответствии с (2.124) иллюстрируется на рис. 2.9.

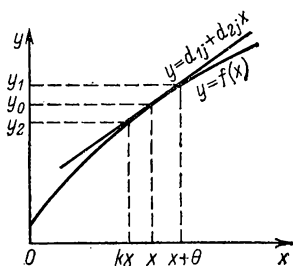


Рис. 2.9. Функция преобразования СИ

Функция преобразования  $y = f(x)$  аппроксимируется кусочно-линейно, причем любой  $j$ -й интервал аппроксимации не имеет фиксированных границ, а определяется интервалом, на котором расположены значения  $x$ ,  $x + \theta$ ,  $kx$ . При изменении значения  $x$  и при постоянных  $\theta$  и  $k$  происходит одновременное смещение всех трех точек на новый участок аппроксимации. В связи с этим, несмотря на нелинейность функции преобразования, требуются только две точные величины:  $\theta$  и  $k$ .

Если получение точного и стабильного значения  $\theta$  обычно не вызывает особых затруднений, то создание БМТ со стабильным коэффициентом преобразования  $k$  не всегда осуществимо.

На рис. 2.10 приведена структурная схема, в которой влияние коэффициента преобразования БМТ на результат измерения исключено. Это достигается тем, что вход БМТ соединен с выходом БАТ и введено еще одно дополнительное измерение.

Процесс измерения состоит из четырех тактов. Первые три такта полностью аналогичны тактам работы схемы, изо-

браженной на рис. 2.8. В четвертом такте при разомкнутом ключе  $K_{л2}$  замыкаются ключи  $K_{л1}$  и  $K_{л3}$ ; при этом на вход СИ подается тест вида  $k(x+\theta)$ . Результат этого измерения запишем в виде

$$y_3 = d_{1j} + d_{2j}k(x + \theta). \quad (2.126)$$

Решив совместно (2.124) и (2.126), получим:

$$x = \theta(y_2 - y_0)/[(y_3 - y_1) - (y_2 - y_0)]. \quad (2.127)$$

Как видно из (2.127), результат измерений не зависит от коэффициента  $k$  преобразования БМТ.

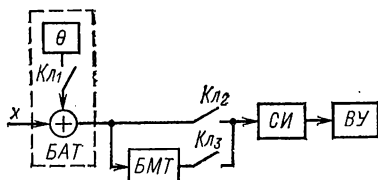


Рис. 2.10. Структурная схема СИ с коррекцией погрешности тестовым методом

При значительной нелинейности функции преобразования СИ для достижения высокой точности измерений может потребоваться применение кусочно-параболической аппроксимации функции преобразования. В этом случае необходимо формировать еще один тест и провести еще одно тактовое измерение. Таким образом, в большинстве практических случаев тестовые методы требуют формирования небольшого числа тестов (2—3), а следовательно, использования небольшого числа образцовых величин.

Малое число тестов и отсутствие необходимости отключения измеряемой величины от входа СИ позволяют использовать тестовые методы для повышения точности измерения как электрических, так и неэлектрических величин.

В настоящее время тестовые методы мы нашли практическое применение при измерениях таких физических величин, как напряжение, ток, электрическое сопротивление, емкость, индуктивность, перемещение, масса, расход жидких и сыпучих материалов, температура, усилие, электропроводность растворов, толщина покрытий, теплопроводность материалов.

## **Глава третья**

# **ПЕРЕДАЧА ИЗМЕРИТЕЛЬНОЙ ИНФОРМАЦИИ**

### **3.1. ОСНОВНЫЕ ПРИНЦИПЫ ПЕРЕДАЧИ ИЗМЕРИТЕЛЬНОЙ ИНФОРМАЦИИ**

Во многих случаях практики изучаемый объект находится на значительном удалении от потребителя измерительной информации. При этом наряду с задачей получения информации непосредственно от объекта возникает задача передачи этой информации по каналу связи от объекта к потребителю. Передача измерительной информации осуществляется с помощью различного вида сигналов с использованием таких процедур, как модуляция, дискретизация (квантование) и кодирование.

Информация, выраженная в определенной форме, представляет собой сообщение. Сигнал является материальным носителем сообщения и, следовательно, так же, как сообщение, может быть непрерывным или дискретным. При передаче информации непрерывными сигналами тот или иной параметр носителя информации изменяется, оставаясь непрерывной функцией времени. При использовании дискретных сигналов информация передается в виде отдельных относительно кратковременных изменений параметров носителя (импульсов). Независимо от способа передачи сигналы должны обеспечивать однозначность представления сообщений и обладать устойчивостью к искажениям, возникающим по тем или иным причинам в канале связи.

Сигналы классифицируются по их параметрам и временным свойствам. При этом основными признаками являются вид параметра сигнала, непрерывность или дискретность сигнала по параметру и по времени. Различают следующие основные виды сигналов:

- 1) непрерывные (по параметру и времени) сигналы. К ним относятся сигналы интенсивности (параметр — ток или напряжение) и модулированные гармонические колебания (параметры — амплитуда, частота или фаза);
- 2) непрерывные по параметру, но дискретные по времени сигналы — импульсные модулированные сигналы;
- 3) сигналы, дискретные по времени и параметру.

Под модуляцией понимается процесс изменения во времени одного или нескольких параметров сигнала-носителя в соответствии с передаваемыми сообщениями.

Область применения сигналов интенсивности весьма ограничена, поскольку их использование предъявляет достаточно жесткие требования к значению и стабильности параметров канала связи. Сигналы интенсивности используются только в проводных линиях связи небольшой протяженности. В большинстве случаев практики применяют сигналы, формируемые путем модуляции гармонических колебаний или последовательности импульсов.

В информационно-измерительной технике широко используется искусственная дискретизация непрерывных величин. При этом могут иметь место два различных процесса: 1) дискретизация (квантование) по уровню; 2) дискретизация (квантование) по времени.

Дискретизация по уровню осуществляется, например, в тех случаях, когда результаты измерений представляются в виде чисел (в цифровых измерительных устройствах и системах). Процедура дискретизации по уровню предшествует кодированию измерительной информации.

Дискретизация непрерывных величин по времени осуществляется как в цифровых измерительных приборах, так и в ИИС с поочередным подключением различных датчиков к одному и тому же каналу передачи информации.

Под кодированием в широком смысле слова понимают отображение состояния одной физической системы с помощью состояния другой. Целью этого процесса является хранение, передача и обработка информации, содержащейся в дискретных сообщениях. В более узком смысле кодированием считается процесс преобразования сообщений в комбинации из дискретных сигналов.

В информационно-измерительной технике кодирование используется в цифровых измерительных приборах и системах для представления измерительной информации в форме, удобной для восприятия человеком или ввода в цифровую ЭВМ, а также для передачи измерительной информации по каналам связи.

Таким образом, модуляция, дискретизация и кодирование являются процедурами, широко распространенными в информационно-измерительной технике. Их рациональное применение позволяет повысить надежность передачи измерительной информации, обеспечить эффективное использование каналов связи и устройств хранения, передачи и приема измерительной информации.

Так, например, использование процессов модуляции и демодуляции дает возможность создавать ИИС, в которых

имеется множество разнообразных датчиков и единственный канал передачи измерительной информации. Различные способы модуляции позволяют осуществить либо одновременную передачу информации от всех датчиков (частотное или корреляционное разделение каналов), либо поочередную передачу (временное разделение каналов). Другим примером использования модуляции в ИИТ является создание высокоточных измерительных усилителей постоянного тока на базе усилителей переменного тока.

Дискретизация непрерывных величин позволяет повысить эффективность использования средств измерений и каналов связи. Во многих случаях дискретизация непрерывных величин предшествует кодированию. Кодирование обеспечивает высокую помехоустойчивость передачи, хранения и обработки измерительной информации. Применение соответствующих кодов позволяет не только обнаруживать, но и в ряде случаев автоматически исправлять ошибки в полученных кодовых комбинациях.

При выборе метода передачи измерительной информации по каналу связи целесообразно провести сравнение характеристик данного метода с характеристиками оптимального метода передачи, обладающего наилучшими потенциальными возможностями. Для определения потенциальных возможностей канала связи используется понятие предельной пропускной способности  $C_{пр}$ , которая определяется следующим выражением [9]:

$$C_{пр} = \max_{\{A\}} C = \max_{\{A\}} \frac{I_T}{T} = \max_{\{A\}} \left[ \frac{H(x) - H(x/x_n)}{T} \right], \quad (3.1)$$

где  $\{A\}$  — множество возможных методов передачи и приема, среди которых отыскивается система с максимальной скоростью передачи  $C$  при заданных свойствах канала связи;  $I_T$  — количество информации, получаемое за время передачи  $T$ ;  $H(x) = - \int_{-\infty}^{+\infty} f(x) \log f(x) dx$  — априорная энтропия передаваемого сообщения за единицу времени;  $H(x/x_n) = - \int_{-\infty}^{+\infty} f(x/x_n) \log f(x/x_n) dx$  — средняя апостериорная энтропия в единицу времени;  $f(x)$  и  $f(x/x_n)$  — соответственно априорное и апостериорное распределение сообщения  $x$ .

На основании (3.1) Шеннон показал, что если ширина полосы пропускания канала ограничена и равна  $\Delta f$ , помеха

представляет собой белый гауссовский шум со спектральной плотностью  $N_0^2$ , средняя мощность сигнала равна  $P_c$ , сигнал и шум статистически независимы и аддитивны, то предельная пропускная способность канала связи определяется формулой

$$C_{\text{пр}} = \Delta f \log(1 + P_c/N_0^2 \Delta f) = \Delta f \log[1 + (P_c/P_{\text{ш.вх}})], \quad (3.2)$$

где  $P_{\text{ш.вх}} = N_0^2 \Delta f$  — средняя мощность шумов в канале.

Доказано, что предельная пропускная способность гауссовского канала реализуется, если полезный сигнал закодировать так, чтобы его спектр был равномерным в полосе частот канала, а распределение мгновенных значений нормальным.

Под реальной пропускной способностью  $C_p$  обычно понимают среднее количество информации, фактически передаваемое в единицу времени по каналу связи:

$$C_p = I_p/T_0, \quad (3.3)$$

где  $I_p$  — количество фактически передаваемой информации за время  $T_0$ .

Реальная пропускная способность канала может быть определена с учетом конкретного способа передачи информации, характеристик канала связи и помех в нем. При этом одной из важнейших задач является согласование пропускной способности канала с производительностью источника информации.

## 3.2. МОДУЛЯЦИЯ ГАРМОНИЧЕСКИХ СИГНАЛОВ

Наиболее широко на практике используются сигналы, формируемые путем модуляции гармонических колебаний. В этом случае переносчиком сообщения является переменный ток или напряжение, а параметром модуляции — его амплитуда, частота или фаза. Отсюда различают два вида модуляции гармонических сигналов: амплитудную (АМ) и угловую.

Угловая модуляция в свою очередь подразделяется на частотную (ЧМ) и фазовую (ФМ). Общий характер частотной и фазовой модуляции определяется тем, что при изменении частоты меняется фаза колебаний, а при изменении фазы — частота. Различие между ними проявляется лишь в характере изменения во времени мгновенной фазы при одной и той же модулирующей функции.

Выполнение гармонической модуляции обеспечивает достижение следующих целей:

1) согласование спектра передаваемого сигнала с частотной характеристикой канала;

2) разделение спектров нескольких сигналов при необходимости одновременной передачи по одному каналу нескольких информативных сигналов с перекрывающимися спектрами.

Следует иметь в виду, что процесс модуляции в случае, когда несущим сигналом является гармоническое колебание, приводит к трансформации спектра информационного сигнала, заключающейся в переносе его из области низких частот в область частот вблизи частоты несущей.

Рассмотрим кратко каждый из указанных выше способов гармонической модуляции.

**Амплитудная модуляция.** При АМ амплитуда несущих колебаний изменяется в функции модулирующего сообщения  $x(t)$ .

Пусть немодулированные несущие колебания имеют вид

$$a(t) = A_0 \cos(\omega_0 t + \varphi_0), \quad (3.4)$$

где  $A_0$ ,  $\omega_0$  и  $\varphi_0$ —соответственно амплитуда, круговая частота и начальная фаза несущих колебаний.

При АМ амплитуда изменяется по закону

$$A_m = A_0 [1 + m_{AM} x(t)], \quad (3.5)$$

где  $m_{AM} = \Delta A_m / A_0$ —коэффициент амплитудной модуляции, под которым понимают отношение наибольшего приращения  $\Delta A_m$  амплитуды несущего колебания к амплитуде  $A_0$  немодулированной несущей;  $x(t)$ —модулирующая функция в относительных единицах  $|x(t)| \leq 1$ . Подставляя (3.5) в (3.4), получаем

$$a(t) = A_0 [1 + m_{AM} x(t)] \cos(\omega_0 t + \varphi_0). \quad (3.6)$$

Характер изменения амплитуды несущего колебания, вызванный модулирующим воздействием  $x(t)$ , иллюстрируется на рис. 3.1.

Очевидно, что при АМ огибающая амплитуда несущей частоты должна повторять форму модулирующей функции  $x(t)$  без искажений при  $m_{AM} \leq 1$ .

Для выяснения свойств амплитудно-модулированных сигналов рассмотрим простейший пример модуляции, когда  $x(t) = \cos \Omega t$  (тональная модуляция), где  $\Omega \ll \omega_0$ . Соот-



ветствующий АМ сигнал (при  $m_{AM} \ll 1$ ) изображен на рис. 3.2.

При рассмотрении амплитудной модуляции для упрощения записей можно (без потери общности) считать начальные фазы колебаний равными нулю. Тогда мгновенное значение АМ сигнала запишется в виде

$$a(t) = A_0(1 + m_{AM} \cos \Omega t) \cos \omega_0 t. \quad (3.7)$$

Для анализа спектра АМ сигнала преобразуем (3.7) к виду

$$a(t) = A_0 \cos \omega_0 t + (A_0 m_{AM}/2) \cos(\omega_0 - \Omega)t + \\ + (A_0 m_{AM}/2) \cos(\omega_0 + \Omega)t. \quad (3.8)$$

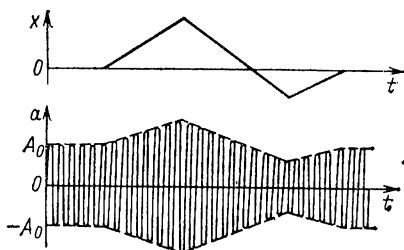


Рис. 3.1. Временные диаграммы сигналов при амплитудной модуляции

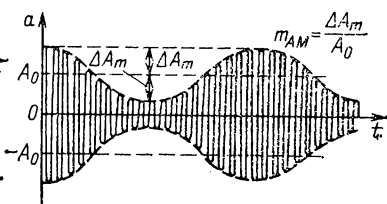


Рис. 3.2. Амплитудно-модулированный сигнал при тональной модуляции

Отсюда видно, что при АМ гармоническим сигналом спектр АМ сигнала содержит частотные компоненты несущих колебаний  $\omega_0$  и двух боковых частот  $\omega_0 - \Omega$  и  $\omega_0 + \Omega$ . Следует подчеркнуть, что спектр АМ сигнала не содержит спектральной составляющей с частотой модулирующей функции. Спектр АМ сигнала симметричен относительно частоты  $\omega_0$ , а амплитуды боковых частот равны  $A_0 m_{AM}/2$ . Очевидно, что ширина спектра равна  $2\Omega$ , т. е. вдвое превышает ширину спектра модулирующей функции.

В соответствии с (3.8) мощность АМ сигнала равна сумме мощностей спектральных составляющих. Однако составляющая с частотой  $\omega_0$  не несет в себе информацию о модулирующей функции, а следовательно, на ее передачу по каналу непроизводительно расходуется мощность передатчика. Для устранения указанного недостатка применяется передача АМ без несущей частоты — балансная амплитудная модуляция (БАМ). Для этой разновидности АМ

$$a(t) = A_0 x(t) \cos \omega_0 t. \quad (3.9)$$

Если  $x(t) = \cos \Omega t$ , то

$$\begin{aligned} a(t)_{\text{БАМ}} &= A_0 \cos \Omega t \cos \omega_0 t = \\ &= A_0 [\cos(\omega_0 + \Omega)t + \cos(\omega_0 - \Omega)t]/2. \end{aligned} \quad (3.10)$$

Свойство симметрии спектра АМ сигнала позволяет использовать другую разновидность АМ — однополосную АМ, при которой передается только одна боковая полоса (вторая боковая полоса подавляется). В этом случае вдвое сокращается ширина спектра АМ сигнала, но усложняется аппаратура.

Амплитудная модуляция может быть осуществлена практически либо в линейной цепи с переменными параметрами, либо в нелинейной цепи. Из (3.2) и (3.9) следует, что амплитудный модулятор должен выполнять операцию перемножения двух функций:  $1 + m_{\text{АМ}} x(t)$  [или  $x(t)$  при БАМ] и  $A_0 \cos \omega_0 t$ , следовательно, модулятор должен представлять собой аналоговое перемножающее устройство.

Наиболее просто АМ в линейной цепи с переменными параметрами реализуется на лампах, транзисторах или операционных усилителях с управляемым коэффициентом усиления. Другим способом реализации АМ является использование нелинейных элементов, например полупроводниковых диодов, вольт-амперная характеристика которых описывается степенным рядом. В такой нелинейной цепи действует сумма двух перемножаемых напряжений. Примером такого типа амплитудных модуляторов является кольцевой модулятор.

После передачи АМ сигнала по каналу связи необходимо осуществить его демодуляцию (детектирование), т. е. снова получить модулирующую функцию  $x(t)$ , которая в неявном виде содержится в модулированном высокочастотном колебании. В детекторе происходит операция, обратная модуляции, — выделение среднего значения выходного напряжения. Для подавления высокочастотных составляющих сигнал с выхода детектора пропускается через фильтр нижних частот (ФНЧ).

В зависимости от вида характеристики детектора различают одноктактное (однополупериодное) и двухтактное (двухполупериодное) детектирование. Рассмотрим процесс демодуляции АМ сигнала на примере двухтактного детектора, обеспечивающего лучшие характеристики.

Для неискаженной демодуляции АМ сигнала функция преобразова-

ния детектора должна быть кусочно-линейной с изломом в нулевой точке. При двухтактном детектировании кусочно-линейная функция преобразования должна быть четной.

Процесс демодуляции АМ сигнала иллюстрируется на рис. 3.3.

В соответствии с кусочно-линейной функцией преобразования детектора АМ сигнал  $u_{вх}(t)$  преобразуется в последовательность однополярных импульсов  $u_{вых}(t)$ , среднее значение  $u_{вых.ср}(t)$  которых повторяет по форме модулирующую функцию  $x(t)$  и выделяется с помощью ФНЧ.

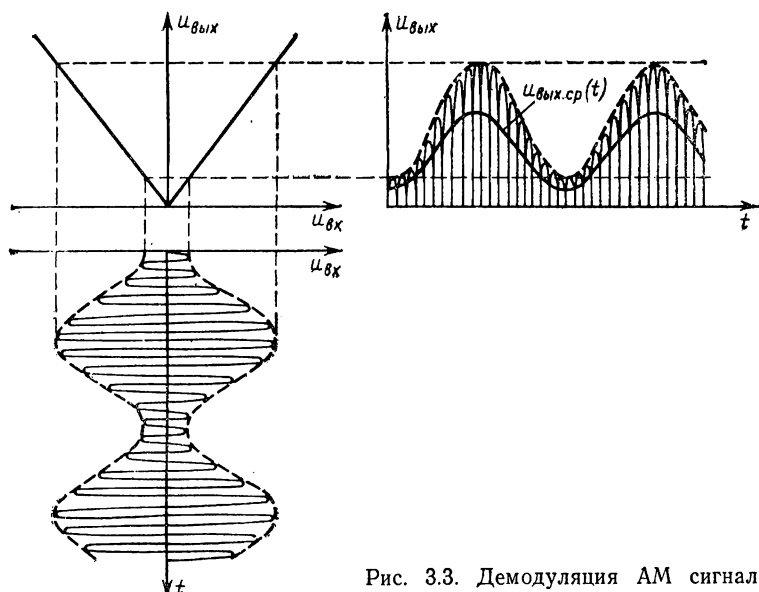


Рис. 3.3. Демодуляция АМ сигнала

Пусть АМ сигнал имеет вид

$$u_{вх}(t) = u_{вхm} (1 + m_{AM} \sin \Omega t) \sin \omega_0 t, \quad (3.11)$$

а функция преобразования идеального двухтактного детектора определяется выражением

$$u_{вых} = S |u_{вх}|,$$

где  $S = \text{const}$ , тогда сигнал на выходе детектора

$$u_{вых}(t) = S u_{вхm} |1 + m_{AM} \sin \Omega t| |\sin \omega_0 t|. \quad (3.12)$$

Так как  $m_{AM} \leq 1$ , то  $|m_{AM} \sin \Omega t| \leq 1$ , а следовательно,  $|1 + m_{AM} \sin \Omega t| = 1 + m_{AM} \sin \Omega t$ .

Разложим четную периодическую функцию  $f(t) = |\sin \omega_0 t|$  в ряд Фурье

$$f(t) = C_0 + \sum_{k=1}^{\infty} A_k \sin k\omega_1 t + \sum_{k=1}^{\infty} B_k \cos k\omega_1 t, \quad (3.13)$$

где

$$\begin{aligned} \omega_1 &= 2\omega_0; \quad T = 2\pi/\omega_1 = \pi/\omega_0; \quad C_0 = \frac{1}{T} \int_{-T/2}^{+T/2} f(t) dt = \\ &= \frac{2}{T} \int_0^{T/2} \sin \omega_0 t dt = \frac{2}{\pi}; \quad A_k = \frac{2}{T} \int_{-T/2}^{+T/2} f(t) \sin k\omega_1 t dt = 0; \\ B_k &= \frac{2}{T} \int_{-T/2}^{+T/2} f(t) \cos k\omega_1 t dt = 2 \frac{2}{T} \int_0^{T/2} \sin \omega_0 t \cos k\omega_1 t dt = \\ &= -\frac{2}{\pi} \frac{2}{4k^2 - 1}. \end{aligned}$$

В результате получим

$$|\sin \omega_0 t| = \frac{2}{\pi} \left( 1 - 2 \sum_{k=1}^{\infty} \frac{\cos 2k\omega_0 t}{4k^2 - 1} \right). \quad (3.14)$$

После подстановки (3.14) в (3.12) имеем

$$u_{\text{вых}}(t) = \frac{2}{\pi} Su_{\text{вх}} (1 + m_{\text{AM}} \sin \Omega t) \left( 1 - 2 \sum_{k=1}^{\infty} \frac{\cos 2k\omega_0 t}{4k^2 - 1} \right). \quad (3.15)$$

Открыв скобки и произведя тригонометрические преобразования, получим

$$\begin{aligned} u_{\text{вых}}(t) &= \frac{2}{\pi} Su_{\text{вх}} \left[ 1 + m_{\text{AM}} \sin \Omega t - \right. \\ &- 2 \sum_{k=1}^{\infty} \frac{\cos 2k\omega_0 t}{4k^2 - 1} + m_{\text{AM}} \sum_{k=1}^{\infty} \frac{\sin (2k\omega_0 - \Omega) t}{4k^2 - 1} - \\ &\left. - m_{\text{AM}} \sum_{k=1}^{\infty} \frac{\sin (2k\omega_0 + \Omega) t}{4k^2 - 1} \right]. \quad (3.16) \end{aligned}$$

Сигнал на выходе детектора содержит постоянную составляющую, составляющую с частотой  $\Omega$  модулирующей функции, а также четные гармоники несущей частоты  $2k\omega_0$  и составляющие с частотами-спутни-

ками  $2k\omega_0 \pm \Omega$ . Модулирующая функция выделяется с помощью ФНЧ. Очевидно, что отличие реальной функции преобразования детектора от рассмотренной идеальной приводит к искажениям восстановленной модулирующей функции.

Широкое применение в измерительной технике находит также синхронный детектор, включающий в себя перемножающее устройство  $M$  и ФНЧ (рис. 3.4).

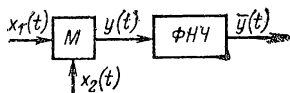


Рис. 3.4. Структурная схема синхронного детектора

Пусть на один из входов перемножающего устройства  $M$  подается АМ сигнал вида  $x_1(t) = A_m(1 + m_{AM} \cos \Omega t) \cos \omega_0 t$ , а на другой — опорный гармонический сигнал с частотой, равной несущей:

$$x_2(t) = B_m \cos(\omega_0 t + \varphi),$$

где  $\varphi$  — сдвиг фаз между АМ сигналом и опорным сигналом. Тогда на выходе перемножающего устройства получим:

$$\begin{aligned} y(t) &= kx_1(t)x_2(t) = kA_mB_m(1 + m_{AM} \cos \Omega t) \cos \omega_0 t \cos(\omega_0 t + \varphi) = \\ &= \frac{1}{2} kA_mB_m(1 + m_{AM} \cos \Omega t)[\cos(2\omega_0 t + \varphi) + \cos \varphi] = \frac{1}{2} kA_mB_m \times \\ &\times \left\{ (1 + m_{AM} \cos \Omega t) \cos \varphi + \cos(2\omega_0 t + \varphi) + \frac{m_{AM}}{2} \cos[(2\omega_0 - \right. \\ &\left. - \Omega)t + \varphi] + \frac{m_{AM}}{2} \cos[(2\omega_0 + \Omega)t + \varphi] \right\}. \end{aligned} \quad (3.17)$$

На выходе идеального ФНЧ получим

$$\bar{y}(t) = \frac{1}{2} kA_mB_m \cos \varphi (1 + m_{AM} \cos \Omega t). \quad (3.18)$$

Отсюда видно, что синхронный детектор позволяет в идеальном случае получить неискаженную модулирующую функцию, но коэффициент передачи детектора зависит от  $\varphi$  и максимален при  $\varphi=0$ , т. е. синхронный детектор обладает фазочувствительностью. Поэтому синхронный детектор обычно применяют в тех случаях, когда начальная фаза АМ сигнала известна и постоянна, например в усилителях типа М — ДМ.

Фактически синхронный детектор представляет собой коррелятор, определяющий начальное значение взаимной корреляционной функции сигналов  $x_1(t)$  и  $x_2(t)$ . В связи с этим синхронное детектирование обеспечивает более высокую помехоустойчивость канала передачи измерительной информации.

**Угловая модуляция.** Как отмечалось выше, угловая модуляция включает в себя две разновидности: фазовую модуляцию (ФМ) и частотную модуляцию (ЧМ). При ФМ модулирующая функция  $x(t)$  воздействует непосредственно на фазу гармонического сигнала. Запишем ФМ сигнал в виде

$$a(t) = A_0 \cos [\omega_0 t + \Delta \varphi x(t)], \quad (3.19)$$

где  $\Delta \varphi$  — девиация фазы.

Так как  $|x(t)|_{\max} = 1$ , то  $\Delta \varphi$  представляет собой максимальное изменение начальной фазы в результате ФМ.

Модуляция фазы вызывает и модуляцию частоты сигнала по соответствующему закону.

Запишем (3.19) следующим образом:

$$a(t) = A_0 \cos \psi(t),$$

где  $\psi(t) = \omega_0 t + \Delta \varphi x(t)$  — мгновенная фаза.

Мгновенная частота сигнала

$$\omega(t) = d\psi(t)/dt = \omega_0 + \Delta \varphi (dx(t)/dt). \quad (3.20)$$

Таким образом, модуляция фазы по закону  $x(t)$  приводит к модуляции частоты по закону  $dx(t)/dt$ .

При ЧМ модулирующая функция  $x(t)$  воздействует непосредственно на частоту, а изменения угла являются следствием изменения частоты. В этом случае мгновенная частота

$$\omega(t) = \omega_0 + \Delta \omega x(t), \quad (3.21)$$

где  $\Delta \omega$  — девиация частоты, равная максимальному изменению частоты в результате ЧМ.

Соответственно мгновенная фаза сигнала

$$\psi(t) = \int_0^t \omega(t) dt = \omega_0 t + \Delta \omega \int_0^t x(t) dt, \quad (3.22)$$

а ЧМ сигнал запишется в виде

$$a(t) = A_0 \cos \left[ \omega_0 t + \Delta \omega \int_0^t x(t) dt \right]. \quad (3.23)$$

Отсюда следует, что модуляция частоты по закону  $x(t)$  приводит к модуляции фазы по закону  $\int_0^t x(t) dt$ . Взаимосвязь ЧМ и ФМ позволяет, например, использовать фазовые модуляторы для получения ЧМ сигналов.

Наибольшее применение на практике получила частотная модуляция гармонических сигналов. Рассмотрим простейший случай ЧМ, когда  $x(t) = \cos \Omega t$  ( $\Omega \ll \omega_0$ ); ЧМ сигнал примет вид

$$a(t) = A_0 \cos(\omega_0 t + m_{\text{ЧМ}} \sin \Omega t), \quad (3.24)$$

где  $m_{\text{ЧМ}} = \Delta\omega/\Omega$  — индекс частотной модуляции, равный максимальному отклонению начальной фазы при ЧМ.

Проанализируем спектр такого ЧМ сигнала. Для этого преобразуем (3.24) к виду

$$a(t) = A_0 \cos \omega_0 t \cos(m_{\text{ЧМ}} \sin \Omega t) - A_0 \sin \omega_0 t \sin(m_{\text{ЧМ}} \sin \Omega t). \quad (3.25)$$

Воспользуемся следующими разложениями функций:

$$\begin{aligned} \cos(x \sin y) &= I_0(x) + 2 \sum_{\nu=1}^{\infty} I_{2\nu}(x) \cos 2\nu y; \\ \sin(x \sin y) &= 2 \sum_{\nu=0}^{\infty} I_{2\nu+1}(x) \sin(2\nu+1)y, \end{aligned}$$

где  $I_\nu(x)$  — функция Бесселя порядка  $\nu$  аргумента  $x$ . В данном случае с учетом того, что  $x = m_{\text{ЧМ}}$ ,  $y = \Omega t$ , получим:

$$\begin{aligned} a(t) &= A_0 \{ \cos \omega_0 t [I_0(m_{\text{ЧМ}}) + 2 \sum_{\nu=1}^{\infty} I_{2\nu}(m_{\text{ЧМ}}) \cos 2\nu \Omega t] - \\ &- \sin \omega_0 t \cdot 2 \sum_{\nu=0}^{\infty} I_{2\nu+1}(m_{\text{ЧМ}}) \sin(2\nu+1)\Omega t \} = A_0 \{ I_0(m_{\text{ЧМ}}) \cos \omega_0 t + \\ &+ \sum_{\nu=1}^{\infty} I_{2\nu}(m_{\text{ЧМ}}) \cos(\omega_0 + 2\nu\Omega)t + \sum_{\nu=1}^{\infty} I_{2\nu}(m_{\text{ЧМ}}) \cos(\omega_0 - 2\nu\Omega)t + \\ &+ \sum_{\nu=0}^{\infty} I_{2\nu+1}(m_{\text{ЧМ}}) \cos[\omega_0 + (2\nu+1)\Omega]t - \sum_{\nu=0}^{\infty} I_{2\nu+1}(m_{\text{ЧМ}}) \cos[\omega_0 - \\ &- (2\nu+1)\Omega]t \} = A_0 \{ I_0(m_{\text{ЧМ}}) \cos \omega_0 t + \sum_{k=1}^{\infty} I_k(m_{\text{ЧМ}}) \cos(\omega_0 + \\ &+ k\Omega)t + \sum_{k=1}^{\infty} (-1)^k I_k(m_{\text{ЧМ}}) \cos(\omega_0 - k\Omega)t \}. \quad (3.26) \end{aligned}$$

Анализ (3.26) показывает, что даже при простейшей синусоидальной модуляции спектр ЧМ сигнала получается безгранично широким. Спектр линейчатый, расстояние между спектральными линиями равно значению  $\Omega$ . Амплитуда каждой спектральной составляющей определяется величиной  $m_{\text{ЧМ}}$  и расстоянием этой составляющей от  $\omega_0$ , т. е.

значением  $k$ . Очевидно, что спектр амплитуд ЧМ сигнала симметричен относительно  $\omega_0$ , а фазовый спектр несимметричен. Хотя теоретически спектр ЧМ сигнала безграничен, однако практически его можно ограничить, если учесть, что значения функций Бесселя быстро убывают при  $k > m_{\text{ЧМ}}$ . Если отбросить спектральные составляющие, амплитуда которых не превышает 5 % амплитуды несущего колебания, то реальная ширина спектра ЧМ сигнала

$$2\Delta\omega_{\text{ЧМ}} \approx 2(1 + m_{\text{ЧМ}})\Omega = 2(\Delta\omega + \Omega). \quad (3.27)$$

Отсюда следует, что при малых индексах частотной модуляции ( $m_{\text{ЧМ}} \ll 1$ ) реальная ширина спектра ЧМ сигнала  $2\Delta\omega_{\text{ЧМ}} \approx 2\Omega$ , а при больших индексах частотной модуляции ( $m_{\text{ЧМ}} \gg 1$ )  $2\Delta\omega_{\text{ЧМ}} \approx 2\Delta\omega$ .

На рис. 3.5 в качестве примера изображен спектр амплитуд ЧМ сигнала при  $m_{\text{ЧМ}} = 5$ .

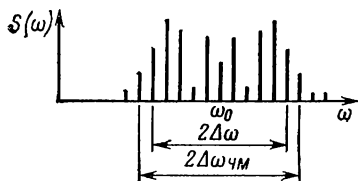


Рис. 3.5. Спектр амплитуд ЧМ сигнала

Рассмотрим спектр ФМ сигнала для  $X(t) = \sin \Omega t$ . При этом ФМ сигнал запишется в виде

$$a(t) = A_0 \cos(\omega_0 t + \Delta\varphi \sin \Omega t). \quad (3.28)$$

Сравнивая (3.28) с (3.24), можно сделать вывод, что спектр ФМ сигнала получается из (3.26) формальной заменой  $m_{\text{ЧМ}}$  на  $\Delta\varphi$ . Соответственно реальная ширина спектра ФМ сигнала

$$2\Delta\omega_{\text{ФМ}} \approx 2(1 + \Delta\varphi)\Omega \quad (3.29)$$

и всегда определяется модулирующей частотой.

Наиболее часто в ИИТ частотная модуляция осуществляется путем изменения частоты генерации автогенератора, при этом модулирующая функция воздействует на один из параметров, определяющих частоту генерации [21]. Фазовая модуляция может осуществляться изменением параметров линейной цепи с неравномерной фазочастотной характеристикой, на вход которой подаются колебания стабильной частоты, например, путем изменения расстройки колебательного контура относительно стабильной частоты сигнала. Другим способом фазовой модуляции при малых девиациях фазы является использование балансного амплитудного модулятора.

Все способы частотной демодуляции основаны на предварительном



преобразовании ЧМ сигнала в АМ сигнал и последующем его детектировании с помощью амплитудного детектора. В качестве схем преобразования ЧМ сигнала в АМ сигнал могут быть использованы линейные цепи с неравномерной амплитудно-частотной характеристикой. В диапазоне частот ЧМ сигнала эта амплитудно-частотная характеристика должна быть линейной. В качестве схем такого типа используют расстроенные контуры, пары расстроенных контуров, частотные дискриминаторы и т.п. Однако необходимо отметить, что в ИИТ ЧМ сигнал

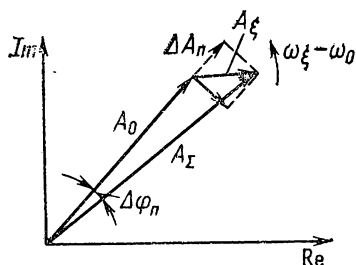


Рис. 3.6. Векторная диаграмма

чаще всего преобразуется непосредственно в цифровые отсчеты с помощью цифрового частотомера.

**Помехоустойчивость различных видов гармонической модуляции.** При использовании модулированных сигналов для передачи измерительной информации большое значение имеет их помехозащищенность, которая в значительной степени зависит от выбранного вида модуляции. В результате

действия помех возникает паразитная модуляция несущего колебания, которой подвергаются практически все параметры, причем помеха оказывает различное влияние на разные параметры носителя. Рассмотрим это на примере действия простейшей аддитивной гармонической помехи [21].

Пусть имеется немодулированное несущее колебание

$$a(t) = A_0 \cos \omega_0 t \quad (3.30)$$

и гармоническая помеха произвольной частоты

$$a_\xi(t) = A_\xi \cos \omega_\xi t. \quad (3.31)$$

При аддитивном действии помехи в канале связи на входе приемника получим

$$a(t) + a_\xi(t) = A_0 \cos \omega_0 t + A_\xi \cos \omega_\xi t. \quad (3.32)$$

На рис. 3.6 изображена векторная диаграмма, на которой вектор  $A_\Sigma$  равен сумме векторов  $A_0$  несущего сигнала и  $A_\xi$  помехи. Если вектор  $A_0$  считать условно неподвижным, то вектор  $A_\xi$  будет вращаться с частотой  $(\omega_\xi - \omega_0)$ . Проекция вектора  $A_\xi$  на вектор  $A_0$  создает паразитную модуляцию амплитуды, причем приращение амплитуды

$$\Delta A_n = A_\xi \cos (\omega_\xi - \omega_0) t. \quad (3.33)$$

Одновременно происходит модуляция угла. Приращение угла

$$\Delta \varphi_n \approx \operatorname{tg} \Delta \varphi = A_\xi \sin (\omega_\xi - \omega_0) t / [A_0 + A_\xi \cos (\omega_\xi - \omega_0) t].$$

Положив  $A_0 \gg A_{\xi}$ , получим

$$\Delta\varphi_{\Pi} \approx (A_{\xi}/A_0) \sin(\omega_{\xi} - \omega_0) t. \quad (3.34)$$

Соответственно паразитное изменение частоты

$$\Delta\omega_{\Pi} = d\Delta\varphi_{\Pi}/dt \approx (A_{\xi}/A_0) (\omega_{\xi} - \omega_0) \cos(\omega_{\xi} - \omega_0) t. \quad (3.35)$$

Таким образом, в результате действия помехи появляется паразитная модуляция всех параметров несущего колебания.

После демодуляции сигнала (при любом виде модуляции) получим полезную  $y(t)$  и паразитную  $y_{\xi}(t)$  составляющие выходного сигнала.

Интенсивность полезного сигнала на выходе демодулятора будем характеризовать его средней мощностью  $P_y$ , а интенсивность помехи мощностью  $P_{\xi}$ , которая при нулевом математическом ожидании равна дисперсии паразитной составляющей выходного сигнала.

Помехоустойчивость будем определять отношением

$$\rho = P_y/P_{\xi}. \quad (3.36)$$

Сравним помехоустойчивость АМ и ЧМ. Пусть модулирующая функция

$$x(t) = \sin \Omega t.$$

Будем считать, что помеха аддитивна и имеет постоянную спектральную плотность  $S_{\xi}$  в полосе частот сигнала.

Рассмотрим помехоустойчивость АМ. Полезный сигнал на выходе амплитудного демодулятора (АД) пропорционален полезному изменению амплитуды АМ сигнала, следовательно,

$$y(t)_{\text{АМ}} = k_{\text{АД}} m_{\text{АМ}} A_0 x(t) = k_{\text{АД}} m_{\text{АМ}} A_0 \sin \Omega t, \quad (3.37)$$

где  $k_{\text{АД}}$  — коэффициент пропорциональности.

Средняя мощность полезного сигнала

$$P_{y\text{АМ}} = k_{\text{АД}}^2 m_{\text{АМ}}^2 A_0^2/2. \quad (3.38)$$

Аналогично с учетом (3.33) запишем элементарную помеху (от одной спектральной составляющей) на выходе амплитудного демодулятора:

$$y_{\xi}(t)_{\text{АМ}} = k_{\text{АД}} A_{\xi} \cos(\omega_{\xi} - \omega_0) t = k_{\text{АД}} A_{\xi} \cos \Delta\Omega_{\Pi} t, \quad (3.39)$$

где  $\Delta\Omega_{\Pi} = \omega_{\xi} - \omega_0$  — частотная расстройка элементарной помехи.

Соответственно мощность элементарной помехи на выходе

$$dP_{\xi\text{АМ}} = k_{\text{АД}}^2 A_{\xi}^2/2. \quad (3.40)$$

Величина  $A_{\xi}^2/2$  представляет собой мощность элементарной помехи на входе приемника. Так как реальная помеха имеет непрерывный спектр, то будем считать, что величина  $A_{\xi}^2/2$  равна мощности реальной помехи в малой полосе частот  $d(\Delta\Omega_{\Pi})$ :

$$A_{\xi}^2/2 = S_{\xi} d(\Delta\Omega_{\Pi})/2\pi. \quad (3.41)$$

Подставив (3.41) в (3.40), получим:

$$dP_{\xi AM} = \frac{1}{2\pi} k_{AD}^2 S_{\xi} d(\Delta\Omega_{\Pi}). \quad (3.42)$$

Предположим, что фильтр нижних частот на выходе демодулятора является идеальным, т. е. равномерно передает все частоты в полосе полезного сигнала ( $0-\Omega$ ) и полностью подавляет более высокие. Тогда полная мощность помехи на выходе демодулятора

$$P_{\xi AM} = \int_0^{\Omega} dP_{\xi AM} = \frac{1}{2\pi} k_{AD}^2 S_{\xi} \Omega. \quad (3.43)$$

Вычислим величину  $\rho_{AM}$ , характеризующую помехоустойчивость:

$$\rho_{AM} = P_{yAM}/P_{\xi AM} = \pi m_{AM}^2 A_0^2/S_{\xi} \Omega. \quad (3.44)$$

Проведем аналогичные расчеты для ЧМ. Полезный сигнал на выходе частотного демодулятора пропорционален полезному изменению частоты ЧМ сигнала, следовательно,

$$y(t)_{\text{ЧМ}} = k_{\text{ЧД}} \Delta\omega \sin \Omega t, \quad (3.45)$$

где  $\Delta\omega$  — девиация частоты;  $k_{\text{ЧД}}$  — коэффициент пропорциональности.

Средняя мощность полезного сигнала

$$P_{y\text{ЧМ}} = k_{\text{ЧД}}^2 \Delta\omega^2/2. \quad (3.46)$$

С учетом (3.35) для элементарной помехи на выходе демодулятора получаем

$$y_{\xi\text{ЧМ}}(t) = k_{\text{ЧД}} (A_{\xi}/A_0) \Delta\Omega_{\Pi} \cos \Delta\Omega_{\Pi} t, \quad (3.47)$$

где  $\Delta\Omega_{\Pi} = \omega_{\xi} - \omega_0$ .

Мощность элементарной помехи на выходе

$$dP_{\xi\text{ЧМ}} = (1/2) k_{\text{ЧД}}^2 (A_{\xi}^2/A_0^2) \Delta\Omega_{\Pi}^2. \quad (3.48)$$

Как и раньше, принимаем, что

$$A_{\xi}^2/2 = (1/2\pi) S_{\xi} d(\Delta\Omega_{\Pi}),$$

тогда

$$dP_{\xi\text{ЧМ}} = (1/2\pi) k_{\text{ЧД}}^2 (S_{\xi}/A_0^2) \Delta\Omega_{\Pi}^2 d(\Delta\Omega_{\Pi}). \quad (3.49)$$

Полная мощность помехи на выходе идеального ФНЧ

$$P_{\xi\text{ЧМ}} = \int_0^{\Omega} dP_{\xi\text{ЧМ}} = \frac{1}{2\pi} k_{\text{ЧД}}^2 \frac{S_{\xi}}{A_0^2} \int_0^{\Omega} \Delta\Omega_{\Pi}^2 d(\Delta\Omega_{\Pi}) = \frac{1}{6\pi} k_{\text{ЧД}}^2 \frac{S_{\xi}}{A_0^2} \Omega^3. \quad (3.50)$$

Оценим помехоустойчивость:

$$\rho_{\text{ЧМ}} = P_{y\text{ЧМ}}/P_{\xi\text{ЧМ}} = 3\pi A_0^2 \Delta\omega^2/S_{\xi} \omega^3 = 3\pi A_0^2 m_{\text{ЧМ}}^2/S_{\xi} \Omega. \quad (3.51)$$

Сравним помехоустойчивость АМ и ЧМ:

$$\rho_{\text{ЧМ}}/\rho_{\text{АМ}} = 3 (m_{\text{ЧМ}}/m_{\text{АМ}})^2. \quad (3.52)$$

Так как  $m_{\text{АМ}} \leq 1$ , а  $m_{\text{ЧМ}}$  может быть гораздо больше единицы, то ЧМ обладает помехоустойчивостью, не менее чем в  $3m_{\text{ЧМ}}^2$  раз большей, чем АМ. Следует обратить внимание на то, что ЧМ сигнал при этом занимает полосу частот, примерно в  $m_{\text{ЧМ}}$  раз большую, чем АМ сигнал. Таким образом, повышение помехозащищенности сигнала достигается за счет расширения его спектра.

### 3.3. ИМПУЛЬСНАЯ МОДУЛЯЦИЯ

Увеличение объема измерительной информации, передаваемой по каналам связи, приводит к все более широкому применению импульсной модуляции, которая имеет целый ряд преимуществ перед модуляцией гармонических колебаний. Импульсная модуляция используется в ИИС с временным разделением каналов, в которых в паузах между импульсами, несущими информацию об одной измеряемой величине, размещается информация о других измеряемых величинах. Последовательность импульсов позволяет вести модуляцию нескольких параметров, т. е. более эффективно использовать канал связи. Применение импульсных сигналов дает возможность существенно увеличить мощность в импульсе при небольшой средней мощности и тем самым повысить помехоустойчивость передачи информации.

Наиболее часто в практике используются импульсы прямоугольной формы, легко реализуемые технически на ключевых элементах. Периодическая последовательность прямоугольных импульсов изображена на рис. 3.7.

Периодическую последовательность импульсов характеризуют следующие параметры: амплитуда импульсов  $A_m$ , период повторения  $T$ , частота импульсов  $f=1/T$ , длительность импульсов  $\tau$ , скважность  $Q=T/\tau$ , фаза импульсов  $\varphi=2\pi t_3/T$ , где  $t_3$ —задержка импульсов относительно опорной последовательности импульсов (показана штриховыми линиями).

**Виды импульсной модуляции.** Любой из перечисленных параметров импульсной последовательности может являться параметром модуляции. В связи с этим различают следующие виды импульсной модуляции: амплитудно-импульс-

ную (АИМ), частотно-импульсную (ЧИМ), широтно-импульсную (ШИМ) и фазово-импульсную (ФИМ). Сущность различных видов импульсной модуляции иллюстрируется на рис. 3.8.

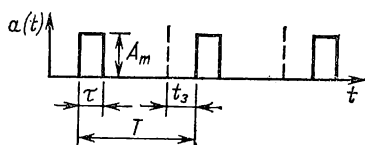


Рис. 3.7. Временная диаграмма периодической последовательности импульсов

При амплитудно-импульсной модуляции в соответствии с модулирующей функцией  $x(t)$  изменяется амплитуда импульсов. Существуют две разновидности АИМ. При АИМ1

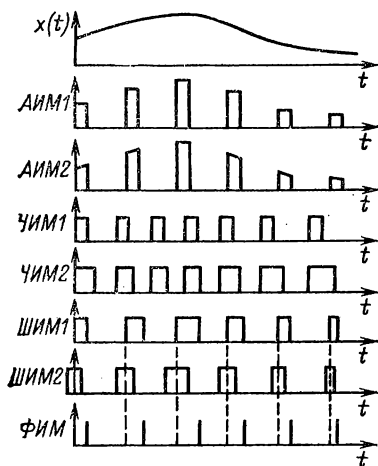


Рис. 3.8. Временные диаграммы различных видов импульсной модуляции

изменяется высота импульсов, а форма остается прямоугольной. При АИМ2 вершина импульса повторяет соответствующий участок кривой, изображающей модулирующую функцию.

При частотно-импульсной модуляции изменяется частота повторения импульсов. При этом обычно остается постоянной либо длительность импульсов (ЧИМ1), либо их скважность (ЧИМ2). Как разновидность ЧИМ можно рассматривать тот случай, когда модулирующая функция воздействует на период повторения импульсов.

Различают также две разновидности широтно-импульсной модуляции. При

ШИМ1 в зависимости от модулирующей функции изменяется положение только заднего фронта импульса (односторонняя ШИМ). При ШИМ2 симметрично меняется положение и переднего, и заднего фронтов импульса (двусторонняя ШИМ), причем постоянный период повторения определяется положением середины каждого импульса.

При фазово-импульсной модуляции модулирующая функция не изменяет форму и параметры импульсов, а смещает положение импульсов по оси времени.

Иногда в качестве вида импульсной модуляции рассматривают кодово-импульсную модуляцию (КИМ), при которой с помощью группы импульсов осуществляется кодирование и передача дискретных сообщений. Однако в отличие от всех рассмотренных выше видов импульсной модуляции КИМ не может применяться для передачи непрерывных сообщений, поэтому целесообразно ее рассматривать не как вид модуляции, а как способ передачи дискретных сообщений с помощью кода.

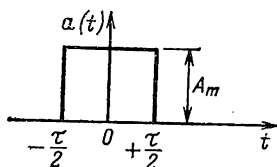


Рис. 3.9. Одиночный прямоугольный импульс

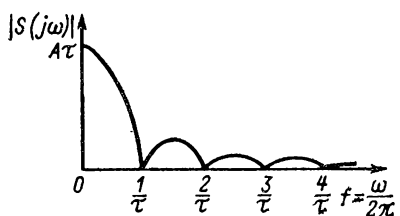


Рис. 3.10. Спектр амплитуд одиночного прямоугольного импульса

**Спектры сигналов при импульсной модуляции.** Для анализа спектров сигналов при импульсной модуляции рассмотрим сначала спектр одиночного прямоугольного импульса, изображенного на рис. 3.9.

Используя интеграл Фурье, найдем комплексный спектр:

$$\begin{aligned}
 S(j\omega) &= \int_{-\tau/2}^{+\tau/2} A_m e^{-j\omega t} dt = \frac{A_m}{j\omega} (e^{j\omega\tau/2} - e^{-j\omega\tau/2}) = \\
 &= 2 \frac{A_m}{\omega} \sin \frac{\omega\tau}{2} = A_m \tau \frac{\sin \frac{\omega\tau}{2}}{\omega\tau/2} = A_m \tau \frac{\sin \pi f\tau}{\pi f\tau}. \quad (3.53)
 \end{aligned}$$

При изменении положения импульса на временной оси спектр амплитуд [модуль  $|S(j\omega)|$ ] изменяться не будет, а изменится лишь фазовый спектр [аргумент  $S(j\omega)$ ]. Спектр амплитуд, соответствующий выражению (3.53), изображен на рис. 3.10.

Спектр амплитуд теоретически не ограничен по частоте и имеет нули при частотах  $f = k/\tau$ . Убывание амплитуд спектральных составляющих с ростом частоты позволяет ограничить реальную ширину спек-

ра, причем она будет тем больше, чем меньше длительность импульса.

Рассмотрим спектр периодической последовательности прямоугольных импульсов, изображенный на рис. 3.11.

Данный периодический сигнал  $a(t)$  разложим в ряд Фурье:

$$a(t) = C_0 + \sum_{k=1}^{\infty} A_k \sin k\omega_1 t + \sum_{k=1}^{\infty} B_k \cos k\omega_1 t, \quad (3.54)$$

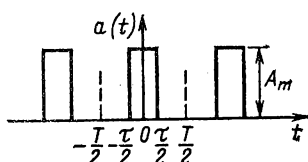


Рис. 3.11. Периодическая последовательность прямоугольных импульсов

где  $\omega_1 = 2\pi/T$  — частота первой гармоники;

$$\begin{aligned} A_k &= \frac{2}{T} \int_{-T/2}^{+T/2} a(t) \sin k\omega_1 t dt = \frac{2}{T} \int_{-\tau/2}^{+\tau/2} A_m \sin k\omega_1 t dt = 0; \\ B_k &= \frac{2}{T} \int_{-T/2}^{+T/2} a(t) \cos k\omega_1 t dt = \\ &= \frac{2}{T} \int_{-\tau/2}^{+\tau/2} A_m \cos k \frac{2\pi}{T} t dt = \frac{2A_m}{k\pi} \sin k\pi \frac{\tau}{T}; \quad C_0 = \frac{1}{T} \int_{-T/2}^{+T/2} a(t) dt = \\ &= \frac{1}{T} \int_{-\tau/2}^{+\tau/2} A_m dt = A_m \frac{\tau}{T}. \end{aligned}$$

Окончательно получим:

$$a(t) = A_m \frac{\tau_0}{T} \left[ 1 + 2 \sum_{k=1}^{\infty} \frac{\sin(k\pi\tau/T)}{k\pi\tau/T} \cos \frac{2k\pi}{T} t \right]. \quad (3.55)$$

Спектр амплитуд, соответствующий выражению (3.55), приведен на рис. 3.12.

Спектр сигнала линейчатый (дискретный) с расстоянием между линиями  $1/T$ . Рассмотрев дискретные значения частоты  $f_k = k/T$ , можно заметить, что амплитуды соответствующих спектральных составляющих определяются выражением

$$\frac{|\sin(k\pi\tau/T)|}{k\pi\tau/T} = \frac{|\sin\pi f_k \tau|}{\pi f_k \tau},$$

которое описывает и спектр амплитуд одиночного прямоугольного импульса. Поэтому график спектра амплитуд одиночного импульса явля-

ется огибающей спектра амплитуд периодической последовательности импульсов (на рис. 3.12 показана штриховыми линиями при скважности  $Q=4$ ).

Отсюда следует, что реальная ширина спектра периодической последовательности импульсов также определяется длительностью импульсов и она тем больше, чем меньше длительность импульсов.

Влияние модуляции на спектр сигнала рассмотрим на примере амплитудно-импульсной модуляции.

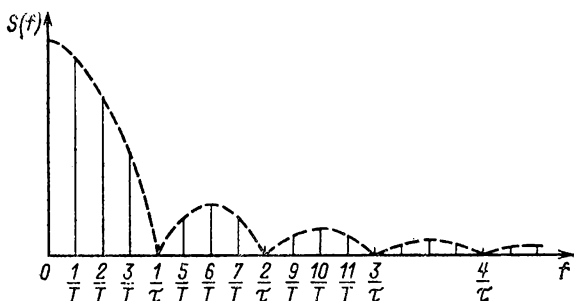


Рис. 3.12. Спектр амплитуд периодической последовательности прямоугольных импульсов

Пусть модулирующая функция  $x(t) = \cos \Omega t$  ( $\Omega/2\pi \ll 1/T$ ). Амплитуда импульсов в этом случае изменяется по закону

$$A(t) = A_0 (1 + m_{\text{АИМ}} \cos \Omega t),$$

где  $m_{\text{АИМ}}$  — коэффициент глубины модуляции. С учетом (3.55) модулированный сигнал запишем в виде

$$a(t) = A_0 (1 + m_{\text{АИМ}} \cos \Omega t) \frac{\tau}{T} \left( 1 + \sum_{k=1}^{\infty} a_k \cos k\omega_1 t \right), \quad (3.56)$$

где  $a_k = 2 [\sin(k\pi\tau/T)] / [k\pi\tau/T]$ ;  $\omega_1 = 2\pi/T$ .

После преобразований (3.56) получим:

$$\begin{aligned} a(t) = & A_0 \frac{\tau}{T} + A_0 \frac{\tau}{T} m_{\text{АИМ}} \cos \Omega t + A_0 \frac{\tau}{T} \sum_{k=1}^{\infty} a_k \cos k\omega_1 t + \\ & + A_0 \frac{\tau}{T} \frac{m_{\text{АИМ}}}{2} \sum_{k=1}^{\infty} a_k \cos (k\omega_1 - \Omega) t + A_0 \frac{\tau}{T} \frac{m_{\text{АИМ}}}{2} \sum_{k=1}^{\infty} a_k \cos (k\omega_1 + \Omega) t. \end{aligned} \quad (3.57)$$



Соответствующий спектр амплитуд изображен на рис. 3.13 (скважность импульсов  $Q=2$ ,  $F=\Omega/2\pi$ ). Отсюда следует, что, кроме основных линий, содержащихся в спектре немодулированной последовательности импульсов, имеются боковые линии, расположенные по обе стороны от основных на расстоянии  $F=\Omega/2\pi$ . Амплитуды этих боковых линий в  $m_{\text{АИМ}}/2$  раз отличаются от амплитуд соответствующих основных линий спектра.

При ЧИМ, ШИМ и ФИМ даже при простейшей гармонической модулирующей функции вокруг каждой линии спектра несущего импульсного сигнала располагается бесконечно много боковых линий, однако их амплитуды быстро убывают.

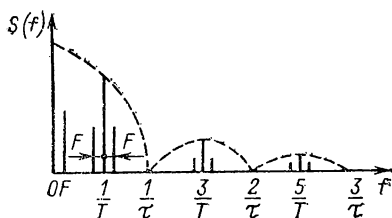


Рис. 3.13. Спектр амплитуд при амплитудно-импульсной модуляции

Таким образом, модуляция усложняет спектр импульсного сигнала, но его ширина практически остается такой же, как и для одиночного импульса.

Сравнение помехоустойчивости различных видов импульсной модуляции показывает, что ФИМ обладает большей помехоустойчивостью, чем ШИМ, а ШИМ более помехоустойчива, чем АИМ.

В тех случаях, когда необходимо осуществить перенос спектра сигналов в область высоких частот, импульсную модулированную последовательность используют для модуляции гармонического несущего сигнала, т.е. применяют двойную модуляцию, например, АИМ—АМ, АИМ—ЧМ, ШИМ—АМ и т.п. Двухступенчатая модуляция находит широкое применение в системах радиотелетрии.

Для демодуляции АИМ и ШИМ используются обычные амплитудные детекторы с фильтром нижних частот (ФНЧ). Сигнал ФИМ обычно предварительно преобразуют в ШИМ, а сигнал ЧИМ— в АИМ, а затем уже демодулируют. Однако в современной информационно-измерительной технике сигналы ЧИМ, ШИМ и ФИМ все чаще непосредственно преобразуются в цифровой код.

### 3.4. ДИСКРЕТИЗАЦИЯ НЕПРЕРЫВНЫХ ВЕЛИЧИН ПО УРОВНЮ

Дискретизация (квантование) непрерывных величин по уровню выполняется автоматически в цифровых измерительных приборах и в аналого-цифровых преобразователях. Квантование по уровню выполняется также при численной регистрации результатов измерений, считываемых со шкалы аналогового измерительного прибора. В этом случае квантование осуществляется самим экспериментатором.

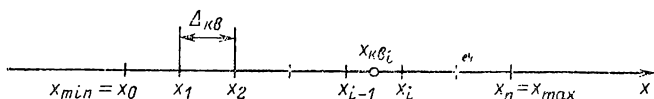


Рис. 3.14. Равномерное квантование по уровню

Под квантованием по уровню подразумевается операция отнесения значения непрерывной величины к разрешенному значению шкалы квантования [23]. С математической точки зрения операция квантования связана с округлением значения непрерывной величины в соответствии с принятым решающим правилом (например, отнесение к нижней, верхней границе интервала квантования или к его середине). Следует отметить, что в результате квантования по уровню еще не получается численная оценка измеряемой величины. Для ее получения после операции квантования по уровню или одновременно с ней выполняется операция кодирования квантованного значения непрерывной величины.

Квантование по уровню приводит к появлению методической погрешности, которую ввиду ее случайного характера иногда называют шумом квантования. Строго говоря, погрешность квантования является неслучайной функцией неизвестного (случайного) значения измеряемой величины.

Наибольшее распространение в практике ИИТ получило равномерное квантование по уровню, при котором диапазон возможных значений непрерывной величины  $x$  — интервал  $[x_{min}, x_{max}]$  — разбивается на  $n$  равных интервалов квантования с границами

$$x_0 = x_{min}, x_1, x_2, \dots, x_n = x_{max}.$$

Операция равномерного квантования по уровню иллюстрируется на рис. 3.14.

Длина каждого интервала квантования называется шагом квантования

$$\Delta_{\text{кв}} = x_i - x_{i-1}, \quad i = 1, 2, \dots, n.$$

При равномерном квантовании  $\Delta_{\text{кв}} = \text{const}$ .

В результате квантования любое из значений  $x$ , принадлежащее интервалу  $[x_{i-1}, x_i]$ , округляется до некоторой величины  $x_{\text{кв}i} \in [x_{i-1}, x_i]$ , причем  $x_{\text{кв}i+1} - x_{\text{кв}i} = \Delta_{\text{кв}}$ . Значения  $x_{\text{кв}i}$  носят название уровней квантования. В качестве уровней квантования выбирают верхнюю или нижнюю границу интервалов квантования либо их середину. Погрешность квантования

$$\Delta x = x_{\text{кв}i} - x.$$

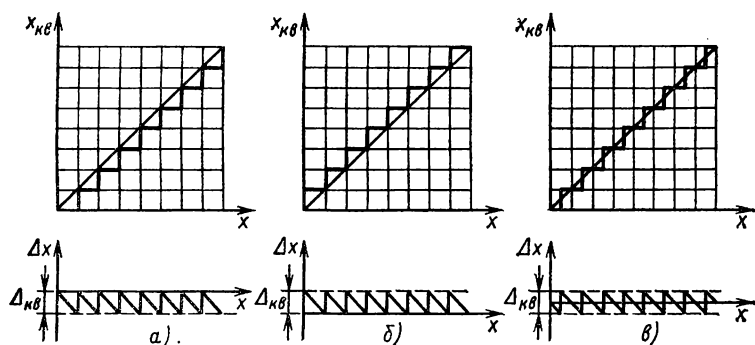


Рис. 3.15. Разновидности равномерного квантования по уровню

Так как измеряемая величина  $x$  является случайной величиной, то погрешность квантования также является случайной величиной, закон распределения которой зависит от закона распределения  $x$ . Однако доказано, что если  $x_{\text{max}} - x_{\text{min}} \gg \Delta_{\text{кв}}$ , то закон распределения погрешности квантования практически не зависит от закона распределения  $x$  и близок к равномерному.

Операция квантования непрерывной величины и характер изменения погрешности квантования иллюстрируются на рис. 3.15 для трех случаев выбора уровней квантования: уровень квантования — нижняя граница (рис. 3.15, а); уровень квантования — верхняя граница (рис. 3.15, б); уровень квантования — середина интервала квантования (рис. 3.15, в).

Очевидно, что в случаях, изображенных на рис. 3.15, *а*, *б*, максимальное абсолютное значение погрешности квантования равно шагу квантования, а в случае, изображенном на рис. 3.15, *в*, — половине шага квантования. Математические ожидания погрешности квантования в рассмотренных случаях различаются, причем на рис. 3.15, *в* математическое ожидание равно нулю, а дисперсии погрешности квантования во всех случаях (рис. 3.15, *а—в*) одинаковы и равны  $\sigma^2[\Delta x] = \Delta_{\text{кв}}^2 / 12$ . Таким образом, в качестве уровней квантования целесообразно выбрать середины интервалов квантования и соответственно строить технические средства.

Если закон распределения вероятностей значений измеряемой величины существенно отличается от равномерного, а число уровней квантования в диапазоне измерения невелико (меньше  $2^5$ ), то может оказаться целесообразным неравномерное квантование по уровню, т. е. квантование с переменным шагом. Его сущность состоит в том, что в области больших значений плотности вероятности  $f(x)$  шаг квантования делается меньше, а в области меньших значений  $f(x)$  — больше. При этом более вероятные значения  $x$  преобразуются с меньшей погрешностью квантования. На практике неравномерное квантование по уровню применяется весьма редко, например в статистических анализаторах.

### **3.5. ДИСКРЕТИЗАЦИЯ ПО ВРЕМЕНИ И ВОССТАНОВЛЕНИЕ НЕПРЕРЫВНЫХ ФУНКЦИЙ**

Дискретное представление непрерывных сообщений есть процесс преобразования функции непрерывного времени  $x(t)$  в функцию дискретного времени  $x_i$ , представляемую совокупностью координат (величин), по значениям которых может быть получена оценка исходного непрерывного сообщения  $y(t)$  [16]. В простейшем случае (первый способ дискретизации) переход от функции непрерывного времени к функции дискретного времени может быть выполнен путем взятия отсчетов функции в определенные дискретные моменты времени  $t_i$ ,  $i=1, 2, \dots, n$ . В результате функция  $x(t)$  заменяется совокупностью мгновенных значений  $x(t_i)$ . По значениям  $x(t_i)$  можно восстановить новую функцию  $y(t)$ , воспроизводящую исходную с заданной точностью. Сущность такого метода дискретизации иллюстрируется на

рис. 3.16, где восстановление исходного непрерывного сообщения осуществляется путем линейной интерполяции между дискретными отсчетами.

При дискретизации по времени одним из основных является вопрос о выборе шага дискретизации  $\Delta t = t_i - t_{i-1}$ , причем следует подчеркнуть, что существует оптимальный шаг дискретизации, который обеспечивает восстановление исходной функции с заданной точностью при минимальном числе отсчетов  $x(t_i)$  на конечном интервале времени наблюдения.

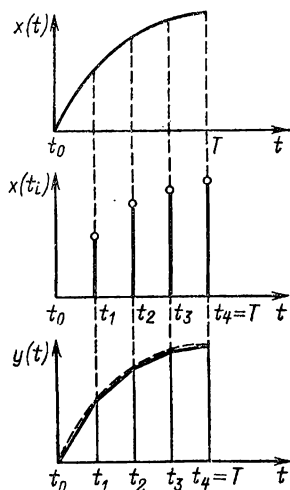


Рис. 3.16. Равномерная дискретизация по времени

Второй способ дискретизации по времени заключается в том, что непрерывная функция  $x(t)$  на интервале наблюдения  $[0, T]$  заменяется конечным числом коэффициентов разложения  $\lambda_i$  по выбранной системе базисных функций  $w_i(t)$ .

В этом случае по каналу связи передаются только коэффициенты разложения, а восстановление исходной непрерывной функции осуществляется путем вычисления суммы

$$y(t) = \sum_{i=0}^N \lambda_i w_i(t).$$

Наибольшее распространение на практике получил первый способ дискретизации — путем взятия отсчетов непрерывной функции в дискретные моменты времени. Можно предположить, что точное восстановление исходной непрерывной функции времени возможно лишь при бесконечно малом интервале времени между отсчетами, т. е. при  $\Delta t = t_{i+1} - t_i \rightarrow 0$ . Однако существует класс процессов, для которых возможно точное восстановление при конечном значении шага дискретизации  $\Delta t$ , отличном от нуля. К данному классу относятся сигналы с ограниченным спектром.

**Теорема Котельникова.** Если непрерывная функция  $x(t)$  удовлетворяет условиям Дирихле (ограничена, кусоч-

но-непрерывна и имеет конечное число экстремумов), и ее спектр ограничен некоторой частотой  $\omega_c$  ( $\omega_c$  — частота среза), то существует такой максимальный интервал  $\Delta t$  между отсчетами, при котором имеется возможность безошибочно восстанавливать дискретизируемую функцию  $x(t)$  по дискретным отсчетам. Этот максимальный интервал

$$\Delta t = \pi/\omega_c = 1/2f_c.$$

Теорема Котельникова основана на возможности разложения непрерывной функции в ряд (ряд Котельникова):

$$x(t) = \sum_{k=-\infty}^{+\infty} x(k\Delta t) \frac{\sin \omega_c (t - k\Delta t)}{\omega_c (t - k\Delta t)}. \quad (3.58)$$

Последовательность отсчетов  $x(k\Delta t)$  образует так называемую решетчатую функцию, а множитель  $g_k(t) = [\sin \omega_c (t - k\Delta t)]/[\omega_c (t - k\Delta t)]$  есть функция отсчетов. Таким образом, функция  $x(t)$  разлагается в ряд Котельникова по системе базисных функций  $g_k(t)$ , причем коэффициентами разложения являются значения  $x(k\Delta t)$  в дискретные моменты времени.

Функция отсчетов  $g_k(t)$  обладает следующими свойствами:

1) в момент времени  $t = k\Delta t$  она достигает наибольшего значения, равного единице;

2) в момент времени  $t = n\Delta t$  ( $n \neq k$ ) функция отсчетов равна нулю;

3) функции отсчетов ортогональны на бесконечно большом интервале времени.

Практическая ценность разложения непрерывной функции в ряд Котельникова заключается в том, что по каналу связи не передаются известные по виду функции отсчетов, а передаются только значения решетчатой функции  $x(k\Delta t)$ . Графическая иллюстрация теоремы Котельникова приведена на рис. 3.17.

В результате суммирования функций отсчетов с весами, равными значениями отсчетов, получаем исходную непрерывную функцию времени.

С точки зрения практической реализации очень важным является то, что функция отсчетов полностью соответствует изменению во времени напряжения на выходе идеального фильтра нижних частот (ФНЧ), одинаково пропускающего все частоты от 0 до  $\omega_c$ , при подаче на вход ФНЧ

$\delta$ -импульса. Отсюда следует, что для восстановления непрерывной функции  $x(t)$  необходимо подать на вход идеального ФНЧ с верхней границей пропускания  $\omega_c$  последовательность идеально узких импульсов с амплитудой, соответствующей значениям непрерывной функции в точках отсчета, и следующих друг за другом с периодом

$\Delta t = \pi/\omega_c$ . Естественно, что наличие характеристик реального ФНЧ от идеального приводит к погрешности восстановления непрерывной функции.

Необходимо особо подчеркнуть, что в реальных условиях точное восстановление непрерывной функции невозможно из-за того, что не могут быть выполнены условия теоремы Котельникова. Реальные функции  $x(t)$  всегда существуют на конечных интервалах времени, поэтому их спектры не ограничены. Выбор частоты среза  $\omega_c$  и соответствующего шага дискретизации  $\Delta t$  приводит к потере высокочастотных составляющих спектра от  $\omega_c$  до  $\infty$  и появ-

лению соответствующей методической погрешности. Дисперсия относительной погрешности из-за потери высокочастотных составляющих спектра определяется как отношение мощности сигнала в полосе частот  $[\omega_c, \infty]$  к мощности сигнала в полосе  $[0, \omega_c]$ , т.е. к мощности той части спектра сигнала, которая может быть принципиально точно восстановлена:

$$D[\delta] = \frac{\int_{\omega_c}^{\infty} S_x(\omega) d\omega}{\int_0^{\omega_c} S_x(\omega) d\omega}, \quad (3.59)$$

где  $S_x(\omega)$  — спектральная плотность непрерывного сигнала.

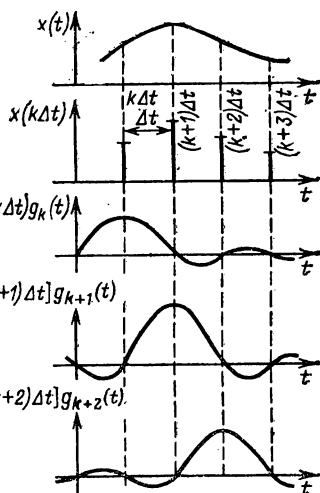


Рис. 3.17. Разложение непрерывной функции в ряд Котельникова

Конечность интервала наблюдения  $T_{\text{нб}}$  непрерывной функции  $x(t)$  приводит также к конечному числу отсчетов на этом интервале, равному  $N = T_{\text{нб}}/\Delta t + 1$ . Такой ограниченный по времени сигнал приближенно (с погрешностью) представляется конечной суммой (усеченным рядом Котельникова):

$$x(t) \approx \sum_{k=1}^N x(k\Delta t) \frac{\sin \omega_c(t - k\Delta t)}{\omega_c(t - k\Delta t)}. \quad (3.60)$$

Таким образом, для реальных сигналов ряд Котельникова является приближенным представлением и позволяет восстановить непрерывную функцию по дискретным отсчетам с некоторой погрешностью.

**Критерии выбора отсчетов и способы восстановления непрерывных функций.** Если дискретные по времени отсчеты непрерывной функции используются в дальнейшем для восстановления этой функции, то очевидно, что при заданном шаге дискретизации погрешность восстановления функции будет зависеть от способа ее восстановления (приближения). И наоборот, при заданной допустимой погрешности восстановления способ приближения функции будет определять максимальное значение шага дискретизации. В связи с этим задача дискретизации может быть сформулирована следующим образом: имеется непрерывная функция  $x(t)$ , требуется определить интервалы квантования по времени, при которых отклонение между исходной и восстановленной по ее дискретам функциями не превышало бы заданного значения [23].

В данной постановке задачи неопределенным является понятие «отклонение» между исходной и восстановленной функциями. Это отклонение может оцениваться максимальным значением разности восстановленной  $y(t)$  и исходной  $x(t)$  функций, т. е. величиной

$$\varepsilon = \max |y(t) - x(t)|. \quad (3.61)$$

В этом случае решается задача так называемого равномерного приближения функции. Иногда предъявляется дополнительное требование, чтобы в точках отсчета (узлах аппроксимации) погрешность восстановления была равна нулю, т. е.  $y(t_i) = x(t_i)$ . При этом осуществляется интерполяция функции между точками отсчета.

Отклонение между восстанавливаемой и исходной функ-



циями может также оцениваться значением среднего квадратического отклонения  $\epsilon$ , причем

$$\epsilon^2 = \frac{1}{T} \int_0^T |y(t) - x(t)|^2 dt, \quad (3.62)$$

где  $T$  — интервал аппроксимации.

В любом случае погрешность восстановления непрерывной функции выступает в качестве критерия, который при выбранном способе восстановления позволяет найти необходимый шаг дискретизации по времени.

Способ восстановления непрерывной функции определяется главным образом видом используемых воспроизводящих функций, которые, с одной стороны, должны обеспечивать необходимую точность воспроизведения при минимальном числе членов ряда разложения, а с другой стороны, допускать простую техническую реализацию устройств дискретизации и восстановления. В качестве воспроизводящих функций используются ряд Котельникова, ряд Фурье, полиномы Чебышева, полиномы Лежандра, полиномы Хаара, Уолше, степенные полиномы [21, 23].

Выбор вида восстанавливающих функций зависит от априорной информации о квантуемой функции и от требований к конкретной ИИС. Требованию простоты реализации процессов дискретизации и восстановления прежде всего отвечают степенные полиномы. Наиболее часто в практике используются полиномы нулевого и первого порядков.

**Восстановление непрерывных функций интерполяционными полиномами.** В общем случае для построения интерполяционных полиномов  $y_n(t)$  степени не выше  $n$ , удовлетворяющих условию  $y(t_i) = x(t_i)$  при  $i = 0, 1, \dots, n$ , можно воспользоваться методом Лагранжа, идея которого заключается в нахождении многочлена, принимающего значения 1 в одной узловой точке  $t_j$  и 0 во всех других узловых точках. Такой многочлен имеет вид

$$\begin{aligned} L_j(t) &= \frac{(t-t_0)(t-t_1)\dots(t-t_{j-1})(t-t_{j+1})\dots(t-t_n)}{(t_j-t_0)(t_j-t_1)\dots(t_j-t_{j-1})(t_j-t_{j+1})\dots(t_j-t_n)} = \\ &= \frac{\prod_{\substack{i=0 \\ i \neq j}}^n (t-t_i)}{\prod_{\substack{i=0 \\ i \neq j}}^n (t_j-t_i)}. \end{aligned} \quad (3.63)$$

Очевидно, что многочлен степени  $n$ , проходящий через  $n+1$  точку  $[t_i, x(t_i)]$ , можно записать в виде

$$y_n(t) = \sum_{j=0}^n L_j(t) x(t_j). \quad (3.64)$$

Формула (3.64) называется интерполяционной формулой Лагранжа и может быть использована для восстановления при неравномерной дискретизации. При равномерной дискретизации ( $\Delta t = \text{const}$ ) удобнее пользоваться интерполяционной формулой Ньютона, которая легко получается из (3.64) при условии  $t_{i+1} - t_i = \Delta t = \text{const}$ :

$$y_n(t) = x_0 + \frac{\Delta x_0}{\Delta t} (t - t_0) + \frac{\Delta^2 x_0}{2! \Delta t^2} (t - t_0) (t - t_1) + \dots \\ \dots + \frac{\Delta^n x_0}{n! \Delta t^n} (t - t_0) (t - t_1) \dots (t - t_{n-1}), \quad (3.65)$$

где  $\Delta^k x_0$  — конечная разность  $k$ -го порядка ( $k=1, 2, \dots, n$ ) функции  $x=x(t_0)$ ,  $x_1=x(t_1)$ , ...,  $x_n=x(t_n)$ .

Для равноотстоящих значений аргумента  $t_i$  конечные разности определяются формулами

$$\Delta x_0 = x_1 - x_0, \quad \Delta x_1 = x_2 - x_1, \quad \Delta x_2 = x_3 - x_2 \dots; \\ \Delta^2 x_0 = \Delta x_1 - \Delta x_0, \quad \Delta^2 x_1 = \Delta x_2 - \Delta x_1 \dots; \\ \Delta^n x_0 = \Delta^{n-1} x_1 - \Delta^{n-1} x_0.$$

На практике удобна более простая запись формулы Ньютона.

Используя обозначения

$$(t - t_0)/\Delta t = \beta, \quad (t - t_1)/\Delta t = \beta - 1, \dots \\ \dots, (t - t_{n-1})/\Delta t = \beta - n + 1,$$

выражение (3.65) можно записать в виде

$$y_n(t_0 + \beta \Delta t) = x_0 + \Delta x_0 \beta + \frac{\Delta^2 x_0}{2!} \beta (\beta - 1) + \dots \\ \dots + \frac{\Delta^n x_0}{n!} \beta (\beta - 1) (\beta - 2) \dots (\beta - n + 1). \quad (3.66)$$

Наибольшее распространение в ИИС при восстановлении непрерывных функций получили следующие частные случаи интерполяции.

Ступенчатая интерполяция, практически представляющая собой экстраполяцию от точки  $t_0$  до точки  $t_1$ :

$$y_0(\beta) = x(t_0) \text{ для } 0 \leq \beta \leq 1. \quad (3.67)$$

Линейная интерполяция, когда о значениях измеряемой величины внутри интервала судят по ее значениям в начале и конце интервала интерполяция (шага дискретизации). При этом интерполяционный полином имеет вид

$$y_1(\beta) = x_0 + (x_1 - x_0)\beta \text{ для } 0 \leq \beta \leq 1. \quad (3.68)$$

Реже в практике используется параболическая или трехточечная интерполяция:

$$y_2(\beta) = x_0 + (x_1 - x_0)\beta + (x_2 - 2x_1 + x_0)\beta(\beta - 1)/2. \quad (3.69)$$

Для функции  $x(t)$ , дифференцируемой  $n+1$  раз, погрешность восстановления между узлами определяется формулой

$$|\varepsilon(t)| \leq \frac{M_{n+1}}{(n+1)!} \left| \prod_{i=0}^n (t - t_i) \right|, \quad (3.70)$$

где  $M_{n+1} = \max |x^{n+1}(t)|$  — максимальное значение модуля  $(n+1)$ -й производной  $x(t)$  на отрезке аппроксимации.

Как следует из (3.70), погрешность восстановления можно минимизировать, варьируя параметры многочлена  $\prod_{i=0}^n (t - t_i)$  таким образом, чтобы правая часть неравенства

была как можно меньше. Осуществить это можно рациональным выбором узлов интерполяции (точек отсчетов). Для достижения наилучшего (равномерного) приближения узлами интерполяции должны быть нули полинома Чебышева соответствующего порядка. Однако при этом дискретизация во времени оказывается неравномерной, что затрудняет аппаратную реализацию.

Для оценки погрешности по (3.70) необходима информация о максимальном значении  $M_{n+1}$  модуля  $(n+1)$ -й производной функции  $x(t)$ . Обычно такая информация априори отсутствует. Максимальное значение производной  $x^n(t)$  стационарного случайного процесса может быть оценено неравенством Бернштейна, которое справедливо для функций, ограниченных по модулю и имеющих ограниченный спектр:

$$M_n = \max |x^{(n)}(t)| \leq \omega_c^n \max |x(t)|, \quad (3.71)$$

где  $\omega_c$  — верхняя граничная частота спектра непрерывной функции.

Оценим погрешность восстановления для случаев интерполяции полиномами нулевого, первого и второго порядков:

$$\begin{aligned}\varepsilon_0 &\leq M_1 \beta \Delta t \leq M_1 \Delta t; \quad \varepsilon_1 \leq M_2 \beta (\beta - 1) \Delta t^2 / 2 \leq M_2 \Delta t^2 / 8; \\ \varepsilon_2 &\leq M_3 \beta (\beta - 1) (\beta - 2) \Delta t^3 / 6 \leq M_3 \Delta t^3 / 16.\end{aligned}\quad (3.72)$$

С учетом (3.71) оценим приведенные погрешности восстановления:

$$\begin{aligned}\gamma_0 = \varepsilon_0 / x_{\max} &\leq 6,28 f_c / f_{\Delta}; \quad \gamma_1 = \varepsilon_1 / x_{\max} \leq 4,93 (f_c / f_{\Delta})^2; \\ \gamma_2 = \varepsilon_2 / x_{\max} &\leq 15,5 (f_c / f_{\Delta})^3,\end{aligned}\quad (3.73)$$

где  $f_c = \omega_c / 2\pi$  — частота среза;  $f_{\Delta} = 1 / \Delta t$  — частота дискретизации.

Так, например, при  $f_{\Delta} = 10 f_c$  получим следующие оценки:  $\gamma_0 \leq 62,8 \%$ ,  $\gamma_1 \leq 4,9 \%$ ,  $\gamma_2 \leq 1,6 \%$ . Отсюда видно, что линейная интерполяция значительно точнее, чем ступенчатая, а использование полинома второго порядка уже не дает существенного выигрыша в точности по сравнению с полиномом первого порядка.

**Адаптивная дискретизация.** При равномерной дискретизации погрешность восстановления может достигать установленного предела только в отдельные, сравнительно редкие моменты времени. Если искусственно увеличить число таких моментов времени на некотором временном интервале, то это приведет к уменьшению числа необходимых дискретных отсчетов на этом интервале, т.е. к сжатию измерительной информации. Естественно, что моменты необходимых дискретных отсчетов в этом случае не могут быть установлены заранее, а определяются только в процессе дискретизации конкретной реализации непрерывной функции, т.е. процесс дискретизации имеет адаптивный характер.

Идея адаптивной дискретизации состоит в следующем. На основе имеющегося дискретного отсчета (или отсчетов) на текущем интервале дискретизации определяются параметры воспроизводящей функции. Затем в любой текущий момент времени находится разность между соответствующими значениями исходной и воспроизводящей функций, т.е. погрешность воспроизведения (в данном примере используется критерий максимального отклонения). Если эта погрешность достигает предельно допустимого значения, то фиксируется конец интервала дискретизации, т.е. осуществляется новый отсчет. При этом восстановление непрерывной функции осуществляется чаще всего степенными полиномами. Возможен и другой подход к адаптивной дискретизации, заключающийся в адаптивном изменении порядка приближающегося полинома при фиксированном интервале дискретизации [16]. Однако на практике наибольшее распространение получила адаптивная дискретизация с переменным шагом дискретизации.

Очевидно, что адаптивная дискретизация, осуществляя сжатие измерительной информации, в то же время усложняет структуру и алгоритм функционирования системы по сравнению с равномерной дискретизацией. Для оценки эффективности адаптивной дискретизации обычно используют коэффициент сжатия

$$k_{сж} = N_0/N, \quad (3.74)$$

где  $N_0$  и  $N$  — число отсчетов до и после сжатия на одинаковом интервале наблюдения  $T$ .

Необходимо также учитывать, что при использовании адаптивной дискретизации возникает необходимость в передаче дополнительной информации о времени получения соответствующих отсчетов, что необходимо учитывать при оценке коэффициента сжатия.

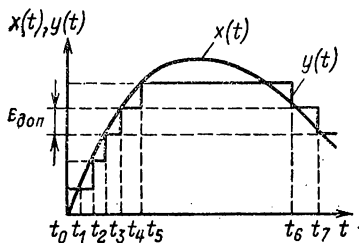


Рис. 3.18. Адаптивная дискретизация с некрatными интервалами

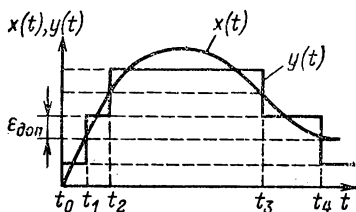


Рис. 3.19. Адаптивная дискретизация с некрatными интервалами

Для оценки погрешности восстановления в алгоритмах адаптивной дискретизации обычно используется критерий максимального отклонения.

Поле допустимого отклонения выборки (отсчета) относительно восстанавливающего полинома, при попадании в которое выборка считается избыточной, называют апертурой, а алгоритмы с контролем максимальной погрешности — апертурными. Согласно определению значение апертуры  $A$  равно удвоенному значению максимальной по модулю допустимой погрешности восстановления  $\epsilon_{доп}$ .

В зависимости от возможности изменения шага дискретизации при адаптивной дискретизации различают две группы методов [21]:

- 1) дискретизация с некрatными интервалами, при которой шаг дискретизации  $\Delta t_i$  — непрерывная величина ( $\Delta t_{i\min} < \Delta t_i < \Delta t_{i\max}$ );
- 2) дискретизация с крatными интервалами, при которой  $\Delta t_i = i\Delta t$  ( $i = 1, 2, 3, \dots$ ) — дискретная величина.

В реальных системах для восстановления непрерывной функции по дискретным отсчетам обычно применяют степенные полиномы нулевого или первого порядка. Для иллюстрации идеи адаптивной дис-

кретизации рассмотрим несколько простейших алгоритмов. На рис. 3.18 иллюстрируется адаптивная дискретизация с некратными интервалами при аппроксимации полиномом нулевого порядка (ступенчатая аппроксимация).

Отсчеты непрерывной функции  $x(t)$  производятся в моменты времени  $t_0, t_1, t_2, \dots$ . В результате восстановления получается непрерывная функция времени  $y(t)$ , причем погрешность восстановления по модулю не превышает значения  $\epsilon_{\text{доп}}$ . Восстанавливающую функцию  $y(t)$  в этом случае можно записать в виде

$$y_i(t) = x(t_i) \text{ при } t_i \leq t < t_{i+1}. \quad (3.75)$$

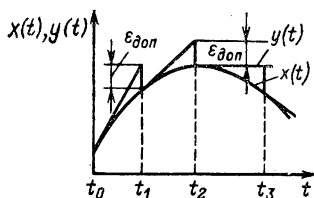


Рис. 3.20. Адаптивная дискретизация при восстановлении полиномом первого порядка

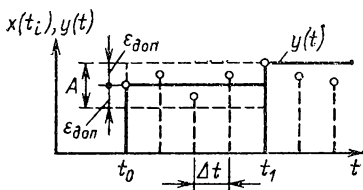


Рис. 3.21. Адаптивная дискретизация с кратными интервалами (полином нулевого порядка)

Эффективность адаптивной дискретизации можно повысить, если применить восстанавливающую функцию вида

$$y_i(t) = x(t_i) \pm \epsilon_{\text{доп}} \text{ при } t_i \leq t < t_{i+1}. \quad (3.76)$$

Такая дискретизация иллюстрируется на рис. 3.19.

Очевидно, что знак перед  $\epsilon_{\text{доп}}$  в (3.76) определяется знаком приращения функции  $x(t)$  на соответствующем интервале дискретизации.

Временная диаграмма, иллюстрирующая адаптивную дискретизацию при восстановлении полиномом первого порядка, приведена на рис. 3.20. Восстановление непрерывной функции  $y(t)$  происходит на основе линейной экстраполяции по формуле

$$y_i(t) = x(t_i) + x'(t_i)(t - t_i). \quad (3.77)$$

При этом при передаче измерительной информации каждому моменту времени  $t_i$  ставятся в соответствие два параметра:  $x(t_i)$  и  $x'(t_i)$ .

При адаптивной дискретизации с кратными интервалами сначала на основе выбранного критерия оценки точности восстановления определяют шаг  $\Delta t$  равномерной дискретизации. Затем с учетом принятого алгоритма восстановления принимают решение о том, какие отсчеты являются избыточными и могут не передаваться по каналу связи.

Адаптивная дискретизация с кратными интервалами при использо-

вании полиномов нулевого и первого порядков иллюстрируется на рис. 3.21 и 3.22 [16].

На рисунках показаны все отсчеты непрерывной функции  $x(t)$ , взятые с шагом  $\Delta t$ . Затем отобраны отсчеты, необходимые для восстановления непрерывной функции  $y(t)$  с погрешностью, не превышающей  $\varepsilon_{\text{доп}}$ . Остальные отсчеты считаются неинформативными и отбрасываются.

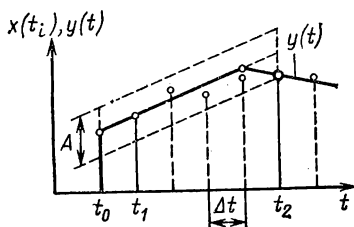


Рис. 3.22. Адаптивная дискретизация с кратными интервалами (полином первого порядка)

ся (не передаются). На рис. 3.21 используется ступенчатая аппроксимация, а на рис. 3.22 — линейная, для чего сначала берутся два отсчета подряд.

Во всех рассмотренных алгоритмах восстановление непрерывной функции  $y(t)$  осуществлялось путем экстраполяции. Достоинством таких алгоритмов является то, что восстановление непрерывного сигнала

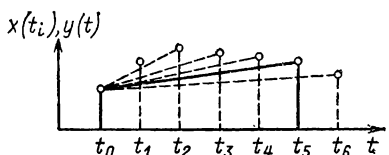


Рис. 3.23. Адаптивная дискретизация с линейной интерполяцией.

ла на приемной стороне происходит в реальном масштабе времени без задержки. Однако в том случае, когда допустима задержка сигнала, более эффективными оказываются интерполяционные алгоритмы. Работа алгоритма линейной интерполяции иллюстрируется на рис. 3.23. Предположим, что взят отсчет непрерывной функции в момент времени  $t_0$ , который передается по каналу связи. Затем берется следующий отсчет в момент времени  $t_1$ , который запоминается, но не передается по каналу связи. Далее берется очередной отсчет в момент времени  $t_2$ , который запоминается, но не передается. Через отсчеты в моменты времени  $t_0$  и  $t_2$  проводится интерполирующая прямая (полином первого порядка) и вычисляется погрешность интерполяции в точке  $t_1$ . Если

ли эта погрешность не превышает допустимого значения  $\epsilon_{\text{доп}}$ , то в канал связи ничего не передается. Далее берется очередной отсчет в момент времени  $t_3$  и вычисляются интерполирующая прямая, проходящая через отсчеты в точках  $t_0$  и  $t_3$ , и погрешности интерполяции в точках  $t_1$  и  $t_2$ . Если эти погрешности не превышают  $\epsilon_{\text{доп}}$ , то в канал связи ничего не передается. Описанная процедура продолжается до тех пор, пока при взятии очередного отсчета (в данном примере в точке  $t_6$ ) погрешность интерполяции не превысит допустимого значения  $\epsilon_{\text{доп}}$  (в точке  $t_2$ ). При этом в канал связи передается предыдущий отсчет (в точке  $t_5$ ), и описанная процедура повторяется на новом интервале интерполяции.

Еще более высокий коэффициент сжатия достигается в более сложных алгоритмах адаптивной дискретизации, совмещающих экстраполяцию и интерполяцию.

### 3.6. КОДИРОВАНИЕ ИЗМЕРИТЕЛЬНОЙ ИНФОРМАЦИИ

Кодированием называется процесс преобразования сообщений в комбинации из дискретных сигналов, а совокупность правил, в соответствии с которыми производятся данные преобразования, является кодом. Каждая новая комбинация записывается в виде последовательности, составленной из некоторых условных символов — элементов кодовой комбинации. В качестве таких элементов могут использоваться буквы и цифры. В технических устройствах элементами могут служить импульсы постоянного и переменного токов, пауза между импульсами. Эти элементы различаются по какому-либо одному или нескольким кодовым признакам. В качестве кодовых признаков используются такие параметры, как размер, полярность, интервал времени, фаза, частота. Каждому сообщению однозначно соответствует определенная кодовая комбинация. Код позволяет записать все сообщения на некотором общем для данного набора сообщений языке. С этой точки зрения набор элементов данного кода рассматривают как алфавит, а кодовые комбинации из этих элементов — как кодовые слова. Каждое сообщение передается собственным кодовым словом.

Преобразование сообщений в кодовые комбинации (кодовые слова) позволяет обеспечить:

- 1) представление информации в форме, удобной для восприятия человеком или необходимой для ввода в ЭВМ;
- 2) передачу необходимого количества различных сооб-



щений по данному каналу связи с помощью комбинирования из  $n$  элементов, имеющих  $m$  кодовых признаков;

3) согласование параметров канала связи и передаваемых сообщений;

4) повышение помехоустойчивости передачи, хранения и обработки информации;

5) уменьшение стоимости передачи, хранения и обработки информации.

Выбор методов кодирования, обеспечивающих выполнение указанных целей, является сложной задачей, решение которой зависит от ряда факторов: количества передаваемых сообщений, числа кодовых признаков, требуемого времени передачи, параметров канала связи, возможности аппаратной реализации.

Правила составления кодовых комбинаций (кодов) и сами кодовые комбинации могут иметь различные характеристики. К ним относятся: число кодовых признаков, используемых для комбинирования; количество разрядов кодовой комбинации, способ комбинирования (закон, согласно которому из единичных элементов образуются кодовые комбинации); способ формирования элементов кода (импульсные признаки); способ передачи элементарных сигналов. Первые три свойства относятся к структурным характеристикам самого кода, последние два — к характеристикам сигналов кода.

По числу используемых кодовых признаков коды делятся на единичные, двоичные и многопозиционные.

Единичный (число-импульсный) код использует только один элемент (обычно цифру 1). Для изображения любого числа  $N$  нужно записать в ряд  $N$  единиц. Такой код является непозиционным, так как числовое значение символа не зависит от его места и записи числа. Единичный код очень прост, но не экономичен, и в информационно-измерительной технике он находит весьма ограниченное применение в качестве промежуточного кода в некоторых типах аналого-цифровых преобразователей и цифровых измерительных приборов.

Наибольшее распространение получили двоичные коды, что определяется их экономичностью и простотой технической реализации. Эти коды используют только два символа (0 и 1).

Количество разрядов в различных кодовых комбинациях может быть постоянным (равномерные коды) и непостоянным (неравномерные коды). В информационно-изме-

рительной технике чаще всего применяются равномерные коды.

По способу комбинирования различают коды, использующие все возможные комбинации (неизбыточные коды), и коды с частичным использованием комбинации (избыточные коды). Как будет показано в дальнейшем, введение в код избыточности позволяет повысить его помехоустойчивость.

С точки зрения характера передачи кодовых комбинаций различают последовательный, параллельный и смешанный способы передачи отдельных символов кода.

Импульсные признаки, определяющие способ формирования элементов кода, могут быть амплитудными, частотными, фазовыми, полярными, временными и комбинированными.

**Двоичные коды** основаны на использовании двоичной системы счисления. Это — позиционная система счисления, в которой числовое значение символа зависит от его места в числе.

В общем случае в любой позиционной системе счисления целое число  $N$  можно выразить в следующей форме:

$$N = \sum_{i=0}^{n-1} c_i m^{i-1}, \quad (3.78)$$

где  $m$  — основание системы, равное числу символов в данной системе;  $n$  — число разрядов в кодовой комбинации;  $c_i$  — цифры данной системы счисления, стоящие в соответствующих разрядах.

В десятичной системе счисления символы  $c_i$  являются цифрами от 0 до 9, а в двоичной 0 и 1.

Для двоичного кода выражение (3.78) имеет вид:

$$N = \sum_{i=0}^{n-1} c_i \cdot 2^{i-1}. \quad (3.79)$$

Очевидно, что  $n$ -разрядный позиционный код с основанием  $m$  позволяет закодировать  $m^n$  различных чисел от 0 до  $N_{max} = m^n - 1$ . Соответственно максимальное число, кодируемое  $n$ -разрядным двоичным кодом, есть  $N_{max} = 2^n - 1$ .

Двоичные коды можно разделить на две группы. К первой группе относятся коды, использующие все возможные комбинации, — избыточные коды. Ко второй группе относятся коды, использующие лишь часть всех возможных

комбинаций, — избыточные коды. Оставшаяся часть комбинаций используется для обнаружения и исправления ошибок, возникающих при передаче информации. В этих кодах количество разрядов кодовых комбинаций можно условно разделить на определенное число разрядов, предназначенных для полезной информации (информационные разряды), и число разрядов, предназначенных для обнаружения или исправления ошибок (проверочные разряды).

Коды, в которых каждому передаваемому числу соответствует кодовая комбинация (блок) из постоянного числа символов, называются блочными.

Избыточные коды, в которых определенные разряды кодовых комбинаций отводятся для информационных и проверочных символов, являются разделимыми.

Неразделимые коды не имеют четкого разделения кодовой комбинации на информационные и проверочные символы. Наибольшее распространение получили разделимые блочные коды, у которых проверочные символы определяются в результате проведения линейных операций над определенными информационными символами. Обычно такой операцией является сложение по модулю 2. Указанные коды называются систематическими.

Разновидностью разделимых блочных кодов считают циклические коды, обладающие тем свойством, что если некоторая кодовая комбинация принадлежит коду, то получающаяся путем циклической перестановки символов новая комбинация также принадлежит данному коду [21]. Циклическая перестановка осуществляется путем сдвига всех символов, например, на один разряд влево. При этом крайний левый символ переносится в конец комбинации.

Кратко остановимся на основных характеристиках кодов, к которым относятся: основание кода, длина кода, мощность кода, полное число кодовых комбинаций, число информационных разрядов, число проверочных разрядов, избыточность кода, кодовое расстояние.

Основание кода  $m$  — число различных цифр (букв), из которых строится код. Для двоичных кодов  $m=2$ . Длина кода  $n$  — число разрядов, составляющих кодовую комбинацию. Мощность кода  $N_p$  — число кодовых комбинаций, используемых для передачи информации. Полное число кодовых комбинаций  $N$  — число всех возможных комбинаций, равное  $m^n$  (для двоичных кодов  $N=2^n$ ). Число ин-

формационных разрядов  $k$  связано с мощностью кода соотношением  $N_p = m^k$  (для двоичных кодов  $N_p = 2^k$ ).

Число проверочных разрядов  $r = n - k$  — число разрядов кодовой комбинации, необходимых для коррекции ошибок. Это число характеризует абсолютную избыточность кода.

В теории кодирования под избыточностью кода  $R$  понимают относительную избыточность

$$R = 1 - (\log_m N_p) / (\log_m N). \quad (3.80)$$

Для делимых блочных кодов относительная избыточность

$$R = 1 - k/n = r/n. \quad (3.81)$$

Кодовое расстояние  $d$  между кодовыми комбинациями — число соответствующих разрядов с различными символами. Так, например, для комбинации 101 и 011  $d = 2$ . Для кода в целом важной характеристикой является минимальное кодовое расстояние  $d_{min}$ .

Кроме перечисленных основных характеристик кодов, используются также некоторые показатели, характеризующие помехоустойчивость избыточных кодов: вероятность необнаружения ошибки, оптимальность кода, коэффициент ложных переходов.

**Двоично-десятичные коды.** Разновидностью двоичных кодов являются двоично-десятичные коды, которые широко используются в ИИС и цифровых измерительных приборах.

Если измерительная информация должна быть представлена человеку-оператору с помощью устройств цифровой индикации и регистрации, то для удобства ее восприятия должен быть применен десятичный код. В этом случае в процессе передачи, хранения и обработки информации используются двоично-десятичные коды, которые, с одной стороны, легко преобразуются в десятичный код, а с другой стороны, легко реализуются техническими средствами [7, 21].

В двоично-десятичных кодах каждая десятичная цифра представляется группой цифр, состоящей из четырех двухпозиционных разрядов. Такая группа позволяет сформировать 16 различных комбинаций. В десятичной системе используются только 10 цифр, т.е. шесть комбинаций являются избыточными. Так как избыточными могут быть

любые шесть комбинаций, то это приводит к большому числу вариантов построения двоично-десятичных кодов.

Предположим, что каждая десятичная цифра представляется в виде

$$N = \sum_{i=1}^4 c_i q_i,$$

где  $c_i$  равно 0 или 1, а  $q_i$  — веса соответствующих разрядов.

Очевидно, что для кодирования цифр от 0 до 9 необходимо, чтобы  $\sum_{i=1}^4 q_i \geq 9$ .

Двоично-десятичные коды строятся с учетом следующих условий:

- 1) вес наименьшей значащей цифры  $q_1$  равен 1;
- 2) вес второй значащей цифры  $q_2$  равен 1 или 2;
- 3) вес, соответствующий двум оставшимся цифрам кода,  $q_3 + q_4 \geq 7$ , если  $q_2 = 1$ , или  $q_3 + q_4 \geq 6$ , если  $q_2 = 2$ ;
- 4) совокупность весов должна удовлетворять соотношению  $q_4 - (q_1 + q_2 + q_3) \leq 1$ .

В соответствии с этими условиями можно сформировать 17 кодов со следующими весами разрядов:

8—4—2—1	3—3—2—1
7—4—2—1	6—2—2—1
6—4—2—1	5—2—2—1
5—4—2—1	4—2—2—1
4—4—2—1	6—3—1—1
7—3—2—1	5—3—1—1
6—3—2—1	4—3—1—1
5—3—2—1	5—2—1—1
4—3—2—1	

Так, например, при использовании кода 4—2—2—1 число 138 будет закодировано в виде 0001 0011 1110.

Очевидно, что все двоично-десятичные коды, кроме кода 8—4—2—1, не имеют однозначности в отображении десятичных чисел. Необходимая однозначность достигается только соответствующим построением устройств кодирования и декодирования.

Двоично-десятичные коды обладают небольшой избыточностью:  $R = 1 - \log_2 10 / \log_2 16 = 0,2$ , что можно использовать для обнаружения некоторых ошибок. Однако при

этом выявляются не все даже простые однократные ошибки, а только те из них, которые приводят к появлению неиспользуемых кодовых комбинаций.

В цифровых средствах измерения, выполняющих вычислительные операции, применяются самодополняющиеся двоично-десятичные коды (например, код 4—2—2—1). Такие коды позволяют заменить операцию вычитания в ЭВМ операцией сложения, выполняемой в специальных машинных кодах — обратном и дополнительном.

**Отраженные коды.** В двоичном коде при переходе от изображения одного числа к изображению соседнего большего или соседнего меньшего числа может происходить одновременно изменение цифр в нескольких разрядах. Это может явиться источником значительных ошибок при некоторых способах кодирования непрерывных сообщений, например при геометрическом кодировании угловых и линейных перемещений.

Эффективным средством борьбы с такого рода ошибками (ошибками считывания) является использование специальных кодов, носящих название отраженных (рефлексных). Отличительная особенность этих кодов состоит в том, что соседние кодовые комбинации различаются цифрой только в одном разряде. Среди отраженных кодов наибольшее распространение получил код Грея, так как он легко преобразуется в двоичный код.

В качестве примера в табл. 3.1 приведен код Грея для кодирования 16 сообщений — чисел от 0 до 15.

Недостатком кода Грея и других отраженных кодов является их невесомость, т.е. в них вес единицы не определяется номером разряда. Это затрудняет их кодирование и обработку с помощью ЭВМ, поэтому перед такими операциями отражений код преобразуют в простой двоичный

Таблица 3.1

Десятичное число	Код Грея	Десятичное число	Код Грея
0	0000	8	1100
1	0001	9	1101
2	0011	10	1111
3	0010	11	1110
4	0110	12	1010
5	0111	13	1011
6	0101	14	1001
7	0100	15	1000

код. Перевод кода Грея в обычный двоичный код осуществляется по следующим правилам: первая единица со стороны старших разрядов остается без изменения, последующие цифры остаются без изменения, если число единиц, им предшествовавших, четно, и инвертируются, если число единиц нечетно.

**Неравномерные коды.** При передаче сообщений, закодированных двоичным равномерным кодом, обычно не учитывают статистическую структуру передаваемых сообщений. Все сообщения независимо от вероятности их появления представляют собой кодовые комбинации одинаковой длины.

Учет статистических закономерностей сообщения позволяет построить более экономичный код в том смысле, что для передачи сообщений будет требоваться в среднем меньшее число двоичных разрядов. В этом случае применяется неравномерный код и естественно потребовать, чтобы более вероятным сообщениям соответствовали более короткие кодовые комбинации.

В качестве критерия, позволяющего сравнивать экономичность различных кодов, используют среднюю длину кодовой комбинации

$$l_{\text{ср}} = \sum_k p_k l_k, \quad (3.82)$$

где суммирование производится по всем сообщениям, подлежащим кодированию;  $l_k$  — длина (число разрядов) кодовой комбинации, соответствующей  $k$ -му сообщению;  $p_k$  — вероятность  $k$ -го сообщения.

Наиболее экономичным будет код, имеющий минимальную среднюю длину кодовой комбинации. Такой код называется эффективным или оптимальным.

Возможность эффективного кодирования основывается на теореме Шеннона, утверждающей, что если передача дискретных сообщений ведется при отсутствии помех, то всегда можно найти такой метод кодирования, при котором среднее число двоичных символов на одно сообщение будет сколь угодно близким к энтропии источника этих сообщений, но никогда не может быть меньше ее.

Первые методы построения оптимальных кодов были предложены К. Шенноном и Р. Фэно. Их методики существенно не отличаются, поэтому соответствующий код получил название кода Шеннона — Фэно.

Код Шеннона — Фэно строится следующим образом. Все сообщения записываются в столбец в порядке убывания их вероятностей. Затем они разделяются на две группы так, чтобы суммы вероятностей в каждой из групп были по возможности одинаковыми. Всем сообщениям верхней группы в качестве первого символа приписывается 0, а всем сообщениям нижней группы 1. Каждая группа в свою очередь разби-

Таблица 3.2

Номер сообщения	Вероятность	Деление на группы	Кодовые комбинации
1	0,3	} I	00
2	0,2		01
3	0,15	} II	100
4	0,15		101
5	0,1	} II	110
6	0,1		111

вается на две подгруппы с примерно одинаковыми суммарными вероятностями и т. д. Процесс повторяется до тех пор, пока в каждой подгруппе останется по одному сообщению.

Пример построения кода Шеннона — Фэно приведен в табл. 3.2.

Рассмотренный пример подтверждает, что более вероятным сообщениям соответствуют более короткие кодовые комбинации. Следует обратить внимание на то, что неравномерный код Шеннона — Фэно не требует введения специальных разделительных символов между кодовыми комбинациями, так как ни одна из коротких кодовых комбинаций не является началом другой, более длинной. Такие коды называются префиксными.

**Помехоустойчивое кодирование.** Как известно из теории информации, введение избыточности в сообщение является средством повышения его помехоустойчивости. При построении избыточного кода для передачи информации используется лишь часть всех возможных комбинаций (разрешенные комбинации), отличающихся друг от друга более чем в одном разряде. Все остальные комбинации не используются и относятся к числу запрещенных. Это значит, что из  $n$  разрядов кодовой комбинации для передачи информации используются  $k$  разрядов. Следовательно, из общего числа  $N=2^n$  возможных кодовых комбинаций для передачи информации используется только  $N_p=2^k$  разрешенных комбинаций. Остальные  $N-N_p=2^n-2^k$  комбинаций являются запрещенными.

Так как разрешенные комбинации отличаются более чем в одном разряде, то ошибка в одном разряде (случайная замена одного символа другим) приводит к замене разрешенной комбинации запрещенной. Это позволяет обнаружить, а иногда и исправить ошибку. При достаточно



большом отличии разрешенных комбинаций друг от друга можно обнаружить двукратную, трехкратную ошибку и т. д.

Для использования кода в качестве исправляющего (корректирующего) множество запрещенных кодовых комбинаций разбивается на  $N_p$  непересекающихся подмножеств, каждое из которых ставится в соответствие одной из разрешенных комбинаций. Однако, поскольку запрещенная кодовая комбинация, относящаяся к одному из подмножеств, может быть получена в результате искажения любой разрешенной комбинации, исправляются не все ошибки.

Способ разбиения на подмножества зависит от того, какие ошибки должны исправляться данным кодом. Большинство кодов предназначено для исправления взаимно независимых ошибок определенной кратности и пачек (пакетов) ошибок.

Кратностью ошибки называется количество искаженных разрядов в кодовой комбинации. Так как вероятность ошибки обычно невелика, то вероятности многократных независимых ошибок пренебрежимо малы. Поэтому наибольшее применение на практике нашли коды, исправляющие однократные (реже двукратные) ошибки.

Для оценки различия между комбинациями данного кода используется минимальное кодовое расстояние  $d_{min}$ , характеризующее способность кода обнаруживать и исправлять определенные ошибки.

Неизбыточный двоичный код имеет минимальное кодовое расстояние  $d_{min}=1$ . Можно показать, что обнаружение всех ошибок кратности до  $t_0$  возможно, если  $d_{min}$  удовлетворяет условию

$$d_{min} \geq t_0 + 1.$$

Для исправления ошибок кратности  $t_n$  кодовое расстояние должно удовлетворять условию

$$d_{min} \geq 2t_n + 1.$$

Для исправления всех ошибок кратности до  $t_n$  и одновременного обнаружения всех ошибок кратности не более  $t_0$  ( $t_0 \geq t_n$ ) кодовое расстояние должно быть

$$d_{min} \geq t_0 + t_n + 1.$$

Идея построения кода с заданной корректирующей способностью, следовательно, заключается во внесении в него такой избыточности, которая обеспечила бы расстояние ме-

жду любыми кодовыми комбинациями данного кода не менее  $d_{min}$ , определяемой приведенными формулами.

В информационно-измерительной технике решаются две задачи помехоустойчивого кодирования [23]:

- 1) создание помехоустойчивого кода непосредственно в процессе преобразования аналоговой величины в код;
- 2) преобразование уже полученного избыточного кода в помехоустойчивый код.

Первая задача решается при создании аналого-цифровых преобразователей (АЦП), причем конкретное решение зависит от типа АЦП и всего комплекса технических требований к нему. Вторая задача решается при передаче дискретных сообщений о значениях измеряемых величин по каналу связи и является типичной задачей помехоустойчивого кодирования, рассматриваемой в специальной литературе. Рассмотрим примеры наиболее распространенных избыточных кодов.

Для обнаружения однократных ошибок чаще всего используется код с одной проверкой на четность. Данный код независимо от длины кодовой комбинации содержит всего один проверочный разряд. Символ в этом разряде выбирается таким, чтобы его сумма по модулю 2 со всеми информационными символами равнялась нулю. Например, простые комбинации 00101 и 10101 при кодировании их кодом с одной проверкой на четность выглядят соответственно 001010 и 101011.

Признаком искажения кодовой комбинации является нечетность числа единиц в принятой комбинации. Данный код позволяет только обнаруживать однократные ошибки и все ошибки нечетной кратности. Данный код имеет минимальное кодовое расстояние  $d_{min}=2$  и относительную избыточность  $R=1/n$ .

Другим кодом, обнаруживающим ошибки, является код с простым повторением. В основу построения этого кода положен метод повторения исходной кодовой комбинации. При декодировании производится сравнение первой (информационной) и второй (проверочной) частей кодовой комбинации. При отсутствии совпадения фиксируется наличие ошибки в кодовой комбинации. Помехоустойчивость этого кода выше помехоустойчивости кода с проверкой на четность, так как он позволяет обнаруживать любые ошибки, за исключением одновременных ошибок в «парных» элементах, стоящих на одних и тех же позициях в первой и второй частях комбинаций).

Рассмотренные выше блочные коды позволяют только обнаруживать ошибки. Для исправления ошибок необходимо ввести  $r$  проверочных разрядов, число которых определяется требованиями к корректирующей способности кода. Наиболее часто используются систематические блочные коды, в которых значения проверочных символов определяются в результате проведения линейных операций (обычно сложения по модулю 2) над определенными информационными символами.

При малой вероятности появления независимых ошибок наиболее часто ставится задача исправления одиночного искажения. Идея кода с исправлением однократных ошибок была предложена Хэммингом. Ее сущность состоит в том, что производятся многократные проверки на четность различных вариантов сумм разрядов полученной кодовой комбинации, в результате которых получается двоичный код номера искаженного разряда [7, 21]. Таким образом, если при проверке на четность получен нуль, то это означает, что в данной комбинации нет ошибок.

Создание корректирующего кода, обладающего указанными свойствами, требует решения следующих вопросов:

- 1) определения необходимого количества проверочных разрядов;
- 2) формирования правила проверки, позволяющего исправить любую однократную ошибку;
- 3) установления номеров разрядов, на которых располагаются проверочные символы.

Число проверок должно быть равно числу  $r$  проверочных разрядов. Результаты проверок записываются в виде  $r$ -разрядного двоичного числа, указывающего номер искаженного разряда. Так как всего разрядов  $n$ , то должно удовлетворяться соотношение

$$2^r - 1 \geq n. \quad (3.83)$$

Поскольку код, полученный в результате проверок, должен указывать номер искаженного разряда, то правила проверки формулируются следующим образом:

- 1) все проверки заключаются в вычислении суммы по модулю 2 соответствующих разрядов;
- 2) при первой проверке выбираются те разряды, двоичные представления номеров позиций которых содержат единицу в первом разряде, т. е. 1, 3, 5, 7, 9-й... разряды;
- 3) при второй проверке выбираются те разряды, двоичные представления номеров позиций которых содержат

единицу во втором разряде, т. е. 2; 3, 6, 7, 10-й... разряды;  
4) при третьей проверке выбираются 4, 5, 6, 7, 12, 13-й... разряды и т. д.

Место расположения проверочных разрядов в кодовой комбинации в принципе может быть выбрано произвольно, однако практически более удобным является случай, когда каждый проверочный символ участвует только в одной проверке. Это достигается при указанном правиле проверки в том случае, когда проверочные символы размещаются в разрядах, номера которых равны целой степени числа 2, т. е. в разрядах 1, 2, 4, 8 и т. д.

Очевидно, что правило проверки корректирующего кода определяет и способ заполнения проверочных разрядов при формировании кода.

В качестве примера построим код Хэмминга для передачи 16 сообщений — чисел от 0 до 15.

Так как  $N_p = 16$ , то необходимое число информационных разрядов  $k = 4$ . В соответствии с (3.83) необходимое число проверочных разрядов  $r = 3$ , а длина кода  $n = k + r = 7$ . Позиции 1, 2 и 4 будем использовать для проверочных символов, на остальных (информационных) разместим двоичные представления чисел от 0 до 15. Полученный код Хэмминга приведен в табл. 3.3.

Предположим, что в результате действия помех принята запрещенная кодовая комбинация 0111110. В соответст-

Таблица 3.3

Десятичное число	Символы кода для позиций						
	1	2	3	4	5	6	7
0	0	0	0	0	0	0	0
1	1	1	0	1	0	0	1
2	0	1	0	1	0	1	0
3	1	0	0	0	0	1	1
4	1	0	0	1	1	0	0
5	0	1	0	0	1	0	1
6	1	1	0	0	1	1	0
7	0	0	0	1	1	1	1
8	1	1	1	0	0	0	0
9	0	0	1	1	0	0	1
10	1	0	1	1	0	1	0
11	0	1	1	0	0	1	1
12	0	1	1	1	1	0	0
13	1	0	1	0	1	0	1
14	0	0	1	0	1	1	0
15	1	1	1	1	1	1	1

вии с принятой нумерацией позиций проведем три проверки на четность следующих позиций: 1) 1, 3, 5, 7; 2) 2, 3, 6, 7; 3) 4, 5, 6, 7. Результаты проверок запишем справа налево в виде числа 110, которое указывает, что искажен шестой разряд, т.е. правильной является комбинация 0111100, соответствующая числу 12.

Рассмотренный код имеет минимальное кодовое расстояние  $d_{min}=3$  и позволяет исправлять любые однократные ошибки.

Таким образом, помехоустойчивое кодирование является эффективным средством повышения достоверности получаемой информации.

## **Глава четвертая**

### **АНАЛОГОВЫЕ ИЗМЕРИТЕЛЬНЫЕ ПРИБОРЫ**

#### **4.1. ОБЩИЕ СВЕДЕНИЯ**

Аналоговые измерительные приборы (АИП) достигли высокой степени конструктивного и технологического совершенства и составляют преобладающую массу средств измерений.

К этой группе относят приборы, показания которых являются непрерывными функциями изменений измеряемых величин. В нашей стране в настоящее время в различных отраслях народного хозяйства количество АИП достигает нескольких сотен миллионов. Несмотря на очень интенсивное развитие цифровой измерительной техники, АИП продолжают совершенствоваться, и их выпуск не уменьшается. Это объясняется тем, что АИП имеют ряд преимуществ: относительную простоту, низкую стоимость, высокую информативность аналогового сигнала. Вместе с тем к недостаткам АИП следует отнести наличие у большинства из них инерционных подвижных частей, снижающих их быстродействие и помехоустойчивость. При всем многообразии АИП их структура может быть представлена в общем виде схемами, изображенными на рис. 4.1.

Структурная схема, приведенная на рис. 4.1, а, соответствует АИП прямого действия. В данных АИП преобразование измерительной информации осуществляется только в одном направлении от входа к выходу. Измеряемая величина  $x$  с помощью измерительного преобразователя *ИП* преобразуется в напряжение или ток, который воздейству-

ет на электромеханический измерительный механизм *ИМ*, вызывая перемещение его подвижной части и связанного с ней указателя отсчетного устройства *ОУ*. Отчетное устройство содержит оцифрованную шкалу, с помощью которой оператор *Оп* получает количественный результат измерения. Градуировка шкалы прибора производится путем подачи на его вход ряда известных значений измеряемой величины, реализуемых многозначной образцовой мерой *М*. Таким образом, сравнение измеряемой величины с еди-

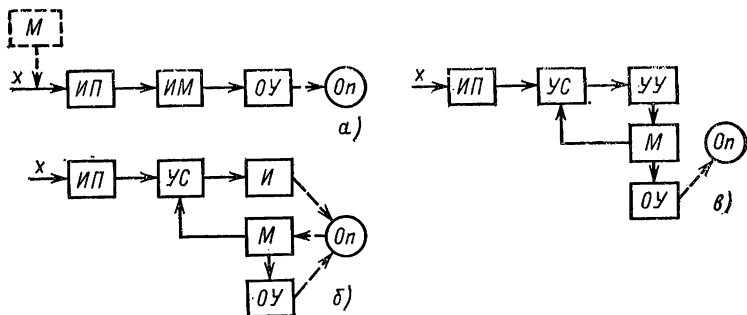


Рис. 4.1. Структурные схемы АИП

ницей измерения в данном случае осуществляется косвенно, а мера *М* в процессе измерения непосредственного участия не принимает.

На рис. 4.1, б изображена структура АИП сравнения. Согласно ГОСТ 16263—70 эти приборы предназначены для непосредственного сравнения измеряемой величины с величиной, значение которой известно. Устройство сравнения *УС* сравнивает значения преобразованной с помощью *ИП* измеряемой величины и образцовой величины, реализуемой регулируемой мерой *М*. Оператор *Оп* с помощью индикатора *И* оценивает результат сравнения и регулирует значение величины, воспроизводимой мерой *М*, до достижения равенства величин на входах *УС*. Значение величины, воспроизводимой мерой *М*, отображается отсчетным устройством *ОУ*, которое может быть отградуировано в единицах измеряемой величины.

При отсутствии *ИП* на входе АИП осуществляется непосредственное сравнение измеряемой величины с физически однородной ей величиной, воспроизводимой мерой.

Обобщенная структура автоматического АИП сравнения

приведена на рис. 4.1, в. Принцип действия такого АИП аналогичен описанному выше, но мера  $M$  регулируется автоматически с помощью устройства управления УУ.

*По способу представления показаний* различают показывающие АИП, позволяющие только отсчитывать показания; регистрирующие АИП, дающие возможность фиксировать значение измеряемого параметра. Регистрирующий АИП, в котором предусмотрена запись показаний в форме диаграммы, называется самопишущим измерительным прибором.

*По назначению* АИП делятся на приборы для измерения тока, напряжения, мощности, параметров электрических цепей, частоты электрического тока, сдвига фаз, напряжения поля, зарядов и т. д.

*По принципу действия* их подразделяют на электромеханические (электромагнитные, электродинамические, ферродинамические, индукционные, электростатические, выпрямительные, термоэлектрические) и электронные (осциллографы, электронные вольтметры). В аналоговых электромеханических измерительных приборах электрическая энергия, подведенная к прибору непосредственно из измеряемой цепи, преобразуется в механическую энергию углового перемещения подвижной части относительно неподвижной. Угол поворота подвижной части связан с измеряемой величиной уравнением шкалы прибора.

Электронные приборы представляют собой многоэлементные электронные устройства. К ним относятся осциллографы, электронные вольтметры.

*По роду тока* различают АИП постоянного тока, переменного тока и универсальные.

Кроме перечисленных, в качестве классификационных признаков АИП могут выступать такие характеристики, как условия эксплуатации, устойчивость к механическим воздействиям, габаритные размеры, форма корпуса, способ установки и т. д.

Основными характеристиками АИП являются: функция преобразования, передаточная функция, погрешности, диапазон измерений, область рабочих частот, время установления показаний (быстродействие), потребляемая мощность, надежность (см. § 1.2 и 2.2).

Наряду со статической погрешностью очень важной характеристикой АИП является его динамическая погрешность. Динамические погрешности обусловлены инерционными свойствами АИП, и поэтому их значения зависят от

характера изменения измеряемой величины во времени. При анализе динамические и статические погрешности рассматривают отдельно.

Исчерпывающей характеристикой динамических свойств АИП является его передаточная функция  $W(p)$ . На практике часто рассматривают реакцию измерительного прибора на входные воздействия в виде единичного скачка или короткого импульса единичной площади, а также на синусоидальное воздействие.

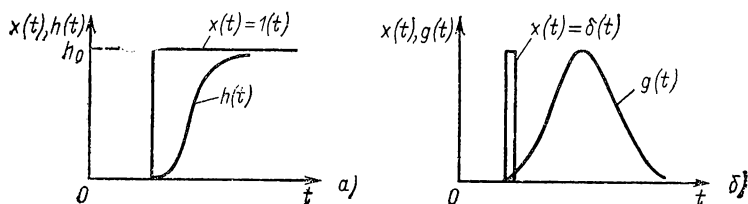


Рис. 4.2. Переходная и импульсная характеристики АИП

Реакция невозбужденного (с нулевыми начальными условиями) АИП на воздействие в виде единичного скачка  $1(t)$  называется переходной функцией  $h(t)$  (рис. 4.2, а). Скорость приближения переходной функции к установившемуся значению  $h(\infty) = h_0$  является мерой инерционности АИП. Реакция АИП на воздействие в виде короткого импульса единичной площади  $x(t) = \delta(t)$  называется импульсной переходной функцией  $g(t)$  (рис. 4.2, б).

Следует отметить, что между функциями  $h(t)$  и  $g(t)$  существует зависимость  $g(t) = dh(t)/dt$ , или

$$h(t) = \int_0^t g(\tau) d\tau. \quad (4.1)$$

Передаточная функция  $W(p)$  связана с импульсной переходной функцией  $g(t)$  преобразованием Лапласа:

$$W(p) = \int_0^{\infty} g(t) e^{-pt} dt. \quad (4.2)$$

Существует также формула обратного преобразования:

$$g(t) = \frac{1}{2\pi j} \int_{\sigma-j\infty}^{\sigma+j\infty} W(p) e^{pt} dp. \quad (4.3)$$



В состав большинства АИП входят электромеханические измерительные механизмы, которые за счет инерционности своей подвижной части ограничивают частотный диапазон измеряемого сигнала. Динамические свойства таких АИП могут быть получены из решения дифференциального уравнения второго порядка

$$a_2 \frac{d^2 y(t)}{dt^2} + a_1 \frac{dy(t)}{dt} + a_0 y(t) = b_0 x(t),$$

где  $a_0, a_1, a_2, b_0$  — коэффициенты, зависящие от параметров электромеханического механизма.

Передаточная функция таких АИП будет иметь вид:

$$W(p) = \frac{b_0}{a_2 p^2 + a_1 p + a_0} = \frac{k_0}{T_2^2 p^2 + T_1 p + 1}, \quad (4.4)$$

где  $T_2^2 = a_2/a_0$ ;  $T_1 = a_1/a_0$ ;  $k_0 = b_0/a_0$ .

Назовем степенью успокоения электромеханического измерительного механизма  $\beta$  отношение  $\beta = T_1/2T_2$ , а собственной частотой его колебаний  $\omega_0 = 1/T_2$ . Приведем передаточную функцию (4.4) с учетом принятых обозначений к виду

$$W(p) = k_0 \omega_0 / [(p + \beta \omega_0)^2 + \omega_0^2 (1 - \beta^2)]. \quad (4.5)$$

Для определения переходных характеристик воспользуемся соотношениями (4.3) и (4.1). Тогда с учетом (4.5) выражение (4.3) примет вид:

$$g(t) = k_0 \omega_0 \frac{1}{\sqrt{1 - \beta^2}} e^{-\beta \omega_0 t} \sin \omega_0 \sqrt{1 - \beta^2} t, \quad (4.6)$$

а переходная функция согласно 4.1)

$$h(t) = k_0 \left[ 1 - \frac{e^{-\beta \omega_0 t}}{\sqrt{1 - \beta^2}} \sin \left( \omega_0 t \sqrt{1 - \beta^2} + \arctg \frac{\sqrt{1 - \beta^2}}{\beta} \right) \right]. \quad (4.7)$$

В зависимости от того, какие значения принимает коэффициент  $\beta$ , возможны три случая (рис. 4.3):

1)  $\beta < 1$  — переходный процесс колебательный с частотой свободных колебаний  $\omega_{св} = \omega_0 \sqrt{1 - \beta^2}$  и амплитудой, затухающей по экспоненте;

2)  $\beta > 1$  характеризует аperiодический переходный процесс;

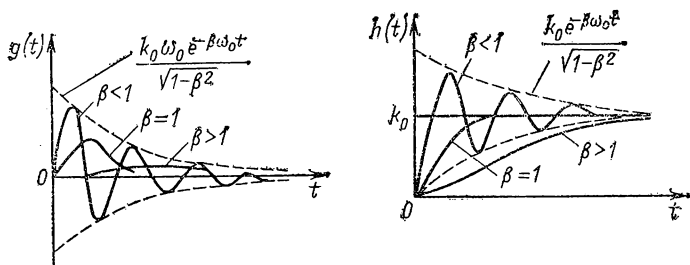


Рис. 4.3. Импульсные и переходные характеристики АИП

3)  $\beta = 1$  характеризует критический режим, который является частным случаем аperiodического переходного процесса. Следует отметить, что наибольшее практическое значение имеет случай, когда  $\beta$  несколько меньше единицы ( $\beta \approx 0,8$ ), поскольку длительность переходного процесса в этом случае наименьшая.

#### 4.2. МАСШТАБНЫЕ ПРЕОБРАЗОВАТЕЛИ

В измерительной технике широкое распространение получили масштабные преобразователи, предназначенные для измерения значения измеряемой величины в заданное число раз. Различают два вида масштабных преобразователей:

1) пассивные, работающие за счет энергии объекта исследования. К ним относятся шунты, добавочные резисторы, измерительные трансформаторы тока и напряжения;

2) активные, повышающие уровни и работающие за счет дополнительного источника энергии. К ним относятся электронные измерительные усилители.

##### Пассивные масштабные преобразователи

**Шунты.** Чтобы в измерительный механизм прибора поступал ток  $I_{\text{им}}$ , меньший в  $n$  раз измеряемого тока  $I$ , необходимо использование шунта-сопротивления, подключаемого параллельно цепи измерительного механизма (рис. 4.4).

Значение сопротивления шунта  $R$  определится из соотношения  $R = R_{\text{им}} / (n - 1)$ , где  $R_{\text{им}}$  — сопротивление измерительного механизма;  $n = I / I_{\text{им}}$  — коэффициент шунтирования. Ток  $I_{\text{им}}$ , протекающий через измерительный механизм, можно найти из соотношения

$$I_{\text{им}} = IR / (R + R_{\text{им}}).$$

Шунты изготавливаются из манганина. На небольшие токи (до 30 А) шунты помещаются в корпусе прибора (внутренние шунты); на большие токи (до 7500 А) применяются наружные шунты. Шунты по точности разделяются на следующие классы: 0,02; 0,05; 0,1; 0,2; 0,5.

Добавочные резисторы служат для расширения пределов измерения измерительных механизмов по напряжению и включаются последовательно с измерительными механизмами (рис. 4.5).

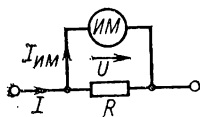


Рис. 4.4. Схема включения шунта

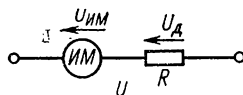


Рис. 4.5. Схема включения добавочного сопротивления

Если напряжение постоянного тока, необходимое для полного отклонения подвижной части измерительного механизма, равно  $U_{\text{им}}$ , а измеряемое напряжение  $U = nU_{\text{им}}$ , то добавочное сопротивление

$$R = R_{\text{им}}(n - 1).$$

Добавочные резисторы изготавливаются из изолированной манганиновой проволоки, намотанной на пластины или каркасы из изоляционного материала. Они применяются для преобразования напряжений до 30 кВ постоянного и переменного токов частот от 10 Гц до 20 КГц и имеют следующие классы точности: 0,01; 0,02; 0,05; 0,1; 0,2; 0,5; 1,0.

Измерительные трансформаторы тока преобразуют переменный ток от 0,8 до 40 000 А в ток с предельными значениями 1; 2; 2,5; 5 А. Поэтому в трансформаторах тока первичный ток  $I_1$  обычно больше вторичного  $I_2$ . Первичная обмотка трансформатора тока содержит малое число витков, и ее выводы  $AB$  (рис. 4.6) включают в разрыв проводника с измеряемым током. Число витков вторичной обмотки больше, чем первичной. К ее выводам  $CD$  последовательно подключают амперметры, ваттметры и другие приборы.

Вторичные цепи измерительных трансформаторов на-

пряжения рассчитаны на напряжение 100 В, а лабораторных  $100/\sqrt{3}$  В при первичном номинальном напряжении до  $750/\sqrt{3}$  В. Выводы  $EF$  первичной обмотки высшего напряжения включают в исследуемую цепь параллельно. Во вторичную цепь  $LN$  с меньшим числом витков ( $w_1 > w_2$ ) параллельно подключают вольтметры, ваттметры и т. д.

По показаниям приборов, включенных во вторичные обмотки, можно определить значения измеряемых величин. Для этого их показания умножаются на действительные коэффициенты трансформации  $k_I = I_1/I_2$ ,  $k_U = U_1/U_2$ . Но действительные коэффициенты трансформации не известны, так как они зависят от режима работы трансформатора (от значений токов, напряжений, сопротивления нагрузки вторичной цепи и т. д.). Поэтому вместо действительных коэффициентов трансформации используют номинальные коэффициенты трансформации:

$$k_{U_{\text{ном}}} = U_{1\text{ном}}/U_{2\text{ном}} = w_1/w_2; \quad k_{I_{\text{ном}}} = I_{1\text{ном}}/I_{2\text{ном}} = w_2/w_1. \quad (4.8)$$

Относительные погрешности  $\delta_I$ ,  $\delta_U$ , %, из-за неравенства действительного и номинального коэффициентов трансформации определяются следующими выражениями:

$$\delta_I = (k_{I_{\text{ном}}} - k_I) 100/k_I; \quad \delta_U = (k_{U_{\text{ном}}} - k_U) 100/k_U. \quad (4.9)$$

Измерительные трансформаторы имеют также фазовую погрешность, связанную с тем, что в реальном трансформаторе угол между повернутым на  $180^\circ$  вектором вторичного напряжения (тока) и соответствующим вектором первичного напряжения (тока) не равен нулю.

По точности трансформаторы тока подразделяются на следующие классы: 0,01; 0,02; 0,05; 0,1; 0,2; 0,5; 1; 3; 5; 10. В зависимости от области применения измерительные трансформаторы тока изготавливаются стационарными и переносными. Переносный трансформатор типа И-54 класса точности 0,2 имеет номинальные первичные токи 0,5; 1,0; 2,0; 5,0; 10,0; 20,0; 50,0 А, вторичный ток 5 А, номинальную на-

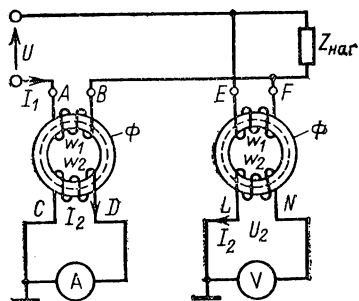


Рис. 4.6. Схема включения трансформаторов тока и напряжения

грузку 0,4 Ом. Универсальный трансформатор тока типа УТТ-5М имеет первичные номинальные токи 15 и 50 А, вторичный 5 А.

Стационарные трансформаторы напряжения имеют классы точности 0,2; 0,5; 1 и 3, а лабораторные 0,05; 0,1; 0,2.

### **Активные масштабные преобразователи**

**Усилитель** — это устройство, в котором осуществляется увеличение мощности входного сигнала за счет энергии вспомогательного источника питания. Связь между входным и выходным сигналами в усилителе непрерывная и однозначная. В общем виде усилитель представляет собой активный четырехполюсник, на вход которого подается усиливаемый сигнал, а к выходу подсоединяется нагрузка.

Классификация усилителей возможна по ряду признаков: по полосе пропускания частот, по роду усиливаемого электрического сигнала, по типу применяемых усилительных элементов, по схеме включения усилительных элементов, по числу каскадов усиления, по виду межкаскадных связей и т. д.

В зависимости от полосы пропускания частот различают усилители постоянного и переменного тока: у первых нижняя граничная частота полосы равна нулю, у вторых она отделена от нуля конечным интервалом.

Усилитель может состоять из одного или нескольких каскадов. Для многокаскадных усилителей общий коэффициент усиления равен произведению коэффициентов усиления всех отдельных каскадов. Связь между каскадами осуществляется с помощью пассивных четырехполюсников межкаскадной связи.

В структуре усилителя могут быть цепи, осуществляющие передачу части энергии с его выхода во входную цепь или передачу энергии с выхода последующих каскадов во входные цепи предыдущих каскадов и называемые цепями обратной связи.

Количественно обратная связь оценивается коэффициентом передачи цепи обратной связи  $\beta$ , показывающим, какая часть выходного сигнала поступает на вход схемы. В зависимости от того, какой из выходных параметров (ток или напряжение) является входным для цепи обратной связи, различают обратную связь по напряжению и по току. Способы получения обратной связи с выхода усили-

теля показаны на рис. 4.7. Обратная связь по напряжению (рис. 4.7, а) формируется делителем на резисторах  $R_1$ ,  $R_2$ ; обратная связь по току (рис. 4.7, б) снимается с резистора  $R$ , включенного последовательно с нагрузкой  $R_H$ . В зависимости от способа включения обратной связи во входные цепи усилителя различают параллельную (рис. 4.8, а) и по-

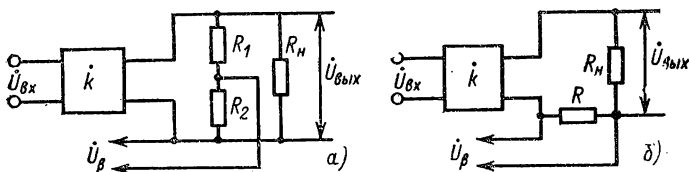


Рис. 4.7. Схемы обратной связи по напряжению и току

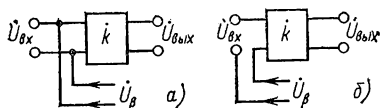
следовательную (рис. 4.8, б) схемы включения обратной связи. В первом случае во входной цепи суммируются токи, во втором — напряжения.

Коэффициент передачи обратной связи по напряжению

$$\beta = \dot{U}_\beta / \dot{U}_{\text{вых}}. \quad (4.10)$$

В зависимости от соотношения фаз напряжения, поступающего по цепи обратной связи  $\dot{U}_\beta$ , и входного напряжения  $\dot{U}_{\text{вх}}$  различают положительную и отрицательную обрат-

Рис. 4.8. Схемы параллельной и последовательной обратной связи



ные связи. Если при подключении цепи обратной связи напряжение на выходе усилителя возрастает, обратная связь называется положительной. Если напряжение на выходе уменьшается, обратная связь называется отрицательной.

Наиболее часто используется отрицательная обратная связь, позволяющая повысить точность измерительных усилителей (см. § 2.9).

Усилители переменного тока. По ширине по-

лосы и абсолютным значениям частот усиливаемых сигналов электронные усилители переменного тока делятся на усилители низкой частоты, предназначенные для усиления сигналов с частотой от десятков герц до 15—20 кГц; усилители высокой частоты, предназначенные для усиления сигналов во всем диапазоне частот, используемых электроникой; широкополосные усилители, позволяющие усиливать сигналы в широкой полосе частот (например, от десятков герц до нескольких мегагерц).

Импульсные усилители представляют собой широкополосные усилители, полосу пропускания которых выбирают так, чтобы искажение формы усиливаемого импульса было наименьшим. Форма импульса определяет его спектр. Чем круче фронт импульса, тем шире его спектр в области верхних частот; чем длительнее пологие участки импульса, тем больше низкочастотных составляющих в спектре [3].

Усилители постоянного тока. Усилителями постоянного тока (УПТ) называют усилители, способные усиливать медленно меняющиеся во времени сигналы. Низшая рабочая частота таких усилителей  $\omega_{\text{низ}} = 0$ , высшая частота  $\omega_{\text{выс}}$  определяется назначением усилителя.

Усилители постоянного тока применяют для усиления как медленно меняющихся сигналов, так и слабых сигналов переменного тока, например, для усиления сигналов с датчиков (термопар, фотодатчиков, тензодатчиков и др.), в осциллографах, стабилизаторах напряжения и тока и т. д. Для соединения каскадов используется непосредственная связь. Отсутствие в межкаскадных связях реактивных элементов позволяет передавать постоянную и переменную составляющие сигнала.

Усилителям постоянного тока свойственно такое явление, как дрейф нуля. Под дрейфом нуля понимают самопроизвольное изменение выходного напряжения при постоянном или нулевом сигнале на входе. Дрейф нуля обычно оценивают изменением за единицу времени входного напряжения  $U_{\text{вх.др}}$ , которое вызывает эквивалентное изменение выходного напряжения

$$U_{\text{вх.др}} = U_{\text{вых.др}}/k_U, \quad (4.11)$$

где  $k_U$  — коэффициент усиления по напряжению.

Причинами дрейфа могут быть: изменение питающих напряжений, температуры, постепенное изменение параметров активных и пассивных элементов схем. Главными

мерами уменьшения дрейфа являются предварительный прогрев усилителя, стабилизация напряжения источников питания, использование компенсационных схем, элементов с нелинейной зависимостью параметров от температуры, преобразование постоянного тока в переменный и усиление переменного тока с последующим преобразованием. В транзисторных усилителях дрейф обусловлен термочувствительностью транзисторов.

Когда допустимый дрейф нуля составляет единицы микровольт, используют усилители с преобразованием на-

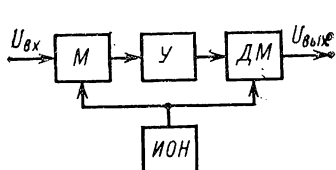


Рис. 4.9. Структурная схема усилителя типа М — ДМ

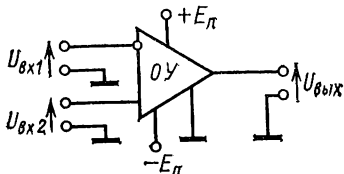


Рис. 4.10. Условное обозначение операционного усилителя

пряжения. Эти усилители строят по схеме модулятор — усилитель — демодулятор (рис. 4.9). В модуляторе  $M$  медленно меняющееся входное напряжение преобразуется в амплитудно-модулированное переменное, которое усиливается усилителем переменного напряжения  $У$ . Усиленное переменное напряжение поступает на демодулятор  $ДМ$ , управляемый тем же источником опорного напряжения  $ИОН$ , что и демодулятор. Дрейф нуля такого усилителя значительно меньше, чем у обычных  $УПТ$ , поскольку он обусловлен только дрейфом нуля модуляторов и демодуляторов.

В настоящее время промышленностью выпускаются в интегральном исполнении операционные усилители. Операционными усилителями ( $ОУ$ ) принято называть усилители постоянного тока с дифференциальным входом и однотактным выходом, отличающиеся высоким коэффициентом усиления, а также большим входным и малым выходным сопротивлениями. Термин «операционный усилитель» возник в аналоговой вычислительной технике, где подобные усилители с соответствующими обратными связями применялись для моделирования различных математических операций (интегрирования, суммирования и т. д.).

Условное обозначение  $ОУ$  показано на рис. 4.10. В за-



висимости от полярности сигналов на входе и выходе один из входов называют инвертирующим, а другой неинвертирующим. Инвертирующий вход обозначается кружком.

К основным параметрам ОУ относятся коэффициент усиления  $k$ , температурный коэффициент напряжения смещения нуля  $\varepsilon$ , средний входной ток  $I_{вх.ср}$  и разность входных токов  $\Delta I_{вх}$ , напряжение питания  $E_n$ , потребляемый ток  $I_{пот}$  и мощность  $P_{пот}$ . Для современных ОУ типичны следующие значения параметров:  $k=10^5 \div 10^6$ ;  $\varepsilon=2 \div 3$  мкВ/°С;  $I_{вх.ср}=5 \div 10$  нА;  $\Delta I_{вх}=1 \div 10$  нА.

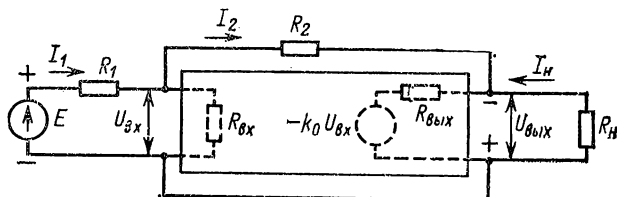


Рис. 4.11. Эквивалентная схема усилителя с обратной связью

Принципиальная схема ОУ содержит, как правило, один, два или три каскада усиления напряжения, причем входной каскад всегда выполняется по дифференциальной, параллельно-симметричной схеме.

Для повышения точности измерительных усилителей широкое применение находит отрицательная обратная связь (см. § 2.9).

Эквивалентная схема усилителя с отрицательной обратной связью показана на рис. 4.11. Если принять  $R_{вх}=\infty$ , а  $R_{вых}=0$ , то  $I_{вх}=0$  и  $U_{вых}=-k_0 U_{вх}$ , а токи  $I_1$  и  $I_2$  оказываются одинаковыми, т. е.

$$(E - U_{вх})/R_1 = (U_{вх} - U_{вых})/R_2.$$

Подставив  $U_{вх}=-U_{вых}/k_0$ , разделив обе части на  $E$  и проведя преобразования, получим коэффициент усиления схемы

$$k = \frac{U_{вых}}{E} = - \frac{R_2/R_1}{1 + (1 + R_2/R_1)/k_0}. \quad (4.12)$$

Если соблюдается неравенство  $k_0 \gg R_2/R_1 + 1$ , то вторым слагаемым в знаменателе (4.12) можно пренебречь. Тогда

$$k = - R_2/R_1. \quad (4.13)$$

Из (4.13) видно, что при определенных условиях коэф-

эффициент усиления схемы зависит только от параметров цепи обратной связи и не зависит от параметров самого усилителя.

### 4.3. ИЗМЕРИТЕЛЬНЫЕ МЕХАНИЗМЫ ПРИБОРОВ И ИХ ПРИМЕНЕНИЕ

Электромеханические измерительные приборы (ЭИП) применяют для измерения тока, напряжения, мощности, частоты, фазовых сдвигов, сопротивлений и других электрических величин на постоянном и переменном токах преимущественно промышленной частоты 50 Гц. Структурная схема ЭИП представлена на рис. 4.1, а. В зависимости от способа преобразования электрической энергии, подводимой к прибору, в

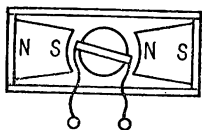


Рис. 4.12. Магнито-электрический ИМ

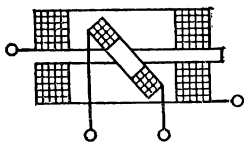


Рис. 4.13. Электродинамический ИМ

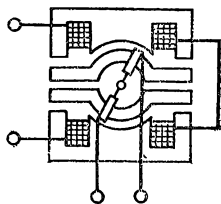


Рис. 4.14. Ферродинамический ИМ

механическую энергию перемещения подвижной части ЭИП делятся на приборы следующих основных систем: магнитоэлектрические, электромагнитные, электродинамические, ферродинамические, электростатические, индукционные. Кроме перечисленных основных систем ЭИП, известны также вибрационные, тепловые и др.

В данном параграфе рассматриваются магнитоэлектрические, электродинамические, ферродинамические, электромагнитные и электростатические механизмы и их применение.

**Магнитоэлектрические механизмы.** В ИМ магнитоэлектрической системы (рис. 4.12) рамка подвижной части перемещается в магнитном поле воздушного зазора. На рамку действует вращающий момент

$$M_{\text{вр}} = \psi_0 I;$$

здесь  $\psi_0 = BS\omega$ , где  $B$  — магнитная индукция в рабочем зазоре;  $S$  — активная площадь рамки;  $\omega$  — число витков обмотки рамки.

Кроме вращающего момента  $M_{\text{вр}}$  на подвижную часть ИМ действует противодействующий момент  $M_{\text{пр}}$ , обычно создаваемый пружиной и равный

$$M_{\text{пр}} = \alpha W,$$

где  $\alpha$  — угол поворота подвижной части;  $W$  — удельный противодействующий момент.

Движение (вращение) подвижной части происходит до тех пор, пока противодействующий момент не уравнивает вращающий. При этом

$$\psi_0 I = W\alpha,$$

откуда

$$\alpha = \psi_0 I / W. \quad (4.14)$$

Отношение  $\psi_0/W = S_I$  представляет собой чувствительность ИМ к току  $I$ , тогда  $\alpha = S_I I$ .

Из последнего выражения видно, что отклонение подвижной части происходит линейно с ростом тока в обмотке рамки подвижной части, т. е. ИМ магнитоэлектрической системы позволяет получить равномерную шкалу прибора.

По конструкции магнитной системы различают ИМ с внешним и внутрирамочным магнитом. Преимуществом ИМ с внутрирамочным магнитом является лучшее использование магнитной энергии магнита, что позволяет создавать миниатюрные приборы. Достоинствами магнитоэлектрических ИМ являются: высокая чувствительность (ИМ обладает сильным собственным полем, поэтому даже при малых токах создается достаточный вращающий момент); большая точность (из-за высокой стабильности элементов ИМ); незначительное влияние на режим измерительной цепи, так как мощность потребления ИМ мала (не более нескольких десятых долей ватта); равномерность шкалы; хорошее успокоение.

Недостатки магнитоэлектрического ИМ: сложность и относительно высокая стоимость; невысокая перегрузочная способность, обусловленная легким перегревом пружин и изменением их свойств; температурные влияния на точность измерения; пригодность для измерения только в цепях постоянного тока.

Благодаря отмеченным достоинствам ИМ магнитоэлектрические приборы являются наиболее точными: имеют класс точности до 0,1. Магнитоэлектрические приборы находят широкое применение в качестве амперметров и вольтметров постоянного тока с пределами измерений от единиц ампер до килоампер и от долей милливольт до киловольт; омметров; гальванометров постоянного тока, используемых в качестве нулевых индикаторов, а также для измерения малых токов и напряжений в сочетании с различного рода преобразователями переменного тока в постоянный они могут быть использованы также для измерения в цепях переменного тока.

**Электродинамические механизмы.** В измерительных механизмах электродинамической системы вращающий момент создается при взаи-

действии тока  $I_1$ , проходящего по рамке подвижной части, с магнитным потоком, создаваемым током  $I_2$ , проходящим через неподвижные катушки возбуждения (рис. 4.13).

Вращающий момент, действующий на подвижную катушку,

$$M_{вр} = I_1 I_2 (dM_{12}/d\alpha),$$

где  $M_{12}$  — взаимная индуктивность катушек;  $\alpha$  — угол поворота.

Под действием вращающего момента подвижная катушка стремится занять такое положение, при котором направление ее магнитного поля совпадало бы с направлением магнитного поля неподвижной катушки. Для положения равновесия необходимо, чтобы

$$M_{вр} = M_{пр} = \alpha W.$$

Следовательно, угол отклонения подвижной части механизма

$$\alpha = I_1 I_2 (dM_{12}/d\alpha)/W. \quad (4.15)$$

При включении электродинамического механизма в цепь переменного тока на его подвижную часть воздействует вращающий момент, мгновенное значение которого

$$m(t) = i_1(t) i_2(t) (dM_{12}/d\alpha).$$

Здесь

$$i_1(t) = I_{m1} \sin(\omega t + \psi_1); \quad i_2(t) = I_{m2} \sin(\omega t + \psi_2),$$

где  $i_1(t)$  и  $i_2(t)$  — мгновенные значения токов в неподвижной и подвижной катушках;  $\psi_1$  и  $\psi_2$  — начальные углы сдвига фаз.

Среднее значение вращающего момента за период, на который реагирует подвижная часть механизма,

$$M_{ср} = \frac{1}{T} \int_0^T m(t) dt = I_1 I_2 \cos \psi \frac{dM_{12}}{d\alpha},$$

где  $I_1$ ,  $I_2$  — средние квадратические значения токов в катушках;  $T = 2\pi/\omega$ ;  $\psi = \psi_1 - \psi_2$  — угол сдвига фаз между векторами токов  $I_1$  и  $I_2$ .

Угол отклонения подвижной части механизма

$$\alpha = I_1 I_2 \cos \psi (dM_{12}/d\alpha)/W. \quad (4.16)$$

Таким образом, шкала приборов электродинамических систем неравномерна. Характер шкалы зависит от формы катушек и их взаимного расположения.

Основными достоинствами электродинамических механизмов являются: возможность их использования в цепях как постоянного, так и переменного тока; стабильность показаний во времени. В качестве недостатков таких механизмов можно отметить следующие: малую чувствительность; большую мощность потребления (до нескольких десят-

ков ватт); зависимость выходной величины от частоты входного сигнала, температуры, внешних магнитных полей и механических воздействий.

Указанные свойства электродинамических механизмов позволяют на их основе выпускать лабораторные многопредельные приборы высоких классов точности (0,5; 0,2; 0,1) для измерений на постоянном и переменном токе. Промышленностью выпускаются миллиамперметры и амперметры с пределами от 1 мА до 10 А на частоты до 10 кГц, многопредельные вольтметры с пределами от 1,5 до 600 В на частоты до 5 кГц с током полного отклонения от 3 до 60 мА, многопредельные однофазные ваттметры с пределами по току от 25 мА до 10 А и по напряжению от 15 до 600 В. Выпускаются также комбинированные электродинамические приборы — амперваттметры.

**Ферродинамические механизмы.** Механизмы ферродинамической системы отличаются от рассмотренных электродинамических механизмов тем, что неподвижная катушка имеет магнитопровод из магнитомягкого листового материала (рис. 4.14). Такая конструкция позволяет защитить механизм от воздействия внешних магнитных полей. Наличие магнитопровода способствует созданию большого вращающего момента, действующего на подвижную катушку.

Так как в воздушном зазоре, где перемещается подвижная катушка, магнитное поле равномерное и радиальное, то

$$dM_{12}/d\alpha = \text{const.}$$

Вращающий момент создается в результате взаимодействия индукции  $B_1$  в зазоре магнитопровода и тока в подвижной катушке  $I_2$ . Среднее значение вращающего момента можно представить выражением

$$M_{cp} = k B_1 I_2 \cos(B_1, I_2),$$

где  $B_1$  — магнитная индукция в рабочем зазоре;  $k$  — коэффициент, определяемый конструктивными параметрами и выбором системы единиц.

Так как при работе ИМ используется линейный участок кривой намагничивания материала магнитопровода, то  $B_1 = k_B I_1$  ( $k_B$  — коэффициент пропорциональности) и угол между  $B_1$  и  $I_1$  мал. Поэтому

$$M_{cp} = k k_B I_1 I_2 \cos(I_1, I_2) = k_1 I_1 I_2 \cos \psi.$$

Функция преобразования приобретает вид:

$$\alpha = (k_1/W) I_1 I_2 \cos \psi. \quad (4.17)$$

К достоинствам ферродинамических измерительных механизмов относятся: меньшая, чем у электродинамических механизмов, восприимчивость к внешним магнитным полям; больший вращающий момент; меньшее собственное потребление мощности и стабильность параметров при механических воздействиях. Недостатки механизмов: невысокая

точность, влияние изменений частоты сигнала и температуры на показания. Указанные свойства ферродинамических механизмов определяют область их применения: в щитовых и переносных приборах переменного тока. Промышленность выпускает тряско-, вибро- и ударопрочные щитовые ферродинамические амперметры и вольтметры классов точности 1,5 и 2,5; переносные амперметры и вольтметры класса 0,5; щитовые и переносные вольтметры классов точности 0,2 и 0,5. Применяются они преимущественно на переменном токе промышленной частоты.

**Электромагнитные механизмы.** В конструкциях электромагнитных ИМ вращающий момент создается в результате взаимодействия подвижных элементов из ферромагнитного материала с магнитным потоком, создаваемым обмоткой возбуждения, через которую проходит измеряемый ток. Подвижный элемент стремится расположиться так, чтобы усилить поле обмотки возбуждения. Вращающий момент, действующий на подвижный электрод,

$$M_{\text{вр}} = (dL/d\alpha) I^2/2,$$

где  $L$  — индуктивность катушки;  $I$  — ток в обмотке.

Если по катушке пропустить переменный ток  $i(t) = I_m \sin \omega t$ , то для мгновенного значения вращающего момента получаем

$$m(t) = i^2(t) (dL/d\alpha)/2.$$

Измерительный механизм реагирует на среднее значение вращающего момента:

$$M_{\text{ср}} = \frac{1}{T} \int_0^T m(t) dt = \frac{1}{2} \frac{dL}{d\alpha} \frac{1}{T} \int_0^T i^2(t) dt = \frac{1}{2} \frac{dL}{d\alpha} I^2,$$

где  $I$  — среднеквадратическое значение тока;  $T$  — период переменного тока.

Угол отклонения подвижной части ИМ определяют из равенства

$$M_{\text{вр}} = M_{\text{пр}} = \alpha W,$$

откуда

$$\alpha = (dL/d\alpha) I^2/2W. \quad (4.18)$$

Шкала электромагнитного измерительного прибора в начале сжата, а в конце растянута. Выбором формы сердечника ИМ можно получить почти равномерную шкалу. Поскольку  $\alpha$  является функцией  $I^2$ , знак угла поворота не зависит от направления тока в катушке, поэтому электромагнитные приборы одинаково пригодны для измерения в цепях постоянного и переменного токов. Для обеспечения зависимости направления перемещения подвижной части от полярности сигнала в обмотке возбуждения в магнитную цепь измерительного механизма вво-

дят постоянные магниты, создающие начальное подмагничивание подвижного элемента. Такой электромагнитный ИМ называется поляризованным (рис. 4.15). Недостатком электромагнитных ИМ являются: низкая чувствительность и точность; значительное собственное потребление (до нескольких десятков ватт); подверженность влиянию частоты, внешних магнитных полей и температуры. В качестве достоинств таких ИМ могут быть отмечены: пригодность для работы на постоянном и переменном токах; устойчивость к токовым перегрузкам; простота конструкции и невысокая стоимость. Благодаря отмеченным достоинствам электромагнитные ИМ используются в щитовых амперметрах и вольтметрах класса точности 1,0 и более низких классов для измерений в цепях переменного тока. Кроме того, они применяются в переносных многопредельных приборах класса точности 0,5.

Отечественная промышленность выпускает переносные амперметры класса точности 0,5 с верхними пределами измерений от 10 мА до 10 А на частоты до 1500 Гц; щитовые однопредельные амперметры классов точности 1,0; 1,5; 2,5 на токи до 300 А со встроенными трансформаторами тока и до 15 кА с наружными трансформаторами тока; переносные вольтметры класса точности 0,5 с верхними пределами измерений от 1,5 до 600 В; щитовые вольтметры классов точности 1,0; 1,5; 2,5 с верхними пределами измерений от 0,5 до 600 В непосредственного включения и до 450 кВ с трансформаторами напряжения на различные фиксированные частоты от 50 до 1000 Гц.

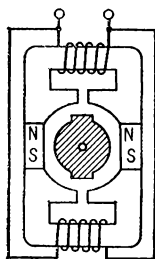


Рис. 4.15. Электромагнитный ИМ с подмагничиванием

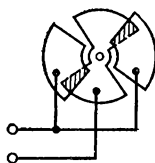


Рис. 4.16. Электростатический ИМ

**Электростатические механизмы.** Принцип действия электростатических ИМ основан на взаимодействии двух или нескольких заряженных проводников. В данном механизме перемещение подвижной части связано с изменением емкости системы (рис. 4.16). Практическое применение нашли два вида ИМ: в одних изменение емкости осуществляется за счет изменения активной площади электродов; в других — за счет изменения расстояния между электродами.

На рис. 4.16 представлен ИМ с изменением активной площади элек-

тродов. Электроды изготавливаются из алюминия. Измеряемое напряжение  $u$ , приложенное к неподвижным и подвижным электродам, создает между ними электростатическое поле.

Вращающий момент электростатического ИМ

$$M_{вр} = u^2(t) (dC/d\alpha)/2,$$

где  $C$  — емкость между электродами.

При переменном напряжении  $u(t) = U_m \sin \omega t$ , приложенном к электродам, отклонение подвижной части происходит под действием среднего за период момента

$$M_{вр} = \frac{1}{2T} \frac{dC}{d\alpha} \int_0^T u^2(t) dt = U^2 \frac{dC}{d\alpha},$$

где  $U$  — среднее квадратическое значение напряжения;  $T$  — период.

Выражение для угла отклонения можно получить из условия статического равновесия:

$$M_{вр} = M_{пр} = \alpha W,$$

откуда

$$\alpha = (dC/d\alpha) U^2/2W. \quad (4.19)$$

Шкала электростатического прибора неравномерна, а угол отклонения подвижной части определяется средним квадратическим значением напряжения и не зависит от полярности приложенного напряжения. Выбором формы, размера и расположения пластин в приборах получают почти равномерную шкалу от 15 до 100 % верхнего предела измерения.

Достоинством рассмотренных ИМ являются: возможность их использования в цепи как постоянного, так и переменного тока; малая мощность потребления; независимость показаний от частоты, формы измеряемого напряжения и внешних магнитных полей; большой диапазон измеряемых напряжений (до нескольких сотен киловольт). Недостатки ИМ: малая чувствительность; влияние внешних электрических полей. Указанные свойства определяют области применения электростатических вольтметров: в цепях постоянного и переменного токов высокой и повышенной частот с напряжением до десятков и сотен киловольт. Отечественная промышленность в настоящее время выпускает переносные и щитовые однопредельные и многопредельные электростатические вольтметры классов точности 0,5; 1,0 и 1,5 на напряжения от 10 В до 300 кВ и частоты до 10 МГц, имеющие входную емкость от 4 до 65 пФ и входное сопротивление  $10^{10}$ — $10^{12}$  Ом.



#### 4.4. АНАЛОГОВЫЕ РЕГИСТРИРУЮЩИЕ ПРИБОРЫ

**Общие свойства регистрирующих приборов.** Измерительными регистрирующими приборами принято называть измерительные приборы, осуществляющие автоматическую регистрацию измерительной информации, поступающей на их вход. Они позволяют изучать изменение измеряемой величины во времени. Кроме того, при помощи регистрирующих приборов можно установить функциональные связи между двумя или несколькими измеряемыми величинами. Регистрация последовательных значений измеряемой величины может быть произведена как в цифровой (цифровая печать), так и аналоговой форме. Здесь рассматриваются только аналоговые регистрирующие приборы.

Аналоговые регистрирующие приборы подразделяются на самопишущие приборы, светолучевые осциллографы и магнитографы.

*Самопишущие приборы* используются для измерения и регистрации относительно медленно изменяющихся величин. В зависимости от принципа действия они подразделяются на низкочастотные (позволяют регистрировать электрические сигналы, частота изменения которых не превышает 1 Гц) и быстродействующие (позволяют получить запись входного сигнала частотой до 200 Гц).

*Светолучевые осциллографы* предназначены для регистрации величин, изменяющихся с частотой от 0 до 25 кГц. Они рассмотрены далее.

При помощи *магнитографов* возможна регистрация высокочастотных процессов с последующей обработкой результатов на электронных вычислительных машинах. В них предусмотрена регистрация информации на магнитном носителе (магнитной ленте). Электрический сигнал, пропорциональный значению измеряемой величины, усиливается входным устройством магнитографа до уровня, необходимого для его регистрации. При этом магнитные носители информации обеспечивают большую плотность записи и простоту обработки результатов. Основной недостаток магнитной регистрации — отсутствие устройства для визуального наблюдения за измеряемым процессом.

Регистрация — представление измерительной информации в форме видимых или открытых изображений, размещенных на некоторых материальных носителях (бумага, магнитная лента, фотопленка и т. п.). Все известные методы регистрации можно разделить на три группы: первую

группу составляют методы регистрации нанесением слоя вещества, вторую — снятием слоя вещества и третью — изменением физико-химического состояния вещества. Наибольшее распространение получили методы: чернильный, печатный, фотографический (в осциллографах), электромагнитный (в магнитографах).

Рассмотрим наиболее распространенную разновидность измерительных регистрирующих приборов — самопишущие электроизмерительные приборы (СЭП).

### **Классификация и структурные схемы самопишущих электроизмерительных приборов**

Согласно ГОСТ 16263—70 самопишущими называются регистрирующие приборы, в которых запись показаний производится в форме диаграммы [14].

В зависимости от типа преобразователя измерительного сигнала в перемещение регистрирующего органа СЭП можно разделить на две группы: с использованием измерительных механизмов и исполнительных электродвигателей.

В СЭП первой группы регистрирующий орган механически связан с подвижной частью измерительного механизма (ИМ) и перемещается вместе с ней за счет электрической энергии входного сигнала. Вследствие этого данные приборы потребляют значительную мощность и имеют низкую чувствительность. Точность СЭП этой группы невысока (класс 1,5 и более). Это связано с наличием погрешности от трения в опорах подвижной части ИМ и пера о бумагу, погрешности от деформации пружин и растяжек, погрешности от остаточного ферромагнетизма. Инерционность отдельных звеньев является причиной низкого быстродействия, а наличие растяжек, трения в опорах подвижной части — невысокой надежности.

В соответствии с этим СЭП с измерительными механизмами получили распространение на объектах, где требования к точности измерения и регистрации невелики.

Основное преимущество СЭП, в которых для перемещения регистрирующего органа используются исполнительные электродвигатели, — более высокая точность измерений и регистрации. Она достигается благодаря тому, что использование достаточно мощных двигателей для перемещения регистрирующего органа, питаемых от вспомогательных источников энергии, дает возможность снизить потребление энергии от объекта измерения, уменьшить погрешность от трения пишущего устройства о бумагу, применить более длинную шкалу отсчета и соответственно более широкое

поле записи измеряемой величины. Эти приборы отличаются также высокой надежностью и работоспособностью в тяжелых условиях эксплуатации и возможностью их использования как на стационарных, так и на подвижных объектах.

Рассмотренная классификация позволяет определить структурную реализацию СЭП. Все СЭП с ИМ выполнены по разомкнутой структурной схеме, и поэтому их можно отнести к классу приборов прямого преобразования; СЭП с исполнительными электродвигателями выполнены по схеме с замкнутой структурной схемой и могут быть отнесены к приборам уравнивающего преобразования [5, 14].

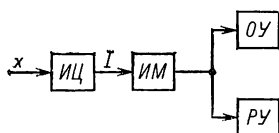


Рис. 4.17. Структурная схема СЭП прямого преобразования

Структурная схема СЭП прямого преобразования приведена на рис. 4.17. На вход измерительной цепи ИЦ подается электрическая величина  $x$ . Если необходимо вести регистрацию изменения какой-либо неэлектрической величины, то в этом случае перед регистрирующим прибором необходимо включить соответствующий первичный преобразователь, который и преобразует контролируемую неэлектрическую величину в электрическую.

Измерительная цепь преобразует электрическую величину в ток  $I$ , достаточный для приведения в действие ИМ. Измерительная цепь в общем случае может состоять из большого числа измерительных преобразователей (модуляторов, усилителей, выпрямителей и др.). Угол поворота подвижной части ИМ преобразуется в перемещение указателя по шкале прибора в отсчетном устройстве ОУ и в перемещение регистрирующего органа относительно носителя в регистрирующем устройстве РУ. В качестве носителя обычно используется специальная бумажная лента с нанесенной диаграммной сеткой. Таким образом, регистрирующий орган перемещается на угол  $\alpha$ , пропорциональный значению измеряемой величины, и производит на носителе регистрацию результатов измерения в виде линий или точек.

Для одновременной регистрации нескольких величин разработаны многоканальные самопишущие приборы. Та-

кие приборы имеют общий механизм протяжки носителя и несколько измерительных механизмов в одном корпусе.

Измерительные механизмы СЭП прямого действия могут быть построены в принципе на любой из известных систем. На практике, однако, в указанных СЭП применяются механизмы магнитоэлектрической, ферродинамической и электромагнитной (поляризованной) систем.

В СЭП прямого преобразования используются ИМ магнитоэлектрической и ферродинамической систем. Это обусловлено тем, что указанные механизмы имеют относительно большой вращающий момент, который необходим в регистрирующих приборах.

В самопишущих приборах прямого преобразования наибольшее применение находят измерительные механизмы с внутрирамочным магнитом. Эти механизмы характеризуются высоким коэффициентом использования магнитного потока и меньшими размерами, чем измерительные механизмы с внешним магнитом.

Магнитоэлектрические измерительные механизмы применяются в самопишущих вольтметрах и амперметрах, предназначенных для работы в цепях постоянного тока (приборы типов Н392, Н399).

Самопишущие электроизмерительные приборы с измерительными механизмами ферродинамической системы используются в качестве амперметров и вольтметров переменного тока (приборы типов Н393, Н394), а также ваттметров (приборы типов Н395, Н396).

В качестве измерительных механизмов в быстродействующих СЭП прямого преобразования используются механизмы с относительно большой частотой собственных колебаний подвижной части  $f_0$ . К таким измерительным механизмам относятся магнитоэлектрический ИМ с внешним магнитом, имеющий значение  $f_0 \approx 40$  Гц, и электромагнитный поляризованный ИМ с  $f_0 \approx 60$  Гц. Электромагнитный поляризованный механизм по сравнению с магнитоэлектрическим имеет не только большее значение частоты собственных колебаний подвижной части, но и большую массу, малые габариты и невысокую стоимость.

Электромагнитные поляризованные механизмы используются в быстродействующих СЭП типов Н338, Н3020.

По принципу уравнивающего преобразования построены более сложные автоматические самопишущие мосты и потенциометры, называемые также приборами компенсационного преобразования. Эти приборы используются

для измерения и регистрации, главным образом неэлектрических величин и подробно рассмотрены в [3]. За последние годы применение принципа уравнивающего преобразования расширилось: по этому принципу строятся двухкоординатные точные одно- и многоперьевые СЭП.

Структурная схема СЭП уравнивающего преобразования показана на рис. 4.18, где  $y$  — усилитель некомпенсации;  $D$  — двигатель (реверсивный);  $P$  — редуктор;  $МП$  — механическая передача;  $УУ$  — уравнивающее устройство.

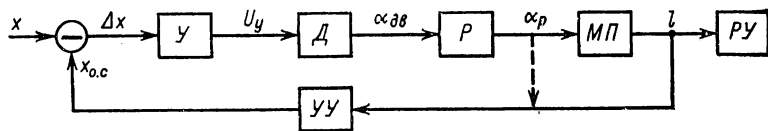


Рис. 4.18. Структурная схема СЭП уравнивающего преобразования

Выходная величина СЭП уравнивающего преобразования — угол поворота вала двигателя  $\alpha_{дв}$  или редуктора  $\alpha_p$ . В звено  $РУ$  входит линейно перемещающаяся каретка, на которой укреплены показывающее устройство и регистрирующий орган. Вращение выходного вала редуктора преобразуется в линейное перемещение каретки  $l$  специальной механической передачей  $МП$ . Измеряемая величина  $x$  в таких приборах сравнивается с компенсирующей  $x_{o.c.}$ , которая вырабатывается с помощью  $УУ$ . Разность измеряемой и компенсирующей величин  $\Delta x = x - x_{o.c.}$  усиливается усилителем и подается на исполнительный двигатель, перемещающий  $УУ$ , которое изменяет  $x_{o.c.}$  так, что происходит уменьшение  $\Delta x$  до  $\Delta x \approx 0$ . Одновременно исполнительный двигатель обеспечивает перемещение показывающего и регистрирующего устройств прибора.

По динамическим характеристикам СЭП уравнивания разделяются на приборы со статической характеристикой (без интегрирующего звена) и с астатической (с интегрирующим звеном) [18]. В статических уравнивающих приборах при постоянном входном воздействии  $x$  разность  $\Delta x$  между значениями измеряемой и компенсирующей величин стремится к конечному значению, зависящему от значения измеряемой величины. В астатических регистрирующих приборах при постоянном входном воз-

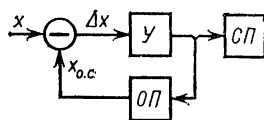
действии  $x$  разность  $\Delta x$  стремится к нулю вне зависимости от размера воздействия.

Таким образом, в статических СЭП происходит не полное, а лишь частичное уравнивание измеряемой величины компенсирующей. Степень некомпенсации измеряемой величины характеризуется относительной величиной  $S$ , называемой статизмом прибора и равной

$$S = (x - x_{o.c.})/x,$$

где  $x$  — значение измеряемой величины;  $x_{o.c.}$  — значение компенсирующей величины.

Рис. 4.19. Структурная схема АИП уравнивающего преобразования со статической характеристикой



Статизм прибора определяется коэффициентами преобразования  $k$  и  $\beta$  соответственно прямого и обратного преобразователей:

$$S = 1/(1 + \beta k).$$

Структурная схема СЭП уравнивающего преобразования со статической характеристикой представлена на рис. 4.19, где  $У$  — усилитель некомпенсации;  $ОП$  — обратный преобразователь;  $СП$  — самопишущий прибор прямого действия. Выходной величиной замкнутой части схемы является напряжение или ток, которые измеряются и регистрируются с помощью  $СП$ . Измеряемая величина сравнивается с компенсирующей  $x_{o.c.}$ , которая вырабатывается обратным преобразователем.

Самопишущие электроизмерительные приборы, построенные по схеме на рис. 4.19, по сравнению с приборами прямого преобразования обладают более высокой точностью (классы точности 0,1; 0,15; 0,25; 0,5; 1,0; 1,5).

Статическую характеристику имеют разнообразные автоматические АИП: фотогальванометрические компенсаторы, фотогальванометрические компараторы, автоматические мосты и компенсаторы переменного тока.

Структурная схема приборов уравнивания с астатической характеристикой приведена на рис. 4.18 и описана выше.

Приборы, построенные по схеме на рис. 4.18, имеют классы точности 0,25 и 0,5. Отечественной промышленностью выпускаются приборы уравнивания с астатической характеристикой типов КСП (потенциометры для измерения напряжения постоянного тока и температуры); КСМ (уравновешенные мосты для измерения температуры) и КСУ (миллиамперметры и вольтметры).

Приборы уравнивания с астатической характеристикой разделяются на две группы:

1) автоматические компенсаторы для измерения напряжения и тока;

2) автоматические мосты для измерения активных и комплексных сопротивлений.

Прежде чем перейти к изучению автоматических компенсаторов и мостов, рассмотрим принципы действия аналогичных неавтоматических средств измерений.

### Компенсаторы и мосты

Компенсаторы постоянного тока применяются для измерения ЭДС и напряжений, а также неэлектрических величин, функционально с ними связанных (температуры, давления и т. п.). Их можно использовать и для измерения токов.

На рис. 4.20 показана принципиальная электрическая схема компенсатора постоянного тока для измерения напряжения  $U_x$ . Она состоит из трех контуров. Верхний контур содержит вспомогательный стабилизированный источник питания  $E_{всп}$ , регулировочный реостат  $R_{рег}$ , установочные резисторы с общим сопротивлением  $R_y$  и набор компенсирующих резисторов  $R$  (магазин сопротивлений). В этом контуре создается рабочий ток  $I_r$ , значение которого должно быть стабильным и известным с высокой точностью. Левый нижний контур, включающий в себя установочные резисторы  $R_y$ , нормальный элемент  $E_n$  и нуль-индикатор НИ (обычно гальванометр), служит для точной установки заданного значения рабочего тока. Правый нижний контур включает в себя часть компенсирующих резисторов  $R_k$ , НИ и измеряемое напряжение  $U_x$ .

Для правильной работы цепей компенсатора необходимо строгое соблюдение полярности включения источников  $E_{всп}$ ,  $E_n$  и напряжения  $U_x$  (рис. 4.20).

Перед измерением производится установка рабочего тока (в большинстве компенсаторов рабочий ток имеет

значение  $I_p = 10^{-4} \div 10^{-3}$  А). Зная рабочий ток компенсатора  $I_p$  (из паспорта), вычисляют значение сопротивления установочного резистора  $R_y = E_n / I_p$  и выставляют это значение на приборе. Поставив ключ  $\Pi$  в положение 1, с помощью реостата  $R_{рег}$  устанавливают нужное значение рабочего тока  $I_p$ , доводя показание нуль-индикатора до нуля. При этом  $I_p = E_n / R_y$ . В положении 2 ключа производится измерение  $U_x$ , для чего, изменяя положение движка потенциометра  $R$ , снова добиваются компенсации. Тогда при нулевом показании НИ получают  $U_x = U_k = R_k I_p$ , где  $U_k$  — компенсирующее напряжение.

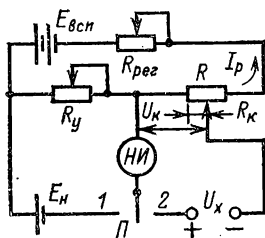


Рис. 4.20. Принципиальная электрическая схема компенсатора постоянного тока

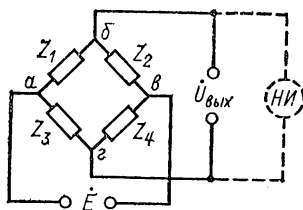


Рис. 4.21. Принципиальная электрическая схема моста

В большинстве компенсаторов отсчетное устройство магазина сопротивлений, формирующего значения  $R_k$ , градуируется в долях вольта, что позволяет после проведения процесса компенсации непосредственно отсчитать значение измеряемого напряжения  $U_x$ .

Высокая точность измерения компенсаторами напряжения постоянного тока обеспечивается использованием образцовых мер ЭДС и сопротивления, чувствительного нуль-индикатора, а также тем, что в режиме компенсации нет потребления тока от источника измеряемого напряжения.

Компенсаторы постоянного тока могут быть разделены на два типа: большого сопротивления и малого сопротивления. У компенсаторов первого типа сопротивление рабочей цепи достигает 10 кОм на 1 В напряжения питания, а верхний предел измерения составляет 1—2,5 В.

Для измерения относительно малых ЭДС и напряжений (например, ЭДС термопар) используются компенсаторы



малого сопротивления. Их рабочий ток составляет 1—25 мА.

Компенсаторы постоянного тока выпускаются следующих классов точности: 0,0005; 0,001; 0,002; 0,005; 0,1; 0,02; 0,05; 0,1; 0,2; 0,5.

В компенсаторах переменного тока для осуществления компенсации переменного измеряемого напряжения  $U_x$  компенсирующим напряжением  $U_k$  необходимо, чтобы формы кривых напряжений и частоты их изменения были одинаковы, в момент компенсации амплитуды этих напряжений были равны, а фазы противоположны. Поэтому в компенсаторах переменного тока в процессе уравнивания осуществляется изменение и амплитуды, и фазы компенсирующего напряжения.

Точность измерения компенсационным методом на переменном токе ниже, чем на постоянном, что объясняется отсутствием меры переменного напряжения, соизмеримой по точности с нормальным элементом. Однако возможность одновременного измерения двух параметров сигнала (амплитуды и фазы или двух ортогональных составляющих вектора), высокие чувствительность и входное сопротивление определяют потребность применения таких приборов при ряде измерений в цепях переменного тока.

Отечественная промышленность выпускает компенсатор переменного тока типа Р56/2, предназначенный для измерения напряжения, фазовых углов, ЭДС и других параметров, которые могут быть преобразованы в пропорциональные им напряжения и ЭДС. Класс точности прибора 0,2.

Широкое применение для измерений сопротивления, индуктивности, емкости, составляющих комплексного сопротивления находят мостовые схемы.

На рис. 4.21 приведена схема моста переменного тока, в котором плечи  $a-b$ ,  $b-v$ ,  $a-z$  и  $z-v$  содержат в общем случае комплексные сопротивления  $Z_1$ ,  $Z_2$ ,  $Z_3$ ,  $Z_4$ . К диагонали  $a-v$ , называемой генераторной, подключено напряжение питания моста  $\dot{E}$ , в диагональ  $b-z$ , называемую выходной, включается нагрузка (в частном случае нуль-индикатор  $НИ$ ).

На холостом ходу (сопротивление нагрузки бесконечно велико) выходное напряжение

$$\dot{U}_{\text{вых}} = \dot{E} \left( \frac{Z_2}{Z_1 + Z_2} - \frac{Z_4}{Z_3 + Z_4} \right) = \dot{E} \frac{Z_2 Z_3 - Z_1 Z_4}{(Z_1 + Z_2)(Z_3 + Z_4)}. \quad (4.20)$$

Изменяя сопротивления плеч моста, можно добиться его

равновесия, при котором  $U_{\text{вых}}=0$ . Из (4.20) следует, что условием равновесия является равенство

$$Z_1 Z_4 = Z_2 Z_3. \quad (4.21)$$

Запишем сопротивления плеч моста в следующем виде:

$$Z_1 = z_{1m} e^{j\varphi_1}; \quad Z_2 = z_{2m} e^{j\varphi_2}; \quad Z_3 = z_{3m} e^{j\varphi_3}; \quad Z_4 = z_{4m} e^{j\varphi_4},$$

где  $z_{1m}, z_{2m}, z_{3m}, z_{4m}$  — модули сопротивлений плеч;  $\varphi_1, \varphi_2, \varphi_3, \varphi_4$  — фазовые углы сдвига тока относительно напряжения в соответствующих плечах.

Тогда условие (4.21) равновесия моста примет вид:

$$z_{1m} z_{4m} e^{j(\varphi_1 + \varphi_4)} = z_{2m} z_{3m} e^{j(\varphi_2 + \varphi_3)}. \quad (4.22)$$

Отсюда

$$z_{1m} z_{4m} = z_{2m} z_{3m}; \quad (4.23)$$

$$\varphi_1 + \varphi_4 = \varphi_2 + \varphi_3. \quad (4.24)$$

Таким образом, для уравнивания мостовой схемы на переменном токе необходимо выполнить условия (4.23) и (4.24), а следовательно, схема должна содержать не меньше двух регулируемых элементов.

Условие (4.24) указывает, при каком характере реактивных сопротивлений плеч моста возможно его уравнивание. Так, например, если третье и четвертое плечи моста имеют чисто активные сопротивления  $R_3$  и  $R_4$ , т. е.  $\varphi_3 = \varphi_4 = 0$ , то два других смежных плеча должны иметь одинаковый характер реактивного сопротивления (индуктивный или емкостный).

Если в одно из плеч моста включить двухполюсник с неизвестными параметрами, то после уравнивания моста уравнения (4.23) и (4.24) позволят определить искомые параметры.

Схема моста постоянного тока не отличается от рассмотренной схемы на рис. 4.21, но его плечи имеют активные сопротивления  $R_1, R_2, R_3, R_4$ . В этом случае для равновесия моста необходимо, чтобы

$$R_1 R_4 = R_2 R_3. \quad (4.25)$$

Если в одно из плеч моста (например, в первое) включить неизвестное сопротивление  $R_x$  и, изменяя сопротивление других плеч, добиться равновесия моста, то искомое сопротивление определится из (4.25):

$$R_x = R_2 R_3 / R_4. \quad (4.26)$$

Мосты, в которых значение измеряемой величины находится из условия равновесия, называются уравновешенными. В измерительной технике широкое применение находят также мостовые схемы, в которых измеряемая величина преобразуется в напряжение или ток выходной диагонали моста. Такие мосты называются неуравновешенными.

Напряжение на выходе неуравновешенного моста постоянного тока

$$U_{\text{вых}} = E (R_2 R_3 - R_1 R_4) / (R_1 + R_2) (R_3 + R_4). \quad (4.27)$$

Пусть  $R_1 = R_x = R_{x_0} + \Delta R_x$ , где  $R_{x_0}$  — известное начальное значение сопротивления  $R_x$ , а  $\Delta R_x$  — искомое приращение сопротивления  $R_x$ . Так, например, при измерениях температуры с использованием термопреобразователя сопротивления  $R_{x_0}$  — сопротивление термопреобразователя при температуре  $0^\circ\text{C}$ ,  $\Delta R_x$  — приращение сопротивления термопреобразователя, вызванное измеряемым отклонением температуры от  $0^\circ\text{C}$ .

Предположим, что  $R_3 = R_4$ , а  $R_2 = R_{x_0}$ . Тогда (4.27) примет вид

$$U_{\text{вых}} = E \Delta R_x / 2 (2R_{x_0} + \Delta R_x). \quad (4.28)$$

Если приращение  $\Delta R_x$  относительно мало, т. е.  $\Delta R_x / R_{x_0} \ll 1$ , то

$$U_{\text{вых}} \approx E \Delta R_x / 4R_{x_0}. \quad (4.29)$$

Отсюда видно, что выходное напряжение пропорционально измеряемому приращению сопротивления  $R_x$ . В связи с этим неуравновешенные мосты широко используются для преобразования в напряжение малых приращений сопротивлений термо- и тензорезисторов (см. гл. 9). Их недостатком является нелинейность функции преобразования (4.28) и зависимость выходного напряжения  $U_{\text{вых}}$  от напряжения питания  $E$ .

### Автоматические компенсаторы и мосты

Рассмотрим автоматический компенсатор, схема которого приведена на рис. 4.22. Компенсирующее сопротивление этого компенсатора выполнено по мостовой схеме. Процесс измерения осуществляется в два приема. При положении 2 переключателя  $\Pi$  сигнал рассогласования  $\Delta U = E_N - R_N I_{p2}$  поступает на вход усилителя  $\mathcal{U}$ . С выхода усилителя сигнал подается на обмотку управления реверсивного двигателя  $РД$ , который изменяет положение движка

реостата  $R_{рег}$ . Прибор автоматически доводит значение  $\Delta U$  до нуля. В этом случае в цепи устанавливаются определенные рабочие токи  $I_p, I_{p1}, I_{p2}$ .

При положении 1 переключателя  $\Pi$  происходит уравнивание измеряемой ЭДС  $E_x$  компенсирующим напряжением  $U_k = (R_{p1} + R_1)I_{p1} - R_2I_{p2}$  путем воздействия напряжения разбаланса  $\Delta U$  на реверсивный двигатель  $РД$ , механически связанный с движком  $A$  потенциометра, положение которого изменяет значение компенсирующего сопротивления

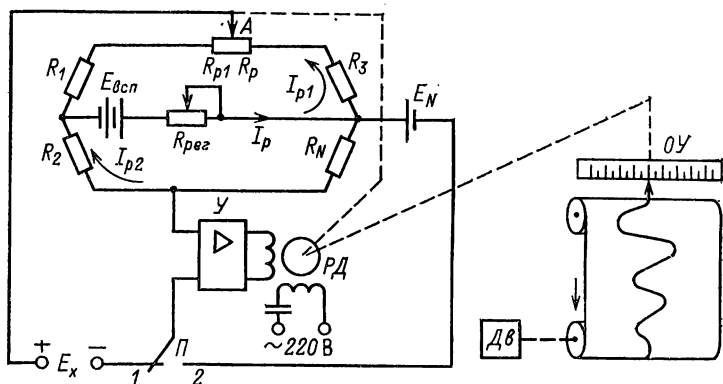


Рис. 4.22. Функциональная схема автоматического компенсатора

ния  $R_{p1}$ . Одновременно  $РД$  перемещает указатель отсчетного устройства  $ОУ$  и перо, регистрирующее процесс на ленте, равномерно перемещаемой двигателем  $Дв$  лентопротяжного механизма.

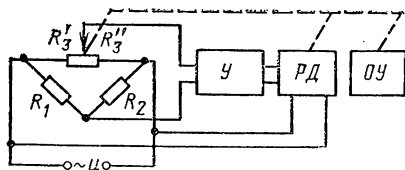
Современные автоматические компенсаторы для измерения температуры снабжаются стабилизированными источниками питания, но не имеют нормального элемента и режима автоматической установки рабочего тока.

Автоматические компенсаторы переменного тока значительно сложнее автоматических компенсаторов постоянного тока, так как уравнивание осуществляется по двум параметрам.

Автоматический мост (рис. 4.23) представляет собой четырехплечую схему, собранную из резисторов  $R_1, R_2$  и  $R_3 = R_3 + R_3$ . В выходную диагональ моста включен электронный усилитель  $У$ , который управляет реверсивным двигателем  $РД$ .

При изменении сопротивления одного из резисторов ( $R_1$  или  $R_2$ ), вызванном воздействием измеряемой величины, нарушается равновесие моста. Напряжение разбаланса моста, усиленное по мощности усилителем, вызывает поворот ротора двигателя. Подвижным контактом резистора  $R_3$ , механически связанным с ротором реверсивного двигателя, схема приводится в равновесное состояние. В зависимости от назначения автоматического моста двигатель  $РД$  имеет привод на отсчетное устройство  $ОУ$  (для измерения) или исполнительное (в схемах автоматики).

Рис. 4.23. Функциональная схема автоматического моста переменного тока



Точность мостов с уравниванием оценивается классом 0,2. Обычно применяются приборы класса точности 0,5 с порогом чувствительности не более 100 мкВ.

Рассмотренная измерительная схема широко используется в приборах типа КСП4 и др.

Другой разновидностью автоматических мостов являются автоматические регистрирующие приборы с дифференциально-трансформаторными датчиками. Они применяются для регистрации изменения давления, уровня жидкости, расхода жидкости и т. д.

Основными узлами измерительной схемы этих приборов (рис. 4.24) являются дифференциально-трансформаторный преобразователь  $ДТП$  и компенсационный дифференциально-трансформаторный преобразователь  $КДТ$ . По устройству  $ДТП$  и  $КДТ$  аналогичны. Их две вторичные обмотки включены последовательно и встречно. Плунжер  $ДТП$  имеет возможность под действием какой-либо механической величины перемещаться вдоль оси катушек. На выходе  $ДТП$  возникает сигнал  $U_x \sim x$ , где  $x$  — значение перемещения;  $КДТ$  образует компенсирующее напряжение  $U_k$ . Разность  $\Delta U = U_x - U_k$  усиливается усилителем  $У$  и подается на реверсивный двигатель  $РД$ . Поворот вала  $РД$  вызывает перемещение плунжера  $КДТ$  и изменяет  $U_k$  до достижения  $U_x = U_k$ . При равновесии угол поворота  $\alpha$  вала реверсив-

ного двигателя  $PД$  отображает величину  $U_x$ , а следовательно, является функцией измеряемого перемещения  $x$ :

$$\alpha = f(x).$$

На основе схемы на рис. 4.24 строятся серийно выпускаемые автоматические самопишущие приборы типов КСД-1, КСД-2, КСД-3.

### Графические самопишущие электроизмерительные приборы

Разновидностью СЭП являются графические СЭП, предназначенные для измерения и записи электрических величин

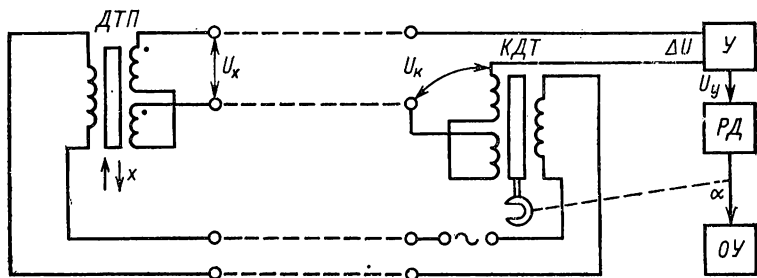


Рис. 4.24. Функциональная схема АРП с дифференциальной трансформаторной схемой

( $X$  и  $Y$ ), связанных между собой функциональной зависимостью. Графический СЭП состоит из двух основных частей: исполнительного устройства для получения документа с изображением и блока управления этим исполнительным устройством. Управляющий сигнал (напряжение) в этих приборах преобразуется в перемещение узла с регистрирующим органом (РО) с помощью двухкоординатного исполнительного механизма [двухкоординатного регистрирующего построителя (ДРП)] с приводом от электродвигателя постоянного тока или шагового двигателя (ШД). Различают планшетные и барабанные ДРП.

Для планшетных ДРП возможны различные варианты кинематической схемы (рис. 4.25, а, б).

В схеме на рис. 4.25, а электродвигатель 2, перемещающий каретку 3 по оси  $X$ , установлен на подвижной балке-направляющей 6, не имеющей второй опоры-направляющей.

Электродвигатель 1 перемещает каретку 3 в направлении  $Y$  рабочего поля 4 по балке-направляющей 5.

В схеме на рис. 4.25, б используется система тросовых передач 7 и 8, обеспечивающих движение каретки 3 относительно балки-направляющей (по оси  $X$ ) 6 и каретки вместе с этой балкой по направляющим 5 (по оси  $Y$ ).

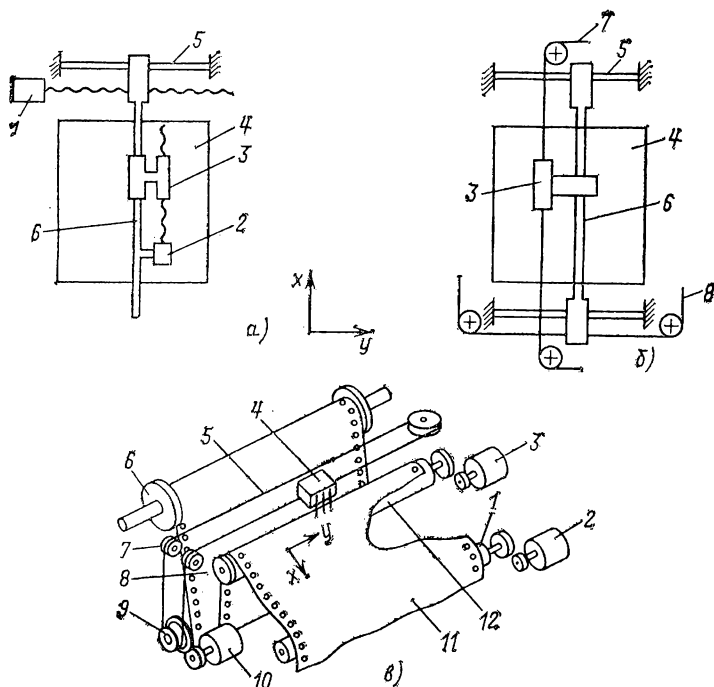


Рис. 4.25. Кинематические схемы ДРП: а — планшетных; б — планшетных; в — барабанных.

Кинематические схемы барабанных ДРП отличаются меньшим разнообразием. Приводом ведущего барабана является электродвигатель, связанный с барабаном через редуктор. Перемещаемая по направляющей вдоль барабана каретка с регистрирующим органом получает движение от второго электродвигателя с помощью винтовой или тросовой передачи.

Приводной шаговый двигатель 3 (типа ШД-4) вращает зубчатый барабан 12, который перемещает перфорирован-

ный по краям носитель 11 относительно РО 4 по оси X (рис. 4.25, в). Второй ШД 10 (типа ШД-4) вращает барабан 9 с винтовой канавкой. На торце барабана закреплены концы троса 5, который, огибая ролики 7, обеспечивает поступательное движение РО 4 по оси Y. Бумажный носитель подается на транспортирующий валик с подающей бобины 6, образуя демпфирующую петлю 8. Натяжение носителя информации в зоне регистрации создается фрикционным валиком 1, привод которого осуществляется от электродвигателя 2 типа УАД-32.

Устройства планшетного типа имеют ряд преимуществ по сравнению с устройствами барабанного типа: универсальность, высокая точность регистрации, хороший обзор изображения, удобство при эксплуатации.

В качестве РО графических СЭП используются перья (шариковые, игольчатые, термоперья), фломастеры, графитные стержни. Такие устройства позволяют получить изображение с использованием линий различной толщины, формы и цвета. Для получения документа используется картографическая бумага, диаграммная или миллиметровая рулонная с перфорацией.

В СССР разработан двухкоординатный регистрирующий прибор типа Н306, имеющий 16 пределов измерения по каждой координате; предусмотрена временная развертка по каналу X, позволяющая производить регистрацию изменяющихся во времени величин. Основная приведенная погрешность на всех пределах измерения составляет  $\pm 0,5\%$ .

Графические СЭП применяются для записи характеристик транзисторов, петель гистерезиса, взаимозависимостей различных электрических и неэлектрических величин, преобразованных в электрические (температуры от давления, деформации от силы и т. д.).

### Светолучевые осциллографы

По сравнению с ранее рассмотренными регистрирующими приборами светолучевые осциллографы позволяют наблюдать и регистрировать одновременно несколько сигналов в более широком диапазоне частот (от 0 до 25 кГц).

В светолучевом осциллографе регистрация производится обычным световым или ультрафиолетовым лучом на специальном фоточувствительном носителе, не имеющем диаграммной сетки. В качестве носителя информации в современных светолучевых осциллографах используются фото-



пленка и два вида фотобумаги (обычная — при регистрации световым лучом и ультрафиолетовая — при регистрации ультрафиолетовым лучом), которые отличаются по чувствительности и способу обработки.

Светолучевые осциллографы состоят из магнитоэлектрического измерительного механизма (гальванометра), оптической системы, развертывающего устройства, отметчика времени и вспомогательных устройств.

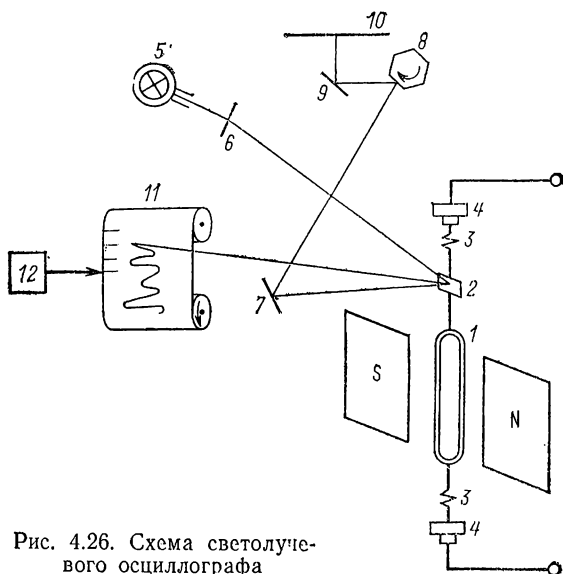


Рис. 4.26. Схема светолучевого осциллографа

Принцип действия осциллографов основан на фотографической записи показаний магнитоэлектрического гальванометра, называемого «осциллографическим». Подвижная часть такого гальванометра выполнена в виде вытянутой в вертикальной плоскости рамки из алюминиевого микропровода 1 (рис. 4.26), на оси которой закреплено миниатюрное зеркало 2. При подаче на вход осциллографа регистрируемого сигнала рамка гальванометра поворачивается на некоторый угол. Противодействующий момент создается растяжками 3, служащими также для крепления рамки к держателям 4.

Для передачи движения рамки гальванометра, записи

на носителе и визуального наблюдения на экране служит оптическая система (рис. 4.26).

Луч света от источника 5, проходя через систему призм и линз 6, попадает на зеркало гальванометра 2 (площадь не менее  $1 \text{ мм}^2$  при толщине  $0,1 \text{ мм}$ ). Основная часть отраженного от зеркала луча попадает на устройство фотозаписи 11. При колебаниях подвижной части гальванометра световое пятно совершает на носителе поперечные колебания. Для получения временной развертки носитель перемещают с определенной скоростью с помощью лентопротяжного механизма. Часть луча, отраженного от зеркала гальванометра, через зеркальную призму 7 попадает на вращающийся с постоянной скоростью зеркальный барабан 8 и от него через призму 9 на матовый экран 10. При вращении барабана изменяется угол падения луча на каждую грань барабана. Следовательно, создаваемое лучом световое пятно перемещается вдоль экрана, осуществляя таким образом временную развертку исследуемого сигнала.

Для анализа информации, полученной при помощи светолучевого осциллографа, необходимо знать градуировочную характеристику и масштаб времени. Градуировочная характеристика представляет собой зависимость между значениями величин на входе и выходе осциллографа, представленную в виде таблицы, графика или формулы. Для определения масштаба времени исследуемой величины на фотоматериал при регистрации наносят поперечные отметки времени 12. Существующие для этого устройства — отметчики времени — бывают электромеханического и электронного типов.

Вспомогательными устройствами светолучевых осциллографов являются магазины шунтирующих резисторов и измерительные трансформаторы тока и напряжения. Современные осциллографы снабжаются устройствами для автоматизации измерений и дистанционного управления, а их питание осуществляется в основном от автономных источников.

#### **4.5. ЭЛЕКТРОННЫЕ ИЗМЕРИТЕЛЬНЫЕ ПРИБОРЫ**

Наряду с рассмотренными измерительными приборами, основанными на использовании электромеханических измерительных механизмов, в практике измерений широкое применение нашли электронные приборы, обладающие высокой чувствительностью, большим динамическим диапазоном и

ничтожным собственным потреблением. Указанные приборы в основном используются как показывающие, хотя в некоторых случаях они могут быть выполнены как регистрирующие.

Основными функциональными узлами аналоговых электронных измерительных приборов (АЭИП) являются электронные измерительные преобразователи и другие специальные электронные устройства, которые будут рассмотрены далее.

Аналоговые электронные измерительные приборы можно разделить на три группы:

1) приборы для измерения параметров и характеристик сигналов (осциллографы, вольтметры, частотомеры, анализаторы спектра);

2) приборы для измерения параметров и характеристик активных двухполюсников и четырехполюсников (приборы для снятия частотных и переходных характеристик, измерители сопротивления, емкости, индуктивности);

3) измерительные генераторы, являющиеся источником сигналов различного уровня, формы, частоты и использующиеся в качестве источников опорного напряжения.

### Электронно-лучевые осциллографы

Электронно-лучевые осциллографы применяют для измерения амплитуды и мгновенных значений электрического сигнала (напряжения, тока); временных параметров сигнала (длительности фронта, среза, частоты следования, скважности, задержки); частоты гармонического сигнала (методами линейной и круговой разверток, методами фигур Лиссажу); сдвига фаз между двумя сигналами; мощности (импульсного, среднего значений); полного сопротивления и отдельных составляющих; амплитудно-частотных и фазо-частотных характеристик четырехполюсников; коэффициента амплитудной модуляции, равного отношению разности максимального и минимального значений модулированного сигнала к их сумме; характеристик транзисторов, диодов, интегральных микросхем; характеристик магнитных материалов и др.

Электронно-лучевые осциллографы по точности делятся на четыре класса. При этом основная погрешность измерения напряжения и временных интервалов для осциллографов 1-го класса точности не превышает 3 %, а 4-го класса 12 % (ГОСТ 22737—77).

Различают следующие разновидности электронно-лучевых осциллографов: универсальные, скоростные, стробоскопические, запоминающие, специальные.

*Универсальные* осциллографы (С1-40, С1-55, С1-71, С1-82 и др.) применяются для исследования гармонических и импульсных сигналов. Они имеют полосу пропускания от нуля до сотен мегагерц и диапазон исследуемых сигналов от десятков микровольт до сотен вольт.

*Скоростные* осциллографы (С7-10А, С7-10Б, С7-15) применяются для наблюдения и регистрации однократных и повторяющихся импульсов и периодических колебаний в полосе частот порядка единиц гигагерц. Выпускаемый промышленностью скоростной осциллограф С7-10А имеет рабочий диапазон частот 0—200 МГц и диапазон амплитуд исследуемых сигналов 0,05—1 В.

*Стробоскопические* осциллографы (С7-5, С7-9, С7-11, С7-12) применяются для регистрации периодических сигналов в полосе частот от нуля до нескольких гигагерц. Динамический диапазон исследуемых сигналов от единиц милливольт до единиц вольт при одновременной регистрации до двух сигналов.

*Запоминающие* осциллографы (С8-7А, С8-8, С8-9А, С8-15) применяются для регистрации однократных и редко повторяющихся сигналов. Полоса пропускания до 100 МГц, уровень исследуемых сигналов от десятков милливольт до сотен вольт при одновременной регистрации до двух сигналов.

*Специальные* осциллографы (С9-1, С9-4, С9-52, С9-57) применяются для исследования телевизионных сигналов.

Осциллограф характеризуется следующими основными данными: размером экрана, коэффициентом отклонения по вертикали (отношением напряжения входного сигнала к значению соответствующего отклонения луча на экране), коэффициентом развертки (отношением времени к длине перемещения луча на экране в течение этого времени), максимальным напряжением исследуемого сигнала, полосой пропускания каналов, входным сопротивлением и входной емкостью, видами разверток, погрешностью измерения амплитуды и временных интервалов. Обязательным требованием к осциллографу является хорошая яркость и четкость изображения, высокая устойчивость осциллограмм.

При всем многообразии выпускаемых промышленностью осциллографов их структурные схемы в основном одинаковы. Электронный осциллограф состоит из электронно-

лучевой трубки с электростатическим отклонением луча, двух электрических каналов, по которым к ней поступают напряжения для вертикального и горизонтального отклонения луча, измерительных блоков и источника питания. Канал вертикального отклонения обозначают через  $Y$ , горизонтального через  $X$ . На рис. 4.27 обозначены:  $B$  — выпрямитель;  $ДН$  — делитель напряжения;  $УВО$  — усилитель вертикального отклонения;  $БС$  — блок синхронизации;  $ГР$  — генератор развертки;  $УГО$  — усилитель горизонтального от-

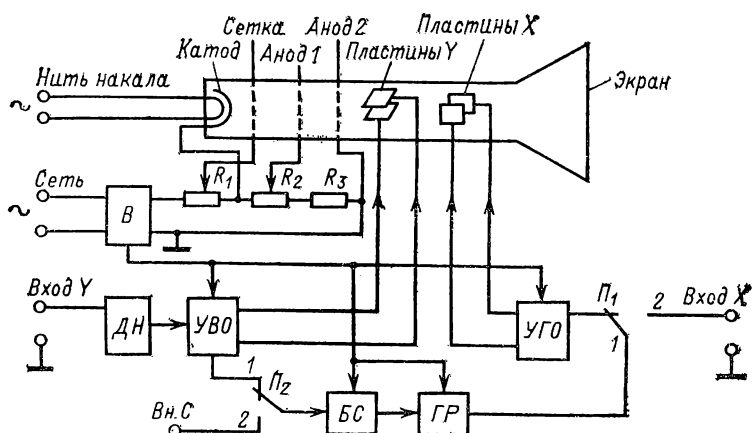


Рис. 4.27. Функциональная схема электронного осциллографа

клонения;  $П_1$  — переключатель развертки (в положении 1 — подключен внутренний генератор развертки, в положении 2 — внешний);  $П_2$  — переключатель синхронизации (в положении 1 — синхронизация внутренняя, в положении 2 — внешняя).

Главным элементом электронно-лучевого осциллографа является электронно-лучевая трубка с электрическим управлением лучом.

Электронно-лучевая трубка представляет собой измерительный преобразователь, в котором осуществляется линейное преобразование измеряемого напряжения в соответствующее отклонение луча по оси  $Y$ :

$$K = U_c / k_Y,$$

где  $k_Y$  — коэффициент отклонения по вертикали;  $U_c$  — напряжение сигнала (обычно  $k_Y = 10 \text{ мВ/см} \div 20 \text{ В/см}$ ).

На горизонтально отклоняющие пластины  $X$  подается выходное напряжение генератора развертки  $ГР$ , которое при прямом ходе изменяется по линейному закону  $u_{xp}(t) = kt$ , а при обратном — по экспоненциальному закону  $u_{xo} = U_m(1 - e^{-t/\tau})$ .

Во время обратного хода генератора развертки электронный луч на экране не высвечивается. Во время прямого хода напряжения генератора развертки электронный луч перемещается по экрану слева направо:

$$x = u_{xp}/k_x = kt/k_x = V_x t,$$

где  $V_x$  — скорость движения пятна электронного луча по экрану трубки;  $k_x$  — коэффициент развертки.

Если  $V_x$  постоянна, то координата электронного пятна по оси  $X$  масштабной сетки оказывается пропорциональной времени.

Напряжение исследуемого сигнала подается на вход  $Y$  осциллографа и через  $ДН$  поступает на вход  $УВО$ . Выходное напряжение  $УВО$  подается на вертикально отклоняющие пластины  $Y$ , вызывая на экране перемещение луча по вертикали, пропорциональное входному напряжению.

В результате воздействия напряжений сигнала и генератора развертки на электронный луч траектория движения пятна на экране трубки представляет собой осциллограмму исследуемого процесса.

Установка оптимальных масштабов времени и напряжения по осям  $X$  и  $Y$  экрана обеспечивается соответствующей регулировкой параметров вертикального и горизонтального отклонения. Оптимальные размеры осциллограмм, при которых достигается наибольшая точность, составляют примерно  $2/3$  длины и высоты экрана.

Входное сопротивление электронно-лучевой трубки для сигнальных напряжений равно нескольким мегаомам, входная емкость составляет 2—20 пФ, верхняя граница диапазона рабочих частот достигает 200 МГц. Для удобного расположения осциллограммы на экране электронно-лучевой трубки предусмотрена возможность ее смещения вверх и вниз по оси  $Y$ , а также вправо и влево по оси  $X$  масштабной сетки.

При наблюдении периодических сигналов необходимо обеспечить неподвижность изображения на экране осциллографа. При непрерывной периодической развертке по горизонтали это достигается тогда, когда период исследуемого сигнала в  $n$  раз больше периода напряжения развертки

“( $n$  — целое число). В этом случае осциллограмма охватывает  $n$  периодов сигнала. Для выполнения указанного условия период повторения напряжения развертки регулируется в широких пределах.

Для улучшения устойчивости изображения осуществляют синхронизацию развертывающего напряжения и исследуемого сигнала с помощью БС. Такая синхронизация называется внутренней ( $P_2$  в положении 1), а на вход БС подается исследуемое напряжение. При этом частота развертки жестко связана с частотой сигнала. В режиме внешней синхронизации ( $P_2$  в положении 2) к БС подключается внешнее синхронизирующее напряжение, подаваемое на вход Вн.С.

Генератор развертки может работать не только в режиме непрерывной развертки, но и в режиме ждущей развертки. Во втором случае при отсутствии синхронизирующего сигнала (внутреннего или внешнего) напряжение развертки не генерируется. Синхронизирующий сигнал осуществляет запуск ГР. Ждущая развертка применяется при исследовании коротких импульсов или импульсов, следующих друг за другом с большими или изменяющимися интервалами.

В некоторых случаях для горизонтального перемещения луча используется внешнее напряжение, подаваемое на вход Х ( $P_1$  в положении 2).

Иногда требуется наблюдать одновременно два или большее число сигналов, например кривые входного и выходного напряжений усилителя, сравнивая которые можно судить о вносимых усилителем искажениях. Это возможно при помощи многолучевого осциллографа. Промышленность выпускает многолучевые осциллографы с числом каналов от двух (в основном) до пяти.

При использовании осциллографа в качестве амплитудного вольтметра измеряемое переменное напряжение подается на вход канала при отключенном генераторе развертки. Электронный луч при этом будет прочерчивать на экране вертикальную прямую линию, длина которой при синусоидальном измеряемом напряжении будет равна

$$Y = 2U_m/k_Y.$$

При включении генератора развертки можно исследовать форму сигнала.

Значение измеряемого тока может быть определено косвенно по падению напряжения на резисторе с известным сопротивлением,

Точность измерения напряжений и токов с помощью осциллографа невелика, погрешность составляет 3—12 %, что объясняется влиянием нестабильности коэффициента усиления усилителя вертикального отклонения, нелинейностью его амплитудной характеристики, конечными размерами пятна на экране, изменением чувствительности трубки.

Подавая на одну из пар пластин синусоидальное напряжение определенной частоты, а на другую — исследуемое напряжение и наблюдая возникающую при этом на экране светящуюся замкнутую линию, получившую название фигуры Лиссажу, можно определить частоту и сдвиг фаз неизвестного напряжения.

Фигуры Лиссажу позволяют также измерять модуль и составляющие комплексного сопротивления.

### Электронные вольтметры

Для измерения напряжений широко применяются электронные вольтметры, которые представляют собой сочетание электронного преобразователя, выполненного на полупроводниковых элементах и интегральных микросхемах, и средства отображения информации.

Электронные вольтметры различают по:

1) назначению (для измерения напряжений постоянного и переменного токов, импульсные и универсальные);

2) методу измерения (прямого преобразования и сравнения);

3) виду измеряемого параметра напряжения (амплитудных, действующих и средних значений);

4) частотному диапазону (низкочастотные, высокочастотные и сверхвысокочастотные).

По сравнению с электромеханическими вольтметрами аналоговые электронные вольтметры имеют следующие достоинства: широкий частотный диапазон измеряемого напряжения (от единиц герц до сотен мегагерц), слабую зависимость показаний от частоты измеряемого напряжения в рабочем диапазоне частот; высокую чувствительность; широкий динамический диапазон (от десятых долей до сотен вольт) благодаря применению усилителей и делителей напряжения; малую мощность потребления (входное сопротивление  $10—10^6$  МОм), малую входную емкость (1—4 пФ).

Для измерения постоянных напряжений малых уровней используются электронные вольтметры постоянного тока. Для них характерны большое входное сопротивление (5—



10 МОм), достаточно высокая чувствительность и надежность, а также малая стоимость.

Электронный вольтметр состоит из входной цепи, усилителя постоянного тока и средства отображения информации.

Назначением входной цепи является согласование диапазонов измеряемого напряжения и входного сигнала усилителя. Поскольку входное сопротивление вольтметра высокое, входная цепь должна включать в себя высокоомные резисторы. В качестве средства отображения информации чаще всего используются магнитоэлектрические милли- и микроамперметры. В этом случае усилитель постоянного тока служит для повышения чувствительности вольтметра, является усилителем мощности, необходимым для приведения в действие магнитоэлектрического преобразователя.

Электронные вольтметры переменного тока используются для измерения переменного напряжения. Схема таких вольтметров предусматривает преобразование измеряемого напряжения в постоянное с последующим его измерением.

Современные электронные вольтметры переменного тока используются для измерения амплитудных, действующих и средних значений напряжения в зависимости от типа детектора.

Выпускаемый отечественной промышленностью электронный вольтметр амплитудного значения ВЗ-24 имеет следующие характеристики: рабочий диапазон частот от 20 Гц до 1 ГГц, пределы измерения напряжений от 20 мВ до 100 В, основную погрешность 0,2—5 %.

Милливольтметр ВЗ-45 действующего значения имеет пределы измерения напряжений от 1 мВ до 300 В в полосе частот 40 Гц—5 МГц с погрешностью 2,5—4 %. Милливольтметр среднего значения ВЗ-38 имеет диапазон измеряемых напряжений от 100 мкВ до 300 В, рабочий диапазон частот 20 Гц—5 МГц, основную погрешность 2,5—6 %.

Универсальные аналоговые электронные вольтметры предназначены для измерения напряжения в цепях постоянного и переменного токов. Характеристика таких вольтметров и характер их шкал в основном определяются схемой электронного преобразователя.

Универсальные вольтметры (например, типов В7-13, В7-15) предназначены для измерения переменных напряжений в диапазоне частот 10 Гц—1000 МГц, нижний предел — доли милливольт, верхний 1000 В, приведенная по-

грешность 4—10 %, входное сопротивление 100 кОм — 5 МОм.

Импульсные вольтметры предназначены для измерения амплитуд периодических импульсных сигналов с большой скважностью и амплитуд одиночных импульсов.

Серийно выпускаемые промышленностью импульсные вольтметры (В4-11, В4-12, В4-14) имеют следующие основные технические характеристики: приведенную погрешность 2,5—10 %, рабочий диапазон частот 20 Гц — 1 ГГц, нижний предел измерения 1 мВ. Они позволяют измерять амплитуду импульсов, следующих со скважностью от 2 до  $10^6$ , при длительностях импульсов, составляющих единицы наносекунд и более.

### Анализаторы спектра частот

Спектральный анализ играет важную роль в измерительной технике. Например, по спектральному составу радиоизлучений, отраженных от планет солнечной системы, определяют состав их атмосферы, температуру поверхности, частоту вращения вокруг своей оси. Спектральный анализ также широко применяется при исследовании структуры поверхности Земли, разведке залежей металлов, органических веществ и т. д.

Под анализом спектров обычно понимают нахождение спектра амплитуд исследуемого сигнала. Различают два метода анализа спектров: параллельный (часто называемый одновременным) и последовательный. При параллельном анализе спектра используют набор узкополосных фильтров (рис. 4.28), каждый из которых настроен на разные достаточно близкие частоты.

При одновременном воздействии исследуемого сигнала на все  $n$  фильтров каждый фильтр выделяет соответствующую его настройке составляющую спектра, например  $\Phi_3$  выделяет частоты от  $\omega_2$  до  $\omega_3$ , на рисунке  $\omega_{\text{низ}}$  и  $\omega_{\text{выс}}$  — нижняя и верхняя частоты. Напряжение с фильтров после прохождения через переключатель  $\Pi$  и детектор  $\mathcal{D}$  поступает на регистрирующее устройство  $\mathcal{P}\mathcal{U}$ . Максимальное значение каждой гармоники измеряют вольтметром амплитудного значения, их частоту — по шкале настройки фильтра. В качестве регистрирующего устройства также могут использоваться электронно-лучевая трубка, графопостроитель, самописец.

При последовательном анализе спектра входной сигнал

воздействует на один узкополосный фильтр, последовательно перестраиваемый в широкой полосе частот. В качестве таких фильтров применяют Т-образные  $RC$ -мосты. При каждой настройке фильтр выделяет очередную гармонику, амплитуду которой измеряют амплитудным вольтметром.

На практике чаще всего применяют осциллографические анализаторы спектра, где вместо перестраиваемого фильтра используется узкополосный фильтр с фиксированной настройкой и гетеродинный принцип преобразования частоты. Структурная схема анализатора такого типа пред-

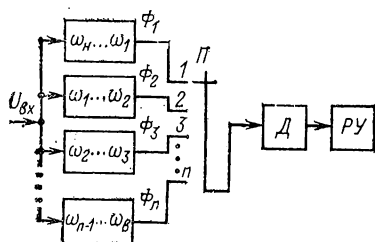


Рис. 4.28. Структурная схема анализатора спектра частот параллельного типа

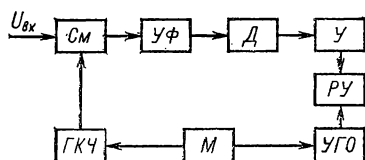


Рис. 4.29. Структурная схема анализатора спектра частот последовательного типа

ставлена на рис. 4.29. Входной сигнал  $U_{вх}$  через входную цепь (аттенюатор или усилитель) поступает на смеситель  $См$ , ко второму входу которого подводится напряжение генератора качающейся частоты  $ГКЧ$  (гетеродина). Средняя частота этого генератора близка к несущей частоте исследуемого сигнала. Линейное изменение частоты во времени производится изменением выходного напряжения модулятора  $М$ . На выходе смесителя образуется сигнал разностной промежуточной частоты

$$f_{\Phi} = f_{\text{ген}} - f_c,$$

где  $f_{\text{ген}}$  — частота генератора качающейся частоты;  $f_c$  — частота исследуемого сигнала.

Узкополосный фильтр  $УФ$ , настроенный на фиксированную промежуточную частоту  $f_{\Phi}$ , имеет узкую полосу пропускания  $2\Delta f$ . Гармоники, частоты которых лежат в полосе пропускания этого фильтра  $f_{\Phi} \pm \Delta f$ , после детектирования поступают далее на широкополосный усилитель  $У$  и регистрирующее устройство  $РУ$ . В качестве регистрирующего

устройства могут использоваться указанные выше устройства, применяемые при параллельном методе анализа. Если это электронно-лучевая трубка ЭЛТ, то отклонение луча по вертикали пропорционально напряжению на выходе усилителя  $У$ . При использовании квадратичного детектора  $Д$  это напряжение пропорционально мощности входного сигнала в полосе частот  $f_{\text{ген}} - f_{\Phi} \pm \Delta f$ . Если необходимо получить не спектр мощности, а спектр амплитуд сигнала, то применяют линейный детектор. Выходной сигнал модулятора  $М$  подается также на вход усилителя горизонтального отклонения  $УГО$ , поэтому горизонтальная развертка луча происходит синхронно с изменением частоты гетеродина под действием одного и того же пилообразного напряжения, а на экране ЭЛТ будет наблюдаться графическое изображение спектра частот входного сигнала.

Промышленностью выпускаются анализаторы спектра СЧ-27, СЧ-28, предназначенные для исследования спектра повторяющихся импульсов и непрерывных периодических сигналов с диапазоном рабочих частот 0,01—39,6 ГГц; анализаторы спектра СЧ-30, СЧ-31, СЧ-32 — для исследования спектра повторяющихся импульсов с частотами соответственно 30, 60, 26 МГц; анализатор спектра СЧ-46, предназначенный для визуального наблюдения и измерения составляющих спектра непрерывных периодических сигналов и формы спектра стационарных шумов с рабочим диапазоном частот 0,1—270 МГц.

### Измерители нелинейных искажений

Измерители нелинейных искажений предназначены для измерения степени искажения формы кривой, т. е. отличия ее от синусоидальной формы. Степень нелинейных искажений напряжения характеризуется коэффициентом гармоник, определяемым как отношение среднего квадратического значения суммы всех высших гармоник напряжения, кроме первой, к среднему квадратическому значению напряжения первой гармоники:

$$k_{\Gamma} = \sqrt{\sum_{i=2}^n U_i^2 / U_1^2}. \quad (4.30)$$

Искажение оценивается также коэффициентом нелинейных искажений

$$k_{\text{н.и}} = \sqrt{\sum_{i=2}^n U_i^2 / U_1^2}, \quad (4.31)$$

где  $U$  — среднее квадратическое значение исследуемого сигнала;  $\sqrt{\sum_{i=2}^n U_i^2}$  — среднее квадратическое значение суммы высших гармоник (без первой). Из (4.30), (4.31) следует, что

$$k_r = k_{н.и} / \sqrt{1 - (k_{н.и})^2}.$$

При малой степени нелинейных искажений можно считать, что  $k_{н.и} \approx k_r$ . Структурная схема измерителя нелинейных искажений представлена на рис. 4.30. При установке переключателя  $\Pi$  в положение 1 входной сигнал  $u_{вх}(t)$

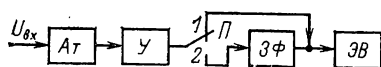


Рис. 4.30. Структурная схема измерителя нелинейных искажений

через аттенюатор  $A_T$  и усилитель  $У$  подается на электронный вольтметр  $ЭВ$ , который показывает среднее квадратическое значение входного напряжения. Затем переключатель  $\Pi$  устанавливается в положение 2; заграждающий фильтр  $ЗФ$  при этом настроен на частоту первой гармоники  $u_{вх}(t)$ . Вольтметр показывает среднее квадратическое значение напряжения высших гармоник, кроме первой.

Выпускаемый промышленностью измеритель нелинейных искажений С6-5 предназначен для измерения коэффициента гармоник 0,03—100 % исследуемых сигналов в диапазоне частот 20 Гц — 200 кГц.

### Измерительные генераторы

Измерительные генераторы — это источники, вырабатывающие стабильные испытательные сигналы с известными параметрами и формой. Они широко применяются в технике при настройке и проверке приборов. С помощью измерительных генераторов снимают амплитудно-частотные и переходные характеристики четырехполюсников, определяют их коэффициенты передачи, питают различные измерительные устройства, построенные на резонансных и мостовых методах. Измерительные генераторы разделяют:

1) по диапазону частот генерируемых сигналов на инфранизкочастотные — диапазон частот до 20 Гц; низкочастотные — диапазон частот 20 Гц — 200 кГц (20 Гц —

20 кГц — звуковые, 20—200 кГц — ультразвуковые); высокочастотные — диапазон частот 200 кГц — 30 МГц; сверхвысокочастотные — диапазон частот более 30 МГц;

2) по форме генерируемых сигналов на синусоидальные, импульсные (прямоугольной, треугольной, трапецеидальной форм и т. д.), шумовые;

3) по виду модуляции на амплитудно-синусоидальные; частотно-синусоидальные; импульсные; частотные; фазовые; комбинированные.

Измерительные генераторы синусоидальных сигналов служат для получения колебаний, амплитуды напряжений которых изменяются от долей милливольта до 150 В. Максимальная мощность 0,1 мВт — 10 Вт.

Импульсные измерительные генераторы предназначены для получения импульсов различной формы (прямоугольной, треугольной, пилообразной и др.). Амплитуда генерируемых импульсов таких приборов меняется от нескольких милливольт до 150—200 В, длительность от единиц наносекунд до единиц секунд, частота следования от единиц герц до единиц мегагерц.

Примером может служить импульсный генератор Г5-54, вырабатывающий прямоугольные импульсы с амплитудой до 50 В, длительностью 0,1—1000 мкс, частотой следования 0,01—100 кГц на внешней нагрузке 500 Ом.

## **Глава пятая**

### **ЦИФРОВЫЕ ИЗМЕРИТЕЛЬНЫЕ ПРИБОРЫ**

#### **5.1. ОБЩИЕ СВЕДЕНИЯ**

Цифровым измерительным прибором (ЦИП) называется средство измерения, «автоматически вырабатывающее дискретные сигналы измерительной информации, показания которого представлены в цифровой форме» (ГОСТ 16263—70).

В отличие от аналоговых приборов в ЦИП обязательно автоматически выполняются следующие операции: квантование измеряемой величины по уровню; дискретизация ее по времени; кодирование информации.

Представление измерительной информации в виде кода обеспечивает удобство ее регистрации и обработки, возможность длительного хранения в запоминающих устройствах (полупроводниковых, магнитных) без потерь, передачу на

значительные расстояния без искажений практически по любым каналам связи, непосредственный ввод в ЭВМ для обработки, а также исключает вносимые оператором при отсчете субъективные погрешности.

В современной науке и технике цифровые измерительные приборы и преобразователи используются главным образом для точных измерений электрических и некоторых неэлектрических величин (например, перемещений) и в качестве промежуточных измерительных преобразователей аналоговых величин в цифровой код в ИИС и автоматизированных системах контроля и управления с цифровой обработкой информации.

Преимуществами ЦИП перед аналоговыми являются: удобство и объективность отсчета;

высокая точность результатов измерения, практически недостижимая для аналоговых приборов;

широкий динамический диапазон при высокой разрешающей способности;

высокое быстродействие за счет отсутствия подвижных электромеханических элементов;

возможность автоматизации процесса измерения, включая такие операции, как автоматический выбор полярности и пределов измерения;

высокая устойчивость к внешним механическим и климатическим воздействиям;

возможность использования новейших достижений микроэлектронной технологии при конструировании и изготовлении.

К недостаткам ЦИП следует отнести их схемную сложность и относительно высокую стоимость.

В настоящее время элементной базой ЦИП являются аналоговые и цифровые интегральные микросхемы, что позволяет достигнуть высокого быстродействия и малых габаритных размеров приборов. Применение интегральных микросхем средней и большой степеней интеграции значительно расширило функциональные возможности ЦИП и повысило их надежность при одновременном снижении потребления энергии. Уже разработаны и выпускаются промышленностью малогабаритные универсальные цифровые вольтметры, выполненные всего на двух интегральных микросхемах повышенной степени интеграции и допускающие непрерывную работу от автономных источников в течение 200 ч.

Перспективным направлением развития ЦИП является

применение микропроцессоров, которые обеспечивают управление процессом измерения, самодиагностику, автоматическую градуировку по заданной программе, а также первичную обработку результатов измерения (линеаризацию функции преобразования, коррекцию погрешностей, сжатие данных).

Таким образом, ЦИП наиболее полно удовлетворяют основным требованиям, предъявляемым в настоящее время к измерительной аппаратуре, — высокая точность и быстродействие, автоматизация процессов измерения и обработки информации.

Обобщенная структурная схема ЦИП приведена на рис. 5.1. Она содержит входной аналоговый преобразователь *АП*, аналого-цифровой преобразователь *АЦП*, образцовую меру *М*, цифровое средство отображения информации *ЦСОИ* и устройство управления *УУ*.

Аналоговый преобразователь преобразует измеряемую величину  $x(t)$  в функционально с ней связанную аналоговую величину  $y(t)$ , более удобную для преобразования в цифровой код. В качестве *АП* используются усилители, делители, фильтры, преобразователи неэлектрических величин в электрические и т. п.

**Аналого-цифровой преобразователь** выполняет операции квантования по уровню и по времени аналоговой величины, сравнения ее с мерой и кодирование результатов. При этом на выходе вырабатывается дискретный сигнал *ДС*, который преобразуется *ЦСОИ* в цифровой отсчет *N* или в виде кода вводится в ЭВМ.

Схемная реализация *АЦП*, алгоритм его работы определяются видом входной и выходной величин и заданными характеристиками прибора (точностью, быстродействием). Основные варианты построения *АЦП* будут рассмотрены далее на конкретных примерах.

Устройство управления реализует необходимый алгоритм измерения. Основным требованием, предъявляемым к ЦИП, является высокая точность измерения. Быстродействие их ограничено инерционностью зрения оператора, считывающего информацию (10—12 изм/с), или скоростью

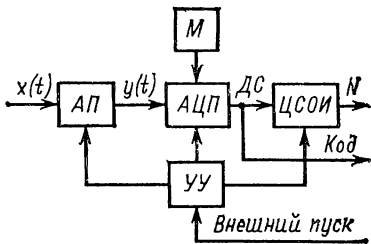


Рис. 5.1. Обобщенная структурная схема ЦИП



печати регистрирующих устройств (30—50 изм/с). Увеличивать быстродействие АЦП приборов выше указанных пределов нецелесообразно. Многие ЦИП имеют автоматический выбор пределов измерения, повышающий точность измерения при большом динамическом диапазоне входного сигнала. Большинство ЦИП могут выполнять операции интегрирования и фильтрации, что значительно повышает их помехоустойчивость. Аналого-цифровые преобразователи не только входят в состав ЦИП, но также широко используются в автоматизированных управляющих или измерительных системах. Такие АЦП системного применения должны обладать высоким быстродействием. Это дает возможность измерять параметры быстропротекающих процессов, а также применять один АЦП в многоканальных ИИС с последовательным опросом каналов. Отметим, что требования к быстродействию таких АЦП определяются скоростью изменения входного сигнала. Их быстродействие может достигать  $10^2$ — $10^7$  преобразований/с при относительно низкой точности (выходной код имеет 8—10 двоичных разрядов).

Отечественная и зарубежная промышленность выпускает большое количество цифровых измерительных приборов, отличающихся видом измеряемой физической величины, точностью, быстродействием, формой представления выходной информации и т. д. В связи с этим целесообразно классифицировать ЦИП по наиболее существенным признакам, что, с одной стороны, облегчит изучение схем приборов, а с другой — позволит обоснованно выбрать тип прибора для измерения необходимой физической величины в каждом конкретном случае. В качестве классификационных признаков примем вид измеряемой величины и способ преобразования, определяющие такие важные характеристики, как точность и быстродействие. По виду входных физических величин объединим ЦИП в следующие основные группы приборов для измерения:

временных параметров (частоты, периода, временного интервала, фазы);

постоянного напряжения (тока);

переменного напряжения;

параметров  $R$ ,  $L$ ,  $C$  электрических цепей;

пространственных параметров (перемещения и угла поворота).

Разновидностью ЦИП, входящих в названные группы, являются ЦИП с микропроцессорами и цифровые осциллографы.

В зависимости от способа преобразования ЦИП делятся на приборы прямого и уравнивающего преобразования.

В ЦИП прямого преобразования отсутствует обратная связь. Они имеют высокое быстродействие, но обеспечивают высокую точность измерений только при высокой точности всех измерительных преобразователей.

Цифровой измерительный прибор уравнивающего преобразования охвачен общей обратной связью. Преобразователь обратной связи представляет собой цифро-аналоговый преобразователь (ЦАП) выходного дискретного сигнала в компенсирующую величину  $x_k$  одной физической природы с измеряемой величиной  $x(t)$ .

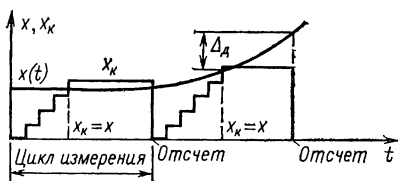


Рис. 5.2. Временная диаграмма раз-  
вертывающего уравнивания

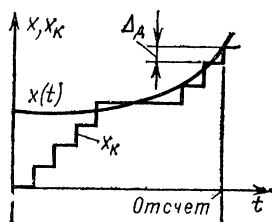


Рис. 5.3. Временная диаграмма  
следающего уравнивания

Погрешность ЦИП уравнивающего преобразования, так же как и аналоговых измерительных приборов, охваченных отрицательной обратной связью, мало зависит от погрешностей преобразователей цепи прямого преобразования, а определяется в основном параметрами ЦАП. Поэтому в ЦАП используются элементы достаточно высокой точности и стабильности.

В зависимости от характера изменения во времени компенсирующей величины  $x_k$  ЦИП делятся на приборы раз-  
вертывающего и следающего уравнивания. Примером ЦИП первого типа являются приборы, в которых значение компенсирующей величины  $x_k$  в каждом цикле измерения возрастает от нуля ступенями, равными шагу квантования (рис. 5.2). При достижении равенства  $x_k = x$  процесс уравнивания прекращается и фиксируется результат измерения, равный числу ступеней квантования компенсирующей величины. Отсчет показаний обычно производится в конце цикла изменения величины  $x_k$ .

В этом случае возникает динамическая погрешность

$\Delta_d$ , обусловленная изменением измеряемой величины  $x(t)$  за интервал времени между моментами уравнивания и отсчета. В приборах следящего уравнивания (рис. 5.3) уровень компенсирующей величины не возвращается к нулю после достижения равенства с измеряемой величиной, а остается постоянным. При изменении  $x$  величина  $x_k$  соответственно обрабатывает (отслеживает) это изменение так, чтобы разность  $x - x_k$  не превышала значения шага квантования. Отсчет производится или в момент уравнивания, или по внешним командам.

Следящее уравнивание сложнее в технической реализации, но при прочих равных условиях обеспечивает меньшую динамическую погрешность, которая не превышает шага квантования.

По виду выходного дискретного сигнала ЦИП и АЦП делятся на приборы с двоичной, десятичной и двоично-десятичной формами представления информации. Двоичная форма является самой экономичной и используется в основном для представления информации в системных АЦП. В ЦИП применяется двоично-десятичная форма, которая легко преобразуется в десятичный цифровой отсчет.

Основными техническими характеристиками ЦИП, определяющими возможность их использования для конкретной измерительной задачи, являются: цена деления, входное сопротивление, быстродействие, точность, помехоустойчивость и надежность [25].

*Ценой деления шкалы* называют (ГОСТ 16263—70) разность значений измеряемой величины, соответствующих двум соседним отметкам шкалы. Цену деления для ЦИП можно определить по формуле

$$z = x_{\max} / 10^{m_{\text{дес}}},$$

где  $x_{\max}$  — максимальное значение предела измерения;  $m_{\text{дес}}$  — число разрядов десятичного цифрового отсчета.

Для каждого предела измерения цена деления постоянна и определяет минимально возможную для данного ЦИП разрешающую способность.

*Разрешающей способностью* называют наименьшее различимое измерительным прибором изменение измеряемой величины: для ЦИП — это обычно изменение цифрового отсчета на единицу первого (младшего) разряда. Иногда под разрешающей способностью понимают значение цены деления младшего (для многопредельных приборов) предела ЦИП.

*Входное сопротивление ЦИП* характеризует мощность, отбираемую при измерении у источника измеряемого сигнала, поэтому значение его существенно для любого ЦИП.

Входное сопротивление практически постоянно только для ЦИП с усилителем на входе или входным делителем (если можно пренебречь шунтирующим действием схемы, включенной на выходе делителя). В общем случае в ЦИП уравнивающего преобразования при измерении происходит компенсация измеряемой величины опорной, поэтому входное сопротивление меняется и достигает максимального значения в момент компенсации.

*Быстродействие* определяется максимальным интервалом времени, необходимым для выполнения одного полного цикла измерения (для ЦИП) или преобразования (для АЦП) входной величины.

Для ЦИП с равномерной дискретизацией по времени этот интервал времени определяется шагом дискретизации  $\Delta t$ , а быстродействие количеством измерений (преобразований) в 1 с, т. е. величиной  $1/\Delta t$ .

В ЦИП следящего уравнивания имеет место адаптивная дискретизация по времени с некрatными интервалами.

Быстродействие этих ЦИП должно характеризоваться максимальным временем одного преобразования при подключении на вход измеряемой величины  $x$ . Однако такая характеристика не отражает основной особенности использования следящих ЦИП — возможности слежения за измеряемыми величинами, изменяющимися с достаточно большими скоростями. Поэтому для характеристики быстродействия следящих ЦИП целесообразно указывать также максимальную допустимую скорость изменения измеряемой величины  $V_{max} = (dx/dt)_{max}$ , при которой еще сохраняется гарантируемая прибором точность измерения.

*Точность ЦИП* нормируется согласно ГОСТ 8.401—80 так же, как точность аналоговых измерительных приборов [см. (2.8) и (2.10)], однако из-за высоких требований к точности ЦИП нормирование основной погрешности по (2.10) является предпочтительным.

При проектировании ЦИП естественно стремление свести общую погрешность измерения до одной лишь методической погрешности квантования  $\Delta_{кв}$  (см. § 3.4). Однако реальные ЦИП всегда обладают соответствующей инструментальной погрешностью  $\Delta_{и}$ , которая определяется сум-

марным влиянием погрешностей и нестабильности параметров отдельных узлов и элементов ЦИП, входящих в эту его часть, где осуществляется сравнение измеряемой и компенсирующей величин.

Общая статическая погрешность ЦИП  $\Delta_{\text{ст}} = \Delta_{\text{кв}} + \Delta_{\text{и}}$ . В этой погрешности  $\Delta_{\text{кв}}$  и  $\Delta_{\text{и}}$  — обычно величины одного порядка. Существенное уменьшение одной из них по сравнению с другой нецелесообразно, так как не приводит к реальному увеличению точности. Поэтому точность ЦИП и АЦП иногда характеризуют только числом разрядов выходного кода, которым определяется погрешность квантования  $\Delta_{\text{кв}}$ .

Динамическая погрешность  $\Delta_{\text{д}}$  ЦИП определяется, с одной стороны, изменением измеряемой величины в процессе измерения, а с другой стороны — инерционностью отдельных элементов ЦИП, обуславливающей наличие переходных процессов в ЦИП.

Значение  $\Delta_{\text{д}}$  в общем случае зависит от принципа действия ЦИП, используемого способа преобразования, значения измеряемой величины и скорости ее изменения.

*Помехоустойчивость ЦИП* — это способность сохранять необходимую точность измерения при наличии различных возмущающих воздействий (помех). Правильно спроектированный ЦИП должен быть помехоустойчивым по отношению к внутренним и внешним помехам. Устранить влияние помех, появляющихся на входных зажимах ЦИП вместе с сигналом, полностью нельзя. Поэтому помехоустойчивость численно характеризуется степенью подавления помех на входе ЦИП. Оценку помехоустойчивости ЦИП обычно выполняют по отношению к аддитивным, т. е. суммирующимся с полезным сигналом, помехам.

Борьбу с помехами ведут в основном путем наиболее рационального построения и монтажа входного контура (правильный выбор точек заземления, экранировка проводов линий связи с электронными блоками, гальваническая развязка). Кроме того, в ЦИП широко применяются методы фильтрации, компенсации помехи, интегрирования измеряемого сигнала за определенный интервал времени, статическая обработка результатов измерения.

Степень подавления помех характеризуется коэффициентом подавления, измеряемым в децибелах (дБ).

Для цифровых вольтметров коэффициент подавления помехи определяют по формуле

$$k = 20 \lg (U_{\text{п}} / \Delta N),$$

где  $U_n$  — амплитудное значение напряжения помехи;  $\Delta N$  — максимальная разность между показаниями прибора с помехой и без помехи (в единицах напряжения).

## 5.2. ЦИФРОВЫЕ ИЗМЕРИТЕЛЬНЫЕ ПРИБОРЫ ДЛЯ ИЗМЕРЕНИЯ ВРЕМЕННЫХ ПАРАМЕТРОВ

В измерительной технике при дистанционных измерениях широко используют синусоидальные или импульсные сигналы, модулированные по временным признакам (частоте, фазе, длительности).

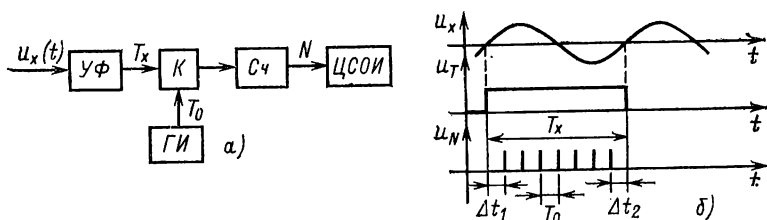


Рис. 5.4. Структурная схема (а) и временная диаграмма работы ЦИП для измерения периода (б)

Преимущество таких сигналов заключается в их высокой помехоустойчивости, малом влиянии на точность измерения параметров канала связи, в возможности подключения большого числа измерительных преобразователей, удаленных на значительные расстояния, в простоте преобразования в цифровую форму. Точность измерения частотных и временных сигналов принципиально может быть весьма высокой и обеспечена простыми средствами. Поэтому цифровые частотомеры и измерители временных интервалов составляют одну из самых многочисленных групп ЦИП.

**Цифровые измерители временных интервалов** предназначены для измерения периода гармонических или импульсных сигналов и длительности импульсов. В основе измерения временных интервалов положен принцип подсчета числа периодов  $T_0$  импульсного сигнала  $u_N(t)$  с образцовой частотой  $f_0$ , заполняющих измеряемый интервал (период)  $T_x$ .

На рис. 5.4, а представлена структурная схема ЦИП для измерения периода. Исследуемый периодический сиг-

нал  $u_x(t)$  поступает на вход усилителя-формирователя  $УФ$ , выходной сигнал  $u_T(t)$  которого представляет собой прямоугольные импульсы длительностью  $T_x$ , равной периоду измеряемого сигнала.

Этот импульс открывает ключ  $K$ , и импульсы с периодом  $T_0$  от генератора импульсов  $ГИ$  поступают в счетчик  $Сч$ . Количество импульсов, подсчитанных  $Сч$  за время  $T_x$ ,

$$N = T_x / T_0 = T_x f_0.$$

Период  $T_0$  образцовой частоты  $f_0$  в данном случае является образцовой величиной, с которой сравнивается измеряемый временной интервал. Код с выхода счетчика индицируется  $ЦСОИ$ . Если пренебречь нестабильностью частоты  $f_0$ , которую можно сделать достаточно малой при использовании  $ГИ$  с кварцевой стабилизацией частоты, то основной составляющей результирующей погрешности является погрешность квантования временного интервала  $T_x$ . В том случае, когда начало интервала  $T_x$  не совпадает с моментом появления импульса  $ГИ$ , погрешность квантования

$$\Delta_{кв} = T_0 N - (\Delta t_1 + \Delta t_2),$$

а ее максимальное значение не превышает  $T_0$  (рис. 5.4, б).

Максимальная относительная погрешность квантования

$$\delta_{кв} = T_0 / T_x = 1/N.$$

Значение образцовой частоты  $f_0$  определяется допустимой погрешностью измерения самого короткого временного интервала  $T_x$ . Если дальнейшее увеличение частоты  $f_0$  невозможно из-за ограниченного быстродействия счетчика, то для повышения точности применяют синхронизацию начала временного интервала  $T_x$  с импульсами опорной частоты ( $\Delta t_1 \rightarrow 0$ ) и одновременно дополнительную оценку значения интервала  $\Delta t_2$  [7].

Для уменьшения погрешности квантования применяют усреднение результатов за  $n$  периодов, что осуществляется путем подсчета импульсов образцовой частоты  $f_0$  за временной интервал, равный  $n$  измеряемым периодам  $T_x$ , с последующим делением показаний счетчика на  $n$  ( $n$  обычно равно  $10^m$ , где  $m$  — целое положительное число, тогда операция деления сводится к перенесению запятой в отсчете). Для этой цели в схему добавляют счетчик числа периодов, сигнал с выхода которого останавливает измерение. Погрешность квантования

$$\delta_{кв} = 1/nT_x f_0$$

уменьшается в  $n$  раз, однако при этом необходимо увеличивать в  $n$  раз время измерения и емкость счетчика.

Другим распространенным методом уменьшения погрешности квантования временного интервала является метод совпадений или электронного нониуса [25].

Измерение длительности импульса происходит аналогично измерению периода.

## Цифровые частотомеры

Цифровые частотомеры (ЦЧ) предназначены для измерения среднего или мгновенного значения частоты периодического сигнала, а также абсолютного или относительного отклонения частоты от номинального значения.

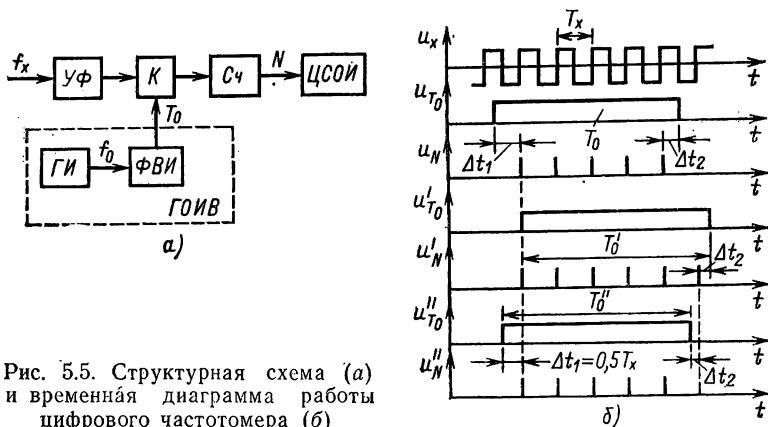


Рис. 5.5. Структурная схема (а) и временная диаграмма работы цифрового частотомера (б)

Принцип действия ЦЧ среднего значения заключается в подсчете числа периодов  $T_x$  неизвестной частоты  $f_x$  за образцовый интервал времени  $T_0$ , формируемый прибором. Результат измерения

$$N = T_0 / T_x = T_0 f_x.$$

Структурная схема ЦЧ среднего значения изображена на рис. 5.5, а, а временная диаграмма его работы на рис. 5.5, б.

Генератор образцового интервала времени ГОИВ, состоящий из генератора импульсов ГИ и формирователя временного интервала ФВИ, вырабатывает прямоугольный импульс  $u_T$  длительностью  $T_0$ , в течение которого открыт



ключ  $K$ , и импульсы  $u_N(t)$  измеряемой частоты  $f_x$ , сформированные из входного напряжения  $u_x(t)$  усилителем-формирователем УФ, поступают в счетчик  $Cч$ . Количество импульсов  $N$ , подсчитанное  $Cч$ , пропорционально измеряемой частоте. Результат измерения индицируется ЦСОИ.

Из рис. 5.5, б видно, что отсутствие совпадения импульсов  $u_N(t)$  измеряемой частоты  $f_x$  с началом и концом образцового интервала времени  $T_0$  так же, как и при измерении периода, приводит к появлению погрешности квантования, максимальное значение которой

$$\delta_{\text{кв}} = \pm 1/N = \pm 1/T_0 f_x.$$

Абсолютная погрешность квантования включает в себя два слагаемых:  $\Delta t_1$  и  $\Delta t_2$ . Погрешность  $\Delta t_1$  можно устранить, осуществляя запуск ГОИВ от фронта входного сигнала (интервал времени  $T'_0$  на рис. 5.5, б). Тогда  $\Delta t_1 = 0$ , а максимальная относительная погрешность квантования

$$\delta'_{\text{кв}} = -1/T_0 f_x.$$

Погрешность квантования можно также уменьшить, если запуск ГОИВ осуществить в момент, соответствующий середине периода измеряемой частоты (интервал времени  $T''_0$  на рис. 5.5, б). В этом случае погрешность квантования уменьшится вдвое.

При заданной погрешности измерения максимальное значение образцового интервала времени  $T_0$  обратно пропорционально нижней частоте  $f_{x\text{min}}$  диапазона измерения. Поэтому ЦЧ среднего значения нецелесообразно применять при измерении низких частот, так как время измерения при этом значительно возрастает.

Частотомеры мгновенного значения предназначены для измерения в диапазоне низких и инфранизких частот.

Принцип работы ЦЧ мгновенного значения основан на измерении периода  $T_x = N_T/f_0$ , который определяет частоту

$$f_x = f_0/N_T.$$

Все существующие схемы ЦЧ мгновенного значения отличаются только способом преобразования результата измерения периода в обратно пропорциональную величину. В последних моделях ЦЧ для этого используются встроенные вычислительные устройства на базе микропроцессоров.

Частотомеры номинальных значений (ЧН) и процентные частотомеры (ПЧ) предназначены для точного измере-

ния отклонения частоты от номинального значения в узком диапазоне частот.

### Цифровые фазометры

В современной технике широкое распространение получили фазовые методы измерения, что обусловлено их высокой точностью и помехоустойчивостью.

Цифровые фазометры (ЦФ) применяются для исследования импульсных устройств, точных измерений малых углов поворота, снятия фазочастотных характеристик различных звеньев. Цифровые фазометры можно разбить на две группы: для измерения мгновенного значения сдвига фаз (ЦФМ) и для измерения среднего значения сдвига фаз (ЦФС).

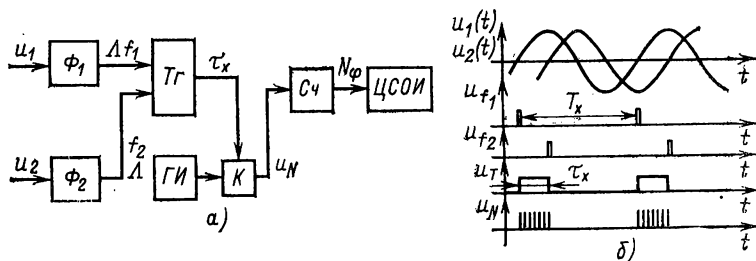


Рис. 5.6. Структурная схема ЦФМ

Принцип действия ЦФМ заключается в преобразовании измеряемого сдвига между двумя синусоидальными или импульсными напряжениями во временной интервал и в измерении последнего цифровым способом. Фазовый сдвиг гармонических колебаний

$$\varphi = 2\pi\tau_x/T_x,$$

где  $T_x = 1/f_x$  — период колебаний;  $\tau_x$  — временной сдвиг между колебаниями.

Типовая структурная схема ЦФМ изображена на рис. 5.6, а.

Исследуемые сигналы поступают на формирователи  $\Phi_1$  и  $\Phi_2$ , которые вырабатывают импульсы  $u_{f1}$  и  $u_{f2}$ , соответствующие моментам перехода сигналов через нуль. Эти импульсы перебрасывают триггер  $T_g$ , на выходе которого образуется импульс  $u_T(t)$  длительностью  $\tau_x$ , открывающий ключ  $K$  на интервал времени  $\tau_x$ , определяемый фазовым

сдвигом (рис. 5.6, б). Количество импульсов сигнала  $u_N(t)$  опорной частоты  $f_0$  с генератора импульсов ГИ, поступившее за это время в счетчик Сч,

$$N_\Phi = \tau_x f_0,$$

откуда

$$\varphi_x = 2\pi f_x N_\Phi / f_0 = k N_\Phi. \quad (5.1)$$

Из (5.1) видно, что при измерении фазового сдвига необходимо:

или обеспечить постоянство частоты  $f_x$ , т.е. использовать фазометр на фиксированной частоте;

или обеспечить постоянство отношения частот  $f_x/f_0$ ;

или измерять значение частоты (периода)  $N_{Tx} = f_0 T_x$  с последующим вычислением  $\varphi_x = 2\pi N_\Phi / N_{Tx}$ .

Имеется большое число схем фазометров, использующих все три указанных принципа. Максимальная погрешность квантования при измерении фазы

$$\Delta_{кв} = \pm 2\pi f_x / f_0$$

и пропорциональна частоте исследуемого сигнала. Основным недостатком ЦФ для измерения мгновенных значений фазовых сдвигов является ограниченность частотного диапазона со стороны верхних частот.

Для измерений параметров высокочастотных сигналов применяются ЦФ среднего значения сдвига фаз. Временной интервал  $\tau_x$ , соответствующий измеряемому сдвигу, усредняется фазометром не за один период исследуемых сигналов, а за  $n$  периодов в течение заданного времени  $T_{изм}$ . Такие фазометры получили также название суммирующих или интегрирующих. Цифровые фазометры для измерения среднего значения сдвига фаз имеют частотный диапазон от сотен герц до сотен килogerц и обеспечивают погрешность измерения около 0,01 %.

Сравнение схем цифровых частотомеров, измерителей временного интервала и фазометров показывает, что они содержат одинаковые узлы: генератор образцовой частоты, делители частоты, формирователи, счетчик, цифровое средство отображения информации, ключи. Поэтому частотомеры и измерители временных интервалов в большинстве случаев строятся в виде одного универсального прибора, называемого электронно-счетным частотомером (ЭСЧ).

Переключая элементы структурной схемы прибора, можно переводить ЭСЧ в режимы измерения частоты  $f$  пе-

риодического сигнала, периода  $T$  или интервала времени  $t$ , отношения частот  $f_1/f_2$  или периодов  $T_1/T_2$ , а также подсчета количества импульсов  $N$  за определенное время. Во всех видах измерений источником образцовой величины является генератор высокочастотных импульсов с кварцевой стабилизацией частоты.

В соответствии с диапазоном измеряемых частот ЭСЧ подразделяются на низкочастотные (до 10 МГц) и высокочастотные (до 150 МГц). Измерения могут проводиться как в автоматическом режиме, так и при ручном запуске. Отечественная промышленность выпускает ЭСЧ серий ЧЗ (ЧЗ-35, ЧЗ-38, ЧЗ-57) и Ф (Ф5035, Ф5041, Ф5080).

### **5.3. ЦИФРОВЫЕ ИЗМЕРИТЕЛЬНЫЕ ПРИБОРЫ ДЛЯ ИЗМЕРЕНИЯ ПОСТОЯННЫХ НАПРЯЖЕНИЙ И ТОКОВ**

Для передачи измерительной информации на небольшие расстояния при дистанционных измерениях широко применяются рекомендованные ГОСТ 9895—69 унифицированные сигналы в виде постоянного напряжения или тока. Распространенность таких сигналов объясняется тем, что многие физические величины преобразуются в постоянные напряжения и ток с высокой точностью и небольшими аппаратными затратами.

В большинстве случаев передача измерительной информации постоянным током обеспечивает более высокую помехоустойчивость и меньшую зависимость результатов от параметров линии связи, чем передача постоянным напряжением.

Используя ЦИП, осуществляют в основном непосредственное измерение постоянного напряжения. Измерение тока производится косвенным способом — путем измерения падения напряжения на сопротивлении образцового резистора  $R_{обр}$  (рис. 5.7, а).

Такой преобразователь тока в напряжение очень прост, но имеет существенный недостаток. Прибор для измерения тока должен иметь малое входное сопротивление. В данном случае это означает, что должно быть мало сопротивление  $R_{обр}$  образцового резистора, что приводит к малым значениям напряжения  $u_x$ . От этого недостатка свободна схема преобразователя тока на основе операционного усилителя ОУ, представленная на рис. 5.7, б. При достаточно большом коэффициенте усиления ОУ выходное напряже-

ние  $u_x = i_x R_{обр}$ , а входное сопротивление преобразователя близко к нулевому значению.

Требования к ЦИП и АЦП, предназначенным для измерения постоянного напряжения и тока, регламентированы ГОСТ 14014—82.

Цифровые вольтметры и АЦП постоянного напряжения в зависимости от используемого способа преобразования напряжения в код делятся на приборы прямого и уравнивающего преобразования. Цифровые вольтметры

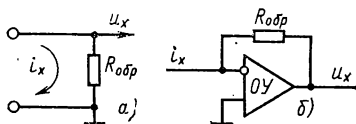


Рис. 5.7. Функциональные схемы преобразователей тока в напряжение

прямого преобразования в свою очередь можно подразделить на вольтметры временного, частотного преобразования и с непосредственным преобразованием напряжения в код.

### Цифровые вольтметры временного преобразования

Работа ЦВ временного преобразования основана на преобразовании измеряемого напряжения в интервал времени и далее в цифровой код. Цифровые вольтметры временного преобразования делятся на вольтметры развертывающего временного преобразования (ЦВР) и интегрирующие цифровые вольтметры (ИЦВ). В ЦВР измеряемое на-

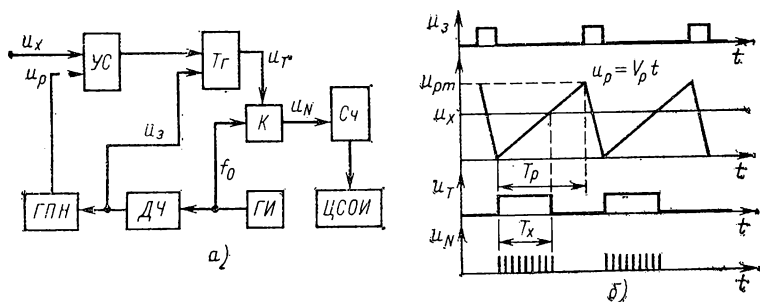


Рис. 5.8. Структурная схема (а) и временная диаграмма работы ЦВ развертывающего временного преобразования (б)

пряжение  $u_x$  сравнивается с изменяющимся по линейному закону напряжением развертки  $u_p(t)$ , формируемым генератором пилообразного напряжения ГПН. Интервал времени от начала процесса развертки до момента равенства напряжений пропорционален напряжению  $u_x$ .

Структурная схема ЦВР и временная диаграмма его работы приведены на рис. 5.8. Импульсы  $u_z(t)$  запуска, вырабатываемые генератором импульсов ГИ и делителем частоты ДЧ, устанавливают триггер  $T_z$  в единичное состояние и одновременно запускают ГПН, который формирует напряжение развертки  $u_p(t) = V_p t$ , где  $V_p = u_{pm}/T_p$  — скорость изменения пилообразного напряжения;  $u_{pm}$  — максимальное значение напряжения развертки;  $T_p$  — время развертки.

В момент равенства напряжений  $u_x$  и  $u_p(t)$  устройство сравнения УС вырабатывает импульс, возвращающий триггер  $T_z$  в нулевое состояние. На выходе  $T_z$  формируется импульс  $u_T$  длительностью

$$T_x = u_x/V_p,$$

в течение которого открыт ключ  $K$  и импульсы  $u_N(t)$  образцовой частоты поступают в счетчик Сч. Количество этих импульсов

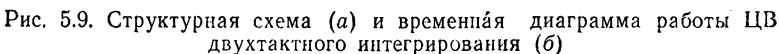
$$N = T_x f_0 = u_x f_0/V_p$$

пропорционально измеряемому напряжению. Полученный в Сч результат измерения индицируется ЦСОИ.

Описанный метод получил широкое распространение главным образом благодаря простоте его практической реализации и относительно высокому быстродействию, достигающему десятков тысяч преобразований в секунду. Кроме погрешности квантования временного интервала, основными источниками погрешности являются нестабильность порога сравнения УС, нестабильность угла наклона и нелинейность сигнала развертки, а также смещение начального уровня развертывающего напряжения. Устранение последней составляющей погрешности достигается в схеме ЦВР, в которой пилообразное напряжение развертки сравнивается с двумя напряжениями: опорным  $u_0$  и  $u_x + u_0$  [25].

Метод развертывающего временного преобразования применяется в простых и недорогих ЦВ низкой и средней точности, погрешности которых составляют 0,05—0,2 %. В нашей стране выпускается ряд ЦВ (В7-16, Ф4830 и др.),

Интегрирующие ЦВ временного преобразования, осуществляющие аналоговое интегрирование измеряемого напряжения, широко применяются в измерительной технике благодаря высокой точности и помехоустойчивости. При



Структурная схема ЦВ двухтактного интегрирования приведена на рис. 5.9, а, а временная диаграмма его работы на рис. 5.9, б.

206

опорное напряжение  $u_0$ , полярность которого противоположна полярности  $u_x(t)$ .

В момент времени  $t_0$  напряжение на выходе *Инт*

$$u_{\text{инт}}(t_2) = \frac{1}{\tau} \int_{t_1}^{t_2} u_x(t) dt,$$

где  $\tau$  — постоянная времени *Инт*.

При  $t > t_2$  на выходе *И* формируется напряжение

$$u_{\text{инт}}(t) = u_{\text{инт}}(t_2) - \frac{1}{\tau} \int_{t_2}^t U_0 dt.$$

В момент  $t_3$ , когда напряжение на выходе *Инт* достигает нулевого значения, устройство сравнения *УС* сбрасывает триггер  $T_{\Sigma 2}$ , в результате чего закрывается ключ  $K_{\Sigma 1}$  и прекращается интегрирование. При этом

$$u_{\text{инт}}(t_3) = \frac{1}{\tau} \int_{t_1}^{t_2} u_x(t) dt - \frac{1}{\tau} \int_{t_2}^{t_3} U_0 dt = 0,$$

откуда

$$\bar{U}_x(t_2 - t_1)/\tau = U_0(t_3 - t_2)/\tau,$$

или  $\bar{U}_x T_0 = U_0 T_x$ ;

$$T_x = T_0 \bar{U}_x / U_0 = k \bar{U}_x / U_0 f_0,$$

где  $\bar{U}_x$  — среднее за время  $T_0 = k/f_0$  значение измеряемого напряжения;  $T_x = t_3 - t_2$  — длительность прямоугольного импульса на выходе  $T_{\Sigma 2}$ .

Импульс  $u_{T_{\Sigma 2}}(t)$  на время  $T_x$  открывает ключ  $K_{\Sigma 4}$ , и импульсы *ГИ* с частотой  $f_0$  поступают на вход счетчика *Сч*. Количество импульсов  $u_N(t)$ , подсчитанных счетчиком *Сч*,

$$N_x = T_x f_0 = k \bar{U}_x / U_0 \quad (5.2)$$

и пропорционально среднему значению измеряемого напряжения.

Код на выходе *Сч* индицируется *ЦСОИ*.

Как следует из (5.2), результат измерения  $N_x$  не зависит от значения постоянной времени  $\tau$  интегратора и тактовой частоты  $f_0$ . Цифровые вольтметры двухтактного интегрирования имеют значительно меньшую погрешность из-



мерения, чем ЦВ развертывающего временного преобразования.

Цифровые вольтметры двухтактного интегрирования отличаются более высокой помехоустойчивостью, так как за счет интегрирования входного сигнала значительно уменьшается влияние помех и наводок во входной цепи ЦВ. Полное устранение влияния периодической помехи достигается в том случае, когда время интегрирования  $T_0$  равно или кратно периоду помехи  $T_{\text{пом}}$ . Поскольку основное влияние оказывает сетевая помеха частотой 50 Гц, то  $T_0$  обычно выбирают равным 20 или 40 мс. Если частота помехи изменяется, то для обеспечения помехоустойчивости необходимо изменять время интегрирования так, чтобы оно все время было кратным периоду помехи. Проще всего это достигается изменением частоты  $f_0$  генератора импульсов, осуществляемым блоком автоподстройки частоты (БАПЧ), который выделяет период помехи и преобразует его в напряжение, управляющее частотой ГИ, так чтобы  $T_0 = T_{\text{пом}}$ .

Цифровые вольтметры двухтактного интегрирования, как правило, обеспечивают 10—20 преобразований в секунду.

На основе метода двухтактного интегрирования выпускается большое количество цифровых вольтметров высокой точности (В7-22, В7-28, Ц68000, Ц68002). Основная погрешность таких вольтметров лежит в диапазоне 0,1—0,005 %. Степень подавления помех с частотой питающей сети достигает у лучших приборов 100 дБ.

Цифровые вольтметры интегрирующего типа обычно состоят из двух основных частей: аналоговой и цифровой. Для повышения помехоустойчивости аналоговая часть помещена в специальный экран, имеет отдельный источник питания и гальванически изолирована от корпуса и цифровой части. Связь между аналоговой и цифровой частями осуществляется через импульсные трансформаторы или оптроны.

Интегрирующие ЦВ используются в ИИС в качестве прецизионных АЦП, а также выпускаются в щитовом варианте (Ф200, Ф2000—Ф2003 и др.) с погрешностью 0,05—0,1 % и быстродействием до 100—200 преобразований в секунду. Освоен промышленностью и выпуск АЦП двухтактного интегрирования в виде гибридной интегральной микросхемы (К572ПВ1).

## Цифровые вольтметры частотного преобразования

Принцип действия таких ЦВ основан на промежуточном преобразовании измеряемого напряжения в частоту импульсного или гармонического сигнала с последующим преобразованием этой частоты в код.

В качестве примера рассмотрим преобразователь напряжения в частоту (ПНЧ), структурная схема и временные диаграммы работы которого приведены на рис. 5.10, а, б [15].

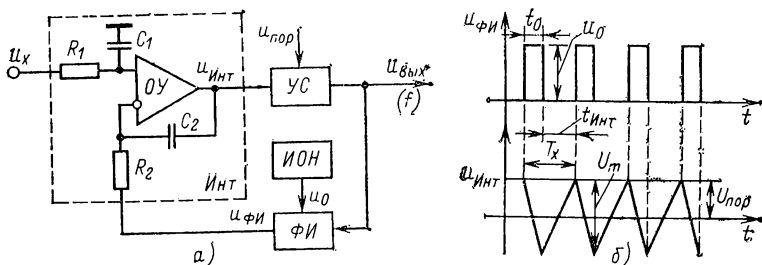


Рис. 5.10. Структурная схема (а) и временная диаграмма работы высокочастотного ПНЧ (б)

Преобразователь напряжения в частоту состоит из интегратора *Инт*, реализованного на дифференциальном усилителе *ОУ* и двух *RC*-цепочках, устройства сравнения *УС*, источника опорного напряжения *ИОН* и формирователя импульсов *ФИ* стабильной вольт-секундной площади ( $S = u_0 t_0 = \text{const}$ ).

До тех пор, пока напряжение  $u_{инт}$  на выходе интегратора *Инт* меньше порогового напряжения  $U_{пор}$ , сигнал с выхода *УС* запирает *ФИ*, напряжение  $u_{фи}$  на его выходе равно нулю, а *Инт* интегрирует только измеряемое напряжение  $u_x(t)$ . При достижении  $u_{инт} = U_{пор}$  (рис. 5.10, б) сигнал с выхода *УС* запускает *ФИ*, и в течение интервала времени  $t_0$  на второй вход *Инт* подается опорное напряжение  $u_{фи} = U_0$  с полярностью, противоположной полярности  $u_x(t)$ . При этом *Инт* интегрирует разность  $u_x(t) - U_0$  в течение интервала времени  $t_0$ . Затем в течение интервала времени  $t_x$  снова интегрируется только напряжение  $u_x(t)$  до достижения  $u_{инт} = U_{пор}$  и т. д.

Так как изменения  $U_m$  напряжения  $u_{инт}$  за интервалы

времени  $t_x$  и  $t_0$  равны, но противоположны по знаку, то можно записать

$$U_m = \frac{1}{\tau} \int_0^{t_{\text{инт}}} u_x(t) dt = -\frac{1}{\tau} \int_{t_{\text{инт}}}^{t_{\text{инт}}+t_0} [u_x(t) - U_0] dt,$$

где  $\tau = R_1 C_1 = R_2 C_2$  — постоянная времени  $\text{Инт}$ .

Отсюда получим

$$\int_0^{t_{\text{инт}}+t_0} u_x(t) dt = U_0 t_0.$$

Период повторения выходного сигнала  $T_x = t_{\text{инт}} + t_0$ , следовательно,

$$\frac{U_0 t_0}{T_x} = \frac{1}{T_x} \int_0^{T_x} u_x(t) dt = \bar{U}_x,$$

где  $\bar{U}_x$  — среднее за период  $T_x$  значение входного напряжения.

Отсюда получим функцию преобразования преобразователя напряжение — частота (ПНЧ):

$$f_x = 1/T_x = \bar{U}_x / U_0 t_0. \quad (5.3)$$

Из (5.3) видно, что функция преобразования ПНЧ не зависит от параметров большинства элементов и узлов, что позволяет обеспечить высокие метрологические характеристики ЦВ. Точность измерения определяется главным образом стабильностью вольт-секундной площади  $U_0 t_0$  выходного импульса  $\Phi И$ . Частота с выхода ПНЧ преобразуется в цифровой код методами, описанными в § 5.2.

Кроме того, если частота преобразуется в код путем подсчета числа периодов за известный интервал времени  $T_0$ , то результат измерения представляет собой усредненное значение напряжения за этот интервал, а ЦВ относится к интегрирующим ЦВ частотного преобразования. Интегрирование входного напряжения позволяет значительно уменьшить влияние помех на результат измерения. Если помеха представляет собой периодический сигнал, то при равенстве или кратности времени  $T_0$  периоду сигнала помехи обеспечивается ее полное подавление. Для ослабления сигналов помехи с частотой сети время  $T_0$  должно быть выбрано кратным 20 мс, что ограничивает быстродействие

ЦВ 50 преобразованиями в секунду. В реальных приборах это число гораздо меньше приведенного значения и зависит от допустимой погрешности преобразования частоты в код.

Выпускаемые серийно интегрирующие ЦВ частотного преобразования (В7-21; В7-18; В7-25) обеспечивают погрешность измерения 0,01—0,1 % и подавление помехи 60—70 дБ.

Преобразователи напряжения в частоту выпускаются промышленностью в виде интегральной микросхемы в гибридном исполнении.

### **Цифровые вольтметры с непосредственным преобразованием напряжения в код**

В таких ЦВ осуществляется сравнение измеряемого напряжения с напряжением, создаваемым набором образцовых мер. В зависимости от количества мер и алгоритма преобразования напряжения в код эти ЦВ целесообразно разделить на приборы последовательного, параллельного и последовательно-параллельного действия.

В цифровых вольтметрах последовательного действия используется, как правило, двоичная система счисления. В основе их работы лежит принцип последовательного сравнения измеряемой величины  $u_x$  с  $1/2, 1/4, 1/8, \dots, 1/2^{m-1}$  частями опорного (образцового) напряжения  $U_0$ .

В ЦВ параллельного действия все разряды кода формируются практически одновременно. Для этого измеряемое напряжение  $u_x$  подается на входы ряда аналогичных устройств сравнения УС, в которых это напряжение сравнивается с набором значений образцового напряжения, отличающихся на шаг квантования. Общее количество уровней образцового напряжения и устройств сравнения равно числу интервалов квантования в диапазоне измерения или равно  $2^m - 1$ , где  $m$ —число разрядов двоичного кода. Выходные сигналы УС (1 или 0) образуют по существу унитарный код, который дешифратором преобразуется в двоичный (двоично-десятичный).

Аналого-цифровые преобразователи параллельного действия являются самыми быстродействующими из известных приборов. Частота их преобразования достигает 100—200 МГц. Точность их невысока (0,5—1 %) и определяется количеством УС. Повышение точности измерения приводит к резкому увеличению количества УС и усложне-

нию схемы прибора. Поэтому ЦВ такого типа в основном используют в качестве амплитудных анализаторов для определения амплитуды очень коротких импульсов (например, в ядерной физике), когда не предъявляется высоких требований к точности измерений, но необходимо высокое быстродействие. Аналого-цифровые преобразователи такого типа выпускаются промышленностью в виде интегральной микросхемы в монолитном исполнении с разрядностью 8—10 двоичных разрядов.

Цифровые вольтметры последовательно-параллельного действия занимают по своим характеристикам промежуточное положение между двумя описанными типами ЦВ с непосредственным преобразованием напряжения в код: их быстродействие выше, чем у последовательных, а объем аппаратуры меньше, чем у параллельных.

В ЦВ параллельного действия для получения погрешности дискретности 1 % необходимо 100 устройств сравнения, а в параллельно-последовательных ЦВ только 20. Погрешность ЦВ такого типа обычно составляет 0,05—1 %, максимальная частота преобразования 20—30 МГц.

### **Цифровые вольтметры уравнивающего преобразования**

В отличие от ЦВ прямого преобразования в цифровых вольтметрах уравнивающего преобразования используется обратная связь, которая обязательно предполагает наличие в схеме ЦАП, называемого в данном случае преобразователем код — напряжение (ПКН).

Цифровые вольтметры уравнивающего преобразования в зависимости от способа уравнивания можно разделить на приборы развертывающего и следящего типа, а по характеру изменения компенсирующего напряжения во времени — на приборы с единичным и поразрядным приближением.

Структурная схема аналого-цифрового преобразователя ЦВ развертывающего уравнивания единичного приближения содержит (рис. 5.11, а) счетчик  $C_n$ , преобразователь кода в напряжение  $ПКН$ , источник образцового напряжения  $ИОН$ , устройство сравнения  $УС$ , генератор тактовых импульсов  $ГИ$ , устройство управления  $УУ$  и ключ  $Кл$ . Работа устройства иллюстрируется временной диаграммой (рис. 5.11, б). Измеряемое напряжение  $u_x$  подается на один из выходов  $УС$ , компенсирующее напряжение

$u_k$  с выхода *ПКН* — на другой. После прихода сигнала внешнего запуска  $u_z$  *УУ* устанавливает *Сч* в нулевое состояние. Компенсирующее напряжение  $u_k$  при этом становится равным нулю, и на выходе *УС* появляется единичный сигнал  $u_{yc}$ , свидетельствующий о том, что  $u_x > u_k$ . Этот сигнал открывает ключ *Кл*, и тактовые импульсы с *ГИ* начинают последовательно заполнять счетчик. Код с выхода *Сч* преобразуется *ПКН* в ступенчато нарастающее компенсирующее напряжение  $u_k$ . Процесс преобразования продолжается до тех пор, пока  $u_k$  не станет равным измеряемому на-

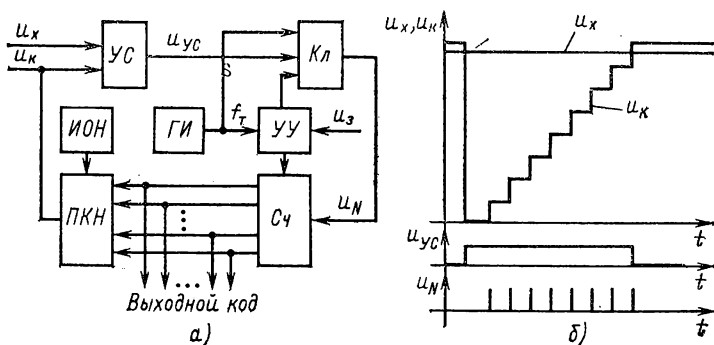


Рис. 5.11. Структурная схема (а) и временная диаграмма работы АЦП напряжения развертывающего уравновешивания с единичным приближением (б)

пряжению. В этот момент сигнал на выходе *УС* меняет знак и закрывает ключ, прекращая заполнение *Сч* тактовыми импульсами  $u_N$ . Выходной код счетчика будет определяться соотношением

$$N = u_x/z,$$

где  $z = U_0/2^m$  — шаг квантования;  $U_0$  — значение образцового напряжения *ИОН*;  $m$  — разрядность счетчика.

Таким образом, приближение компенсирующего напряжения к измеряемому осуществляется единичными ступенями.

Скорость нарастания компенсирующего напряжения постоянна и определяется частотой  $f_T$  тактовых импульсов. Максимальное значение  $f_T$  ограничено быстродействием *ПКН*. Время преобразования таких АЦП является пере-

менным и зависит от значения измеряемого напряжения. Максимальное его значение

$$t_{\text{прmax}} = (2^m - 1)/f_T$$

определяет период импульсов запуска. Максимальное быстродействие рассматриваемых АЦП существенно зависит от разрядности  $m$  и составляет  $10^2$ — $10^4$  преобразований в секунду. Погрешность АЦП в основном определяется погрешностью ПКН и достигает 0,002—0,1 %.

Аналого-цифровые преобразователи развертывающего уравнивания с единичным приближением отлича-

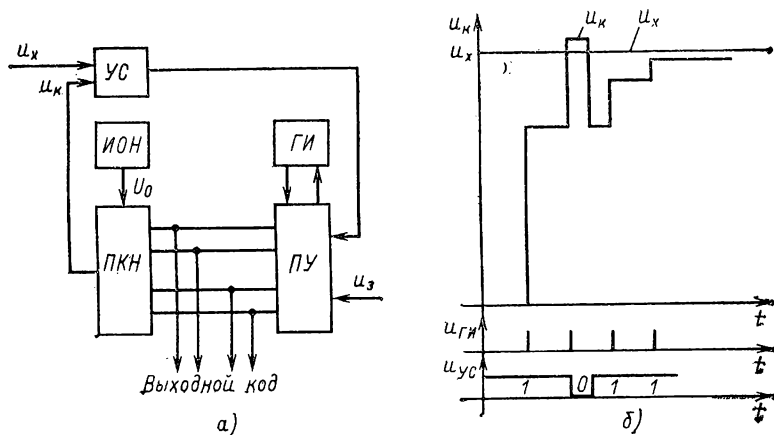


Рис. 5.12. Структурная схема (а) и временная диаграмма работы АЦП напряжения развертывающего уравнивания с поразрядным приближением (б)

ются простотой схемной реализации, высокой точностью, но относительно низким быстродействием. Они используются в ТВ для измерения постоянных и медленно изменяющихся напряжений, а также в качестве блоков ИИС. В последнем случае счетчик и ПКН являются двоичными, разрядность их составляет 8—16.

В ЦВ развертывающего уравнивания с поразрядным приближением измеряемое напряжение сравнивается со ступенчато изменяющимся компенсирующим напряжением, значения (веса) ступенек которого выбираются равными  $1/2$ ,  $1/4$ ,  $1/8$ , ...,  $1/2^m$  значений образцового напряжения  $U_0$ . При этом  $U_0$  равно максимальному значению измеряемого напряжения (пределу измерения).

Структурная схема (рис. 5.12, *а*) аналого-цифрового преобразователя, реализующего этот метод, отличается от рассмотренной выше схемы тем, что выходной код  $N$  не формируется путем заполнения счетчика (единичное приближение), а вырабатывается поразрядно программным устройством  $ПУ$  по результатам анализа выходного сигнала  $УС$ .

Временная диаграмма преобразования для четырехразрядного АЦП представлена на рис. 5.12, *б*.

Импульс запуска  $u_z$  осуществляет начальную установку  $ПУ$ , сброс компенсирующего напряжения  $u_k$  и запуск генератора тактовых импульсов  $ГИ$ . После прихода первого тактового импульса  $u_{Г1}$   $ПУ$  выставляет 1 в первом (старшем) разряде выходного кода, что приводит к появлению на выходе  $ПКН$  компенсирующего напряжения  $U_{k1} = U_0/2$ . Устройство сравнения сравнивает это напряжение с  $u_x$ , и если  $u_x > U_{k1}$ , то на выходе  $УС$  остается положительное напряжение, и  $ПУ$  остается 1 в старшем разряде кода. В момент прихода второго тактового импульса  $ПУ$  формирует 1 во втором разряде выходного кода, имеющем вес  $1/4$ . Преобразователь кода в напряжении преобразует этот код и выдает напряжение  $U_k = U_{k1} + U_{k2} = U_0/2 + U_0/4$ . Если  $U_k > u_x$ , то напряжение на выходе  $УС$  изменяет знак. Программное устройство, проанализировав знак этой разности, определяет перекомпенсацию и сбрасывает 1 во втором разряде, оставляя там 0. При этом уровень  $U_{k2}$  исключается из компенсирующего напряжения.

После прихода третьего тактового импульса  $ПУ$  вырабатывает 1 в третьем разряде с весом  $1/8$ . Напряжение  $U_{k3} = U_0/8$  суммируется с  $U_{k1}$ . Если  $УС$  показывает, что перекомпенсация не наступила, то  $ПУ$  выставляет 1 в младшем (четвертом) разряде, заканчивает преобразование, останавливая  $ГИ$ , и выдает сигнал готовности выходного кода к считыванию.

Процесс измерения у АЦП поразрядного приближения занимает  $m$  тактов в отличие от  $2^m - 1$  тактов у АЦП единичного приближения, что дает существенный выигрыш в быстродействии. Быстродействие АЦП такого типа достигает  $10^5 - 10^6$  преобразований в секунду в зависимости от разрядности. Погрешность измерения таких ЦВ также определяются в основном погрешностью  $ПКН$ . Однако ввиду того, что процесс уравнивания осуществляется поразрядно, разрядность  $ПКН$  не накладывает существенных ограничений на быстродействие и может быть достаточно



большой (10—16), обеспечивая высокую точность измерения напряжения.

Описанный принцип преобразования представляет собой удачное решение, компромиссно сочетающее требование точности и быстродействия, и нашел широкое практическое применение как при построении ЦИП, так и в особенности при построении быстродействующих высокочастотных АЦП системного применения. Такие АЦП, имеющие разрядность 8—12, выпускаются промышленностью в виде интегральной микросхемы в монолитном исполнении.

#### **5.4. ЦИФРОВЫЕ ИЗМЕРИТЕЛЬНЫЕ ПРИБОРЫ ДЛЯ ИЗМЕРЕНИЯ ПЕРЕМЕННЫХ НАПРЯЖЕНИЙ И ТОКОВ**

Модулированные переменные напряжения (токи) также являются сигналами, получившими большое распространение в измерительной технике.

При использовании периодического сигнала в качестве информативных параметров могут выступать его мгновенное значение, амплитуда, частота, период, фаза или интегральные характеристики (среднее и действующее значения). Цифровые измерительные приборы для измерения частоты, периода и фазы были описаны в § 5.2. Поэтому в данном параграфе рассмотрим две группы ЦИП: для измерения действующего и среднего значения и для измерения амплитудного значения напряжения.

В большинстве ЦИП первой группы осуществляется преобразование переменного напряжения в постоянное.

Структурная схема (рис. 5.13) такого ЦИП состоит из масштабирующего преобразователя *МПр*, детектора *Д*, фильтра *Ф*, интегратора *Инт* и линеаризатора *Л*. Детектор может быть линейным или квадратичным в зависимости от того, измеряется средневывпрямленное или эффективное значение переменного напряжения. Линеаризатор имеет функцию преобразования, обратную функции преобразования детектора. Постоянное напряжение с выхода *Л* измеряется цифровым вольтметром *ЦВ*.

Преимущества подобных приборов — простота, экономичность, универсальность, так как они могут применяться для измерения как переменных, так и постоянных напряжений. Поэтому многие высокочастотные цифровые вольтметры снабжаются приставками для измерения переменных напряжений.

При определении характеристик переменного напряже-

ния может быть использован быстродействующий цифровой вольтметр постоянного тока. Полученные дискретные отсчеты мгновенного значения  $u_x(t)$  обрабатываются цифровым вычислительным устройством, которое определяет искомые характеристики измеряемого сигнала. Этот метод применяют для точного измерения низкочастотных напряжений.

Для измерения амплитудного (максимального) значения переменного синусоидального или импульсного напряжения применяются амплитудные анализаторы и ЦВ с запоминанием.

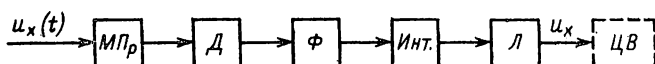


Рис. 5.13. Структурная схема ЦВ среднего (действующего) значения

Амплитудные анализаторы строятся по тому же принципу, что и ЦВ параллельного преобразования, описанные в § 5.3. Они отличаются высоким быстродействием и позволяют наиболее точно измерить максимальное значение напряжения. Однако такие приборы сложны и имеют высокую стоимость.

Более простой метод измерения основан на запоминании амплитуды измеряемого напряжения. Структурная схема ЦВ с запоминанием и временная диаграмма его работы представлены на рис. 5.14 и 5.15. Он содержит аналоговое запоминающее устройство АЗУ, дифференцирующее устройство ДУ, устройство управления УУ и цифровой вольтметр ЦВ постоянного тока.

Цикл работы прибора состоит из двух тактов: запоминания и измерения. В первом такте при достижении максимума измеряемого напряжения сигнал на выходе ДУ, пропорциональный первой производной напряжения  $u_x(t)$ , меняет знак с положительного на отрицательный (рис. 5.15) и УУ выдает строб-импульс, в течение которого АЗУ запоминает амплитуду сигнала. По окончании строб-импульса ЦВ в течение времени  $t_{\text{пр}}$  производит напряжения с выхода АЗУ в цифровой отсчет  $N$ . Аналоговое запоминающее устройство (рис. 5.16) включает в себя накопительный конденсатор  $C_{\text{нак}}$ , ключ  $Kл$  и операционные усилители  $ОУ_1$  и  $ОУ_2$ .

Строб-импульс длительностью  $t_{\text{зап}}$  подается на управля-

ющий вход ключа  $Kл$ . Ключ замыкается, и происходит заряд конденсатора  $C_{нак}$ . Схема при этом работает как повторитель напряжения. При размыкании ключа конденсатор запоминает уровень входного сигнала. Общая отрицательная обратная связь с выхода  $OY_2$  на выход  $OY_1$  позволяет существенно снизить погрешности АЗУ в режиме за-

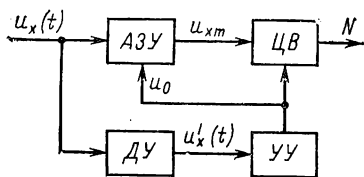


Рис. 5.14. Структурная схема ЦВ амплитудного значения с запоминанием

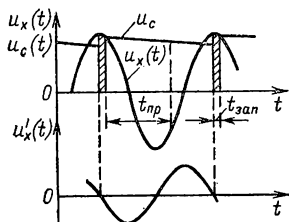


Рис. 5.15. Временная диаграмма работы ЦВ амплитудного значения с запоминанием

поминания. Цифровые вольтметры с запоминанием имеют погрешность порядка 0,1—0,2 %, время запоминания  $t_{зан} = 10$  мкс.

Следует отметить, что ЦИП для измерения амплитуды периодического напряжения наиболее просто может быть построен по структурной схеме на рис. 5.13, в которой используется амплитудный (пиковый) детектор.

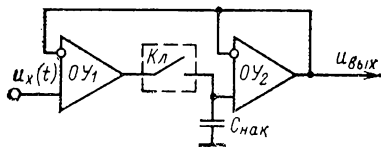


Рис. 5.16. Функциональная схема АЗУ

При измерении переменных напряжений известной формы находит применение способ уравнивания. Такие ЦИП называются цифровыми компенсаторами переменного тока.

При синусоидальной форме сигнала процесс уравнивания заключается в приведении к нулю вектора разности между измеряемым и компенсирующим напряжениями. В зависимости от используемой в цифровом компенсаторе системы координат (прямоугольной или полярной) компенсации соответственно производится по действительной и мнимой составляющим или модулю и фазе сигнала. Параметры компенсирующего напряжения изменяются

дискретно с помощью ПКН. Процесс уравнивания может быть следящим или развертывающим с равномерно-ступенчатой или поразрядной обработкой. Наибольшее распространение получили прямоугольно-координатные цифровые компенсаторы поразрядного уравнивания, состоящие из двух независимых аналогичных каналов. Измерительные цепи каналов питаются сдвинутыми по фазе на  $90^\circ$  опорными напряжениями. При создании таких цифровых компенсаторов наибольшие трудности вызывает изготовление ЦАП переменного тока, обеспечивающих высокую точность преобразования в широком диапазоне частот, а также образцовых мер переменного напряжения. Дополнительную погрешность вносят фазовые сдвиги составляющих компенсирующего напряжения и взаимное влияние каналов. Цифровые компенсаторы переменного тока сложны и имеют высокую стоимость, обусловленную прецизионной технологией изготовления элементов ПКН.

#### **5.5. ЦИФРОВЫЕ ИЗМЕРИТЕЛЬНЫЕ ПРИБОРЫ ДЛЯ ИЗМЕРЕНИЯ ПАРАМЕТРОВ ЭЛЕКТРИЧЕСКИХ ЦЕПЕЙ**

Емкостные, индуктивные преобразователи и преобразователи сопротивления широко применяются при измерении различных неэлектрических величин. Кроме того, измерение параметров электрических цепей необходимо в электротехнике при наладке и ремонте аппаратуры и контроле радиодеталей.

Существуют два основных метода преобразования: прямого и уравнивающего. Цифровой измерительный прибор прямого преобразования есть сочетание аналогового преобразователя того или иного параметра в активную величину и соответствующего цифрового прибора для измерения последней. Деление их на группы производится в зависимости от вида промежуточного преобразования. Цифровые измерительные приборы уравнивающего преобразования представляют собой цифровые мосты постоянного (для измерения  $R$ ) или переменного (для измерения  $L$  и  $C$ ) тока. Одним из самых простых методов измерения  $R$ ,  $L$ ,  $C$  является преобразование их в напряжение. Исследуемый двухполюсник включают в измерительную цепь, питание которой осуществляется от источника образцового тока или напряжения. Переменное напряжение (ток) может применяться для преобразования любого из параметров, а постоянное — только для преобразования  $R$ .

Другой распространенный способ цифрового измерения  $R$ -,  $L$ -,  $C$ - параметров основан на их предварительном преобразовании в частоту гармонического сигнала. В этом случае исследуемый элемент включается в частотно-зависимую цепь, определяющую частоту колебаний генератора.

Наиболее широкое распространение для измерения  $R$ ,  $L$ ,  $C$  получили методы развертывающего преобразования [15]. Эти методы основаны на формировании некоторой развертывающей функции, аналитическое выражение которой включает в себя измеряемый параметр, и в фиксации моментов времени, в которые она достигает заранее заданных значений. Полученный интервал времени оказывается функционально связанным с преобразуемым параметром. Преобразователи, реализующие указанный метод, отличаются высокой точностью, быстродействием, линейностью функции преобразования, удобным для преобразования в код видом выходного сигнала (временной интервал  $\Delta t$ , частота  $f$ , период  $T$ ).

Рассматриваемый метод применяется обычно в сочетании с предварительным преобразованием параметров  $R$ ,  $L$  или  $C$  в напряжение. В этом случае развертывающая функция также представляет собой напряжение.

Структурная схема простейшего преобразователя параметров  $R$ ,  $L$ ,  $C$  в период прямоугольного сигнала представлена на рис. 5.17, а [15].

Интегрирующая измерительная цепь ИЦ с постоянной времени  $\tau_x = R_{\text{обр}} C_x$  (или  $R_x C_{\text{обр}}$ , или  $L_x / R_{\text{обр}}$ ) питается напряжением с выхода операционного усилителя ОУ, играющего роль устройства сравнения (УС). Порог его срабатывания задается делителем, выполненным на резисторах  $R_1$  и  $R_2$ . Временная диаграмма работы преобразователя приведена на рис. 5.17, б. При подаче на ИЦ в момент времени  $t_0$  напряжения  $U_0$  с выхода ОУ происходит его интегрирование измерительной цепью. Развертывающая функция на инвертирующем входе операционного усилителя

$$F(\tau_x; U_0; t) = U_0(1 + k)(1 - e^{-t/\tau_x}) - kU_0,$$

где  $k = R_2 / (R_1 + R_2)$  — коэффициент деления делителя. В момент  $t_1$  достижения этой функции порогового значения  $+kU_0$  срабатывает ОУ, изменяя на выходе знак напряжения  $U_0$  на противоположный. Интервал времени  $\Delta T = t_1 - t_0$  равен

$$\Delta T_1 = \tau_x \ln [(1 + k)/(1 - k)].$$

На интервале времени  $\Delta T_2 = t_2 - t_1$  происходит формирование развертывающей функции с противоположным знаком производной. Очевидно, что при равенстве положительного и отрицательного порогов сравнения  $|+kU_0| = |-kU_0|$  интервалы  $\Delta T_2$  и  $\Delta T_1$  равны. Период напряжения на выходе ОУ определяется соотношением

$$T_x = \Delta T_1 + \Delta T_2 = 2\tau_x \ln [(1+k)/(1-k)]$$

и измеряется цифровым частотомером.

Результат измерения периода пропорционален значению измеряемого параметра  $R_x$  (или  $C_x$ , или  $L_x$ ). При развертывающем преобразовании дрейф нуля операционного

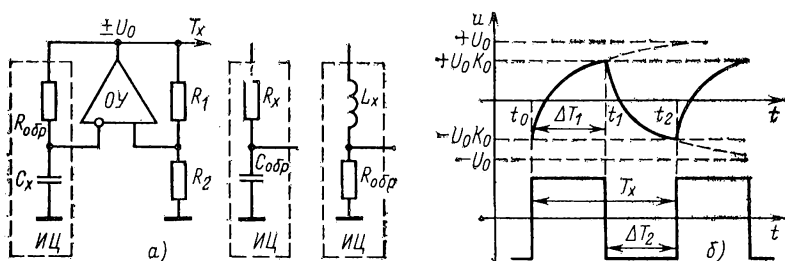


Рис. 5.17. Структурная схема (а) и временная диаграмма работы измерительного преобразования параметров  $R$ ,  $L$ ,  $C$  в период (б)

усилителя приводит к погрешности формирования интервала времени  $\Delta T'_1 = \Delta T_1 + \Delta_1$ . При изменении направления развертки эта погрешность будет иметь противоположный знак, т. е.  $\Delta T'_2 = \Delta T_2 - \Delta_2$ . Поэтому при измерении периода  $T' = \Delta T_1 + \Delta T_2 + (\Delta_1 - \Delta_2) = T + (\Delta_1 - \Delta_2)$  происходит компенсация составляющей погрешности.

Цифровые измерительные приборы, реализующие метод развертывающего преобразования, получили широкое распространение для измерения параметров электрических цепей. Погрешность измерения достигает 0,005—0,1%.

Наряду с методами преобразования в практике используются также методы уравнивающего преобразования  $R$ -,  $L$ -,  $C$ -параметров [13].

Сравнение измеряемой величины с образцовой чаще всего осуществляется путем уравнивания мостовой измерительной цепи (см. § 4.4), в одно из плеч которой включается исследуемый двухполюсник. В смежное плечо

моста включается образцовый двухполюсник, представляющий собой набор квантованных образцовых мер, соответствующих весовым коэффициентам разрядов используемого кода. Изменением параметров образцового двухполюсника добиваются равенства нулю напряжения в измерительной диагонали. Уравновешивание может быть как следящим, так и развертывающим.

Достоинствами таких ЦИП являются высокая точность и широкий динамический диапазон. К их недостаткам относятся низкое быстродействие, обусловленное необходимостью применения контактных ключей для формирования параметров образцового двухполюсника с высокой точностью.

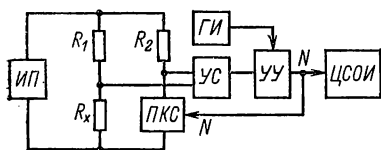


Рис. 5.18. Структурная схема цифрового моста постоянного тока

Измеряемый резистор  $R_x$ , образцовые резисторы  $R_1$  и  $R_2$  и ЦАП преобразователь кода в сопротивление  $ПКС$  образуют измерительный мост, питание которого производится от источника постоянного напряжения  $ИП$ . Разбаланс моста фиксируется устройством сравнения  $УС$ . Устройство управления  $УУ$  анализирует выходной сигнал  $УС$  и в зависимости от его знака увеличивает или уменьшает код  $N$ , выдаваемый на преобразователь кода в сопротивление  $ПКС$ .

Уравновешивание производится до тех пор, пока напряжение в выходной диагонали моста не станет меньше порога чувствительности  $УС$ . При этом измеряемое сопротивление

$$R_x = R_1 R_{ПКС} / R_2 = R_1 k_{ПКС} N / R_2, \quad (5.4)$$

где  $k_{ПКС} = R_{ПКС} / N$  — коэффициент преобразования  $ПКС$ ;  $R_{ПКС}$  — сопротивление  $ПКС$ .

Результат, как видно из (5.4), не зависит от напряжения питания моста. Изменение пределов измерения происходит путем изменения отношения сопротивлений резисторов  $R_1$  и  $R_2$ .

Точность измерения определяется стабильностью сопротивления образцовых резисторов  $R_1$  и  $R_2$  и точностью  $ПКС$ .

Цифровые мосты постоянного тока обеспечивают погрешность измерения около 0,01 % и широко используются для точного измерения активного сопротивления.

Значительно более сложными являются мосты переменного тока, предназначенные для измерения комплексного сопротивления, индуктивности и емкости при определенной фиксированной частоте (обычно 1 кГц). Такие мосты выполняют уравнивание по двум параметрам, т. е. производят раздельное и независимое уравнивание двух составляющих комплексного сопротивления  $Z_x$ .

## **5.6. ЦИФРОВЫЕ ИЗМЕРИТЕЛЬНЫЕ ПРИБОРЫ ПРОСТРАНСТВЕННОГО ПРЕОБРАЗОВАНИЯ**

Цифровые измерительные приборы пространственного преобразования используются при измерении линейных и угловых перемещений, а также других неэлектрических величин, которые могут быть преобразованы в перемещение.

В зависимости от способа преобразования рассматриваемые ЦИП делятся на приборы с кодирующими масками и с число-импульсными преобразователями. В приборах первого типа линейное или угловое перемещение измеряется при помощи специальной кодовой маски, снабженной считывающим устройством. В качестве кодовой маски используют кодирующие линейки и диски. Количество кодовых дорожек на маске определяется числом разрядов выходного кода. При этом каждая кодовая дорожка имеет свое считывающее устройство. Информация на кодовую дорожку наносится обычно в виде прозрачных и непрозрачных участков, длина которых соответствует шагу квантования. Считывание информации производится обычно фотоэлектрическими устройствами. При считывании операции квантования и кодирования значения измеряемой величины осуществляются одновременно.

На рис. 5.19, а изображена четырехразрядная кодирующая линейка. Затемненные (заштрихованные) участки соответствуют единичным значениям кода. Отсчет производится при помощи фотосчитывающих устройств  $\Phi У$ , расположенных на одном уровне перпендикулярно направлению движения, причем перемещаться может как линейка, так и  $\Phi У$ . При использовании кодирующих дисков  $\Phi У$  располагаются неподвижно на одном радиусе, а преобразуемой величиной является угол поворота диска.

Кодовые маски обеспечивают высокую разрешающую



способность (до 20 двоичных разрядов), малую погрешность (0,0002 %) и высокое быстродействие. Однако за счет неидеальности конструкции (например, перекоса осевой линии  $\Phi У$ ) могут возникнуть ошибки при считывании. При этом в выходной результат могут попасть разряды из соседних кодовых комбинаций. Например, на границе кодов 7(0111) и 8(1000) возможно считывание кодов 15(1111) или 0(0000), что приводит к погрешности, достигающей 50 % максимального значения измеряемой величины. Для

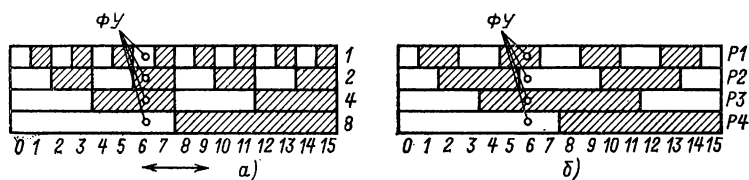


Рис. 5.19. Четырехразрядная кодирующая линейка

устранения указанной погрешности применяют отраженные коды, у которых две соседние комбинации отличаются только в одном разряде (см. § 3.6).

Наиболее распространенным отраженным кодом является код Грея. На рис. 5.19, б) в качестве примера изображена кодирующая линейка для четырехразрядного кода Грея, где  $P1—P4$  — номера разрядов кода. Поскольку разряды этого кода не имеют постоянного веса, для дальнейшего использования код Грея преобразуется в обычный двоичный код.

К недостаткам рассмотренных ЦИП следует отнести сложность конструкции механических частей приборов и трудоемкость изготовления прецизионной кодирующей маски, а также зависимость результатов преобразования от внешних факторов (пыли, вибрации). Однако в лабораторных условиях ЦИП пространственного преобразования с кодирующими масками являются одними из самых точных приборов для измерения линейных и угловых перемещений.

В ЦИП число-импульсного преобразования перемещение или угол поворота преобразуются в электрические импульсы, число которых (число-импульсный код  $N$ ) пропорционально значению измеряемой величины. Количество импульсов подсчитывается счетчиком. В таких ЦИП для получения импульсов используют контактные, магнитные,

фотоэлектрические и другие виды измерительных преобразователей.

Цифровые измерительные приборы число-импульсного преобразования являются простыми по конструкции, строятся на основе стандартных блоков и применяются, как правило, при измерении больших перемещений. Например, при измерении длины троса, сматываемого с барабана лебедки, определяют число оборотов мерного ролика, через который движется трос. При каждом обороте ролика вырабатывается электрический импульс. Число импульсов пропорционально перемещению троса. Такие приборы используются и при измерении малых перемещений, но разрешающая способность преобразователя должна быть увеличена путем применения редуктора.

Представляют интерес сочетание в ЦИП преобразователей число-импульсного типа и преобразователей с кодирующей маской. В этом случае при угловых перемещениях в пределах одного оборота результат считывается с кодирующего диска, а число его оборотов определяется число-импульсным преобразователем.

### **5.7. ЦИФРОВЫЕ ИЗМЕРИТЕЛЬНЫЕ ПРИБОРЫ С МИКРОПРОЦЕССОРАМИ**

Освоение промышленностью нового класса больших интегральных микросхем — микропроцессоров (МП) коренным образом изменило подход к разработке цифровых измерительных приборов.

Под микропроцессором понимают устройство, состоящее из одной или нескольких интегральных микросхем, которое может выполнять функции центрального процессора программируемой вычислительной машины. В общем случае МП состоит из арифметическо-логического устройства (АЛУ) и устройства управления (УУ). Арифметическо-логическое устройство служит для выполнения арифметических и логических операций над данными, поступающими либо из памяти, либо из устройств ввода. Устройство управления управляет потоком данных и команд согласно программе. Программа работы МП в виде набора отдельных команд, а также необходимые для вычисления данные хранятся во внешнем запоминающем устройстве (ЗУ). Устройство управления выбирает из памяти команды, дешифрует и выполняет их, переключая соответствующие логические схемы; тем самым обеспечивается необходимая последовательность операций. Связь с внешними устройствами осуществляет устройство ввода-вывода.

Такое построение МП и определяет его основное отличие от дру-

гих типов схем — программное управление, т. е. способность перестраивать свою структуру и изменять выполняемые функции под воздействием подаваемых на него команд. Благодаря этому МП обладают свойством универсальности. Практически без схемотехнических изменений только заменой заранее запрограммированного ЗУ (или его участков) удастся получить устройство, специализированное на выполнении определенной функции, что дает возможность решать различные задачи управления и обработки.

Низкая стоимость МП как стандартных устройств, высокая надежность, малые размеры и потребляемая мощность делают экономически выгодным применение МП не только в ИИС, но и в некоторых цифровых измерительных приборах. Так, в настоящее время разработаны ЦВ, в которых МП используются для управления процессом измерения (например, для автоматического выбора предела измерения у многопределных ЦВ). Однако более целесообразно применять МП в универсальных ЦИП, предназначенных для измерения различных физических величин, — цифровых мультиметрах (ЦМ). В этих приборах процессы измерения разных величин могут существенно отличаться, что приводит к соответствующему изменению структуры приборов и алгоритма их работы. Реализация блока управления ЦМ на интегральных микросхемах малой и средней степеней интеграции ведет к значительному увеличению объема и сложности прибора, снижению его надежности. Использование МП позволяет строить простые и надежные блоки управления. Изменение алгоритма работы прибора осуществляется путем замены участка ЗУ, в котором хранится программа измерения необходимой физической величины.

На МП в ЦМ можно возложить следующие функции:

- управление процессом аналого-цифрового преобразования;
- управление работой преобразователей различных физических величин в напряжение постоянного тока (или в код);

- автоматический выбор пределов измерения;

- управление приборным интерфейсом;

- управление индикатором;

- диагностику неисправностей.

В последних моделях ЦИП микропроцессоры используются также для обработки измерительной информации с целью улучшения метрологических характеристик (линеаризация функции преобразования, коррекция аддитивных и мультипликативных систематических погрешностей, статистическая обработка) или информационных характеристик (сжатие данных). Это приводит в большинстве случаев к улучшению технико-экономических параметров приборов и повышению их надежности за счет использования малого числа элементов высокой степени интеграции.

Применение в измерительной технике микропроцессоров и микро-ЭВМ позволило создать новый класс цифровых программируемых многоканальных измерительных приборов, получивших за рубежом наименование логгеров (от data loggers — регистраторы данных).

Эти приборы способны с высокой скоростью производить преобразования, обработку и отображение массивов аналоговой и цифровой информации.

Основными элементами логгера являются коммутаторы, АЦП, МП или микро-ЭВМ, оперативное (ОЗУ), постоянное (ПЗУ) и перепрограммируемое (ППЗУ) запоминающие устройства, ЦСОИ, пульт оператора и модули сопряжения с внешними периферийными устройствами и ЭВМ высокого уровня.

Современные логгеры являются весьма компактными приборами, построенными по блочно-модульному принципу. Это позволяет вводить в состав логгеров входные и выходные модули в необходимом количестве и в любой момент времени.

Логгеры, содержат 16—100 измерительных каналов. При помощи внешних расширителей число каналов в некоторых моделях может быть увеличено до 1000. Каналы опрашиваются последовательно, причем скорость опроса может регулироваться в широких пределах. Встроенный микропроцессор управляет работой прибора согласно заданной программе. Программа работы логгеров предусматривает выполнение основных задач по измерению, обработке и представлению информации. В программу обработки измерительной информации входят операции масштабирования, линеаризации характеристик датчиков, вычисление экстремальных и средних значений, сравнение с уставками, а также сжатие передаваемых в центральную ЭВМ данных. Обработка измерительной информации производится в реальном масштабе времени. В некоторых моделях в программу введена автокалибровка измерительных цепей, позволяющая существенно увеличить точность измерения. Предусматривается также возможность самоконтроля основных функциональных узлов. В качестве встроенных средств отображения и регистрации используются трех — пятиразрядные цифровые индикаторы, видеодисплеи на электронно-лучевых трубках и буквенно-цифровые печатающие устройства.

Ввод программы в большинстве современных моделей может осуществляться с пульта оператора, с кассетного магнитографа, с перфокарты и т. д. При этом от оператора не требуется специальных знаний в области программирования, что позволяет использовать персонал невысокой квалификации.

Управление логгером при автономной работе производится с пульта оператора, а при включении его в состав более крупной системы сбора и обработки информации — от центрального процессора. По широте своих измерительных и функциональных возможностей логгеры

приближаются к миниатюрным локальным системам сбора и анализа измерительной информации.

Выпускаемые в настоящее время за рубежом разнообразные модели логгеров отличаются различной степенью сложности исполнения, обслуживания и соответственно стоимостью. Поэтому большое внимание при разработке приборов уделяется оптимальному соотношению между стоимостью и их техническими возможностями.

Так, например, логгер типа ORION (Англия) предназначен для работы с термопарами, термометрами сопротивления, тензо- и оптоэлектронными и другими измерительными преобразователями. Измеряемые сигналы могут быть представлены в виде постоянных или переменных напряжений и токов, временных интервалов, частоты, количества импульсов. Число измерительных каналов равно 200 и может быть увеличено до 600. Логгер содержит два микропроцессора, управляющих его работой по заданной программе и выполняющих необходимые вычисления. В частности, осуществляют математические операции по линейаризации характеристик измерительных преобразователей, определению экстремальных значений и некоторых статистических характеристик измеряемых сигналов.

По результатам математической обработки производится допускной контроль измеряемых величин и аварийная сигнализация в случае выхода параметров за заданные пределы.

Программирование прибора осуществляется оператором с пульта управления в диалоговом режиме. Измерительная информация отображается на световом табло в буквенно-цифровом виде.

Для регистрации и документирования полученных результатов в приборе имеются встроенные цифропечатающее устройство для записи на термочувствительной диаграммной ленте и кассетный магнитограф.

Формат записи содержит текстовую информацию (например, вид измеряемой величины), а также цифровую с указанием даты и времени записи, номера канала и самих результатов измерения.

Кассетный магнитограф обеспечивает запись информационного массива объемом до 500 Кбайт. Во время замены кассеты информация запоминается в буферном ОЗУ.

Содержащиеся в логгере устройства сопряжения обеспечивают вывод информации на стандартные периферийные устройства и внешнюю ЭВМ.

Конструктивно логгер выполнен в виде компактного прибора лабораторного типа с габаритными размерами 610×432×241 мм и массой 33 кг.

## 5.8. ЦИФРОВЫЕ ОСЦИЛЛОГРАФЫ

Осциллографические методы измерений благодаря своей наглядности, универсальности и информативности широко применяются для исследования различных процессов. Современные аналоговые электронно-лучевые осциллографы обладают высокой чувствительностью и широким частотным диапазоном, однако их точность ограничена и не соответствует требованиям, предъявляемым научными и практическими задачами.

Проблема повышения точности измерения и представления информации при осциллографировании была решена с разработкой цифровых осциллографов (ЦО), в которых аналоговая измерительная информация преобразуется в дискретную для дальнейшей обработки и отображения.

Аналоговый исследуемый сигнал через унифицирующий преобразователь поступает на вход АЦП. Полученные дискретные отсчеты запоминаются в ОЗУ. Быстродействие АЦП определяет частотный диапазон ЦО. Логико-математическую обработку накопленной в ОЗУ информации, синхронизацию и управление работой блоков и связь ЦО с оператором и внешними устройствами осуществляет процессор. В зависимости от уровня организации ЦО и предъявляемых к нему требований процессор реализуется на логических микросхемах средней и большой степеней интеграции, микропроцессорных наборах или микро-ЭВМ. Программы обработки данных и управления режимами работы ЦО хранятся в ПЗУ программ, в качестве которого используются перепрограммируемые или сменные ПЗУ. Изменяемые части программы могут вводиться с пульта ЦО, фотосчитывающих устройств или путем замены плат ПЗУ. Блоки ЦО связаны между собой внутрисприборной магистралью. Аппаратурная реализация и программное обеспечение процессора определяют функциональные возможности ЦО. Цифровые осциллографы можно использовать в следующих основных режимах работы:

осциллографирование периодических и однократных сигналов, представленных в аналоговой или дискретной формах;

автоматизированного измерения и представления в цифровом виде амплитудных и временных параметров сигналов в абсолютных и относительных единицах (оцифровка);

автоматической записи участков сигнала, выделяемых какими-либо признаками (уровнем, производной и т. д.);

осциллографирования с накоплением полезного сигнала при малых отношениях сигнал/шум;

осциллографирования с адаптацией к амплитудным и временным параметрам сигналов;

логики-математической обработки сигналов по различным программам с целью повышения точности измерения и сжатия информации перед подачей в ЭВМ;

воспроизведения инфранизкочастотных сигналов без эффекта «плывущая точка», при котором на экране вместо непрерывной осциллограммы высвечивается медленно перемещающаяся яркая точка, не позволяющая судить о форме сигнала;

генерирования однократных и периодических сигналов заданной формы в аналоговом и дискретном виде с широким диапазоном изменения временных и амплитудных характеристик, которые могут быть использованы для воздействия на исследуемое с помощью ЦО устройство;

вывода информации в ЭВМ для дальнейшей обработки или на внешние устройства для регистрации в цифровом или аналоговом виде.

Осциллограмма исследуемого сигнала, число-буквенная информация (цифры, буквы, знаки), полученная в результате измерения и обработки, а также необходимые метки и маркеры индицируются средством отображения информации (СОИ). В первых цифровых осциллографах средством отображения информации являлась электронно-лучевая трубка. Однако обработка и хранение информации в цифровом виде позволили применить в современных ЦО новый тип индикатора — плоский матричный экран.

Использование матричных индикаторных панелей (МИП) позволило по сравнению с электронно-лучевыми трубками обеспечить:

равномерную яркость элементов осциллограммы независимо от формы и длительности исследуемого сигнала;

устранение погрешности, обусловленной искажением электронного луча на краях экрана;

возможность накопления информации на МИП с внутренней памятью, что исключает необходимость непрерывного сканирования электронным лучом поверхности экрана для восстановления изображения.

Способность МИП запоминать изображение позволяет представлять изображение в трехмерных координатах, причем третьей координатой служит параметр, характеризующий условие эксперимента (номер канала, номер или рас-

стояние между датчиками и т. д.). Эффект «трехмерного» изображения на плоском экране достигается за счет смещения в определенном направлении каждого последующего изображения и соответствующей модуляции яркости их свечения.

## **Глава шестая**

### **ИНФОРМАЦИОННО-ИЗМЕРИТЕЛЬНЫЕ СИСТЕМЫ**

#### **6.1. ОБЩИЕ СВЕДЕНИЯ**

В 30-х годах в различных отраслях народного хозяйства, особенно в энергетике и нефтяной промышленности, начали развиваться системы для сбора и передачи измерительной информации на значительные расстояния.

История создания подобных систем уходит своими корнями во вторую половину XIX в. В 1876 г. Ф. Ф. Врангель и И. М. Диков разработали систему для измерения уровня воды в реке, которая использовала число-импульсное представление информации. В 1906 г. была построена система для передачи сейсмической информации с индуктивными преобразователями механических величин.

В 1932 г. в отраслевой лаборатории измерений Всесоюзного электротехнического института им. В. И. Ленина была разработана оригинальная фотоимпульсная система для измерения напряжения и мощности. Эта система выпускалась небольшими сериями для энергосистем нашей страны.

В общем случае такие измерительные системы содержали относительно сложные и распределенные в пространстве устройства получения, преобразования и передачи информации (передатчики, расположенные непосредственно на технологическом объекте) и устройство, воспринимающее и отображающее измерительную информацию (приемник), находящееся на центральном пункте сбора информации. При этом расстояние между передатчиком и приемником достигало от сотен метров до тысяч километров. В качестве каналов связи использовались как естественные линии электропередачи, каналы телефонной связи и радиоканалы, так и специально создаваемые проводные каналы связи.

При передаче измерительной информации по каналу связи с целью защиты ее от помех, сокращения объема информации и возможности выделения ее из посторонней информации, имеющейся в естественных каналах связи, в из-



мерительных системах использовались простейшие виды модуляции.

Как правило, такие системы строились одноканальными, и к ним не предъявлялось особых требований по обеспечению высокой точности и быстродействия. Указанные системы получили название телеизмерительных систем, которые в дальнейшем явились прототипом современных информационно-измерительных систем.

Что такое информационно-измерительная система? Чем она отличается от измерительного прибора? Какова область ее применения? На эти и другие не менее важные вопросы постараемся дать ответ в данной главе.

Послевоенный этап развития народного хозяйства нашей страны характеризуется созданием новых производств и технологий, переходом на всеобщую автоматизацию технологических процессов, расширением и усложнением научных исследований и всесторонних испытаний образцов новой техники. Все это потребовало разработки новых средств измерений, обеспечивающих получение информации, ее первичную обработку в реальном масштабе времени и при ограниченном участии человека.

Поставленная задача частично была решена в конце 50-х годов, которые можно считать временем появления первых информационно-измерительных систем. Эти системы были выполнены по принципу и на основе существующих телеизмерительных систем, но обладали большими функциональными возможностями. В них была предусмотрена автоматизация сбора и простейшая первичная обработка информации.

Появление первых ИИС и связанная с этим разработка теории их проектирования привели к тому, что в начале 60-х годов электроизмерительная техника вступила в новую фазу своего развития и получила название информационно-измерительной техники.

При этом были сформулированы требования, предъявляемые к ИИС, дано ее определение, которое раскрывает назначение и функциональные возможности системы и в современной интерпретации звучит следующим образом:...

ИИС — это совокупность технических средств, выполненных в блочно-модульном исполнении, объединенных общим алгоритмом функционирования, обладающая набором нормированных метрологических характеристик и предназначенная для автоматического (автоматизированного) получения информации непосредственно от объекта, преоб-

разования ее, передачи, измерения, обработки, хранения и представления в форме, доступной для восприятия оператором и (или) ввода в управляющую систему.

Таким образом, ИИС представляет собой сложный измерительный комплекс, включающий в свой состав не только измерительные преобразователи, но и средства вычислительной техники — ЭВМ различной мощности, предназначенные не только для обработки измерительной информации, но и для реализации процесса измерения (например, тестовых или итерационных алгоритмов), а также управления процессом получения информации (управление системными коммутаторами, таймерами и т. д.).

Часто даже среди специалистов возникает вопрос: где кончается измерительный прибор и начинается ИИС, и почему прибор, также предназначенный для получения измерительной информации, не называется ИИС?

Определение ИИС позволяет провести грань различия между измерительными приборами, обладающими ограниченными функциональными возможностями и выполняемыми обычно из небольшого числа измерительных преобразователей, объединенных в едином корпусе, и ИИС. Она заключается в том, что ИИС позволяет осуществлять:

- 1) непосредственную связь с объектом исследования;
- 2) обработку измерительной информации;
- 3) централизованное автоматическое (автоматизированное) управление;
- 4) многоканальные измерения различных физических величин.

Эти наиболее характерные признаки в комплексе присущи только измерительной системе, но каждый в отдельности может существовать и в измерительном приборе.

За время своего существования информационно-измерительные системы прошли три этапа развития.

На первом этапе ИИС представляли собой автоматизированные аналоговые системы, в которых осуществлялась первичная обработка информации при помощи функциональных преобразователей или простейших арифметических устройств (электрохимических и электронных). В них использовался циклический и адресный сбор информации с пульта оператора. При передаче информации использовалась в основном модуляция на постоянном токе. Информационно-измерительные системы первого поколения строились на электрохимических и электронно-ламповых эле-

ментах; они обладали малым быстродействием, имели низкую точность и надежность.

Интенсивное развитие цифровой техники привело в конце 60-х годов к созданию второго поколения ИИС — цифровых измерительных систем, в которых обработка информации производилась при помощи специализированных электронных цифровых вычислительных машин (ЭЦВМ). При этом программное управление процессом сбора информации осуществлялось при помощи ЭВМ, а циклический и адресный опрос по жесткой программе — при помощи автономных блоков управления, расположенных на пульте оператора.

Информационно-измерительные системы второго поколения имели значительно более высокое быстродействие и точность. Применение в них многоступенчатых управляемых коммутаторов позволило значительно увеличить число измерительных каналов. Впервые при построении ИИС был использован принцип блочно-модульной компоновки. Измерительные системы этого поколения начали впервые серийно выпускаться промышленностью (К-200, К-484 и т. д.). Однако существенным недостатком серийных ИИС являлось отсутствие в их составе первичных преобразователей.

Третье поколение ИИС возникло в середине 70-х годов и связано с развитием микроэлектроники, появлением микросхем средней и большей степеней интеграции, развитием средств вычислительной техники, разработкой микропроцессоров, мини- и микро-ЭВМ.

Оно характеризуется созданием неких универсальных ядер, вокруг которых могут быть сформированы ИИС для массового сбора измерительной информации, как в условиях производства, так и при научных исследованиях. Эти ядра объединяют в своем составе средства измерительной и вычислительной техники, выполняются в блочно-модульном исполнении, а для программного управления работой модулей и объединения их в систему используются стандартные цифровые интерфейсы. Они получили название измерительно-вычислительных комплексов (ИВК). Использование в ИИС универсальных и управляющих мини- и микро-ЭВМ расширило ее функциональные возможности. Значительно увеличился массив обрабатываемой информации, резко возросла скорость обработки; появилась возможность алгоритмизации процесса измерения с целью повышения его точности; за счет наличия в составе изме-

рительных преобразователей, входящих в стандартный ИВК, прецизионных калибраторов удается осуществлять сервисное обслуживание ИИС (калибровку).

Промышленностью выпускается несколько типовых и проблемно-ориентированных ИВК (ИВК-1, ИВК-2, ИВК-3, ИВК «Гамма» и т. д.).

В скором времени появится четвертое поколение ИИС, в которых будут использоваться многофункциональные (ансамблевые) первичные измерительные преобразователи, позволяющие осуществлять преобразование нескольких однородных или разнородных физических величин. Получение информации, преобразование и предварительная обработка будут осуществляться на самом нижнем уровне иерархии ИИС встроенным в первичный преобразователь микропроцессором, что значительно сократит потоки информации, циркулирующей в системе. Расширится сервисное обслуживание: путем самодиагностики, а также анализа влияющих факторов можно будет осуществлять в ИИС необходимые профилактические мероприятия и выбирать соответствующий алгоритм измерения. Применение многопроцессорных систем позволит, с одной стороны, разделить функции обработки и управления, а с другой стороны, значительно повысить быстродействие ИИС за счет одновременного измерения нескольких параметров и параллельной их обработки. Быстродействие будет повышено также за счет применения универсальных и быстрых интерфейсов. Использование волоконно-оптических каналов связи значительно повысит помехоустойчивость ИИС.

## **6.2. ИНФОРМАЦИОННАЯ МОДЕЛЬ**

При проектировании ИИС по заданным техническим и эксплуатационным характеристикам возникает задача, связанная с выбором рациональной структуры и набором технических средств для ее построения. Структура ИИС в основном определяется методом измерения, положенным в ее основу, а количество и тип технических средств — информационным процессом, протекающим в системе. Оценку характера информационного процесса и видов преобразования информации можно произвести на основании анализа информационной модели ИИС.

Так как ИИС является многоканальной и содержит в своем составе устройства обработки измерительной информации и банки данных, с которыми происходит непрерыв-

ный обмен информации, информационные связи в ИИС сложные, и построение информационной модели системы является трудоемким процессом, а сама модель настолько сложна, что затрудняет решение поставленной задачи.

В связи с тем, что в ИИС третьего поколения обработка информации осуществляется в основном универсальными ЭВМ, являющимися структурным компонентом ИИС, и при проектировании последней они выбираются из ограниченного ряда серийных ЭВМ, то информационную модель ИИС можно упростить, сведя ее к модели измерительного ка-

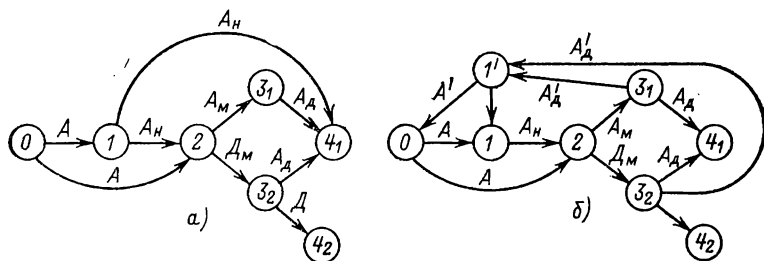


Рис. 6.1. Информационная модель ИИС

нала (ИК). Во всех измерительных каналах ИИС, включающих в себя элементы информационных процессов от отбора информации у объекта исследования или управления до ее отображения или обработки и запоминания, содержится некоторое ограниченное количество видов преобразования информации. Объединив все виды преобразования информации в одном измерительном канале и выделив последний из состава ИИС, а также имея в виду, что на входе измерительной системы всегда действуют аналоговые сигналы, получим две модели (рис. 6.1, а, б).

Информационная модель, приведенная на рис. 6.1, а, описывает весь класс ИК, предназначенных для реализации прямых измерений, а модель на рис. 6.1, б соответствует измерению с обратным преобразованием информации. Действительно, любой процесс преобразования и получения (измерения) информации может быть представлен в виде приведенных моделей. Даже такой сложный алгоритм преобразования информации, как тестовый, может быть разбит на три независимых последовательных информационных процесса, каждый из которых соответствует модели на рис. 6.1, а.

На моделях, в узлах  $0—4$  происходит преобразование информации. Стрелки указывают направление информационных потоков, а их буквенные обозначения — вид преобразования. Узел  $0$  является выходом объекта исследования или управления, на котором формируется аналоговая информация  $A$ , определяющая состояние объекта. Информация  $A$  поступает в узел  $1$ , где она преобразуется к виду  $A_n$ , удобному для дальнейших преобразований в системе. В узле  $1$  могут осуществляться преобразования неэлектрического носителя информации в электрический, усиление последнего, масштабирование, линеаризация и т. д., т. е. нормирование параметров носителя информации  $A$ .

В узле  $2$  нормированный носитель информации  $A_n$  для передачи по линии связи модулируется и представляется в виде аналогового  $A_m$  либо дискретного  $D_m$  сигнала.

Аналоговая информация  $A_m$  в узле  $3_1$  демодулируется и поступает в узел  $4_1$ , где она измеряется и отображается.

Дискретная информация в узле  $3_2$  либо преобразуется в аналоговую информацию  $A_d$  и поступает в узел  $4_1$ , либо после цифрового преобразования поступает на средство отображения цифровой информации или в устройство ее обработки.

В некоторых ИК нормированный носитель информации  $A$  из узла  $1$  сразу поступает в узел  $4_1$  для измерения и отображения. В других ИК аналоговая информация  $A$  без операции нормирования сразу поступает в узел  $2$ , где она дискретизируется.

Таким образом, информационная модель (рис. 6.1, *а*) имеет шесть ветвей, по которым могут передаваться потоки информации: аналоговые ветви  $0—1—2—3_1—4_1$  и  $0—1—4_1$  и аналого-дискретные  $0—1—2—3_2—4_1$ ,  $0—1—2—3_2—4_2$  и  $0—2—3_2—4_1$ ,  $0—2—3_2—4_2$ . Ветвь  $0—1—4_1$  не используется при построении измерительных каналов ИИС, а применяется лишь в автономных измерительных приборах, и потому в модели на рис. 6.2, *б* она не показана.

Модель, приведенная на рис. 6.1, *б*, отличается от модели на рис. 6.1, *а* лишь наличием ветвей  $3_2—1'—0$ ,  $3_1—1'—0$ ,  $3_1—1'—1$ , по которым осуществляется обратная передача аналогового носителя информации  $A'_d$ . В узле  $1'$  выходной носитель аналоговой информации  $A'_d$  преобразуется в однородный с носителем входной информации  $A$  или носителем нормированной информации  $A_n$  сигнал  $A'$ . Компенсация может быть осуществлена как по  $A$ , так и по  $A_n$ .

Анализ информационных моделей измерительных каналов ИИС показал, что при построении ее на основе метода прямого измерения возможны лишь пять вариантов структур, а при использовании методов измерения с обратным преобразованием информации 20.

В подавляющем большинстве случаев (особенно при построении ИИС для удаленных объектов) обобщенная информационная модель ИК ИИС имеет вид, показанный на рис. 6.1, а, а наибольшее распространение получили аналого-дискретные ветви  $0-1-2-3_2-4_2$  и  $0-2-3_2-4_2$ . Как видно, для указанных ветвей число уровней преобразования информации в ИК не превышает трех.

Так как в узлах располагаются технические средства, осуществляющие преобразование информации, то, учитывая ограниченное число уровней преобразования, их можно объединить в три группы. Это позволит при разработке ИК ИИС выбрать нужные технические средства для реализации той или иной структуры.

Группа технических средств узла 1 включает в себя весь набор первичных измерительных преобразователей, а также унифицирующие (нормирующие) измерительные преобразователи (УИП), осуществляющие масштабирование, линеаризацию, преобразование мощности и т. д., блоки формирования тестов и образцовые меры.

В узле 2 в случае наличия аналого-дискретных ветвей располагается другая группа средств измерения: аналого-цифровые преобразователи (АЦП), коммутаторы  $K_m$ , служащие для подключения соответствующего источника информации к ИК или устройству обработки, а также каналы связи (КС).

Третья группа (узел  $3_2$ ) объединяет в своем составе преобразователи кодов (ПК), цифро-аналоговые преобразователи (ЦАП) и линии задержки (ЛЗ).

Таким образом, информационная модель ИК ИИС позволяет перейти к его структуре по схеме, которая для ветви  $0-1-2-3_2-4_2$  имеет вид, представленный на рис. 6.2.

На рис. 6.2  $ПП$  — первичный преобразователь;  $ПК$  — преобразователь кодов;  $K_d$  — ключевой элемент управляемого коммутатора  $K_m$ .

Приведенная структура ИК, реализующая метод прямых измерений, показана без управляющих работой коммутационным элементом и АЦП связей. Она является типовой, и на ее основе строится большинство многоканальных ИИС, особенно ИИС дальнего действия.

Обобщенная структурная схема многоканальной автоматизированной ИИС представлена на рис. 6.3. Принцип действия ее заключается в следующем.

Измерительная информация от объекта исследования, представленная в виде физических величин  $x_1, x_2, \dots, x_n$ , преобразуется соответствующими  $ПП_i$  и  $УИП_i$  и при помощи системного коммутатора  $К_m$  подключается ко входу АЦП, а затем поступает в канал связи  $КС$ . С выхода  $КС$

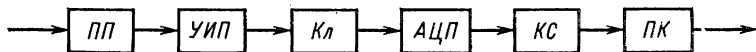


Рис. 6.2. Структурная схема измерительного канала ИИС

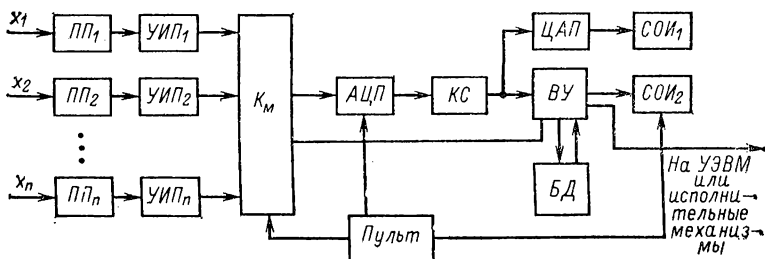


Рис. 6.3. Обобщенная структурная схема ИИС

измерительная информация в виде некоторого кода поступает на вход вычислительного устройства  $ВУ$ , где происходит ее обработка. Вычислительное устройство осуществляет непрерывный обмен информацией с банком данных  $БД$ , в котором находятся заданные нормы, коэффициенты, хранится оперативная информация и т. д. Результаты обработки поступают одновременно или поочередно на средства отображения цифровой информации  $СОИ_2$ , в управляющую ЭВМ ( $УЭВМ$ ) или непосредственно на исполнительные механизмы, регулирующие состояние объекта. При необходимости аналогового представления измерительной информации последняя с выхода  $КС$  поступает на цифро-аналоговый преобразователь  $ЦАП$ , а затем на средства отображения аналоговой информации  $СОИ_1$  (графопостроитель, электронно-лучевую трубку).

Программное управление системой, а именно работой  $К_m$ ,  $АЦП$  и  $СОИ$ , осуществляется либо вычислительным



устройством, либо автономным блоком управления с пульта оператора.

Приведенная структура ИИС является одной из самых распространенных. Однако в зависимости от назначения и требований, предъявляемых к измерительной системе, может быть реализовано еще несколько типовых структур многоканальных ИИС.

Многоканальные ИИС представляют собой самый распространенный и наиболее обширный класс измерительных систем.

В промышленности и сельском хозяйстве, в медицине и военном деле, при научных исследованиях и комплексных испытаниях образцов новой техники используются быстродействующие, высокоточные и надежные ИИС. Сложность технологических объектов, характеризующихся большим числом потоков информации, распределенность их в пространстве требует наличия многоканальных измерительных структур. В настоящее время уже редко можно встретить одноканальные измерительные системы, предназначенные для измерения

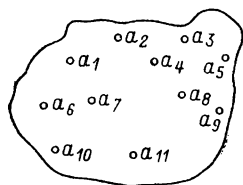


Рис. 6.4. Модель информационного поля

одного параметра, локализованного на технологическом объекте. Это объясняется тем, что состояние технологических объектов определяется не одним, а рядом параметров, которые необходимо не только измерять, но и совместно обрабатывать. Поэтому создание нескольких одноканальных ИИС, имеющих одинаковые функциональные блоки с последовательной обработкой результатов их измерения на автономных универсальных ЭВМ, неэффективно.

Так как современный объект исследования можно представить в виде распределенного в пространстве информационного поля, то для оценки состояния объекта оперативную информацию необходимо получать из нескольких источников информации (точки  $a_i$ ) информационного поля  $\{a_i\}$ , рис. 6.4.

Существует несколько способов получения информации от распределенных объектов.

Один из способов предусматривает наличие одного датчика, который путем перемещения в пространстве (сканирования) позволяет получать информацию от всех источни-

ков  $a_i$  информационного поля объекта. Этот способ используется лишь в том случае, когда физические величины, характеризующие состояние объекта, являются однородными (например, исследование температурных полей, распределения зарядов в пространстве, электрохимических свойств океанской или морской воды и т. д.).

Другой способ заключается в том, что во всех точках  $a_i$  располагаются соответствующие первичные преобразователи, а информацию получают путем последовательного или одновременного опроса каждого ПП.

Этот способ получения информации применяется в том случае, когда необходимо измерять разнородные физические величины, несущие информацию о состоянии исследуемого объекта (например, перемещение, температуру, влажность, заряды и т. д.).

Таким образом, по способу получения информации от объекта исследования многоканальные ИИС можно объединить в две группы: 1) ИИС последовательного действия; 2) ИИС параллельного действия.

Информационно-измерительные системы последовательного действия, если придерживаться терминологии, используемой в [23], включают в свой состав сканирующие многоточечные и мультиплицированные системы. В указанных ИИС, так же как и в структуре, приведенной на рис. 6.3, используются специфические для измерительных систем унифицирующие измерительные преобразователи и коммутаторы. Так как эти устройства практически не используются в измерительных приборах, то принципы их построения не рассматривались в соответствующих параграфах. Однако в ИИС они играют немаловажную роль, и их следует более подробно рассмотреть.

### **6.3. УНИФИЦИРУЮЩИЕ ИЗМЕРИТЕЛЬНЫЕ ПРЕОБРАЗОВАТЕЛИ**

В современных ИИС используется большое количество разнообразных первичных измерительных преобразователей, которые различаются как по физическим принципам работы, видам естественных выходных сигналов, так и по их динамическим диапазонам и мощности.

Для согласования первичного преобразователя с устройствами системы его выходной сигнал должен быть унифицирован, т. е. отвечать некоторым требованиям по уровню, мощности, виду носителя информации и т. д., которые определяются соответствующими ГОСТ. Так, в

соответствии с ГОСТ 9895—78 в качестве носителя информации приняты электрические сигналы постоянного и переменного токов.

Уровни постоянного тока в системе должны изменяться в следующих пределах: 0—5 мА; —0,5—0—5 мА; 0—20 мА; —20—0—20 мА; 4—20 мА; —100—0—100 мА.

В информационно-измерительных системах дальнего действия рекомендуется использовать следующие сигналы: 0—5 мА; 0—20 мА; 4—20 мА.

Уровни напряжения постоянного тока должны соответствовать следующим значениям: 0—10 мВ; —10—0—10 мВ; 0—20 мВ; 0—50 мВ; 0—100 мВ; —100—0—200 мВ; 0—1 В; —1—0—1 В; 0—5 В; —5—0—5 В; 1—5 В; 0—10 В; —10—0—10 В.

Для проведения дистанционных измерений рекомендуются сигналы 0—1 В; 0—5 В; 1—5 В.

При этом лимитируются следующие нагрузочные сопротивления: 2,5 кОм для сигналов 0—5 мА; —5—0—5 мА;

1 кОм для сигналов 0—20 мА; —20—0—20 мА; 4—20 мА;

250 Ом для сигналов —100÷+100 мА.

Унифицирующие измерительные преобразователи с токовым выходом, как правило, используются в ИИС дальнего действия, где требуется передача сигналов на сравнительно большие расстояния с невысокой погрешностью и без особых требований к линии связи; УИП с токовым выходом должен иметь высокое выходное сопротивление ( $R_{вых} \rightarrow \infty$ ).

Сигнал 0—10 В применяется в ИИС как основной сигнал связи внутри системы, так как между отдельными блоками и узлами систем практически нет длинных линий связи, и эти блоки являются преобразователями напряжения. Использование уровня напряжения в качестве унифицированного сигнала требует низкого выходного сопротивления УИП ( $R_{вых} \rightarrow 0$ ), большого входного сопротивления следующих за УИП устройств и предъявляет повышенные требования к стабильности параметров линии связи.

Применение сигналов с так называемым подавленным нулем, т. е. 1,0—5 В; 4,0—20,0 мА, имеет ряд положительных качеств:

1) возможность контроля исправности первичного преобразователя и ИИС в целом при начальном уровне входного сигнала  $x=0$ ;

2) возможность применения одной двухпроводной линии связи для передачи входного сигнала и осуществления питания и т. д.

Широкое использование средств микроэлектроники в современных ИИС потребовало введения в ряд унифицированных сигналов напряжения постоянного тока 0—5 В. Целесообразность его введения заключается в том, что:

1) переход на сигнал 5 В (1 мА) не повлечет за собой ухудшения метрологических характеристик системы;

2) существенно облегчается производство микросхем частного применения, поскольку для обеспечения выхода 5 В (1 мА) достаточно иметь бескорпусные транзисторы с предельным напряжением коллектор — эмиттер 15—20 В и допустимой мощностью рассеяния 30—50 мВт;

3) повышается надежность;

4) снижается потребляемая мощность.

На переменном токе в качестве унифицированных должны применяться сигналы переменного напряжения следующего уровня: —1,0—0—1,0 В; 0—2,0 В. При этом частота сигнала должна соответствовать 50 или 400 Гц. Кроме сигналов напряжения переменного тока, ГОСТ 14853—76 разрешается применение в ИИС частотных сигналов 2—4 кГц; 4—8 кГц при амплитудах 60—160 мВ; 160—600 мВ; 0,6—2,4 В; 2,4—12,0 В.

Сигналы переменного напряжения применяются в ИИС в значительно меньшей степени, чем унифицированные сигналы постоянного тока и напряжения. Они применяются в основном при использовании преобразователей ферродинамической системы.

Частотные сигналы используются для дистанционной передачи информации, а также в условиях сильных промышленных помех.

Для преобразования выходных сигналов ПП в унифицированные применяется ряд нормирующих преобразователей, выпускаемых как самостоятельные технические средства. На вход нормирующих преобразователей могут подаваться естественные сигналы первичных преобразователей различных физических величин (ЭДС, сопротивление, частота, перемещение, усилие и т. д.), а на выходе формируются соответствующие унифицированные сигналы.

Группа средств, обеспечивающих унификацию сигнала между его источником или выходом первичного преобразователя и входом вторичного устройства, относится к классу унифицирующих измерительных преобразователей (УИП). Другими словами, унифицирующий измерительный преобразователь — это вторичный измерительный преобразователь с унифицированным выходом.

Различают индивидуальные, групповые и многоканальные УИП. Индивидуальные УИП обслуживают один первичный преобразователь и включаются между первичным преобразователем и коммутатором или последующим измерительным преобразователем.

Они используются для унификации сигналов при сравнительно небольшом количестве измеряемых параметров и при ограниченном времени измерения, не позволяющем использовать групповые УИП.

Индивидуальные УИП позволяют производить также преобразование одного унифицированного сигнала в другой, гальваническую развязку входных цепей, размножение входного сигнала по нескольким выходам,

Однако применение в каждом ИК ИИС своего УИП, представляющего собой сложное техническое средство и располагаемого вместе с ПП непосредственно на объекте исследования, не только усложняет систему, но и значительно снижает ее надежность и экономическую эффективность.

С этой точки зрения более эффективными являются групповые УИП, обслуживающие определенную группу первичных преобразователей, выходные сигналы которых представляют собой однородные физические величины. Они располагаются в ИИС после коммутатора и управляются совместно с последним блоком управления. При подключении очередного ПП характеристики группового УИП перестраиваются в соответствии с параметрами выходного сигнала ПП. При этом важной характеристикой УИП является скорость перестройки его характеристик, так как она определяет быстродействие ИИС в целом.

Обычно при построении многоканальных ИИС разнородных физических величин последние группируются по роду физической величины и каждая группа подключается к соответствующему групповому УИП.

Если измеряемые физические величины в основном разнородные, то в измерительных системах могут применяться многоканальные УИП, которые представляют собой объединенные в одном корпусе или одной плате несколько индивидуальных УИП. Преобразование информации осуществляется по  $n$  входам и  $n$  выходам. Основной конструктивной особенностью многоканального УИП является использование общих источника питания и системы контроля для всех индивидуальных УИП. Многоканальные УИП найдут широкое применение в ИИС четвертого поколения (многопроцессорных ИИС) для одновременного и непрерывного преобразования информации по всем ИК ИИС.

К УИП предъявляются те же требования, что и к любому измерительному преобразователю. Это обеспечение высокой точности, помехоустойчивости, метрологической и эксплуатационной надежности. Повышение метрологических характеристик УИП, с одной стороны, может быть решено конструктивным путем — использованием современных микроэлектронных компонентов. Использование операционных усилителей в интегральном исполнении дает возможность строить УИП, отличающиеся от своих предшественников более высокими метрологическими характеристиками при равной стоимости и надежности.

Другой путь совершенствования УИП заключается в применении алгоритмических методов измерения, обладающих повышенной точностью. Уже созданы групповые УИП, имеющие основную погрешность 0,1 %, время установления 30—50 мс, диапазон 0—10 мВ.

Недостатками выпускаемых промышленностью групповых УИП являются значительные габаритные размеры и масса источников питания, включающих в себя силовые трансформаторы, электролитические конденсаторы и пр. В настоящее время ведутся работы по использованию

пьезокерамических преобразователей напряжения, обладающих высоким КПД и позволяющих преобразовывать напряжение частоты 50 Гц в высокочастотное напряжение, при фильтрации которого могут быть использованы конденсаторы малой емкости.

Перспективным направлением улучшения параметров УИП является использование оптоэлектронных схем гальванического разделения цепей. Уже выпускаются усилители с разделением цепей на основе светодиодов и фототранзисторов, обладающие высокими метрологическими характеристиками.

Серьезной проблемой является обеспечение помехоустойчивости УИП. В групповых УИП решение этой задачи вступает в противоречие с требованиями повышения быстродействия. Проблему помехоустойчивости нужно рассматривать комплексно для всего измерительного канала. Подавление помехи может быть достигнуто использованием экранировки измерительного канала, использованием эффективных фильтров на входе ИИС и т. д. Представляет интерес использование в УИП принципов подавления, применяемых при построении цифровых измерительных устройств.

Значительное подавление помех может быть достигнуто при обработке измерительной информации по специальному алгоритму, так как возможности подавления помехи непосредственно в УИП ограничены.

Основные функции, выполняемые УИП, сводятся к линейным (масштабирование, установление нуля, температурная компенсация) и нелинейным (линеаризация) преобразованиям выходных сигналов ПП.

При линейной характеристике первичного преобразователя УИП выполняет линейные операции, которые называются масштабированием. Задача, решаемая при этом унифицирующими элементами, заключается в следующем. Если выходной сигнал ПП меняется от  $y_1$  до  $y_2$ , а динамический диапазон выходного сигнала УИП должен лежать в пределах от 0 до  $z$  ( $z > y_2 - y_1$ ), то для совмещения начала динамических диапазонов УИП и первичного преобразователя к сигналу ПП должен быть добавлен сигнал  $-y_1$ , а затем суммарный сигнал должен быть усилен в

$$k = z / (y_2 - y_1) \text{ раз.}$$

Возможен также вариант, при котором выходной сигнал ПП сначала усиливается, а потом совмещаются начала динамических диапазонов.

Если смещение динамических диапазонов ПП и УИП велико, то в случае, когда сначала производится масштабирование (усиление), а затем совмещение начала динамических диапазонов, нужно обеспечить существенное превышение динамического диапазона УИП над динамическим диапазоном выходного сигнала ПП.

Первый вариант приведения выходного сигнала ПП к унифициро-

ванному виду обычно используется в индивидуальных УИП, а второй — в групповых.

Следует иметь в виду, что масштабирование сигналов связано с введением дополнительных погрешностей в конечный результат измерения.

Довольно часто на практике, особенно при измерении температуры, встречается случай, когда  $y_1 \neq 0$ . Это объясняется наличием начального сопротивления резистивного термопреобразователя и соединительных

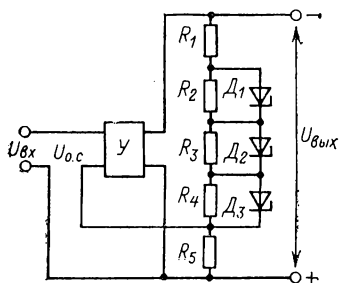


Рис. 6.5. Структурная схема УИП

линий между ним и его измерительной схемой, наличием термо-ЭДС холодного спая термопар и т. д. В этом случае необходимо применять компенсацию  $y_1$ . Так, для компенсации температуры холодного спая при применении термопар можно использовать неуравновешенный мост с выходным делителем напряжения на резисторах, позволяющим получать смещение напряжения  $y_1$  для различных типов термопар с учетом температуры окружающей среды. Унифицирующий измерительный преобразователь включается в измерительную цепь после ПП.

Так как связь между выходным сигналом  $y$  ПП и измеряемым параметром  $x$  чаще всего нелинейная (например, у термопар, платиновых термопреобразователей сопротивления и т. д.), кроме линейной операции  $z = z_0 + ky$ , УИП должен выполнять операцию линейризации. Эта операция нужна для того, чтобы выходной сигнал УИП  $z_{вых}$  линейно зависел от измеряемого параметра, т. е.  $z_{вых} = z_0 + k_{УИП} x$ , где  $k_{УИП}$  — коэффициент преобразования УИП.

Обычно  $z$  и  $z_{вых}$  совпадают в начале и конце динамического диапазона. Тогда линейризация заключается в спрямлении функции преобразования ПП. В этом случае линейризирующая функция должна иметь вид обратной функции преобразования ПП.

Для линейризации функции преобразования в УИП используются специальные нелинейные звенья. Они могут включаться до линейного унифицирующего преобразователя, после него или в цепь обратной связи усилителя, используемого для изменения масштаба измеряемой величины. При этом для получения линейной зависимости выходного сигнала УИП от измеряемого параметра функция преобразования цепи обратной связи должна иметь такой же вид, как и функция преобразования ПП. Чаще всего линейризация достигается кусочно-линейной аппроксимацией и выполняется, как правило, с помощью цепочки после-

довательно соединенных резисторов, шунтированных стабилитронами или диодами  $D_1 — D_3$  (рис. 6.5).

С ростом  $U_{\text{вых}}$  увеличивается ток делителя и падение напряжения на каждом из резисторов  $R_1 — R_5$ . Как только падение напряжения на каком-либо из резисторов достигает напряжения пробоя соответствующего стабилитрона, стабилитрон начинает шунтировать этот резистор. Сопротивления резисторов подбираются таким образом, чтобы получать требуемую зависимость напряжения обратной связи  $U_{\text{ос}}$  инвертирующего усилителя  $У$ , снимаемого с резистора  $R_5$ , от выходного напряжения усилителя  $U_{\text{вых}}$ .

Число участков аппроксимации и размер каждого из них определяются заданной погрешностью аппроксимации.

Типовой аналоговый УИП содержит в своем составе выходной усилитель, устройство гальванической развязки, функциональный преобразователь, линеаризующий сигнал первичного преобразователя, выходной усилитель, стабилизированный источник питания.

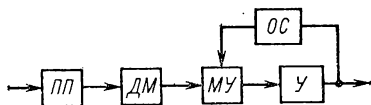


Рис. 6.6. Структурная схема УИП типа НП-ПЗ

В настоящее время промышленностью серийно выпускаются индивидуальные УИП для преобразования сигналов широкого круга преобразователей [тензорезисторных (ПА-1), термоэлектрических (Ш72, ПТ-ТП-68), термопреобразователей сопротивления (ШЭ1, ПТ-ТС-68) и др.] в унифицированный электрический сигнал.

Некоторые первичные преобразователи в качестве выходного имеют сигнал переменного тока. Такой сигнал модулируется либо по амплитуде, либо по частоте.

Амплитудно-модулированный сигнал характерен для дифференциально-трансформаторных, ферродинамических, а также резистивных преобразователей.

Рассмотрим структурную схему УИП типа НП-ПЗ, предназначенного для преобразования переменного напряжения датчиков давления, перепада давления, расхода, уровня, паросодержания в унифицированный сигнал постоянного тока 0—5 мА (рис. 6.6).

Переменное напряжение с дифференциально-трансформаторного ПП демодулятором ДМ преобразуется в пропорциональное напряжение постоянного тока, которое усиливается магнитным МУ и электронным У усилителями постоянного тока, охваченными глубокой отрицательной обратной связью через устройство обратной связи ОС, позволяющее при необходимости линеаризовать характеристику первичного преобразователя.

Частотный ПП в общем случае представляет собой генератор, в



частотно-зависимую цепь которого включен чувствительный элемент. Вследствие этого в частотных ПП при равенстве нулю измеряемого параметра выходная частота отличается от нуля. У большинства генераторов функция преобразования нелинейна. Поэтому унифицирующие измерительные преобразователи, работающие с частотными ПП, должны выполнять те же функции, что и УИП амплитудных ПП.

#### 6.4. ИЗМЕРИТЕЛЬНЫЕ КОММУТАТОРЫ

Современные ИИС осуществляют, как правило, измерение большого числа физических величин. Отбор информации при этом осуществляется периодическим подключением на определенное время датчиков измерительной информации ко входу АЦП или канала связи. Устройство, которое преобразует пространственно-разделенные аналоговые сигналы в сигналы, разделенные во времени, и наоборот, называется коммутатором сигналов.

Кроме временного разделения каналов, коммутаторы используются в ИИС для подключения выходных сигналов в определенной последовательности к устройствам представления информации, для распределения сигналов, несущих служебную информацию, для формирования сложных сигналов специальной формы и т. д.

Так как коммутатор, являясь элементом измерительной системы, представляет собой измерительный преобразователь, параметры которого определяют параметры всей системы в целом, то метрологические характеристики коммутаторов, применяемых в информационно-измерительной технике, нормируются. Коммутаторы с нормируемыми метрологическими характеристиками получили название измерительных коммутаторов.

В общем случае измерительный коммутатор представляет собой совокупность ключевых элементов различной конструкции и принципа действия, управляемых различными устройствами управления. Коммутаторы различаются по точности, быстродействию, уровню коммутируемых сигналов, числу каналов и т. д.

По точности измерительные коммутаторы подразделяются на низкоточные (с погрешностью  $\gamma \geq 1,0\%$ ), средней точности ( $\gamma = 1,0 \div 0,05\%$ ) и высокоточные ( $\gamma < 0,05\%$ ).

Аналогично по быстродействию коммутаторы выполняются с низким быстродействием (время переключения  $T_{\text{п}} > 0,1$  мс), со средним быстродействием ( $0,1 \text{ мс} > T_{\text{п}} > 1,0$  мкс) и быстродействующими ( $T_{\text{п}} < 1,0$  мкс).

По числу коммутируемых каналов  $m$  измерительные коммутаторы подразделяются на малоканальные ( $m < 10$ ), среднеканальные ( $100 > m > 10$ ) и многоканальные ( $m > 100$ ).

Погрешность измерительного коммутатора является важным метрологическим параметром, определяющим не только пригодность коммутатора для преобразования сигналов различных уровней, но и сложность его изготовления. Результирующая погрешность коммутатора определяется погрешностью каждого ключевого элемента, а также влиянием их друг на друга.

Ключевой элемент измерительного коммутатора представляет собой контактное или бесконтактное реле (ключ), включенное в ту или иную электрическую цепь, образующую электрический четырехполюсник.

Существуют два способа включения ключа в цепь четырехполюсника: последовательный, когда ключ подключается последовательно к источнику коммутируемого напряжения, и параллельный, когда ключ подключается параллельно источнику напряжения, шунтируя его в замкнутом состоянии.

Параллельное подключение ключа по сравнению с последовательным используется значительно реже. Поэтому анализ погрешности измерительного коммутатора проведем для последовательного подключения ключа.

На рис. 6.7 приведена эквивалентная схема ключевого элемента измерительного коммутатора.

Положение 1 условного переключателя  $\Pi$  соответствует открытому состоянию ключа, а положение 2 — закрытому.

Основными параметрами, характеризующими работу ключевого элемента в открытом состоянии, являются сопротивление  $R_0$  и напряжение  $U_0$ , действующее на выходе ключевого элемента при  $U_{вх} = 0$ .

В закрытом состоянии основными параметрами ключевого элемента являются сопротивление  $R_з$  и ток  $I_0$ , генерируемый ключом.

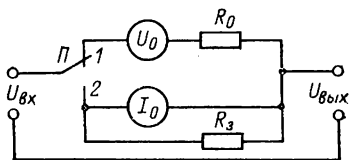


Рис. 6.7. Эквивалентная схема ключевого элемента

В идеальном случае (идеальный ключевой элемент)  $R_{\text{обр}}=0$ ,  $U_0=0$ ,  $I_0=0$ ,  $R_3=\infty$ . Однако в реальных ключевых элементах значения указанных параметров отличаются от идеальных. В результате возникает погрешность, зависящая не только от конструкции и принципа действия используемого ключа, но и от параметров коммутируемого сигнала, температуры окружающей среды, числа каналов и ряда других факторов.

В общем виде связь между входным  $U_{\text{вх}i}$  и выходным  $U_{\text{вых}i}$  напряжениями  $i$ -го ключевого элемента  $m$ -канально-го измерительного коммутатора описывается сложным уравнением. Это объясняется взаимным влиянием ключевых элементов коммутатора, находящихся в закрытом состоянии.

Однако если предположить, что все ключевые элементы в закрытом состоянии имеют одинаковые параметры:  $R_{3i}=R_3$  и  $I_{0i}=I_0$  и на их входах действуют максимальные и равные уровни коммутируемых напряжений  $U_{\text{вх}i}=U_{\text{вхmax}}$ , то с учетом того, что в реальных условиях эксплуатации практически всегда  $R_i \gg R_0$  и  $R_n \ll (R_i + R_3)$ , где  $R_i$  — внутреннее сопротивление источника коммутируемого напряжения, а  $R_n$  — сопротивление нагрузки, получим:

$$U_{\text{вых}i} = U_{\text{вх}i} + U_{0i} + (m-1)(R_0 U_{\text{вхmax}}/R_3 + I_0 R_0).$$

Второе слагаемое правой части приведенного соотношения определяется значением напряжения  $U_{0i}$   $i$ -го ключевого элемента, которое возникает за счет термо-ЭДС, контактной разности потенциалов или остаточных напряжений в полупроводниковых элементах.

Третье слагаемое характеризует влияние  $m-1$  закрытых каналов и определяет возможность использования ключевых элементов при построении многоканальных измерительных коммутаторов.

Приведенная погрешность  $\gamma$  коммутатора определяется формулой

$$\gamma = \frac{U_{0i} + (m-1)(R_0 U_{\text{вхmax}}/R_3 + I_0 R_0)}{U_{\text{вхmax}}}.$$

Для реальных схем среднечанальных измерительных коммутаторов ( $m \leq 100$ ,  $U_{0i} \gg 100(R_0 U_{\text{вхmax}}/R_3 + I_0 R_0)$ ), поэтому при их построении необходимо выбирать ключи с малым уровнем напряжения  $U_0$ . К таким элементам относятся полевые транзисторы, у которых  $U_0=0$ .

Коэффициент преобразования  $k_{кл}$  таких ключевых элементов  $k_{кл} = U_{вых}/U_{вх} \approx 1$ .

По виду коммутирующих элементов коммутаторы делят на две группы: контактные (механические, электромеханические) и бесконтактные (электронные).

В контактных коммутаторах коммутация сигналов осуществляется замыканием и размыканием механических контактов. Механические коммутаторы управляются от специального привода и имеют различные типы контактов (контакты скольжения, контакты качения, разрывные контакты и т. д.). Такие коммутаторы позволяют производить опрос 50—60 измерительных каналов со скоростью опроса, достигающей 500 каналов/с.

Механические коммутаторы отличаются низким переходным сопротивлением контактов в замкнутом состоянии (0,02—0,2 Ом) и высоким сопротивлением, определяемым сопротивлением изоляционного материала, в разомкнутом. Однако их применение позволяет осуществлять только последовательный опрос каналов и не дает возможности менять программу опроса в ходе измерений.

Более гибкими в функциональном отношении являются электромеханические коммутаторы, которые выполняются на электромеханических реле, управляемых электронными схемами. Наибольшее распространение в качестве ключей электромеханических коммутаторов получили магнитоуправляемые контакты — герконы (от слов «герметизированный контакт»). Конструктивно геркон представляет собой баллон, диаметр которого не превышает 6,25 мм и длина 50 мм, в котором создается вакуум или газовая среда (аргон, азот, водород) различного давления.

В баллон консольно впаяны пружинные контакты из ферромагнитного материала. При определенной напряженности магнитного поля внешнего электромагнита или постоянного магнита свободные концы пружины, находящиеся на расстоянии нескольких десятых и даже сотых долей миллиметра друг от друга, притягиваются, замыкая контакт. При уменьшении напряженности магнитного поля пружины возвращаются в исходное состояние, и контакт размыкается. По характеристикам герконы приближаются к идеальным переключателям. Они имеют малое и стабильное контактное сопротивление в замкнутом состоянии (0,02—0,2 Ом), большое сопротивление в разомкнутом состоянии ( $10^9$ — $10^{15}$  Ом), но обладают низким быстродействием (0,5—2 мс), которое ограничивается временем пере-

броса подвижного контакта и «дребезгом» контактов при замыкании. Кроме того, герконы подвержены воздействию внешних магнитных полей и имеют высокий уровень наводимых помех. При использовании рассматриваемых контактных ключей для коммутации цепей с низким уровнем измеряемого напряжения следует учитывать возможность появления термо-ЭДС между точками подключения геркона, значение которой достигает нескольких микровольт.

В бесконтактных измерительных коммутаторах подключение того или иного источника измерительной информации осуществляется изменением электрической проводимости управляемых электронных элементов (транзисторов, диодов и т. п.).

В каждом конкретном случае может применяться любой из рассмотренных типов коммутаторов. Однако наибольшее практическое применение в многоканальных ИИС получили так называемые системные измерительные коммутаторы.

Основную роль в работе системного коммутатора играет блок управления, который состоит, как правило, из генератора тактовых импульсов и распределителя импульсов, выходы которого связаны с ключевыми элементами. В качестве генератора тактовых импульсов используются генератор синусоидальных колебаний с формирователем, генератор релаксационных колебаний и т. д. В качестве распределителя импульсов может быть использована любая электронная схема, обеспечивающая либо последовательное переключение ключей коммутатора, либо переключение их по программе. Часто распределитель импульсов выполняется в виде сдвигающего регистра. В младший разряд регистра записывается 1, которая с каждым тактом последовательно сдвигается в сторону старших разрядов, вызывая срабатывание соответствующих ключей. Распределители импульсов разработаны и в интегральном исполнении (К564ИЕ9).

Частота, последовательность и продолжительность времени подключения датчиков, т. е. программа опроса каналов, зависят от многих факторов. Обычно эти характеристики программы опроса каналов находятся на основании предварительного изучения коммутируемых сигналов. Признаками, по которым определяются необходимость и продолжительность подключения каждого датчика, могут быть уровень или знак сигнала, скорость его изменения или приоритет.

Простейший режим коммутации — это такой режим, когда число измерительных каналов  $m$  равно числу входов коммутатора  $m_k$  ( $m=m_k$ ) и каналные интервалы  $T_k$  (интервал времени, в течение которого выходной сигнал датчика подключен к системе) равны между собой. В этом случае периоды  $T_{опр}$  опроса всех датчиков тоже равны между собой, т. е.  $T_{опр1}=T_{опр2}=...=T_{опр}=mT_k$ . При этом равны будут и частоты опроса датчиков:

$$F_{опр1} = F_{опр2} = ... = F_{опр} = 1/T_{опр}.$$

Отсюда следует, что

$$T_k = 1/mF_{опр},$$

т. е. рост числа измерительных цепей или частоты их опроса влечет за собой уменьшение длительности каналных интервалов.

Разные сигналы требуют разных частот опроса. Ориентация на максимальную частоту опроса  $F_{опрmax}$  приводит к тому, что для тех сигналов, где можно допустить  $F_{опрi} < F_{опрmax}$ , сигналы передаются с большой избыточностью. Вследствие этого простейший режим работы коммутатора (с одинаковой частотой опроса всех датчиков) приемлем не всегда и часто используется лишь при исследовании простых объектов с небольшим числом контролируемых параметров.

Режим коммутации с разной частотой опроса датчиков достигается группированием коммутируемых цепей или изменением графика их работы.

Если цикличность опроса группы, состоящей из  $m$  датчиков, определяется периодом подключения датчика с наименьшей требуемой частотой опроса  $T_{ц}=1/F_{min}$ , то за время цикла измерений  $T_{ц}$  должны быть опрошены все  $m$  датчиков и каждый из них нужное число раз, т. е. за интервал времени  $T_{ц}$  необходимо произвести  $\sum_{i=1}^m (F_i/F_{min})$  измерений, где  $F_i$  — частота опроса  $i$ -го датчика. В этом случае на одно измерение приходится интервал времени

$$T_k \leq \frac{T_{ц}}{\sum_{i=1}^m (F_i/F_{min})},$$

откуда

$$\sum_{i=1}^m (F_i/F_{min}) \leq T_{ц}/T_k,$$

или

$$\sum_{i=1}^m (F_i/F_{min}) \leq m_K.$$

Знак равенства в полученном соотношении соответствует использованию всех коммутируемых цепей. Это условие означает, что при установке различных режимов коммутации общее число выборок, формируемых в единицу времени для такой цепи, должно оставаться неизменным.

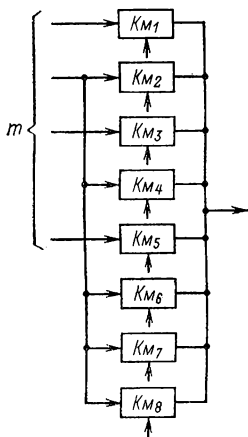
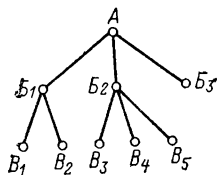


Рис. 6.8. Структурная схема коммутатора

Рис. 6.9. Граф частот опроса ИК



Рассматриваемое соотношение позволяет:

1) определить наименьшее число коммутируемых цепей, достаточное для осуществления опроса с заданными частотами требуемого числа датчиков; при этом установка режима коммутации с различными частотами опроса каналов достигается параллельным включением коммутируемых цепей (рис. 6.8);

2) при  $m = m_K$  определить минимальное число сигналов управления ключами, поступающих с распределителя импульсов и необходимых для опроса всех датчиков нужное число раз.

Нетрудно заметить, что группированием коммутируемых цепей можно получить не любые, а лишь определенные частоты опроса.

Кроме того, выполнение приведенного выше соотношения для получения регулярного опроса недостаточно. Чтобы

опрос был регулярным, т. е. интервал времени между соседними опросами был одинаковым и равным  $T_{0i} = 1/F_{0i}$ , необходимо, чтобы число коммутируемых цепей  $m_k$  в первом случае (т. е. при  $m \neq m_k$ ) или число тактовых импульсов во втором (при  $m = m_k$ ), деленное на  $N_i = F_i/F_{min}$ , было целым, а множества параллельных ключей не пересекались.

Коммутаторы с переменным (программируемым) опросом отличаются от коммутаторов с регулярным (последовательным) опросом аппаратной реализацией переключения коммутируемых цепей.

Максимально достижимую информационную гибкость позволяют получить так называемые адресные распределители. Такой распределитель импульсов содержит дешифратор, управление которым идет от регистра памяти, в который поступает соответствующий код номера канала.

В общем случае распределение частот опроса различных ИК удобно изображать в виде древовидного графа (рис. 6.9).

В узле *A* формируется частота опроса  $F_T$  всех ИК, которая обычно называется тактовой частотой

$$F_T = \sum_{i=1}^m F_{0i}.$$

Частота каждого узла делится на его степень, т. е. на число линий, исходящих из узла. Например, в узлах  $B_1—B_3$  действует частота опроса  $F_B = F_T/3$ , в узлах  $B_1—B_2$  частота опроса равна  $F_B/2 = F_T/6$ , в узлах  $B_3—B_5$   $F_B/3 = F_T/9$ .

Увеличивая или уменьшая дерево графа, можно получить различные программы опроса датчиков.

Одной из эффективных структур построения среднеканальных коммутаторов ( $m < 100$ ) является многоступенчатая.

На рис. 6.10 приведен пример двухступенчатой структуры 25-канального измерительного коммутатора.

Пятиканальный центральный коммутатор  $K_{Mцн}$ , расположенный на втором уровне, управляет работой пятика-

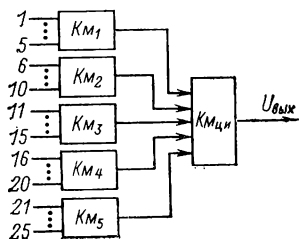


Рис. 6.10. Структурная схема 25-канального коммутатора



нальных коммутаторов  $K_{м1}—K_{м5}$  нижнего уровня. При программном управлении  $K_{мн}$  осуществляет адресный выбор одного из коммутаторов  $K_{ми}$  и устанавливает его в положение, при котором ко входу ИИС подключается требуемый датчик из группы датчиков, обслуживаемых данным коммутатором  $K_{ми}$ .

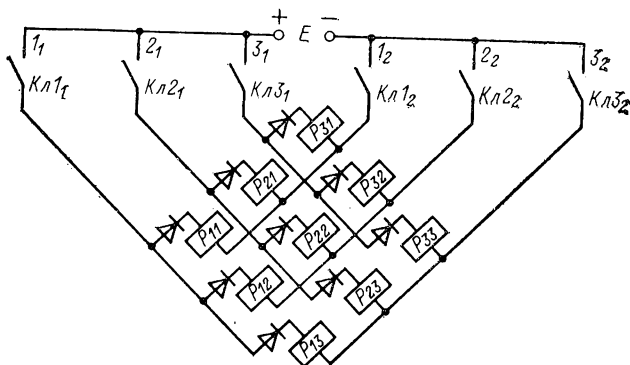


Рис. 6.11. Структурная схема матричного коммутатора

В некоторых измерительных коммутаторах  $K_{мн}$  осуществляет циклический опрос коммутаторов нижнего уровня. В этом случае управление опросом датчиков берут на себя коммутаторы нижнего уровня.

Если в качестве пятиканального коммутатора любого уровня использовать интегральную микросхему 1КТ901, то абсолютная погрешность, вызванная неидеальностью параметров разомкнутых ключей, для рассмотренной структуры коммутатора составит 8 мВ. В аналогичном коммутаторе, выполненном по одноуровневой структуре, та же погрешность составит 24 мВ.

Недостатком многоступенчатой структуры является сложность устройства программного управления, особенно при числе каналов коммутатора  $m > 50$ .

При коммутации большого числа каналов ( $m > 100$ ) наиболее удобными оказываются коммутаторы, выполненные по структурам матричного типа. Принцип действия матричного коммутатора поясняется на рис. 6.11.

Для срабатывания какого-либо реле, например  $P_{23}$ , находящегося в узле матрицы, необходимо одновременно на две соответствующие шины  $2_1$  и  $3_2$  подать питающее напряжение  $E$  путем замыкания ключей  $Kл2_1$  и  $Kл3_2$ . Реле  $P_{23}$  срабатывает, вызывая замыкание соответствующих контактов коммутатора.

Матричная схема может быть использована непосредственно для коммутации измеряемых сигналов. Однако это целесообразно только при коммутации сигналов сравнительно высокого уровня ( $U_{вх} > 1$  В).

При коммутации малых напряжений (менее 1 В) из-за значительной аддитивной погрешности матричного коммутатора существенно увеличивается относительная погрешность преобразования. Поэтому чаще всего

матричная схема применяется в качестве распределителя управляющих импульсов, подаваемых на каналные ключевые элементы.

При создании схемы измерительного коммутатора с минимальным объемом устройств управления и произвольным числом ключей целесообразно использовать многоканальную пирамидальную структуру коммутатора (рис. 6.12).

Число ступеней в таких коммутаторах равно числу двоичных разрядов, содержащихся в общем числе коммутируемых сигналов. Общее число ключей  $N = 2(m-1)$ , где  $m$  — общее число коммутируемых цепей. Если сравнить пирамидальную двоичную и матричную схемы управления по числу используемых в них элементов управления (например, реле), то их отношение равно  $2\sqrt{m}/\log_2 m$ . Например, при переходе от матричной схемы к пирамидальной при  $m=64$  число элементов управления уменьшится почти в 3 раза, но при этом число ключений возрастет вдвое.

В настоящее время разработан ряд структур многоканальных измерительных коммутаторов (например, дифференциальные коммутаторы), однако они пока мало изучены и в измерительной технике не используются.

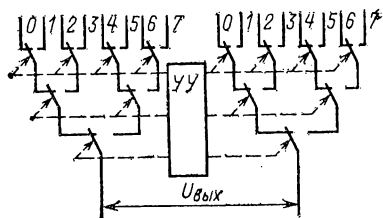


Рис. 6.12. Структурная схема пирамидального коммутатора

## 6.5. СКАНИРУЮЩИЕ ИИС

Как было сказано ранее, при исследовании однородных информационных полей применяются одноканальные ИИС, датчики которых перемещаются в пространстве и дают возможность получать информацию из различных точек исследуемого информационного поля. Такие измерительные системы получили название сканирующих.

Применение сканирующих ИИС дает возможность определять значение параметров в любой точке информационного поля; координаты точки с заданным значением параметра; значения, расположение и форму экстремумов параметра информационного поля; линий и площадей с одинаковым значением параметров; расстояний до любой точки информационного поля.

Перечисленные функциональные возможности обусловили широкое использование сканирующих ИИС во многих сферах деятельности человека. В настоящее время это один из самых обширных классов ИИС, который по разнообразию конструкций превосходит любой другой.

Основным элементом, определяющим конструктивную особенность системы, является сканирующий датчик, в котором реализуется один из многих способов сканирования.

Способы сканирования имеют ряд признаков, которые позволяют в общем случае классифицировать измерительные системы и оценить их возможности.

По виду взаимодействия сканирующего датчика с информационным полем существуют контактные и бесконтактные способы сканирования. Контактные способы сканирования предусматривают соприкосновение датчика с объектом в процессе сканирования. Например, измерение шероховатости поверхности при помощи алмазных игл, связанных с преобразователем перемещения; определение состава океанской воды, поверхностных токов утечки диэлектриков и т. д. Эти способы обладают высокой точностью, простотой реализации, но имеют невысокую надежность и, кроме того, не всегда физически реализуемы.

Бесконтактные способы сканирования позволяют получить информацию без механического соприкосновения датчика с объектом. Этот вид сканирования наиболее широко применяется в ИИС, и трудно представить себе область применения, где он не составил бы конкуренцию контактному. Исключение составляют внутриобъемные исследования некоторых объектов (глубинные исследования свойств

океанской и морской воды; определение температуры и влажности внутри объема сыпучих материалов и т. д.).

В зависимости от вида обмена энергией между объектом и ИИС способы сканирования делятся на активные и пассивные. Активные способы предусматривают некоторое воздействие (вносимую энергию) на объект. О состоянии объекта судят по его реакции на это воздействие. Например, активные способы применяются при радиолокационных измерениях, измерении параметров объекта при помощи вихревых преобразователей, лазерных измерениях и т. д.

Пассивные способы сканирования основаны на использовании энергии объекта. К ним относятся некоторые виды измерения температуры нагретых тел, определение поверхностных и объемных зарядов, поиски полезных ископаемых, основанные на использовании магнитного поля Земли. К этому же способу сканирования относят способ, основанный на использовании энергии, не создаваемой ни объектом, ни ИИС (отраженный солнечный свет).

Пассивные способы сканирования значительно проще в реализации, так как при их использовании необходимо осуществлять сканирование лишь приемника информации — датчика. При активном сканировании в большинстве случаев следует сканировать не только датчик, но и источник вспомогательной энергии. Однако активные способы сканирования позволяют получить при измерениях более высокую точность и чувствительность. При организации сканирующего привода возможны два способа его реализации: электромеханический и электронный. При электромеханическом сканировании используются электромеханические элементы — линейные и угловые электродвигатели, управляемые электрическими сигналами, которые при помощи редукторов, червячных механизмов и кулис приводят в движение (электромеханическая развертка) соответствующий узел сканирующей ИИС. Примером такой ИИС является радиолокатор с механическим приводом антенны.

При электронном сканировании чисто электронными средствами осуществляется перемещение (электронная развертка) электронных, световых и электромагнитных пучков энергии в пространстве (электронно-лучевые трубки, лазерные измерители).

В ряде случаев (расшифровка графических и фотографических изображений) вместо датчика сканирующие движения осуществляет информационное поле объекта. Это объясняется тем, что значительно проще и надежнее реа-

лизация линейных перемещений, чем угловых. Кроме того, расстояние от датчика до любой точки информационного поля при линейном перемещении последнего остается постоянным, что снижает погрешности, связанные с изменением чувствительности и рассеяния энергии.

К приводу сканирующих ИИС, так же как и ко всем элементам системы, предъявляются жесткие требования по обеспечению минимальной погрешности, отсутствию механического гистерезиса и повторяемости характеристик.

Основное достоинство электромеханической развертки — высокая точность сканирования. Недостаток — малое быстродействие вследствие механической инерции движущихся частей сканирующей системы. Основное достоинство электронной развертки — высокое быстродействие и простота управления. При равной стоимости приводов системы электронной развертки по точности и стабильности уступают электромеханическим. В зависимости от траектории движения сканирующие системы можно разделить на две группы: программные и адаптивные.

В первой группе траектория развертки жестко запрограммирована и не меняется при изменении рельефа параметров информационного поля. Выбор вида траектории при отсутствии априорной информации о состоянии объекта определяется простотой аппаратной реализации сканирующего устройства. Существуют различные траектории развертки на плоскости, однако наибольшее распространение получило движение по принципу строчной развертки, причем число строк равно отношению скоростей горизонтальной и вертикальной разверток. Программное сканирование осуществляется при измерении и передаче параметров информационного поля, определении координат точек, соответствующих тому или иному значению параметра, определении (в некоторых случаях) расстояния до каждой точки информационного поля.

Примером применения ИИС с программной траекторией сканирования может служить определение картины температурного поля объекта, расшифровка и передача фотоизображений при астрономических и физических экспериментах и т. д.

Адаптивное сканирование используется при поиске экстремумов параметров информационного поля, нахождении точки, линии или площади с заданным значением параметров, а также при слежении за положением на информационном поле группы параметров с заданными значениями.

Адаптивное сканирование широко применяется для считывания графиков при вводе их в ЭВМ, при обнаружении и слежении за положением объекта в пространстве, для нахождения формы участков с экстремальными значениями параметров при дефектоскопии и т. д.

При адаптивном способе сканирования в блоке управления сканирующим устройством непрерывно изучаются текущие значения измеренных параметров с целью определения скорости и направления их изменения, а затем соответственно изменяется траектория развертки.

Применение адаптивного сканирования позволяет значительно уменьшить протяженность траектории развертки по сравнению с длиной траектории при программном сканировании, тем самым повысив быстродействие сканирующей ИИС.

Сканирующие ИИС могут быть выполнены точечными или матричными. В первом случае они содержат датчик, измеряющий аналоговый сигнал в пределах одной элементарной площадки и перемещающийся по полю, сканируя его площадка за площадкой. Во втором случае имеется несколько датчиков, расположенных в виде прямоугольной матрицы, которые дают одновременно группу отсчетов. В связи с тем, что технологически трудно изготовить большую матрицу параллельных датчиков, обычно сочетают параллельное измерение на небольшой площади и сканирование всей матрицей. Матричные сканирующие ИИС обладают в принципе большим быстродействием, но требуют параллельной обработки информации либо коммутационных элементов для последовательного опроса.

Матричные датчики обычно используются совместно с точечными и служат для наиболее быстрого обнаружения экстремальных значений параметров информационного поля. Для этой цели все датчики матрицы параллельно подключаются ко входу измерительного канала, и начинается сканирование матрицей. Измерительный канал настраивается на некоторый заданный уровень измеряемых параметров. В момент попадания точки или группы точек информационного поля, значения параметров которых превышают заданный уровень, в зону действия матричного датчика последний прекращает свою работу, а зону обнаружения начинает обследовать точечный датчик.

В заключение следует отметить, что перечисленные признаки не являются единственными, но наиболее характерны для сканирующих ИИС и позволяют достаточно четко

провести границы между сканирующими ИИС различного типа.

Рассмотрим несколько вариантов структур сканирующих ИИС, предназначенных для исследования информационных полей различной физической природы.

Для контроля качества изделий и материалов находят применение тепловые методы неразрушающего контроля. При этом источником информации о качестве изделий является температурное поле поверхности. Наибольшее распространение среди устройств теплового контроля, применяющихся в дефектоскопии, получили тепловизоры.

Тепловизоры представляют собой оптико-электронные сканирующие ИИС, предназначенные для визуализации температурных полей поверхности объекта и количественной оценки температур. В тепловизорах используется оптико-механическое или фотоэлектронное сканирование, последнее в силу низкой точности применяется значительно реже и рассматриваться в дальнейшем не будет. Оптико-механические сканирующие устройства служат для перемещения изображения, сформированного оптической системой, в плоскости чувствительной площадки приемника излучения. В качестве сканирующих устройств обычно применяются качающееся зеркало, вращающиеся зеркала и зеркальные барабаны, вращающиеся призмы и клинья.

Недостатком сканирующих систем с качающимися зеркалом являются большие размеры и жесткие допуски на качество его изготовления. Плоские зеркала располагаются, как правило, между объективом и приемником на пути пучка излучения, что приводит к увеличению пятна рассеивания, вследствие чего поверхность изображения становится сферической.

Указанные недостатки отсутствуют в модели тепловизора, структурная схема которого приведена на рис. 6.13.

В нем использован линзовый объектив 1, расположенный непосредственно у объекта исследования и выполненный из поликристаллического кремния — материала, прозрачного в инфракрасной области спектра. Сканирующая система содержит две призмы 2 — кадровой и строчной развертки, приводимые во вращение двигателями 5 и 6, управляемыми синхроимпульсами. Пройдя систему сканирования, тепловой поток через линзы 3, 4 и модулятор 7 попадает на приемник излучения 8, выходной сигнал которого через усилитель 9 поступает на видеоконтрольное устройство ВКУ. Система выполняется в переносном исполне-

нии и содержит камеру, видеоконтрольное устройство ВКУ и автономный блок питания.

Наибольшее распространение сканирующие ИИС получили при исследовании изображений и особенно для их ввода в ЭВМ. При этом информация, подлежащая преобразованию, может быть двух видов: контурной (контурные изображения) и тоновой (изображения покрытия поверхностей).

Первый вид информации соответствует значительной части технических чертежей и графиков, в которых не используются окраска поверхностей и полутона; второй вид—

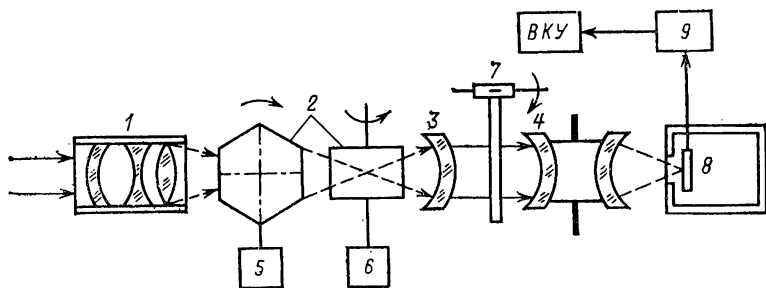


Рис. 6.13. Структурная схема тепловизора

изображению различных поверхностей и предметов. Устройства преобразования графической информации в цифровую накапливают дискретные координаты множества точек относительно заранее установленной системы координат, причем это множество должно быть идентифицировано при помощи некоторой процедуры. При считывании точки выбираются достаточно близко одна к другой, а координаты точек записываются в цифровой форме на носитель, позволяющий осуществлять автоматическое считывание. Таким образом, процесс преобразования графиков и технических чертежей в цифровую форму предусматривает сначала поиск точек или элементов, имеющих отличную от элементов покрытия поверхности окраску, а затем определение координат и представление их в виде цифрового кода.

Аппаратурная реализация систем считывания графической информации не представляет собой сложности. Структурная схема сканирующей ИИС приведена на рис. 6.14.

Датчик 1 сканирующей ИИС представляет собой фото-



электрическое пороговое устройство, реагирующее на затемнение его рабочей поверхности. При помощи направляющих, приводимых в движение электроприводом, датчик перемещается по осям  $X$  и  $Y$ . Перемещение датчика по обеим осям непрерывно представляется в виде цифрового кода при помощи кодирующих линеек или дисков.

В момент затемнения рабочей поверхности порогового устройства оно подключает к носителю информации или устройству отображения каналы измерения координат, и

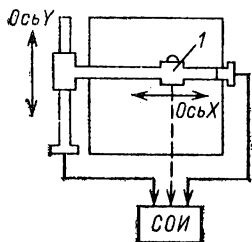


Рис. 6.14. Структурная схема сканирующей ИИС

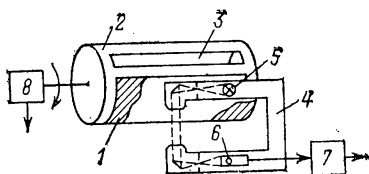


Рис. 6.15. Структурная схема устройства для анализа изображений

их значения запоминаются. При автоматическом считывании иногда возникает ряд трудностей, связанных с разветвлением или пересечением различных кривых. Такая задача возникает при вводе данных от одной кривой при наличии на графике нескольких. В этих случаях необходимо осуществлять определение первой производной и следить за ее непрерывностью. Такие процедуры принятия решений обычно реализуются мини- или микро-ЭВМ, входящей в состав ИИС.

Более сложной является ИИС для исследования изображений поверхностей и предметов. При этом основными качественными показателями ИИС являются постоянство шага дискретизации по полю, постоянство его во времени, форма и размеры апертуры, т. е. параметры, которыми характеризуется процесс взятия отсчета в данной точке плоскости и их стабильность.

В зависимости от способа осуществления развертки различают сканаторы барабанного типа, с плоскими столами и вращающимся и колеблющимся зеркалом.

Схема типичной сканирующей ИИС барабанного типа приведена на рис. 6.15.

Изображение на фотопленке 1 закрепляется на барабане 2, в поверхности которого вырезано окно 3. Развертка изображения осуществляется за счет вращения барабана и поступательного движения в осевом направлении каретки 4, на которой расположены источник света 5 и фотоэлектронный умножитель (ФЭУ) 6 с соответствующей фокусирующей оптикой. Луч света от источника освещения 5, проходя через участок фотопленки, форма и размеры которого определяются диафрагмами, модулируется по интенсивности. Это приводит к соответствующей модуляции тока ФЭУ, поступающего на АЦП 7. На выходе АЦП возникает цифровой код, соответствующий зачернению пленки, усредненному по освещенному участку. На одной оси с барабаном находится цифровой датчик 8 его углового положения, представляющий в цифровой форме координаты строчной развертки. При одном повороте барабана формируется строка. При последующем повороте на один шаг изменяется положение каретки 4, тем самым осуществляется кадровая развертка.

Сканирующая ИИС барабанного типа является одной из наиболее быстродействующих. Однако она не самая точная, так как неизбежная деформация фотопленки затрудняет получение высокой разрешающей способности.

Более прецизионными, но гораздо менее быстродействующими являются устройства сканирования с плоским столом. В таких системах изображение (фотография) или фотопленка закрепляется на специальном столе, который с помощью ходовых винтов и шаговых двигателей может перемещаться в двух взаимно перпендикулярных направлениях. Эти перемещения и обеспечивают развертку изображения.

В качестве датчика цифрового видеосигнала, так же как и в сканаторах барабанного типа, используется система осветитель—фотоумножитель—аналого-цифровой преобразователь. Точность развертки определяется качеством изготовления ходовых винтов и точностью поворота шаговых двигателей. В некоторых случаях для точного определения координат используются лазерные интерферометры. В этом случае шаг дискретизации контролируется с точностью до долей длины волны излучения лазера, т. е. долей микрона. При особо точных исследованиях изображения (аэрофотосъемка, фотография участков звездного неба при астрономических исследованиях и т. д.) предусматривается монолитный фундамент, тщательно виброизолированный от

конструкций помещения с целью уменьшения возможных колебаний столика.

Сканирующие устройства, использующие вращающееся зеркало или колеблющееся зеркало, значительно уступают по точности развертки барабанным устройствам и тем более устройствам с плоским столом, но обладают значительным большим быстродействием благодаря малой инерционности зеркальца, с помощью которого осуществляется строчная развертка. Кадровая развертка может быть осуществлена либо электромеханическим путем — перемещением изображения при помощи ходовых микрометрических винтов, либо при помощи зеркал и вращающихся призм и клиньев, как в тепловых сканирующих ИИС.

При получении информации об изображении на фотопленке широко применяется система электронно-лучевая трубка (ЭЛТ) — фотоумножитель. Световое пятнышко, перемещаемое разверткой по экрану ЭЛТ, проектируется оптической системой на фотопленку, освещая разные ее участки. Интенсивность света, прошедшего через фотопленку, преобразуется в ФЭУ в электрический ток, преобразуемый АЦП в код.

Такие устройства обеспечивают высокую скорость сканирования и быстрый произвольный доступ в любую точку информационного поля. Их недостатки — неравномерная светимость люминофора по площади экрана, геометрическое искажение раstra и трудность поддержания постоянной апертуры луча по всей площади сканирования.

## **6.6. МНОГОТОЧЕЧНЫЕ ИИС**

При последовательном сборе информации о состоянии объекта, характеризующегося разнородными физическими величинами, широко используются информационно-измерительные системы, получившие названия многоточечных, или мультиплексорных.

Первичные измерительные преобразователи рассматриваемых ИИС располагаются в каждой исследуемой точке информационного поля, и данные от них последовательно во времени поступают в измерительный канал, где они преобразуются, измеряются, обрабатываются и отображаются или запоминаются. Подключение ПП к ИК осуществляется при помощи системных коммутаторов (мультиплексоров).

Обычно многоточечные ИИС используют один измери-

тельный канал, в котором происходит и обработка информации. При этом на выходе ИК могут быть включены разнообразныe СОИ, предназначенные для отображения или регистрации того или иного параметра. Такое построение многоканальной ИИС является эффективным, так как значительно сокращает аппаратные затраты, связанные с наличием однотипных блоков в каждом ИК.

В некоторых системах при наличии групп датчиков с различным видом выходных параметров, когда применение индивидуальных или групповых УИП является дорогостоящим, применяется несколько измерительных каналов, выходы которых коммутируются в соответствии с адресом опрашиваемого датчика. Выбор соотношения между числом измерительных каналов и УИП требует тщательного анализа и является многопараметрической задачей, так как наряду с аппаратными затратами будут фигурировать метрологические параметры и параметры надежности.

В зависимости от количества физических величин, подлежащих измерению, многоточечные ИИС имеют одно-, двух-, и трехступенчатую систему коммутаторов.

Одноступенчатые коммутаторы применяются в ИИС, число первичных преобразователей которых не превышает 500. При измерении свыше 4000 физических параметров используются трехступенчатые коммутаторы. Такие системы встречаются редко, однако они реально существуют и предназначены для контроля параметров таких сложных объектов, как гидротехнические сооружения или доменные печи.

Так, например, на Чиркейской ГЭС используется многоточечная на 10 тыс. параметров ИИС, предназначенная для измерения расхождения межсекционных швов и температуры отдельных блоков тела плотины.

При построении рассматриваемых систем важное значение приобретает последовательность опроса точек информационного поля объекта. Как уже было сказано, существует циклический, адресный и инициированный опрос параметров информационного поля. Наиболее часто встречающимся в практике информационно-измерительной техники является циклический опрос, который применяется при измерении медленно изменяющихся величин на относительно несложных объектах. Адресный опрос осуществляется в том случае, когда наряду с медленно изменяющимися величинами в объекте имеют место быстро протекающие процессы, параметры которых необходимо измерять в определенные точки, меняющие свое положение во времени. Вме-

сте с тем изменяющееся состояние объекта также может потребовать выборочного измерения и анализа того или иного параметра. В этом случае оператор со своего пульта может вызвать ту или иную точку информационного поля объекта.

Инициированный опрос получил распространение в последнее десятилетие и связан с применением в ИИС ЭВМ и устройств информационного сопряжения. В зависимости от веса (значимости) измеряемого параметра по запросу датчика осуществляется его измерение. Выбор весовых коэффициентов связан с тщательным анализом объекта исследования и влияния различных параметров на ход технологического процесса. Все это требует наличия математической модели объекта.

Значимость измеряемых параметров, а следовательно, частота их опроса определяют число точек информационного поля, которые могут быть опрошены при помощи одной многоточечной ИИС.

Действительно, если обозначить через  $T$  период опроса наименее важной точки информационного поля, а через  $t_{\text{изм}}$  — время измерения параметров, принятое одинаковым для всех точек поля, то число  $m_k$  контролируемых параметров

$$m_k = T/t_{\text{изм}}.$$

Однако в связи с тем, что период измерения параметров в  $i$ -й точке информационного поля может быть меньше  $T$ , т. е. число измерений, проводимых в  $i$ -й точке за интервал времени  $T$ ,  $n_i > 1$  ( $n_i$  — целые положительные числа), то время, затрачиваемое на измерение во всех  $m$  указанных точках,

$$T_1 = \sum_{i=1}^m n_i t_{\text{изм}}, \text{ где } m = 1, 2, 3 \dots$$

Таким образом, на опрос  $m$  точек информационного поля затрачивается время  $T_1$ , следовательно, на оставшиеся точки поля, интервал опроса которых равен  $T$ , остается

$$T - T_1 = T - \sum_{i=1}^m n_i t_{\text{изм}}.$$

Отсюда количество точек, которые можно опросить за указанное время,

$$m_T = \frac{T - \sum_1^m n_i t_{\text{изм}}}{t_{\text{изм}}} = \frac{T}{t_{\text{изм}}} - \sum_1^m n_i.$$

Общее количество опрашиваемых точек

$$m_{\text{общ}} = m_T + m = T/t_{\text{изм}} - \sum_1^m n_i + m.$$

Как видно из полученного соотношения, чем больше число опросов  $i$ -й точки, тем меньшее количество точек информационного поля будет опрошено в течение выбранного времени цикла опроса. Например, если время измерения  $t_{\text{изм}}=1$  с, цикл  $T=10$  с;  $n_1=2$ ;  $n_2=3$ ;  $n_3=2$ , то число точек, в которых осуществляются повторные измерения,  $m=3$ .

Количество контролируемых точек поля

$$m_{\text{общ}} = 10/1 - (2 + 3 + 2) + 3 = 6.$$

Многоточечные ИИС являются наиболее характерными для электроизмерительной техники, их структурные схемы отличаются лишь за счет использования алгоритмических методов измерения или введения специфических элементов.

Рассмотрим мультимплексорную ИИС, предназначенную для гидротехнических измерений, при построении которой использовались тестовые методы измерения (рис. 6.16).

Рассматриваемая ИИС включает в себя группу датчиков  $D_n$  перемещения, в которых есть блоки формирования аддитивного и мультипликативного тестов. В датчиках перемещения предусмотрена частотная модуляция сигналов на выходе.

Датчик уровня  $D_y$  представляет собой индуктивный преобразователь трансформаторного типа. Датчики  $D_{T1}$ ,  $D_{T2}$ ,  $D_{Tm}$  — термопреобразователи, предназначенные для измерения температуры поверхности воды ( $D_{T1}$ ) и тела плотности ( $D_{T2}$ , ...,  $D_{Tm}$ ). Для организации частотного выхода в цепях датчика уровня и датчиков температуры используются унифицирующие преобразователи УИП. В гидротехнической ИИС используется двухступенчатый системный коммутатор, состоящий из коммутаторов первичной ступени  $K_{M1}—K_{Mn}$  и вторичной  $K_{M_{\text{цн}}}$ , который управляется от ЭВМ по заданной программе. Одновременно ЭВМ управляет работой коммутаторов  $K_{M1}—K_{Mn}$  датчиков перемещения, реализуя тактовые измерения, которые обра-

батываются, отображаются на цифровом табло  $СОИ_1$  и регистрируются на цифропечатающей машинке  $СОИ_2$ . При измерении уровня воды одновременно измеряется ее поверхностная температура. Результаты обоих измерений обрабатываются совместно и корректируются, т.е. исключаются из результата измерения уровня температурные погрешности. Значение уровня также отображается на  $СОИ_1$

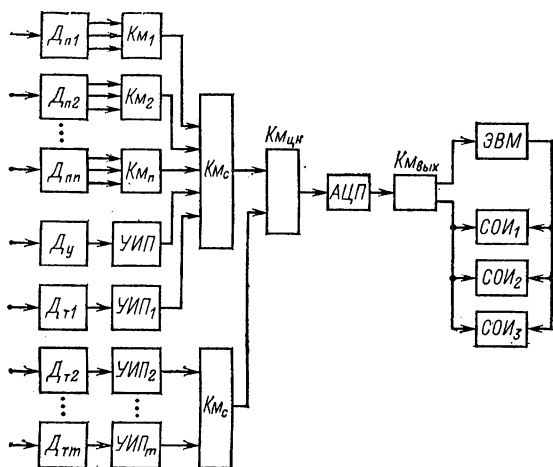


Рис. 6.16. Структурная схема многоточечной ИИС

и регистрируется на  $СОИ_2$ . Результаты измерения температуры тела плотины в разных точках не требуют обработки. Поэтому после преобразования в АЦП частота — код при помощи выходного коммутатора  $КМ_{вых}$ , который также управляется от центрального коммутатора  $КМ_{цн}$ , результаты измерения температур регистрируются на  $СОИ_2$  и отображаются на матричном экране или мнемосхеме  $СОИ_3$ . Оператор со своего пульта может вызвать любую контролируруемую точку объекта на цифровую индикацию и регистрацию.

Количество опросов датчиков температуры составляет 48 опросов/сут, а датчиков перемещения 150 опросов/сут. Уровень воды контролируется каждые 20 мин.

## 6.7. МУЛЬТИПЛИЦИРОВАННЫЕ ИИС

В некоторых случаях, при ограниченном числе измеряемых параметров (меньше 20), вместо многоточечных измерительных систем применяются так называемые мультиплицированные ИИС.

Они представляют собой совокупность одноканальных измерительных систем, объединенных общей образцовой мерой и одним средством отображения информации.

Благодаря использованию в мультиплицированных ИИС принципа развертывающего уравнивания удалось избежать применения коммутационных элементов ИК, что позволило в свою очередь получить более высокую точность и быстродействие, приближающееся к быстродействию одноканальных ИИС. Использование одного СОИ на всех ИК значительно снизило аппаратные затраты. Структурная схема мультиплицированной ИИС приведена на рис. 6.17.

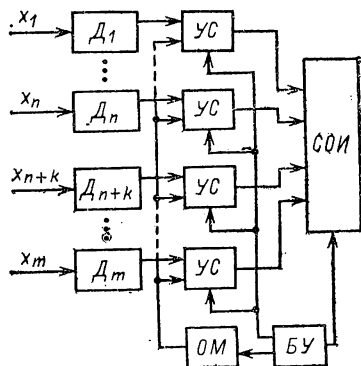


Рис. 6.17. Структурная схема мультиплицированной ИИС

В указанных системах возможны три способа организации уравнивания общей образцовой мерой. Один из способов заключается в том, что все датчики  $D_1, \dots, D_m$  системы имеют одинаковый динамический диапазон, и их выходные сигналы в течение времени  $t_1$  (рис. 6.18) одновременно сравниваются в устройствах сравнения УС с напряжением  $u_{обр}(t)$ , создаваемым образцовой мерой ОМ. При этом  $u_{обр}(t)$  может изменяться как по линейному (рис. 6.18, а), так и по ступенчатому (рис. 6.18, б) закону в интервале от 0 до  $U_1$  — верхней границы динамического диапазона. Управление работой УС, ОМ и СОИ осуществляет блок управления БУ.

Два других способа предусматривают разделение общего числа ИК на несколько групп и последовательное сравнение в УС той или иной группы выходных сигналов датчиков с образцовой мерой.



Каждый измерительный канал внутри группы имеет одинаковый динамический диапазон, а динамические диапазоны групп могут отличаться друг от друга.

В одном случае в ИК, соответствующих порядковым номерам групп выше первой, используются измерительные усилители со смещенным нулем, что позволяет обеспечить разнесение динамических диапазонов отдельных групп с целью последовательного во времени уравнивания. Так, например, верхняя граница  $U_1$  динамического диапазона датчиков первой группы является нижней границей  $U_2$  второй группы, а верхняя граница  $U_2$  второй группы — нижней границей  $U_3$  третьей группы ИК.

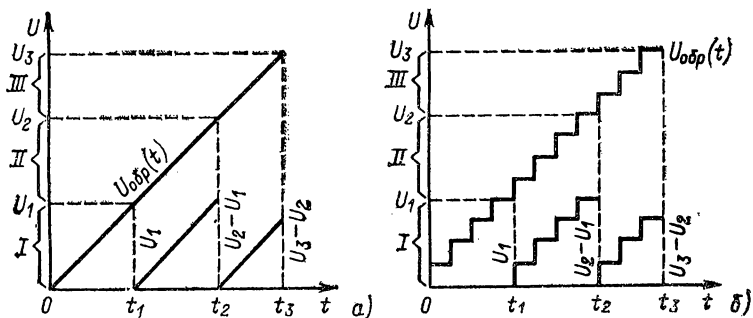


Рис. 6.18. Временные диаграммы работы мультиплицированной ИИС

Таким образом, первая группа осуществляет измерение  $x_2$  в течение времени  $t_1—0$ , вторая  $t_2—t_1$ , а третья  $t_3—t_2$ . В другом случае происходит двойное сравнение образцового напряжения. Сначала в группах ИК, порядковый номер которых выше первого, образцовое напряжение сравнивается с опорным, уровень  $U_{оп}$  которого выбирается равным верхней границе динамического диапазона предыдущей группы ИК. При их равенстве к источнику образцового напряжения подключается соответствующая группа УС и происходит сравнение разности напряжений  $U_{обр}(t)—U_{оп}$  с измеряемым. Применение опорного напряжения для компенсации некоторого начального уровня образцового напряжения позволяет разделить процессы измерения, протекающие в ИК различных групп, во времени.

При реализации двух последних способов организации уравнивания в мультиплицированных ИИС требуются

источники с более высоким уровнем образцового напряжения, причем чем больше групп ИУ образовано в системе, тем выше уровень образцового напряжения. Увеличение аппаратных средств, необходимых для реализации рассматриваемых способов, значительно снижает их эффективность, а поэтому они применяются только в том случае, когда число измерительных каналов мультиплицированных ИИС не превышает пять — восемь или когда источник образцового напряжения имеет высокое внутреннее сопротивление, не позволяющее работать с большим числом УС одновременно.

Отображение информации на *СОИ* происходит в момент равенства измеряемого и образцового сигналов. При этом блок управления или специальная организация совместной работы схемы совпадения и *СОИ* фиксирует на последнем номер соответствующего ИК.

Как было сказано ранее, образцовая величина может изменяться по линейному закону. В этом случае в системе происходит время-импульсное преобразование измеряемых величин. При формировании ступенчатого закона изменения образцовой величины результат измерения нетрудно получить в цифровой форме. При равенстве измеряемых величин по различным ИК на средство отображения информации фиксируются номера всех указанных каналов. Этот режим работы мультиплицированных ИИС представляет наибольший интерес и широко используется при построении контролирующих систем, а также при нахождении точек информационного поля с равными значениями параметров. В обоих случаях образцовая мера фиксируется на заданном уровне для отдельных или всех измерительных каналов системы.

При достижении измеряемой величиной указанного уровня на *СОИ* отображаются номера каналов, а следовательно, координаты точек информационного поля.

Довольно часто принципы мультиплицирования используются также при построении многоканальных графопостроителей.

Наряду с достоинствами мультиплицированные системы обладают рядом недостатков, которые в конечном итоге ограничивают их применение. Ранее мультиплицированные ИИС имели бесспорное преимущество перед многоточечными. С развитием микроэлектроники, созданием различных элементов измерительной техники в интегральном исполнении (особенно АЦП) значительно снизились размеры, мас-

са, стоимость и повысилась надежность измерительных каналов. Поэтому конкурентоспособными по сравнению с мультиплицированными ИИС в настоящее время стали одноканальные измерительные системы, использующие общее средство отображения информации. Однако мультиплицированные измерительные системы и приборы еще применяются в различных отраслях народного хозяйства.

Одна из схем построения трехканальной регистрирующей мультиплицированной ИИС перемещений приведена на рис. 6.19. Датчики  $D_1$ — $D_3$  представляют собой индук-

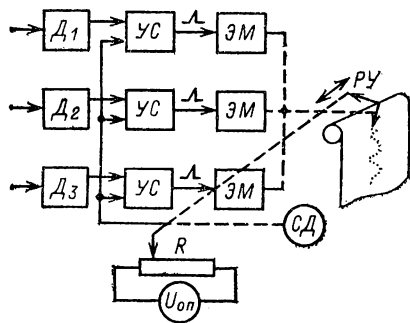


Рис. 6.19. Структурная схема трехканальной регистрирующей мультиплицированной ИИС

тивные преобразователи перемещения, индуктивность измерительной обмотки которых включена в схему унифицирующего преобразователя.

На выходе датчика действует напряжение постоянного тока с динамическим диапазоном 0—1 В. Напряжение с выхода датчиков подается на устройство сравнения СС. Образцовое напряжение формируется при помощи источника опорного напряжения  $U_{оп}$  и потен-

циометра  $R$ . Движок потенциометра  $R$  через кулисы связан с ротором синхронного двигателя СД, т. е. при вращении двигателя движок совершает линейные перемещения, изменяя образцовое напряжение от 0 до  $U_{оп}$ . Одновременно движок потенциометра, жестко связанный с регистрирующим устройством РУ, перемещает его над диаграммной бумагой.

При равенстве напряжений на входе УС последняя генерирует импульс напряжения, приводящий в действие один из трех электромагнитов ЭМ, соединенных с регистрирующим устройством РУ и перемещающихся вместе с ним. Электромагнит ЭМ притягивает пишущую часть РУ, делая тем самым отметку на диаграммной бумаге. Одновременно электромагнит отмечает на диаграмме номер соответствующего измерительного канала.

Описанная система является универсальной и может работать с любыми датчиками, имеющими унифицирован-

ный выход 0—1 В постоянного напряжения. Она обладает большим моментом, создаваемым СД, и высокой точностью. Класс точности указанного устройства (без датчиков) 0,1. Наиболее ненадежным элементом в системе является контактный реохорд (потенциометр), который в некоторых системах описанного типа заменяется на бесконтактные элементы: индуктивный преобразователь перемещений с распределенными параметрами, фотопреобразователь и т. д., которые значительно увеличивают ресурс мультимплицированной ИИС.

Синхронные двигатели постоянного тока с вращающимся ротором также заменяются линейными двигателями, подвижная часть которых совершает линейные перемещения.

### **6.8. ИИС ПАРАЛЛЕЛЬНОГО ДЕЙСТВИЯ**

Под многоканальными ИИС параллельного действия в [23] подразумевается совместное применение нескольких измерительных устройств, средства отображения информации которых располагаются на пульте оператора. Подобные измерительные системы широко применяются на крупных энергетических сооружениях, металлургических предприятиях, в самолетах, на ледоколах и т. д. Однако приведенное определение является условным и не отражает истинного положения вещей.

На самом деле выделенные в отдельный класс ИИС параллельного действия представляют собой не что иное, как совокупность одноканальных автономных ИИС, каждая из которых решает свою частную измерительную задачу, а результаты их измерений имеют самостоятельное значение.

Основное достоинство — высокое быстродействие — принадлежит одноканальным ИИС, а недостаток — аппаратная избыточность — устранен в многоточечных ИИС.

Развитие микроэлектроники и средств вычислительной техники привело к созданию многопроцессорных управляющих вычислительных машин, позволяющих решать одновременно несколько задач и осуществлять управление несколькими объектами. Применение многопроцессорных ЭВМ в измерительной технике сделало первый шаг в создании ИИС четвертого поколения — ИИС параллельного действия — многопроцессорных ИИС.

Многопроцессорные ИИС позволяют параллельно получать информацию от всех или части точек информационного поля, одновременно ее обрабатывать и синтезировать

один или несколько параметров или образов, характеризующих состояние объекта. Многопроцессорные ИИС применяются для проведения косвенных, совместных и совокупных измерений в реальном масштабе времени. Структурная схема ИИС параллельного действия приведена на рис. 6.20.

Информация из различных точек информационного поля, преобразованная с помощью первичных  $ПП_1—ПП_n$ , унифицирующих  $УИП_1—УИП_n$  и аналого-цифровых  $АЦП_1—АЦП_n$  преобразователей в соответствующий код, одновременно подается на входы многопроцессорной уп-

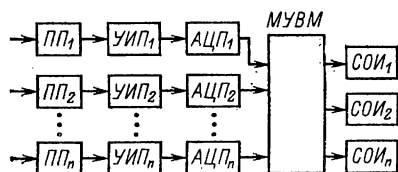


Рис. 6.20. Структурная схема ИИС параллельного действия

равляющей вычислительной машины МУВМ, где происходит одновременная ее обработка. Результаты обработки выводятся на одно из СОИ, причем на средства отображения информации могут выводиться не только основные параметры, но и результаты промежуточных вычислений.

Наряду с обработкой МУВМ осуществляет одновременное и независимое управление каждым измерительным каналом, реализуя тот или иной алгоритм измерения.

Высокая эффективность многопроцессорных ИИС определяется:

отсутствием коммутаторов, усложняющих систему, снижающих ее надежность, быстродействие и являющихся источниками дополнительных погрешностей;

высоким быстродействием при проведении таких сложных видов измерений, как косвенные, совокупные и совместные;

возможностью независимого управления процессом получения информации одновременно каждым измерительным каналом;

возможностью сервисного обслуживания каждого измерительного канала без прерывания процесса измерения в остальных.

Недостатком ИИС параллельного действия является пока еще ограниченное число одновременно решаемых задач (измерительных) УВМ. Однако имеются предпосылки к созданию МУВМ, имеющей несколько десятков входов,

В настоящее время отечественная промышленность освоила выпуск МУВМ ПС-2000 и ПС-3000.

Главными особенностями МУВМ ПС-2000 являются наличие одного общего устройства управления всеми процессорами и невысокая разрядность обрабатываемой информации (до 24 бит), что значительно ограничивает класс решаемых задач, а главное, с точки зрения измерений, имеет низкую точность решения.

Модель МУВМ ПС-3000 имеет несколько автономных устройств управления (до четырех) и более высокую разрядность обрабатываемой информации (до 64 бит), что повышает гибкость системы, дает возможность динамической перестройки в процессе эксплуатации, а также позволяет распараллелить процесс вычисления и повысить его точность.

Под динамической перестраиваемостью структуры МУВМ ПС-3000 подразумевается автоматическое выделение на каждом шаге вычислений необходимого числа аппаратно-программных ресурсов. Для этой цели программа разбивается на несколько последовательно-параллельных участков, образующих ветви вычислительного процесса. Программе МУВМ последовательно, на каждом шаге вычисления, выделяется одно арифметическо-логическое устройство и столько управляющих процессов, сколько параллельных операций она должна выполнить.

Каждая ветвь программы может затребовать необходимое ей число каналов ввода-вывода.

В отличие от многомашинных комплексов, где используются процесс распараллеливания по задачам, в МУВМ ПС-3000 используется распараллеливание по ветвям и внутри ветвей по вычислительным и управляющим операциям, что значительно экономит аппаратные затраты и повышает производительность вычислительной системы.

Многопроцессорная управляющая вычислительная машина ПС-3000 содержит однородное поле из четырех однотипных, взаимозаменяемых и автономно функционирующих управляющих (скалярных) процессоров и однородное поле из 16 однотипных, взаимозаменяемых, автономно и асинхронно работающих арифметическо-логических устройств (АЛУ).

Основные особенности системы команд: повышенный по сравнению с уровнями известных МУВМ уровень команд, что значительно сокращает число операторов программы; управление организацией и объединением ветвей в дина-

мике, управление выполнением команд с векторными операндами; наличие команд для работы со списками; широкое использование масок, обеспечивающих гибкое управление векторными вычислениями. Высокая надежность обеспечивается возможностью перестройки структуры при выходе из строя скалярных процессоров или АЛУ, а также благодаря однородной структуре и наличию скользящего резерва для каждого типа процессоров и модулей оперативной памяти.

Высокая производительность МУВМ ПС-3000 достигается не путем использования быстродействующей элементной базы, а благодаря многопроцессорной организации, динамической перестраиваемости структуры, распараллеливанию вычислений и управлению ими, децентрализации управления на уровне ветвей и команд, реализации распределенной операционной системы на периферийных процессорах и т. д.

В состав МУВМ ПС-3000 входят четыре управляющих процессора и два векторных процессора, каждый из которых содержит до восьми АЛУ, два модуля главной памяти (по 4 Мбайт в каждом), системные устройства ввода-вывода, внешней памяти и управления. Все скалярные процессоры имеют прямой доступ к главной памяти.

Максимальное число задач или ветвей задач равно четырём. Максимальная производительность для 32-разрядных чисел при скалярных операциях не более 8,0 млн. операций/с, при векторных операциях не более 20,0 млн. операций/с.

Суммарная пропускная способность каналов ввода-вывода 48 Мбайт/с.

Управляющий процессор осуществляет чтение и обработку команд, выполнение команд управления и скалярных операций, управление работой векторного процессора и организацию обмена данными, связь с периферийными устройствами.

Векторный процессор выполняет векторные операции по заданиям, получаемым от двух управляющих процессоров. Содержит два комплекта регистров, в каждый из которых можно помещать по 256 64-разрядных слов.

Комплекс управления осуществляет диспетчеризацию процесса решения задач, а также функции пульта оператора. При этом он обеспечивает ввод команд оператора и заданий с клавиатуры, компакт-кассеты, гибких магнитных дисков и перфокарт, вывод на экран и печать сообщений

для оператора, вывод информации на устройства хранения.

Управляющее устройство komponуется на базе микро-ЭВМ СМ-50/60 и содержит символьный дисплей с клавиатурой, накопители на магнитной ленте и дисках, устройства последовательной и параллельной печати.

В состав внешней памяти входят до 16 накопителей на магнитных дисках ЕС-5061 емкостью 28 Мбайт каждый, до 16 магнитных лент ЕС-5012 общей емкостью 176 Мбайт.

Многопроцессорная управляющая вычислительная машина ПС-3000 обеспечивает подключение до 13 терминальных устройств. В ее составе могут быть использованы все периферийные устройства от ЭВМ СМ-1, СМ-2, СМ-2М и СМ-50/60.

## **Глава седьмая**

# **ГОСУДАРСТВЕННАЯ СИСТЕМА ПРОМЫШЛЕННЫХ ПРИБОРОВ И СРЕДСТВ АВТОМАТИЗАЦИИ**

## **7.1. НАЗНАЧЕНИЕ И ПРИНЦИПЫ ПОСТРОЕНИЯ**

50-е годы нынешнего столетия характеризуются высоким темпом роста промышленного потенциала страны и интенсивным развитием приборостроения. В различных организациях и на предприятиях многих министерств разрабатывалось большое количество разнообразных приборов и средств измерений, обладающих сходными техническими характеристиками. Удовлетворение потребностей народного хозяйства в изделиях приборостроения и автоматизации производилось без выработки единых требований к разрабатываемой аппаратуре. Вследствие этого в тот период выпускались средства измерений, имеющие одинаковые динамические диапазоны и вид входного сигнала. Они выполнялись в корпусах произвольных размеров и различного эстетического исполнения, обладали разной стоимостью и энергопотреблением, были выполнены по разным схемам и использовали различную элементную и конструктивную базу. Совместная работа разрабатываемых приборов и устройств практически не предусматривалась, так как на панелях приборов отсутствовали выходные разъемы, а уровни и вид выходных сигналов не унифицировались. Поэтому для каждого конкретного случая сбора информации разрабатывались свои средства измерений, что являлось экономически нецелесообразным и требовало значительных временных затрат на построение каждого прибора или системы.



При этом потребность народного хозяйства в средствах приборостроения и автоматизации непрерывно увеличивалась.

Все это послужило толчком к тому, что в СССР в 1960 г. было принято решение о создании государственной системы промышленных приборов и средств автоматизации (ГСП), а в 1961 г. начаты работы по ее реализации.

ГСП разрабатывалась с целью экономически и технически целесообразного решения проблемы обеспечения техническими средствами различных отраслей народного хозяйства. В настоящее время согласно ГОСТ 12997—76 ГСП представляет собой эксплуатационно, информационно, энергетически, метрологически и конструктивно организованную совокупность изделий, предназначенных для использования в качестве средств автоматических и автоматизированных систем контроля, измерения, регулирования технологических процессов, а также информационно-измерительных систем.

В основу создания и совершенствования ГСП были положены следующие системно-технические принципы:

- разделение технических средств по функциональному назначению;
- минимизация номенклатуры и числа технических средств;

- блочное-модульное построение приборов и устройств;

- агрегатное построение ИИС и систем управления;

- совместимость приборов и устройств ГСП в ИИС и системах управления.

В зависимости от назначения изделия ГСП разделены на следующие группы устройств:

- для получения информации о состоянии процесса или объекта;

- для приема, преобразования и передачи информации по каналам связи;

- для преобразования, обработки и хранения информации и формирования команд управления;

- для использования командной информации.

Так как последняя функциональная группа устройств присуща лишь системам управления, то в дальнейшем рассматриваться не будет.

К первой группе устройств в зависимости от способа представления информации относятся измерительные преобразователи (датчики) и измерительные приборы. Датчики предназначены для выработки измерительной информации в форме, удобной для передачи и дальнейшего преобразования, но не поддающейся непосредственному восприятию наблюдателем. Приборы предназначены для представления измерительной информации в форме, доступной для непосредственного восприятия наблюдателем. В эту же группу устройств входят унифицирующие измерительные преобразователи.

Средства получения информации являются самой многочисленной группой изделий ГСП — свыше половины номенклатуры всех техниче-

ских средств приходится на средства получения информации. Такое положение объясняется тем, что вид измеряемого параметра и условия эксплуатации на конкретном объекте определяют специфические требования к конструкции и существенно ограничивают унификацию датчиков. Так как характеристики датчиков, располагаемых обычно в неблагоприятных условиях, в основном определяют метрологические характеристики всей измерительной системы, то непрерывно идет совершенствование и обновление конструкций, а также поиск новых физических эффектов и явлений для построения более точных и простых преобразователей. Так, например, чувствительность параметров полупроводниковых элементов к давлению использована в комплексе точных тензорезисторных датчиков «Сапфир», позволяющих измерять абсолютное (651ДА, 652ДА) и избыточное (651ДИ, 652ДИ) давление, давление в вакууме (651ДВ, 652ДВ) и другие параметры. Класс точности преобразователей 0,6; 1,0; 1,5. Рабочий диапазон температур окружающей среды 1—50 °С и относительной влажности от 30 до 80 %.

Промышленностью выпускаются различные типы датчиков для измерения тепло- и электроэнергетических величин, определения химического состава и свойств веществ, измерения механических величин.

Однако потребность народного хозяйства в датчиках еще остается неудовлетворительной как по количеству, так и по их техническим характеристикам.

Вторую и третью функциональные группы устройств ГСП с точки зрения использования технических средств в устройствах сбора информации целесообразно рассматривать совместно. Устройства этой группы выполняют разнообразные функции и существенно отличаются по конструкции друг от друга. В эту группу устройств входят измерительные коммутаторы, кодирующие и декодирующие устройства, функциональные и операционные преобразователи, показывающие и регистрирующие приборы, а также управляющие электронные вычислительные машины (УВМ).

В данном параграфе ограничимся рассмотрением лишь регистрирующих приборов, являющихся одними из важных технических средств ГСП.

При сборе информации, когда требуется повышенная точность и наличие графика изменения измеряемой величины на диаграммной ленте, используются регистрирующие приборы. Применение регистрирующих приборов повышает эффективность восприятия показаний и обеспечивает запоминание информации. Широкое применение для указанных целей находит комплекс унифицированных вторичных приборов серии КС. Эти приборы обладают расширенными функциональными возможностями и позволяют измерять и регистрировать электрические сигналы от датчиков температуры, расхода и давления, а также любые унифицированные сигналы; осуществлять преобразование и нормиро-

вание сигналов датчиков для связи с различными устройствами ГСП.

Блочно-модульный принцип конструкции приборов серии КС обеспечивает высокую технологичность, удобство и простоту их обслуживания и эксплуатации.

Все входящие в приборы детали и узлы унифицированы, что обеспечивает их полную взаимозаменяемость. Смена пределов измерения, переход от одного принципа измерения к другому, изменение его функции осуществляются сменой или добавлением того или иного модуля или блока.

Существует несколько типов приборов серии КС: КП — миниатюрные показывающие приборы с длиной шкалы 100 мм; КСП1, КСП2, КСП4 — автоматические показывающие и самопишущие приборы с шириной диаграммной ленты 100, 160 и 250 мм соответственно; КВ1 — показывающие приборы с вращающимся циферблатом и длиной шкалы 500 мм; КСЗ — автоматические приборы с дисковой диаграммой.

При необходимости одновременного получения информации о десятках и сотнях параметров возникает проблема компактного размещения СОИ на пульте оператора. Эта проблема была решена разработкой узкопрофильных показывающих приборов АСК. В приборах комплекса АСК за счет применения светового отсчета и измерительного механизма специальной конструкции удалось существенно уменьшить габаритные размеры приборов, что позволило в поле обзора оператора размещать большое количество приборов.

Вопросы минимизации номенклатуры изделий ГСП являются наиболее сложными и требуют тщательного анализа потребностей народного хозяйства в измерении тех или иных физических величин, диапазона их изменения, наиболее «напряженных» участков диапазона измерений и т. д.

Процесс минимизации начинается с предварительного выделения некоторых основных (главных) параметров, подлежащих измерению (например, напряжение постоянного тока, давление, перемещение и т. д.), и определения минимально необходимого числа приборов, имеющих различные диапазоны измерения, при построении которых в ряд удастся полностью перекрыть весь диапазон изменения основного параметра. Такие ряды получили название параметрических. В формулировке, данной в ГОСТ 12997—76, параметрический ряд — это совокупность изделий одинакового функционального назначения, имеющих один и те же основные параметры, для которых изменение значений главного параметра при переходе от предыдущего числа ряда к последующему подчиняется определенным закономерностям. В качестве закономерности преимущественно применяется геометрическая прогрессия, основанная на ряде предпочтительных чисел.

В настоящее время разработаны параметрические ряды датчиков давления, расхода, уровня, температуры и электроизмерительных при-

боров. Однако непрерывно продолжается поиск оптимальных параметрических рядов, причем в качестве критериев оптимальности принимаются технико-экономические показатели, такие как, например, минимум суммарных затрат на удовлетворение заданных потребностей. Этот критерий основан на противоречии между интересами потребителя и изготовителя: чем меньше в ряду приборов, тем меньше затрат на разработку, освоение, тем более крупными сериями они производятся, что дает значительную экономию изготовителю. Вместе с тем увеличение числа приборов в ряду позволяет потребителю выбрать более приемлемый прибор, что обеспечит экономию за счет полного использования последнего или за счет более точного поддержания режима технологического процесса. Для реализации принципа минимизации применяется также метод агрегатирования. Изделия агрегатных комплексов разрабатывают в виде функционально-параметрических рядов, которые охватывают требуемый диапазон измерения в различных условиях эксплуатации.

При конструировании приборов и систем ГСП применен блочно-модульный (кассетно-модульный) способ построения. Он заключается в том, что любые структурно- или функционально-сложные системы сбора информации выполняются из ограниченного числа простых стандартных блоков и модулей. Используя стандартные узлы, выполненные в определенных конструктивах, можно создавать системы любой сложности, легко перестраивать их структуры, придавать системам новые функциональные свойства, создавать системы, простые в обслуживании и ремонтоспособные. Одновременно легко решаются вопросы резервирования, что повышает надежность приборов и систем.

Наиболее ярко блочно-модульный принцип построения приборов проявляется при создании приборов серии КС. Так, 240 модификаций приборов типа КС1 собираются лишь из 26 блоков и модулей, а более 340 модификаций приборов типа КС2 из 55 блоков и модулей.

По кассетно-модульному способу в настоящее время строятся перепрограммируемые цифровые многоканальные приборы (логгеры). Все функционально законченные элементы логгера выполняются в виде печатных плат, вставляемых при помощи направляющих и разъемов в стандартный каркас.

Следует отметить, что кассетно-модульный принцип конструирования многофункциональных программируемых измерительных устройств и приборов стал особенно распространенным благодаря внедрению в измерительную аппаратуру микропроцессоров и мини-ЭВМ. Другим характерным примером реализации рассматриваемого принципа конструирования является создание комплекса унифицированных датчиков компенсационного типа. Эти датчики с унифицированными пневматическими и электрическими токовыми выходными сигналами предназначены для преобразования различных физических величин.

Несмотря на разнообразие физической природы измеряемых величин, каждый преобразователь содержит всего два блока: унифицированный электрический или пневматический преобразователь измеряемой величины в усилие и измерительный блок.

Для 136 типов и 863 модификаций датчиков, предназначенных для измерения 12 параметров, используются всего около 600 наименований деталей.

Современные системы управления технологическими процессами и производством, устройства массового сбора информации и информационно-измерительные системы являются сложными структурами, причем сложность их в каждом конкретном случае зависит от объема решаемой задачи и условий эксплуатации.

Разработка и изготовление (индивидуальное или мелкосерийное) каждой конкретной системы практически никогда не удовлетворит потребности народного хозяйства в средствах приборостроения и автоматизации.

Опираясь на системотехнический принцип минимизации номенклатуры изделий, а также блочно-модульный принцип компоновки приборов и устройств ГСП, сформулировали принцип агрегатирования как построение функционально более сложных устройств и систем из ограниченного набора более простых унифицированных изделий методом «стыковки». Под методом «стыковки» подразумевается обеспечение конструктивной совместимости изделий ГСП без дополнительной разработки блоков их сочленения.

При построении рассматриваемых систем очень часто наряду с требованием конструктивной совместимости возникают и требования информационной, эксплуатационной, метрологической и прочих совместимостей, которые будут рассмотрены далее. Агрегатный принцип построения систем является наиболее прогрессивным, так как дает возможность потребителю при минимальных затратах компоновать любую требуемую структуру из набора модулей и блоков, серийно выпускаемых промышленностью.

Конструктивно принцип агрегатирования в ГСП может быть реализован двумя путями. Один путь предусматривает создание устройств и приборов с новыми функциональными возможностями или характеристиками путем объединения унифицированных элементов, модулей и блоков в некоторой унифицированной базовой конструкции. Этот путь используется при создании относительно несложных средств измерения и управления, таких как датчики, основанные на одном принципе действия, или регистрирующие и показывающие приборы. Типичным примером является комплекс приборов типа КС, унифицированной базовой конструкцией которых является корпус прибора, несущий лентопротяжный механизм. Размеры корпуса определяются шириной диаграммной бумаги.

Все унифицированные блоки и узлы располагаются на передней панели, которая легко извлекается из корпуса.

Другой путь агрегатирования использует в качестве конструктивной основы комплекс унифицированных типовых конструкций (УТК). При этом структура изделий ГСП приобретает конструктивно-иерархический характер, т. е. изделия, выполненные на базе типовых конструкций низшего порядка, могут последовательно устанавливаться в любую из типовых конструкций более высокого порядка, каждый раз образуя конструктивно-законченные изделия.

Существуют два направления в разработке конструктивных решений функциональных блоков (ФБ):

выполнение их в виде отдельных законченных приборов с индивидуальными источниками питания и органами управления, т. е. имеющие, помимо применения в системах, для которых они создаются, и самостоятельное эксплуатационное значение;

выполнение в виде агрегатных модулей, встраиваемых в блок или переходный каркас, вставляемый в стойку или шкаф; источник питания в этом случае является общим для стойки, а автономное управление в большинстве случаев отсутствует.

Первое направление характерно для систем, создаваемых у потребителей из серийных блоков и приборов. В таких случаях компонентами системы являются законченные изделия с аттестованными технико-экономическими характеристиками.

Часто оба принципа конструирования совмещаются. Например, в качестве АЦП в некоторых системах используются готовые цифровые вольтметры, имеющие вывод сигнала с выхода АЦП.

В основу УТК были взяты конструктивные решения, предложенные при создании комплекса технических средств для локальных информационно-управляющих систем (КТС ЛИУС), дополненные конструктивными элементами комплекса электроизмерительной техники (АСЭТ).

Таким образом, УТК состоит из двух частей: общепромышленной и приборной.

Приборная часть УТК полностью соответствует международным стандартам (стандарт СЭВ 834—77, который определяет основные размеры панелей, каркасов и стоек). В качестве базового используется размер 19 дюймов, который предусматривает ширину передней панели каркаса, равную 482,6 мм, с соответствующими кратными приращениями габаритных размеров и шагом координатной сетки (разметки печатных плат), равным 2,54 мм. Ширина передней панели сменного блока выбирается равной 17,2 мм. Комплекс УТК позволяет обеспечить конструкторскую реализацию аналоговых и дискретных агрегатных модулей ГСП, в том числе с использованием БИС и микропроцессоров; конструктивную компоновку из агрегатных модулей разнообразных

функциональных блоков ввода, вывода, обработки, хранения, передачи и отображения информации; конструктивное размещение и электрическое объединение функциональных блоков, защиту установленного оборудования от воздействия окружающей среды, а также формирование интерьеров операторских и диспетчерских пунктов.

Несмотря на широкое внедрение комплекса УТК первой очереди, он обладает такими недостатками, как избыточность номенклатуры изделий и типоразмеров и низкая степень универсальности отдельных конструктивов. В настоящее время эти вопросы частично решены при разработке УТК второй очереди.

УТК второй очереди развивается по пути децентрализации обработки информации, т. е. переноса части функций, выполнявшихся раньше центральной частью (центральным процессором), в низовые субкомплексы и терминалы, построенные на базе микропроцессоров.

В качестве мер, направленных на повышение уровня унификации, можно отметить начало использования только одного размера печатной платы с габаритными размерами  $235 \times 160$  мм и шагом 2,5 мм, что соответствует шагу координатной сетки и габаритным размерам, близким габаритным размерам аналогичной европлаты.

Таким образом, использование единых конструктивов, позволяющих создавать параметрические ряды устройств одного функционального назначения и унифицированные комплексы устройств различного назначения, позволяет комплектовать агрегатные комплексы технических средств ГСП.

Агрегатные комплексы (АК) предназначены как для самостоятельного применения в соответствии с их назначением, так и для системного применения во взаимосвязи с другими агрегатированными комплексами.

В настоящее время промышленностью выпускается около 30 агрегатных комплексов, предназначенных для получения информации, ее обработки, хранения, документирования, программного управления технологическими процессами и объектами исследования и т. д. Комплексы ГСП можно условно разделить на две группы: АК широкого назначения и специализированные АК.

Комплексы широкого назначения, как правило, используются самостоятельно и предназначены для управления в различных отраслях народного хозяйства [КТС ЛИУС, АСЭТ, комплексы средств вычислительной техники (АСВТ) и телемеханики (АСТТ) и т. д.]. Специализированные АК предназначены для получения определенного вида информации. Это агрегатированные комплексы средств неразрушающего контроля (АСНК), средств аналитической техники (АСАТ), средств сбора первичной информации (АСПИ) и др. При компоновке ИИС они используются совместно, а также с АК широкого назначения, особенно с АСЭТ, АСВТ и АСТТ.

Совместное использование функциональных блоков различных АК накладывает особые требования на совместимость их в изделиях, причем под совместимостью понимается совокупность характеристик, обеспечивающих совместное использование технических средств в заранее предусмотренных сочетаниях без использования дополнительных аппаратурных средств.

Существует несколько видов совместимости: метрологическая, электрическая, конструктивная, информационная, эксплуатационная и т. д. При построении ИИС из набора функциональных блоков (ФБ) необходимо, чтобы каждый ФБ имел строго нормированные характеристики, основной из которых является погрешность. Это требование, с одной стороны, позволяет сопоставить результаты измерения и рассчитать результирующую погрешность, а с другой стороны, дает возможность подобрать ФБ с близкими значениями основной погрешности, тем самым снизить затраты на приобретение прецизионной аппаратуры. Так, например, при работе с емкостными датчиками давления, основная погрешность которых составляет 2,5—5 %, а дополнительная температурная погрешность 0,5 % на 10 °С, не следует использовать высокоточные цифровые вольтметры классов 0,01—0,05, имеющие высокую стоимость, а вполне достаточно использовать дешевые приборы классов 0,1—0,5. Рассмотренные требования определяют метрологическую совместимость.

Электрическая совместимость накладывает определенные требования на вид, уровень и мощность сигналов, несущих информацию. Действительно, для обеспечения нормальной работы системы необходимо, чтобы параметры выходного сигнала предыдущего преобразователя по уровню, виду и мощности были согласованы с входными параметрами последующего.

Технические средства ГСП используют для передачи информации электрическую, пневматическую и гидравлическую энергии. Так как гидравлические преобразователи применяются в основном в качестве исполнительных органов, то унифицированы лишь электрические (см. § 6.3) и пневматические ( $2 \cdot 10^4$ — $10 \cdot 10^4$  Н/м<sup>2</sup>) сигналы.

При использовании логических элементов в составе системы накладывается требование на их совместимость, так как применение различных типов логических элементов потребует дополнительных аппаратурных затрат для обеспечения их совместной работы.

Конструктивная совместимость предусматривает согласованность конструкций и механическое сопряжение функциональных модулей и обеспечивается в приборах и системах применением комплекса УТК.

Эксплуатационная совместимость требует выполнения единых правил на обслуживание, настройку и ремонт технических средств. В некоторых случаях при компоновке модулей или каркасов в стойки или шкафы необходимо обеспечивать заданный уровень источников питания.

Наибольший интерес представляет информационная совместимость,



которая проявляется в многоканальных системах, особенно при работе нескольких функциональных модулей на общий канал связи (магистраль). Обмен информацией между различными устройствами ГСП осуществляется при помощи интерфейсов, которые обеспечивают передачу информации в обоих направлениях и используются для сопряжения управляющих вычислительных комплексов и других технических средств с кодированными сигналами.

Существует несколько определений интерфейса, и, хотя они несколько отличны друг от друга, их суть сводится к одному. Интерфейс представляет собой совокупность единых правил и средств, устанавливающих и реализующих взаимодействие устройств системы, предназначенных для сбора, переработки и использования информации. Таким образом, интерфейс состоит из информационной и аппаратурной частей.

Аппаратурная часть (интерфейсные карты или платы) позволяет осуществлять информационный обмен управляющими, адресными, известительными и другими сигналами между функциональными модулями, а информационная определяет порядок обмена сигналами и информацией.

Для обеспечения информационной совместимости технических средств интерфейсы также унифицируются.

В ГСП наибольшее распространение получили интерфейсы «Общая шина (ОШ)», 2К и «Единый интерфейс (ЕИ)».

Интерфейс ОШ представляет собой наиболее распространенный вид машинного интерфейса и подробно рассмотрен в § 8.3.

Интерфейс 2К реализуется в простых структурах, в которых связь между ФБ осуществляется по индивидуальным линиям связи, и применяется в управляющих вычислительных комплексах М7000, СМ-1, СМ-2 и МУО. Интерфейсы семейства ЕИ используются в основном в АК широкого назначения. Интерфейс ЕИ является трехуровневым: ЕИ0 предназначен для связи между функциональными модулями внутри блока ввода-вывода; ЕИ1 — для связи между блоком управления и функциональными блоками и блоками ввода-вывода; ЕИ2 — для связи между блоками управления и блоками памяти,

Интерфейсы определяют скорость сбора информации, загрузку памяти ЭВМ или контроллера, стоимость аппаратуры. Поэтому в настоящее время ведутся интенсивные работы по созданию рациональных интерфейсов для решения различных классов измерительных задач.

## **7.2. АГРЕГАТИРОВАННЫЙ КОМПЛЕКС СРЕДСТВ ВЫЧИСЛИТЕЛЬНОЙ ТЕХНИКИ**

Агрегатированный комплекс средств вычислительной техники (АСВТ) является базой современных управляющих вычислительных машин.

Разработка АСВТ была начата в 1965 г. Цель его создания заключалась в получении рационально ограниченного набора цифровых вычислительных устройств с унифицированными внешними связями.

В рамках ГСП комплекс АСВТ, как и АСЭТ, представляет собой совокупность технических средств вычислительной техники, характеризующихся всеми видами совместимости и предназначенных для построения на их основе информационных, информационно-управляющих, информационно-измерительных и вычислительных комплексов различной архитектуры для различных областей применения.

В зависимости от назначения вычислительные комплексы в рамках АСВТ делятся на базовые, типовые и специализированные. Базовый комплекс является ядром для компоновки на его основе совместно с другими ФБ типовых и специализированных комплексов. Типовой комплекс — это серийно выпускаемый комплекс универсального назначения, используемый в АСУ, ИВК, ИИС различных отраслей промышленности. Он комплектуется на основе базового комплекса и требуемых ФБ. Специализированный комплекс комплектуется по спецификации заказчика на основе одного из базовых или типовых комплексов и требуемых ФБ и используется в системах конкретного назначения.

Типовые комплексы отличаются составом ФБ и как следствие техническими характеристиками и возможностями.

На каждом этапе разработки комплекса применяется единая элементная и конструкторско-технологическая база. Переход технических средств АСВТ на новую более прогрессивную элементную базу приводит к смене накопленных вычислительных устройств комплекса. К настоящему времени в развитии АСВТ просматриваются три этапа, отличающихся друг от друга используемой элементной базой, машинной мощностью и функциональными возможностями.

Первое поколение комплекса АСВТ-Д, выполненное на дискретной элементной базе (электронные лампы и полупроводниковые элементы), было разработано и подготовлено к серийному выпуску в 1966—1969 гг.

В номенклатуру комплекса АСВТ-Д входят следующие устройства: вычислительного комплекса (процессоры, каналы; оперативные и постоянные запоминающие устройства; специализированные вычислительные комплексы);

внешней памяти (накопители на магнитной ленте, барабанах, дисках и т. д.);

ввода-вывода кодированной информации (считыватели с перфолен-ты, перфокарт, специальных носителей и т. д.);

ввода-вывода символьной и графической информации (считыватели текста, диаграмм, клавиатуры, печатающие устройства и т. д.);

связи с объектом и средствами аналоговой техники (устройства ввода-вывода аналоговых и дискретных сигналов);

для внесистемных и внутрисистемных связей.

В рамках АСВТ-Д были разработаны процессоры М-1000, М-2000, М-3000, М-1010. В настоящее время технические средства этого комплекса заменены на соответствующие модели последующих поколений.

Второе поколение комплекса АСВТ-М (с широким использованием микроэлектроники) начало развиваться в 1972 г. с разработки набора ФБ, предназначенных для компоновки автономных и низовых локальных информационных и управляющих вычислительных систем, работающих в реальном масштабе времени.

Это поколение связано с появлением микроэлектронной элементной базы (БИС низкого уровня интеграции), более развитым математическим обеспечением и более полным составом технических средств: приоритетные прерывания; дополнительные сопряжения (интерфейс 2К); групповые преобразователи электрических сигналов; термодары, термометры сопротивления и датчики ЭДС; группа АЦП и коммутационных устройств; выносные преобразователи ПС-1 и т. д.

Вся номенклатура ФБ второго поколения АСВТ по своему функциональному назначению делится на устройства центрального управления, переработки и хранения информации связи с объектом, с оперативным персоналом, внутрисистемной связи, устройства выхода на внешние (внесистемные) линии связи, согласователи. На базе средств АСВТ-М создан ряд вычислительных комплексов: микропрограммные автоматы—машины централизованного контроля и управления М-40 и М-6010, управляющие вычислительные комплексы М-400, М-6000, М-7000, перфорационный комплекс М-5000, универсальные ЭВМ М-4030 и т. д.

Машины централизованного контроля и управления (МЦК) семейства М-40 предназначены для сбора, первичной обработки и регистрации информации, многоканального двухпозиционного регулирования вывода информации на цифровые индикаторы и электронно-лучевые трубки. Количество входных каналов достигает 1688, частота опроса датчиков с унифицированным выходным сигналом не более 400 каналов/с. Быстродействие процессора — 400 тыс. операций/с, емкость ЗУ не более 128 Кбайт. В комплексах УВМ машины централизованного контроля М-40 и М-6010 выполняют функции микропрограммных процессоров с фиксированной программой.

УВК М-400 — это малый управляющий комплекс, все устройства которого объединены с помощью интерфейса ОШ. Наибольшее применение УВК М-400 нашел в системах автоматизации научного эксперимента и в АСУ ТП. Комплекс имеет систему приоритетных прерываний. Скорость обмена информацией по общей шине до 800 тыс. 16-разрядных слов/с.

Комплексы М-6000, М-7000 — самые распространенные УВК из серии АСВТ-М. На их основе выпускается более 15 типовых УВК, которые обеспечивают сбор и первичную обработку информации в сложных

и иерархических системах. Они имеют более совершенную систему связи с объектом управления, широкую систему команд, развитое программное обеспечение и удобную систему прерываний. Основные технические характеристики: разрядность 16 бит, емкость памяти не более 265 Кбайт, быстродействие 400 тыс. операций/с, интерфейс 2К.

М-4030 — наиболее мощная и быстродействующая ЭВМ в АСВТ-М. Она предназначена для использования в качестве высшего звена в иерархических многомашинных системах управления, а также для автономного использования в качестве универсальной ЭВМ. Архитектура и система программного обеспечения обеспечивают совместимость М-4030 с ЕС ЭВМ по системе команд, форматам данных и интерфейсу ввода-вывода. Технические характеристики: разрядность 32 бита, емкость ЗУ 512 Кбайт, быстродействие 100 тыс. операций/с, интерфейс-2А (ЕС ЭВМ), суммарная пропускная способность каналов ввода-вывода 2 млн. байт/с. Программное обеспечение М-4030 включает в себя две операционные системы (ленточную и дисковую), тесты, библиотеки стандартных программ разного назначения.

Все возрастающая потребность в управляющей вычислительной технике, а также появление новейших достижений микроэлектроники — интегральных микросхем со средней и большой степенями интеграции привели к созданию третьего поколения управляющих машин.

В 1975 г. страны — члены СЭВ разработали международную систему малых ЭВМ (СМ ЭВМ), а в 1978 г. приступили к их серийному выпуску.

Работы по СМ ЭВМ в нашей стране являются продолжением и развитием разработок, выполненных по программе АСВТ-М. Главная характерная особенность малых ЭВМ — это небольшая стоимость при оптимальном удовлетворении функциональных требований потребителя.

Основным стандартом, определяющим конструктивную базу СМ ЭВМ, является стандарт СЭВ 834—77, который учитывает требования как отечественных, так и международных стандартов.

Таким образом, структура комплекса АСВТ остается в основном неизменной и состоит из машин централизованного контроля, УВК и универсальных ЭВМ. Однако состав АСВТ, в частности состав управляющих вычислительных комплексов, качественно изменился и дополнился рядом управляющих вычислительных машин серии СМ ЭВМ.

В зависимости от степени интеграции (средняя или большая) элементной базы разработаны и выпускаются технические средства СМ ЭВМ первой и второй очереди.

В СМ ЭВМ первой очереди разработаны процессоры четырех типов: СМ-1П; СМ-2П; СМ-3П; СМ-4П. Их можно разделить на две группы, различающиеся системами команд, способами подключения внешних устройств, способами организации прерываний; СМ-1П и

СМ-3П являются младшими моделями в своих группах, СМ-2П и СМ-4П — старшими. Процессоры одной группы совместимы между собой снизу вверх. Процессоры СМ-1П, СМ-3П ориентированы на работу в однопроцессорных комплексах с емкостью памяти до 32 Кслов, СМ-2П, СМ-4П — на работу как в однопроцессорных, так и в двухпроцессорных комплексах с емкостью памяти до 128 Кслов. При создании этих процессоров был использован опыт разработки, производства и применения процессоров М-40, М-400, М-6000, М-7000, поэтому основные технические характеристики их сравнимы между собой.

СМ ЭВМ ориентирована на системы автоматизации экспериментов и испытаний. Такая проблемная ориентация решается созданием развивающегося ряда измерительно-вычислительных комплексов (ИВК), которые представляют собой совокупность базовых УВК СМ-3 или СМ-4 и функциональных блоков АСЭТ.

Особенностью их архитектуры является применение интерфейса «Общая шина». Поэтому операции ввода-вывода в процессоре выполняются как обычные адресованные команды, что значительно облегчает работу с внешними устройствами.

Наличие стековой памяти, развитие системы адресации и системы прерываний, а также восьми регистров общего назначения позволяют получить высокое быстродействие при решении различных задач.

В состав базового комплекса СМ-4 входят следующие устройства: процессор СМ-4П с временем выполнения команд типа регистр—регистр 1,2 мкс (быстродействие 800 тыс. операций/с); оперативная память емкостью не более 248 Кбайт; перфоленочное устройство ввода-вывода МПР 51/301; алфавитно-цифровой дисплей ВИДЕОТОН-340; АЦПУ типа БАРО-1156 или ДЗМ-180; НМД типа ИЗОТ-1370—И12.

Программное обеспечение УВК СМ-3, СМ-4 не обладает универсальностью программного обеспечения больших ЭВМ и существенно проще. Однако оно позволяет совместно с аппаратурными способами эффективно решать главную задачу: обеспечить мультипрограммную работу в реальном масштабе времени. Оно включает в себя перфоленточную и дисковую операционные системы (ЛЮС и ДОС), перфоленточную и дисковую системы реального времени, средства программирования и отладки, средства проверки и тестирования оборудования, проблемно-ориентированные пакеты прикладных программ.

Вторая очередь СМ ЭВМ предусматривает создание средств вычислительной техники пяти классов: СМ-50, СМ-51, СМ-52, СМ-53, СМ-54. Класс СМ-50 — микро-ЭВМ, предназначенные как для автономного применения, так и для встраивания в сложные приборы и другое оборудование. Класс СМ-51 — системно-совместимые ЭВМ, разрабатываемые с целью обеспечения преемственности прикладного про-

граммного обеспечения первой очереди. Класс СМ-52 — это ЭВМ реального времени, вышедшие по производительности и емкости памяти и предназначенные для использования на верхних уровнях иерархии. Класс СМ-53 — мультимикропроцессорные и мультимашинные комплексы, построенные на основе моделей других классов. Класс СМ-54 — специальные процессоры, аппаратно реализующие специальные операции и функции. По программе второй очереди разработана и выпускается серийно микро-ЭВМ СМ-1800 класса СМ-50.

Серийно выпускаются три варианта базовых СМ-1800:

ЭВМ СМ-1801, состоящая из монтажного блока, модуля центрального процессора (МЦП) и модуля системного контроля (МСК); является основой микро-ЭВМ в каркасном исполнении;

ЭВМ СМ-1802, состоящая из автономного комплексного блока в приборном исполнении с передней панелью, модуля МЦП и МСК; является основой микро-ЭВМ в приборном исполнении;

ЭВМ СМ-1803, аналогичная по составу и назначению СМ-1802, но во встраиваемом исполнении.

Предусматривается реализация СМ-1800 в различных вариантах конструктивных компоновок: кассетном (на базе СМ-1801 и СМ-1802), тумбовом (на базе СМ-1803) и стойном (на базе СМ-1803).

ЭВМ СМ-1800 предназначена для использования в АСУП, в АСУ ТП, в автоматизированных системах для лабораторных и производственных измерений, в системах автоматизации научного эксперимента и т. д. Таким образом, СМ ЭВМ построена как агрегатная система средств, позволяющая компоновать УВК с оптимальным составом унифицированного оборудования. Программное обеспечение построено по модульному принципу, что обеспечивает возможность компоновки программных средств в соответствии с требуемыми режимами работы и выполняемыми функциями. СМ ЭВМ выполнена как открытая система с заложенными в ней возможностями пополнения и расширения как технологических средств, так и программного обеспечения.

### **7.3. АГРЕГАТИРОВАННЫЙ КОМПЛЕКС СРЕДСТВ ЭЛЕКТРОИЗМЕРИТЕЛЬНОЙ ТЕХНИКИ**

Во Всесоюзном научно-исследовательском институте электроизмерительных приборов (ВНИИЭП) был разработан и продолжает совершенствоваться агрегатированный комплекс средств электроизмерительной техники (АСЭТ).

АСЭТ — это совокупность технических средств электроизмерительной техники, характеризующихся энергетической, конструктивной, информационной, эксплуатационной и метрологической совместимостью и предназначенных для построения на их основе измерительных уст-

ройств, комплексов и систем различной сложности и для различных условий применения.

АСЭТ предназначен для измерения физических величин электрическими методами, а также сбора, преобразования, представления, первичной обработки и хранения измерительной информации в ИИС, в том числе при совместном использовании с машинными средствами обработки информации и управления объектами.

В соответствии с принципом агрегатирования АСЭТ построен на основе приборно-модульного и функционально-модульного способов агрегатирования, изложенных в ГОСТ 22315—77, 23915—79, 26.002—80, 26.003—80 и др. Приборно-модульный способ предусматривает разработку средств измерений и автоматизации, пригодных к непосредственной эксплуатации как автономно, так и в составе системы.

Функционально-модульный способ предусматривает разработку функционально и конструктивно законченных средств измерений и автоматизации, совокупность которых образует эксплуатационно законченные изделия.

Структура и состав АСЭТ не были строго определены и прошли в своем развитии три этапа.

На первом этапе (1971—1976 гг.) разработаны и освоены в серийном производстве средства АСЭТ первого поколения — более 240 типов с модификациями средств электроизмерительной техники, охватывающих около 80 модулей в рациональных параметрических рядах.

Средства АСЭТ второго поколения (1976—1980 гг.) заполнили параметрические ряды основных классов средств АСЭТ, построенных на первом этапе на эвристической основе. Таким образом, состав АСЭТ расширился более чем на 150 типов с 500 модификациями, удовлетворяющими системным требованиям технического уровня.

Третий этап развития АСЭТ (с 1981 г.) характеризуется включением в состав ИИС процессорных средств. Техническое и программное обеспечение в таких устройствах составляет единое целое, и достижение их рационального сочетания становится одной из важнейших задач проектирования.

Применение при построении и компоновке ИИС новейших достижений микроэлектроники и вычислительной техники (микропроцессоров, микропроцессорных наборов и микро-ЭВМ) выдвигает требование программной совместимости процессорных средств, используемых в измерительных системах, т. е. совместимости алгоритмов функционирования, а также их программных реализаций.

Выполнение в средствах АСЭТ преобразований в числовой форме составляет отличительную особенность этого этапа. Эта особенность вносит существенные дополнения в метрологическое обеспечение АСЭТ: ставятся проблемы анализа метрологических характеристик процессорных средств, методов имитационного моделирования, проблема созда-

ния программно-управляемых образцовых измерительно-вычислительных средств и разработки методов их метрологического обеспечения.

В составе комплекса АСЭТ появились устройства, целиком выполненные на одном кристалле БИС. Примером могут служить цифро-аналоговые (КМП 817ПА1) и аналого-цифровые (КМП 860ПВ1) преобразователи; создаются групповые преобразователи и другие системные средства в микроэлектронном исполнении.

Развитие элементной базы и расширение областей применения устройств АСЭТ повлекло за собой и изменение структуры комплекса. В настоящее время еще рано говорить о законченной структуре комплекса, однако можно производить классификацию АСЭТ.

В целом структура АСЭТ третьего поколения в укрупненном виде представляет собой совокупность четырех групп средств измерения. К ним относятся: аналоговые функциональные устройства, аналого-цифровые электроизмерительные средства, аналоговые устройства измерения и представления информации, блоки связи и устройства управления.

Дальнейшее деление внутри групп идет также по функциональному назначению. Так, например, в состав аналоговых функциональных устройств входят в основном измерительные преобразователи, применяемые традиционно в АСУ ТП электроэнергетики, а также в составе измерительно-вычислительных комплексов и информационно-измерительных систем.

Измерительные приборы, используемые в электроэнергетике, предназначены для линейного преобразования основных параметров электрических сетей постоянного и переменного токов в унифицированные сигналы ГСП.

Развитие этой группы преобразователей идет по пути более полного удовлетворения качественной и количественной потребностей различных отраслей народного хозяйства, прежде всего электро- и теплоэнергетики.

Основные технические характеристики ИП электроэнергетики в настоящее время достигли следующего уровня: погрешность преобразования 0,5 % (для ИП сопротивления изоляции 3 %), время преобразования 1,5 с (2,5 с для ИП активной мощности). Переход на новую микроэлектронную базу (гибридные интегральные микросхемы) позволит получить значение погрешности не более 0,2 %, а время преобразования 0,1—0,5 с.

Нормирующие преобразователи предназначены для линейного и функционального преобразования в унифицированный сигнал постоянного тока сигналов от термопреобразователей сопротивления, термоэлектрических преобразователей, тензометрических мостов, реохордов, потенциометров, дифференциально-трансформаторных и тахометриче-



ских датчиков. В настоящее время выпускаются в основном индивидуальные нормирующие ИП. Однако уже разрабатываются групповые ИП, наиболее целесообразные для использования в средних и больших системах.

Вторичные измерительные преобразователи, входящие в состав ИП аналоговых функциональных устройств, делятся на однородные и неоднородные в зависимости от вида входной и выходной величин.

Однородные ИП-измерительные усилители (ИУ) предназначены для линейного усиления и преобразования электрических сигналов постоянного тока низкого уровня (обычно унифицированных значений) в унифицированный сигнал высокого уровня.

В соответствии с ГОСТ 5895—78 современные ИУ имеют следующие метрологические характеристики: динамический диапазон 0—1000 мВ, основная погрешность  $\pm(0,05—1,0)\%$ , время преобразования 0,1—0,01 мс, коэффициент подавления помехи 100 дБ.

В настоящее время разрабатываются многопредельные ИУ с корректируемой частотной характеристикой, а также многофункциональные ИУ с автоматическим изменением режимов работы.

Неоднородные ИП предназначены для преобразования параметров электрических цепей в унифицированные выходные параметры.

В номенклатуру неоднородных ИП входят преобразователи: напряжения постоянного тока в напряжение переменного тока; напряжения переменного тока в напряжение постоянного тока; постоянного тока в частоту; частоты в напряжение постоянного тока; частоты в постоянный ток.

Погрешность указанных преобразователей составляет 0,1—0,2 %.

Основную группу аналого-цифровых электроизмерительных средств АЦЭС составляют измерительные коммутаторы, которые занимают до 15—20 % объема всего оборудования в ИИС. Примером ИК, в котором наиболее полно реализованы системные требования, является коммутатор Ф7086. Его основные технические характеристики следующие: погрешность коммутации 0,001 % и время переключения 5 мс при использовании контактных ключей, погрешность 0,01 % и время переключения 5 мкс при использовании бесконтактных ключей, уровень коммутируемых сигналов до 10 В, число каналов коммутаторов 32—16 000, что обеспечивает создание суперсистем. В АСЭТ используются коммутаторы, имеющие сканирующую и матричную структуры.

Аналого-цифровые преобразователи, представляющие собой самостоятельную группу средств АСЭТ, выпускаются нескольких типов и рассмотрены в гл. 5.

Время преобразования современных АЦП в интегральном исполнении достигает 100 мкс при числе разрядов 14 (плюс один знаковый) и классе точности 0,02—0,005.

В 12-й пятилетке в составе АСЭТ появятся сверхбыстродействующие

щие АЦП с временем преобразования 0,05 мкс и числом разрядов восемь (плюс один знаковый) при классе точности 0,5.

Третью группу средств АСЭТ составляют цифро-аналоговые преобразователи и цифрууправляемые калибраторы. Цифро-аналоговые преобразователи предназначены для преобразования цифровых измерительных сигналов в аналоговый унифицированный сигнал ГСП. Время установления ЦАП 0,1 мкс, число разрядов 10+1 при классе точности 0,2/0,15, а при числе разрядов 16+1 и классе точности 0,005 оно составляет 100 мкс.

Цифрууправляемые калибраторы предназначены для проверки цифровых измерительных приборов и систем. Разработка цифрууправляемых калибраторов обусловлена необходимостью создания автоматизированных установок для проведения метрологического обслуживания, в частности метрологических ИВК. Среди современных цифрууправляемых калибраторов следует выделить программируемый источник калиброванных напряжений и токов Ф7090 с выходным сигналом 100 мкВ—600 В в диапазоне частот 20 Гц—100 кГц при основной погрешности 0,3—0,2 % в  $10^6$  точках. Эти калибраторы используются в качестве рабочих мер и соответствуют системным требованиям ГСП, в частности, имеют выход на приборный интерфейс.

Цифровые устройства измерения (ЦИУ) образуют самую разнообразную и многочисленную группу АСЭТ. К ним относятся ЦИУ электрических и магнитных величин (цифровые вольтметры, амперметры и т. д.). Основной особенностью современных ЦИУ является широкое применение микропроцессорных средств. В 1982 г. на основе микропроцессора был создан первый серийный прибор Щ68004 класса 0,01/0,002 с пределами измерения 1, 10, 100 и 1000 В. Разрабатывается еще несколько аналогичных цифровых приборов различных классов точности. В этих приборах микропроцессор не только выполняет управляющую функцию, но и служит для обработки информации, что позволяет качественно изменить системы обработки информации в ИИС и ИВК.

В структуру аналоговых устройств измерения и представления информации входят аналоговые измерительные устройства, например щитовые приборы, являющиеся неотъемлемой частью многих измерительных систем. В настоящее время эти приборы разрабатываются на основе микроэлектронной технологии и БИС. Все больший процент общего количества приборов составляют оптоэлектронные приборы на основе унифицированной серии газоразрядных, катодно-люминесцентных, светодиодных и жидкокристаллических шкал.

Среди регистрирующих приборов можно выделить самопишущие приборы Н3030/1-4, Н3031/1-8, Н3010м/1-6, Н3011/1,2, Н306, Н307. Поле записи планшетного графопостроителя Н307 составляет 200×300 мм при погрешности 0,5 %.

Устройства представления информации (УПИ) включают в свой состав ряд различных типов индикаторов и систем отображения информации и регистрирующих устройств. Среди современных наиболее перспективных индикаторов следует назвать знакоцифровые катодно-люминесцентные индикаторы типа Ф7097, имеющие 16 табло на 44 знакоместа, выносные знакоцифровые индикаторы типа Ф7208 на семь знакомест в двух табло и цифро-аналоговые индикаторы типа Ф7071, имеющие табло на шесть знакомест и дискретно-аналоговую шкалу на 50 делений.

К этой группе приборов относятся также малогабаритные знакографические дисплеи.

В подгруппе знаковых регистрирующих устройств следует выделить устройство цифровой регистрации Ф5235, цифровые регистрирующие устройства на термочувствительной бумаге Ф5265 и Щ68401 (скорость печати 180 строк/мин, 64 разряда в строке, 96 печатных символов).

В настоящее время ведется разработка цифрового магнитного регистратора, имеющего восемь знакомест в строке (байт) и скорость печати 2 Кбайт/с.

К регистрирующим УПИ относятся двухкоординатные графопостроители с цифровым входом Н306/1 и Н306/2.

Несмотря на то, что структуру АСЭТ нельзя считать завершенной, комплекс позволяет решать многообразные задачи электроизмерительной техники. В рамках АСЭТ и на основе входящих в него средств разработаны следующие ИИС:

широкого назначения — для научных исследований и промышленных испытаний (К200, К484, К485, К734, К744);

для испытаний и исследований механических конструкций (К732);  
теплового контроля энергообъектов (СТК-400).

Все эти ИИС построены по блочно-модульному принципу. Образующие их блоки удовлетворяют требованиям к модулям АСЭТ.

## **Глава восьмая**

### **СТАНДАРТНЫЕ ЦИФРОВЫЕ ИНТЕРФЕЙСЫ И ИЗМЕРИТЕЛЬНО-ВЫЧИСЛИТЕЛЬНЫЕ КОМПЛЕКСЫ**

#### **8.1. ОБЩАЯ ХАРАКТЕРИСТИКА ИНТЕРФЕЙСОВ**

При построении современных многоканальных систем массового сбора измерительной информации недостаточно иметь в наличии требуемое количество и номенклатуру ФБ, обладающих заданными метрологическими характери-

ками и быстродействием, конструктивно и электрически совместимых друг с другом. Необходимо также располагать некоторым набором правил, позволяющих упорядочить обмен информацией между отдельными ФБ.

Большие скорости отбора и обработки данных и их большой объем, изменяющиеся условия исследований или испытаний, связанные в некоторых случаях с перестройкой структуры ИИС, необходимость осуществлять обмен информацией по инициативе передающей стороны потребовали перехода от жесткого, программного управления системой к гибкоперестраиваемому в процессе функционирования, т.е. возникала необходимость создания интеллектуальных систем, имеющих свои правила поведения.

Совокупность указанных правил организации потоков данных и взаимодействия между ФБ в системе, а также технических средств сопряжения и управления получила название интерфейса.

Реализация интерфейса осуществляется при помощи блоков управления, включающих в свой состав, как правило, управляющую микро- или мини-ЭВМ. При этом управление системой сбора информации может осуществляться как централизованно на самом верхнем уровне иерархии при помощи одной ЭВМ, так и децентрализованно на нижних уровнях, путем распределения функции управления и обработки информации между многими процессорами.

Второй путь позволяет значительно повысить быстродействие системы за счет параллельной обработки информации, уменьшить количество и длину линий связи, упростить программное обеспечение и повысить помехозащищенность и надежность системы.

Таким образом, наряду с функциональными возможностями и техническими характеристиками измерительных преобразователей важное значение при проектировании ИИС приобретают характеристики интерфейса.

В настоящее время понятие интерфейса включает в себя все виды совместимости, изложенные в § 7.1.

Общие требования к организации взаимодействия средств при построении ИИС определяются Государственным стандартом 22316—77, который регламентирует правила организации потоков данных, свойства ФБ, определяющие правила взаимодействия, виды и назначение сигналов, циркулирующих в ИИС, а также форматы сообщений и требования к совместимости сигналов и сообщений.

Основной структурной единицей ИИС ГОСТ 22316—77

устанавливает ФБ, который в зависимости от сложности ИИС, а также от степени перестройки ее структуры может представлять собой один или несколько объединенных конструктивно и взаимодействующих между собой измерительных преобразователей. В некоторых случаях в качестве ФБ может выступать законченный прибор, представляющий собой товарную продукцию. Например, в качестве ФБ могут быть представлены: сочетание аналогового датчика, унифицирующего преобразователя и АЦП; один АЦП или операционный усилитель; двухкоординатный графопостроитель или запоминающее устройство ЭВМ и т. д.

Функциональные блоки информационно-измерительных систем в зависимости от их назначения подразделяются на: функциональные блоки-источники (ФБ-И), предназначенные для формирования и выдачи данных;

функциональные блоки-источники (ФБ-П), предназначенные для приема данных;

функциональные блоки управления (ФБ-У) — контроллеры, предназначенные для формирования команд управления, организующих обмен данными.

В некоторых случаях в одном ФБ могут быть совмещены функции источника и приемника информации, например логгер или оперативное запоминающее устройство.

Некоторые ФБ-И, подготовив данные для обмена, могут выставлять на линию связи сигнал запроса на обслуживание. Такие ФБ-И называются активными, или иницирующими.

ФБ-И, не формирующие сигналы запроса на обслуживание при наличии готовых к выдаче данных, называются пассивными.

Однако как активные, так и пассивные ФБ начинают передачу данных лишь по командам, поступающим от контроллера.

Все виды информации циркулируют между ФБ ИИС законченными смысловыми сообщениями двумя потоками: информационным и управляющим.

Сообщение информационного потока несет сведения о значении измеряемого параметра, диапазоне измерения, времени, которому необходимо приписать результат измерения, а также адрес ФБ с целью привязки полученного результата к определенному параметру или точке объекта исследования.

Информационный поток может содержать также сообщения о результатах контроля состояния измерительных

каналов, значениях и видах тестовых воздействий. Перечисленные данные передаются по тем же линиям связи, что и данные о значениях измеряемых параметров.

Сообщения управляющего потока несут сведения, определяющие режим работы ФБ, порядок выполнения или последовательность операций во времени, запросы на обслуживание и команды контроля состояния измерительных каналов. Все сообщения управляющего потока передаются в цифровой форме командными словами.

Информационные и управляющие сообщения представляют собой набор различных сигналов, которые для информационного потока подразделяются на сигнал измеряемого параметра, сигнал динамического диапазона; сигнал идентификации, позволяющий определить содержание сигналов измеряемого параметра и динамического диапазона, а также сигнала о недостоверных данных; сигнал состояния ФБ; сигнал адреса ФБ; сигнал времени и сигнал, применяемый при передаче служебной информации.

Сигналы управляющего потока в свою очередь подразделяются на команды, определяющие вид операции, которую должен осуществить ФБ (такими операциями могут быть измерение, изменение режима работы, перестройка структуры и т. д.); расширитель команды, конкретизирующий параметры и условия выполнения команды; адрес команды, служащий для определения ФБ, которому адресована данная команда.

Кроме информационных и управляющих сигналов, в ИИС используются также вспомогательные сигналы, основными из которых являются: запрос на обслуживание; сигнал неготовности приемника, который выставляется ФБ-П при отсутствии готовности последнего к приему информации; сигнал контроля по модулю 2 — выставляется ФБ-И и служит для контроля правильности передачи данных; сигнал времени, служащий для временной привязки сообщений.

Перечисленные сигналы образуют информационные, адресные, временные и служебные слова, структура и формат которых определяют точность измерения, число линий связи, а в некоторых случаях и быстродействие системы. Информационное слово включает в себя сопроводительную и информационную части. Сопроводительная часть, предшествующая информационной, несет в себе сигналы состояния, адреса, диапазона измерения и идентификатора вида информации. Информационная часть, следующая непосред-

ственно за сопроводительной, содержит сигнал измеряемого параметра, причем размер информационной части слова определяется требуемой точностью измерения. Командное слово состоит из сигналов адреса команды, самой команды, расширителя команды, передаваемых в приведенной последовательности.

Размеры информационных и командных слов для различных интерфейсов указываются в соответствующих инструкциях и технической документации. Так, полная длина информационного слова на выходе ФБ-И и на входе ФБ-П не должна превышать 32 бит, а полная длина командного слова на входе управляемого ФБ и на выходе контроллера не должна превышать 16 бит. Такой же формат имеет адресное слово, в которое входит номер измеряемого параметра или области объекта исследования. Совокупность информационных слов образует информационную фразу, состоящую из адресного, временного и информационных слов, количество которых не должно превышать 64. Размеры и порядок расположения слов в фразе должны быть заранее установлены и постоянны для постоянных режимов работы ИИС.

Целое число фраз образует кадр, который содержит маркер кадра, т.е. его заголовок, условный номер исследуемого объекта, код программы, определяющий структуру информационной части кадра, а также порядковый номер кадра и информационную часть. Размер и порядок расположения фраз в кадре не регламентируются, но должны быть постоянными и заранее известными. Кадры обычно используются в децентрализованных структурах, а также для передачи накопленной информации на верхний уровень иерархии системы. Размер кадра не должен превышать 8192 бит.

Важными характеристиками интерфейсов являются структура соединений функциональных блоков, режим и единица обмена данных. Указанные характеристики, как будет показано ниже, определяют быстродействие, надежность, помехоустойчивость ИИС и затраты на интерфейсное оборудование.

При построении ИИС и ИВК широко используется радиальное соединение (индивидуальная система шин), когда ФБ-И соединен одновременно с несколькими ФБ-П и контроллером отдельной (индивидуальной) линией связи, и магистральное (система коллективных шин), когда все ФБ параллельно подключены к одной общей линии (маги-

страли). Существует также цепочечное соединение, при котором выходы предыдущих ФБ подключены ко входам последующих. Такая структура соединения в настоящее время практически не используется при построении ИИС, а поэтому рассматриваться подробно не будет.

При радиальном соединении контроллер с любым ФБ связывается индивидуальными шинами, что позволяет ему путем соответствующих переключений соединять друг с другом любую пару ФБ-И и ФБ-П.

Адресацию контроллер осуществляет путем подачи адресного сигнала на соответствующие шины, по которым осуществляется передача данных. При наличии инициирующих ФБ-И контроллер производит поиск устройства, выставившего сигнал запроса на обслуживание по индивидуальной шине идентификации.

Поступивший запрос от одного или нескольких ФБ-И анализируется контроллером с учетом приоритетов, и при завершении происходившего на момент получения запросов обмена информацией между ФБ-П и некоторым ФБ-И последний отключается, а контроллер разрешает передачу данных ФБ-И, имеющему наивысший приоритет. По окончании обмена данными к ФБ-П подключается следующий ФБ-И, имеющий наивысший приоритет среди требующих обслуживания.

Радиальное соединение ФБ позволяет достаточно просто и быстро осуществлять адресацию и идентификацию требуемого ФБ, обладает высокой надежностью, так как выход из строя одной или нескольких индивидуальных шин приведет к отключению одного или нескольких ФБ, в то время как остальные ФБ будут функционировать нормально.

Существенными недостатками радиальной структуры являются большая длина соединительных линий, а также сложность контроллера, что приводит к увеличению стоимости ИИС.

Магистральное соединение, как было сказано выше, использует одну общую коллективную шину, состоящую из нескольких линий связи, к которой подключаются источники и приемники информации. Магистральная структура предусматривает более сложные правила, организующие обмен данными, чем радиальная.

Адресация в рассматриваемой системе шин осуществляется путем послыки кода номера ФБ по одной из линий магистрали. Все ФБ воспринимают адресный сигнал, но



только нужный ФБ распознает его и выдает на шину сигнал готовности к передаче или приему. Таким образом, каждый ФБ должен содержать в своем составе устройство, дешифрирующее адресный код.

При инициировании ФБ-И запроса на обслуживание контроллер, сравнивая полученный код номера ФБ с заложенными в его память, опознает источник данных, требующий обслуживания, и дает ему разрешение на обмен информацией.

Другой способ идентификации заключается в том, что после получения запроса на обслуживание контроллер последовательно выставляет на адресную линию коды номеров функциональных блоков. Иницирующий ФБ-И при совпадении выставленного адресного сигнала с его номером формирует сигнал, подтверждающий готовность к передаче данных.

Как нетрудно заметить, последний способ идентификации имеет относительно низкое быстродействие, в то время как реализация первого способа требует усложнения схемы контроллера.

Использование магистральной системы шин позволяет легко наращивать систему, упрощает системное оборудование, дает возможность непосредственного обмена данными между любой парой ФБ и одновременной работы нескольких ФБ-П. Значительно экономится кабель линий связи.

Недостатком рассмотренного способа организации шин интерфейса является низкая надежность, ибо выход из строя любой линии связи в системе магистральных шин приводит к выходу системы из строя.

Для уменьшения недостатков, присущих радиальному и магистральному соединениям ФБ, на практике часто применяют комбинированную систему из индивидуальных и коллективных шин. Для повышения быстродействия при адресации и идентификации используются индивидуальные линии связи, а для передачи данных — коллективные шины (магистраль).

Такая организация структуры шин позволяет не только повысить быстродействие интерфейса, но и уменьшить длину кабелей связи.

При обмене данными между функциональными блоками возможны следующие режимы передачи дискретных сигналов: синхронный и асинхронный.

Синхронный режим обмена характеризуется постоянным

для всех ФБ-И интервалом времени, в течение которого осуществляется обмен информацией. При этом возможны два случая реализации синхронного режима обмена. В первом случае ФБ-И должен в определенный момент времени выставить информацию на шину данных, а ФБ-П, которому предназначена информация, должен к этому моменту выйти на связь. По истечении заданного фиксированного промежутка времени информация может быть снята.

Во втором случае момент выхода функционального блока на связь не закреплен во времени, а определяется стробирующим импульсом, разрешающим обмен информацией. Окончание обмена происходит при появлении второго стробирующего импульса. Интервал времени между стробирующими импульсами является фиксированным и так же, как и в первом случае, выбирается исходя из инерционных свойств самого худшего по быстродействию ФБ. Поэтому синхронный режим обмена данными применяется сравнительно редко из-за низкого быстродействия. Кроме того, изменение состава ФБ, а также наращивание системы и связанное с ним изменение длины линий связи требуют изменения времени обмена, что приводит к перепрограммированию контроллера.

Более высоким быстродействием по сравнению с синхронным обладает асинхронный способ обмена, который заключается в том, что выставленная на шинах данных информация будет поддерживаться неизменной до тех пор, пока ФБ-П не просигнализирует о приеме данных. Это позволяет сократить время обмена между быстродействующими ФБ. Так как сигнал об окончании приема информации часто называют «квитанцией на полученные данные», то асинхронный режим обмена носит также название «режим обмена с квитированием».

Не менее важной характеристикой интерфейсов является способ обмена данными или так называемая единица обмена, которая определяет число линий связи, участвующих в передаче данных. При последовательном способе передачи данных информация передается по одной линии связи бит за битом и называется бит-последовательной передачей. Такой способ обмена используется обычно при передаче данных на большие расстояния и когда не требуется высокого быстродействия.

Параллельный способ предусматривает наличие нескольких линий связи, по которым информация передается параллельным кодом, побайтно или пословно (это зависит

от числа линий связи). Такая передача информации называется байт-последовательной бит-параллельной передачей. Она обеспечивает высокое быстродействие, однако стоимость интерфейсного оборудования при этом существенно возрастает.

Параллельный способ передачи данных широко используется при большом числе разрядов передаваемого сообщения.

Все существующие виды интерфейсов по их функциональным возможностям можно разделить на три самостоятельные группы: машинные, системные и приборные.

Машинные интерфейсы используются при построении ЭВМ и организуют подключение периферийных устройств к центральному процессору ЭВМ для обработки данных. Высокая степень централизации позволяет существенно снизить затраты на интерфейсное оборудование. В машинных интерфейсах, как правило, схемы управления периферийными устройствами выделены из состава процессора. Машинный интерфейс входит как составное звено в понятие «архитектура системы ввода-вывода ЭВМ». Примером могут служить интерфейсы Unibus, IBM 360/370, «Общая шина», LSI-11.

Системные интерфейсы позволяют из набора ФБ строить автономные измерительные системы, способные самостоятельно функционировать без участия внешней управляющей ЭВМ.

Управление работой функциональных блоков осуществляется специализированным блоком управления — контроллером, содержащим в своем составе микропроцессор.

При подключении к управляющей ЭВМ указанная система выступает как единое целое, а управление ее работой берет на себя ЭВМ. Системные интерфейсы предусматривают унификацию всех видов сопряжения, что позволяет значительно снизить аппаратные затраты на интерфейсное оборудование.

В целом системные интерфейсы характеризуются большей децентрализацией управления по сравнению с машинными. Наиболее ярким представителем системных интерфейсов является интерфейс КАМАК.

Приборные интерфейсы в отличие от машинных характеризуются максимальной степенью независимости от ЭВМ. Они позволяют объединять в единую систему приборы, которые могут работать автономно и характеризуются большими функциональными возможностями. Конструктивные

требования к этому типу интерфейсов касаются лишь унификации разъемов, при этом правила обмена данными у них, как правило, достаточно сложны. Большие функциональные возможности приборов и развитая интерфейсная логика позволяют строить системы без ЭВМ и даже без специальных устройств управления. Примерами могут служить интерфейсы типа HP-IB, IMS-1, IMS-2 и т. д.

Рассмотрим в той же последовательности интерфейсы, наиболее часто используемые при построении информационно-измерительных систем как промышленного, так и научного применения.

## **8.2. ИНТЕРФЕЙС «ОБЩАЯ ШИНА»**

Современные измерительно-вычислительные комплексы, выпускаемые серийно отечественной промышленностью, строятся на основе управляющих мини-ЭВМ серии СМ. Организация взаимодействия периферийных устройств (ПУ) СМ ЭВМ осуществляется машинным интерфейсом «Общая шина» (ОШ).

Чтобы согласовать режимы работы измерительной аппаратуры с СМ ЭВМ, необходимо знать основные инструкции и правила функционирования интерфейса ОШ, организацию его системы шин и номенклатуру сигналов.

Интерфейс ОШ разработан в США фирмой Digital Equipment Corp. (DEC) для мини-ЭВМ типа PDP. Его модификациями для конкретных машин являются интерфейс Unibus — для мини-ЭВМ PDP-11, интерфейс ОШ — для машин серии СМ ЭВМ и интерфейс LSI-11 для микро-ЭВМ «Электроника-60» и совместимых с ними микро-ЭВМ.

Взаимодействие ФБ в интерфейсе ОШ основано на принципе задатчик-исполнитель (в принятой в данной книге терминологии источник-приемник). Сущность указанного принципа заключается в том, что любой ФБ-И, передающий информацию, становится задатчиком и управляет магистралью. Он же осуществляет подготовку к передаче данных; ФБ-П выступает в роли исполнителя и выполняет операцию чтения в соответствии с указаниями ФБ-И. Задатчик получает магистраль в свое распоряжение на определенный интервал времени.

Такой принцип организации взаимодействия позволяет производить обмен данными между двумя ФБ без привлечения для этой цели процессора и памяти.

Исходя из сказанного, при проектировании измеритель-

но-вычислительных систем на базе мини-ЭВМ, использующих интерфейс ОШ, в блоках сопряжения (интерфейсных платах) измерительных устройств необходимо предусматривать возможность формирования сигналов управления магистралью. При сопряжении с СМ ЭВМ измерительной системы, в которой уже использованы системные или приборные интерфейсы, функции управления магистралью ОШ должен взять на себя либо контроллер измерительной системы, либо специализированный контроллер.

В интерфейсе ОШ использован асинхронный обмен данными по методу с квитированием.

Выбор задающего ФБ осуществляется устройством управления шиной (арбитром), расположенным в центральном процессоре (ЦП). Каждый ФБ, который может стать задатчиком, имеет свой, присвоенный ему приоритет. Выбор очередного задающего ФБ производится на основе сравнения приоритетов. Среди ФБ, одновременно выдающих запросы на использование магистрали, устройство с более высоким приоритетом является первым среди кандидатов в задающие ФБ. По получении задающим ФБ сигнала об освобождении им магистрали оно станет очередным задатчиком. Конфликтные ситуации среди ФБ, имеющих одинаковый приоритет, разрешаются в пользу ФБ, расположенного ближе к устройству управления шиной.

Конструктивно ОШ представляет собой унифицированную магистраль, состоящую из 56 функционально объединенных линий связи с раздельными шинами для информационных, адресных и управляющих сигналов.

Пять однонаправленных линий связи используются для управления шиной приоритета (табл. 8.1), а остальные являются двунаправленными (51 линия связи); 18 адресных линий связи (А0—А17) используются для поиска ФБ-И, с которым нужно осуществлять обмен данными, из них 17 (А1—А17) служат для передачи 16-байтового адресного слова, а одна (А0) задает байт, к которому при операциях с байтами происходит обращение.

Шестнадцать линий данных Д0—Д15 служат для передачи информации ФБ-П.

Две линии управления УПР (0,1) задают одну из четырех возможных операций обмена: 00—чтение, 01—чтение с паузой, 10—запись слова, 11—запись байта.

Для взаимной синхронизации источника и приемника информации используются две линии синхронизации СХЗ и СХИ.

Таблица 8.1

Название линий связи	Обозначение	Назначение
<i>Шина передачи данных</i>		
Адрес	A0-A17	Адресация ФБ-П
Данные	D0-D15	Передача данных, команд, состояния ФБ
Контроль	K0, K1	Передача ФБ-П указания об ошибке при операциях чтения
Управление	УПР (0,1)	Передача кода операций
Синхронизация приемника	СХИ	ФБ-П принял или выдал данные на ОШ
Синхронизация задатчика	СХЗ	Адрес и управляющая информация выставлена на ОШ
<i>Шина арбитража приоритетов</i>		
Запрос передачи	ЗП	Передача от ФБ запроса соответствующего уровня приоритетов
Разрешение передачи	РП	Передача арбитром ответа ФБ на сигналы ЗП
Запрос прямого доступа	ЗПД	Передача от ФБ запроса наивысшего приоритета
Разрешение прямого доступа	РПД	Ответ арбитра на сигнал ЗПД
Подтверждение выборки	ПВБ	Ответ ФБ на сигналы РП, РПД
Прерывание	ПРЕР	Указание ЦП — вектор прерывания выставлен на ОШ
Занято	ЗАН	Указание — ОШ занята текущим ФБ-И
<i>Шина управления состоянием системы</i>		
Подготовка	ПОДГ	Установка от ЦП регистров ФБ в исходное состояние
Авария сети питания	АСП	Сигнал о выходе параметров силовой сети за допустимые пределы
Авария источника питания	АИП	Сигнал о выходе параметров стабилизированного источника питания за допустимые пределы

Для передачи управления ОШ ФБ-И, выбранному схемой приоритета, используются 11 линий приоритета. В магистрали имеется также линия прерывания ПРЕР и линия занятости ЗАН.

Для контроля правильности переданных сообщений используются две линии контроля (K0, K1). Кроме того, в магистрали ОШ предусмотрены две линии связи для передачи сигналов о состоянии системы: сигнал аварии сети питания АСП и сигнал аварии источника питания АИП.

Конструктивно магистраль ОШ выполняется наращиваемой из отрезков кабеля, оканчивающихся с обоих концов интерфейсными разъемами. Максимальная длина кабеля ОШ 15 м. К магистрали одновременно могут подключаться не более 20 ФБ.

Для увеличения числа каналов связи и ФБ на магистрали применяются расширители ОШ. Каждый расширитель позволяет увеличить длину магистрали на 15 м, а число ФБ на 18. Соединение интерфейса с СМ ЭВМ осуществляется при помощи восьми гнезд ввода-вывода со стандартными разъемами, в которые вставляются интерфейсные платы.

Рассмотрим последовательность операций и обмена данными в интерфейсе ОШ.

Операция выбора задающего ФБ-И из группы ФБ, претендующих на управление магистралью, начинается путем установки одним из ФБ-И на шине приоритета сигнала запроса и передачи данных ЗПД. Этот сигнал обладает самым высоким приоритетом и обычно инициирует операции прямого доступа в память. Арбитр в ответ на сигнал ЗПД выставляет сигнал передачи данных РП на линию связи, которая образует цепочечное соединение функциональных модулей.

Получив сигнал РПД (РП), ФБ-И выдает сигнал подтверждения ПВБ, который блокирует арбитра, а ФБ-И принимает на себя функции управления магистралью. При этом на шине арбитража выставляется сигнал ЗАН, который определяет, что ОШ используется задающим ФБ-И.

При выполнении операции обмена данными задающий ФБ-И выставляет на магистраль сигналы управления, адрес ФБ-П и данные, подлежащие передаче. Затем ФБ-И формирует на линии синхронизации сигнал СХЗ; ФБ-П, распознавший свой адрес, принимает этот сигнал, после чего производит прием данных, по окончании которого выставляет на линию синхронизации сигнал СХИ.

При отсутствии сигнала СХИ в течение определенного времени, не превышающего 20—25 мкс, после установки СХЗ фиксируется ошибка и операция чтения повторяется.

Задающий ФБ-И, получив сигнал СХИ, снимает с магистральной сигналы управления, адреса, данные и СХЗ; ФБ-П, обнаружив снятие СХЗ, снимает сигнал СХИ. На этом цикл обмена информацией с данным ФБ-П заканчивается, а задающий ФБ-И может продолжать работу с другим ФБ-П.

При окончании работы задающий ФБ-И вырабатывает сигнал прерывания ПРЕР, который переводит ЦП на программу обработки его прерывания. Центральный процессор устанавливает на шинах управления состоянием системы сигнал подготовки ПОДГ, который поступает на все ФБ и начинает выбор нового задающего ФБ-И. Вновь выбранный ФБ-И, став задающим, после появления сигнала ЗАН устанавливает сигнал ПРЕР и адрес вектора прерывания на линиях данных. Процессор, получив сигнал ПРЕР, принимает с линий данных адрес вектора прерывания и отвечает сигналом синхронизации СХИ. Задающий ФБ-И, получив СХИ, снимает сигналы ПРЕР, ЗАН и информацию с линий данных. Процессор после сброса сигнала ПРЕР снимает СХИ и назначает последовательность прерывания. Затем происходит обмен управляющими сигналами, и цикл обмена данными повторяется.

В машинных интерфейсах микро-ЭВМ используется частичное мультиплексирование шин в целях уменьшения числа линий. Последнее объясняется небольшим числом выводов БИС из-за небольших размеров кристалла. Развитием идеологии ОШ для микро-ЭВМ является интерфейс типа LSI-11, число шин в котором значительно уменьшено (до 34) за счет совмещения шин адреса и данных. Поэтому протоколы обмена информацией у них несколько отличны друг от друга. Это связано с необходимостью идентификации адреса и данных в LSI-11. Для уменьшения числа шин используются 16 двунаправленных линий связи, которые мультиплексированы во времени относительно адресов и данных. Указанная особенность понижает скорость обмена данными. Поэтому LSI-11 не принадлежит к семейству быстродействующих средств передачи данных.

Интерфейс LSI-11 используется в микро-ЭВМ системы «Электроника-60» и выполненных на их основе измерительно-вычислительных комплексах, таких как «Мера-60-155» и др.



### 8.3. ИНТЕРФЕЙС КАМАК

Интерфейс КАМАК (Computer Application for Measurement and Control) был разработан зарубежными научными центрами под руководством Европейского комитета по стандартизации в области ядерной электроники ESONE (European Standards of Nuclear Electronics) и предназначен для компоновки систем массового сбора информации из оборудования, выполненного в блочно-модульном исполнении, и сопряжения их с ЭВМ.

КАМАК является основным международным стандартом при построении ИИС для автоматизации научных исследований и испытаний. Международные и национальные комитеты и комиссии приняли стандарты КАМАК в качестве своих основополагающих стандартов. Это Международная электротехническая комиссия (МЭК), ESONE, Госстандарт СССР и т. д.

Особенность интерфейса КАМАК заключается в том, что он позволяет строить многоуровневые системы с централизованным управлением от ЭВМ различных классов. При замене ЭВМ вся система, часто более сложная и дорогостоящая по сравнению с ЭВМ, сохраняется, а требуется лишь замена контроллера.

Здесь следует отметить, что измерительные системы, основанные на использовании интерфейса КАМАК, могут функционировать самостоятельно, без внешней ЭВМ. Управление магистралью в этом случае берет на себя контроллер.

В интерфейсе используется смешанная магистрально-радиальная система шин и синхронный режим обмена данными между функциональными блоками.

В отличие от интерфейса ОШ, где задатчик ФБ-И напрямую связывается с приемником, минуя центральный процессор, в интерфейсе КАМАК происходит промежуточная запись данных в контроллере, т. е. ФБ-И передает данные контроллеру, который их запоминает, а затем, выбирая требуемый ФБ-П, передает ему записанную информацию.

Сочетание синхронного режима обмена данными с описанным способом организации взаимодействия ФБ снижает быстродействие интерфейса, но при этом уменьшаются затраты на интерфейсное оборудование. Синхронный режим обмена данными осуществляется на каждом уровне иерархии системы, за исключением центральной ЭВМ, а обмен между уровнями происходит в асинхронном режиме. Сис-

тема шин горизонтальной и вертикальной магистралей, так же как и система команд, несколько отличаются друг от друга. Поэтому в стандарте КАМАК существуют взаимосвязанные интерфейсы горизонтали и вертикали.

**Горизонтальная магистраль.** Конструктивно системы, строящиеся на основе интерфейса КАМАК (в дальнейшем — система КАМАК), создаются установкой соответствующих вставных модулей в стандартные секции, называемые каркасом, или крейтом. Внешние размеры крейта КАМАК выполнены в соответствии со стандартом УТК на приборную часть ГСП (базовый размер 19 дюймов) и равны по высоте 221,5 мм, по ширине (внешней панели) 482,6 мм, по глубине 360 мм.

Крейт объединяет 25 модулей, причем на двух правых модулях монтируется крейт-контроллер, а остальные 23 модуля занимают ФБ. Нумерация модулей идет слева направо и представляется в виде адресного 5-разрядного кода  $N$ .

Некоторые функциональные блоки могут занимать несколько модулей. В этом случае им присваивается адрес крайнего правого занимаемого ими модуля.

В структуре ФБ КАМАК можно выделить функциональную и служебную части.

Функциональная часть отражает специфику назначения ФБ и может быть самой разнообразной. Однако в ее состав включаются программно-доступные регистры данных, к которым и обращается крейт-контроллер для чтения и (или) записи. Иногда функциональная часть может содержать схемы формирования сигналов запроса на обслуживание.

Служебная часть ФБ включает в себя дешифратор адресных команд, статусные регистры (управляющий, состояния, запроса, маски), схемы проверки команд и ответчика, а также внешние унифицированные связи. Индивидуальные, нестандартные соединения между модулями и внешними устройствами выполняются обычно через разъемы, расположенные на передних панелях модулей.

Крейты объединяются в стойки и образуют вертикальную магистраль. В стойке устанавливается до семи крейтов. При необходимости построения сложных информационно-измерительных систем возможно объединение нескольких стоек.

Система шин горизонтали имеет смешанную структуру. Каждый ФБ в крейте связан с крейт-контроллером двумя индивидуальными линиями связи. Одна из них использует

Таблица 8.2

Назначение	Направление передачи	Количество шин	Обозначение шин
Шины записи данных в ФБ	Из контроллера	24	$W_1—W_{24}$ (Write)
Шины чтения данных из ФБ	В контроллер	24	$R_1—R_{24}$ (Read)
Адрес ФБ	Из контроллера	23	$N_1—N_{23}$ (Number)
Адрес (субадрес) устройства в ФБ	То же	4	$A_1—A_4$ (address)
Код операции (функция)	» »	5	$F_1—F_5$ (Function)
Инициирование всех ФБ	» »	1	Z(zero)
Гашение (сброс) всех ФБ	» »	1	C(Clear)
Запрет выполнения команды	» »	1	I(Inhibit)
Сигнал занятости магистрали ФБ	» »	1	B(busy)
Запросы на обслуживание	В контроллер	23	$L_1—L_{23}$ (Look at me)
Ответ ФБ	То же	1	Q(Queit)
Сигнал восприятия ФБ команды	» »	1	X
Синхронизация	Из контроллера	1	$S_1$
Синхронизация	То же	1	$S_2$

ется для адресации ФБ — линии  $N_1—N_{23}$ , другая для идентификации — линии  $L_1—L_{23}$ . Остальные 65 линий образуют магистраль. Все линии однонаправленные. Назначение, обозначения и количество соответствующих линий связи крейта приведены в табл. 8.2.

Кроме приведенных в табл. 8.2 линий, в магистраль крейта входят девять линий для передачи основных  $\pm 6$  и  $\pm 24$  В, переменного 117 В и вспомогательных  $\pm 12$  и  $\pm 200$  В напряжений, две общие (нулевые) линии и три резервные. Таким образом, к 86-контактным разъемам, расположенным на задней панели крейта, подключен 81 проводник. Пять контактов разъемов оставлены свободными для выполнения индивидуальных соединений. В контролле-

ре число линий больше из-за индивидуальной связи его с каждым ФБ по  $L$ - и  $N$ -линиям.

При обращении к ФБ контроллер генерирует адресную команду NAF, устанавливающую на индивидуальной шине  $N$  сигнал выбора требуемого ФБ, на линиях  $A$  сигналы выбора одного из регистров ФБ (субадрес) и на линиях  $F$  сигнал, определяющий операцию, которая будет выполняться. Одновременно на линии  $B$  устанавливается безадресный сигнал занятости магистрали.

Получив команду на обмен данными, адресуемый ФБ вырабатывает сигнал ответа  $Q$ , который должен быть сформирован до появления синхронизирующего сигнала  $S_1$ . При появлении сигнала  $S_1$  ФБ, если он получил команду записи данных, начинает принимать данные, установленные на шинах  $W_1$ — $W_{24}$  контроллером крейта. При получении команды чтения адресуемый ФБ выставляет данные на шины  $R_1$ — $R_{24}$ .

На все принятые к исполнению команды ФБ должен выдать сигнал  $X$  восприятия команды, который выставляется одновременно с сигналом  $Q$ . В течение времени действия строга  $S_1$  контроллер анализирует сигналы  $Q$  и  $X$ , которые должны сохраняться неизменными до появления второго синхронизирующего сигнала  $S_2$ . Завершение обмена данными происходит при появлении строга  $S_2$ . Так как при синхронном обмене возникают трудности достоверной записи информации в устройствах, которые не всегда находятся в состоянии готовности, в интерфейсе-горизонтالي предусмотрен режим записи (чтения) методом повторения. Это означает, например, что запись повторяется до тех пор, пока ФБ не считает информацию, сообщив об этом контроллеру по шине  $Q$ .

Любой ФБ или его субблок может выдать сигнал  $L$  запроса на обслуживание на свою индивидуальную линию, который блокируется при адресации любого ФБ.

Проанализировав сигнал  $L$  и определив номер  $N$  ФБ, контроллер начинает последовательный опрос всех его субблоков, выставляя на шинах  $A$  соответствующие субадреса. Субблок, распознав свой субадрес, с помощью ФБ формирует сигнал  $Q$ , получив который контроллер производит подключение субблока к информационным шинам записи или чтения.

Общее управление магистралью крейта производится при помощи трех безадресных сигналов: начало (установка

системы в исходное состояние)  $Z$ , сброс  $C$  и запрет выполнения команды  $I$ .

Сигналы  $Z$  и  $C$  стробируются в модуле импульсом  $S_2$ . Абсолютный приоритет имеет сигнал  $Z$ . Во время действия этого сигнала все регистры системы сбрасываются в свои начальные состояния. Сигналом  $C$  сбрасываются в исходное состояние только выбранные пользователем регистры и отдельные триггеры. Сигнал блокировки  $I$  может быть сформирован крейт-контроллером в произвольный момент времени. Он блокирует в ФБ реализацию всех проводимых операций.

Команды, данные, стробы и т.д. связаны точными временными диаграммами и допусками. Время обмена данными составляет 500 нс, длительность стробов 200 нс, а весь цикл КАМАК 1 мкс. Крейты КАМАК используются в измерительно-вычислительных комплексах ИВК-1 — ИВК-4, а также в системах «КАМАК — Мера-60», «КАМАК — Мера-СМ4» и т.д. Связь центрального процессора соответствующей ЭВМ с крейтом осуществляется через магистраль ОШ (LSI-11) при помощи крейт-контроллера. В интерфейсе ОШ данные передаются по 16 линиям, в магистрали крейта по 24. Поэтому в крейт-контроллере введен так называемый регистр старшего байта (РСБ). Если обмен данными ведется 24-разрядными словами, то при чтении из ФБ старший байт информационного слова направляется не в магистраль ОШ, а в РСБ контроллера. При записи 24-разрядных слов в ФБ ЭВМ должна предварительной командой записи занести старший байт записываемого числа в РСБ. При обмене 16-разрядными словами РСБ не используются.

**Вертикальная магистраль.** Как было сказано выше, стандарты КАМАК позволяют строить многокрейтовую ИИС, крейты которой объединяются вертикальной магистралью или «ветвью» Branch Nighway, управляемую контроллером вертикали. На вертикальную магистраль выходят контроллеры всех крейтов.

Система шин вертикали относится к смешанному типу. Семь индивидуальных линий  $BCR$  используются для адресации крейтов, еще семь — для обеспечения асинхронного режима обмена данными. Назначение и название шин в основном не отличается от назначения и названия шин горизонтальной магистрали. В обозначении шины вертикали добавляется лишь буква  $B$ . Необходимо отметить, что шины данных  $BR/W$  в рассматриваемой магистрали двунаправленные, а остальные однонаправленные. В вертикальную ма-

Т а б л и ц а 8.3

Назначение	Направление передачи	Число шин	Обозначение шин
Шины данных	Двунаправленные	24	<i>BR/W</i>
Адрес крейта	К крейтам	7	<i>BCR</i> (Branch creit)
Адрес ФБ	То же	5	<i>BN</i>
Субадрес	» »	4	<i>BA</i>
Код операции	» »	5	<i>BF</i>
Запрос кода	» »	1	<i>B G</i> (Branch Give)
Инициирование магистралей	» »	1	<i>BZ</i>
Запрос вертикали	К контроллеру вертикали	1	<i>BD</i>
Проверка команд	То же	1	<i>BX</i>
Ответ вертикали	» »	1	<i>BQ</i>
Синхронизация крейтов	К крейту	1	<i>BT A</i>
Шины обратной связи	К контроллеру вертикали	7	<i>BT B</i>

гистраль добавлена шина синхронизации крейтов *BT A* и семь шин обратной связи *BT B* по одной на каждый крейт.

Состав шин вертикали приведен в табл. 8.3.

Запрос на обслуживание *L ФБ* передается в крейт-контроллер, который генерирует запрос крейта на шину *BD* вертикали. Запросы всех крейтов объединяются на шине *BD* и называются запросом вертикали. Сигнал *BD* поступает в ЭВМ в канал прерываний и подвергается аппаратной или программной обработке. Поскольку запросы на обслуживание, как правило, возникают одновременно, разделение запросов сопровождается установлением приоритетов. Выбрав ФБ с наивысшим приоритетом, ЭВМ или контроллер ветви по шине *BG* дает команду считывания кода ФБ, пославшего запрос. Код ФБ, пославшего запрос на обслуживание, выставляется на шину данных *BR/W*. Получив номер модуля и крейта, контроллер вертикали разрешает модулю начать обмен данными, выставляя сигнал *BT A*, указывающий на наличие команды, а каждый крейт-контроллер, участвующий в обмене, по индивидуальной шине посылает ответные сигналы *BT B<sub>1</sub>*, ..., *BT B<sub>7</sub>*, подтверждающие прием данных. Данные и сигнал *BT A* удерживаются на магистрали до получения всех сигналов *BT B*. После

их получения данные и сигнал *ВТА* снимаются, что вызывает в свою очередь снятие сигналов *ВТВ*, которые являются квитанцией на полученную информацию.

Протяженность вертикальной магистрали достигает 25 м, а в некоторых случаях может быть выполнена и большей длины.

Вертикальная магистраль в серийных ИВК до настоящего времени не использовалась, поэтому останавливаться на ее подробном описании нецелесообразно.

В заключение следует отметить, что стандарты КАМАК непрерывно совершенствуются. Наиболее перспективным направлением развития системы является широкое внедрение стандартов *EUR-6500* и *COMPEX*, предусматривающих более эффективное использование магистрали крейта за счет обеспечения двунаправленности шин данных и использования освободившихся 24 линий для адресации; использование асинхронного режима передачи данных по горизонтальной магистрали; улучшение системы обработки запросов; введение в состав крейт-контроллера микропроцессоров; разработку специализированных КАМАК-процессоров; децентрализацию управления передачи данных и разработку автономных систем КАМАК.

#### **8.4. ПРИБОРНЫЙ ИНТЕРФЕЙС**

Разработчиком приборного интерфейса является фирма *Hewlett Packard* (США), которая назвала свой интерфейс *Interface BUS (HP—IB)*. Этот интерфейс принят в качестве стандарта различными международными и национальными организациями. Американский институт инженеров электротехники и электроники (*IEEE*) в качестве стандарта *IEEE-488* принял основные положения *HP—IB*, а Госстандарт СССР разработал на его основе *ГОСТ 25.867—79*.

Приборный интерфейс ориентирован на сопряжение программируемых и непрограммируемых независимо изготовляемых приборов в измерительную систему, а также возможности использования в ней одновременно приборов различной сложности и быстродействия.

Интерфейс основан на использовании асинхронного байт-последовательного и бит-параллельного режима обмена данными и позволяет осуществлять прямой обмен информацией между приборами без использования промежуточных блоков (например, контроллера, как в интерфейсе КАМАК).

Особенностью приборного интерфейса является возможность одновременного выхода на магистраль нескольких приемников информации с разными адресами. В нем предусмотрены также два режима поиска устройств, запросивших обслуживание, режимы последовательного и параллельного опросов. В последнем случае все ФБ одновременно могут выставить запрос на обслуживание, используя информационные шины, выступающие в этом случае как индивидуальные.

Применение приборного интерфейса позволяет применять дистанционное (через магистраль) и местное (от рукояток передней панели) управление ФБ. Магистраль интерфейса содержит 16 линий связи и структурно состоит из трех групп линий: восемь линий образуют шину данных, три линии обеспечивают управление асинхронной переда-

Т а б л и ц а 8.4

Назначение линий связи	Обозначение	Количество	Название
<i>Информационные шины</i>			
Передача данных, команд, адресов, служебной информации	$DIO_1-DIO_8$ (Data Input-Output)	8	Данные вход-выход
<i>Шина управления асинхронной передачей данных</i>			
Разрешение передачи данных	DAV (Data Valid)	1	Данные действительны
Подготовка ФБ к приему данных	NRFD (Not Ready for Data)	1	Не готов к приему данных
Подтверждение приема данных	NDAC (Not Data Accepted)	1	Данные не приняты
<i>Шина общего управления</i>			
Установка ФБ в состояние готовности	ATN (Attention)	1	Внимание
Передача от ФБ запроса соответствующего уровня приоритета	SRQ (Service Request)	1	Запрос на обслуживание
Приведение интерфейса в состояние готовности	IFC (Interface Clear)	1	Освободить интерфейс
Установление линейного или дистанционного управления ФБ	REN (Remote Enable)	1	Дистанционное управление
Обозначение конца последовательной передачи данных или идентификации	EOI (End or Identify)	1	Конец или распознавание



чей байта данных, а пять линий (шина общего управления) используются для управления упорядоченным потоком данных по магистрали. Система шин приборного интерфейса приведена в табл. 8.4.

При запросе обслуживания ФБ-И и ФБ-П формируют сигнал по линии *SRQ*. Контроллер, получив сигнал запроса, начинает последовательно выставлять на информационных шинах *DIO*<sub>1</sub>—*DIO*<sub>5</sub> адреса ФБ. Процедура последовательного опроса продолжается до тех пор, пока ФБ, требующий обслуживания, не распознает свой адрес и не выставит сигнала на линии *NDAC* (логическую единицу).

Как было сказано выше, в приборном интерфейсе предусмотрен режим параллельного опроса, позволяющий повысить быстрдействие интерфейса при идентификации. В этом случае информационные шины сигналами *EOI* и *ATN* переводятся программным путем из магистральных в индивидуальные, т. е. каждому ФБ, включенному в параллельный опрос, выделяется индивидуальная линия запроса на обслуживание (одна из линий *DIO*). Распознав свой адрес, ФБ, требующий обслуживания, выставляет сигнал на линию *NDAC*, и контроллер разрешает ФБ обмен данными. Асинхронный обмен данными между ФБ-И и ФБ-П осуществляется в следующем порядке.

При отсутствии сигнала на линии *DAV* и наличии сигналов на шинах линий *NRFD* и *NDAC* о том, что приемник не готов к приему данных, на информационных шинах устанавливается байт данных; ФБ-П снимает сигнал с шины *NRFD*, а ФБ-И формирует сигнал на линии *DAV* (разрешение обмена), и начинается передача данных. Получив данные, ФБ-П вновь устанавливает сигнал по линии *NRFD* и снимает сигнал с линии *NDAC*, что является подтверждением получения информации. Получив соответствующую квитанцию, ФБ-И снимает сигнал с линии *DAV* и информацию на шинах *DIO*, а ФБ-П выставляет сигнал на линии *NRFD*.

Если в обмене данными с ФБ-И участвует несколько ФБ-П одновременно, то снятие данных с информационных шин происходит по получении подтверждения об окончании записи от каждого ФБ-П [27].

Адресация ФБ контроллером производится 5-разрядным кодом по линиям данных *DIO*<sub>1</sub>—*DIO*<sub>5</sub>. При этом адреса ФБ-И сопровождаются формированием 0 по линиям *DIO*<sub>6</sub> и 1 по линии *DIO*<sub>7</sub>, а адреса ФБ-П — изменением сигналов на указанных линиях на противоположные.

В интерфейсе предусмотрена возможность реализации двух вариантов адресации: однобайтовой, позволяющей адресовать 31 ФБ, и двухбайтовой, дающей возможность адресовать до 961 ФБ.

Число устройств, которые могут быть подключены непосредственно к приборной магистрали, не превышает 15, однако применение расширителей магистрали позволяет увеличить их число до 500. Длина магистрали 20 м, при этом скорость прохождения информации по любой шине не превышает 1 Мбит/с.

Приборный интерфейс широко используется отечественными и зарубежными фирмами при построении ИИС для автоматизации эксперимента. Он удобен тем, что позволяет из имеющихся непрограммируемых приборов, не подготовленных для совместной работы, создавать измерительные системы путем использования относительно несложных устройств сопряжения — интерфейсных плат и микро-ЭВМ в качестве контроллера системы.

Интерфейсная плата представляет собой в общем случае блок, снабженный регистрами для записи информации, поступающей от прибора, к которому она подключена, дешифратором адреса и устройством формирования управляющих и служебных сигналов. На плате установлен унифицированный разъем. Схемные решения различных типов интерфейсных плат достаточно просты, и при необходимости они могут быть почерпнуты из [27].

Приборный интерфейс использован в отечественном серийном комплексе ИВК-М, предназначенном для метрологических испытаний.

### **8.5. ИЗМЕРИТЕЛЬНО-ВЫЧИСЛИТЕЛЬНЫЕ КОМПЛЕКСЫ**

Усложнение современного научного эксперимента, испытаний образцов новой техники и активной диагностики технологического оборудования потребовало создания средств их автоматизации — автоматизированных систем для научных исследований и комплексных испытаний (АСНИ).

Основными особенностями указанных систем по сравнению с автоматизированными системами управления технологическими процессами (АСУ ТП) являются высокая частота изменения измеряемых сигналов и широкий динамический диапазон, большие массивы измерительной информации, требующие обработки в темпе эксперимента, необходимость программного управления объектом исследования

или испытания. Кроме того, изменяющийся характер исследований требует перестройки алгоритмов функционирования и структуры АСНИ в процессе получения и обработки информации.

Традиционные ИИС не в состоянии были решить поставленную задачу из-за отсутствия соответствующих средств вычислительной техники, позволяющих осуществлять не только обработку информации, но и программное управление процессом сбора информации и объектом исследования.

Разработка управляющих мини-ЭВМ, характеризующихся большим объемом операций ввода-вывода, адаптируемость к различным задачам управления и возможность организации сопряжений с внешним оборудованием, в том числе и измерительным, сравнительно низкая их стоимость послужили толчком к созданию нового поколения ИИС, основанных на использовании унифицированных измерительно-вычислительных комплексов (ИВК), представляющих собой ядро современных ИИС.

Измерительно-вычислительные комплексы позволяют создавать на их основе различные ИИС, характеризующиеся широкими функциональными возможностями, свободной программируемостью, использованием ЭВМ как для обработки потоков измерительной информации, так и для управления функционированием всего комплекса, обязательным нормированием метрологических характеристик измерительных преобразователей и таких характеристик вычислительных средств, как длина разрядной сетки, скорость выполнения команд и скорость выполнения арифметических операций.

Характерная особенность ИВК заключается в применении стандартных цифровых интерфейсов для обеспечения совместной работы цифровых блоков измерительных и управляющих систем.

Обобщенная структурная схема ИВК приведена на рис. 8.1.

В самом общем случае в ИВК одновременно используется произвольное сочетание машинных, системных и приборных интерфейсов ИФ с магистральной организацией системы шин, которые объединяются соответствующими устройствами сопряжения.

К магистрали приборного интерфейса подключаются измерительные блоки  $\Phi Б_1—\Phi Б_n$ , в качестве которых могут выступать как отдельные измерительные преобразователи

(коммутаторы, АЦП, ЦАП и т. д.), так и законченные приборы и устройства (цифровые вольтметры, калибраторы, СОИ и т. д.). Перечисленные средства измерений подключаются к приборной магистрали с помощью внешних или встраиваемых интерфейсных плат  $ИП_1—ИП_n$ , осуществляющих сопряжение технических средств с магистралью.

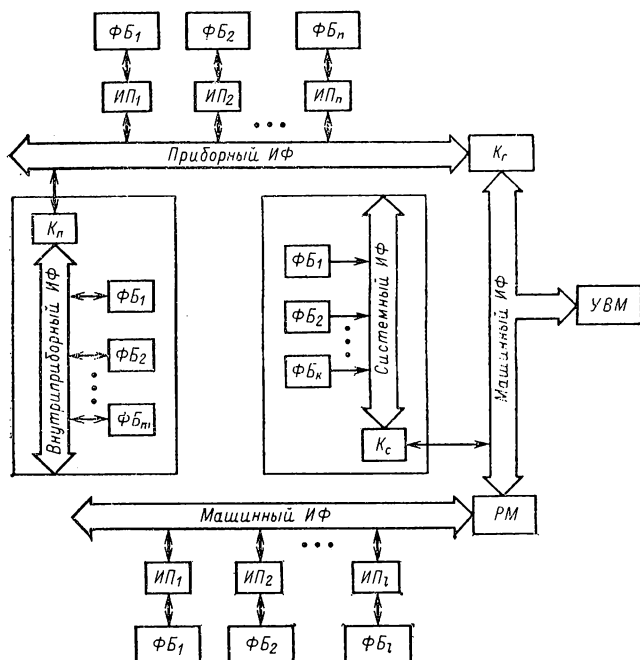


Рис. 8.1. Обобщенная структурная схема ИВК

К приборной магистрали могут также подключаться и средства измерений, имеющие в своем составе микропроцессор или микро-ЭВМ, осуществляющие обработку информации и управление процессом измерения [4]. Такие приборы имеют свой собственный внутриприборный интерфейс (внутриприборную магистраль), осуществляющий связь  $ФБ_1—ФБ_n$ , и подключаются к приборной магистрали с помощью своего специализированного контроллера  $К_n$  либо с помощью интерфейсного блока.

Приборная магистраль с помощью группового контроллера  $К_r$  адаптера или интерфейсного блока сопрягается с

машиной, являющейся магистралью более высокого уровня.

На машинный интерфейс выходит вся аппаратура, входящая в базовый комплекс УВМ. Непосредственно к машинной магистрали могут подключаться также измерительные устройства  $\Phi Б_1—\Phi Б_k$ , основанные на использовании системных интерфейсов (например, КАМАК). В этом случае связь между системной и машинной магистралями осуществляется через системный контроллер  $K_c$ .

Измерительные приборы и устройства  $\Phi Б_1—\Phi Б_l$  могут подключаться непосредственно к машинной магистрали через соответствующие блоки сопряжения  $ИП_1—ИП_l$ . Однако для увеличения мощности магистрали необходимо использовать расширитель магистрали (расширитель интерфейса)  $РМ$ .

Приведенная на рис. 8.1 структура является многоуровневой и объединяет в себе структуры всех существующих современных ИВК.

В настоящее время промышленностью освоен выпуск типовых ИВК (ИВК-1—ИВК-8, ИВК-М, ИВК «Гамма»).

В 12-й пятилетке готовятся к выпуску ИВК-10, ИВК-11, ИВК-15 и ИВК-16.

Измерительная часть ИВК-1 и ИВК-2 komponуется в двух крейтах КАМАК, каждый из которых через свой крейт-контроллер подключен к магистрали ОШ ЭВМ СМ-4. В комплект модулей крейтов входят следующие функциональные модули: 10-разрядный АЦП712 с максимальным временем преобразования 12 мкс, позволяющий производить измерение как амплитуды импульсов длительностью не менее 1 мкс, так и переменного напряжения с максимальной частотой дискретизации 50 кГц; коммутатор сигналов на 32 входа МП750; четыре входных 24-разрядных регистра; 10-разрядный ЦАП 2ЦАП10 на два выхода с максимальным временем преобразования 10 мкс; 14-разрядный АЦП с временем преобразования 2 мс, генератор импульсов от 1 МГц до 1 Гц, выполняющий также роль декадного делителя частоты, 16-разрядный счетчик импульсов на четыре входа с максимальной частотой счета 50 мГц; регистр ввода иницирующих сигналов, сервисные и макетные модули. Конструктивно ИВК-1 оформлен в виде двух, а ИВК-2 в виде трех стандартных стоек СМ ЭВМ со встроенными в одну из стоек двумя крейтами и отдельно расположенного терминала оператора и устройства широкой печати.

Состав средств вычислительной техники ИВК-8 тот же, что и в ИВК-2, с добавлением двухкоординатного планшет-

ного графопостроителя Н306К с размерами рабочего поля 200×300 мм. Измерительная часть ИВК-3 komponуется в одном крейте, а состав модулей несколько отличается от комплекта модулей ИВК-2. В ИВК-3 добавлен цифровой ампервольтметр Ф30 с переключателем диапазона измерения, имеющий частоту преобразования 5 Гц; модуль управления цифровым ампервольтметром; синхронизатор-таймер. Конструктивно комплекс оформлен в виде двух стоек СМ ЭВМ со встроенным крейтом и автономно размещенных устройств печати, алфавитно-цифрового дисплея, графопостроителя и цифрового ампервольтметра.

Комплекс ИВК-4 предназначен для автоматизации сложных лабораторных экспериментов. Его базовый состав по сравнению с ИВК-2 включает в себя дополнительно графический дисплей, планшетно-рулонный графопостроитель, переключатель общей шины. Основной отличительной особенностью ИВК-4 является использование в измерительной части как стандарта КАМАК, так и средств АСЭТ.

Средства КАМАК, входящие в ИВК-4, включают в себя три крейта, два из которых содержат набор модулей и крейт-контроллеры, такие же, как и в ИВК-2, а третий снабжен только крейт-контроллером и макетными платами, предоставляющими пользователю возможность разрабатывать свои специфические модули, не выпускаемые промышленностью. В состав ИВК-4 включены также средства АСЭТ: калибратор Ф7046 для калибровки и поверки модулей, цифровой вольтметр Ш1516 и программируемый таймер.

На базе комплекса ИВК-4 разработана автоматизированная система прогноза землетрясений.

В основу комплексов ИВК-7 и ИВК-8 положены технические средства агрегатных комплексов АСЭТ и АСВТ. Поэтому в отличие от рассмотренных ИВК, использующих два типа магистралей (интерфейсов), структура их более однородна и все модули объединяются в рамках машинного интерфейса ОШ.

Структура комплексов ИВК-7 и ИВК-8 приведена на рис. 8.2.

Для увеличения нагрузочной способности магистрали применен расширитель магистрали РМ, а в качестве ФБ технические средства АСЭТ. Комплекс ИВК-7 содержит: бесконтактный коммутатор Ф799/2 3 шт., АЦП Ф4881, ЦАП Ф4810/1, калибратор Ф7046, графопостроитель Н306К и цифровой вольтметр Ш1516, а ИВК-8 — контактный комму-

татор Ф799/1, калибратор Ф7046, графопостроитель рулонный Н710 и цифровой вольтметр Щ1516. В состав комплексов входят также автономный пульт управления, позволяющий осуществлять ручную проверку и настройку комплексов, устройства ввода-вывода дискретной информации УВВ, представляющие собой два дуплексных регистра и два видеотерминала ВТА-2002.

Комплекс ИВК-7 положен в основу разработанной системы для стендовых испытаний паровых турбин, ИВК-8 в основу автоматизированной информационно-измерительной системы стендовых испытаний двигателей, а также системы автоматизации инфракрасного спектрометра.

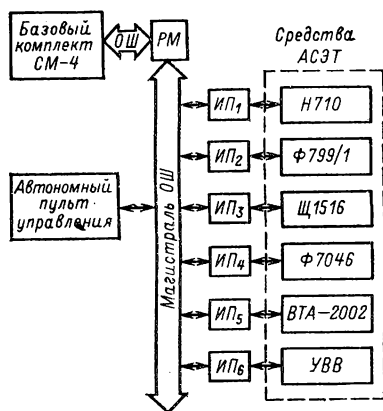


Рис. 8.2. Структурная схема ИВК-7 и ИВК-8

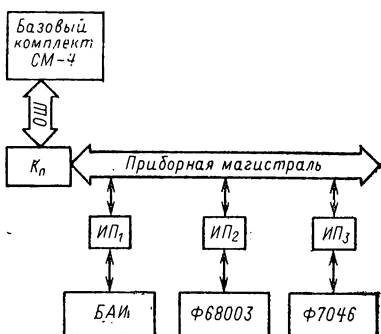


Рис. 8.3. Структурная схема ИВК-М

Приборный интерфейс был использован при построении комплекса ИВК-М для автоматизации метрологического контроля и аттестации средств измерений. Структура комплекса приведена на рис. 8.3.

В состав комплекса входят: блок аналогового интерфейса БАИ с матричным коммутатором  $8 \times 8$ , универсальный вольтметр Щ68003, калибратор Ф7046, интерфейсные платы ИП<sub>1</sub>—ИП<sub>3</sub>, магистраль, контроллер К<sub>п</sub> и базовый комплекс УВМ СМ-4.

Приборная магистраль связывается с машинной магистралью СМ-4 с помощью специализированного контроллера К<sub>п</sub>, осуществляющего одновременно управление работой приборов.

Все рассмотренные типовые комплексы строятся по одноуровневой структуре с парными принципами взаимодействия между функциональными модулями. Такая организация является наиболее простой в отношении логики обмена. Этот факт, а также отсутствие компактных и достаточно дешевых мини-ЭВМ для построения нижнего уровня ИВК сдерживали развитие многоуровневых систем.

Успехи технологии, благодаря которым микро-ЭВМ по своим возможностям приблизилась к мини-ЭВМ, позволили начать разработку двухуровневого ИВК, включающего в свой состав подсистему сбора данных и накопитель информации, образующие нижний уровень, и УВМ, расположенную на верхнем уровне иерархии. В двухуровневом ИВК нижний уровень выполняет функции сбора данных, их частичную обработку, а также функцию управления объектом. ЭВМ верхнего уровня управляет работой подсистемы нижнего уровня и получает от нее необходимую информацию. На верхнем уровне осуществляется организация передачи данных по каналам связи, обработка информации, взаимодействие оператора и машины.

Современные ИВК, выполненные на основе мини-машин СМ ЭВМ, предназначены для автоматизации лишь сложных и дорогостоящих экспериментов и испытаний. Это объясняется тем, что стоимость простейшей системы автоматизации, основанной на использовании, например, комплексов ИВК-7 или ИВК-8, составляет 250—300 тыс. руб. без учета затрат на обслуживание системы. Немаловажную роль играет и потребность в значительных площадях для расположения аппаратуры. Все это приводит к тому, что ИВК на базе мини-ЭВМ применяются лишь в том случае, когда стоимость экспериментальной установки или ценность эксперимента во много раз превышает затраты на систему автоматизации (например, исследования в ядерной физике, стендовые испытания газотурбинных двигателей, сбор и обработка с целью прогноза сейсмической информации).

Однако подавляющее большинство экспериментальных установок и испытательных стендов требует систем автоматизации, обладающих значительно меньшими машинными мощностями, компактностью, транспортабельностью и меньшей стоимостью.

Решением указанной проблемы является, с одной стороны, разработка и освоение приборостроительной промышленностью ИВК, построенных на основе микро-ЭВМ, — типовых микро-ЭВМ, с другой стороны, создание в исследова-



тельских организациях ИВК коллективного пользования, причем микро-ИВК будут служить основой дешевых терминальных устройств с относительно малыми автономными возможностями.

Создание ИВК коллективного пользования и его промышленный выпуск является делом будущего, и внимание разработчиков в настоящее время сосредоточено на разработке микро-ИВК, предназначенных для автоматизации широкого круга экспериментов и испытаний.

## **Глава девятая**

### **ИЗМЕРЕНИЯ ФИЗИЧЕСКИХ ВЕЛИЧИН**

#### **9.1. РОЛЬ ЭЛЕКТРИЧЕСКИХ ИЗМЕРЕНИЙ ФИЗИЧЕСКИХ ВЕЛИЧИН**

Автоматизация технологических процессов, эффективное управление различными агрегатами, развитие научных исследований требуют измерений разнообразных физических величин. О количестве и разнообразии физических величин можно судить по тому факту, что система единиц СИ включает в себя 7 основных, 2 дополнительные и 113 производных единиц, в том числе пространства и времени 6, механических 14, электрических и магнитных 40, тепловых 11, световых 15, акустических 14, ионизирующих излучений 2, молекулярной физики и физической химии 11.

Различные физические величины имеют существенно разную физическую природу, поэтому отличаются методы и средства их измерений. Для удобства разработки или выбора тех или иных методов и средств измерений все физические величины делят на электрические, магнитные и неэлектрические.

Характерной особенностью современных измерений является то, что не только электрические и магнитные, но и большинство неэлектрических величин измеряются электрическими методами, т. е. путем предварительного преобразования неэлектрической величины в электрическую. Это обусловлено следующими достоинствами электрических измерений: электрические величины удобно передавать на расстояние, причем передача осуществляется с высокой скоростью; электрические величины универсальны в том смысле, что любые другие величины могут быть преобра-

зованы в электрические и наоборот; электрические величины легко, точно и быстро преобразуются в цифровой код; электрические измерения позволяют достигнуть высокой точности, чувствительности и быстродействия средств измерений.

Автоматизация технологических процессов во всех отраслях народного хозяйства приводит как к возрастанию общего объема электрических измерений физических величин, так и к изменению доли тех или иных физических величин в общем объеме. В настоящее время существует примерно следующее распределение доли измерений различных физических величин в промышленности: температура 50 %, расход (массовый и объемный) 15 %, давление 10 %, уровень 5 %, количество (масса, объем) 5 %, время 4 %, данные материалов (аналитические измерения) 4 %, электрические и магнитные величины менее 5 %. Отсюда видно, что подавляющее число измерений представляет собой измерения неэлектрических величин. При этом представляет интерес также абсолютный объем выполняемых измерений. Так, на атомной электростанции среднего размера имеется около 3000 точек измерений различных физических величин. На крупном предприятии химической промышленности только для измерения температур имеется около 20 000 точек измерений.

Таким образом, уже в настоящее время измерения физических величин — это массовый процесс, причем основную его долю составляют измерения неэлектрических величин. С большим основанием можно утверждать, что эта тенденция сохранится и будет развиваться в будущем.

Рассмотренные в предыдущих главах аналоговые и цифровые измерительные приборы и измерительные преобразователи предназначены главным образом для прямых измерений электрических величин: постоянных токов и напряжений, параметров сигналов переменного тока, электрической мощности, расхода энергии, параметров электрических цепей и т. п. Знание их возможностей и принципа действия позволяет квалифицированно решать задачу измерений большинства электрических величин. В связи с этим в данной главе излагаются основные методы и средства измерений неэлектрических величин, причем основное внимание уделено методам преобразования различных неэлектрических величин в электрические.

## 9.2. ПАРАМЕТРИЧЕСКИЕ ИЗМЕРИТЕЛЬНЫЕ ПРЕОБРАЗОВАТЕЛИ НЕЭЛЕКТРИЧЕСКИХ ВЕЛИЧИН

Измерительные преобразователи неэлектрических величин делятся на параметрические и генераторные. В параметрических преобразователях выходной величиной является приращение параметра электрической цепи ( $R, L, M, C$ ), поэтому при их использовании необходим дополнительный источник питания.

В генераторных преобразователях выходной величиной являются ЭДС, ток или заряд, функционально связанные с измеряемой неэлектрической величиной.

При создании измерительных преобразователей неэлектрических величин стремятся получить линейную функцию преобразования. Отличие реальной градуировочной характеристики от номинальной линейной функции преобразования обуславливает погрешность нелинейности, являющуюся одной из главных составляющих результирующей погрешности при измерениях неэлектрических величин.

Одним из способов снижения погрешности нелинейности является выбор в качестве входных и выходных величин преобразователя таких величин, взаимосвязь которых ближе к линейной функции. Так, например, при измерении линейных перемещений с помощью емкостного преобразователя может изменяться либо зазор между пластинами, либо площадь их перекрытия. При этом функции преобразования оказываются различными. При изменении зазора зависимость емкости от перемещения подвижной пластины существенно нелинейна, она описывается гиперболической функцией. Однако, если в качестве выходной величины преобразователя использовать не его емкость, а сопротивление на некоторой частоте, то измеряемое перемещение и указанное емкостное сопротивление оказываются связанными линейной зависимостью.

Другим эффективным способом уменьшения погрешности нелинейности параметрических измерительных преобразователей является их дифференциальное построение. Любой дифференциальный измерительный преобразователь фактически представляет собой два аналогичных измерительных преобразователя, выходные величины которых вычитаются, а входная величина воздействует на эти преобразователи противоположным образом.

Структурная схема прибора с дифференциальным измерительным преобразователем приведена на рис. 9.1.

Измеряемая величина  $x$  воздействует на два аналогичных измерительных преобразователя  $ИП1$  и  $ИП2$ , причем соответствующие приращения значений выходных величин  $y_1$  и  $y_2$  имеют противоположные знаки. Кроме того, есть некоторое постоянное начальное значение  $x_0$  величины на входах этих преобразователей, определяемое обычно кон-

структивными параметрами преобразователей. Выходные величины  $y_1$  и  $y_2$  вычитаются, а их разность  $y_3$  измеряется электроизмерительным устройством ЭИУ (аналоговым или цифровым).

Предположим, что преобразователи ИП1 и ИП2 идентичны, а их функции преобразования достаточно точно описываются алгебраическим полиномом второго порядка. В этом случае значения  $y_1$  и  $y_2$  на выходах преобразователей можно записать в следующем виде:

$$\begin{aligned} y_1 &= a_0 + a_1 (x_0 + x) + a_2 (x_0 + x)^2; \\ y_2 &= a_0 + a_1 (x_0 - x) + a_2 (x_0 - x)^2. \end{aligned} \quad (9.1)$$

После вычитания получим

$$y_3 = y_1 - y_2 = 2 (a_1 + 2a_2 x_0) x. \quad (9.2)$$

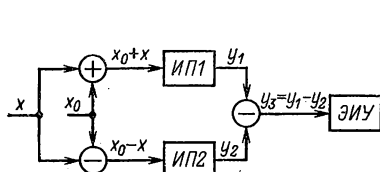


Рис. 9.1. Структурная схема дифференциального измерительного преобразователя

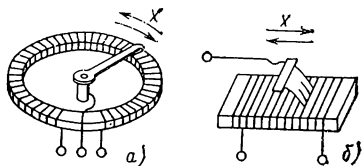


Рис. 9.2. Реостатные измерительные преобразователи

Отсюда видно, что результирующая функция преобразования  $y_3 = f(x)$  оказалась линейной. Так как  $y_3$  не зависит от  $a_0$ , то происходит компенсация систематических аддитивных погрешностей измерительных преобразователей. Кроме того, по сравнению с одним преобразователем практически вдвое возрастает чувствительность. Все это определяет широкое применение дифференциальных измерительных преобразователей в практике.

Рассмотрим кратко основные типы используемых параметрических преобразователей неэлектрических величин.

**Реостатные преобразователи.** Параметрические преобразователи, выходной величиной которых является электрическое сопротивление, называются резистивными.

В том случае, когда входной величиной является перемещение, используют реостатные преобразователи, в которых движок реостата перемещается в соответствии со значением измеряемой величины. На рис. 9.2 схематически показаны конструкции реостатных преобразователей угловых (рис. 9.2, а) и линейных (рис. 9.2, б) перемещений.

Преобразователь состоит из обмотки, намотанной на каркас, и подвижной щетки. Форма каркаса зависит от характера преобразуемого перемещения (линейное, угловое) и от вида необходимой функ-

ции преобразования (линейная, нелинейная). Используют каркасы в виде пластины, цилиндра, кольца и т. д. Они изготавливаются из диэлектрика (гетинакс, керамика) или металла (дюралюминий с анодированной поверхностью). Проволока для обмотки выполняется из различных сплавов платины, обладающих повышенной коррозионной стойкостью и износоустойчивостью; применяются также манганин, константан, фехраль.

Реостатные преобразователи с проволоочной обмоткой являются ступенчатыми (дискретными) преобразователями, поскольку непрерывному изменению перемещения соответствует дискретное изменение сопротивления. Дискретный характер выходной величины определяет возникновение соответствующей погрешности дискретизации, которая уменьшается с увеличением числа витков обмотки. Поэтому реостатные преобразователи обычно имеют не меньше 100—200 витков обмотки.

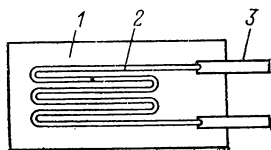


Рис. 9.3. Тензочувствительный преобразователь

Указанная погрешность дискретизации отсутствует в реохордных преобразователях, в которых щетка скользит вдоль оси калиброванной проволоки.

**Тензочувствительные преобразователи (тензорезисторы).** Другим типом резистивных преобразователей являются широко используемые тензочувствительные преобразователи (тензорезисторы).

В основе работы тензорезисторов лежит явление тензоэффекта, заключающееся в изменении сопротивления резисторов, выполненных из проводников или полупроводников, при их механической деформации.

Характеристикой тензоэффекта материала является коэффициент относительной тензочувствительности

$$k = \varepsilon_R / \varepsilon_l,$$

где  $\varepsilon_R = \Delta R / R$  — относительное изменение сопротивления резистора;  $\varepsilon_l = \Delta l / l$  — относительное изменение линейного размера резистора.

В настоящее время наиболее широко используются наклеиваемые тензопреобразователи (рис. 9.3) [12]. Преобразователь представляет собой тонкую зигзагообразно уложенную и приклеенную к полоске бумаги (подложке 1) проволоку 2 (проволочную решетку). Преобразователь включается в схему с помощью привариваемых или припаяваемых выводов 3. Преобразователь наклеивается на поверхность исследуемого объекта.

дуемой детали так, чтобы направление ожидаемой деформации совпадало с продольной осью решетки.

Для изготовления преобразователей применяется главным образом проволока диаметром 0,02—0,05 мм из константана, имеющего коэффициент  $k = 1,9 \div 2,1$ .

Применяются также фольговые и пленочные тензорезисторы, габаритные размеры которых меньше габаритных размеров проволоочных тензорезисторов.

Изменение температуры вызывает изменение функции преобразования тензорезисторов, что объясняется температурной зависимостью сопротивления преобразователя и различием температурных коэффициентов линейного расширения материала тензорезистора и исследуемой детали. Влияние температуры устраняется обычно путем применения соответствующих методов температурной компенсации.

Для измерения выходной величины тензорезисторного преобразователя чаще всего применяют мостовые схемы.

Существенно более высокой тензочувствительностью обладают полупроводниковые тензорезисторы. Так, полупроводниковые тензорезисторы из кристаллов кремния или германия имеют коэффициент тензочувствительности  $k = 50 \div 200$  [12].

В последние годы появились конструктивно новые полупроводниковые тензорезисторные датчики, в которых полупроводник выращивается непосредственно на упругом элементе из кремния или сапфира. Такие чувствительные элементы обладают хорошими упругими свойствами, в частности малой погрешностью гистерезиса. На одном упругом элементе выращивается обычно не один, а несколько тензорезисторов, образующих измерительную цепь в виде моста (или полумоста). Это обеспечивает малые габаритные размеры преобразователя и лучшую температурную компенсацию.

Тензорезисторы всех типов находят широкое применение для измерения деформаций, усилий, давлений, моментов и т. п.

**Термопреобразователи сопротивления.** Принцип действия термопреобразователей сопротивления (терморезисторов) основан на зависимости электрического сопротивления проводников и полупроводников от температуры. Материал, из которого изготавливается термопреобразователь сопротивления, должен обладать высоким температурным коэффициентом сопротивления (ТКС), по возможности линейной зависимостью сопротивления от температуры, хорошей воспроизводимостью свойств и инертностью к воздействиям окружающей среды. В наибольшей мере указанным требованиям удовлетворяет платина. Поэтому платиновые термопреобразователи сопротивления являются наиболее точными (в том числе и образцовыми) преобразователями температуры.

Платиновые терморезисторы применяются для измерения температуры в пределах от  $-260$  до  $1100^\circ\text{C}$ . В диапазоне температур от 0

до 650 °С их используют в качестве образцовых и эталонных средств измерений, причем нестабильность градуировочной характеристики таких преобразователей не превышает 0,001 °С.

Зависимость сопротивления платиновых терморезисторов от температуры определяется следующими формулами:

$$R_t = R_0 (1 + At + Bt^2) \text{ при } 0 \leq t \leq +650 \text{ } ^\circ\text{C};$$

$$R_t = R_0 [1 + At + Bt^2 + Ct^3 (t - 100)] \text{ при } -200 \leq t \leq 0 \text{ } ^\circ\text{C}, \quad (9.3)$$

где  $R_t$  — сопротивление терморезистора при температуре  $t$ , °С;  $R_0$  — сопротивление при 0 °С;  $A = 3,96847 \cdot 10^{-3} \text{ } (^\circ\text{C})^{-1}$ ;  $B = -5,847 \cdot 10^{-7} \text{ } (^\circ\text{C})^{-2}$ ;  $C = -4,22 \cdot 10^{-12} \text{ } (^\circ\text{C})^{-4}$ .

Для стандартных терморезисторов имеются градуировочные таблицы (ГОСТ 6651—78) и установленные нормы на допустимые отклонения градуировочных характеристик.

Платиновые терморезисторы обладают высокой стабильностью и воспроизводимостью характеристик. Их недостатками являются высокая стоимость и нелинейность функции преобразования. Поэтому они используются для точных измерений температур в соответствующем диапазоне.

Широкое распространение на практике получили более дешевые медные терморезисторы, имеющие линейную зависимость сопротивления от температуры:

$$R_t = R_0 (1 + \alpha t) \text{ при } -50 \leq t \leq +180 \text{ } ^\circ\text{C},$$

где  $\alpha = 4,26 \cdot 10^{-3} \text{ } (^\circ\text{C})^{-1}$ .

Недостатком меди является небольшое ее удельное сопротивление и легкая окисляемость при высоких температурах, вследствие чего конечный предел применения медных термометров сопротивления ограничивается температурой 180 °С. По стабильности и воспроизводимости характеристик медные терморезисторы уступают платиновым.

Стандартные платиновые термометры сопротивления имеют обозначение ТСП, а медные ТСМ. При температуре 0 °С сопротивление  $R_0$  термометров равно: платиновых 1; 5; 10; 50; 100; 500 Ом, медных 10, 50, 100 Ом.

Тепловая инерционность стандартных термометров сопротивления характеризуется показателем тепловой инерции (постоянной времени), значения которого лежат в пределах от десятков секунд до единиц минут. Постоянная времени специально изготавливаемых малоинерционных термометров сопротивления может быть уменьшена до 0,1 с.

Находят применение также никелевые термометры сопротивления. Никель имеет относительно высокое удельное сопротивление, но зависимость его сопротивления от температуры линейна только до температур не выше 100 °С; ТКС никеля в этом диапазоне температур равен  $6,9 \cdot 10^{-3} \text{ } (^\circ\text{C})^{-1}$ .

Медные и никелевые терморезисторы выпускают также из литого микропровода в стеклянной изоляции. Микропроводочные терморезисторы герметизированы, высокостабильны, малоинерционны и при малых габаритных размерах могут иметь сопротивления до десятков килоом.

Термометры сопротивления являются точными и функционально удобными преобразователями средних температур, поэтому ведутся работы по расширению их температурного диапазона. Так, при измерениях высоких температур (до 1800 °C) предлагается использовать вольфрам, платинородий, иридий и их сплавы. При измерениях низких температур находят применение свинцовые, индиевые, германиевые и угольные терморезисторы, а также новые типы сплавов и композиционных материалов.

По сравнению с металлическими терморезисторами более высокой чувствительностью обладают полупроводниковые терморезисторы (термисторы). Они имеют отрицательный ТКС, значение которого при 20 °C составляет  $(2-8) \cdot 10^{-2} \text{ (}^\circ\text{C)}^{-1}$ , т.е. на порядок больше, чем у меди и платины. Полупроводниковые терморезисторы при весьма малых размерах имеют высокие значения сопротивления (до 1 МОм).

Для измерения температуры наиболее распространены полупроводниковые терморезисторы типов КМТ (смесь окислов кобальта и марганца) и ММТ (смесь окислов меди и марганца).

Термисторы имеют нелинейную функцию преобразования, которая достаточно хорошо описывается формулой

$$R_T = A e^{B/T}, \quad (9.4)$$

где  $T$  — абсолютная температура;  $A$  — коэффициент, имеющий размерность сопротивления;  $B$  — коэффициент, имеющий размерность температуры.

Очень часто эту зависимость записывают в виде

$$R_T = R_0 e^{B(1/T - 1/T_0)},$$

где  $R_0$  — сопротивление термистора при температуре  $T_0$ .

Кроме нелинейности функции преобразования, недостатком термисторов является плохая воспроизводимость характеристик, т.е. значительное отличие характеристик одного экземпляра от другого, что не позволяет с достаточной точностью нормировать их характеристики при серийном производстве.

Постоянная времени большинства серийно выпускаемых термисторов лежит в пределах 10—115 с. Однако выпускаются и малоинерционные термисторы (типа СТ) с постоянной времени 0,4—4 с.

Термисторы обладают высокой стабильностью характеристик во времени и применяются для измерения температур в диапазоне от —100



до  $+180^{\circ}\text{C}$ . В то же время ведутся работы по использованию термисторов для измерения низких температур.

При включении любого терморезистора в измерительную цепь через него протекает ток, вызывающий саморазогрев резистора. Если измеряемой величиной является температура, то саморазогрев терморезистора вызывает погрешность измерений, значение которой ограничивает допустимый ток. Однако этот эффект может быть использован для измерения некоторых других физических величин.

Так, например, терморезисторы используются в приборах для измерения скорости газового потока — термоанемометрах. Установившаяся температура нагреваемого током терморезистора, помещенного в газовый поток, зависит от скорости этого потока. Теплообмен терморезистора со средой осуществляется главным образом путем принудительной конвекции, создаваемой газовым потоком, в результате чего температура резистора, а следовательно, и его сопротивление зависят от скорости потока.

Другим примером подобного использования терморезисторов являются приборы для измерения вакуума (низких давлений). В этом случае при уменьшении давления газа снижается его теплопроводность, а следовательно, увеличивается нагрев терморезистора протекающим через него током и соответственно изменяется его сопротивление.

**Индуктивные преобразователи.** Принцип действия индуктивных преобразователей основан на зависимости индуктивности или взаимной индуктивности обмоток от положения, геометрических размеров и магнитного состояния элементов их магнитной цепи.

Индуктивности и взаимные индуктивности обмоток, расположенных на магнитопроводе, при отсутствии рассеяния магнитного потока определяются формулами

$$\begin{aligned} L_i &= w_i^2 / Z_M; \\ M_{ij} &= w_i w_j / Z_M, \end{aligned} \quad (9.5)$$

здесь  $w_i$  и  $w_j$  — число витков  $i$ -й и  $j$ -й обмоток;  $Z_M = \sqrt{R_M^2 + X_M^2}$  — магнитное сопротивление, где

$$R_M = \sum_{k=1}^n \frac{l_k}{\mu_0 \mu_k S_k} + \frac{\delta}{\mu_0 S} \quad \text{— активная составляющая магнитного со-}$$

противления, здесь  $l_k$ ,  $S_k$ ,  $\mu_k$  — соответственно длина, площадь поперечного сечения и относительная магнитная проницаемость  $k$ -го участка магнитопровода;  $\mu_0$  — магнитная проницаемость пустоты;  $\delta$  — длина воздушного зазора;  $S$  — площадь поперечного сечения воздушного участка магнитопровода;  $X_M = P / \omega \Phi^2$  — реактивная составляющая магнитного сопротивления, здесь  $P$  — потери в магнитопроводе на частоте  $\omega$ ,

обусловленные вихревыми токами и гистерезисом;  $\Phi$  — магнитный поток в магнитопроводе.

Из приведенных формул следует, что индуктивность и взаимную индуктивность можно изменять, воздействуя на длину или площадь поперечного сечения воздушного участка магнитной цепи, на магнитную проницаемость или на потери в магнитопроводе.

Некоторые типы индуктивных преобразователей схематически показаны на рис. 9.4.

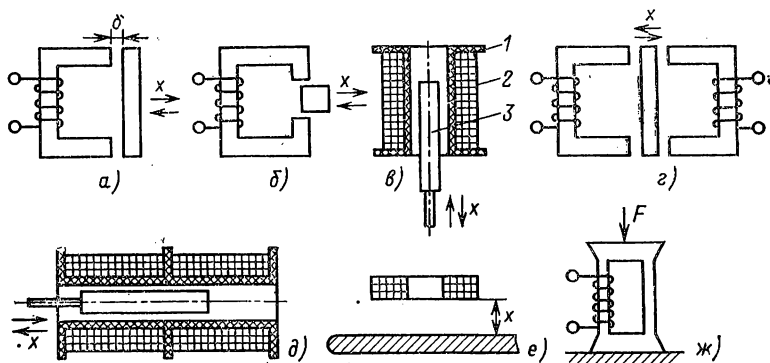


Рис. 9.4. Индуктивные преобразователи

Индуктивный преобразователь (рис. 9.4, а) с переменной длиной воздушного зазора  $\delta$  характеризуется нелинейной (близкой к гиперболической) зависимостью  $L=f(\delta)$ . Рабочее перемещение в таких преобразователях составляет 0,01—10 мм.

Преобразователь с изменяющейся площадью воздушного зазора приведен на рис. 9.4, б. Такие преобразователи позволяют измерять перемещения до 15—20 мм.

На рис. 9.4, в изображен преобразователь с разомкнутой магнитной цепью. Он представляет собой обмотку 2, намотанную на пластмассовый каркас 1, внутри которого перемещается сердечник 3 из ферромагнитного материала. Перемещение сердечника вызывает изменение индуктивности катушки. Этот тип преобразователя применяется для измерения перемещений от единиц миллиметров до 100 мм.

Широкое распространение на практике получили дифференциальные преобразователи (рис. 9.4, г- и д), в которых перемещение подвижного элемента вызывает увеличение индуктивности одной обмотки и уменьшение индуктивности другой.

На рис. 9.4, *е* иллюстрируется принцип действия токовихревого преобразователя, в котором изменение индуктивности катушки происходит вследствие изменения расстояния от нее до проводящего тела. При питании катушки переменным током в проводящем теле индуцируются вихревые токи, магнитное поле которых оказывает влияние на катушку. Это влияние обычно оценивают значениями вносимых сопротивлений: активного и реактивного. При этом эквивалентная индуктивность ка-

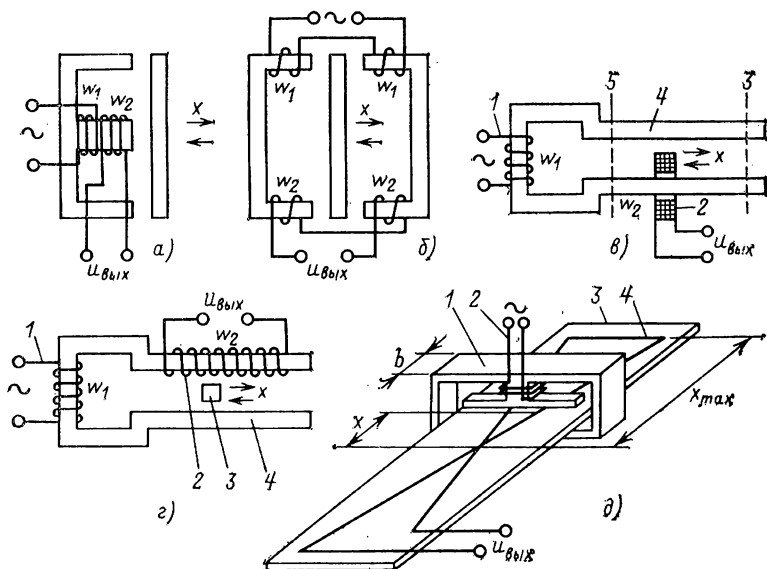


Рис. 9.5. Трансформаторные преобразователи

тушки уменьшается. Токовихревые преобразователи находят широкое применение в области бесконтактного контроля линейных размеров и толщины покрытий и обнаружения поверхностных дефектов (трещин, царапин).

Принцип действия магнитоупругих преобразователей (рис. 9.4, *ж*) основан на изменении магнитной проницаемости  $\mu$  ферромагнитных тел в зависимости от возникающих в них механических напряжений, обусловленных воздействием механических сил. Изменение магнитной проницаемости  $\Delta\mu/\mu$  для различных материалов составляет 0,5—3 % при изменении механического напряжения в материале на 1 МПа.

На рис. 9.5 приведены некоторые типы трансформаторных (взаимоиндуктивных) преобразователей.

На рис. 9.5, *а* показан трансформаторный преобразователь, в котором изменение воздушного зазора вызывает изменение магнитного сопротивления, взаимной индуктивности обмоток, а следовательно, амплитуды переменного напряжения на выходе.

Преобразователь на рис. 9.5, *б* отличается тем, что имеет дифференциальную конструкцию, и выходные обмотки  $\omega_2$  включены встречно. При нейтральном (симметричном) положении якоря напряжение на выходе равно нулю. Смещение якоря относительно нейтрального положения приводит к появлению выходного напряжения, причем его фаза при переходе через нейтральное положение меняется на  $180^\circ$ .

Преобразователь с распределенными магнитными параметрами (рис. 9.5, *в*) предназначен для измерения больших линейных перемещений и состоит из магнитопровода 4 с рабочей частью в виде двух параллельных полос, обмотки возбуждения 1 и подвижной обмотки 2. При перемещении обмотки 2 от положения 3 до положения 5 напряжение на измерительной обмотке 2 возрастает, причем его зависимость от перемещения практически линейна, если магнитное сопротивление участка 3—5 магнитопровода мало по сравнению с магнитным сопротивлением зазора.

Преобразователь на рис. 9.5, *г* отличается от описанного выше тем, что имеет распределенную измерительную обмотку 2, равномерно намотанную на одном из длинных стержней магнитопровода 4, и подвижный ферромагнитный сердечник 3, шунтирующий магнитный поток. Перемещение магнитного шунта вызывает линейно связанное с ним изменение выходного напряжения.

На рис. 9.5, *д* показан трансформаторный преобразователь больших перемещений с плоскими обмотками. Он состоит из подвижного магнитопровода 1, имеющего центральный стержень и плоский полюсный наконечник. На центральном стержне размещена обмотка возбуждения 2. В равномерном зазоре магнитопровода находится прямоугольная неподвижная пластина 3 из изоляционного материала, на поверхность которой путем печатного монтажа нанесена плоская измерительная обмотка 4 в виде двух одинаковых плоских треугольных секций с общей вершиной. Секции измерительной обмотки включены между собой встречно. При перемещении подвижного магнитопровода 1 происходит изменение площади измерительной обмотки, пронизываемой магнитным потоком; соответственно изменяется выходное напряжение.

Описанные конструкции трансформаторных преобразователей с распределенными параметрами позволяют легко получить необходимую функциональную зависимость выходного напряжения от перемещения. Это достигается путем профилирования плоской измерительной обмотки для преобразователя (рис. 9.5, *д*) либо путем профилирования верхнего стержня магнитопровода для преобразователя (рис. 9.5, *в*).

Еще одним типом индуктивных преобразователей являются магнитомодуляционные преобразователи, действие которых основано на изменении магнитного состояния ферромагнитного материала при одновременном намагничивании в постоянном и переменном полях. Модуляция магнитным потоком возможна за счет нелинейных свойств ферромагнитного материала.

Магнитомодуляционные преобразователи применяются для измерения напряженности постоянного магнитного поля (феррозонды) и перемещений. В последнем случае перемещение объекта вызывает изменение положения постоянного магнита, вследствие чего меняются постоянный магнитный поток в магнитопроводе и магнитная проницаемость ферромагнитного материала. Это в свою очередь вызывает изменение магнитного сопротивления переменному магнитному потоку, создаваемому обмоткой, и соответствующее изменение выходной величины преобразователя.

Вопросы проектирования и использования преобразователей перемещения с распределенными параметрами, функциональных и магнитомодуляционных преобразователей подробно рассмотрены в работах Л. Ф. Куликовского и его учеников М. Ф. Зарипова, Н. Е. Конюхова и др.

Индуктивные преобразователи имеют высокую чувствительность и значительную мощность выходного сигнала, что определяет их широкое применение на практике.

**Емкостные преобразователи** основаны на зависимости электрической емкости конденсатора от размеров, взаимного расположения его обкладок и от диэлектрической проницаемости среды между ними. Электрическая емкость плоского конденсатора

$$C = \epsilon_0 \epsilon S / \delta,$$

где  $\epsilon_0$  — диэлектрическая постоянная;  $\epsilon$  — относительная диэлектрическая проницаемость среды между обкладками;  $S$  — активная площадь обкладок;  $\delta$  — расстояние между обкладками.

Отсюда следует, что в емкостном преобразователе переменной величиной (входной) может быть либо  $\delta$ , либо  $S$ , либо  $\epsilon$ .

На рис. 9.6 схематически изображены различные типы емкостных преобразователей.

Преобразователь на рис. 9.6, а представляет собой конденсатор, одна пластина которого перемещается относительно другой так, что изменяется расстояние  $\delta$  между пластинами. Функция преобразования  $C=f(\delta)$  нелинейна, причем чувствительность возрастает с уменьшением  $\delta$ . Минимальное значение  $\delta$  определяется напряжением пробоя конденсатора. Такие преобразователи используются для измерения малых перемещений (менее 1 мм).

На рис. 9.6, б показан дифференциальный емкостный преобразователь, в котором при перемещении центральной пластины емкость одного конденсатора увеличивается, а другого уменьшается. Дифференциальная конструкция позволяет уменьшить погрешность нелинейности или увеличить рабочий диапазон перемещений.

Преобразователь на рис. 9.6, в также имеет дифференциальную конструкцию, но в нем происходит изменение активной площади пластин. В таком преобразователе можно получить необходимую функцию преобразования путем профилирования пластин.

На рис. 9.6, г изображен емкостный преобразователь для измерения уровня жидкости. Емкость между электродами зависит от уровня жидкости, так как диэлектрическая проницаемость контролируемой

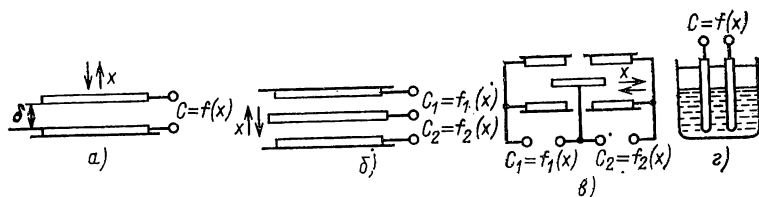


Рис. 9.6. Емкостные преобразователи

жидкости отличается от диэлектрической проницаемости воздуха.

Емкостные преобразователи обычно питаются током повышенной частоты (до десятков мегагерц), что позволяет увеличить мощность выходного сигнала и снизить шунтирующее действие сопротивления изоляции.

Емкостные преобразователи просты по конструкции, имеют высокую чувствительность и относительно малую инерционность. К их недостаткам следует отнести влияние внешних электрических полей, паразитных емкостей, температуры, влажности.

**Кондуктометрические преобразователи** основаны на использовании зависимости сопротивления электрохимического преобразователя от состава и концентрации электролита. Такие преобразователи используются главным образом для измерения удельной электропроводности электролитов, по которой судят о концентрации. При этом необходимо учитывать, что электропроводность электролита зависит не только от его концентрации, но и от температуры, что требует обязательного введения соответствующей температурной поправки.

Кондуктометрические преобразователи для измерения концентрации растворов делятся на контактные и бесконтактные.

Простейший контактный кондуктометрический преобразователь (рис. 9.7, а) содержит два электрода, погруженных в исследуемый

электролит. Сопротивление между электродами зависит от концентрации (проводимости) раствора. Электроды могут быть плоскопараллельными, цилиндрическими или точечными и изготавливаются из платины, графита, нержавеющей стали или других материалов, химически стойких к исследуемым растворам.

При прохождении через преобразователь постоянного тока происходит электролиз раствора, что приводит к значительным погрешностям измерений. Поэтому измерение сопротивления между электродами обычно проводят на переменном токе.

Для уменьшения погрешности от поляризации и загрязнения электродов иногда используют четырехэлектродные преобразователи (рис.

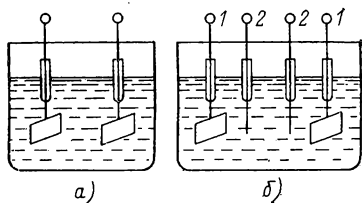


Рис. 9.7. Контактные кондуктометрические преобразователи

9.7, б) [12]. Пара электродов 1—1 (токовые электроды) подключается к внешнему источнику тока. При этом в растворе протекает стабильный ток, а между электродами 2—2 (потенциальными электродами) создается разность потенциалов, пропорциональная удельному сопротивлению раствора. Потенциальные электроды подключаются к усилителю напряжения с достаточно высоким входным сопротивлением. Обычно такой преобразователь также работает на переменном токе.

Бесконтактные кондуктометрические преобразователи не имеют контакта металлических электродов с электролитом, что исключает эффект поляризации, загрязнение электродов и другие отрицательные явления, возникающие при взаимодействии электродов и раствора.

Бесконтактные преобразователи делятся на низкочастотные ( $f \leq 50$  кГц) и высокочастотные. На рис. 9.8, а иллюстрируется принцип действия низкочастотного трансформаторного преобразователя. Исследуемый раствор образует замкнутую вторичную обмотку трансформатора, сопротивление которой определяется концентрацией раствора. Изменение концентрации вызывает изменение сопротивления потерь, вносимого в первичную обмотку  $w_1$  трансформатора. Измерение эквивалентных параметров первичной обмотки позволяет определить концентрацию раствора.

Преобразователь на рис. 9.8, б содержит два трансформатора, причем замкнутый виток исследуемого раствора является вторичной обмоткой первого трансформатора и первичной обмоткой второго. Пер-

вичная обмотка  $w_1$  питается от источника переменного напряжения. При этом ток в витке электролита пропорционален его проводимости; соответственно проводимости электролита оказывается пропорциональна и ЭДС  $U_{\text{вых}}$  на обмотке  $w_2$ .

Описанные бесконтактные преобразователи характеризуются более высокой стабильностью характеристик и меньшей погрешностью, чем контактные.

Высокочастотные бесконтактные преобразователи делятся на емкостные, которые применяются для измерения концентраций растворов с малой электропроводностью ( $10^{-6}$ — $1$  См/м), и индуктивные — для

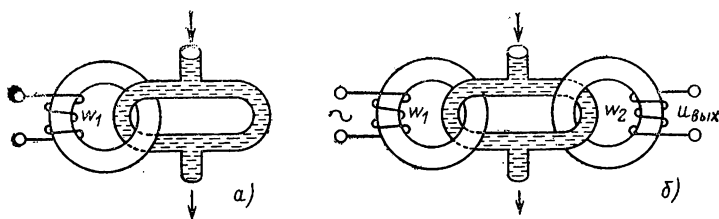


Рис. 9.8. Бесконтактные кондуктометрические преобразователи

растворов с электропроводностью  $10^{-2}$ — $10^2$  См/м. В преобразователях погружного типа катушка индуктивности или электроды конденсатора помещаются в трубку и изолированы от исследуемого раствора. Влияние проводимости раствора проявляется во внесении потерь в индуктивность или конденсатор, т. е. в изменении активной составляющей их комплексной проводимости на высокой частоте. Такие преобразователи обычно включаются в резонансный контур, у которого меняется добротность, или в контур автогенератора, у которого изменяется частота генерации.

**Преобразователи излучений.** В преобразователях излучений выходная электрическая величина функционально связана с характеристиками излучения. В зависимости от вида излучения различают оптоэлектрические и ионизационные преобразователи.

Оптоэлектрический преобразователь измеряемой величины  $x_1$  или  $x_2$  в выходную электрическую величину  $y$  (рис. 9.9) содержит источник излучения *ИИ* потока  $\Phi_1$ , некоторый оптический канал *ОК* и приемник излучения *ПИ*, воспринимающий поток и преобразующий его в электрическую величину  $y$  [26].

Воздействие измеряемой величины  $x$  на поток излучения  $\Phi_2$  может осуществляться двумя путями. В первом случае измеряемая величина  $x_1$  (рис. 9.9) воздействует непосредственно на источник излучения и изменяет тот или иной параметр излучаемого потока  $\Phi_1$ . Во втором



случае измеряемая величина  $x_2$  модулирует соответствующий параметр потока  $\Phi_2$  в процессе его распространения по оптическому каналу.

В оптоэлектрических преобразователях используется оптическое излучение видимого, инфракрасного или ультрафиолетового диапазона. Источниками излучения могут служить лампы накаливания, газоразрядные лампы, светодиоды и лазеры. В качестве приемников излучения чаще всего применяют фотоэлементы, фотоумножители, фоторезисторы, фотодиоды и фототранзисторы. Следует отметить, что фотоэлементы являются генераторными преобразователями, а фотодиоды могут быть генераторными или параметрическими преобразователями.

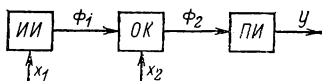


Рис. 9.9. Структурная схема оптоэлектрического преобразователя

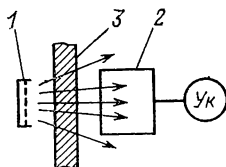


Рис. 9.10. Структурная схема прибора для измерения толщины листа

Оптоэлектрические преобразователи используются для бесконтактных измерений разнообразных физических величин. Чаще всего под действием измеряемой величины изменяется интенсивность излучения, например, вследствие изменения температуры излучателя, изменения поглощения или рассеяния оптического канала, однако могут изменяться также фазовый сдвиг между колебаниями в двух лучах, вызываемый разностью оптического хода этих лучей, частота и длина волны излучения, генерируемого источником. Соответственно структурные схемы оптоэлектрических преобразователей могут быть разделены на три группы: схемы измерения интенсивности излучения, схемы измерения сдвига фаз и угла поворота плоскости колебаний (плоскости поляризации) и схемы измерения частоты и длины волны электромагнитных колебаний оптического диапазона [12].

В ионизационных преобразователях используются различные виды ионизирующих излучений:  $\alpha$ -,  $\beta$ -,  $\gamma$ -излучение, реже — нейтронное и рентгеновское излучение. Источниками излучений служат естественные и искусственные радиоактивные изотопы и рентгеновские трубки. В качестве приемников излучения применяют ионизационные камеры, газоразрядные счетчики и сцинтилляционные счетчики.

Ионизационные преобразователи служат для измерения интенсивности ионизирующих излучений, геометрических размеров (например,

толщины стенки детали), перемещений, концентрации веществ и т. д.

На рис. 9.10 поясняется принцип действия прибора для измерения толщины листа. В приборе имеются радиоактивный источник 1, создающий излучение, и приемник излучения 2, выходной ток которого пропорционален числу попадающих в него в единицу времени радиоактивных частиц. При увеличении толщины листа 3 происходит уменьшение интенсивности излучения, попадающего в приемник 2, и соответственно уменьшается выходной ток, поступающий на указатель Ук. Высокая проникающая способность ионизирующих излучений делает их в ряде случаев незаменимым средством для осуществления бесконтактных измерений (например, в агрессивных и взрывоопасных средах). В то же время нельзя забывать о существенном недостатке таких методов измерения — необходимости применения биологической защиты от излучения.

### **9.3. ГЕНЕРАТОРНЫЕ ПРЕОБРАЗОВАТЕЛИ НЕЭЛЕКТРИЧЕСКИХ ВЕЛИЧИН**

Как отмечалось выше, в генераторных преобразователях выходной величиной являются ЭДС, ток или заряд, функционально связанные с измеряемой неэлектрической величиной.

**Пьезоэлектрические преобразователи** основаны на использовании прямого пьезоэлектрического эффекта, заключающегося в появлении электрических зарядов на поверхности некоторых кристаллов (кварца, сегнетовой соли и др.) под влиянием механических напряжений. Это преобразователи генераторного типа, однако их выходная мощность мала, поэтому к выходу преобразователя должен быть подключен измерительный усилитель с возможно большим входным сопротивлением ( $10^{11}$  Ом и более).

В пьезоэлектрических преобразователях применяют главным образом кварц, который обладает высокой механической прочностью и очень слабой зависимостью параметров от температуры.

На рис. 9.11 схематически изображено устройство пьезоэлектрического преобразователя давления [12, 26].

Измеряемое давление  $P$  действует на мембрану 1, представляющую собой дно корпуса преобразователя. Кварцевые пластины 2 соединены параллельно. Наружные обкладки кварцевых пластин заземляются, а средняя обкладка (латунная фольга 3) изолируется относительно корпуса самим кварцем, имеющим очень высокое удельное сопротивление. Сигнал с кварцевых пластин снимается экранированным кабелем 5. Для удобства соединения вывода от фольги с внутренней жилой кабеля в корпусе преобразователя предусмотрено отверстие, закрываемое пробкой 4.

Электрический заряд  $Q$ , возникающий на кварцевых пластинах, пропорционален давлению  $P$ , т. е.  $Q = kF = kPS$ , где  $k$  — пьезоэлектри-

ческий коэффициент;  $F$  — сила, действующая на пьезоэлектрик;  $S$  — площадь мембраны.

Эквивалентная схема преобразователя, соединенного кабелем измерительной цепью, представлена на рис. 9.12, на котором  $C_0$  — емкость между гранями пьезоэлектрика (емкость преобразователя);  $C_{вх}$  — емкость кабеля и входная емкость измерительной цепи;  $R_0$  — сопротивление преобразователя с учетом сопротивления изоляции линии относительно земли;  $R_{вх}$  — входное сопротивление измерительной цепи.

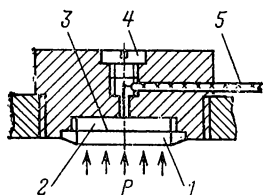


Рис. 9.11. Пьезоэлектрический преобразователь

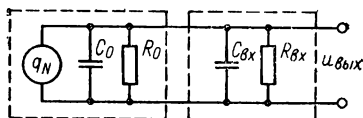


Рис. 9.12. Эквивалентная схема пьезоэлектрического преобразователя

При синусоидальной действующей силе  $F = F_m \sin \omega t$  получим

$$\dot{U}_{вых} = k \dot{F} \omega R / (1 + j \omega RC), \quad (9.6)$$

где

$$R = R_0 R_{вх} / (R_0 + R_{вх}), \quad C = C_0 + C_{вх}.$$

Как видно из (9.6), амплитуда выходного напряжения и сдвиг фаз  $\psi$  между этим напряжением и измеряемой силой зависят от частоты:

$$U_{выхm} = k F_m \omega R / \sqrt{1 + \omega^2 R^2 C^2};$$

$$\psi = \pi/2 - \arctg \omega RC. \quad (9.7)$$

Амплитудно-частотная  $S(\omega/\omega_0)$  и фазочастотная  $\psi(\omega/\omega_0)$  характеристики преобразователя, включенного в измерительную цепь, представлены на рис. 9.13.

Анализ частотных характеристик показывает, что пьезоэлектрические преобразователи могут быть использованы только для измерений быстро изменяющихся величин (переменных усилий, давлений, параметров вибраций, ускорений и т. д.).

**Индукционные преобразователи** основаны на использовании закона электромагнитной индукции, согласно которому ЭДС, индуцированная в катушке, имеющей  $w$  витков, равна

$$e = -w (d\Phi/dt), \quad (9.8)$$

где  $\Phi$  — магнитный поток, сцепленный с катушкой.

Индукционные преобразователи применяются для измерений скорости линейных и угловых перемещений. Наибольшее применение они получили в приборах для измерения угловой скорости (тахометрах) и в приборах для измерения параметров вибраций, т. е. для измерения линейных и угловых перемещений и ускорений (в виброметрах и акселерометрах).

Очевидно, что для получения перемещений или ускорений необходимо соответственно проинтегрировать или продифференцировать выходной сигнал индукционного преобразователя.

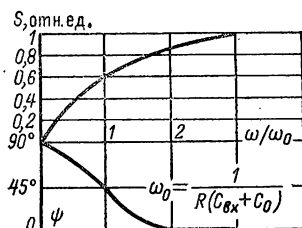


Рис. 9.13. Частотные характеристики пьезоэлектрического преобразователя

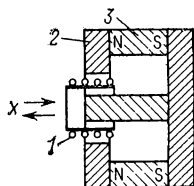


Рис. 9.14. Индукционный преобразователь

На рис. 9.14 схематически показан индукционный преобразователь линейных перемещений. Он представляет собой цилиндрическую катушку 1, перемещающуюся в кольцевом зазоре магнитопровода 2. Цилиндрический постоянный магнит 3 создает в кольцевом зазоре постоянное радиальное магнитное поле. Катушка при перемещении пересекает силовые линии магнитного поля, и в ней возникает ЭДС, пропорциональная скорости перемещения.

Индукционные преобразователи просты по конструкции, надежны в работе, но имеют ограниченный частотный диапазон измеряемых величин.

**Термоэлектрические преобразователи (термопары)** основаны на термоэлектрическом эффекте, заключающемся в том, что в замкнутом контуре, состоящем из двух разнородных проводников (или полупроводников), течет ток, если места спаев проводников имеют различные температуры.

Если взять замкнутый контур (рис. 9.15, а), состоящий из разнородных проводников (термоэлектродов) А и В, то на их спаях 1 и 2 возникнут термо-ЭДС  $e_{AB}(t)$  и  $e_{AB}(t_0)$ , зависящие от температур  $t$  и  $t_0$  этих спаев. Так как эти термо-ЭДС оказываются включенными встречно, то результирующая термо-ЭДС  $E_{AB}(t, t_0)$ , действующая в контуре, равна

$$E_{AB}(t, t_0) = e_{AB}(t) - e_{AB}(t_0). \quad (9.9)$$

При равенстве температур обоих спаев результирующая термо-ЭДС равна нулю. Спай 1, погружаемый в контролируемую среду, называется рабочим концом термопары, а спай 2 — свободным.

Известно, что у любой пары однородных проводников значение результирующей термо-ЭДС зависит только от природы проводников и от температуры спаев и не зависит от распределения температуры вдоль проводников. Термоэлектрический контур можно разомкнуть в любом месте и включить в него один или несколько разнородных проводников. Если все появившиеся при этом места соединений находятся при одинаковой температуре, то результирующая термо-ЭДС, действующая в контуре, не изменяется. Это используется для измерения (или преобразования) термо-ЭДС термопары.

Электронизмерительный прибор (милливольтметр) или измерительный усилитель термо-ЭДС могут подключаться к контуру термопары двумя способами: в свободный конец термопары и в один из термоэлектродов. Наибольшее распространение получил первый способ.

На рис. 9.15, б измерительный прибор или измерительный преобразователь ИП подключается к свободному концу термопары с помощью проводников С, разнородных с А и В. В этом случае цепь будет иметь не один, а два свободных конца со спаями 2 и 3, находящимися при одинаковой температуре  $t_0$ .

Значение результирующей термо-ЭДС в этом случае равно

$$\begin{aligned} E_{AB}(t, t_0) &= e_{AB}(t) + e_{BC}(t_0) + e_{CA}(t_0) = e_{AB}(t) + e_{BA}(t_0) = \\ &= e_{AB}(t) - e_{AB}(t_0). \end{aligned}$$

При включении ИП в один из термоэлектродов (рис. 9.15, в) термо-ЭДС равна

$$E_{AB}(t, t_0) = e_{AB}(t) + e_{BC}(t_1) + e_{CB}(t_1) + e_{BA}(t_0) = e_{AB}(t) - e_{AB}(t_0).$$

Таким образом, выходная термо-ЭДС термоэлектрического преобразователя не зависит от способа подключения к нему последующих средств измерения.

Измерение температуры при помощи термоэлектрического преобразователя возможно лишь при достаточно точно известной температуре  $t_0$  свободного конца термопары.

Термопары позволяют измерять температуру в диапазоне от  $-200$  до  $+2200^\circ\text{C}$ . Для измерения температур до  $1100^\circ\text{C}$  используют в основном термопары из неблагородных металлов, для измерения температур от  $1100$  до  $1600^\circ\text{C}$  — термопары из благородных металлов и сплавов платиновой группы, а для измерения более высоких температур — термопары из жаростойких сплавов (на основе вольфрама).

Наибольшее распространение для изготовления термоэлектрических преобразователей получили материалы: платина, платинородий, хромель, алюмель, конпель. Характеристики наиболее распространенных термопар нормируются ГОСТ 6616—74.

Создаваемая термопарами ЭДС сравнительно невелика: она не превышает 8 мВ на каждые 100 °С и обычно не превышает 70 мВ.

При измерениях температуры в широком диапазоне необходимо учитывать нелинейность функции преобразования термоэлектрического преобразователя. Так, например, функция преобразования медь-константановых термопар в диапазоне температур от —200 до +300 °С с погрешностью  $\pm 2$  мкВ описывается эмпирической формулой

$$E = At + Bt^2 + Ct^3,$$

где  $A$ ,  $B$  и  $C$  — постоянные, определяемые путем измерения термо-ЭДС при трех известных температурах;  $t$  — температура рабочего спая при  $t_0 = 0$  °С.

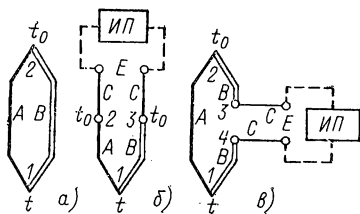


Рис. 9.15. Термоэлектрические преобразователи

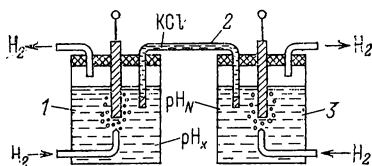


Рис. 9.16. Гальванический преобразователь

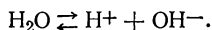
Для стандартных термопар имеются градуировочные таблицы (ГОСТ 3044—77).

Постоянная времени термоэлектрических преобразователей зависит от их конструкции и качества теплового контакта рабочего спая термопары со средой и для промышленных термопар составляет единицы минут. Однако известны конструкции малоинерционных термопар, у которых постоянная времени лежит в пределах 5—20 с и ниже.

**Гальванические преобразователи** основаны на зависимости ЭДС гальванической цепи от концентрации ионов в электролите и окислительно-восстановительных процессов, происходящих на электродах [12, 26]. Наиболее широко гальванические преобразователи используются в качестве преобразователей рН-метров — приборов для измерения активности (концентрации) водородных ионов.

Свойства различных растворов (нейтральных, кислых, щелочных) зависят от концентрации в них водородных ионов.

В дистиллированной воде происходит диссоциация части молекул на ионы водорода  $H^+$  и ионы гидроксидов  $OH^-$  по схеме



Это объясняет наличие слабой проводимости у дистиллированной воды.

При равновесии процессов диссоциации и восстановления молекул воды из ионов остается постоянным так называемое ионное произведение  $a_{H^+}$ ,  $a_{OH^-}$ , где  $a_{H^+}$  и  $a_{OH^-}$  — соответственно концентрации ионов  $H^+$  и  $OH^-$ .

Ионное произведение при одинаковой температуре постоянно не только для чистой воды, но и для любых водных растворов кислот, оснований и солей. Установлено, что при  $22^\circ C$  его значение равно  $10^{-14}$  (моль/л)<sup>2</sup>. В чистой воде или в нейтральном растворе число ионов  $H^+$  и  $OH^-$  одинаково, следовательно,

$$a_{H^+} = a_{OH^-} = 10^{-7} \text{ моль/л.}$$

Если в воде растворить кислоты, то ионов  $H^+$  станет больше, а ионов  $OH^-$  меньше, но ионное произведение не изменится. При растворении в воде щелочи увеличивается концентрация ионов  $OH^-$  и соответственно уменьшается концентрация ионов  $H^+$ .

Таким образом, концентрация водородных ионов позволяет характеризовать любые растворы: кислые, нейтральные, щелочные. В качестве численной характеристики используют водородный показатель рН:

$$pH = -\lg a_{H^+}.$$

Диапазон изменения рН водных растворов обычно составляет 0—14 ед.

Наиболее точный и универсальный метод измерения рН основан на определении потенциалов различных электродов, помещаемых в исследуемый раствор. Следовательно, гальванические преобразователи, являющиеся датчиками рН-метров, в качестве естественной входной величины имеют концентрацию водородных ионов, выражаемую в единицах рН, а в качестве выходной величины — разность потенциалов электродов.

Гальванический преобразователь состоит из двух полуэлементов: измерительного электрода, помещенного в исследуемый раствор, и вспомогательного полуэлемента, электродный потенциал которого должен оставаться постоянным.

На рис. 9.16 показан гальванический преобразователь, состоящий из двух водородных полуэлементов [12, 26]. Водородный электрод можно создать, воспользовавшись свойством водорода адсорбироваться на поверхности платины, иридия или палладия. Обычно водородным электродом служит покрытый платиновой чернью платиновый электрод, к которому непрерывно подводится газообразный водород. Потенциал

такого электрода зависит от концентрации водородных ионов в растворе. Один из водородных электродов (измерительный) помещается в исследуемый раствор 1, который при помощи электролитического ключа 2 соединяется с нормальным водородным полуэлементом (вспомогательным) 3, содержащим электролит с активностью водородных ионов  $a_{(H^+)_2} = 1$  моль/л. ЭДС между электродами равна

$$E = (RT/F) \ln (a_{(H^+)_1} / a_{(H^+)_2}),$$

где  $R = 8,3144$  Дж/(моль·К) — универсальная газовая постоянная;  $T$  — абсолютная температура;  $F = 9,6485 \cdot 10^4$  Кл/моль — постоянная Фарадея.

С учетом того, что  $\lg a_{(H^+)_1} = -pH$ , получим

$$E = -2,303RT \, pH / F. \quad (9.10)$$

Таким образом, ЭДС между водородными электродами пропорциональна значению рН. Для температуры 18 °С ЭДС, В, равна

$$E = -0,058 pH.$$

Водородный электрод обеспечивает наиболее высокую точность измерения рН, однако его недостатком является необходимость непрерывной подачи газообразного водорода. Поэтому в промышленных измерениях в качестве вспомогательного электрода чаще применяются каломельный и хлорсеребряный полуэлементы, а в качестве измерительного — хингидронный, сурьмяный и (особенно часто) стеклянный.

Измерение ЭДС гальванических преобразователей должно производиться таким образом, чтобы через преобразователь не проходил ток, вызывающий погрешности от поляризации электродов и падения напряжения на внутреннем сопротивлении преобразователя, которое при использовании стеклянных электродов составляет  $10^7$ — $10^9$  Ом. Указанное требование делает необходимым применение электрометрических усилителей или компенсационных измерительных приборов. Следует также учитывать, что измерение рН с помощью гальванических преобразователей требует введения поправки на температуру.

#### 9.4. ИЗМЕРЕНИЕ ТЕМПЕРАТУРЫ

В современном промышленном производстве, научных исследованиях, при испытаниях материалов и образцов новой техники наиболее распространенными являются измерения температуры. Широкий диапазон измеряемых температур, разнообразие условий использования средств измерений и требований к ним определяют, с одной стороны, многообразие применяемых средств измерения температуры, а с другой стороны, необходимость разработки новых ти-



пов первичных преобразователей, приборов и информационно-измерительных систем, удовлетворяющих возрастающим требованиям к точности, быстродействию, помехоустойчивости и т. п. Различные средства измерений температуры можно подразделить по типу используемых первичных преобразователей.

В диапазоне низких и средних температур используют в основном контактные методы измерения, причем наиболее широко на практике используются первичные преоб-

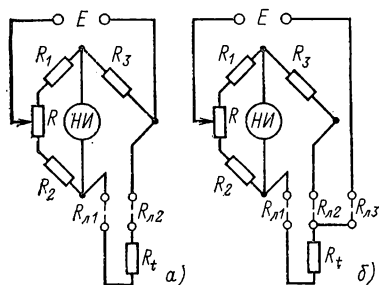


Рис. 9.17. Схемы включения термопреобразователя сопротивления

разователи в виде термопреобразователей сопротивления и термопар. При этом следует учитывать, что в большинстве случаев температуру необходимо измерять во многих точках объекта и дистанционно, т. е. первичные преобразователи удалены от центральной части системы на расстояние десятков, сотен метров, а иногда и более.

**Термопреобразователи сопротивления** чаще всего включаются в измеритель-

ную схему, представляющую собой уравновешенный или неуравновешенный мост. На рис. 9.17, а показана схема включения термопреобразователя сопротивления в уравновешенный мост.

Уравновешивание моста осуществляется с помощью потенциометра  $R$ . При изменении сопротивления терморезистора  $R_t$  соответственно изменяется положение движка потенциометра, положение которого относительно шкалы формирует показание прибора. Шкала градуируется непосредственно в единицах температуры. Недостатком такой (двухпроводной) схемы включения термопреобразователя является существенная погрешность, вносимая сопротивлениями  $R_{л1}$  и  $R_{л2}$  проводов, которыми он подключен.

При изменении температуры окружающей среды происходит изменение сопротивлений проводов, что делает невозможным компенсацию указанной погрешности. Для снижения этой погрешности применяют трехпроводную схему подключения термометров сопротивления (рис. 9.17, б). В этом случае сопротивления проводов  $R_{л1}$  и  $R_{л2}$

оказываются не в одной, а в различных (соседних) ветвях моста, и их влияние существенно уменьшается. При симметрии моста их сопротивления вычитаются. Сопротивление  $R_{\text{л}}$ , третьего провода оказывается включенным в цепь источника питания и на результат измерения не влияет.

При увеличении протяженности проводных линий связи описанные методы часто не позволяют обеспечить высокую точность измерения температуры и возникает необходимость в предварительном преобразовании сопротивления терморезистора в какой-либо параметр электрического сигнала, обеспечивающего точную и помехоустойчивую передачу измерительной информации.

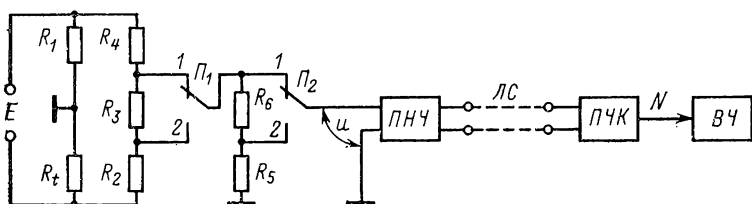


Рис. 9.18. Структурная схема канала измерения температуры

В качестве примера на рис. 9.18 изображена структурная схема одного канала измерения температуры информационно-измерительной системы, разработанной в Куйбышевском политехническом институте им. В. В. Куйбышева и предназначенной для океанологических исследований. Высокая точность измерений достигается за счет применения платиновых термометров сопротивления и тестового метода автоматической коррекции погрешностей (см. § 2.9). В данном случае используются функциональные тесты, формируемые по сопротивлению, что позволяет уменьшить погрешности всех звеньев измерительного канала, за исключением первичного преобразователя — термометра сопротивления.

Терморезистор  $R_t$  включен в схему неуравновешенного моста, образованного резисторами  $R_1—R_4$ , выходное напряжение которого подается на вход преобразователя напряжения в частоту ПНЧ периодического сигнала, передаваемого по проводной линии связи ЛС. На приемной стороне частота сигнала преобразуется в код  $N$  преобразователем частоты в код ПЧК, а полученный код вводится в

вычислительное устройство ВУ. Применение ЧМ-сигнала практически исключает влияние параметров линии связи, обеспечивает высокую помехоустойчивость и уменьшение случайных погрешностей при интегрировании сигнала в ПЧК.

Предположим, что функция преобразования измерительного канала от напряжения  $u$  на входе ПНЧ до кода  $N$  на выходе ПЧК достаточно точно описывается кусочно-линейной функцией, каждый участок которой определяется выражением  $N = d_{0j} + d_{1j}u$ .

Для получения результата измерений выполняются три измерения. В первом измерении переключатели  $\Pi_1$  и  $\Pi_2$  находятся в положении 1, во втором измерении  $\Pi_1$  находится в положении 2, а  $\Pi_2$  — в положении 1, в третьем измерении  $\Pi_1$  и  $\Pi_2$  находятся в положении 2.

Результаты этих измерений можно записать в следующем виде:

$$\left. \begin{aligned} N_1 &= d_{0j} + d_{1j} E \frac{R_{II}}{R_{II} + R_9} \left( \frac{R_t}{R_t + R_1} - \frac{R_2 + R_3}{R_2 + R_3 + R_4} \right); \\ N_2 &= d_{0j} + d_{1j} E \frac{R_{II}}{R_{II} + R_9} \left( \frac{R_t}{R_t + R_1} - \frac{R_2}{R_2 + R_3 + R_4} \right); \\ N_3 &= d_{0j} + d_{1j} E k \frac{R_{II}}{R_{II} + R_9} \left( \frac{R_t}{R_t + R_1} - \frac{R_2}{R_2 + R_3 + R_4} \right), \end{aligned} \right\} \quad (9.11)$$

где  $R_{II} = R_5 + R_6$ ;  $R_9 = R_t \parallel R_1 + (R_2 + R_3) \parallel R_4$ ; причем  $R_2 = R_4$ ;  $k = R_5 / (R_5 + R_6)$ ,  $\parallel$  — знак параллельного соединения соответствующих резисторов.

Входное сопротивление ПНЧ должно быть достаточно велико по сравнению с сопротивлениями резисторов  $R_1$ — $R_6$  и ключей. В этом случае можно использовать электронные ключи, сопротивление  $R_3$  берется того же порядка, что и изменение сопротивления  $R_t$  в диапазоне измеряемых температур.

Решив систему уравнений (9.11), получим

$$R_t = R_1 [(1 - k) R_2 + z R_3] / [(1 - k)(R_2 + R_3) - z R_3], \quad (9.12)$$

где  $z = (N_2 - N_3) / (N_2 - N_1)$ .

Анализ (9.12) показывает, что вычисленные значения  $R_t$  не содержат погрешности, вызванные нестабильностью напряжения питания моста, нелинейностью функции преобразования неуравновешенного моста, влиянием нагрузки моста на его коэффициент передачи, а также все отно-

сительно медленно меняющиеся погрешности измерительного канала. Очевидно, что точность измерения  $R_t$  определяется точностью и стабильностью сопротивлений резисторов  $R_1—R_6$ .

Значение  $R_t$  по (9.12) вычисляется в ВУ, затем по известной функции преобразования термометра сопротивления вычисляется значение измеряемой температуры. При индивидуальной градуировке платиновых термометров сопротивления описанная ИИС позволяет измерять температуру с погрешностью  $0,01—0,02^\circ\text{C}$  в диапазоне температур  $-5\div+40^\circ\text{C}$  при длине линии связи до нескольких километров.

**Термоэлектрические преобразователи.** При использовании термоэлектрических преобразователей (термопар) возникает необходимость измерения значения термо-ЭДС на выходе термопары. Для этой цели широко применяются милливольтметры и компенсаторы постоянного тока, шкалы которых градуируются непосредственно в градусах температуры.

Как известно, при измерении температуры свободные концы термопары должны находиться при постоянной температуре. Свободные концы термопары конструктивно выведены на зажимы на ее головке, а следовательно, расположены в непосредственной близости от объектов, т.е. в зоне с контролируемой температурой. Чтобы отнести эти концы в зону с постоянной температурой, применяются удлиняющие провода, состоящие из двух жил, изготовленных из металлов или сплавов, имеющих одинаковые термоэлектрические свойства с термоэлектродами термометра.

Для термопар из благородных металлов удлиняющие провода изготавливаются чаще всего из тех же материалов, что и основные термоэлектроды, тогда как для термометров из благородных металлов в целях удешевления удлиняющие провода выполняются из материалов, развивающих в паре между собой в диапазоне температур  $0—150^\circ\text{C}$  ту же термо-ЭДС, что и электроды термопары. Так, для термопары платина — платинородий применяются удлинительные термоэлектроды из меди и сплава ТП, образующие термопару, идентичную по термо-ЭДС термопаре платина — платинородий в диапазоне  $0—150^\circ\text{C}$ . Для термопары хромель — алюмель удлинительные термоэлектроды изготавливаются из меди и константана, а для термопары хромель — копель удлинительными являются основные термоэлектроды, но выполненные в виде гибких проводов.

При неправильном подключении удлинительных термоэлектродов возникает существенная погрешность.

В лабораторных условиях температура свободных концов термопары поддерживается равной  $0^{\circ}\text{C}$  путем помещения их в сосуд Дьюара, наполненный истолченным льдом с водой. В производственных условиях температура свободных концов термопары обычно отличается от  $0^{\circ}\text{C}$ . Так как градуировка термопар осуществляется при температуре свободных концов  $0^{\circ}\text{C}$ , то это отличие может явиться источником существенной погрешности. Для уменьшения указанной погрешности необходимо ввести поправку в по-

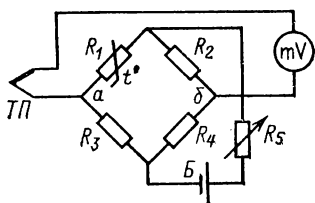


Рис. 9.19. Принципиальная электрическая схема термоэлектрического термометра с автоматическим введением поправки

казания термометра. Однако следует иметь в виду, что функция преобразования термопары нелинейна, следовательно, значение поправки должно зависеть не только от температуры свободных концов термопары, но и от значения измеряемой температуры. Это обстоятельство затрудняет точную коррекцию указанной погрешности путем введения поправки.

Широкое применение на практике получило автоматическое введение поправки на температуру свободных концов термопары, приведен на рис. 9.19.

В цепь термопары и милливольтметра включен мост, одним из плеч которого является терморезистор  $R_1$  (медный), помещенный возле свободных концов термопары. Остальные плечи моста образованы манганиновыми резисторами  $R_2$ ,  $R_3$ ,  $R_4$ . При температуре свободных концов термопары, равной  $0^{\circ}\text{C}$ , мост находится в равновесии (разность потенциалов между точками a и б равна нулю). При отклонении температуры свободных концов термопары от  $0^{\circ}\text{C}$  напряжение на выходе моста не равно нулю и суммируется с термо-ЭДС термопары, внося поправку в показания прибора. Значение поправки регулируется резистором  $R_5$ . Вследствие нелинейности функции преобразования

термопары полной компенсации погрешности не происходит, но указанная погрешность существенно уменьшается.

В данном случае автоматическая коррекция погрешности осуществляется методом вспомогательных измерений (см. § 2.9), причем термометр сопротивления является вспомогательным измерительным преобразователем, а поправка вводится путем суммирования напряжений.

При измерениях температуры широкое применение находят милливольтметры и автоматические электронные показывающие и самопишущие приборы ГСП.

В лабораторных условиях для точного измерения термо-ЭДС применяются лабораторные и образцовые компенсаторы постоянного тока с ручным уравниванием, имеющие более высокие классы точности (до 0,001).

**Кварцевые термопреобразователи.** В последние годы для измерения температур от  $-80$  до  $+250^{\circ}\text{C}$  все более широкое распространение получают кварцевые термопреобразователи, отличающиеся высокой разрешающей способностью и имеющие частотный выходной сигнал, хорошо защищенный от помех и легко преобразуемый в цифровой код. В кварцевом термопреобразователе используется зависимость собственной частоты кварцевого элемента от температуры. В зависимости от ориентации среза относительно осей кристалла кварца изменяются зависимость частоты преобразователя от температуры и линейность функции преобразования.

Кварцевые термопреобразователи имеют высокую чувствительность (до  $10^3$  Гц/К), высокую временную стабильность (0,02 К за год) и разрешающую способность  $10^{-4}$  —  $10^{-7}$  К, что и определяет перспективность их использования в цифровых термометрах, а применение микропроцессоров открывает возможность учета их индивидуальных нелинейных градуировочных характеристик.

**Пирометры.** Рассмотренные выше методы измерения температуры относятся к контактным методам. Общим их недостатком является необходимость введения датчика в контролируемую среду, в результате чего происходит искажение исследуемого температурного поля. Кроме того, непосредственное воздействие среды на датчик ухудшает стабильность его характеристик, особенно при высоких и сверхвысоких температурах и агрессивных средах. От этих недостатков свободны бесконтактные методы измерения температуры, основанные на использовании энергии излучения нагретых тел.

Тепловое излучение любого тела можно характеризовать количеством энергии, излучаемой телом с единицы поверхности в единицу времени и приходящейся на единицу диапазона длин волн. Такая характеристика представляет собой спектральную плотность и называется спектральной светимостью или интенсивностью монохроматического излучения. Интеграл от спектральной светимости по всем длинам волн от нуля до бесконечности дает интегральную интенсивность излучения.

Законы температурного излучения определены совершенно точно лишь для абсолютно черного тела. Зависимость спектральной светимости  $R_\lambda^*$  абсолютно черного тела от температуры и длины волны выражается формулой

$$R_\lambda^* = c_1 \lambda^{-5} (e^{c_2/(\lambda T)} - 1)^{-1}, \quad (9.13)$$

где  $\lambda$  — длина волны;  $T$  — абсолютная температура;  $c_1$  и  $c_2$  — постоянные.

В соответствии с (9.13) можно найти интегральную интенсивность излучения абсолютно черного тела, которая для видимой части спектра приближенно равна

$$S^* = \int_0^\infty R_\lambda^* d\lambda \approx \sigma T^4, \quad (9.14)$$

где  $\sigma$  — постоянный коэффициент.

Интенсивность излучения любого реального тела всегда меньше интенсивности абсолютно черного тела, находящегося при той же температуре. Уменьшение спектральной светимости реального тела по сравнению с абсолютно черным учитывают введением в (9.13) и (9.14) коэффициентов неполноты излучения  $\varepsilon_\lambda$  и  $\varepsilon$ , меньших единиц:

$$R_\lambda = \varepsilon_\lambda R_\lambda^*; \quad S = \varepsilon S^*. \quad (9.15)$$

Значения  $\varepsilon_\lambda$  и  $\varepsilon$  различны для разных физических тел и зависят от состава вещества, состояния поверхности тела и других факторов.

Приборы для измерения температуры, основанные на использовании энергии излучения нагретых тел, называются пирометрами. Пирометры делятся на радиационные, яркостные и цветовые.

Радиационные пирометры используются для измерения температуры от 20 до 2500 °С, причем прибор измеряет

интегральную интенсивность  $S$  излучения реального объекта. В связи с этим при определении температуры необходимо учитывать реальное значение коэффициента неполноты излучения  $\epsilon$ .

На рис. 9.20, а схематически показано устройство такого пирометра.

Внутри телескопа, имеющего объектив 2 и окуляр 5, расположена термобатарея из последовательно включенных термопар 3. Рабочие концы термопар находятся на платиновом лепестке, покрытом платиновой чернью. Телескоп наводится на объект измерения так, чтобы лепесток полностью перекрывался изображением объекта 1 и

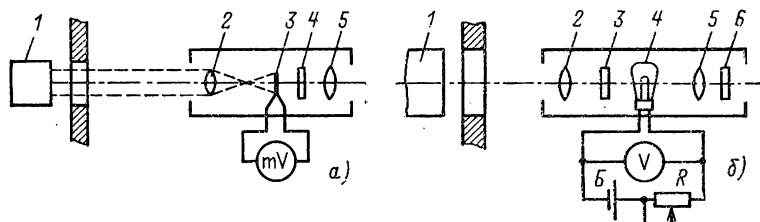


Рис. 9.20. Пирометры

вся энергия излучения воспринималась термобатареей. Термо-ЭДС термобатареи является функцией мощности излучения, а следовательно, и температуры тела. Для защиты глаза при наводке телескопа предусмотрен светофильтр 4.

Радиационные пирометры градуируются по излучению абсолютно черного тела, поэтому неточность оценки коэффициента неполноты излучения вызывает погрешность измерения температуры.

Яркостные (оптические) пирометры основаны на сравнении в узком участке спектра яркости исследуемого объекта с яркостью образцового излучателя. Принцип действия яркостного пирометра поясняется на рис. 9.20, б.

В этом пирометре яркость исследуемого тела сравнивается с яркостью нити фотометрической лампы 4. Фотометрическая лампа встроена в телескоп, имеющий объектив 2 и окуляр 5. При измерении температуры телескоп направляют на исследуемое тело 1 и добиваются четкого изображения тела и нити фотометрической лампы в одной плоскости. Затем, изменяя яркость нити путем изменения тока



через нее (или изменяя яркость изображения тела с помощью перемещаемого оптического клина), добиваются одинаковой яркости изображений нити и исследуемого объекта. Если яркость тела больше яркости нити, то нить видна в виде черной линии на ярком фоне. В противном случае заметно свечение нити на более бледном фоне. При равенстве яркостей нить не видна, поэтому такие пирометры иногда называют пирометрами с исчезающей нитью.

Напряжение накала лампы (или положение оптического клина) характеризует температуру нагретого тела. Чтобы интенсивности излучения сравнивались в узком участке спектра, применен светофильтр 6.

Яркостные пирометры обеспечивают более высокую точность измерений температуры, чем радиационные. Их основная погрешность обусловлена неполнотой излучения реальных физических тел и поглощением излучения промежуточной средой, через которую производится наблюдение.

Яркостный пирометр типа «Проминь» предназначен для измерения яркостной температуры в пределах 800—4000 °С. Диапазоны измерений прибора: 800—1400 °С, 1200—2000 °С и 1800—4000 °С с основной погрешностью измерения соответственно  $\pm 12$ ,  $\pm 20$  и  $\pm (50-90)$  °С.

Цветовые пирометры основаны на измерении отношения интенсивностей излучения на двух длинах волн, выбираемых обычно в красной или синей областях спектра.

Для видимой части спектра  $e^{c_2/(\lambda T)} \gg 1$ .

С учетом этого запишем спектральные светимости реального тела для двух длин волн  $\lambda_1$  и  $\lambda_2$ :

$$R_{\lambda_1} = \epsilon_{\lambda_1} c_1 \lambda_1^{-5} e^{-c_2/\lambda_1 T}; \quad R_{\lambda_2} = \epsilon_{\lambda_2} c_1 \lambda_2^{-5} e^{-c_2/\lambda_2 T}. \quad (9.16)$$

Формулы (9.16) приближенные, но их погрешность для области видимых лучей и температур до 2600 °С не превышает 1 %.

Отсюда можно варазить искомую температуру:

$$T = \frac{c_2 (1/\lambda_1 - 1/\lambda_2)}{\ln (R_{\lambda_2} \epsilon_{\lambda_1} \lambda_2^5 / R_{\lambda_1} \epsilon_{\lambda_2} \lambda_1^5)}. \quad (9.17)$$

Для вычисления температуры по (9.17) необходима априорная информация о значениях  $\lambda_1$ ,  $\lambda_2$ ,  $\epsilon_{\lambda_1}$  и  $\epsilon_{\lambda_2}$ . В то же время если  $\epsilon_{\lambda_1} = \epsilon_{\lambda_2}$ , то неполнота излучения исследуемого объекта не вызывает погрешности измерения температуры. Это одно из главных преимуществ цветowych пирометров.

Кроме того, показания цветowych пирометров принципиально не зависят от расстояния до объекта измерения, а также от поглощения излучения в промежуточной среде, если коэффициенты поглощения одинаковы для обеих длин волн.

Обычно цветовой пирометр содержит один канал измерения интенсивности монохроматического излучения со сменными светофильтрами. Недостатком таких приборов является их относительная сложность. В качестве примера можно привести цветовой пирометр типа «Спектропир-6», работающий в диапазоне температур 900—2200 °C с основной погрешностью  $\pm 1\%$ .

**Новые типы средств измерения температуры.** В последние годы находят практическое применение новые типы средств измерения температуры, основанные на использовании различных физических явлений. К ним относятся шумовые термометры, ядерные квадрупольные и ядерные магнитные резонансные термометры, акустические термометры. Такие термометры используются главным образом при измерениях низких температур.

Для измерений температуры в диапазоне 4—1300 К применяют шумовые термометры, действие которых основано на зависимости шумового напряжения на резисторе от температуры. Эта зависимость определяется формулой Найквиста

$$\bar{U}_{\text{ш}}^2 = 4KTR\Delta f, \quad (9.18)$$

где  $\bar{U}_{\text{ш}}^2$  — средний квадрат напряжения шума;  $K$  — постоянная Больцмана;  $T$  — абсолютная температура;  $R$  — сопротивление резистора;  $\Delta f$  — полоса воспринимаемых частот.

Практическая реализация метода заключается в сравнении шумов двух идентичных резисторов, один из которых находится при известной температуре, а другой — при измеряемой.

Достоинством шумовых термометров является принципиальная возможность измерения термодинамической температуры на основе физической закономерности (9.18). Однако выходной параметр — среднее квадратическое значение напряжения шумов — очень трудно измерять точно вследствие его малости и сопоставимости с уровнем шума усилителя. Так, при температуре 300 К и сопротивлении 100 Ом при ширине полосы пропускания усилителя 100 кГц измеряемое напряжение составляет  $4 \cdot 10^{-7}$  В.

Термометры ядерного квадрупольного резонанса (ЯКР) основаны на взаимодействии градиента электрического поля кристаллической решетки и квадрупольного электрического момента ядра, вызванного отклонением распределения заряда ядра от сферической симметрии [26]. Это взаимодействие обуславливает прецессию ядер, частота которой (частота ЯКР) зависит от градиента электрического поля решетки и для различных веществ имеет значения от сотен килогерц до тысяч мегагерц. Градиент электрического поля решетки зависит от температуры, и с повышением температуры частота ЯКР понижается.

Датчик ЯКР-термометра представляет собой ампулу с веществом, помещенную внутрь катушки индуктивности, включенной в контур генератора. При совпадении частоты генератора с частотой ЯКР происходит поглощение энергии от генератора. Погрешность измерения температуры 10 К составляет  $\pm 0,02$  К, а температуры 300 К  $\pm 0,002$  К.

Достоинством ЯКР-термометра является его неограниченная во времени стабильность, а недостатком — нелинейность функции преобразования.

Термометры, использующие явление ядерного магнитного резонанса (ЯМР), менее распространены, чем ЯКР-термометры, но, по-видимому, не менее перспективны, особенно для измерения низких температур. Сообщается о создании прецизионного ЯМР-термометра для измерения температур от 1 мК до 1 К. Амплитуда сигнала ЯМР-термометра и период релаксации обратно пропорциональны абсолютной температуре.

Акустические термометры основаны на зависимости скорости распространения звука в газах от их температуры. Акустический термометр содержит пространственно разнесенные излучатель акустических волн и их приемник, обычно включаемые в цепь автогенератора, частота колебаний которого меняется с изменением температуры. В акустических термометрах могут использоваться различного типа резонаторы. Акустические термометры находят применение в диапазоне средних и высоких температур.

## **9.5. ИЗМЕРЕНИЕ ПЕРЕМЕЩЕНИЙ**

В современном промышленном производстве широко применяются измерения размеров, перемещений и деформаций. Для этой цели используются измерительные преобразователи перемещений, которые по диапазону входных

величин делятся на преобразователи малых перемещений (до 2—3 мм для линейных и 2—3° для угловых перемещений) и преобразователи больших перемещений (до нескольких метров для линейных и 25—40 оборотов для угловых перемещений). Роль преобразователей перемещений в промышленных измерениях велика также и потому, что при измерениях многих механических величин, таких как сила, давление, момент, сначала осуществляется их преобразование в перемещение, а затем перемещения в электрическую величину.

Для измерений перемещений находят применение различные типы измерительных преобразователей: реостатные, тензочувствительные, индуктивные, емкостные и преобразователи излучений. Выбор типа преобразователя и конкретной его разновидности определяется рядом факторов: диапазоном измеряемых перемещений, необходимой точностью измерений, допустимой продолжительностью измерений, практической возможностью использования контактного датчика той или иной конструкции, требованиями к виброустойчивости, надежности и т. п.

Большинство применяемых на практике преобразователей и приборов для измерения перемещений относится к аналоговым. Однако имеются и цифровые преобразователи — кодирующие линейки и диски. Существуют и специализированные ИИС, в состав которых входят средства измерений перемещений.

**Измерение деформаций.** При измерениях деформаций в качестве первичных измерительных преобразователей чаще всего используются тензорезисторы. Проволочные, фольговые и пленочные тензорезисторы применяются для измерений относительных деформаций  $\epsilon_l$  от 0,005 до 2 % [26]. Полупроводниковые тензорезисторы применяются для измерения деформаций до 0,1 %. Для измерения больших деформаций ( $\epsilon_l = 5 \div 10$  %) применяются свободные проволочные тензорезисторы, закрепленные по концам базы.

При измерении тензорезисторы обычно включаются в мостовую измерительную цепь. Напряжение питания моста ограничивается допустимой мощностью, рассеиваемой в тензорезисторе, и лежит в диапазоне 2—12 В.

Небольшое рабочее относительное изменение сопротивления тензорезистора определяет и сравнительно небольшое напряжение на выходе моста. Так, выходной сигнал моста с проволочными тензорезисторами составляет не более 10—50 мВ при деформации  $\epsilon_l = 1$  %. Для повышения

чувствительности мостовой измерительной цепи иногда применяют импульсное питание. При сохранении той же мощности, рассеиваемой в тензорезисторе, напряжение питания, а следовательно, и чувствительность моста могут быть увеличены в  $\sqrt{Q}$  раз ( $Q$  — скважность импульсов).

При измерениях деформаций с помощью тензорезисторов одной из наиболее существенных погрешностей является температурная, для уменьшения которой используют дифференциальное включение тензорезисторов. В этом случае применяют два тензорезистора, наклеиваемых таким образом, чтобы деформация объекта вызывала растя-

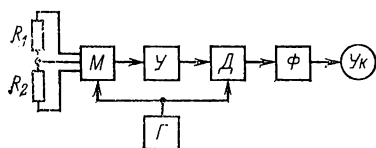


Рис. 9.21. Структурная схема измерительного канала тензостанции

жение одного тензорезистора и сжатие другого. Тензорезисторы включаются в два соседних плеча моста. Вследствие того, что изменение температуры вызывает однонаправленные изменения сопротивлений тензорезисторов, температурную погрешность удастся снизить примерно на порядок. Одновременно за счет дифференциальной схемы включения вдвое возрастает чувствительность.

Наибольшее распространение получили приборы, в которых тензорезисторы включаются в неуравновешенный мост, питаемый переменным током. Ввиду малости относительных изменений сопротивлений проволочных тензорезисторов нелинейность функции преобразования неуравновешенного моста можно практически не учитывать. Для измерения деформаций широко применяются многоканальные приборы (тензостанции). Структурная схема одного канала тензостанции приведена на рис. 9.21.

Тензорезисторы  $R_1$  и  $R_2$  включены в мостовую измерительную цепь  $M$ , питаемую переменным напряжением от генератора  $G$ . Выходной сигнал моста усиливается усилителем  $U$ , а затем демодулируется с помощью синхронного детектора  $D$  и фильтра нижних частот  $F$ . Сигнал с выхода фильтра поступает на указатель  $U_k$ . Вследствие того, что мостовая измерительная цепь питается переменным током, необходимо учитывать наличие относительно боль-

ших паразитных емкостей. Так, если тензорезисторы наклеиваются на металлическую деталь, то емкость между проводящими элементами тензорезистора и деталью может составлять 10—100 пФ. В связи с этим в мосте предусмотрены элементы предварительного уравнивания его не только по активной, но и по реактивной составляющей. Использование частотно-избирательного усилителя и синхронного детектора позволяет повысить помехоустойчивость измерительного устройства.

В настоящее время в связи с развитием микроэлектроники все более перспективным становится применение мостовых цепей с питанием их постоянным током. В качестве источника питания в этих схемах используются стабилизаторы напряжения или тока, а выходное напряжение моста усиливается с помощью усилителя с высоким входным сопротивлением.

Получают распространение также измерительные цепи, в которых выходной ток тензомоста уравнивается током дополнительного источника (квазиуравновешенные мосты) [12].

**Индуктивные датчики** находят широкое применение в промышленности для измерений перемещений в диапазоне от десятых долей микрометра до единиц дециметров, а также для измерений других физических величин, преобразуемых в перемещение. Это объясняется существенными достоинствами индуктивных датчиков, такими как простота конструкции, надежность, высокая чувствительность, значительная мощность сигнала на выходе, защищенность от воздействий внешних электрических и магнитных полей. Разнообразие требований и условий эксплуатации датчиков перемещений определяет и множество конкретных конструкций датчиков с изменяющейся индуктивностью или взаимной индуктивностью обмоток [1]. При этом особенно часто используются датчики дифференциального типа.

Наиболее распространенной измерительной цепью при использовании дифференциальных индуктивных преобразователей является мостовая цепь, в которой два соседних плеча  $Z_1$  и  $Z_2$  образованы обмотками датчика (рис. 9.22), а два других — элементами с сопротивлениями  $Z_3$  и  $Z_4$ .

На рис. 9.22 изображен дифференциальный индуктивный датчик с подвижным сердечником. При нейтральном положении сердечника (индуктивности обеих обмоток датчика равны) мост находится в состоянии равновесия, т.е.  $u_{\text{вых}}=0$ . При перемещении сердечника индуктивности об-

моток датчика изменяются противоположным образом, что вызывает изменение выходного напряжения. В зависимости от направления движения сердечника от нейтрального положения на  $180^\circ$  меняется фаза выходного переменного напряжения. Если на выходе необходимо получить постоянное напряжение, то сигнал с выхода моста подают на амплитудный детектор. При использовании синхронного (фазочувствительного) детектора выходное постоянное напряжение меняет знак при переходе подвижного сердечника через нейтральное положение.

Вследствие развития микроэлектроники все более перспективным становится преобразование выходного параметра индуктивного датчика в частотно-временные параметры сигналов: частоту, период, длительность импульсов, скважность.

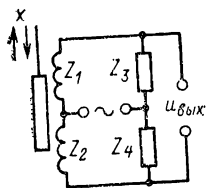


Рис. 9.22. Схема включения дифференциального индуктивного датчика

При использовании частотной гармонической модуляции обмотка индуктивного датчика включается в частотно-задающую цепь автогенератора. Недостатком таких схем является нелинейная зависимость частоты генерации от индуктивности обмотки датчика. От этого недостатка свободны схемы, в которых осуществляется импульсная модуляция.

В качестве примера на рис. 9.23, а приведена упрощенная схема преобразователя индуктивности датчика в период повторения импульсов, реализующая метод развертывающего преобразования. Работа схемы иллюстрируется с помощью временных диаграмм (рис. 9.23, б).

Операционный усилитель  $A$  с большим коэффициентом усиления выполняет функции схемы сравнения и находится в состоянии насыщения [15]. Значение напряжения на его выходе  $u_{\text{вых}}(t)$  по модулю равно значению напряжения насыщения  $E$  и может изменять знак в зависимости от соотношения напряжений на входах усилителя. Напряжение  $u_2(t)$  на неинвертирующем входе усилителя снимается с делителя, выполненного на резисторах  $R_2$ ,  $R_3$ , а его значение равно  $u_2 = kE$ , где  $k = R_3/(R_2 + R_3)$ . Напряжение  $u_1(t)$  на инвертирующем входе усилителя является выходным напряжением пассивной интегрирующей цепочки, образованной катушкой индуктивности  $L$  и резистором  $R_1$ . Напряжение  $u_1(t)$  изменяется по экспоненте с постоянной вре-

мени  $L/R_1$ , стремясь к значению напряжения насыщения  $E$ .

В момент времени  $T/2$ , когда  $u_1(T/2) = u_2$ , схема сравнения переходит в противоположное состояние, т.е. напряжение  $u_{\text{вых}}$  меняет знак. Далее процесс циклически повторяется.

Выходное напряжение представляет собой периодическую последовательность двухполярных прямоугольных импульсов (типа «меандр»), период повторения которых

$$T = 2 (L/R_1) \ln [(1 + k)/(1 - k)].$$

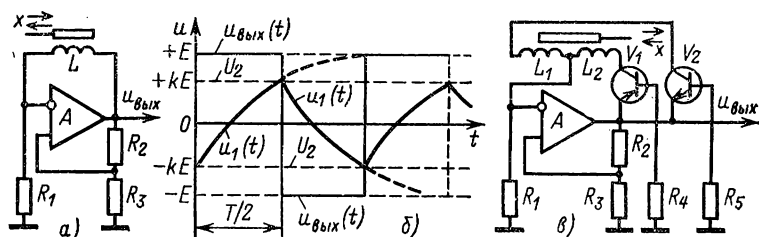


Рис. 9.23. Преобразователи перемещений в период повторения импульсов: а — принципиальная электрическая схема; б — временные диаграммы; в — принципиальная электрическая схема преобразователя с дифференциальным датчиком

Отсюда видно, что период повторения импульсов пропорционален индуктивности обмотки датчика перемещений.

На рис. 9.23, в показана схема, в которой используется дифференциальный индуктивный датчик перемещений. Данная схема аналогична описанной выше, но обмотки  $L_1$  и  $L_2$  подключены к выходу операционного усилителя через электронные ключи на транзисторах  $V_1$  и  $V_2$ . Транзисторы имеют различный характер проводимости, поэтому при  $u_{\text{вых}} = +E$  транзистор  $V_1$  открыт, а  $V_2$  закрыт, а при  $u_{\text{вых}} = -E$  наоборот,  $V_1$  закрыт, а  $V_2$  открыт. Таким образом обеспечивается поочередное подключение обмоток  $L_1$  и  $L_2$ . Если индуктивности этих обмоток не равны, то будут отличаться длительности положительных и отрицательных генерируемых импульсов, т.е. будет изменяться скважность. Выходная величина преобразователя

$$y = (T_1 - T_2)/(T_1 + T_2) = (L_1 - L_2)/(L_1 + L_2),$$



где  $T_1$  и  $T_2$  — длительности положительных и отрицательных импульсов.

Очевидно, что при одинаковой амплитуде положительных и отрицательных импульсов величина  $y$  пропорциональна постоянной составляющей выходного сигнала, следовательно, постоянная составляющая выходного сигнала также может рассматриваться в качестве выходной величины. Достоинством датчиков перемещений с частотной гармонической или импульсной модуляцией является возможность передачи выходных сигналов по линиям связи на большие расстояния практически без потерь информации и удобство их преобразования в цифровой код.

При использовании трансформаторных датчиков перемещений выходной величиной является амплитуда переменной напряженности, снимаемого с измерительной обмотки. В дальнейшем это напряжение служит для получения результата измерения либо непосредственно, либо после предварительного преобразования в постоянное напряжение или постоянный ток.

**Оптоэлектрические преобразователи.** Высокую точность измерений перемещений позволяют получить методы, основанные на применении оптоэлектрических преобразователей и источников оптического излучения, например методы раstra и муара.

В методе раstra используются две плоские пластины с параллельными штрихами. Расстояние между штрихами на каждой пластине постоянно, но для двух пластин незначительно отличается. При наложении пластин (растр) друг на друга и их просвечивании наблюдаются зоны сгущения и разряжения штрихов (рис. 9.24, а, б). Перемещение одного раstra относительно другого в направлении, перпендикулярном штрихам, вызывает перемещение указанных зон сгущения штрихов в том же направлении, но значение этого перемещения  $y$  оказывается гораздо больше, чем значение измеряемого перемещения  $x$ , т. е. происходит оптическая редукция [17]. Если расстояния между штрихами на пластинах равны  $a$  и  $b$  (рис. 9.24, а, б) то

$$y = \frac{x}{(1 - b/a)}.$$

В методе муара растры на двух пластинах имеют одинаковый шаг, но расположены под небольшим углом  $\alpha$  друг к другу (рис. 9.24, в, г). При наложении растров и их просвечивании наблюдаются светлые и темные полосы,

идущие поперек штрихов и называемые комбинационными, или муаровыми, полосами. Перемещение одного из растров вызывает значительно большее смещение муаровых полос в направлении, перпендикулярном направлению движения раstra, т. е. также происходит оптическая редукция. Значения этих перемещений связаны соотношением

$$y = x / \sin \alpha.$$

Наличие оптической редукции в методах раstra и муара позволяет достигнуть высокой чувствительности к измеряемому перемещению.

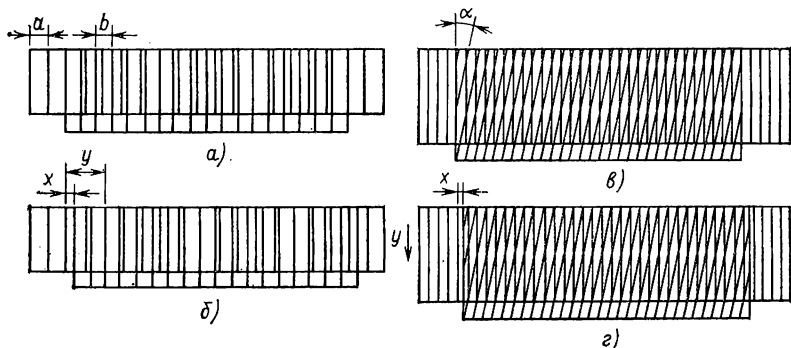


Рис. 9.24. Растровый и муаровый преобразователи перемещений

При измерениях перемещений от долей микрометра до метра используются лазерные интерферометры. В этих приборах производится сложение двух световых потоков, излучаемых лазером, один из которых проходит постоянный путь, а второй — путь, зависящий от измеряемого расстояния. Сложение потоков приводит к усилению или ослаблению суммарного потока в зависимости от разности фаз потоков, т. е. в зависимости от измеряемого расстояния.

На рис. 9.25 показано устройство лазерного интерферометра. Лазер излучает световой поток  $\Phi$ , который разделяется на два потока ( $\Phi_1$  и  $\Phi_2$ ) с помощью полупрозрачного наклонного зеркала 2. Поток  $\Phi_1$ , отражаясь от зеркала 2, а затем от зеркала 3, попадает на фотоэлемент 1. Поток  $\Phi_2$  проходит через зеркало 2, отражается от объекта 4, затем от зеркала 2 и попадает на фотоэлемент 1. В фотоэлементе 1 потоки складываются, и при изменении расстояния до объекта 4 периодически будет изменяться сигнал (фото-

ток) фотоэлемента. Число подсчитанных с помощью счетчика 5 периодов  $k$  фототока и перемещение объекта на расстояние  $x$  связаны соотношением

$$x = k\lambda/2,$$

где  $\lambda$  — длина волны света.

При измерении перемещений до 1 м погрешность составляет 0,1—1 мкм.

Для измерения больших расстояний (сотен метров и более) применяются лазерные дальномеры, работающие в импульсном или непрерывном режиме. В первом случае измеряется интервал времени между излученным и отраженным импульсами, во втором — сдвиг фаз между излученным и отраженным сигналами.

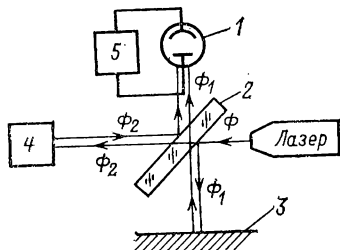


Рис. 9.25. Лазерный интерферометр

**Измерение уровней.** При учете количества жидких или сыпучих материалов часто возникает необходимость измерения их уровня в резервуарах, причем под уровнем понимается расстояние от верхней поверхности контролируемого вещества до любой произвольно выбранной

отметки выше или ниже этой поверхности. Разнообразие конструкций существующих уровнемеров объясняется широким диапазоном размеров резервуаров, различиями в условиях эксплуатации и физико-химических свойств измеряемых веществ. Поэтому рассмотрим лишь некоторые наиболее распространенные способы измерения уровней.

При измерениях уровней жидкости широко применяются поплавковые преобразователи, содержащие поплавок, плавающий на поверхности жидкости. Обычно поплавок с помощью штока связан с подвижным элементом реостатного или индуктивного преобразователя перемещений.

Широкое распространение при измерениях уровней получили также емкостные преобразователи, так как в них достигается практически линейное изменение емкости в большом диапазоне изменения уровня жидкости.

На рис. 9.26 приведена схема прибора для измерения уровня с емкостным датчиком.

Емкостный датчик опущен в резервуар и состоит из двух цилиндрических электродов. Емкость датчика линейно свя-

зана с измеряемым уровнем жидкости  $x$ . Емкостный датчик включен в измерительную цепь, представляющую собой уравновешенный мост. Если емкость  $C_n$  конденсатора переменной емкости линейно зависит от угла поворота вала реверсивного двигателя  $РД$ , то этот угол поворота будет линейной функцией измеряемого уровня  $x$ . При повороте вала  $РД$  одновременно перемещается указатель отчетного устройства  $ОтУ$ . Существенным недостатком данной схемы является зависимость результата измерений от диэлектрической проницаемости среды.

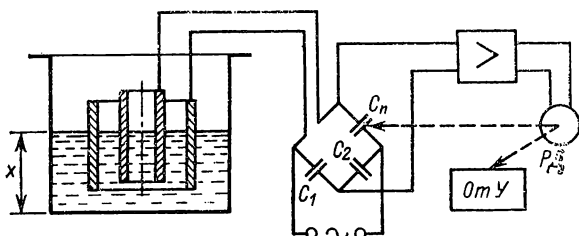


Рис. 9.26. Схема прибора для измерения уровня жидкости

При измерениях уровней как диэлектрических, так и проводящих сред находят применение преобразователи, использующие зависимость резонансной частоты длинной линии от степени заполнения ее контролируемой средой (резонансные электромагнитные системы). Обычно такие датчики представляют собой симметричную двухпроводную или коаксиальную линию, включаемую в контур автогенератора. Погружение датчика в контролируемую жидкость вызывает изменение частоты генераций. Действительно, погружение датчика в диэлектрическую жидкость с относительной диэлектрической проницаемостью  $\epsilon$  приводит к уменьшению его волнового сопротивления, а также к уменьшению фазовой скорости электромагнитных волн в  $\sqrt{\epsilon}$  раз. Погружение датчика в проводящую среду приводит к возрастанию резонансной частоты из-за уменьшения участка датчика, по которому протекают высокочастотные токи (проводящая жидкость играет роль замыкающей перемычки). Принцип действия указанных датчиков уровня иллюстрируется на рис. 9.27. (На рис. 9.27, а — жидкость диэлектрическая; на рис. 9.27, б — жидкость проводящая). К недостаткам резонансных электромагнитных датчиков уровня следует отнести зависимость их выходной величины

от диэлектрической проницаемости жидкости или от удельного сопротивления проводящей жидкости.

**Повышение точности измерений перемещений.** Широкое применение в промышленности датчиков перемещений для измерений разнообразных физических величин делает очень важной задачу повышения точности измерений перемещений. С одной стороны, указанная задача решается путем совершенствования конструкций и технологии изготовления датчиков перемещений, применения лучших схем преобразования сигналов на базе современной микроэлектроники, а также путем создания новых типов датчиков, использующих различные физические явления.

С другой стороны, для достижения высоких точностей измерений все более перспективным становится использование для повышения точности измерений структурной и временной избыточности (см. § 2.9).

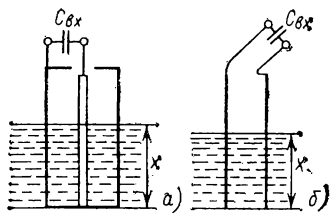


Рис. 9.27. Резонансные электромагнитные преобразователи уровня

В качестве примера рассмотрим применение тестовых методов для повышения точности измерений перемещений. На рис. 9.28 приведена структурная схема одного канала тестовой ИИС с индуктивными датчиками перемещений.

Датчик перемещений представляет собой дифференциальный индуктивный датчик соленоидного типа с поджиженным ферромагнитным сердечником. Выводы катушек 1—3 и 5—7 образуют основной (исходный) дифференциальный датчик. Выводы 2—4 и 6—8 смещены относительно выводов основного датчика на одну и ту же величину  $\theta$ . При однородной по длине датчика намотке выводы 2—4 и 6—8 образуют как бы другой (дополнительный) дифференциальный датчик, смещенный относительно основного на величину  $\theta$ . Обмотки датчика с помощью коммутатора  $K$  подключаются к измерительному преобразователю ИП, выходной сигнал которого передается в линию связи ЛС. В качестве ИП может быть использован, например, преобразователь индуктивности в период, изображенный на рис. 9.23, а. Аналого-цифровой преобразователь АЦП преобразует сигнал в цифровой код  $N$ , который вводится в вычислительное устройство ВУ.

Предположим, что функция преобразования перемещения сердечника в индуктивность любой обмотки датчика описывается алгебраическим полиномом второго порядка. Тогда для индуктивностей обмоток, имеющих выводы 1—3, 5—7, 2—4 и 6—8, можно записать следующие выражения:

$$\begin{aligned} L_{1-3} &= d_0 + d_1(x_0 + x) + d_2(x_0 + x)^2; \\ L_{5-7} &= d_0 + d_1(x_0 - x) + d_2(x_0 - x)^2; \\ L_{2-4} &= d_0 + d_1(x_0 + x + \theta) + d_2(x_0 + x + \theta)^2; \\ L_{6-8} &= d_0 + d_1(x_0 - x - \theta) + d_2(x_0 - x - \theta)^2, \end{aligned} \quad (9.19)$$

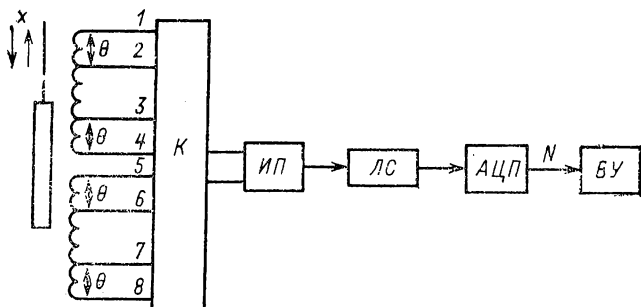


Рис. 9.28. Структурная схема канала тестовой ИИС для измерения перемещений

где  $x_0$  — нейтральное положение сердечника, при котором  $L_{1-3} = L_{5-7}$ ;  $x$  — измеряемое перемещение, отсчитываемое относительно нейтрального положения сердечника;  $d_0$ ,  $d_1$ ,  $d_2$  — параметры функции преобразования датчика.

В этом случае выполняются четыре преобразования путем поочередного подключения к ИП выводов 1—3, 5—7, 2—4 и 6—8.

Предположим, что ИП имеет линейную функцию преобразования. Пренебрегая погрешностями квантования и нелинейности АЦП, будем считать, что его функция преобразования также линейна. Тогда можно записать

$$N_j = c_0 + c_1 L_j, \quad (9.20)$$

где  $N_j$  — код на выходе АЦП;  $L_j$  — индуктивность  $j$ -й обмотки датчика;  $c_0$ ,  $c_1$  — параметры функции преобразования индуктивности в код.

С учетом (9.19) результаты четырех преобразований

при поочередном подключении обмоток датчика запишем в следующем виде:

$$\begin{aligned} N_1 &= c_0 + c_1 d_0 + c_1 d_1 (x_0 + x) + c_1 d_2 (x_0 + x)^2; \\ N_2 &= c_0 + c_1 d_0 + c_1 d_1 (x_0 - x) + c_1 d_2 (x_0 - x)^2; \\ N_3 &= c_0 + c_1 d_0 + c_1 d_1 (x_0 + x + \theta) + c_1 d_2 (x_0 + x + \theta)^2; \\ N_4 &= c_0 + c_1 d_0 + c_1 d_1 (x_0 - x - \theta) + c_1 d_2 (x_0 - x - \theta)^2. \end{aligned} \quad (9.21)$$

Решив систему уравнений (9.21), получим:

$$x = \theta (N_1 - N_2) / (N_3 - N_4) - (N_1 - N_2)!. \quad (9.22)$$

Вычисление значения измеряемого перемещения по (9.22) осуществляется в ВУ. Можно показать, что вычисленное значение перемещения  $x$  не зависит от параметров  $d_0, d_1, d_2, c_0, c_1$  датчика перемещений и всего измерительного канала, а достижимая точность определяется идентичностью двух половин дифференциального датчика и стабильностью значения  $\theta$ .

Другим примером использования структурной избыточности и соответствующих алгоритмов обработки измерительной информации с целью повышения точности измерений является применение двухканальных преобразователей уровня жидкости. Как отмечалось выше, выходная величина резонансных электромагнитных датчиков уровня зависит от диэлектрической проницаемости контролируемой жидкости. В общем случае функция преобразования таких датчиков может быть представлена в виде

$$(\omega/\omega_0)^2 = 1 + (\epsilon - 1) f(x), \quad (9.23)$$

где  $\omega$  — частота генерации (выходной параметр);  $\epsilon$  — диэлектрическая проницаемость жидкости;  $\omega_0$  — постоянная величина;  $f(x)$  — функция измеряемого уровня  $x$ , зависящая от конструкции конкретного датчика.

Для повышения точности измерений используются два аналогичных датчика, имеющих разные функции  $f(x)$ . Отличие функций  $f(x)$  может быть реализовано включением различных нагрузок на концах отрезков линий, образующих датчики; например, один отрезок короткозамкнут, другой разомкнут.

В этом случае выходные параметры обоих датчиков будут определяться уравнениями

$$(\omega_1/\omega_{0_1})^2 = 1 + (\epsilon - 1) f_1(x); \quad (\omega_2/\omega_{0_2})^2 = 1 + (\epsilon - 1) f_2(x). \quad (9.24)$$

Значения выходных параметров датчиков преобразуем в соответствии с формулой

$$y = [(\omega_1/\omega_{0_1})^2 - 1]/[(\omega_2/\omega_{0_2})^2 - 1] = f_1(x)/f_2(x) = F(x). \quad (9.25)$$

Очевидно, что вычисленное по (9.25) значение  $y$  является функцией измеряемого уровня  $x$  и не зависит от значения диэлектрической проницаемости  $\epsilon$ .

Таким образом, рассмотренные выше методы позволяют обеспечить высокую точность измерений различных физических величин в изменяющихся условиях эксплуатации при использовании относительно неточных, но простых и надежных измерительных преобразователей.

## 9.6. ИЗМЕРЕНИЕ ДАВЛЕНИЙ, СИЛ И КРУТЯЩИХ МОМЕНТОВ

Значительную долю измерений, выполняемых в промышленности, составляют измерения давлений, сил и крутящих моментов. В большинстве случаев указанные физические величины предварительно преобразуются в линейное или угловое перемещение или в деформацию, которые в свою очередь преобразуются в электрический сигнал.

**Измерение давлений.** Диапазон измеряемых давлений жидкостей и газов лежит в пределах от 0 до  $10^{10}$  Па, причем различают задачи измерения абсолютного давления, избыточного давления, вакуума (давления ниже атмосферного) и разности двух давлений (перепада давления). Различные датчики давления отличаются в первую очередь типом упругого элемента, преобразующего давление исследуемой среды в перемещение. Широкое распространение получили мембранные датчики, сильфонные и датчики давления с манометрическими трубчатыми пружинами [1].

Мембраны представляют собой эластичные пластины (обычно круглые), крепленные по периметру (рис. 9.29, а). Изменение давления жидкости или газа на мембрану вызывает ее прогиб.

В зависимости от диапазона измеряемых давлений, типа выходного преобразователя и условий работы применяют различные материалы и формы мембран. Перемещение центра мембраны является нелинейной функцией измеряемого давления, что ограничивает диапазон выходных перемещений, а следовательно, чувствительность преобразователя. Один из путей уменьшения погрешности нелинейности состоит в создании противодействующего усилия, т. е. силовой компенсации.



Плоские мембраны используются совместно с емкостными, индуктивными, пьезоэлектрическими и другими типами преобразователей малых перемещений. В случае применения толстой (жесткой) мембраны на нее наклеиваются тензочувствительные преобразователи. Для повышения чувствительности иногда используют в одном датчике несколько мембран с наклеенными тензорезисторами. Преимуществами датчиков давления с плоскими мембранами являются конструктивная простота и малая инерционность. Для повышения чувствительности мембранных датчиков применяют гофрированные мембраны, а также соединение нескольких мембран в мембранные коробки и блоки.

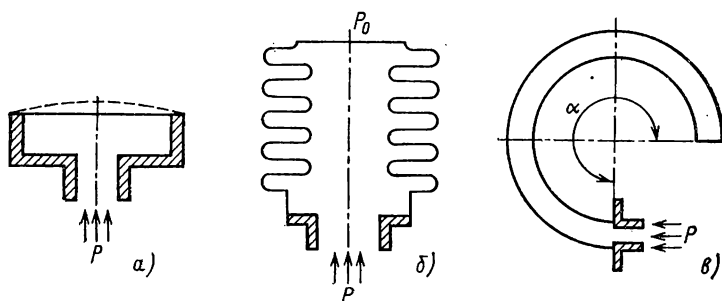


Рис. 9.29. Измерительные преобразователи давления

Сильфоны (рис. 9.29, б) представляют собой гофрированные тонкостенные трубки, выполненные из упругого материала. Разность внутреннего  $P$  и наружного  $P_0$  давлений создает силу, растягивающую сильфон вдоль его оси. Функция преобразования сильфона линейна в относительно узком диапазоне перемещений, однако сильфоны позволяют получить значительно большие перемещения, чем мембраны.

Широкое применение на практике получили преобразователи давления с манометрическими трубчатыми пружинами. На рис. 9.29, в схематически изображена одновитковая трубчатая пружина (трубка Бурдона). Чаще всего трубка имеет эллиптическое или плоскоовальное сечение. Один конец трубки, через который в нее подается давление, закреплен неподвижно, а второй свободен и наглухо запаян. При возрастании давления в трубке происходит деформация ее поперечного сечения, в результате чего уменьша-

ется угол  $\alpha$  закручивания трубки и происходит перемещение свободного конца трубки. Одновитковые трубчатые пружины чаще всего используются в сочетании с индуктивными и реостатными преобразователями перемещений.

Для повышения чувствительности преобразователей давления применяют многовитковые спиральные, винтовые и S-образные трубчатые пружины [1, 26].

Для измерения высоких давлений (больше  $10^7$  Па) находят применение пьезоэлектрические и магнитоупругие преобразователи. Эти преобразователи могут воспринимать давление непосредственно и поэтому не нуждаются в дополнительных преобразующих элементах. Пример конструкции пьезоэлектрического преобразователя давления приведен на рис. 9.11.

Для измерения низких давлений (ниже атмосферного) иногда используются ионизационные преобразователи, в которых интенсивность ионизации газа, а следовательно, и выходной ток зависят от давления этого газа. В качестве ионизирующего фактора обычно выступает  $\alpha$ -,  $\beta$ -излучение или электрическое поле.

Для измерения вакуума находят также применение датчики, основанные на изменении теплопроводности газа. Такой датчик состоит из нагревателя и измерителя температуры, помещенных в контролируемую среду. Установившаяся температура нагревателя зависит от коэффициента теплоотдачи, который при низких давлениях в свою очередь зависит от давления газа. Функции нагревателя и измерительного преобразователя температуры могут быть объединены в одном элементе, например в терморезисторе.

**Измерение сил и крутящих моментов.** При измерениях сил и крутящих моментов чаще всего используются упругие элементы, осуществляющие преобразование этих физических величин в линейное или угловое перемещение или деформацию.

Для восприятия больших усилий (свыше 10 кН) используются, как правило, сплошные стержни; для меньших усилий (1—10 кН) — полые тонкостенные стержни и кольца, а для малых усилий — плоские пружины и мембраны с жестким центром [26].

Для преобразования крутящего момента в угловое перемещение используются сплошные и полые валы круглого и квадратного сечения, подвесы, растяжки и спиральные пружины. Описанные упругие элементы применяются совместно с преобразователями деформаций или преобразо-

вателями угловых или линейных перемещений различных типов.

При измерениях сил и моментов также используются преобразователи в электрический параметр, не требующие применения дополнительных упругих элементов. К таким преобразователям относится, например, магнитоупругий датчик силы (см. рис. 9.4, *ж*), емкостные и пьезоэлектрические преобразователи силы.

Действие емкостных преобразователей силы основано на деформации изоляции между обкладками конденсатора под воздействием силы, что приводит к изменению емкости. Действие пьезоэлектрического преобразователя силы

принципиально не отличается от действия рассмотренного выше пьезоэлектрического преобразователя давления.

При измерениях силы иногда находят применение струнные преобразователи, действие которых основано на зависимости собственной частоты колебаний натянутой струны от силы натяжения. Выходной величиной преобразователя в этом случае является частота выходного сигнала.

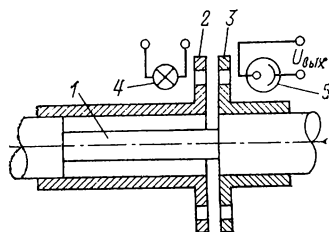


Рис. 9.30. Фотоэлектрический преобразователь момента

При измерениях крутящего момента на вращающемся валу предпочтение отдается преобразователям, которые не требуют проводников для подвода тока к вращающимся частям. К таким преобразователям, в частности, относятся: фотоэлектрический преобразователь момента, индуктивный преобразователь с неподвижными обмотками, фазоимпульсный преобразователь момента [1]. Так, например, фотоэлектрический преобразователь момента (рис. 9.30) содержит два диска 2 и 3, укрепленных на концах базового участка вала 1. В дисках прорезаны радиальные щели, через которые луч света от источника 4 проходит к фотоземленту 5. При отсутствии крутящего момента щели в дисках совпадают. При увеличении крутящего момента возрастает угловой сдвиг между щелями в дисках, в результате чего уменьшается средняя освещенность фотоземлента.

## 9.7. ИЗМЕРЕНИЕ СКОРОСТЕЙ И УСКОРЕНИЙ

Так как скорость и ускорение взаимосвязаны с изменяющимся перемещением, то для их измерения могут быть использованы преобразователи перемещения, выходной сигнал которых подвергается дифференцированию. При выполнении дифференцирования аналогового сигнала в зависимости от вида сигнала и требуемой точности применяют пассивные дифференцирующие цепи, трансформаторы (ЭДС на вторичной обмотке пропорциональна скорости изменения магнитного потока) и активные дифференцирующие цепи (на базе операционных усилителей).

В то же время во многих случаях более целесообразно использование измерительных преобразователей, выходная величина которых определяется непосредственно скоростью или ускорением исследуемого объекта.

**Индукционные преобразователи скорости.** Принцип действия индукционных преобразователей был рассмотрен в § 9.3. На рис. 9.14 изображен индукционный преобразователь, выходной сигнал которого пропорционален скорости линейного перемещения катушки.

Широкое распространение на практике получили индукционные преобразователи угловых скоростей (тахогенераторы). На рис. 9.31 схематически показан тахогенератор с вращающимся постоянным магнитом.

В зазоре магнитопровода расположен постоянный магнит, связанный с контролируемым объектом. При вращении магнита изменяется магнитный поток, пронизывающий обмотку  $w$ . Подбирая определенную форму магнита и полюсов магнитопровода, можно добиться синусоидального изменения магнитного потока в магнитопроводе при вращении магнита. Амплитуда выходного напряжения и его частота пропорциональны частоте вращения  $\omega$  магнита.

Существуют также тахогенераторы переменного тока с вращающимся ферромагнитным якорем, в которых магнитный поток создается дополнительной обмоткой возбуждения, а при вращении якоря изменяется магнитное сопротивление цепи, и тахогенераторы переменного тока с короткозамкнутым ротором [1]. Иногда используются тахогенераторы постоянного тока, представляющие собой

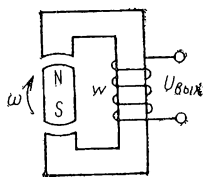


Рис. 9.31. Тахогенератор

генератор с коллектором и щетками и возбуждением от постоянных магнитов или от внешнего источника постоянного тока.

**Электростатические преобразователи скорости.** В простейшем случае электростатический преобразователь скорости выполнен в виде конденсатора, одна из пластин которого перемещается относительно другой со скоростью  $V$ . Принцип действия таких преобразователей основан на следующем явлении: при изменении емкости  $C$  конденсатора,

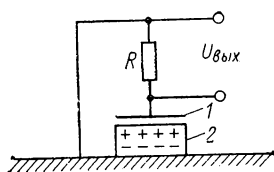


Рис. 9.32. Преобразователь скорости с электретом

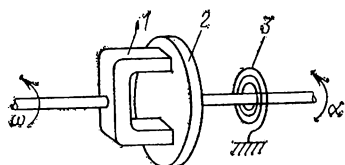


Рис. 9.33. Индукционный преобразователь скорости

к которому приложено постоянное напряжение  $U$ , его зарядный ток  $i$  изменяется пропорционально скорости изменения емкости:

$$i = dq/dt = U (dC/dt), \quad (9.26)$$

где  $q = UC$  — заряд конденсатора.

Если изменение емкости пропорционально перемещению пластины конденсатора, то выходной ток пропорционален скорости этого перемещения.

В последние годы вместо конденсатора с источником питания используют электреты. Электрет представляет собой диэлектрик, имеющий постоянную поляризацию. Плотность остаточных зарядов электретов составляет примерно  $10^{-7}$ — $10^{-8}$  Кл/см<sup>2</sup>. Заряд сохраняется в течение многих лет. Преобразователь скорости с электретом (рис. 9.32) состоит из конденсатора с подвижным электродом 1 и электрета 2. Выходной ток преобразователя имеет значения около  $10^{-7}$  А.

**Преобразователи скорости с вязким трением.** Принцип действия этих преобразователей основан на зависимости усилия от скорости перемещения тела, преодолевающего вязкое трение. В преобразователях скорости гидравлической системы поршень, связанный с контролируемым объ-

ектом, движется в цилиндре с жидкостью. При этом на цилиндр действует сила, пропорциональная скорости.

Широкое распространение получили преобразователи скорости индукционной системы (рис. 9.33).

Преобразователь состоит из постоянного магнита 1 и диска 2 из электропроводного материала, укрепленных на полуосях. Между диском и магнитом имеется воздушный зазор. При перемещении магнита относительно диска в последнем индуцируются вихревые токи, взаимодействие которых с потоком постоянного магнита создает момент, вращающий диск 2. С помощью спиральной пружины 3 этот момент преобразуется в угол поворота  $\alpha$ . В результате угол поворота  $\alpha$  пропорционален угловой скорости  $\omega$  вращения магнита. В дальнейшем этот угол  $\alpha$  преобразуют в электрический сигнал преобразователем угловых перемещений.

**Корреляционный и доплеровский методы измерения скорости.** Сущность корреляционного метода измерения скорости можно проиллюстрировать на примере измерения скорости движения ленты (рис. 9.34).

Лента 1 движется со скоростью  $V$ . На расстоянии  $l$  друг от друга установлены две оптические системы, содержащие осветители 2 и 5 и оптоэлектрические преобразователи 3 и 6. Выходные сигналы преобразователей 3 и 6 усиливаются усилителями 4 и 7 и подаются на входы коррелятора 9, причем сигнал с выхода усилителя 4 проходит через блок регулируемой задержки 8.

Неоднородность поверхности контролируемой ленты приводит к модуляции яркости сигналов, воспринимаемых оптоэлектрическими преобразователями, и соответственно к модуляции электрических сигналов на выходах усилителей 4 и 7. Очевидно, что взаимная корреляционная функция этих сигналов будет иметь максимум при временном сдвиге  $\tau_x = l/V$ , равном времени прохождения лентой расстояния  $l$  между оптическими системами. Задержка сигнала с выхода усилителя 4 на время  $\tau_x$  осуществляется блоком регулируемой задержки 8, который управляется сигналом с выхода экстремального регулятора 10, обеспечивающего максимальное значение сигнала на выходе коррелятора 9. Величина  $y$ , пропорциональная задержке  $\tau_x$  сигнала в блоке 8, выводится на отсчетное устройство 11, шкала которого может быть проградуирована непосредственно в единицах скорости движения.

Корреляционный метод измерения скорости находит

практическое применение в таких задачах, как измерение скорости проката, скорости движения судна (относительно дна водоема) и т. п. При этом обеспечивается весьма высокая точность измерений. Так, погрешность корреляционного измерителя скорости проката составляет 0,1 %.

Для дистанционного измерения скоростей самолетов, автомобилей и других быстро движущихся объектов используют доплеровские измерители скорости. Как известно, эффект Доплера заключается в том, что если передатчик, или приемник, или отражатель радиоволн (акустических волн) сближается (удаляется) со скоростью  $V$ , то частота принятого сигнала отличается от частоты излученного сигнала на величину, пропорциональную этой скорости. По-

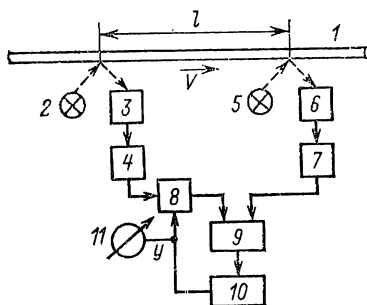


Рис. 9.34. Структурная схема прибора для измерения скорости движения ленты

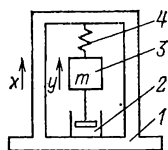


Рис. 9.35. Преобразователь ускорений сейсмического типа

этому выходной величиной доплеровских преобразователей скорости является частота, равная разности частот излученного и принятого сигналов.

**Преобразователи ускорения.** Для измерения ускорений могут быть применены датчики перемещения или скорости, выходной сигнал которых дифференцируется соответствующее число раз. Однако наибольшее распространение на практике получили преобразователи ускорений сейсмического типа. Отличительной особенностью указанных преобразователей является отсутствие механической связи между контролируемым объектом и неподвижным, относительно которого этот объект перемещается. Принцип действия преобразователя сейсмического типа иллюстрируется на рис. 9.35.

Преобразователь состоит из корпуса 1, которому сооб-

щается входное перемещение  $x$  с ускорением  $a = d^2x/dt^2$ , массивного тела (инерционной массы) 3, упруго укрепленного к корпусу через систему упругих элементов (пружин) 4, и демпфера 2.

Сила, действующая на массу  $m$  под воздействием ускорения  $a$ , равна  $F = ma$  и вызывает перемещение  $y$  инерционной массы 3 относительно корпуса 1 до тех пор, пока эта сила не уравновесится противодействующей силой сжатой пружины 4. При этом перемещение  $y$  и ускорение  $a$  связаны соотношением

$$y = mca,$$

где  $c = 1/W$  — эластичность пружины;  $W$  — жесткость пружины.

Полученное перемещение  $y$  преобразуется далее в электрический сигнал преобразователем перемещений того или иного типа.

Для улучшения динамических свойств преобразователя при работе с изменяющимися ускорениями в его конструкцию вводится демпфер 2, использующий вязкое трение для создания силы, пропорциональной скорости движения инерционной массы относительно корпуса и равной

$$F_d = R(dy/dt),$$

где  $R$  — коэффициент вязкого трения.

В этом случае движение инерционной массы относительно корпуса описывается операторным уравнением

$$y(p) = \frac{T_1 T_2 p^2 x(p)}{T_1 T_2 p^2 + T_2 p + 1}, \quad (9.27)$$

где  $T_1 = m/R$ ;  $T_2 = R/W$ .

При измерениях изменяющихся ускорений и, в частности, колебательных процессов представляет интерес амплитудно-частотная характеристика преобразователя

$$y = \frac{a}{\omega_0^2 \sqrt{(1 - \beta^2)^2 + (2\beta\nu)^2}}, \quad (9.28)$$

где  $\omega_0 = 1/\sqrt{T_1 T_2} = \sqrt{W/m}$  — собственная частота колебаний;  $\beta = \omega/\omega_0$  — отношение частоты вынужденных колебаний к частоте собственных колебаний;  $\nu = (1/2) \sqrt{T_2/T} = R/2 \sqrt{mW}$  — коэффициент демпфирования.

Анализ (9.28) показывает, что динамические погрешности преобразователя малы при коэффициентах демпфиро-



вания  $\nu = 0,6 \div 0,7$  и при измерениях ускорений, меняющихся с частотой  $\omega < 0,25\omega_0$ .

Преобразователь сейсмического типа при соответствующем выборе параметров и схемы включения может быть использован для измерения параметров вибраций, в частности вибрационных перемещений и скоростей.

Преобразователь вибрационных перемещений (вибродатчик) отличается от преобразователя ускорений другим соотношением частот  $\omega$  и  $\omega_0$ .

Из (9.27) следует, что при  $\nu = 0,5 \div 0,6$  и  $\omega > 3\omega_0$  отношение  $y/x \approx 1$ , т. е. инерционная масса  $\mathcal{Z}$  остается практически неподвижной, а корпус колеблется относительно нее с перемещением  $x$  [1].

### 9.8. ИЗМЕРЕНИЕ РАСХОДА

Среди измерений, выполняемых в промышленности, большое место занимают измерения расхода, т. е. измерения количества вещества, проходящего в единицу времени через какое-либо сечение трубопровода, канала и т. п. Расход, как и количество вещества, выражают в объемных или массовых единицах измерения, которые связаны между собой через плотность вещества.

Значения измеряемых расходов могут лежать в диапазоне от  $10^{-3}$  до нескольких тысяч кубометров в час. В то же время расходуемые вещества могут сильно отличаться по своим физико-химическим свойствам. Это могут быть газы, нейтральные жидкости, электролиты, жидкие металлы. Все это в сочетании с разнообразными условиями применения и различными требованиями к точности, надежности и стоимости определяет значительное число типов и конструкций средств измерений расхода, а также потребность в разработке новых, более совершенных расходомеров. С учетом изложенного выше рассмотрим некоторые наиболее распространенные типы преобразователей расхода.

**Преобразователи расхода с переменным перепадом давлений.** Принцип действия преобразователей данного типа основан на измерении перепада давления на сужающем устройстве, установленном на пути движущейся среды. В качестве сужающего устройства используют диафрагму, сопло и т. п. На рис. 9.36 схематически изображен преобразователь расхода, в котором для создания перепада давлений используется диафрагма  $I$ , а для преобразования

разности давлений дифференциальный манометрический преобразователь 2. Перепад давлений  $\Delta P$  связан с измеряемым расходом  $Q$  зависимостью вида

$$\Delta P = kQ^2,$$

где  $k$  — коэффициент, зависящий от параметров сужающего устройства, плотности и вязкости вещества. Таким образом, для получения линейной зависимости выходной величины от расхода необходимо осуществить операцию извлечения квадратного корня. В противном случае расходомер может работать лишь в небольшом диапазоне расхо-

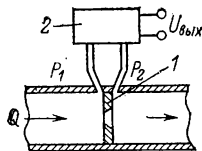


Рис. 9.36. Преобразователь расхода с переменным перепадом давлений

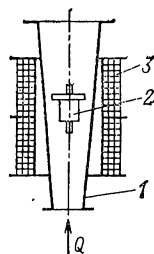


Рис. 9.37. Ротаметр

дов. Для улучшения линейности функции преобразования иногда применяют более сложные дифференциальные конструкции [1].

**Преобразователи расхода с постоянным перепадом давлений.** Действие преобразователей этого типа основано на непрерывном регулировании площади проходного сечения сужающего устройства в зависимости от перепада давлений на нем с тем, чтобы поддерживать перепад постоянным. Выходной величиной преобразователя в этом случае является величина, однозначно связанная с проходным сечением. Выбором соответствующего закона изменения проходного сечения можно обеспечить линейность функции преобразования.

Примером преобразователей расхода указанного типа является ротаметр (рис. 9.37), представляющий собой коническую трубку 1, в которой свободно перемещается цилиндрический поплавок 2. Жидкость проходит в кольцевом зазоре между поплавком и трубкой.

Перепад давлений  $\Delta P$ , действующий на площадь по-

плавка  $S_{\Pi}$ , стремится поднять его вверх до тех пор, пока подъемная сила не уравнивается весом поплавка:

$$S_{\Pi} \Delta P = V_{\Pi} g (\rho_{\Pi} - \rho),$$

где  $V_{\Pi}$  — объем поплавка;  $\rho_{\Pi}$  — плотность поплавка;  $\rho$  — плотность жидкости;  $g$  — ускорение силы тяжести.

Выходной величиной преобразователя является высота подъема поплавка. Перемещение поплавка преобразуется в электрический сигнал чаще всего с помощью индуктивных датчиков. На рис. 9.37 показан дифференциальный индуктивный преобразователь перемещений, ферромагнитный сердечник которого запрессован в поплавок 2. Перемещением катушки 3 вдоль трубки 1 можно изменять диапазон измеряемых расходов.

Ротаметры отличаются простотой конструкции, но имеют невысокую точность (погрешность 2—3 %) и используются для измерения малых расходов жидкостей и газов ( $10^{-7}$ — $10^{-6}$  м<sup>3</sup>/с).

**Преобразователи скоростного напора.** Действие преобразователей данного типа основано на использовании кинетической энергии движущейся струи. При торможении потока среды в каком-либо его сечении кинетическая энергия струи создает избыточное давление

$$P_d = \alpha \rho V^2 / 2,$$

где  $\rho$  — плотность среды;  $V$  — скорость среды;  $\alpha$  — коэффициент, зависящий от формы преграды на пути жидкости.

Измерив значение избыточного давления, можно определить значение скорости среды в данном сечении. Если известно поле скоростей по всему сечению канала, то может быть определен расход.

Различают преобразователи, использующие трубки скоростного напора, и преобразователи гидродинамического сопротивления тела.

На рис. 9.38 изображен преобразователь с трубками скоростного напора (трубкой Пито). В поток вводятся две трубки, подключенные к преобразователю перепада давлений. Плоскости входных отверстий трубок расположены перпендикулярно и параллельно направлению потока. В первой трубке поток тормозится, поэтому полное давление  $P_1$  в ней превышает давление среды  $P$  на величину  $\Delta P$ . Давление во второй трубке равно давлению  $P$  в трубопроводе. Разность давлений равна  $\Delta P$  и преобразуется в на-

пряжение  $U_{\text{вых}}$  дифференциальным манометрическим преобразователем. Недостатками описанного преобразователя являются квадратичный характер функции преобразования и зависимость выходной величины от плотности среды.

В преобразователях гидродинамического сопротивления в поток жидкости вводится тело (заслонка) определенной формы. При этом сила гидродинамического давления, действующая на заслонку, пропорциональна квадрату скорости потока и зависит от эффективной площади заслонки. Выходной величиной таких преобразователей обычно является угол поворота заслонки, преобразуемый затем в электрический сигнал.

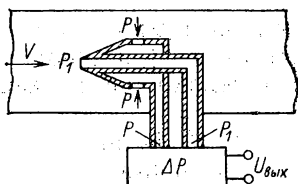


Рис. 9.38. Преобразователь скоростного напора

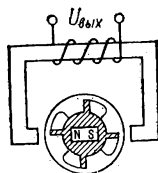


Рис. 9.39. Турбинный преобразователь расхода

**Турбинные преобразователи расхода.** Действие турбинных преобразователей расхода основано на преобразовании частоты вращения крыльчатки, помещенной в поток. При турбулентном движении среды частота вращения связана с объемным расходом линейной зависимостью. Применяют крыльчатки различной формы, но наибольшее распространение получили спиральные крыльчатки, как наиболее простые по конструкции и обеспечивающие высокую точность (0,1—0,5 %). Преобразователи со спиральными крыльчатками изготавливаются на расходы жидкостей от  $10^{-2}$  до  $7 \cdot 10^3$  м<sup>3</sup>/ч, для газов до  $20 \cdot 10^3$  м<sup>3</sup>/ч.

На рис. 9.39 иллюстрируется работа турбинного преобразователя расхода с индукционным преобразователем частоты вращения крыльчатки.

Поток жидкости вращает крыльчатку, в корпусе которой находится постоянный магнит. Если трубопровод выполнен из немагнитного материала, то при вращении крыльчатки происходит модуляция магнитного потока в наружном магнитопроводе. В результате с выходной обмотки снимается

напряжение, частота которого пропорциональна измеряемому объемному расходу.

Инерционность таких преобразователей невелика, постоянная времени зависит от типа и конструкции вращающегося элемента и составляет 1—50 мс.

Турбинные преобразователи применяются для измерений не только объемного, но и массового расхода. В последнем случае преобразователи имеют более сложную конструкцию. При измерении массового расхода обычно осуществляют искусственное закручивание контролируемого потока с помощью принудительно вращаемой крыльчатки. При этом подводимая мощность и вращающий момент пропорциональны массовому расходу.

Другой разновидностью турбинных преобразователей массового расхода являются преобразователи, в которых предварительно закрученный поток воздействует на другую крыльчатку, создавая крутящий момент, пропорциональный массовому расходу.

**Индукционные преобразователи расхода.** Для измерения расхода электропроводящей жидкости широко используются индукционные преобразователи. Их действие основано на том, что если проводящая жидкость движется в постоянном или переменном магнитном поле, направление которого не совпадает с направлением движения жидкости, то в ней индуцируется ЭДС, пропорциональная скорости ее движения. Эта ЭДС является причиной возникновения токов в жидкости и соответствующего реактивного магнитного поля, которые также пропорциональны скорости движения жидкости, а следовательно, расходу.

Для бесконтактного измерения расхода могут применяться индукционные преобразователи, реагирующие на значение реактивного магнитного поля вихревых токов в жидкости, но наибольшее распространение на практике благодаря простоте конструкций и высокой чувствительности получили контактные индукционные расходомеры, в которых измеряется разность потенциалов между помещенными в жидкость электродами. Принцип действия таких расходомеров иллюстрируется на рис. 9.40.

Контролируемая электропроводящая жидкость течет в трубопроводе 2 из изоляционного материала, помещенном между полюсами 1 магнитопровода, создающего постоянное или переменное магнитное поле. В трубопроводе размещены электроды 3, с которых снимается разность потенциалов, пропорциональная расходу. Чаще всего используют

переменное магнитное поле, создаваемое электромагнитом, так как при этом на результат измерения не влияет поляризация электродов. Трубопровод может иметь не только прямоугольное, но и круглое сечение.

Индукционные расходомеры имеют ряд существенных достоинств. Они практически безынерционны и могут применяться для измерения переменного (например, пульсирующего) расхода. Их выходная величина слабо зависит от таких параметров жидкости, как давление, плотность, вязкость, температура. Создаваемое ими дополнительное сопротивление потоку жидкости также незначительно. Погрешность индукционных преобразователей лежит в пределах 0,5—1,5 %; диаметр трубопроводов, в которых может измеряться расход, изменяется от единиц миллиметров до 3 м [1].

Основным недостатком индукционных расходомеров является практическая невозможность их использования для измерения расхода диэлектрических жидкостей. Удельное сопротивление контролируемой жидкости не должно превышать  $10^5 \text{ Ом} \cdot \text{м}$ .

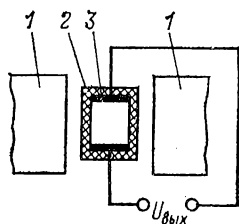


Рис. 9.40. Индукционный преобразователь расхода

**Ультразвуковые преобразователи расхода.** Действие ультразвуковых преобразователей расхода основано на том, что скорость распространения звуковой волны в движущейся среде равна геометрической сумме скорости звука  $C$  в неподвижной среде и скорости среды  $V$ . Если измерить суммарную скорость, то при известном значении  $C$  и известном угле между векторами можно определить скорость потока  $V$ , а следовательно, и расход жидкости.

Измерение скорости звука в движущейся среде обычно осуществляется путем определения интервала времени  $t$ , в течение которого звуковая волна проходит известное расстояние  $L$ . Наибольшее распространение на практике получили время-импульсный и фазовый методы измерений.

При время-импульсном методе измерения сигнал в виде ультразвукового импульса излучается излучателем *Изл* и принимается приемником *Прм* (рис. 9.41, а). Интервал времени между моментами приема и излучения сигнала

$$t = L / (C + V \cos \theta) \approx L (1 - V \cos \theta / C) / C,$$

где  $\theta$  — угол между векторами  $C$  и  $V$ . Отсюда при известных значениях  $L$ ,  $\theta$  и  $C$  находят скорость  $V$ .

Применяют дифференциальные схемы с двумя каналами прохождения ультразвука (рис. 9.41, б). Движение потока жидкости увеличивает скорость ультразвука в одном канале и соответственно уменьшает в другом. Разность времен прохождения в двух каналах

$$\Delta t = 2LV \cos \theta / C^2.$$

При фазовом методе измерения излучаются непрерывные гармонические колебания и измеряется разность фаз сигналов. В одноканальной структуре (рис. 9.41, а) выходной величиной является разность фаз принятого и излученного сигналов

$$\varphi = \omega \Delta t = \omega L / (C + V \cos \theta) \approx \omega L (1 - V \cos \theta / C) / C.$$

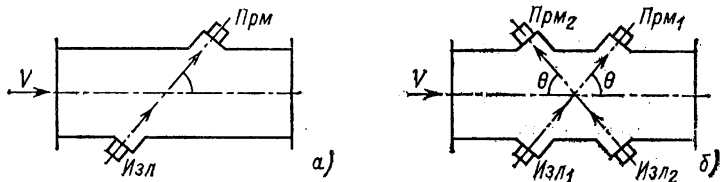


Рис. 9.41. Ультразвуковые преобразователи расхода

В двухканальной структуре (рис. 9.41, б) оба излучателя питаются от одного генератора, а выходной величиной является разность фаз сигналов на выходах приемников

$$\Delta \varphi = \omega \Delta t = 2\omega LV \cos \theta / C^2.$$

Трудность практической реализации описанных методов заключается в том, что скорость реальных потоков гораздо меньше скорости звука ( $C \approx 1500$  м/с). В связи с этим измеряемые интервалы времени или фазовые сдвиги оказываются весьма малыми. Для повышения точности ультразвуковых преобразователей расхода в них используют весьма высокие частоты сигналов (единицы мегагерц), а также более сложные структуры преобразователей, позволяющие, в частности, исключить влияние нестабильности скорости  $C$  на результат измерения расхода.

**Преобразователи расхода других типов.** Кроме рассмотренных выше, находят применение и другие типы преобразователей расхода. Так, объемный расход среды мо-

жет быть определен путем измерения скорости движения какой-либо метки, переносимой средой. В качестве метки используют, например, порцию нагретой жидкости или ионизированного газа. С помощью соответствующих чувствительных элементов определяют время прохождения меткой известного расстояния. Иногда осуществляют непрерывную модуляцию какого-либо параметра среды (например, степени ионизации), тогда выходной величиной является сдвиг фаз между принятым и возбуждающим сигналами.

Для измерения скоростей газовых потоков используют преобразователи на основе терморезисторов — термоанемометры. Их работа основана на том, что установившаяся температура нагреваемого током терморезистора, помещенного в газовый поток, зависит от скорости этого потока (см. § 9.2). Выходной величиной преобразователя является сопротивление терморезистора. Для уменьшения температурной погрешности в мостовую измерительную цепь, кроме основного, включают дополнительный терморезистор, аналогичный основному, но защищенный от действия потока газа.

Для измерения расхода веществ с большим ядерным моментом (например, жидкостей, содержащих водород и фтор) применяют преобразователи расхода с использованием явления ядерного магнитного резонанса [1].

Для измерения расхода газов находят применение ионизационные преобразователи, в которых движущийся газ ионизируется с помощью тлеющего разряда или радиоактивных изотопов. При этом ионный ток между введенными в поток электродами зависит от скорости движения газа.

## **Глава десятая**

### **ПЛАНИРОВАНИЕ ЭКСПЕРИМЕНТА**

#### **10.1. ПОСТАНОВКА ЗАДАЧИ ПЛАНИРОВАНИЯ ЭКСПЕРИМЕНТА И ОСНОВНЫЕ ОПРЕДЕЛЕНИЯ**

Планирование эксперимента включает в себя комплекс вопросов, направленных на повышение эффективности экспериментальных исследований. Планирование эксперимента позволяет значительно интенсифицировать труд исследователя, сократить сроки и затраты на эксперимент, по-



Таблица 10.1

Номер опыта	$a$	$b$	$c$	Результат взвешивания
1	—1	—1	—1	$y_0$
2	+1	—1	—1	$y_1$
3	—1	+1	—1	$y_2$
4	—1	—1	+1	$y_3$

высить достоверность выводов по результатам исследований. Целью планирования эксперимента является выбор из множества возможных планов проведения эксперимента одного, в некотором смысле наилучшего. Необходимость сравнения различных планов требует использования критерия сравнения или целевой функции, которые дали бы основание утверждать, что один эксперимент или план эксперимента лучше или хуже другого. Таким образом, можно говорить о существовании экспериментов, в каком-то смысле хороших и плохих.

Рассмотрим пример, иллюстрирующий проведение хорошего и плохого экспериментов при решении одной и той же задачи. Пусть необходимо определить массы трех объектов ( $a$ ,  $b$  и  $c$ ) с помощью некоторого массоизмерительного устройства. Традиционно экспериментатор стал бы взвешивать эти объекты по схеме, приведенной в табл. 10.1, где +1 означает наличие соответствующего объекта на весах, а —1 его отсутствие.

Сначала выполняется холостое взвешивание для определения смещения нуля измерительного устройства, а затем по очереди взвешивается каждый из объектов. Масса каждого объекта оценивается по результатам двух опытов: того, в котором на весы был положен изучаемый объект, и холостого, т. е.

$$A = y_1 - y_0; \quad B = y_2 - y_0; \quad c = y_3 - y_0.$$

Если положить, что случайные погрешности отдельных измерений независимы, дисперсию результатов взвешивания можно записать в следующем виде:

$$\sigma^2 [A] = \sigma^2 [B] = \sigma^2 [C] = 2\sigma^2 [y],$$

где  $\sigma^2 [y]$  — дисперсия каждого единичного измерения.

Проведем тот же эксперимент по схеме, приведенной в

Т а б л и ц а 10.2

Номер опыта	<i>a</i>	<i>b</i>	<i>c</i>	Результат взвешивания
1	+1	—1	—1	$y_1$
2	—1	+1	—1	$y_2$
3	—1	—1	+1	$y_3$
4	+1	+1	+1	$y_4$

табл. 10.2. Как и в предыдущем случае, в каждой строке таблицы заданы условия проведения одного опыта.

В первых трех опытах последовательно взвешиваются объекты *a*, *b*, *c*, а в последнем все три объекта вместе. Легко установить, что масса каждого объекта должна вычисляться по формулам

$$A = (y_1 - y_2 - y_3 + y_4)/2; \quad B = (-y_1 + y_2 - y_3 + y_4)/2;$$

$$C = (-y_1 - y_2 + y_3 + y_4)/2.$$

Числители в этих формулах получены путем умножения элементов последнего столбца на соответствующие элементы столбцов *a*, *b*, *c*. Найдем дисперсию погрешности взвешивания по новой схеме проведения эксперимента:

$$\sigma^2[A] = \sigma^2[(y_1 - y_2 - y_3 + y_4)/2] = 4\sigma^2[y]/4 = \sigma^2[y].$$

Аналогично находим

$$\sigma^2[B] = \sigma^2[C] = \sigma^2[y].$$

Очевидно, что при новой схеме взвешивания дисперсия результатов получается вдвое меньше, чем при традиционном методе, хотя в обоих случаях на взвешивание трех объектов затрачивалось по четыре опыта. Необходимо отметить, что второй план проведения эксперимента также исключает влияние смещения нуля массоизмерительной системы. Таким образом, используя в качестве критерия сравнения дисперсию случайной погрешности, можно утверждать, что второй план эксперимента лучше первого.

При традиционном взвешивании для того, чтобы получить результаты с той же точностью, что и по новой схеме, необходимо либо повторить дважды все опыты, вдвое увеличив продолжительность эксперимента, либо применить другую измерительную аппаратуру, создающую вдвое меньшую дисперсию, т. е. увеличить стоимость эксперимента.

Таким образом, при планировании эксперимента в качестве критерия оптимальности обычно используется либо погрешность, либо продолжительность, либо стоимость эксперимента.

Следует отметить, что в задачах, связанных с определением значений нескольких физических величин или параметров, критерий минимума погрешности становится в общем случае весьма неопределенным, в связи с чем разработан целый ряд критериев оптимальности, минимизирующих различного рода функционалы от всех составляющих погрешностей [22].

Рассмотренный выше простой пример взвешивания наглядно демонстрирует необходимость планирования эксперимента, причем эффективность такого планирования обычно возрастает при увеличении числа измеряемых и варьируемых величин.

Теория планирования эксперимента раскрывает следующие вопросы:

1) как следует организовать эксперимент, чтобы наилучшим образом решить поставленную задачу (в смысле затрат времени и средств или точности результатов)?

2) как следует обрабатывать результаты эксперимента, чтобы получить максимальное количество информации об исследуемом объекте?

3) какие обоснованные выводы можно сделать об исследуемом объекте по результатам эксперимента?

Основой теории планирования эксперимента является математическая статистика, которая применима для анализа эксперимента в тех случаях, когда его результаты могут рассматриваться как случайные величины или случайные процессы, что практически всегда имеет место.

Целью любого эксперимента является получение информации об исследуемом объекте, причем экспериментальные данные могут накапливаться либо путем пассивного наблюдения, либо с помощью активного эксперимента. При пассивном наблюдении экспериментатор получает информацию в условиях нормального функционирования объекта исследования. В активном эксперименте осуществляется искусственное воздействие на объект по заранее спланированной программе.

Активный эксперимент позволяет быстро вскрывать закономерности, находить оптимальные режимы функционирования объекта, но его обычно труднее осуществить. Вмешательство в технологический процесс может привести к

снижению производительности и выпуску бракованной продукции. Иногда, например, при астрономических наблюдениях активный эксперимент вообще невозможен. Преимущества активного эксперимента, позволяющего применять наиболее целесообразно составленные планы, достаточно очевидны.

В общем виде объект исследования можно представить структурной схемой, приведенной на рис. 10.1, на которой показаны следующие группы параметров:

- 1) управляющие (входные)  $x_j$  ( $j=1, 2, \dots, k$ );
- 2) параметры состояния (выходные)  $y_r$  ( $r=1, 2, \dots, v$ );
- 3) возмущающие воздействия  $w_l$  ( $l=1, 2, \dots, p$ ).

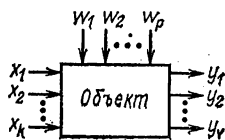


Рис. 10.1. Структурная схема объекта

Управляющие параметры  $x_j$  представляют собой независимые переменные, которые можно изменять с целью управления выходными параметрами объекта. К параметрам состояния  $y_r$  относится совокупность контролируемых или вычисляемых параметров, характеризующих состояние объекта. В дальнейшем ограничимся рассмотрением распространенной на практике ситуации, когда экспериментатора интересует поведение одного выходного параметра, характеризующего объект. Возмущающие воздействия  $w_l$  в общем случае не поддаются контролю и проявляют себя как случайные величины или функции времени. Наличие возмущающих воздействий приводит к тому, что зависимость выходных параметров объекта от входных становится неоднозначной.

Представление объекта в виде структуры (рис. 10.1) основано на широко используемом в технике принципе «черного ящика», т. е. системы, структура которой скрыта от наблюдателя, а суждение о ее функционировании создается только на основании анализа внешних воздействий и соответствующих им реакций системы.

Следовательно, одной из основных задач эксперимента является выявление взаимосвязей между входными и выходными параметрами объекта и представление их в количественной форме в виде математической модели. Такая модель является математическим отображением наиболее существенных взаимосвязей между параметрами объекта. Она представляет собой совокупность уравнений, условий и алгоритмических правил и позволяет получить информа-

цию о процессах, протекающих в объекте, рассчитывать системы, т. е. анализировать и проектировать их, а также получить информацию, которая может быть использована для управления моделируемым объектом с целью поиска оптимальных условий.

Входные параметры, которые оказывают влияние на объект и могут быть измерены, называют факторами. Так, например, при исследовании измерительного преобразователя с целью получения его математической модели в качестве факторов могут выступать измеряемая величина, температура окружающей среды, напряжение питания и т. п.

Каждый фактор имеет область определения, которая должна быть установлена до проведения эксперимента. Она может быть непрерывной или дискретной, причем при непрерывной области обычно производят ее искусственную дискретизацию. Очевидно, что при планировании активного эксперимента факторы должны быть управляемыми и независимыми.

Каждую конкретную комбинацию факторов можно рассматривать как точку в многомерном факторном пространстве. В многомерном факторном пространстве можно построить область возможных комбинаций факторов, которую называют областью возможных (допустимых) планов эксперимента.

При планировании эксперимента с целью нахождения оптимальных условий в качестве единственной выходной величины рассматривается критерий оптимальности (целевая функция), зависящий от входных параметров объекта. Эту функцию рассматривают как отклик объекта на указанную комбинацию факторов и называют также функцией отклика. Геометрический образ в факторном пространстве, соответствующий функции отклика, называется поверхностью отклика.

В общем случае планирование и организация эксперимента включают в себя следующие последовательно выполняемые этапы [22]:

- 1) постановка задачи (определение цели эксперимента, выяснение исходной ситуации, оценка допустимых затрат времени и средств, установление типа задачи);

- 2) сбор априорной информации (изучение литературы, опрос специалистов и т. п.);

- 3) выбор способа решения и стратегии его реализации (установление типа модели, выявление возможных влияю-

щих факторов, выявление выходных параметров, выбор целевых функций, создание необходимых нестандартных технических средств, формулировка статистических задач, выбор или разработка алгоритмов и программ обработки экспериментальных данных).

## 10.2. ПАССИВНЫЕ ЭКСПЕРИМЕНТЫ

При пассивном эксперименте исследователь не имеет возможности воздействовать на изучаемый объект, поэтому задача планирования эксперимента сводится к оптимальной организации пассивного сбора информации и включает в себя такие вопросы, как выбор интервалов времени между моментами измерения, задание числа выполняемых измерений, выбор метода обработки экспериментальных данных и т. п. Для решения указанных вопросов используются методы, кратко рассмотренные в предыдущих главах.

Целью пассивного эксперимента часто является построение математической модели объекта. В зависимости от того, какая математическая модель является подходящей для описания того или иного объекта, последние разделяются на хорошо (детерминированные) и плохо (диффузные) организованные объекты. В хорошо организованных объектах можно выделить определенные процессы, зависящие от небольшого числа переменных, поддающихся изучению. Взаимосвязи входных и выходных параметров объекта в этом случае устанавливаются в виде детерминированных функций.

В большинстве случаев экспериментатору приходится иметь дело с плохо организованными объектами, когда детерминированные модели и методы становятся непригодными. В таких случаях необходимо использовать статистические модели и методы, представляющие собой логически обоснованные формализованные методы экспериментального исследования, когда экспериментатор сознательно отказывается от детального изучения механизма всех процессов и явлений, протекающих в объекте.

При пассивном эксперименте исследователь имеет возможность получить путем измерений в различные дискрет-

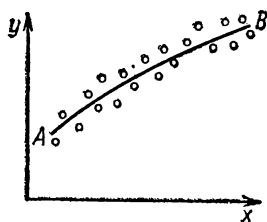


Рис. 10.2. График зависимости  $y$  от  $x$

ные моменты времени значения входных параметров  $x$ , объекта и соответствующие им значения выходного параметра  $y$ . Как отмечалось выше, наличие случайных возмущающих воздействий делает зависимость выходного параметра от входных неоднозначной.

Рассмотрим однофакторный эксперимент, при котором выполнено  $n$  пар измерений единственного входного параметра  $x$  и соответствующих значений выходного параметра  $y$ . Результаты измерений изображены графически в виде точек на рис. 10.2. Учитывая случайный характер полученных экспериментальных данных, искомую аналитическую зависимость  $y$  от  $x$  можно рассматривать только как зависимость математического ожидания  $y$  от значения  $x$ . Такая зависимость называется регрессионной, а соответствующая линия на графике (линия  $AB$  на рис. 10.2) называется линией регрессии.

Целью эксперимента в данном случае является построение регрессионной модели, представляющей собой приближенную оценку истинной регрессионной зависимости. Важным вопросом является выбор вида регрессионной модели, т. е. выбор вида функции, аппроксимирующей экспериментальные данные.

В качестве модели линии регрессии используются прямая линия или различные математические кривые: участки параболы, гиперболы, экспоненты и т. п. Экспериментальные данные могут быть аппроксимированы с требуемой точностью функциями различного вида, поэтому выбор вида функции не может быть формализован. Его осуществляет экспериментатор, руководствуясь следующими соображениями: регрессионная модель должна быть простой, удобной для дальнейшего использования и адекватной. Под адекватностью модели понимают ее способность предсказывать с требуемой точностью значения  $y$  в некоторой области значений  $x$ . Вид модели выбирают таким образом, чтобы при обязательном соблюдении адекватности она была наиболее простой и удобной.

На практике во многих случаях приближенно («на глаз») графически проводят линию, описывающую зависимость среднего значения  $y$  от  $x$ , и, исходя из ее вида, выбирают регрессионную модель.

Наиболее часто в качестве модели используют степенной полином вида

$$y = a_1 + a_2 x + \dots + a_m x^{m-1}, \quad (10.1)$$

где  $a_1, a_2, \dots, a_m$  — параметры модели.

Такая модель при правильном выборе порядка полинома позволяет с любой необходимой точностью аппроксимировать истинную регрессионную зависимость. Достоинством модели является также то, что функция линейна относительно неизвестных параметров  $a_1, a_2, \dots, a_m$ , что упрощает обработку наблюдений. В данном случае вопрос выбора вида модели сводится к выбору порядка  $m-1$  полинома.

Предположим, что  $y_i$  ( $i=1, 2, \dots, n$ ) — это значения выходного параметра объекта, определяемые регрессионной зависимостью от  $x_i$ , а  $l_i$  — соответствующие результаты измерений выходного параметра. Разность  $\Delta_i = l_i - y_i$  в общем случае отлична от нуля из-за наличия погрешностей измерения и возмущающих воздействий на объект исследования.

Для регрессионной модели (10.1), используя формулу (2.89), запишем систему нормальных уравнений:

Преобразовав (10.2) к стандартному виду, получим:





$$D_m = \begin{vmatrix} n \sum_{i=1}^n x_i & \dots & \sum_{i=1}^n l_i \\ \sum_{i=1}^n x_i & \sum_{i=1}^n x_i^2 & \dots & \sum_{i=1}^n l_i x_i \\ \dots & \dots & \dots & \dots \\ \sum_{i=1}^n x_i^{m-1} & \sum_{i=1}^n x_i^m & \dots & \sum_{i=1}^n l_i x_i^{m-1} \end{vmatrix}. \quad (10.4)$$

Иногда модель нелинейной регрессионной зависимости целесообразно искать в виде функции, отличной от степенного полинома (10.1). Так, например, эта зависимость может хорошо описываться функцией

$$y = ae^{bx}, \quad (10.5)$$

содержащей только два неизвестных параметра  $a$  и  $b$ . Применение полинома (10.1) при той же точности модели может потребовать высокого порядка полинома.

Однако использование таких (нелинейных относительно параметров) нелинейных функций существенно осложняет вычисление их параметров. В общем случае здесь можно применить метод обработки, описанный в § 2.6 для случая нелинейных условных уравнений при совместных измерениях. В некоторых частных случаях решение задачи упрощается, если искусственно преобразовать нелинейную модель в линейную. Например, для функции (10.5) необходимо сделать замену переменной вида  $z = \ln y$ . Тогда получим линейную модель

$$z = c + bx, \quad (10.6)$$

где  $c = \ln a$ .

При этом необходимо соответственно преобразовать исходные экспериментальные данные — вычислить совокупность значений  $z$ . Затем методом наименьших квадратов находят оценки  $\hat{b}$  и  $\hat{c}$  параметров линейной модели (10.6) и осуществляют обратный переход к нелинейной модели (10.5).

При многофакторном пассивном эксперименте исследователь имеет  $n$  результатов измерений выходного параметра  $y$  объекта и  $n$  соответствующих им совокупностей значений входных параметров:

$$\begin{aligned} & x_{11}, x_{12}, \dots, x_{1k}; \\ & x_{21}, x_{22}, \dots, x_{2k}; \\ & \dots \dots \dots \dots \dots \dots \\ & x_{n1}, x_{n2}, \dots, x_{nk}, \end{aligned}$$

где  $x_{ij}$  — значение  $j$ -го входного параметра в  $i$ -м измерении ( $j=1, 2, \dots, k; i=1, 2, \dots, n$ ).

Предположим, что используется линейная регрессионная модель

$$y = a_0 + a_1 x_1 + a_2 x_2 + \dots + a_k x_k. \quad (10.7)$$

Преобразуем модель (10.7) путем перехода к центрированным переменным:

$$y^0 = a_1 x_1^0 + a_2 x_2^0 + \dots + a_k x_k^0, \quad (10.8)$$

где

$$\begin{aligned} x_j^0 &= x_j - \bar{x}_j; \quad y^0 = y_i - \bar{y} = y_i - (a_0 + a_1 \bar{x}_1 + \\ &+ a_2 \bar{x}_2 + \dots + a_k \bar{x}_k); \quad \bar{x}_j = \frac{1}{n} \sum_{i=1}^n x_{ij}; \quad \bar{y} = \frac{1}{n} \sum_{i=1}^n y_i = \\ &= a_0 + a_1 \bar{x}_1 + a_2 \bar{x}_2 + \dots + a_k \bar{x}_k. \end{aligned}$$

Оценки  $\hat{a}_1, \hat{a}_2, \dots, \hat{a}_k$  модели (10.8) вычисляются путем решения системы нормальных уравнений (2.75), если положить в ней  $m=k$ . Затем вычисляется оценка

$$\hat{a}_0 = \bar{y} - (\hat{a}_1 \bar{x}_1 + \hat{a}_2 \bar{x}_2 + \hat{a}_k \bar{x}_k)$$

и осуществляется переход к исходной модели (10.7).

### 10.3. АКТИВНЫЙ ЭКСПЕРИМЕНТ

В отличие от пассивного эксперимента планирование активного эксперимента предполагает воздействие на ход процесса и возможность выбора в каждом опыте тех уровней факторов, которые представляют интерес.

Установление каждого фактора на некоторый уровень определяет одно из вероятных состояний объекта. Если перебрать все допустимые наборы уровней факторов, то получим полное множество различных состояний данного объ-

екта, что и определит число возможных различных опытов.

Число различных состояний объекта определяется соотношением  $b^h$ , где  $b$  — число уровней факторов;  $h$  — число факторов. Реальные объекты обладают большой сложностью. Так, система с пятью факторами на пяти уровнях имеет 3125 состояний.

В этих условиях приходится отказываться от таких экспериментов, которые включают в себя все возможные опыты. Тогда возникает вопрос: какие опыты и сколько надо включать в эксперимент? Для решения этой задачи используется планирование активного эксперимента. При планировании активного эксперимента в рассмотрение необходимо включать все существенные факторы, которые могут влиять на объект исследования. Если какой-либо существенный фактор окажется неучтенным, то это может привести к нежелательным последствиям. Так, если неучтенный фактор произвольно изменялся, принимая случайные значения, которые не контролировались в процессе эксперимента, то это приведет к существенному увеличению погрешности опыта.

Вместе с тем увеличение числа включенных в рассмотрение факторов приводит к значительному возрастанию числа опытов по показательной функции. При большом числе факторов следует обратиться к методам отсеивания несущественных факторов [2, 22].

Каждый фактор имеет область определения. Будем считать фактор заданным, если вместе с его названием указана и область определения. Под областью определения понимается совокупность всех значений, которые в принципе может принимать данный фактор. Ясно, что совокупность значений фактора, которая используется в эксперименте, является подмножеством из множеств значений, образующих область определения. Область определения может быть непрерывной или дискретной. В реальных задачах планирования эксперимента используются дискретные области определения. Так, для факторов с непрерывной областью определения, таких как температура, напряжение питания и т. п., всегда выбираются дискретные множества уровней. В практических задачах области определения факторов, как правило, ограничены. Ограничения могут носить принципиальный либо технический характер.

Факторы делятся на количественные и качественные. К качественным факторам относятся, например, различные вещества, технологические способы, аппараты, исполните-

ли и т. п. Хотя качественным факторам не соответствует числовая шкала в том смысле, как это понимается для количественных факторов, однако можно построить условную порядковую шкалу, которая ставит в соответствие уровням качественного фактора числа натурального ряда, т. е. производит кодирование. В ряде случаев граница между понятиями качественного и количественного факторов весьма условна. Пусть, например, при изучении производства резисторов надо установить влияние положения тигеля в муфельной печи. Можно разделить под печи на квадраты и считать номера квадратов уровнями качественного фактора, определяющего положение тигля. Вместо этого можно ввести два количественных фактора: координаты тигля по длине и ширине пода печи.

Сформулируем требования, предъявляемые к факторам. При планировании эксперимента факторы должны быть *управляемыми*. Это значит, что экспериментатор, выбрав нужное значение фактора, может его поддерживать постоянным в течение всего опыта, т. е. может управлять фактором. В этом состоит особенность активного эксперимента.

Чтобы точно определить фактор, нужно указать последовательность действий, с помощью которых устанавливаются его конкретные значения. Такое определение фактора называется *операциональным*. Так, если фактором является давление в некотором аппарате, то необходимо указать, в какой точке и с помощью какого прибора оно определяется и как устанавливается. Введение операционального определения обеспечивает однозначное понимание фактора.

С операциональным определением связаны выбор размерности фактора и точность его фиксирования.

Точность измерения фактора должна быть возможно более высокой. Степень точности определяется диапазоном изменения факторов. Если факторы измеряются с большей погрешностью и особенность объекта исследования такова, что значения факторов трудно поддерживать на выбранном уровне, то задача планирования эксперимента существенно усложняется, и необходимо использовать специальные методы, не рассматриваемые в данной книге. И, наконец, факторы должны быть *однозначными*. Трудно управлять фактором, который в свою очередь является функцией других факторов.

При планировании эксперимента обычно одновременно изменяют несколько факторов. Поэтому очень важно сформулировать требования, которые предъявляются к совокуп-

ности факторов. Прежде всего выдвигается требование *совместимости*. Совместимость факторов означает, что все их комбинации осуществимы и безопасны. Несовместимость факторов может наблюдаться на границах областей их определения. Исключить ее можно сокращением областей. Положение усложняется, если несовместимость проявляется внутри области определения. Одно из возможных решений в этом случае — разбиение на подобласти и планирование эксперимента для каждой из них.

При планировании эксперимента важна *независимость* факторов, т. е. возможность установления фактора на любом уровне вне зависимости от уровней других факторов.

В заключение приведем в качестве примера факторы, которые учитывались при оптимизации производства резисторов: давление при прессовке; температура при прессовке; время выдержки под давлением; температура в муфеле при прессовке; время температурной выдержки; дисперсность наполнителя; соотношение флюса и наполнителя; дисперсность сажи; качество керамики оснований; дисперсность флюса.

Несобходимо отметить, что выбор факторов является очень ответственным этапом при подготовке и планировании эксперимента. От удачного выбора факторов во многом зависит успешное решение поставленной задачи. Планирование эксперимента предполагает одновременное изменение возможно большего числа факторов, т. е. проведение так называемого многофакторного эксперимента, при планировании которого возникают типичные задачи математической статистики: выбор оптимальной стратегии эксперимента в условиях неопределенности, обработка результатов измерений, проверка гипотез и принятие решений.

Так же, как и при пассивном эксперименте, важным этапом планирования активного эксперимента является выбор математической модели объекта. Чаще всего используют полиномиальные модели, достоинством которых является, как отмечалось выше, универсальность и линейность относительно искомых параметров.

Запишем в качестве примера полиномы для двух факторов.

Полином первого порядка

$$y = a_0 + a_1 x_1 + a_2 x_2,$$

полином второго порядка

$$y = a_0 + a_1 x_1 + a_2 x_2 + a_{11} x_1^2 + a_{22} x_2^2 + a_{12} x_1 x_2.$$

Полином второго порядка содержит свободный член  $a_0$ , линейные члены  $a_1x_1$  и  $a_2x_2$ , квадратичные члены  $a_{11}x_1^2$ ,  $a_{22}x_2^2$  и член  $a_{12}x_1x_2$ , определяющий эффект взаимодействия, который происходит в том случае, когда влияние на выходной параметр  $y$  одного фактора зависит от уровня другого фактора.

Прежде, чем приступить к планированию, необходимо выбрать локальную область факторного пространства. Это важный этап принятия неформализованных решений, предшествующих построению плана первой серии эксперимента.

При выборе области эксперимента прежде всего надо оценить границы областей определения факторов. При этом должны учитываться ограничения нескольких типов.

Первый тип — принципиальные ограничения для значений факторов, которые не могут быть нарушены ни при каких обстоятельствах. Например, если фактор — температура, то нижним пределом будет абсолютный нуль. Второй тип — ограничения, связанные с технико-экономическими соображениями, например со стоимостью сырья, дефицитностью отдельных компонентов, временем ведения процесса. Третий тип ограничений, с которыми чаще всего приходится иметь дело, определяется конкретными условиями проведения процесса, например существующей аппаратурой, технологией, организацией.

Выбор экспериментальной области факторного пространства связан с тщательным анализом априорной информации. Априорную информацию можно использовать для получения представления о выходной величине, факторах, о наилучших условиях ведения процесса и характера поверхности отклика. Для этого используются графики однофакторных экспериментов, осуществлявшихся в предыдущих исследованиях или описанных в литературе.

Таким образом, на основании априорной информации в области определения надо найти локальную подобласть для планирования эксперимента. Процедура выбора этой подобласти включает в себя два этапа: выбор основного уровня и выбор интервалов варьирования.

Наилучшим условиям, определенным из анализа априорной информации, соответствует комбинация или несколько комбинаций уровней факторов. Каждая из них является точкой в многомерном факторном пространстве. Ее можно рассматривать как исходную точку для построения плана эксперимента. Назовем ее основным (нулевым) уровнем.

Построение плана эксперимента сводится к выбору

экспериментальных точек, симметричных относительно нулевого уровня.

После того, как нулевой уровень выбран, переходим к следующему шагу — выбору интервалов варьирования.

Затем для каждого фактора необходимо выбрать два крайних уровня, на которых он будет варьироваться в эксперименте.

Представим себе координатную ось, на которой откладывается значение данного фактора, например температуры. Пусть основной уровень уже выбран и равен  $100^{\circ}\text{C}$ . Это значение изображается точкой. Тогда два интересующих нас уровня можно изобразить двумя точками, симметричными относительно первой. Будем называть один из этих уровней верхним, а второй — нижним. Обычно за верхний уровень принимается тот, который соответствует большему значению фактора, хотя это не обязательно, а для качественных факторов вообще безразлично.

Интервалом варьирования факторов называется некоторое число (свое для каждого фактора), прибавление которого к основному уровню дает верхний уровень фактора, а вычитание — нижний. Другими словами, интервал варьирования — это расстояние на координатной оси между основным и верхним (или нижним) уровнями. Таким образом, задача выбора уровней сводится к задаче выбора интервала варьирования.

Для упрощения записи условий эксперимента и обработки экспериментальных данных масштабы по осям выбираются так, чтобы верхний уровень соответствовал  $+1$ , нижний  $-1$ , а основной  $0$ . Для факторов с непрерывной областью определения это всегда можно сделать с помощью преобразования

$$x_j = (\tilde{x}_j - \tilde{x}_{j0})/I_j, \quad (10.9)$$

где  $x_j$  — кодированное значение фактора;  $\tilde{x}_j$  — натуральное значение фактора;  $\tilde{x}_{j0}$  — натурное значение основного уровня;  $I_j$  — интервал варьирования;  $j$  — номер фактора.

Для качественных факторов, имеющих два уровня, один обозначается  $+1$ , а другой  $-1$ , порядок уровней не имеет значения.

Пусть процесс определяется четырьмя факторами. Основной уровень и интервалы варьирования выбраны следующим образом [2].



Натуральные значения	$\tilde{x}_1$	1	2	3	4	5
Кодированные значения	$x_1$	-1	-0,5	0	+0,5	+1

Остановимся на первом факторе.

В соответствии с (10.9) перейдем от натуральных значений фактора к кодированным:

Факторы	$\tilde{x}_1$	$\tilde{x}_2$	$\tilde{x}_3$	$\tilde{x}_4$
Основной уровень	3	30	1,5	15
Интервал варьирования	2	10	1	10

На выбор интервалов варьирования накладываются естественные ограничения сверху и снизу. Интервал варьирования не может быть меньше той погрешности, с которой экспериментатор фиксирует уровень фактора. В противном случае верхний и нижний уровни окажутся неразличимыми. Вместе с тем интервал не может быть настолько большим, чтобы верхний или нижний уровень оказался за пределами области определения. Внутри этих ограничений обычно еще остается значительная неопределенность выбора, которая устраняется с помощью интуитивных решений.

Выбор интервалов варьирования — задача трудная, так как она связана с неформализованным этапом планирования эксперимента. Возникает вопрос, какая априорная информация может быть полезна на данном этапе? Это — сведения о точности, с которой экспериментатор фиксирует значения факторов, о кривизне поверхности отклика и о диапазоне изменения выходной величины. Обычно такая информация бывает ориентировочной (в некоторых случаях она может оказаться просто ошибочной), но это единственная основа, на которой можно начинать планировать эксперимент. В ходе эксперимента ее часто приходится корректировать.

#### 10.4. ПОЛНЫЙ ФАКТОРНЫЙ ЭКСПЕРИМЕНТ

Рассмотрим планирование факторного эксперимента на примере наиболее простой и часто используемой линейной полиномиальной математической модели. В этом случае достаточно использовать только два уровня факторов.

Если число факторов известно, то можно найти число опытов, необходимых для реализации всех возможных сочетаний уровней факторов:  $N=2^k$ , где  $N$  — число опытов;  $k$  — число факторов; 2 — число уровней. Если число уровней каждого фактора равно двум, то имеется полный факторный эксперимент  $2^k$ .

Условия эксперимента можно записать в виде таблицы, где строки соответствуют различным опытам, а столбцы — значениям факторов. Такие таблицы называются матрицами планирования эксперимента.

Матрица планирования для двух факторов приведена в табл. 10.3. Каждый столбец в матрице планирования на-

Таблица 10.3

Номер опыта	$x_1$	$x_2$	$y$
1	-1	-1	$y_1$
2	+1	-1	$y_2$
3	-1	+1	$y_3$
4	+1	+1	$y_4$

зывают вектор-столбцом, а каждую строку вектор-строкой.

Если для двух факторов все возможные комбинации уровней легко найти прямым перебором, то с ростом числа факторов возникает необходимость в разработке правил построения матриц. На практике обычно используются три приема, основанные на переходе от матриц меньшей размерности к матрицам большей размерности.

Рассмотрим *первый прием*. При добавлении нового фактора каждая комбинация уровней исходного плана встречается дважды: в сочетании с нижним и верхним уровнями нового фактора. Отсюда вытекает следующий прием: записать исходный план для одного уровня нового фактора, а затем повторить его для другого уровня. Вот как это выглядит при переходе от эксперимента  $2^2$  к эксперименту  $2^3$  (табл. 10.4).

Таблица 10.4

Номер опыта	$x_1$	$x_2$	$x_3$	$y$
1	-1	-1	-1	$y_1$
2	+1	-1	-1	$y_2$
3	-1	+1	-1	$y_3$
4	+1	+1	-1	$y_4$
5	-1	-1	+1	$y_5$
6	+1	-1	+1	$y_6$
7	-1	+1	+1	$y_7$
8	+1	+1	+1	$y_8$

Этот прием распространяется на построение матриц любой размерности.

*Второй прием.* Введем правило перемножения столбцов матрицы. При построчном перемножении двух столбцов произведение единиц с одноименными знаками дает +1, а с разноименными —1. Воспользовавшись этим правилом, для рассматриваемого случая получим вектор-столбец  $x_1x_2$  в исходном плане. Далее повторим еще раз исходный план, а у столбца произведений знаки поменяем на противоположные. Этот прием тоже можно перенести на построения матриц любой размерности, однако он сложнее, чем первый.

*Третий прием* основан на правиле чередования знаков. В первом столбце знаки меняются поочередно, во втором — чередуются через два, а в третьем — через четыре, в четвертом — через восемь и т. д. по степеням двойки.

Отметим общие свойства матрицы планирования эксперимента. Два свойства следуют непосредственно из построения матрицы. Первое из них — симметричность относительно центра эксперимента (точки с координатами  $x_1=0$ ,  $x_2=0$ ,  $x_3=0$ ) — формулируется следующим образом: алгебраическая сумма элементов вектор-столбца каждого фактора равна нулю, или  $\sum_{i=1}^N x_{ji}=0$ , где  $j$  — номер фактора;  $i$  — номер опыта;  $N$  — число опытов.

Второе свойство, так называемое условие нормировки, формулируется следующим образом: сумма квадратов элементов каждого столбца равна числу опытов, или  $\sum_{i=1}^N x_{ji}^2=N$ .

Рассмотренные свойства относятся к особенностям построения отдельных столбцов матрицы планирования. Ос-

становимся на свойствах совокупности столбцов матрицы. Сумма почленных произведений любых двух вектор-столбцов матрицы равна нулю, или  $\sum_{i=1}^N x_{ij}x_{ni} = 0, j \neq n$ . Это важное свойство называется ортогональностью матрицы планирования.

Последнее, четвертое, свойство называется ротатабельностью, т. е. точки в матрице планирования подбираются так, что точность предсказаний значений выходного параметра на основании математической модели одинакова на равных расстояниях от центра эксперимента и не зависит от направления.

Таким образом, правильно составленная матрица планирования эксперимента должна обладать всеми четырьмя перечисленными выше свойствами.

Составив матрицу планирования эксперимента и проведя  $N$  опытов, можно перейти к оценке коэффициентов линейной модели.

Можно утверждать, что эксперимент проводится для проверки гипотезы о том, что линейная модель  $\eta = \beta_0 + \beta_1 x_1 + \beta_2 x_2$  адекватна. Греческие буквы использованы для обозначения истинных значений соответствующих неизвестных.

Эксперимент, содержащий конечное число опытов, позволяет получить только оценки для коэффициентов модели

$$y = a_0 + a_1 x_1 + a_2 x_2.$$

Подставив в уравнение модели известные значения  $x_{ji}$  факторов и результаты опытов  $y_i$ , получим систему линейных условных уравнений, решение которой методом наименьших квадратов дает искомые оценки параметров модели:

$$a_j = \left( \sum_{i=1}^N x_{ji} y_i \right) / N. \quad (10.10)$$

Воспользуемся этой формулой для вычисления коэффициентов  $a_1$  и  $a_2$ :

$$\begin{aligned} a_1 &= [(-1)y_1 + (+1)y_2 + (-1)y_3 + (+1)y_4]/4; \\ a_2 &= [(-1)y_1 + (-1)y_2 + (+1)y_3 + (+1)y_4]/4. \end{aligned} \quad (10.11)$$

Благодаря кодированию факторов, расчет коэффициентов превратился в простую арифметическую процедуру.

Для вычисления коэффициента  $a_1$  используется вектор-столбец  $x_1$ , а для вычисления  $a_2$  — столбец  $x_2$ .

Остановимся на определении коэффициента  $a_0$ . Найдем

среднее значение  $\bar{y} = \frac{1}{n} \sum_{i=1}^n y_i$ , равное

$$\bar{y} = a_0 + a_1 \bar{x}_1 + a_2 \bar{x}_2,$$

где

$$\bar{x}_1 = \frac{1}{n} \sum_{i=1}^n x_{1i}; \quad \bar{x}_2 = \frac{1}{n} \sum_{i=1}^n x_{2i}.$$

В силу свойств симметрии матрицы  $\bar{x}_1 = \bar{x}_2 = 0$ , следовательно,  $\bar{y} = a_0$ . Чтобы все коэффициенты модели вычислялись по единой формуле (10.10), в матрицу планирования эксперимента удобно ввести фиктивную переменную  $x_0$ , которая во всех опытах принимает значение  $+1$ . Тогда линейная модель запишется в виде

$$y = a_0 x_0 + a_1 x_1 + a_2 x_2,$$

а  $j$  во всех приведенных выше формулах принимает значения от 0 до  $k$ .

Коэффициенты при независимых переменных указывают на силу влияния факторов. Чем больше численное значение коэффициента, тем большее влияние оказывает фактор. Если коэффициент имеет знак плюс, то с увеличением значения фактора выходная величина увеличивается, а если минус, то уменьшается.

Значение коэффициента соответствует складу данного фактора в размер выходного параметра при переходе фактора с нулевого уровня на верхний или нижний.

Планируя эксперимент на первом этапе, стремятся получить линейную модель. Однако нет гарантии, что в выбранных интервалах варьирования процесс описывается линейной моделью.

Один из часто встречающихся видов нелинейности связан с тем, что эффект одного фактора зависит от уровня, на котором находится другой фактор, т. е. существует эффект взаимодействия двух факторов. Полный факторный эксперимент позволяет оценить эффект взаимодействия. Для этого необходимо, пользуясь правилом перемножения столбцов, получить столбец произведения двух факторов.

При вычислении коэффициента, соответствующего эффекту взаимодействия, с новым вектор-столбцом можно обращаться так же как с вектор-столбцом любого фактора. Для полного факторного эксперимента  $2^2$  матрица планирования с учетом эффекта взаимодействия представлена в табл. 10.5.

Таблица 10.5

Номер опыта	$x_0$	$x_1$	$x_2$	$x_1x_2$	$y$
1	+1	-1	-1	+1	$y_1$
2	+1	+1	-1	-1	$y_2$
3	+1	-1	+1	-1	$y_3$
4	+1	+1	+1	+1	$y_4$

Очень важно, что при добавлении столбцов эффектов взаимодействий все рассмотренные свойства матриц планирования сохраняются.

С учетом эффекта взаимодействия математическая модель при двух факторах запишется следующим образом:

$$y = a_0x_0 + a_1x_1 + a_2x_2 + a_{12}x_1x_2. \quad (10.12)$$

Коэффициент  $a_{12}$  вычисляется обычным путем:

$$a_{12} = [(+1)y_1 + (-1)y_2 + (-1)y_3 + (+1)y_4]/4. \quad (10.13)$$

Столбцы  $x_1$  и  $x_2$  задают планирование — по ним непосредственно определяются условия опытов, а столбцы  $x_0$  и  $x_1x_2$  служат только для расчетов.

С ростом числа факторов число возможных взаимодействий быстро увеличивается. Был рассмотрен самый простой случай, когда имелось одно взаимодействие. Обратимся к полному факторному эксперименту  $2^3$ .

Таблица 10.6

Номер опыта	$x_0$	$x_1$	$x_2$	$x_3$	$x_1x_2$	$x_1x_3$	$x_2x_3$	$x_1x_2x_3$	$y$
1	+1	-1	-1	-1	+1	+1	+1	-1	$y_1$
2	+1	+1	-1	-1	-1	-1	+1	+1	$y_2$
3	+1	-1	+1	-1	-1	+1	-1	+1	$y_3$
4	+1	+1	+1	-1	+1	-1	-1	-1	$y_4$
5	+1	-1	-1	+1	+1	-1	-1	+1	$y_5$
6	+1	+1	-1	+1	-1	+1	-1	-1	$y_6$
7	+1	-1	+1	+1	-1	-1	+1	-1	$y_7$
8	+1	+1	+1	+1	+1	+1	+1	+1	$y_8$

Матрица планирования эксперимента  $2^3$  с учетом всех возможных взаимодействий приведена в табл. 10.6.

Эффект взаимодействия  $x_1x_2x_3$  определяется перемножением трех столбцов  $x_1, x_2, x_3$  и называется эффектом взаимодействия второго порядка в отличие от эффектов взаимодействия первого порядка  $x_1x_2, x_1x_3, x_2x_3$ . Очевидно, что эффект взаимодействия максимального порядка имеет порядок на единицу меньше числа факторов. Довольно часто применяются термины: парные эффекты взаимодействия ( $x_1x_2, x_1x_3, x_2x_3...$ ), тройные ( $x_1x_2x_3, x_2x_3x_4...$ ) и т. д.

Полное число всех возможных коэффициентов, включая  $a_0$ , линейные эффекты и взаимодействия всех порядков, равно числу опытов полного факторного эксперимента.

Ортогональность матрицы планирования позволяет получать независимые друг от друга оценки коэффициентов. Это означает, что значение любого коэффициента не зависит от того, какие значения имеют другие коэффициенты.

Однако эти утверждения справедливы лишь в том случае, если модель включает только линейные эффекты и эффекты взаимодействия. В реальных условиях существенными могут оказаться коэффициенты при квадратах факторов, их кубах и т. д. Так, для случая существенных квадратичных членов в двухфакторном эксперименте модель можно записать следующим образом:

$$y = a_0x_0 + a_1x_1 + a_2x_2 + a_{12}x_1x_2 + a_{11}x_1^2 + a_{22}x_2^2. \quad (10.14)$$

Попытка построения вектор-столбцов для  $x_1^2$  и  $x_2^2$  в матрице планирования приводит к получению единичных столбцов, совпадающих друг с другом и со столбцом  $x_0$ . Так как эти столбцы неразличимы, то нельзя сказать, за счет чего получилось значение  $a_0$ . Такая оценка  $a_0$  называется смешанной и включает в себя значение свободного члена и вклады квадратичных членов. Это символически записывается следующим образом:

$$a_0 \rightarrow \beta_0 + \sum_{j=1}^k \beta_{jj},$$

где  $a_0$  — вычисленный коэффициент, а греческими буквами обозначены неизвестные истинные значения свободного члена  $\beta_0$  и квадратичных коэффициентов  $\beta_{jj}$ .

По отношению к квадратичной модели для двух факторов получается следующая система смешивания:

$$a_0 \rightarrow \beta_0 + \sum_{j=1}^k \beta_{jj}, \quad a_1 \rightarrow \beta_1, \quad a_2 \rightarrow \beta_2, \quad a_{12} \rightarrow \beta_{12}.$$

Очевидно, что оценки всех коэффициентов, кроме  $a_0$ , не смешаны. Таким образом, полный факторный эксперимент при варьировании факторов на двух уровнях позволяет оценить линейные эффекты и эффекты взаимодействия.

### 10.5. ДРОБНЫЙ ФАКТОРНЫЙ ЭКСПЕРИМЕНТ

Число опытов в полном факторном эксперименте превышает число коэффициентов линейной модели, причем тем значительнее, чем больше факторов. Поэтому при использовании линейной модели представляется возможным сократить число необходимых опытов. При этом очевидно, что матрица планирования должна сохранить свои основные свойства.

Начнем с простого примера — полного факторного эксперимента  $2^2$ . Составим еще раз матрицу планирования (табл. 10.7).

Т а б л и ц а 10.7

Номер опыта	$x_0$	$x_1$	$x_2$	$x_1 x_2 (x_3)$	$y$
1	+1	-1	-1	+1	$y_1$
2	+1	+1	-1	-1	$y_2$
3	+1	-1	+1	-1	$y_3$
4	+1	+1	+1	+1	$y_4$

Пользуясь таким планированием, можно вычислить, как было показано выше, четыре коэффициента и представить результаты эксперимента в виде модели

$$y = a_0 + a_1 x_1 + a_2 x_2 + a_{12} x_1 x_2. \quad (10.15)$$

Если имеются основания считать, что в выбранных интервалах варьирования процесс может быть описан линейной моделью, то достаточно определить три коэффициента:  $a_0$ ,  $a_1$  и  $a_2$ . Остается одна степень свободы. Используем ее для минимизации числа опытов. При линейном приближении  $a_{12} \rightarrow 0$  и вектор-столбец  $x_1 x_2$  можно использовать для нового фактора  $x_3$ . Поставим этот фактор в скобках над



взаимодействием  $x_1x_2$  и посмотрим, каковы будут оценки коэффициентов.

Оценки смешиваются в связи с тем, что вектор-столбец  $x_3$  совпадает с вектор-столбцом  $x_1x_2$ , вектор-столбец  $x_1$  с  $x_2x_3$ , а вектор-столбец  $x_2$  с  $x_1x_3$ . Это легко проверить по матрице планирования, приведенной в табл. 10.7.

Таким образом, получим:

$$a_1 \rightarrow \beta_1 + \beta_{23}; \quad a_2 \rightarrow \beta_2 + \beta_{13}; \quad a_3 \rightarrow \beta_3 + \beta_{12};$$

Однако в связи с тем, что постулируется линейная модель, и, следовательно, все парные взаимодействия незначимы, можно полагать, что оценки  $a_1$ ,  $a_2$ ,  $a_3$  достоверны.

Таким образом, сократили число опытов: вместо восьми для изучения трех факторов оказывается достаточным поставить только четыре опыта. При этом матрица планирования не теряет своих основных свойств (ортогональности, ротатабельности и т. п.).

Изложенное правило можно сформулировать так: чтобы сократить число опытов, новому фактору необходимо присвоить вектор-столбец матрицы, принадлежащий взаимодействию, которым можно пренебречь. Тогда значения нового фактора в условиях опытов определяются знаками этого столбца. Полученная матрица сохраняет все свойства полного факторного эксперимента. Она дает возможность оценить свободный член  $a_0$  и коэффициенты при линейных членах.

Поставив четыре опыта для оценки влияния трех факторов, воспользовались половиной полного факторного эксперимента  $2^3$ , или «полуреplikой». Если  $x_3$  приравнять к— $x_1x_2$ , то можно получить вторую половину матрицы  $2^3$ . В этом случае

$$a_1 \rightarrow \beta_1 - \beta_{23}; \quad a_2 \rightarrow \beta_2 - \beta_{13}; \quad a_3 \rightarrow \beta_3 - \beta_{12}.$$

При реализации обеих полуреplik можно получить отдельные оценки для линейных эффектов и эффектов взаимодействия, как и в полном факторном эксперименте  $2^3$ . Объединение этих двух полуреplik и есть полный факторный эксперимент  $2^3$ .

Матрица из восьми опытов для четырехфакторного планирования будет полуреplikой от полного факторного эксперимента  $2^4$ , а для пятифакторного планирования — четвертьреplikой от  $2^5$ . В последнем случае уже два линейных эффекта приравниваются к эффектам взаимодействия.

Для обозначения дробных реплик, в которых с линейных эффектов приравнены к эффектам взаимодействия, удобно пользоваться условным обозначением  $2^{h-c}$ . Так, полуреплика от  $2^6$  запишется в виде  $2^{6-1}$ , а четвертьреплика от  $2^5$  в виде  $2^{5-2}$ .

Условные обозначения дробных реплик приведены в табл. 10.8 [2].

При построении полуреplik  $2^{3-1}$  существуют всего две возможности: приравнять  $x_3$  к  $x_1x_2$  или к  $-x_1x_2$ . Поэтому есть только две полуреплики  $2^{3-1}$  (табл. 10.9).

Т а б л и ц а 10.8

Число факторов	Дробная реплика	Условное обозначение	Число опытов	
			для дробной реплики	для полного факторного эксперимента
3	1/2-реплика от $2^3$	$2^3-1$	4	8
4	1/2-реплика от $2^4$	$2^4-1$	8	16
5	1/4-реплика от $2^5$	$2^5-2$	8	32
6	1/8-реплика от $2^5$	$2^5-3$	8	64
7	1/16-реплика от $2^7$	$2^7-4$	8	128
5	1/2-реплика от $2^5$	$2^5-1$	16	32
6	1/4-реплика от $2^6$	$2^6-2$	16	64
7	1/8-реплика от $2^7$	$2^7-3$	16	128
8	1/16-реплика от $2^8$	$2^8-4$	16	256

Для произведения трех столбцов матрицы I выполняется соотношение  $1=x_1x_2x_3$ , а матрицы II —  $1=x_1x_2x_3$ . Символическое обозначение произведения столбцов, равного +1 или -1, называется определяющим контрастом. Контраст помогает определять смешанные эффекты. Чтобы определить, какой эффект смешан с данным, обе части определяющего контраста следует умножить на столбец, соответствующий данному эффекту. Так, если  $1=x_1x_2x_3$ , то для  $x_1$  имеем:

$$x_1 = x_1^2x_2x_3 = x_2x_3,$$

так как всегда  $x_i^2 = 1$ .

Для  $x_2$  находим:

$$x_2 = x_1x_2^2x_3 = x_1x_3;$$

Для  $x_3$

$$x_3 = x_1x_2x_3^2.$$

Таблица 10.9

Номер опыта	I $x_3 = x_1 x_2$			
	$x_1$	$x_2$	$x_3$	$x_1 x_2 x_3$
1	-1	-1	+1	+1
2	+1	-1	-1	+1
3	-1	+1	-1	+1
4	+1	+1	+1	+1

Номер опыта	II $x_3 = -x_1 x_2$			
	$x_1$	$x_2$	$x_3$	$x_1 x_2 x_3$
1	-1	-1	-1	-1
2	+1	-1	+1	-1
3	-1	+1	+1	-1
4	+1	+1	-1	-1

Это значит, что коэффициенты линейного уравнения будут оценками

$$a_1 \rightarrow \beta_1 + \beta_{23}; \quad a_2 \rightarrow \beta_2 + \beta_{13}; \quad a_3 \rightarrow \beta_3 + \beta_{12}.$$

Соотношение, показывающее, с каким из эффектов смешан данный эффект, называется генерирующим соотношением.

Полуреплики, в которых основные эффекты смешаны с двухфакторными взаимодействиями, носят название планов с разрешающей способностью III. Разрешающая способность равна наибольшему числу факторов в определяющем контрасте.

При выборе полуреплики  $2^{4-1}$  возможно восемь решений:

- |                       |                           |
|-----------------------|---------------------------|
| 1) $x_4 = x_1 x_2$ ;  | 5) $x_4 = x_1 x_3$ ;      |
| 2) $x_4 = -x_1 x_2$ ; | 6) $x_4 = -x_1 x_3$ ;     |
| 3) $x_4 = x_2 x_3$ ;  | 7) $x_4 = x_1 x_2 x_3$ ;  |
| 4) $x_4 = -x_2 x_3$ ; | 8) $x_4 = -x_1 x_2 x_3$ . |

Разрешающая способность этих полуреплик различна. Так, реплики 1—6 имеют по три фактора в определяющем контрасте, а 7—8 по четыре. Реплики 7 и 8 имеют максимальную разрешающую способность и называются главными. Разрешающая способность будет максимальной, если линейные эффекты смешаны с эффектами взаимодействия наибольшего возможного порядка.

При отсутствии априорной информации об эффектах вза-

имодействия экспериментатор стремится выбрать реплику с наибольшей разрешающей способностью, так как тройные взаимодействия обычно менее существенны, чем парные. Если имеется информация об эффектах взаимодействия, то она должна использоваться при выборе реплики.

Реплики, в которых нет ни одного основного эффекта, смешанного с другим основным эффектом или парным взаимодействием, а все парные взаимодействия смешаны друг с другом, носят название планов с разрешающей способностью IV (по наибольшему числу факторов в определяющем контрасте).

В заключение отметим, что дробные реплики находят широкое применение при получении линейных моделей. Целесообразность их применения увеличивается с ростом количества факторов.

#### **10.6. ПРОВЕДЕНИЕ ФАКТОРНОГО ЭКСПЕРИМЕНТА И ОБРАБОТКА РЕЗУЛЬТАТОВ**

После того, как составлена матрица планирования эксперимента, можно приступить к его проведению. Однако при этом необходимо учитывать, что реальный эксперимент сопровождается погрешностями измерений. Поэтому как бы оптимально ни был спланирован эксперимент, если не учитывать погрешности эксперимента и тщательно не продумать процедуру обработки результатов эксперимента, ожидать высокой эффективности от планирования эксперимента не приходится.

Каждый эксперимент содержит элемент неопределенности вследствие ограниченности обрабатываемых данных. Постановка повторных или параллельных опытов не дает полностью совпадающих результатов, потому что всегда существует погрешность опыта (погрешность воспроизводимости). Эту погрешность можно оценить по параллельным опытам, для чего опыт воспроизводится по возможности в одинаковых условиях несколько раз, а затем берется среднее арифметическое всех результатов

$$\bar{y} = \frac{1}{n} \sum_{q=1}^n y_q, \quad (10.16)$$

где  $n$  — число параллельных опытов.

Отклонение результатов опыта от среднего арифметического свидетельствует об изменчивости значений резуль-

татов повторных опытов. Для характеристики этих отклонений используют оценку дисперсии (см. § 2.4):

$$\hat{\sigma}^2 = \frac{1}{n-1} \sum_{q=1}^n (y_q - \bar{y})^2 \quad (10.17)$$

и среднее квадратическое отклонение  $\hat{\sigma}$ .

Очень важно исключить из экспериментальных данных результаты, содержащие грубые погрешности, для чего можно воспользоваться правилами, изложенными в § 2.8.

Матрица планирования состоит из серии опытов, и оценка дисперсии всего эксперимента получается в результате усреднения оценок дисперсий всех опытов. По терминологии, принятой в планировании эксперимента, речь идет об оценке дисперсии выходной величины  $\sigma^2(y)$  или, что то же самое, дисперсии воспроизводимости уже не одного опыта, а эксперимента в целом. Это значение подсчитывается по формуле

$$\hat{\sigma}^2(y) = \left[ \sum_{i=1}^N \sum_{q=1}^n (y_{iq} - \bar{y})^2 \right] / N(n-1), \quad (10.18)$$

где  $N$  — число различных опытов;  $n$  — число повторных опытов.

Оценку дисперсии воспроизводимости проще всего рассчитывать, когда соблюдается равенство числа повторных опытов во всех экспериментальных точках. На практике часто приходится сталкиваться со случаями, когда число повторных опытов различно. Это происходит вследствие отбрасывания результатов, содержащих грубые погрешности.

Тогда при усреднении оценок дисперсий приходится пользоваться средним взвешенным значением, взятым с учетом числа степеней свободы (см. § 2.7):

$$\sigma^2(y) = \frac{\sigma_1^2 f_1 + \sigma_2^2 f_2 + \dots + \sigma_N^2 f_N}{f_1 + f_2 + \dots + f_N} = \frac{\sum_{i=1}^N f_i \sigma_i^2}{\sum_{i=1}^N f_i},$$

где  $\sigma_i^2$  — оценка дисперсии  $i$ -го опыта;  $f_i$  — число степеней свободы в  $i$ -м опыте, равное числу параллельных опытов  $n_i$  минус 1.

Число степеней свободы средней дисперсии принимается равным сумме чисел степеней свободы  $f_i$ .

Приведенными выше формулами для расчета оценки дисперсий можно пользоваться только в том случае, когда дисперсии однородны. Это означает, что среди всех суммируемых дисперсий нет таких, которые значительно превышали бы все остальные.

Наиболее часто для проверки гипотезы об однородности дисперсии используется критерий Фишера [2, 22], предназначенный для сравнения двух дисперсий по их оценкам ( $F$ -критерий). Находят отношение большей оценки дисперсии к меньшей и полученное значение сравнивают с табличным значением для тех же условий. Если полученное значение больше табличного, это означает, что дисперсии значительно отличаются друг от друга, т. е. они неоднородны.

Приступить к расчету погрешности воспроизводимости и к вычислению коэффициентов модели можно только после того, как установлено, что дисперсии однородны.

Еще одной проблемой, возникающей перед экспериментатором, является влияние систематических погрешностей, вызванных изменением внешних условий (температуры, давления и т. п.). Для уменьшения этого влияния рекомендуется случайная последовательность при постановке опытов, предусмотренных матрицей планирования, или рандомизация опытов во времени. Термин «рандомизация» происходит от английского слова *gandom* — случайный. Приведем пример [2], показывающий важность рандомизации при постановке эксперимента.

В табл. 10.10 приведена матрица  $2^3$ , полученная из матрицы  $2^2$  обычным способом: 2 раза повторен план  $2^2$ , причем в первых четырех опытах  $x_3$  имеет верхнее значение, а в последних четырех ниже.

Т а б л и ц а 10.10

Номер опыта	$x_1$	$x_2$	$x_3$	$y$
1	+1	+1	+1	$y_1 + \varepsilon$
2	-1	-1	+1	$y_2 + \varepsilon$
3	+1	-1	+1	$y_3 + \varepsilon$
4	-1	+1	+1	$y_4 + \varepsilon$
5	+1	+1	-1	$y_5$
6	-1	-1	-1	$y_6$
7	+1	-1	-1	$y_7$
8	-1	+1	-1	$y_8$

Допустим, что экспериментатор может поставить в первый и во второй дни по четыре опыта. Ставя опыты подряд, разбиваем матрицу на две части или на два блока: в первый блок входят опыты 1—4, а во второй 5—8. Если внешние условия первого дня каким-то образом отличались от внешних условий второго дня, то это обословило возникновение некоторой систематической погрешности  $\epsilon$ . Предположим, что эта погрешность сопровождает первые четыре опыта.

При таком проведении эксперимента подсчет коэффициента  $a_3$  дает следующий результат:

$$a_3 = \frac{1}{8} \left[ (y_1 + \epsilon) + (y_2 + \epsilon) + (y_3 + \epsilon) + (y_4 + \epsilon) - y_5 - y_6 - y_7 - y_8 \right] \rightarrow \beta_3 + \frac{\epsilon}{2},$$

где  $\beta_3$  — истинное значение коэффициента при  $x_3$ .

Хотя, как легко выяснить, погрешность в определении коэффициентов  $a_1$  и  $a_2$  не будет, однако погрешность определения  $a_3$  максимальна и равна  $\epsilon/2$ . Для уменьшения этой погрешности последовательности проведения опытов необходимо придать случайный характер.

После проведения эксперимента осуществляется обработка его результатов. Для вычисления коэффициентов модели, или, как их называют, коэффициентов регрессии, используется метод наименьших квадратов [см. (10.10)].

После вычисления коэффициентов модели в первую очередь необходимо проверить ее пригодность. Такая проверка называется проверкой адекватности модели. Для осуществления ее сначала вычисляется оценка дисперсии адекватности:

$$\sigma_{ад}^2 = \left[ \sum_{i=1}^N (y_i - y_{im})^2 \right] / f, \quad (10.19)$$

где  $y_i$  — реальное значение выходной величины, полученное в результате  $i$ -го опыта;  $y_{im}$  — значение выходной величины, предсказанное в  $i$ -м опыте по полученной модели (для получения  $y_{im}$  необходимо подставить в модель значения факторов, предусмотренные матрицей планирования в  $i$ -м опыте, и вычислить значение  $y_{im}$  по значениям факторов и коэффициентов модели);  $f$  — число степеней свободы, равное числу различных опытов, результаты которых

используются при подсчете коэффициентов модели, минус число определяемых коэффициентов.

Для проверки гипотезы об адекватности используется  $F$ -критерий:

$$F = \frac{\Lambda^2}{\sigma_{ад}^2} (y), \quad (10.20)$$

где  $\Lambda^2 (y)$  — оценка дисперсии воспроизводимости со своим числом степеней свободы.

Если рассчитанное значение  $F$  не превышает табличного, взятого при выбранном уровне значимости и данных числах степеней свободы, то модель можно считать адекватной. В противном случае исходную гипотезу о виде модели приходится отвергать, а следовательно, необходимо уточнить модель (включить в нее новые члены), вновь определить коэффициенты модели и проверить гипотезу об адекватности.

После получения модели, проверки гипотезы об адекватности необходимо проверить значимость отдельных коэффициентов регрессии. Проверка значимости коэффициентов модели проводится по  $t$ -распределению Стьюдента.

Прежде всего необходимо найти оценки дисперсии коэффициентов регрессионной модели:

$$\hat{\sigma}^2 (a_j) = \left[ \hat{\sigma}^2 (y) \right] / N. \quad (10.21)$$

Далее вычисляется отношение

$$t = |a_j| / \hat{\sigma} (a_j). \quad (10.22)$$

Вычисленное значение сравнивается с табличным при заданном уровне значимости и соответствующем числе степеней свободы. Таким образом, проводится проверка значимости всех коэффициентов регрессии, и модель уточняется путем исключения незначимых факторов или эффектов взаимодействия.

В заключение снова вернемся к вопросу об эффективности планирования эксперимента. Рассмотрим в качестве примера планирование трехфакторного эксперимента, поставленного для оценки значений коэффициентов линейной модели:

$$y = a_0 + a_1 x_1 + a_2 x_2 + a_3 x_3.$$

Составим сначала матрицу планирования эксперимента в соответствии с правилами, которые были изложены выше. Эта матрица приведена в табл. 10.11.



Т а б л и ц а 10.11

Номер опыта	$x_0$	$x_1$	$x_2$	$x_3$	$y$
1	+1	+1	-1	-1	$y_1$
2	+1	-1	+1	-1	$y_2$
3	+1	-1	-1	+1	$y_3$
4	+1	+1	+1	+1	$y_4$

План, приведенный в табл. 10.11, обладает следующими свойствами:

$$\sum_{i=1}^N x_{ji} = 0; \quad \sum_{i=1}^N x_{ji}^2 = N; \quad \sum_{i=1}^N x_{ji}x_{ui} = 0 \quad (u \neq j). \quad (10.23)$$

Коэффициенты модели определяются по формуле

$$a_j = \left( \sum_{i=1}^N x_{ji}y_i \right) / N \quad (j = 0, 1, \dots, k), \quad (10.24)$$

а оценки их дисперсий

$$\hat{\sigma}(a_j) = [\hat{\sigma}^2(y)] / N. \quad (10.25)$$

В данном примере  $k=4$ ,  $N=4$ .

Из этих формул следует, что коэффициенты модели оцениваются по всем  $N$  опытам, и соответственно в  $N$  раз уменьшается оценка их дисперсии по сравнению с оценкой дисперсии единичного опыта. Последнее обстоятельство является весьма примечательным. Предположим, что имеется последовательность  $N$  независимых наблюдений —  $y_1, y_2, \dots, y_N$ . Тогда среднее арифметическое  $\bar{y}$  этого ряда наблюдений будет иметь оценку дисперсии  $[(\hat{\sigma}^2 y)]/N$ . В рассмотренном выше случае все  $N$  коэффициентов оцениваются по  $N$  опытам с оценкой дисперсии  $[\hat{\sigma}^2(y)]/N$ . Отсюда становится очевидным, что при выбранных интервалах варьирования и числа опытов невозможно получить лучшие по точности оценки коэффициентов модели.

Искомые четыре коэффициента модели можно было бы оценить и с помощью традиционного однофакторного эксперимента. В данном случае необходимо поступить следующим образом: один эксперимент поставить так, чтобы все

Таблица 10.12

Номер опыта	$x_0$	$x_1$	$x_2$	$x_3$	$y$
1	+1	-1	-1	-1	$y_1$
2	+1	+1	-1	-1	$y_2$
3	+1	-1	+1	-1	$y_3$
4	+1	-1	-1	+1	$y_4$

независимые переменные были на нижнем уровне, а дальше следовали бы три опыта, в каждом из которых одна переменная находилась на верхнем уровне, а две другие на нижнем. Было бы опять поставлено всего четыре опыта. План такого эксперимента задается матрицей, представленной табл. 10.12.

Каждый коэффициент модели определяется в этом случае только по двум опытам как тангенс угла наклона прямой, проведенной через точки, абсциссы которых равны  $-1$  и  $+1$ . Тогда

$$a_j = (y_i - y_1)/2; \hat{\sigma}^2(a_j) = [\hat{\sigma}^2(y)]/2. \quad (10.26)$$

В этом случае при трех независимых переменных для многофакторного эксперимента выигрыш в размере дисперсии получается в 2 раза. Если бы целью было определение 15 коэффициентов модели, то, поставив эксперимент в соответствии с матрицей планирования, составленной на основе теории планирования эксперимента, выигрыш получили бы в 8 раз и т. д.

Возвращаясь к примеру взвешивания грузов, рассмотренному в § 10.1, следует отметить, что выигрыш в точности взвешивания по табл. 10.2 обусловлен тем, что эта таблица представляет собой план дробного факторного эксперимента  $2^{3-1}$ , составленного с учетом всех особенностей оптимального планирования эксперимента. Традиционная схема взвешивания, приведенная в табл. 10.1, представляет собой план однофакторного эксперимента со всеми вытекающими отсюда последствиями.

Следует отметить, что матрица планирования многофакторного эксперимента в рассмотренном примере может быть составлена также с использованием второй полуреплики эксперимента  $2^3$ . При этом, очевидно, условия оптимальности и как следствие выигрыш в точности полностью сохраняются.

## 10.7. ПЛАНИРОВАНИЕ ЭКСПЕРИМЕНТА ПРИ ПОИСКЕ ОПТИМАЛЬНЫХ УСЛОВИЙ

Поиск оптимальных условий для различных объектов является одной из важнейших практических задач. В производственных условиях экономические и технические причины обычно заставляют стремиться к тому, чтобы процессы, установки, аппараты работали в оптимальных условиях, а производимая продукция имела оптимальные свойства. Это означает, например, что для химического реактора следует устанавливать такие значения температуры, давления, концентрации компонентов химической реакции, при которых процесс протекает с максимальным выходом целевого продукта. Подобно этому можно потребовать, чтобы установка действовала с максимальной экономической эффективностью или чтобы наилучшими были определенные характеристики продукции.

Таким образом, во всех подобных задачах формулируется целевая функция, или функция отклика  $y$ , зависящая от входных параметров объекта:

$$y = y(x_1, x_2, \dots, x_k). \quad (10.27)$$

Задачей оптимизации является нахождение значений  $x_{1 \text{ опт}}, x_{2 \text{ опт}}, \dots, x_{k \text{ опт}}$ , обеспечивающих экстремум функции цели

$$y(x_{1 \text{ опт}}, x_{2 \text{ опт}}, \dots, x_{k \text{ опт}}) = \max(\min) \quad (10.28)$$

при выполнении условий

$$g_i(x_1, x_2, \dots, x_k) \{ \geq, =, \leq \} b_i, \quad i = 1, 2, \dots, r. \quad (10.29)$$

Условия (10.29) представляют собой ограничения, число которых  $r$  может быть произвольным.

Таким образом, задачей оптимизации является нахождение экстремума функции отклика в области допустимых значений факторов при условии, что функция отклика априори неизвестна.

Указанная задача в принципе может быть решена путем определения параметров модели нелинейной функции отклика с помощью факторного эксперимента и последующего нахождения экстремума этой функции. Однако, чтобы иметь возможность найти этот экстремум, необходимо дать описание поверхности отклика в широком интервале варьирования независимых переменных. Адекватное описание таких больших участков поверхности отклика требует

применения сложных математических моделей и соответственно проведения большого числа опытов. В связи с этим был предложен другой подход к решению поставленной задачи, заключающийся в последовательном («шаговом») изучении поверхности отклика. Сначала исследователь ставит небольшую серию опытов с целью изучения ограниченного участка поверхности отклика и выбора направления движения, приближающего условия к оптимальным. Затем выполняется шаг в выбранном направлении, и описанная процедура повторяется в новой точке факторного пространства. Такой шаговый процесс движения по поверхности отклика продолжается до тех пор, пока исследователь не попадет в «почти стационарную область» вблизи точки оптимума. Здесь ставится большая серия опытов с целью более точного описания поверхности отклика и нахождения точки оптимума.

Таким образом, экспериментатор осуществляет последовательный поиск экстремума функции цели.

Достижение максимума за наименьшее число шагов происходит при движении по направлению наискорейшего возрастания функции цели, т.е. по направлению вектора градиента

$$\text{grad } y(\vec{x}) = \frac{\partial y}{\partial x_1} \vec{p}_1 + \frac{\partial y}{\partial x_2} \vec{p}_2 + \dots + \frac{\partial y}{\partial x_k} \vec{p}_k, \quad (10.30)$$

где  $\vec{p}_1, \vec{p}_2, \dots, \vec{p}_k$  — орты соответствующих координатных осей. При поиске минимума соответственно используется направление, обратное градиенту.

Из (10.30) видно, что для реализации градиентного метода необходимо определить частные производные  $\partial y / \partial x$ , которые являются коэффициентами уравнения регрессии в данной локальной подобласти факторного пространства. Следовательно, необходимо осуществить факторный эксперимент с целью определения параметров линейной регрессионной модели функции отклика в окрестности исходной точки. Таким образом, экспериментатор выполняет локальное исследование поверхности отклика, используя простейшее линейное математическое описание.

При осуществлении шага методом градиента одновременно изменяются значения всех переменных, причем приращение каждой переменной выбирается пропорциональным соответствующей составляющей градиента, т.е. алгоритм поиска имеет вид:

$$x_j^{L+1} = x_j^L + h^{(L+1)} \frac{\partial y(\vec{x}^{(L)}) / \partial x_j}{\sqrt{\sum_{j=1}^k (\partial y(\vec{x}^{(L)}) / \partial x_j)^2}}, \quad (10.31)$$

где  $x_j^{(L)}$  и  $x_j^{L+1}$  — значения переменной после  $L$ -го и  $(L+1)$ -го шагов соответственно;  $h^{(L+1)}$  — размер  $(L+1)$ -го шага. Если отыскивается минимум, то перед вторым слагаемым в (10.33) ставится минус.

После выполнения шага описанная процедура повторяется в новой точке.

Наибольшее практическое применение в практике поиска оптимальных условий находит разновидность градиентного метода — метод крутого восхождения (быстрого спуска), называемый иногда по фамилиям авторов методом Бокса — Уилсона.

В этом методе также определяется градиент функции отклика в начальной точке, однако после каждого шага определение градиента не производится. Шаговое движение по направлению градиента из начальной точки осуществляется до попадания в частный оптимум (частный оптимум — точка экстремума функции отклика при условии, что точка с координатами  $x_1, x_2, \dots, x_k$  движется по заданной линии). В точке частного оптимума вновь с помощью факторного эксперимента определяется градиент и находится новое направление движения и т. д. Наиболее трудоемкой процедурой при поиске экстремума является определение градиента функции цели, поэтому по сравнению с градиентным методом поиска метод Бокса — Уилсона в большинстве случаев обладает меньшей трудоемкостью (требует меньшего числа опытов) при несколько большем числе шагов.

В результате последовательного шагового движения исследователь попадает в почти стационарную область, близкую к точке оптимума. Об этом можно судить по тому факту, что в регрессионной модели поверхности отклика коэффициенты при линейных членах становятся незначимыми.

Почти стационарная область содержит точку оптимума и поэтому не может быть описана линейным приближением. Для ее описания обычно используют полиномы второго порядка. В этом случае необходимо иметь такую систему планирования, в которой каждая переменная будет принимать хотя бы три разных значения. В соответствии с общей

идеей шагового эксперимента такое планирование может быть получено путем добавления некоторого количества специальным образом расположенных точек к «ядру», образованному планированием для линейного приближения. Такие планы называются композиционными или последовательными (последовательно строящимися).

На рис. 10.3 показано центральное композиционное планирование, предложенное Боксом для случая, когда число факторов  $k=3$ .

Допустим, что сначала в почти стационарной области было поставлено пять опытов: четыре опыта, отмеченных на рисунке светлыми кружочками (точками), образуют

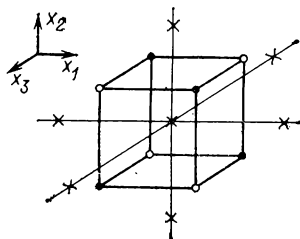


Рис. 10.3. Центральное композиционное планирование

полуреpliky типа  $2^{3-1}$ , пятая точка в центре плана эксперимента служит для оценки кривизны поверхности отклика. Если линейное приближение оказалось недостаточным, то добавляют четыре точки так, чтобы получить полный факторный эксперимент (восемь точек полного факторного эксперимента образуют вершины куба), и шесть «звездных» точек с координатами  $(\pm\alpha, 0, 0)$ ,  $(0, \pm\alpha, 0)$ ,  $(0, 0, \pm\alpha)$ . Звездные и центральная точки на рис. 10.3 отмечены крестиками. Общее число точек при  $k$  факторах будет  $2^k + 2k + 1$ .

Такое планирование требует значительно меньшего числа опытов, чем полный факторный эксперимент типа  $3^k$ . Например,  $k_1=3$  и  $k_2=4$  для полного факторного эксперимента потребуется количество опытов  $N_1=27$  и  $N_2=81$ , тогда как для центрального композиционного планирования можно будет ограничиться числом опытов  $N_1=15$  и  $N_2=25$ .

Возникает вопрос: как оптимальным образом выбрать координату  $\alpha$  звездных точек? В общем случае в матрице для центрального композиционного планирования второго

порядка не все вектор-столбцы ортогональны. Скалярные произведения

$$\sum_{i=1}^N x_{0i} x_{ji}^2 \neq 0, \sum_{i=1}^N x_{ji}^2 x_{ki}^2 \neq 0 \quad (j \neq k),$$

так как  $x_{0i}$  всегда равно 1, а неотрицательные величины  $x_{ji}^2$  не могут быть все равны 0.

Чтобы получить ортогональное планирование второго порядка, необходимо произвести некоторое преобразование квадратичных переменных и специальным образом выбрать значение  $\alpha$ .

Введем преобразование

$$x_j^* = x_j^2 - \frac{1}{N} \sum_{i=1}^N x_{ji}^2 = x_j^2 - \bar{x}_j^2. \quad (10.32)$$

Тогда будут равны нулю скалярные произведения:

$$\sum_{i=1}^N x_{0i} x_{ji}^* = \sum_{i=1}^N x_{ji}^2 - N \bar{x}_j^2 = 0. \quad (10.33)$$

Неортогональными останутся только вектор-столбцы для квадратичных членов:

$$\sum_{i=1}^N x_{ji}^* x_{ki}^* \neq 0. \quad (10.34)$$

Выбором  $\alpha$  можно обеспечить

$$\sum_{i=1}^N x_{ji}^* x_{ki}^* = 0. \quad (10.35)$$

Значение  $\alpha$ , при котором выполняется равенство (10.35), зависит от количества факторов.

В силу ортогональности полученного плана коэффициенты регрессии определяются независимо друг от друга по формуле

$$a_j = \left( \sum_{i=1}^N x_{ji} y_i \right) / \left( \sum_{i=1}^N x_{ji}^2 \right). \quad (10.36)$$

Следует иметь в виду, что уравнение регрессии после преобразования квадратичной переменной запишется в виде

$$y = a_0^* + a_1 x_1 + \dots + a_k x_k + a_{12} x_1 x_2 + \dots \\ \dots + a_{11} (\bar{x}_1^2 - \bar{x}_1^2) + \dots + a_{kk} (\bar{x}_k^2 - \bar{x}_k^2). \quad (10.37)$$

Для перехода к обычной форме записи находят величину

$$a_0 = a_0^* - a_{11} \bar{x}_1^2 - \dots - a_{kk} \bar{x}_k^2, \quad (10.38)$$

тогда

$$y = a_0 + a_1 x_1 + \dots + a_k x_k + a_{12} x_1 x_2 + \dots + \\ + a_{11} x_1^2 + \dots + a_{kk} x_k^2. \quad (10.39)$$

Таким образом, в почти стационарной области проводятся более подробные исследования функции отклика, в результате которых определяются параметры квадратичной модели, позволяющие с необходимой точностью найти точку оптимума.

### 10.8. ПЛАНИРОВАНИЕ ЭКСПЕРИМЕНТА ПО РАСРЕДЕНИЮ ДИНАМИЧЕСКИХ ХАРАКТЕРИСТИК ОБЪЕКТОВ

Анализ функционирования объектов во времени требует изучения их динамических свойств, что становится особенно важным при разработке систем автоматического управления. Задачей эксперимента в этом случае является получение математической модели динамической системы (динамической модели), которая строится по результатам наблюдений за входными и выходными сигналами. Процедуру такого построения называют идентификацией динамических объектов.

В принципе идентификация возможна на основе пассивного или активного эксперимента. Активная идентификация предполагает, что экспериментатор задает определенные начальные условия или подает на вход специальный управляющий (тестирующий или пробный) сигнал.

В общем случае объекты описываются нелинейными дифференциальными или интегральными уравнениями. Однако в окрестностях рабочих режимов во многих случаях возможна линеаризация. В дальнейшем будем рассматриваться именно такие линейные объекты, для которых достаточно хорошо разработаны методы идентификации. Для простоты рассмотрим одномерный объект, т. е. объект, имеющий один вход и один выход. Обозначим входную переменную  $x(t)$ , а выходную  $y(t)$ . Эти переменные связаны некоторым дифференциальным уравнением. Точно определить это уравнение по экспериментальным данным оказывается возможным лишь в простейших случаях. Кроме того, использование дифференциальных уравнений не всегда целесообразно



но, так как существуют другие динамические характеристики, более удобные для анализа и синтеза систем автоматического управления, такие как передаточная функция, частотные характеристики, импульсная характеристика и переходная функция.

Непосредственное отыскание передаточной функции в виде отношения преобразований Лапласа выходных и входных сигналов объекта оказывается практически неосуществимым.

Импульсная характеристика и переходная функция могут быть получены экспериментально как реакция объекта на воздействие в виде  $\delta$ -функции и единичного скачка соответственно.

Экспериментальное определение частотных характеристик можно выполнить путем подачи на вход объекта гармонического воздействия определенной амплитуды и частоты и измерения амплитуды и фазы выходного сигнала.

При постановке задачи идентификации динамического объекта необходимо учитывать форму и интенсивность допустимых воздействий, уровень шумов выходного сигнала объекта, параметры технических средств, имеющихся в распоряжении исследователей, допустимые продолжительность и стоимость эксперимента, требуемую точность идентификации.

Если в объекте отсутствуют или малы по сравнению с полезными сигналами случайные возмущения, то наиболее эффективны детерминированные методы идентификации, связанные с подачей на вход объекта детерминированных сигналов. В тех случаях, когда допускается применение скачкообразных входных сигналов, наблюдаемые переходные функции позволяют описать динамические свойства объекта. При проведении подобных исследований для записи выходного сигнала применяются типовые регистрирующие приборы.

При экспериментальном построении частотных характеристик проводятся многократные опыты на разных частотах. Из-за этого продолжительность исследований здесь оказывается намного большей, чем при получении переходных функций. Кроме того, возможно возникновение практических трудностей, связанных с генерацией инфранизких частот, необходимых для исследования объектов с большой инерционностью.

Для большинства сложных объектов (например, промышленных объектов) характерно наличие интенсивных случайных возмущений. В этом случае применяются статистические методы идентификации динамических характеристик.

Статистическая обработка сигналов при расчете частотных характеристик выполняется сравнительно просто, так как в установившемся режиме форма сигнала на выходе (синусоидальная) априори известна, и задача сводится к оценке параметров (амплитуды и фазы) этого сигнала. Недостатками подобного метода идентификации являются

большая его продолжительность и необходимость аппроксимации частотных характеристик на базе полученных точек.

В последнее время большое распространение при идентификации динамических характеристик нашли корреляционные методы, предназначенные для определения импульсных характеристик.

Импульсная характеристика  $g(t)$  стационарного линейного объекта при условии некоррелированности внутренних возмущений с входным сигналом определяется интегральным уравнением Винера — Хопфа

$$K_{xy}(\tau) = \int_0^{\infty} K_{xx}(t - \tau) g(t) dt, \quad (10.40)$$

где  $K_{xx}(\tau)$  — корреляционная функция входного сигнала  $x(t)$ ;  $K_{xy}(\tau)$  — взаимная корреляционная функция входного и выходного сигналов.

Таким образом, необходимо экспериментально найти  $K_{xy}(\tau)$ ,  $K_{xx}(\tau)$  (если она не известна) и вычислить  $g(t)$  путем решения уравнения (10.40).

Применение указанного метода упрощается в том случае, когда на вход объекта подается случайный сигнал типа белого шума. Тогда  $K_{xx}(\tau) = \delta(\tau)$ , а уравнение Винера — Хопфа примет вид

$$K_{xy}(\tau) = \int_0^{\infty} \delta(t - \tau) g(t) dt = g(\tau). \quad (10.41)$$

Однако следует учитывать, что практически невозможно создать сигнал типа белого шума, и приходится использовать реальные сигналы, приближающиеся по свойствам к белому шуму.

К сожалению, непосредственное отыскание функции  $g(t)$  с помощью уравнения (10.40) является некорректно поставленной задачей. Это означает, что малые погрешности в определении корреляционных функций  $K_{xx}(\tau)$  и  $K_{xy}(\tau)$  приводят к сколь угодно большим погрешностям в оценке  $g(t)$ . Для устранения этого недостатка используются методы регуляризации [22].

Описанный метод определения импульсной характеристики является непараметрическим, так как неизвестны не только параметры, но и вид искомой функции  $g(t)$ . Во многих случаях практики более перспективным является параметрический метод, основанный на разложении функции  $g(t)$  в ряд по системе известных ортогональных функций:

$$g(t) = \sum_{i=0}^N c_i \varphi_i(t), \quad (10.42)$$

где  $\varphi_i(t)$  — некоторые известные функции (базисная система функций);  $c_i$  — коэффициенты разложения.

В данном случае целью эксперимента становится определение неизвестных коэффициентов разложения  $c_i$ . Выходной сигнал при использовании модели (10.42) запишется в виде

$$y_M(t) = \int_0^{\infty} x(t-\tau) \sum_{i=0}^N c_i \varphi_i(\tau) d\tau. \quad (10.43)$$

Для получения оценок коэффициентов  $c_i$  воспользуемся критерием минимума средней квадратической погрешности  $\varepsilon^2$ :

$$\varepsilon^2 = M \{[y(t) - y_M(t)]^2\} = M \left\{ \left[ y(t) - \int_0^{\infty} x(t-\tau) \sum_{i=0}^N c_i \varphi_i(\tau) d\tau \right]^2 \right\}. \quad (10.44)$$

При этом  $\varepsilon^2$  есть функция вектора коэффициентов  $c$ , компонентами которого являются  $c_0, c_1, \dots, c_N$ . Введем обозначения

$$c = \{c_0, c_1, c_2, \dots, c_N\};$$

$$z_i(t) = \int_0^{\infty} \varphi_i(\tau) x(t-\tau) d\tau. \quad (10.45)$$

Функции  $z_i(t)$  называют выходными реакциями фильтров с импульсными характеристиками  $\varphi_i(t)$  на входной сигнал  $x(t)$ . С учетом обозначений (10.45) запишем (10.44) в следующем виде:

$$\varepsilon^2 = M \left\{ \left[ y(t) - \sum_{i=0}^N c_i z_i(t) \right]^2 \right\}. \quad (10.46)$$

Вектор  $c$ , минимизирующий величину  $\varepsilon^2$ , найдем из  $N+1$  уравнений

$$\partial \varepsilon^2 / \partial c_j = 0, \quad j = 0, 1, \dots, N. \quad (10.47)$$

Продифференцировав (10.46) по  $c_j$  и подставив результат в (10.47), получим систему уравнений для определения оценок  $\hat{c}_i$  коэффициентов  $c_i$ :

$$M \left\{ \left[ y(t) - \sum_{i=0}^N \hat{c}_i z_i(t) \right] z_j(t) \right\} = 0, \quad j = 0, 1, \dots, N \quad (10.48)$$

или

$$M \{y(t) z_j(t)\} = \sum_{i=0}^N \hat{c}_i M \{z_i(t) z_j(t)\}, \quad j = 0, 1, \dots, N. \quad (10.49)$$

Числа  $M\{y(t)z_j(t)\}$  и  $M\{z_i(t)z_j(t)\}$  представляют собой начальные значения взаимных корреляционных функций сигналов  $y(t)$  и  $z_j(t)$  или  $z_i(t)$  и  $z_j(t)$  соответственно. Введем обозначения

$$K_{yj} = M \{y(t) z_j(t)\}; \quad K_{ij} = M \{z_i(t) z_j(t)\}. \quad (10.50)$$

Тогда (10.49) можно записать в виде

$$K_{yj} = \sum_{i=0}^N c_i \wedge K_{ij}, \quad j = 0, 1, \dots, N. \quad (10.51)$$

Достаточное условие существования решения системы уравнений (10.51) имеет вид:

$$K_{ij} = \begin{cases} K, & \text{если } i = j; \\ 0, & \text{если } i \neq j, \end{cases} \quad (10.52)$$

т. е. матрица  $K_{ij}$  должна быть диагональной.

При выборе базисной системы функций  $\varphi_i(t)$  необходимо учитывать, что с вычислительной точки зрения удобно пользоваться системой ортогональных функций. Условие ортогональности функций  $\varphi_i(t)$  имеет вид:

$$\int_0^{\infty} \varphi_i(t) \varphi_j(t) dt = \begin{cases} A, & \text{если } i = j; \\ 0, & \text{если } i \neq j. \end{cases} \quad (10.53)$$

При ортогональной базисной системе функций ортогональность выходных сигналов  $z_i(t)$  фильтров, а следовательно, выполнение условий (10.52) обеспечиваются в том случае, когда спектральная плотность входного сигнала  $x(t)$  постоянна, т. е. используется входной сигнал типа белого шума.

Известно немало систем ортогональных функций. Поэтому при выборе конкретной базисной системы учитывается прежде всего сложность практической реализации фильтров. Наиболее часто используется система ортогональных функций Лагерра, так как фильтры с импульсными характеристиками  $\varphi_i(t)$  в этом случае имеют каноническую структуру (строятся путем соединения однотипных элементарных ячеек), а элементарная ячейка такого фильтра представляет собой простейшее звено с передаточной функцией первого порядка вида  $(p-\alpha)/(p+\alpha)$ .

Как было показано выше, важным вопросом при планировании активного эксперимента с целью идентификации динамических характеристик объектов является выбор входного (зондирующего) сигнала.

В данном параграфе были кратко рассмотрены статистические методы идентификации импульсных характеристик линейных объектов. Следует отметить, что разработаны также статистические методы идентификации частотных характеристик и передаточных функций объектов. Существенно более сложную задачу представляет собой планирование эксперимента при идентификации динамических характеристик нелинейных объектов, а также объектов, описываемых пространственно-временными моделями.

Таблица П.1. Процентные

k	Значения $t_{\alpha}$ , удовлетворяющие равенству						
	0,45	0,4	0,35	0,3	0,25	0,2	
1	0,158	0,325	0,510	0,727	1,000	1,376	
2	142	289	445	617	0,816	1,061	
3	137	277	424	584	765	0,978	
4	134	271	414	569	741	941	
5	132	267	408	559	727	920	
6	131	265	404	553	718	906	
7	130	263	402	549	711	896	
8	130	262	399	546	706	889	
9	129	261	398	543	703	883	
10	129	260	397	542	700	879	
12	128	259	395	539	695	873	
14	128	258	393	537	692	868	
16	128	258	392	535	690	865	
18	127	257	392	534	688	862	
20	127	257	391	533	687	860	
25	127	256	390	531	684	856	
30	126	256	389	530	683	854	
60	126	254	387	527	679	848	
$\infty$	126	253	385	524	674	842	

Таблица П.2 Процентные точки

k	Значения $\chi^2_{\alpha}$ , удовлетворяющие равенству									
	0,999	0,995	0,99	0,98	0,975	0,95	0,90	0,80	0,75	0,70
1	0,00002	0,00004	0,00016	0,00063	0,00098	0,00393	0,0158	0,0642	0,102	0,148
2	0,00200	0,0100	0,0201	0,0404	0,0506	0,103	0,211	0,446	0,575	0,713
3	0,0243	0,0717	0,115	0,185	0,216	0,352	0,584	1,005	1,213	1,424
4	0,0908	0,207	0,297	0,429	0,484	0,711	1,064	1,649	1,923	2,195
5	0,210	0,412	0,554	0,752	0,831	1,145	1,610	2,343	2,675	3,000
6	0,381	0,676	0,872	1,134	1,237	1,635	2,204	3,070	3,455	3,828
7	0,598	0,989	1,239	1,564	1,690	2,167	2,833	3,822	4,255	4,671
8	0,857	1,344	1,646	2,032	2,180	2,733	3,490	4,594	5,071	5,527
9	1,152	1,735	2,088	2,532	2,700	3,325	4,168	5,380	6,899	6,393
10	1,479	2,156	2,558	3,059	3,247	3,940	4,865	6,179	6,737	7,267
11	1,834	2,603	3,053	3,609	3,816	4,575	5,578	6,989	7,584	8,148
12	2,214	3,074	3,571	4,178	4,404	5,226	6,304	7,807	8,438	9,034
13	2,617	3,565	4,107	4,765	5,009	5,892	7,042	8,634	9,299	9,926
14	3,041	4,075	4,660	5,368	5,629	6,571	7,790	9,467	10,165	10,821
15	3,483	4,601	5,229	5,985	6,262	7,261	8,547	10,307	11,036	11,721
16	3,942	5,142	5,812	6,614	6,908	7,962	9,312	11,152	11,912	12,624
17	4,416	5,697	6,408	7,255	7,564	8,672	10,085	12,002	12,792	13,531
18	4,905	6,265	7,015	7,906	8,231	9,390	10,865	12,857	13,675	14,440

точки распределения Стьюдента

$$\int_{t_{\alpha}}^{\infty} f_{n-1}(t) dt = \alpha \text{ при различных значениях } \alpha$$

0,15	0,1	0,05	0,025	0,01	0,005	0,0005
1,963	3,078	6,314	12,706	31,821	63,657	636,619
1,356	1,886	2,920	4,303	6,965	9,965	31,598
1,250	1,638	2,353	3,181	4,541	5,841	12,941
1,190	1,533	2,132	2,776	3,747	4,604	8,610
1,156	1,476	2,015	2,571	3,365	4,032	6,869
1,134	1,440	1,943	2,447	3,143	3,707	5,959
1,119	1,415	1,895	2,365	2,998	3,499	5,405
1,108	1,397	1 860	2,306	2,896	3,355	5,041
1,100	1,383	1,833	2,262	2,821	3,250	4,781
1,093	1,372	1,812	2,228	2,764	3,169	4,587
1,083	1,356	1,782	2,179	2,681	3,055	4,318
1,076	1,345	1,761	2,145	2,624	2,977	4,140
1,071	1,337	1,746	2,120	2,583	2,921	4,015
1,067	1,330	1,734	2,101	2,552	2,878	3,922
1,064	1,325	1,725	2,086	2,528	2,845	3,850
1,058	1,316	1,708	2,060	2,485	2,787	3,725
1,055	1,310	1,697	2,042	2,457	2,750	3,646
1,046	1,296	1,671	2,000	2,390	2,660	3,460
1,036	1,282	1,645	1,960	2,326	2,576	3,291

хи-квадрата распределения

$$\alpha = \int_{\chi_{\alpha}^2}^{+\infty} f_{n-1}(u) du \text{ при различных значениях } \alpha$$

	0,50	0,30	0,25	0,20	0,10	0,05	0,025	0,02	0,01	0,005	0,001
0,455	1,074	1,323	1,642	2,706	3,841	5,024	5,412	6,635	7,879	10,827	
1,386	2,408	2,773	3,219	4,605	5,991	7,378	7,824	9,210	10,597	13,815	
2,366	3,665	4,108	4,642	6,251	7,815	9,348	9,837	11,345	12,838	16,268	
3,357	4,878	5,385	5,989	7,779	9,488	11,143	11,668	13,277	14,860	18,465	
4,351	6,064	6,626	7,289	9,236	11,070	12,832	13,388	15,086	16,750	20,517	
5,348	7,231	7,841	8,558	10,645	12,592	14,449	15,033	16,812	18,548	22,457	
6,346	8,383	9,037	9,803	12,017	14,067	16,013	16,622	18,475	20,278	24,322	
7,344	9,524	10,219	11,030	13,362	15,507	17,535	18,168	20,090	21,955	26,125	
8,343	10,656	11,389	12,242	14,684	16,919	19,023	19,679	21,666	23,589	27,877	
9,342	11,781	12,549	13,442	15,987	18,307	20,483	21,161	23,209	25,188	29,588	
10,341	12,899	13,701	14,631	17,275	19,675	21,920	22,618	24,725	26,757	31,264	
11,340	14,011	14,845	15,812	18,549	21,026	23,337	24,054	26,217	28,300	32,909	
12,340	15,119	15,984	16,985	19,812	22,362	24,736	25,472	26,688	29,819	34,528	
13,339	16,222	17,117	18,151	21,064	23,685	26,119	26,873	29,141	31,319	36,123	
14,339	17,322	18,245	19,311	22,307	24,996	27,488	28,259	30,578	32,801	37,697	
15,338	18,418	19,369	20,465	23,542	26,296	28,845	29,633	32,000	34,267	39,252	
16,338	19,511	20,489	21,615	24,769	27,587	30,191	30,995	33,409	35,718	40,790	
17,338	20,601	21,605	22,760	25,989	28,869	31,526	32,346	34,805	37,156	42,312	

k	Значения $\chi^2_{\alpha}$ , удовлетворяющие равенству									
	0,999	0,995	0,99	0,98	0,975	0,95	0,90	0,80	0,75	0,70
19	5,407	6,844	7,633	8,567	8,907	10,117	11,651	13,716	14,562	15,352
20	5,921	7,434	8,260	9,237	9,591	10,851	12,443	14,578	15,452	16,266
21	6,447	8,034	8,897	9,915	10,283	11,591	13,240	15,445	16,344	17,182
22	6,983	8,643	9,542	10,600	10,982	12,338	14,041	16,314	17,240	18,101
23	7,529	9,260	10,196	11,293	11,688	13,091	14,848	17,187	18,137	19,021
24	8,085	9,886	10,856	11,992	12,401	13,848	15,659	18,062	19,037	19,943
25	8,649	10,520	11,524	12,697	13,120	14,611	16,473	18,940	19,939	20,867
26	9,222	11,160	12,198	13,409	13,844	15,379	17,292	19,820	20,843	21,792
27	9,803	11,808	12,879	14,125	14,573	16,151	18,114	20,703	21,749	22,719
28	10,391	12,461	13,565	14,847	15,308	16,928	18,939	21,588	22,657	23,647
29	10,986	13,121	14,256	15,574	16,047	17,708	19,768	22,475	23,567	24,577
30	11,588	13,787	14,953	16,306	16,791	18,493	20,599	23,364	24,478	25,508

Примечание. При  $n \gg 1$   $\chi^2_{\alpha} \approx (x_{\alpha} \pm \sqrt{2n-1})^2/2$ , где  $x_{\alpha} -$

Таблица П.3. Процентные точки  $v$ -распределения  $v = \max |x_i - \bar{x}|^{\wedge} \sigma$

Число наблюдений	Процентные точки $v$ -распределения при различных уровнях значимости $\alpha$ , %				
	0,1	0,5	1	5	10
3	1,414	1,414	1,414	1,414	1,412
4	1,732	1,730	1,728	1,710	1,689
5	1,994	1,982	1,972	1,917	1,869
6	2,212	2,183	2,161	2,067	1,996
7	2,395	2,344	2,310	2,182	2,093
8	2,547	2,476	2,431	2,273	2,172
9	2,677	2,586	2,532	2,349	2,238
10	2,788	2,680	2,616	2,414	2,294
11	2,884	2,760	2,689	2,470	2,343
12	2,969	2,830	2,753	2,519	2,387
13	3,044	2,892	2,809	2,563	2,426
14	3,111	2,947	2,859	2,602	2,461
15	3,171	2,997	2,905	2,638	2,494
16	3,225	3,042	2,946	2,670	2,523
17	3,274	3,083	2,983	2,701	2,551
18	3,320	3,120	3,017	2,728	2,577
19	3,361	3,155	3,049	2,754	2,601
20	3,400	3,187	3,079	2,779	2,623
21	3,436	3,217	3,106	2,801	2,644
22	3,469	3,245	3,132	2,823	2,664
23	3,500	3,271	3,156	2,843	2,683
24	3,529	3,295	3,179	2,862	2,701

Продолжение табл. П.2

$$\alpha = \frac{\int_{-\infty}^{+\infty} f_{n-1}(u) du}{\chi^2_{\alpha}}$$

при различных значениях  $\alpha$

	0,50	0,30	0,25	0,20	0,10	0,05	0,025	0,02	0,01	0,005	0,001
18,338	21,689	22,718	23,900	27,204	30,144	32,852	33,687	36,191	38,582	43,820	
19,337	22,775	23,828	25,038	28,412	31,410	34,170	35,020	37,566	39,997	45,315	
20,337	23,858	24,935	26,171	29,615	32,671	35,479	36,343	38,932	41,401	46,797	
21,337	24,939	26,039	27,301	30,813	33,924	36,781	37,659	40,289	42,796	48,268	
22,337	26,018	27,141	28,429	32,007	35,172	38,076	38,968	41,638	44,181	49,728	
23,337	27,096	28,241	29,553	33,196	36,415	39,364	40,270	42,980	45,558	51,179	
24,337	28,172	29,339	30,675	34,382	37,652	40,646	41,566	44,314	46,928	52,620	
25,336	29,246	30,434	31,795	35,563	38,885	41,923	42,856	45,642	48,290	54,052	
26,336	30,319	31,528	32,912	36,741	40,113	43,194	44,140	46,963	49,645	55,476	
27,336	31,391	32,620	34,027	37,916	41,337	44,461	45,419	48,278	50,993	56,893	
28,336	32,461	33,711	35,139	39,087	42,557	45,722	46,693	49,588	52,336	58,302	
29,336	33,530	34,800	36,250	40,256	43,773	46,979	47,962	50,892	53,672	59,703	

процентная точка нормального распределения.

Продолжение табл. П.3

Число наблюдений	Процентные точки $\nu$ -распределения при различных уровнях значимости $\alpha$ , %				
	0,1	0,5	1	5	10
25	3,556	3,318	3,200	2,880	2,718
26	3,582	3,340	3,220	2,897	2,734
27	3,606	3,360	3,239	2,913	2,749
28	3,629	3,380	3,258	2,929	2,764
29	3,651	3,399	3,275	2,944	2,778
30	3,672	3,416	3,291	2,958	2,792
31	3,692	3,433	3,307	2,972	2,805
32	3,711	3,449	3,322	2,985	2,818
33	3,729	3,465	3,337	2,998	2,830
34	3,746	3,480	3,351	3,010	2,842
35	3,762	3,494	3,364	3,022	2,853
36	3,778	3,507	3,377	3,033	2,864
37	3,793	3,521	3,389	3,044	2,874
38	3,808	3,533	3,401	3,055	2,885
39	3,822	3,545	3,413	3,065	2,894
40	3,835	3,557	3,424	3,075	2,904
41	3,848	3,568	3,435	3,084	2,913
42	3,861	3,579	3,445	3,094	2,922
43	3,873	3,590	3,455	3,103	2,931
44	3,885	3,600	3,465	3,112	2,940



Продолжение табл. П.3

Число наблюдений	Процентные точки $\nu$ -распределения при различных уровнях значимости $\alpha$ , %				
	0,1	0,5	1	5	10
45	3,896	3,610	3,474	3,120	2,948
46	3,907	3,620	3,483	3,129	2,956
47	3,918	3,630	3,492	3,137	2,964
48	3,928	3,639	3,501	3,145	2,972
49	3,938	3,648	3,510	3,152	2,980
50	3,948	3,656	3,518	3,160	2,987
51	3,957	3,665	3,526	3,167	2,994
52	3,966	3,673	3,534	3,175	3,001

## СПИСОК ЛИТЕРАТУРЫ

1. Агейкин Д. И., Костина Е. Н., Кузнецова Н. Н. Датчики контроля и регулирования (справочные материалы).—М.: Машиностроение, 1965.—928 с.
2. Адлер Ю. П., Маркова Е. В., Грановский Ю. В. Планирование эксперимента при поиске оптимальных условий.—М.: Наука, 1976. — 279 с.
3. Аналоговые электроизмерительные приборы/Под ред. А. А. Преображенского. — М.: Высшая школа, 1979. — 351 с.
4. Артвик Б. А. Сопряжение микро-ЭВМ с внешними устройствами.—М.: Машиностроение, 1983.—352 с.
5. Электроизмерительные самопишущие приборы /М. Г. Бердичевский, В. А. Иванцов, Б. А. Лапин и др.—Л.: Энергоиздат, Ленингр. отделение, 1981.—158 с.
6. Вострокнутов Н. Г., Евтихий Н. Н. Информационно-измерительная техника (теоретические основы).—М.: Высшая школа, 1977.—232 с.
7. Гитис Э. И. Преобразователи информации для электронных цифровых вычислительных устройств.—М.: Энергия, 1975.—447 с.
8. Долинский Е. Ф. Обработка результатов измерений.—М.: Изд-во стандартов, 1973.—191 с.
9. Игнатов В. А. Теория информации и передача сигналов. —М.: Советское радио, 1979.—278 с.
10. Кавалеров Г. И., Мандельштам С. М. Введение в информационную теорию измерений.—М.: Энергия, 1974.—375 с.
11. Куликовский Л. Ф., Морозов В. К. Основы информационной техники.—М.: Высшая школа, 1977.—360 с.
12. Левшина Е. С., Новицкий П. В. Электрические измерения физических величин (измерительные преобразователи).—Л.: Энергоатомиздат, Ленингр. отделение, 1983.—320 с.
13. Малиновский В. Н. Цифровые измерительные мосты. — М.: Энергия, 1976.—193 с.
14. Мартыненко Н. В., Шкабардия М. С. Самопишущие электроизмерительные приборы. — М.: Энергия, 1979.—128 с.
15. Мартяшин А. И., Шахов Э. К., Шлядин В. М. Преобразователи электрических параметров для систем контроля и измерения.—М.: Энергия, 1976.—391 с.
16. Новоселов О. Н., Фомин А. Ф. Основы теории и расчета информационно-измерительных систем.—М.: Машиностроение, 1980.—280 с.
17. Орнатский П. П. Теоретические основы информационно-измерительной техники.—Киев: Вища школа, 1983.—455 с.
18. Орнатский П. П. Автоматические измерения и приборы аналоговые и цифровые. — Киев: Вища школа, 1980. — 558 с.

19. Рабинович С. Г. Погрешности измерений. — Л.: Энергия, 1978.— 261 с.
20. Сена Л. А. Единицы физических величин и их размерности. — М.: Наука, 1977.—335 с.
21. Темников Ф. Е., Афонин В. А., Дмитриев В. И. Теоретические основы информационной техники.—М.: Энергия, 1979.—512 с.
22. Планирование эксперимента в исследовании технологических процессов /К. Хартман, Э. Лецкий, В. Шефер и др.—М.: Мир, 1977.— 552 с.
23. Цапенко М. П. Измерительные информационные системы. Принципы построения.—М.: Энергия, 1974.—319 с.
24. Швецкий Б. И. Электронные цифровые приборы.—Киев: Техніка, 1981.—247 с.
25. Шляндин В. М. Цифровые измерительные приборы и преобразователи. — М.: Высшая школа, 1973.—280 с.
26. Электрические измерения неэлектрических величин /Под ред. П. В. Новицкого. 5-е изд., перераб. и доп.—Л.: Энергия, Ленингр. отделение, 1975.—576 с.
27. В. И. Гореликов, А. Н. Домарацкий, Л. С. Ситников. Интерфейс для программируемых приборов в системах автоматизации эксперимента.—М.: Наука, 1981.—262 с.

## АЛФАВИТНЫЙ УКАЗАТЕЛЬ

- Анализатор спектра 185  
Аналоговое запоминающее устройство 218  
Аналого-цифровой преобразователь 191  
Аналоговый измерительный прибор 14, 140  
— — — прямого преобразования 140, 162  
— — — сравнения 141, 164  
Генератор измерительный 188  
Градиентный метод поиска 427  
Градуировочная характеристика 15  
Датчик 9  
Демодуляция 97, 103, 112  
Диапазон измерений 17  
Динамические характеристики 16, 143  
Дискретизация 92, 113, 115  
— адаптивная 123  
Доверительный интервал 50, 56  
Единица измерения 8, 10  
Значение физической величины 9  
— — — действительное 9  
— — — истинное 9  
Идентификация 432  
Измерение 7, 9  
Измерения косвенные 29, 61  
— прямые 28, 52  
— совместные 29, 64  
— совокупные 29  
Измеритель нелинейных искажений 187  
Измерительный механизм 153  
— — магнитоэлектрический 153  
— — ферродинамический 156  
— — электродинамический 154  
— — электромагнитный 157  
— — электростатический 158  
— преобразователь 13  
— прибор 14  
— — прямого действия 33  
— — сравнения 33  
— — трансформатор 146  
Интервал варьирования 407  
Интерполяционная формула Лагранжа 120  
— — Ньютона 121  
Информационно-измерительная система 15, 231  
— — — многоточечная 266  
— — — мультиплицированная 271  
— — — сканирующая 258  
Квантование 92, 113  
Класс точности 42  
Код 127  
— блочный 130  
— Грея 133  
— двоично-десятичный 131  
— двоичный 128, 129  
— единичный 128  
— избыточность 131  
— кратность ошибки 136  
— неравномерный 134  
— основание 130  
— отраженный 133  
— префиксный 135  
— с проверкой на четность 137  
— циклический 130  
— Шеннона — Фэнно 134  
— Хэмминга 138  
Кодирование 92, 113  
Кодовое расстояние 131, 136  
Количество информации 18  
Коммутатор 248  
— бесконтактный 252  
— контактный 251  
— матричный 257  
— многоступенчатый 255  
— пирамидальный 257  
— программируемый 255  
— системный 252  
Компенсатор 166  
— автоматический 170  
— переменного тока 168

- постоянного тока 166
- Коррекция погрешностей 38, 78—90, 352—354, 356, 372—375
- Корреляционный метод измерений 381
- Лазерный интерферометр 369
- Логгер 227
- Масштабирование 245
- Мера 12
- Метод измерений 30
  - дифференциальный 31
  - замещения 32
  - непосредственной оценки 30
  - нулевой 32
  - противопоставления 31
  - совпадений 33
  - сравнения 30
- Модуляция 91, 94
  - амплитудная 94—100
  - импульсная 107
  - фазовая 94, 101
  - частотная 94, 101—107
- Момент вращающий 153, 155—159
- Мост 168
  - автоматический 171
  - переменного тока 168
  - постоянного тока 169
  - цифровой 222
- Надежность 17
- Нормальные уравнения 67
- Нормальный элемент 22
- Округление результатов 51
- Оптоэлектрический преобразователь 368
- Осциллограф светолучевой 160, 175
  - цифровой 229
  - электронно-лучевой 178
- Пирометр 357—361
- Поверка средств измерений 25
- Поверхность отклика 369, 426
- Погрешность 15
  - абсолютная 35, 39
  - аддитивная 41
  - грубая 39
  - дополнительная 36
  - инструментальная 36
  - квантования 114
  - методическая 36
  - мультипликативная 41
  - нелинейности 41
  - основная 36
  - относительная 35
  - приведенная 40
  - систематическая 37
  - случайная 38
  - субъективная 36
- Помехоустойчивость 100, 104—107, 112, 196, 197, 208, 210
- Предел измерения 17
- Преобразователь гальванический 349
  - генераторный 330, 345
  - дифференциальный 330
  - емкостный 340, 370
  - излучений 343, 378
  - индуктивный 336, 365, 372
  - индукционный 346, 379, 380, 388
  - код — напряжение 212
  - кондуктометрический 341
  - параметрический 330
  - пьезоэлектрический 345
  - расхода 384—391
  - реостатный 331
  - скорости 379
  - температурный 332, 363
  - термоэлектрический 347, 355
  - трансформаторный 338—340
  - уровня 370
  - ускорения 382—384
- Рандомизация 421
- Регрессионная зависимость 398
- Самopiшущий прибор 160
  - автоматический 172
  - графический 173
  - прямого преобразования 162
  - уравнивающего преобразования 164
- Синхронный детектор 100
- Система единиц 11
- Спектр сигнала 96, 102, 103, 109
- Степень успокоения 144
- Тензорезистор 332
- Термистор 335
- Термометр акустический 362
  - шумовой 361
  - ядерного квадрупольного резонанса 362
  - магнитного резонанса 362
- Термопара 347, 363
- Термопреобразователь кварцевый 357
  - сопротивления 333, 352, 391
- Тестовый метод 86—90, 352—355, 372—374
- Точность 15
- Унифицирующий преобразователь групповой 244
  - индивидуальный 243, 247

— — многоканальный 244  
Уровень значимости 75  
Усилитель 148  
— операционный 151  
— переменного тока 149  
— постоянного тока 150  
Фактор 369, 403  
Физическая величина 7  
Функция отклика 396  
— передаточная 143  
— переходная 143  
— правдоподобия 50, 53, 66, 72  
— преобразования 16

Цифро-аналоговый преобразова-  
тель 199  
Чувствительность 16  
Шкала натуральная (реперная) 9  
— функциональная 10  
Шунт 145  
Электронный вольтметр 183  
Энтропийное значение погрешно-  
сти 19  
Энтропийный коэффициент 19  
Энтропия 18  
Эталон 21, 22, 26  
Эффект взаимодействия 406, 413  
— Доплера 382

## ОГЛАВЛЕНИЕ

Предисловие . . . . .	3
<b>Глава первая. Основные понятия и определения в информационно-измерительной технике . . . . .</b>	<b>7</b>
1.1. Измерения и физические величины . . . . .	7
1.2. Средства измерений и их основные характеристики . . . . .	12
1.3. Меры физических величин . . . . .	21
1.4. Государственная система обеспечения единства измерений . . . . .	25
1.5. Классификация измерений . . . . .	28
<b>Глава вторая. Погрешности и обработка результатов измерений . . . . .</b>	<b>34</b>
2.1. Классификация погрешностей измерений . . . . .	34
2.2. Погрешности средств измерений и их нормирование . . . . .	39
2.3. Постановка задачи обработки результатов измерений . . . . .	47
2.4. Обработка результатов прямых измерений . . . . .	52
2.5. Обработка результатов косвенных измерений . . . . .	61
2.6. Обработка результатов совместных измерений . . . . .	64
2.7. Обработка результатов неравноточных измерений . . . . .	71
2.8. Проверка гипотез . . . . .	74
2.9. Методы уменьшения погрешностей измерений . . . . .	78
<b>Глава третья. Передача измерительной информации . . . . .</b>	<b>91</b>
3.1. Основные принципы передачи измерительной информации . . . . .	91
3.2. Модуляция гармонических сигналов . . . . .	94
3.3. Импульсная модуляция . . . . .	107
3.4. Дискретизация непрерывных величин по уровню . . . . .	113
3.5. Дискретизация по времени и восстановление непрерывных функций . . . . .	115
3.6. Кодирование измерительной информации . . . . .	127
<b>Глава четвертая. Аналоговые измерительные приборы . . . . .</b>	<b>140</b>
4.1. Общие сведения . . . . .	140
4.2. Масштабные преобразователи . . . . .	145
4.3. Измерительные механизмы приборов и их применение . . . . .	153
4.4. Аналоговые регистрирующие приборы . . . . .	160
4.5. Электронные измерительные приборы . . . . .	177
<b>Глава пятая. Цифровые измерительные приборы . . . . .</b>	<b>189</b>
5.1. Общие сведения . . . . .	189
5.2. Цифровые измерительные приборы для измерения временных параметров . . . . .	197

5.3. Цифровые измерительные приборы для измерения постоянных напряжений и токов . . . . .	203
5.4. Цифровые измерительные приборы для измерения переменных напряжений и токов . . . . .	216
5.5. Цифровые измерительные приборы для измерения параметров электрических цепей . . . . .	219
5.6. Цифровые измерительные приборы пространственного преобразования . . . . .	223
5.7. Цифровые измерительные приборы с микропроцессорами . . . . .	225
5.8. Цифровые осциллографы . . . . .	229
<b>Глава шестая. Информационно-измерительные системы . . . . .</b>	<b>231</b>
6.1. Общие сведения . . . . .	231
6.2. Информационная модель . . . . .	235
6.3. Унифицирующие измерительные преобразователи . . . . .	241
6.4. Измерительные коммутаторы . . . . .	248
6.5. Сканирующие ИИС . . . . .	258
6.6. Многоточечные ИИС . . . . .	266
6.7. Мультиплицированные ИИС . . . . .	271
6.8. ИИС параллельного действия . . . . .	275
<b>Глава седьмая. Государственная система промышленных приборов и средств автоматизации . . . . .</b>	<b>279</b>
7.1. Назначение и принципы построения . . . . .	279
7.2. Агрегатированный комплекс средств вычислительной техники . . . . .	288
7.3. Агрегатированный комплекс средств электроизмерительной техники . . . . .	293
<b>Глава восьмая. Стандартные цифровые интерфейсы и измерительно-вычислительные комплексы . . . . .</b>	<b>298</b>
8.1. Общая характеристика интерфейсов . . . . .	298
8.2. Интерфейс «Общая шина» . . . . .	307
8.3. Интерфейс КАМАК . . . . .	312
8.4. Приборный интерфейс . . . . .	318
8.5. Измерительно-вычислительные комплексы . . . . .	321
<b>Глава девятая. Измерения физических величин . . . . .</b>	<b>328</b>
9.1. Роль электрических измерений физических величин . . . . .	328
9.2. Параметрические измерительные преобразователи неэлектрических величин . . . . .	330
9.3. Генераторные преобразователи неэлектрических величин . . . . .	345
9.4. Измерение температуры . . . . .	351
9.5. Измерение перемещений . . . . .	362
9.6. Измерение давлений, сил и крутящих моментов . . . . .	375
9.7. Измерение скоростей и ускорений . . . . .	379
9.8. Измерение расхода . . . . .	384
<b>Глава десятая. Планирование эксперимента . . . . .</b>	<b>391</b>
10.1. Постановка задачи планирования эксперимента и основные определения . . . . .	391
10.2. Пассивные эксперименты . . . . .	397
10.3. Активный эксперимент . . . . .	402
10.4. Полный факторный эксперимент . . . . .	409



10.5. Дробный факторный эксперимент . . . . .	415
10.6. Проведение факторного эксперимента и обработка результатов . . . . .	419
10.7. Планирование эксперимента при поиске оптимальных условий . . . . .	426
10.8. Планирование эксперимента по определению динамических характеристик объектов . . . . .	431
Приложение . . . . .	436
Список литературы . . . . .	441
Алфавитный указатель . . . . .	443

## **УЧЕБНОЕ ПОСОБИЕ**

**Константин Лонгинович Куликовский**  
**Виталий Яковлевич Купер**

### **МЕТОДЫ И СРЕДСТВА ИЗМЕРЕНИЙ**

**Редактор В. П. Федотов**  
**Редактор издательства А. Н. Гусяцкая**  
**Художественные редакторы**  
**Т. А. Дворецкова, О. П. Тинякова**  
**Технический редактор Г. С. Соловьева**  
**Корректор Г. А. Полонская**  
**ИБ № 155**

Сдано в набор 14.04.86 Подписано в печать 08.08.86 Т-16813 Формат 84×  
 X108<sup>1</sup>/<sub>32</sub> Бумага типографская № 2 Гарнитура литературная Печать высо-  
 кая Усл. печ. л. 23,52 Усл. кр.-отт. 23,52 Уч.-изд. л. 25,86 Тираж 22000 экз.  
 Заказ № 498 Цена 1 р. 20 к.

---

Энергоатомиздат, 113114, Москва, М-114, Шлюзовая наб., 10

---

Владимирская типография Союзполиграфпрома при Государственном  
 комитете СССР по делам издательства, полиграфии и книжной торговли  
 400000, г. Владимир, Октябрьский проспект, д. 7

42.28.6

МЕТОДЫ И СРЕДСТВА ИЗМЕРЕНИЙ